

UNIVERSITATEA TEHNICA DIN TIMISOARA
FACULTATEA DE MECANICA

ing. Voicu Mesaros-Anghel

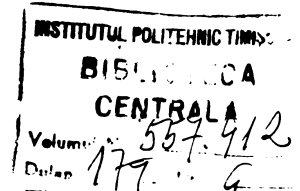
CONTRIBUTII LA SINTEZA MECANISMELOR
ARTICULATE APLICATE IN CONSTRUCTIA
DISPOZITIVELOR DE PREHENSIUNE ALE
ROBOTILOR INDUSTRIALI

- teza de doctorat -

BIBLIOTECA CENTRALĂ
UNIVERSITATEA "POLITEHNICA"
TIMIȘOARA

CONDUCATOR STIINȚIFIC:
Prof.dr.ing. Francisc Kovács

- 1991 -



BUPT

CUPRINS

	Pag.
INTRODUCERE	9
1. DESPRE DISPOZITIVELE DE PREHENSIUNE	10
1.1. Locul si rolul dispozitivelor de prehensiune	10
1.2. Alcatuirea si functiunile dispozitivului de prehensiune	11
1.3. Numarul de degete/falci	14
1.4. Translatia, rotatia, miscarea plana in functionarea degetelor/falculor dispozitivului de prehensiune	14
1.4.1. Dispozitive de prehensiune cu degete in miscare de rotatie	15
1.4.2. Dispozitive de prehensiune cu degete in miscare de rotatie si de translatie	17
1.4.3. Dispozitive de prehensiune cu degete in miscare de translatie	19
1.4.4. Dispozitive de prehensiune cu degete in miscare plana generala	20
1.5. Reducerea problemei centrarii la o problema de sinteza pozitionala	24
2. STADIUL ACTUAL AL SINTEZEI MECANISMELOR DE POZITIONARE CU CERCURI SUPORT	27
2.1. Conventia de notatii	27
2.2. Sinteză bipozitională	28
2.2.1. Pol al rotatiei finite in planul fix	29
2.2.2. O proprietate a polului rotatiei finite fata de conexiunea KB(-1)	30
2.3. Sinteză tripozitională	30
2.4. Sinteză patrupozitională	31
2.4.1. Poli ai rotatiilor finite in planul fix si in planul mobil. Patrulatere complete de contrapoli. Punctul lui Miquel	31
2.4.2. Teorema izovizibilitatii	33
2.4.3. Ecuatia Lichtenheldt a curbelor Burmester	34
2.4.3.1. Axa Newton-Gauss. Focarul. Asimptota. Identitati intre coeficienti	35
2.4.3.2. Tipurile curbelor Burmester	36
2.4.4. Ecuatia Perju a curbelor Burmester. Asimptota	37

2.4.5. Metode analitice de determinare a punctelor/centrelor pe curbele de sinteza dimensională	40
2.4.5.1. Metoda dreptei variabile, paralela cu abscisa	40
2.4.5.2. Metoda dreptei variabile, paralela cu asymptota ...	43
2.4.5.3. Metoda "numerelor complexe"	43
2.4.5.4. Metoda Kovacs	45
2.5. Sinteza cincipozitională	46
2.6. Spatierea optimala după Cebisev	47
2.7. Relatii de pozitii in mecanismul patrulater	48
2.8. Determinarea punctelor de pe curbele de biela	52
2.9. Relatii de trecere dintr-un sistem de coordonate in altul. Relatii de simetrie	53
3. PROGRAME IN LIMBAJ "BASIC" CORESPUNZATOARE CU STADIUL ACTUAL IN SINTEZA POZITIONALA	55
3.1. Program pentru generarea unor pozitii de control la verificarea programelor de sinteza	55
3.2. Program bazat pe ecuația Lichtenheldt și pe metoda dreptei paralele cu asymptota	58
3.3. Program bazat pe ecuația Lichtenheldt și pe metoda dreptei perpendiculare pe asymptota	61
3.4. Program bazat pe ecuația Perju și pe metoda dreptei paralele cu abscisa	62
3.5. Concluzii	64
4. FORME NOI PENTRU ECUATIILE CURBELOR DE SINTEZA	65
4.1. Scurt istoric	65
4.2. Utilizarea ecuației Lichtenheldt	66
4.2.1. Ecuația in coordonate carteziene cu originea in focar	66
4.2.2. Ecuația in coordonate polare cu originea in focar ...	67
4.2.3. Ecuația in coordonate polare cu originea intr-un pol al rotatiei finite	68
4.3. Utilizarea ecuației generale a cubicelor	69
4.3.1. Ecuația bazată pe seturi de nouă poli "Pij/Qij"	70
4.3.2. Ecuația bazată pe seturi de săptă poli "Pij/Qij"	71
4.4. Concluzii	74
5. ELEMENTE GEOMETRICE NOI REFERITOARE LA CURBELE DE SINTEZA	75
5.1. Determinarea focalului	75
5.1.1. Focalul pentru ecuația Perju	77
5.1.2. Focalul pentru ecuația cu săptă coeficienți	79

5.1.3. Concluzii	80
5.2. Determinarea asimptotei.....	81
5.2.1. Asimptota corespunzatoare ecuației cu săpt coeficienti	82
5.2.2. Asimptota corespunzatoare ecuației polare cu originea în focar	83
5.2.3. Asimptota corespunzatoare ecuației polare cu originea în pol	84
5.2.4. Concluzii	85
5.3. Determinarea punctului principal	86
5.3.1. Punctul principal corespunzator ecuației Lichtenheldt	86
5.3.2. Punctul principal corespunzator ecuației carteziene cu originea în focar	87
5.3.3. Punctul principal corespunzator ecuației Perju	87
5.3.4. Punctul principal corespunzator ecuației cu săpt coeficienti	88
5.3.5. Punctul principal corespunzator ecuației polare cu originea în focar	88
5.3.6. Concluzii	89
5.4. Determinarea axei medii (Newton-Gauss)	89
5.4.1. Axa Newton-Gauss corespunzatoare ecuației Perju	90
5.4.2. Axa Newton-Gauss corespunzatoare ecuației cu săpt coeficienti	91
5.4.3. Concluzii	92
5.5. Determinarea intersecțiilor cu axa medie	93
5.5.1. Intersecțiile cu axa medie în cazul ecuației Lichtenheldt	93
5.5.2. Intersecțiile cu axa medie în cazul ecuației carteziene cu originea în focar	94
5.5.3. Intersecțiile cu axa medie în cazul ecuației Perju	95
5.5.4. Intersecțiile cu axa medie în cazul ecuației cu săpt coeficienti	95
5.5.5. Concluzii	96
5.6. Determinarea tangentelor paralele cu asimptota/axa medie	96
5.6.1. Tangente paralele pentru ecuația Lichtenheldt	97
5.6.2. Tangente paralele pentru ecuația carteziana cu originea în focar	98

5.6.3. Tangente paralele pentru ecuația Perju	99
5.6.4. Tangente paralele pentru ecuația cu sapte coeficienți	100
5.6.5. Tangente paralele pentru ecuația polară cu originea în focar	101
5.6.6. Concluzii	102
5.7. Determinarea tangentelor perpendiculare pe asimptota/axa medie	102
5.7.1. Tangentele perpendiculare pentru ecuația Lichtenheldt	103
5.7.2. Tangentele perpendiculare pentru ecuația carteziana cu originea în focar	104
5.7.3. Tangentele perpendiculare pentru ecuația Perju	105
5.7.4. Tangentele perpendiculare pentru ecuația cu sapte coeficienți	107
5.7.5. Concluzii	108
5.8. Determinarea punctelor de tangenta cu tangentele paralele/perpendiculare cu/pe asimptota/axa medie	108
5.8.1. Punctele de tangenta pentru ecuația Lichtenheldt	109
5.8.2. Punctele de tangenta pentru ecuația carteziana cu originea în focar	110
5.8.3. Punctele de tangenta pentru ecuația Perju	111
5.8.4. Punctele de tangenta pentru ecuația cu sapte coeficienți	112
5.8.5. Concluzii	113
5.9. Determinarea punctelor de inflexiune	113
5.9.1. Punctele de inflexiune pentru ecuația Lichtenheldt	115
5.9.2. Punctele de inflexiune pentru ecuația Perju	116
5.9.3. Punctele de inflexiune pentru ecuația cu sapte coeficienți	117
5.9.4. Punctele de inflexiune pentru ecuația carteziana cu originea în focar	118
5.9.5. Concluzii	119
5.10. Determinarea dreptei inflexiunilor	119
5.11. Schimbarea axelor de coordonate prin rotație	120
5.11.1. Rotatia axelor pentru ecuația Lichtenheldt	120
5.11.2. Rotatia axelor pentru ecuația Perju	121
5.11.3. Rotatia axelor pentru ecuația cu sapte coeficienți	122

5.11.4. Rotatia axelor pentru ecuatie carteziana cu originea in focar	123
5.11.5. Directii remarcabile. Concluzii	124
5.12. Schimbarea axelor de coordonate prin translatie	125
5.12.1. Translatia axelor pentru ecuatie Lichtenheldt	125
5.12.2. Translatia axelor pentru ecuatie Perju	129
5.12.3. Translatia axelor pentru ecuatie cu sapte coeficienti	131
5.12.4. Translatia axelor pentru ecuatie carteziana cu originea in focar	133
5.12.5. Concluzii	137
5.13. Schimbarea axelor de coordonate prin translatie si rotatie	138
5.13.1. Translatia si rotatia axelor pentru ecuatie Lichtenheldt	138
5.13.2. Translatia si rotatia axelor pentru ecuatie Perju	139
5.13.3. Translatia si rotatia axelor pentru ecuatie cu sapte coeficienti	141
5.13.4. Translatia si rotatia axelor pentru ecuatie carteziana cu originea in focar	142
5.13.5. Concluzii. Invarianti	143
6. UTILITATEA PRACTICA A ELEMENTELOR GEOMETRICE NOU DETERMINATE	145
6.1. Decelarea tipurilor curbelor de sinteza	145
6.2. Aprecierea posibilitatii sintezei cincipozitionale	146
6.3. Forme ale ecuatiilor curbelor de sinteza rezultate din utilizarea noilor elemente geometrice	148
6.3.1. Ecuatii in coordonate carteziene cu originea in focar si axa ordonatelor paralela cu asimptota	149
6.3.2. Ecuatii in coordonate polare cu originea in focar ...	151
6.3.3. Ecuatii in coordonate carteziene cu originea in punctul principal	152
6.3.4. Ecuatii in coordonate carteziene cu originea in punctele Newton/Gauss	154
6.4. Echivalarea polilor "Qij" cu polii "Pij"	157
6.5. Noi metode de determinare a centrelor/punctelor de pe curbele de sinteza	163
6.5.1. Metoda dreptelor paralele si perpendiculare pe asimptota/axa medie	163

6.5.2. Metoda dreptelor paralele cu abscisa si cu ordonata	165
6.5.3. Metoda dreptei ce trece prin doua puncte cunoscute	166
6.5.4. Metoda bazata pe o proprietate a polilor rotatilor finite	170
6.5.5. Metoda bazata pe ecuatii polare	171
7. PROGRAME IN LIMBAJELE "BASIC"/"BETA BASIC"/"PASCAL"/"DE ASAMBLARE"/"COD MASINA", CORESPUNZATOARE NOIOR ECUATII SI NOIOR ELEMENTE GEOMETRICE ALE CURBELOR DE SINTEZA ...	173
7.1. Program pentru determinarea coeficientilor curbelor de sinteza pe baza seturilor de cte sapte din cei doisprezece poli "Pij/Qij"	174
7.2. Program pentru reprezentarea grafica a doua cubice	178
7.3. Extinderea interpretorului "BASIC" (aplicatie la cresterea rezolutiei)	181
7.3.1. Interpretorul "BASIC"	182
7.3.2. Metode cunoscute pentru extinderea interpretorului "BASIC"	184
7.3.3. O noua metoda de extindere a interpretorului "BASIC"	186
7.3.4. Aplicarea noii extensii "BASIC" la cresterea rezolutiei	189
7.3.5. Utilizarea rezolutiei marite	193
7.4. Program pentru rezolvarea sistemelor de doua ecuatii neliniare prin metoda Newton	196
7.5. Utilizarea centrelor/punctelor de inflexiune	200
7.6. Utilizarea ecuatiei curbelor de sinteza sub forma polara cu originea in centrul/punctul intermediar de inflexiune	202
7.7. Programe pentru rezolvarea ecuatiilor cu o singura necunoscuta	206
7.8. Program pentru reprezentarea curbelor de sinteza utilizind metoda dreptei ce trece prin doua puncte cunoscute	209
7.9. Program pentru trasarea rapida a curbelor de sinteza	211
7.10. Perspective	213
8. CALCULUL, PROIECTAREA, REALIZAREA SI EXPERIMENTAREA UNOR DISPOZITIVE DE PREHENSIUNE	215

8.1. Utilizarea fenomenului de autoblocare la dispozitivele de prehensiune	215
8.2. Utilizarea unei caracteristici mecanice avantajoase la dispozitivele de prehensiune	219
8.3. Proiectarea dispozitivelor de prehensiune cu centrare, pe baza mecanismelor de pozitionare	224
8.3.1. Limitele in aplicarea sintezei cincipozitionale	225
8.3.2. Aplicarea "spatierii Cebisev" in sinteza pozitionala	228
8.3.3. Propunerea unei metode de sinteza patrupozitionala simplificata	232
8.3.4. Precizia teoretica a unor dispozitive de prehensiune	236
8.3.5. Realizarea unor dispozitive de prehensiune pe baza sintezei patrupozitionale simplificate	242
8.3.6. Precizia practica a unor dispozitive de prehensiune	246
9. CONSIDERATII/CONCLUZII FINALE SI CONTRIBUTII ORIGINALE	250
BIBLIOGRAFIE	263

INTRODUCERE

O tendinta naturala a societatilor moderne, este inlocuirea activitatilor umane de tip greu, periculos sau stresant, prin mecanizare, automatizare si (mai nou) robotizare. Reprezentind cea mai flexibila posibilitate de automatizare, robotizarea constituie o preocupare a ultimului deceniu pentru o multitudine de specialisti romani in mecanica ("fina", mai ales), electrotehnica, electronica, calculatoare si informatica.

Lucrarea ce urmeaza, se vrea o sintetizare a activitatii tehnice pe care autorul a desfasurat-o in domeniile robotilor industriali si al mecanismelor. Cele doua domenii amintite s-au legat in mod firesc prin pregatirea de inginer mecanic in care autorul a fost format. Activind in cadrul unui "Colectiv de robotica industriala" si in "Catedra de organe de masini si mecanisme", autorul a fost atras de partea mecanica si actionarea robotilor industriali, in special de "mina" acestora (dispozitivul de prehensiune), pe motiv ca acest subansamblu se constituie intr-un vast camp de aplicare a teoriei mecanismelor.

Dintre dispozitivele de prehensiune, cu care robotii industriali sunt dotati, majoritatea au o alcatuire aproape "antropomorfa", in sensul ca se prezinta ca sisteme mecanice in care se disting "degete", mecanisme purtatoare ale acestora, "muschi" (motoarele pentru actionare), ba chiar si "organe de simt" (senzori/traductori). In acest context isi gaseste motivatie, atentia acordata de autor pentru dispozitivele de prehensiune de tip "mecanic" si mai ales studiului/sintezei mecanismelor componente. Modul in care lucrarea de fata abordeaza sinteza mecanismelor amintite, prezinta aspecte teoretice cu tenta de noutate general valabile, dar si aspecte de optimizare specifice aplicatiei considerate. Concretizarea teoriilor de sinteza a mecanismelor intr-un anumit tip (familie) de dispozitive de prehensiune, a presupus si adoptarea unei actionari corespunzatoare. Majoritatea actionarilor din dispozitivele de prehensiune sunt cu motoare pneumatice datorita calitatilor acestora (rapiditatea efectuarii curselor, nepoluarea zonei de lucru, simplitatea comenzii si larga raspindire industriala a retelelor de aer comprimat), astfel ca acest tip de actionare a fost adoptat de autor la constructia unor prototipuri descrise in partea "practica" a lucrarii.

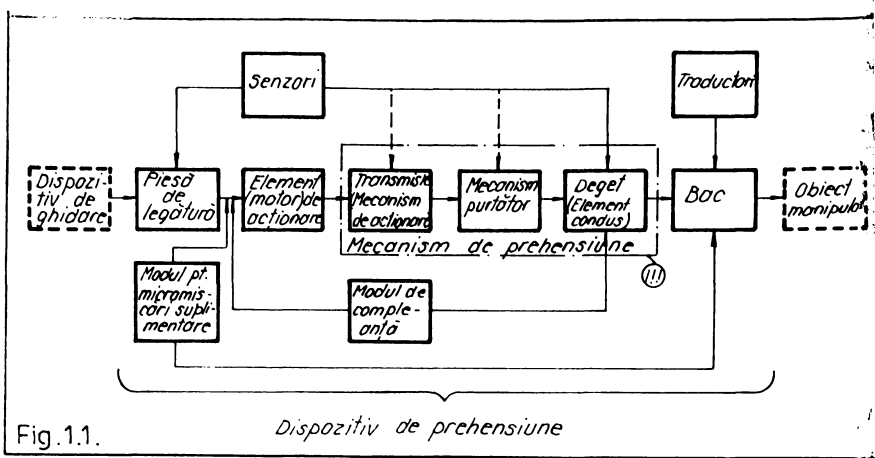


Fig. 1.1. Dispozitiv de prehensiune

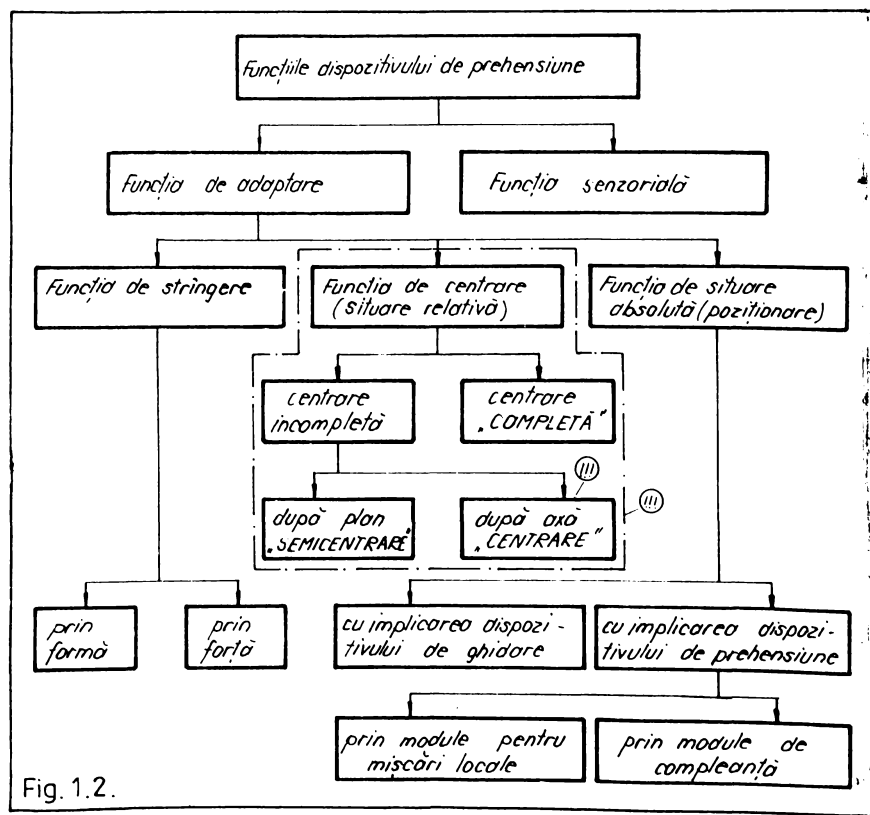


Fig. 1.2.

1. DESPRE DISPOZITIVELE DE PREHENSIUNE

Dispozitivul de prehensiune ca "efector final", caracterizeaza "robotii industriali pentru manipulare" (acelasi rol il au capetele de forta cu scule sau numai sculele, in cazul "robotilor industriali pentru prelucrare").

In cele ce urmeaza se vor trece in revista cele mai importante aspecte generale in legatura cu dispozitivele de prehensiune ale robotilor industriali, insistind asupra aspectelor de interes pentru ansamblul acestei lucrari.

1.1. Locul si rolul dispozitivelor de prehensiune

Situate la extremitatea nefixata a lanturilor cinematice din robotii industriali si indeplinind pentru acestia un rol similar celui al palmei cu degete, in cazul operatorului uman, dispozitivele de prehensiune sunt supuse (din punctul de vedere al conceptiei lor) unor tendinte contradictorii. Pe de o parte, li se cere sa fie USOARE (rezultind solicitari mai mici in elementele/couplele robotului, precum si o crestere a capacitatii portante a acestuia) si SIMPLE (din punct de vedere functional, tehnologic, al intretinerii, etc.). Pe de alta parte li se cere INDEPLINIREA ANUMITOR FUNCTIUNI (fixarea/defixarea piesei de manipulat, asigurarea unei anumite forte de stringere functie de natura si dimensiunile aceleiasi piese, centrarea mai mult sau mai putin "completa" pentru piesa vehiculata, asigurarea unei compleante acestorui efectul netensionarii suplimentare a elementelor/couplelor robotului, asigurarea unor micromiscari locale programabile sau neprogramabile pentru piesa manevrata, asigurarea autoblocarii impotriva defixarii accidentale, etc.) care sa permita simplificari in programarea robotului industrial sau in constructia acestuia ([K1], [K2], [K3], [K18]).

Data fiind, pe lîngă cele mai sus enumerate, si o mare diversitate (natura, forma, dimensiuni, greutate, etc.) a pieselor de manipulat, este explicabila o diversificare similara a dispozitivelor de prehensiune si totodata a mecanismelor lor constituente. Prin marea lor diversitate si complexitate, dispozitivele de prehensiune flexibilizeaza (adapteaza) robotul

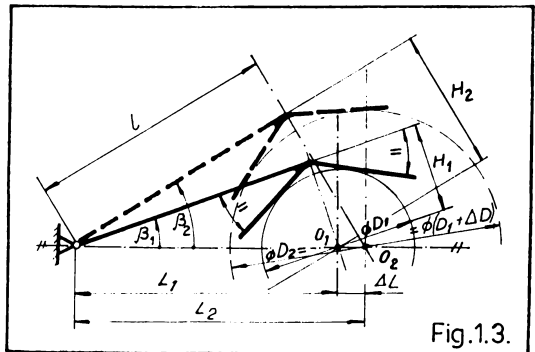


Fig.1.3.

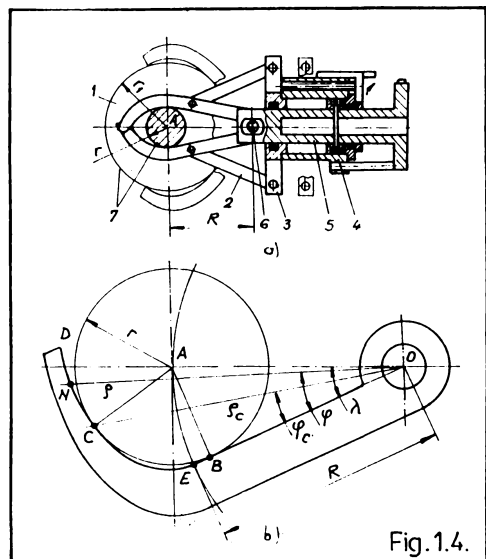


Fig.1.4.

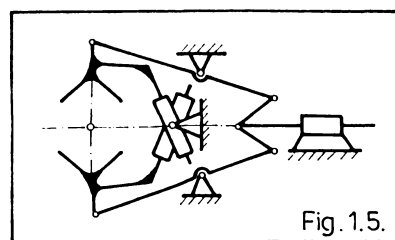


Fig. 1.5.

industrial la aplicatia in cauza. Totusi, pe domenii de utilizare, dependent de scopurile functionale propuse, exista metode de sinteza, care tinind seama de o serie de factori, au dus la dispozitive de prehensiune "echilibrate" constructiv si functional (le-am putea denumi "optimizate" din anumite puncte de vedere).

Subcapitolele urmatoare isi propun, dupa evidențierea alcatuirii/functiunilor, efectuarea unei treceri in revista a acestor dispozitive de prehensiune "optimizate", impreuna cu esenta metodelor de sinteza a mecanismelor componente. Ideea calauzitoare a acestei lucrari este considerarea generala a ratiunilor de proiectare, ca optimizari (din diferite puncte de vedere) in sinteza unor mecanisme constituente ale dispozitivelor de prehensiune.

1.2. Alcatuirea si functiunile dispozitivelor de prehensiune

Se poate admite (conform unei scheme prelucrata de autor dupa [K1] si [K18]) ca dispozitivele de prehensiune (interpuze intre dispozitivul de ghidare/de orientare al robotului industrial si obiectul manipulat) au o componenta generala conform schemei bloc din fig.1.1. Componenta din fig.1.1. este "maximala", putind deci exista dispozitive de prehensiune fara unele din elementele schemei (modulul de micromiscare suplimentara, modulul de compleanta, senzorii, traductorii, mecanismul de prehensiune, mecanismul de actionare, etc.).

Micile deplasari ale piesei, ce trebuie realizate fara a implica intreg lantul cinematic al robotului (ex: "introducerea Pieseii intre bacuri" sau "peste virf", "rotirea piesei pe masa frezei" fara a o deplasa) implica modulele pentru micromiscari, adica deplasari suplimentare locale, amplasate fie intre piesa de legatura si elementul fix al motorului de actionare, fie chiar ca terminatii ale degetelor (ex: bacuri-role actionate sau nu).

Elementul elastic ce asigura compleanta (fara a tensiona necontrolabil lantul cinematic al robotului industrial) in cadrul modulului cu acelasi nume, poate fi amplasat fie intre Piesa de legatura si elementul fix al motorului de actionare,

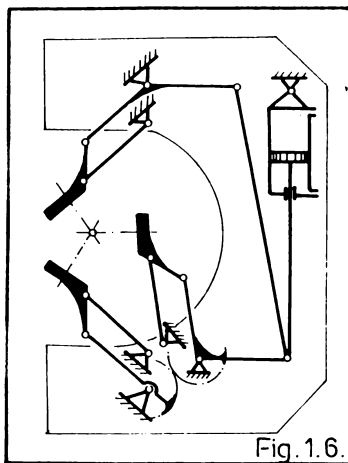


Fig. 1.6.

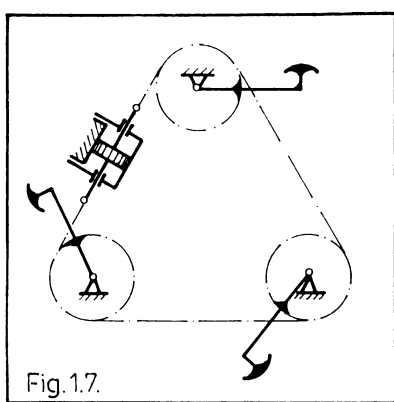


Fig. 1.7.

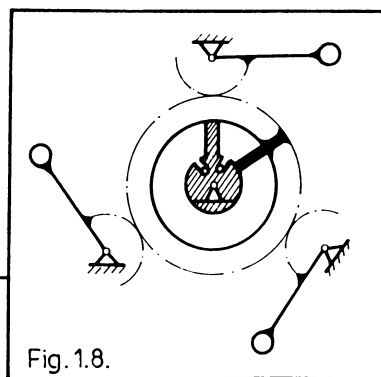


Fig. 1.8.

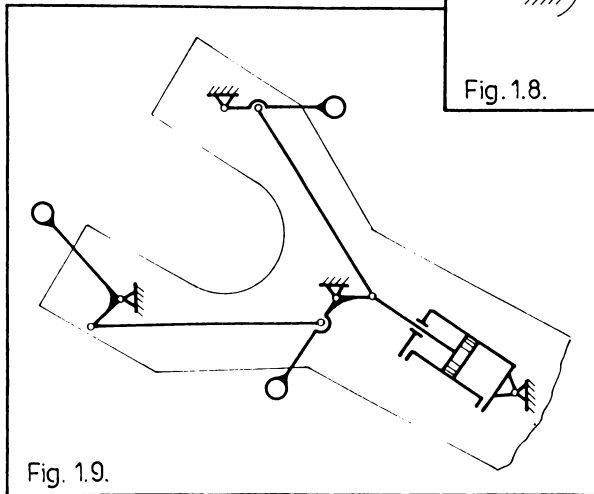


Fig. 1.9.

fie in chiar constructia "degetului" (in aceste cazuri "lung" si din material "elastic").

"Mecanismul purtator" care impune miscarea "degetului-bac" este, la rindul sau, pus in miscare prin intermediul "mecanismului de actionare" (transmisia). Aceste doua entitati (adesea "inseparabile") au fost evidențiate de autor, intrucit ele fac obiectul unor sinteze de tipuri diferite. In acest sens, "mecanismul purtator" va fi sintetizat din ratiuni preponderent pozitionale (geometrice/cinematice), iar "mecanismul de actionare" (transmisia) va fi sintetizat din ratiuni preponderent cinetostatice.

Din elementele schemei (fig.1.1) in preocuparile autorului au intrat mai ales mecanismul de prehensiune (transmisia, mecanismul purtator, incluzind aici si degetul ca element condus sau "purtat" al acestuia), semnalat cu "!!!!" in fig.1.1.

In fig.1.2 s-a reprezentat, in conceptia autorului, graful arborescent al functiunilor general atribuite unui dispozitiv de prehensiune posedind intreaga alcatuire din fig.1.1

Dintre toate functiunile dispozitivului de prehensiune incluse in fig.1.2, autorul a considerat ca obiect al preocuparilor sale, functiunea de centrare in rationamentele de proiectare (optimizare). Aceasta preocupare, desi aparent restrinsa ca intindere, se va dovedi, in continuare, deosebit de vasta, cel putin prin implicatiile in domeniul mecanismelor. Schema din fig.1.2 (conform unor idei prelucrate de autor dupa [K1]) a fost privita in acceptiunea din [K3] si [K18].

"SEMICENTRAREA" este o functiune a dispozitivului de prehensiune, constind in capacitatea acestuia de a asigura coincidenta a doua plane caracteristice, unul apartinind obiectului manipulat, celalalt apartinind dispozitivului de prehensiune.

"CENTRAREA" (centrarea dupa o axa) este o functiune a dispozitivului de prehensiune constind in capacitatea acestuia de a asigura coincidenta unei axe a obiectului manipulat cu o axa apartinatoare dispozitivului de prehensiune.

"CENTRAREA COMPLETA" este o functiune a dispozitivului de prehensiune, constind in capacitatea acestuia de a asigura pe lîngă coincidența a două axe caracteristice (una a obiectului manipulat și cealaltă a dispozitivului de prehensiune) și a două puncte caracteristice (unul al obiectului manipulat și unul al

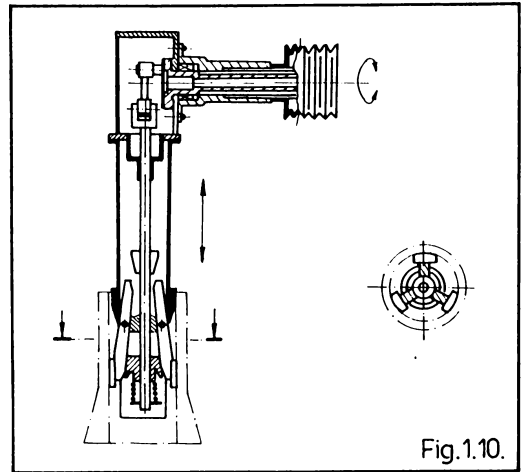


Fig.1.10.

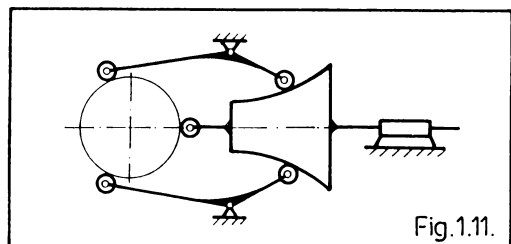


Fig.1.11.

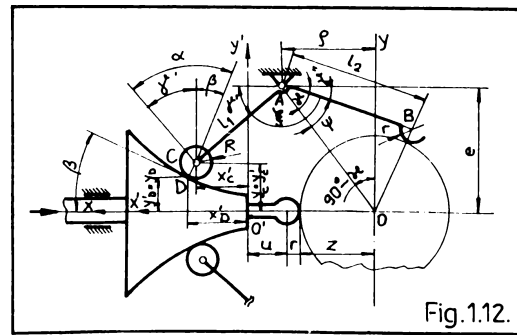


Fig.1.12.

dispozitivului de prehensiune).

In contextul de mai inainte, obiectul manipulat a fost adoptat de catre autor, ca un "solid rigid cu o suprafata circulara cilindrica axata". In preocuparile autorului au intrat mai ales acele parti semnalate cu "!!!" in fig.1.2., atentie deosebita fiind acordata "CENTRARII".

Eroarea absoluta de centrare, in cazul exercitarii functiunii de CENTRARE, poate fi definita ca fiind abaterea dintre axele "ideal" prescrisa si cea "real" realizata, ale piesei manipulate, la stringerea (fixarea) ei in dispozitivul de prehensiune. Abaterea amintita are o componenta unghiulara (unghiul de incrucisare al celor doua axe) si una liniara (lungimea normalei comune celor doua axe). In lucrarea de fata, autorul considera nul unghiul de incrucisare, indreptindu-si atentia doar spre componenta liniara a erorii absolute de centrare. Uneori, aceasta "eroare" mai este intilnita sub denumirea "dezaxare".

O confirmare a justetei definirii domeniului de preocupari ale autorului se regaseste in celebrul articol al lui Konstantinov [K4], unde dispozitivele de prehensiune de "tip mecanic" sunt denumite "tip cleste" (intrucit au "falci" ce se inchid/deschid) si sunt considerate ca fiind cele mai raspandite in varianta cu miscare plana a elementelor componente. Tot in [K4] se arata ca prezinta un mare interes dispozitivele de prehensiune care "pot prinde sigur, obiecte cu schimbari de volum si forma".

Se apreciaza ca dispozitivele de prehensiune cu deplasarea in translatie a "falcilor" "prind bine obiecte cu schimbari de volum, greutati aparind la schimbari de forma ale acestora" iar dispozitivele de prehensiune cu deplasarea in rotatie a "falcilor" nu asigura "centrarea".

De asemenea, rezulta ca fata de cele amintite mai inainte, dispozitivele de prehensiune cu "falci" care executa "miscari plane combinante" (ex.: tip biela), prin "marimile geometrice ale structurilor, dau multe posibilitati de proiectare optima a acestor mecanisme", inclusiv din punctele de vedere al "fixarii sigure", al "centrarii", al "forfei de prindere". Cu "ghilimele" au fost citate mai sus, expresiile din [K4] (asupra carora se va reveni).

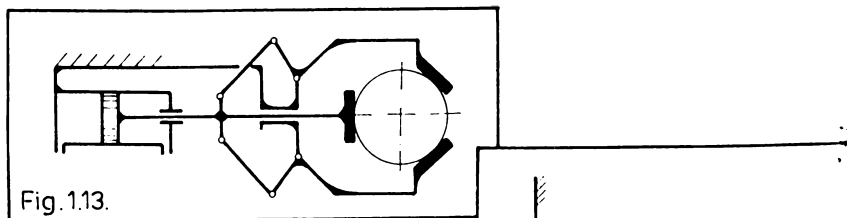


Fig. 1.13.

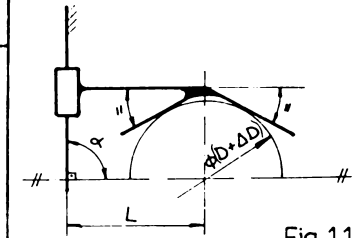


Fig. 1.14

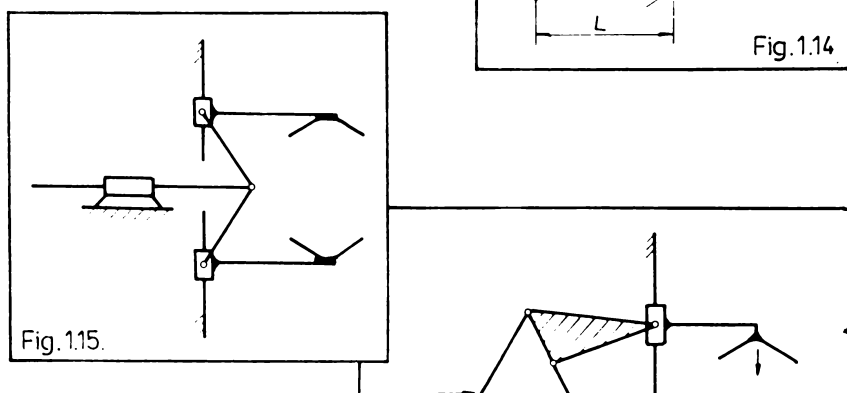


Fig. 1.15.

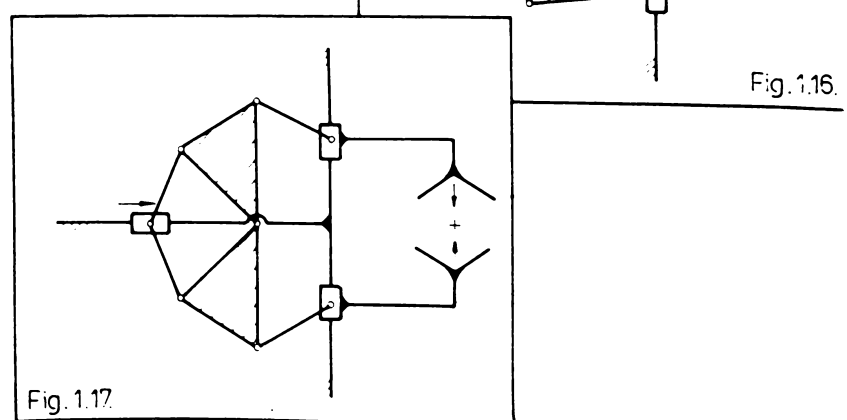


Fig. 1.17

1.3. Numarul de degete/falci

S-a amintit mai inainte de analogia "dispozitiv de prehensiune" - "mina umana". Pornind de la studii medicale, in [K2], [K18], [V1] si [V2], se face o apreciere a "dexteritatii prehensiunii" functie de numarul degetelor dispozitivului de prehensiune, conform tab.1.1.

Un studiu "ingineresc" amanuntit al similitudinilor dintre "mina umana" si "dispozitivele de prehensiune", este amplu prezentat in [W2].

Tab.1.1

Numarul de degete	5	4	3	2
Dexteritatea prehensiunii	100%	99%	90%	40%

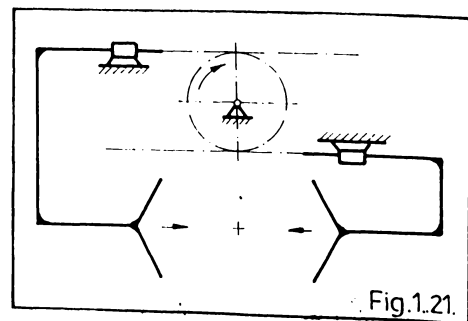
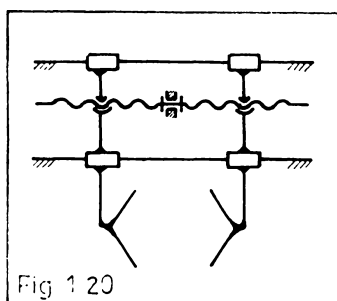
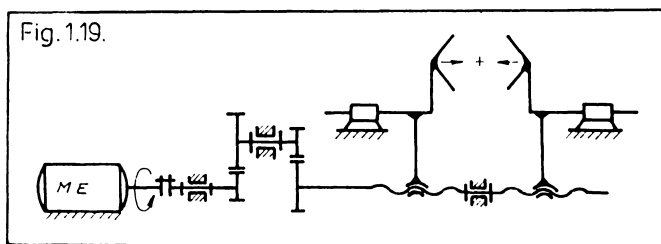
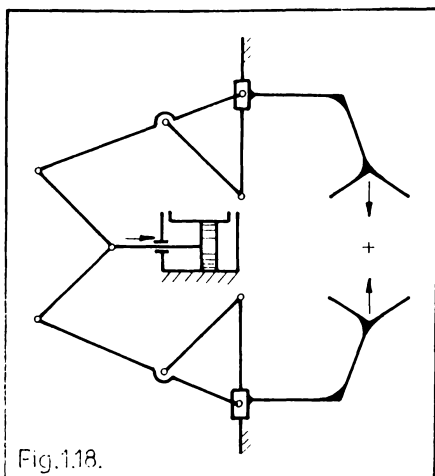
Mina umana cu cinci degete este, conform tab.1.1, cel mai perfectionat dispozitiv de prehensiune (cu "dexteritate" 100%). Se observa ca "dexteritatea" scade relativ incet cu numarul de degete. In mod cert pretul dispozitivului de prehensiune scade spectaculos cu numarul de degete.

Luind in considerare criteriul economic, "dexteritatea", complexitatea constructiva, etc., autorul si-a indreptat atentia, in mod rational, spre dispozitivele de prehensiune cu DOUA (maximum TREI) degete/falci.

1.4. Translatia, rotatia, miscarea plana

in functionarea degetelor/falcilor
dispozitivului de prehensiune

Daca in "lumea mecanismelor" circa 90% dintre acestea sunt mecanisme plane, in "lumea dispozitivelor de prehensiune" dintr-un numar "de ordinul sutelor" de scheme sau dispozitive reale observate, doar un numar "de ordinul unitatilor" contin mecanisme spatiale. Aceasta este ratiunea faptului ca in lucrarea de fata, se vor trata doar mecanisme plane (eventual in "dispunere spatiala").



Miscarea degetelor dispozitivului de prehensiune (rotatie/vtranslatie/plana generala) constituie o posibilitate de clasificare pe care autorul a utilizat-o, in cele ce urmeaza.

1.4.1. Dispozitive de prehensiune cu degete in miscare de rotatie

Purtind in cazul existentei a DOUA degete/bacuri, uneori denumiri ca "de tip foarfeca/cleste", mecanismul purtator al acestor dispozitive de prehensiune are schema din fig.1.3 (conform [K3] si [K18]). Principalele dimensiuni prin alegerea/varierea carora se poate ajunge la variante "optimale" functie de scopul propus, se regasesc in relatie

$$\Delta L = l \cdot (\cos \beta_2 - \cos \beta_1) + H_2 \cdot \sin \beta_2 - H_1 \cdot \sin \beta_1 \quad (1.1)$$

De fapt nu intra in discutie o optimizare reala ci doar o "adecvare" a dimensiunilor mecanismului purtator la dimensiunile piesei de manipulat.

Acest tip de dispozitiv de prehensiune prezinta un gabarit (mai ales transversal) redus, dar nu asigura centrarea (coincidenta axelor) pentru piese cu variatii dimensionale (ex: "D1->D2"), rezultind deci o eroare absoluta de centratie (dezaxare) calculabila (conform [K18]) cu relatia (1.1). Marimile "H1"/"H2" din fig.1.3, se pot calcula din diametrele "D1"/"D2", din geometria prismei-bac si din excentricitatea (neconfigurata aici) a mecanismului purtator.

Pentru o variatie dimensională impusa (ΔD), dezaxarea (eroarea absolută de centratie) crește la piesele mari și scade dacă lungimea degetelor crește. Rezulta că centrarea după o axă a piesei cilindrice se realizează în mod sigur cu o eroare corespunzătoare dimensiunilor piesei manipulate și dimensiunilor schemei cinematice. Luarea în considerare a acestei erori în cadrul "soft"-ului cu care este înzestrată inteligența artificială a robotului, implică includerea în dispozitivul de prehensiune a unui traductor pentru sesizarea dimensiunii piesei. Precum și partea corespunzătoare de soft la prelucrarea informației date de traductor în vederea corectiei necesare la conducerea punctului caracteristic (în acest caz, un punct

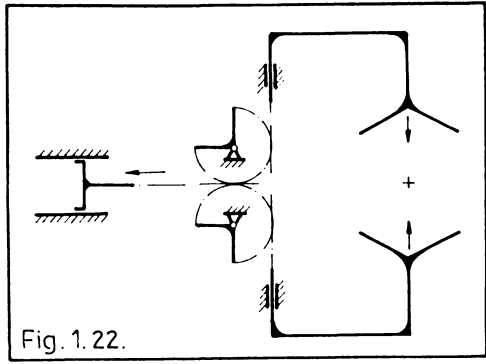


Fig. 1.22.

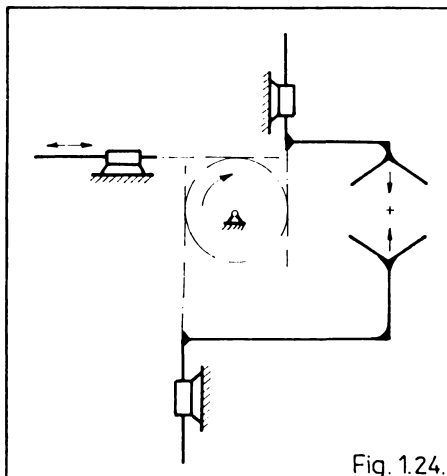


Fig. 1.24.

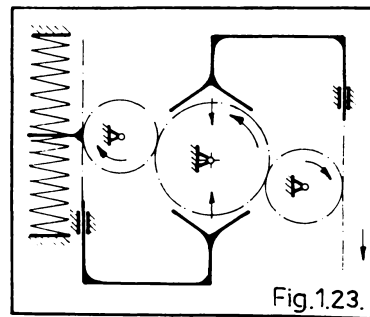


Fig. 1.23.

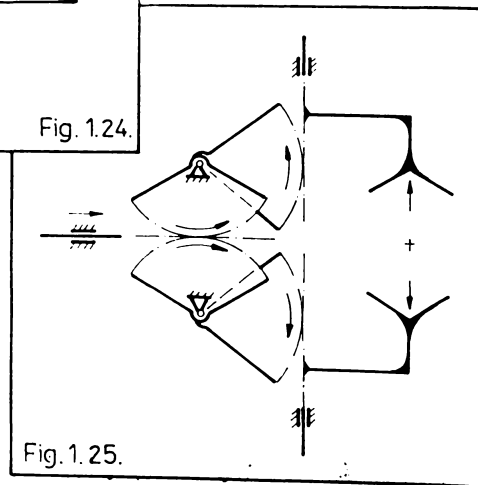


Fig. 1.25.

figurativ al axei piesei) pe o anumita traiectorie sau prin anumite pozitii impuse.

Problema centrarii intre DOUA degete/bacuri in miscare de rotatie, se poate pune numai daca fetele prismelor de prindere sunt profilate (conform [P1]).

In fig.1.4.b se arata ca piesa cilindrica se "sprijina" in punctul "B" al portiunii "OE" (rectilinie) a bacului si in punctul "C" al portiunii "ED" (profilata) a aceluiasi bac. Pentru asigurarea centrarii piesei cilindrice este necesar ca profilul bacului sa respecte curba data de relatiile

$$\rho = (R/r) \cdot \sqrt{10 - 6 \cdot \cos[2 \cdot \arcsin(r/R)]} \quad (1.2)$$

$$\varphi = \arctg \frac{r/R - (1/3) \cdot \sin[3 \cdot \arcsin(r/R)]}{\sqrt{R^2 - r^2}/R - (1/3) \cdot \cos[3 \cdot \arcsin(r/R)]} \quad (1.3)$$

unde notatiile corespund cu fig.1.4.a/b.

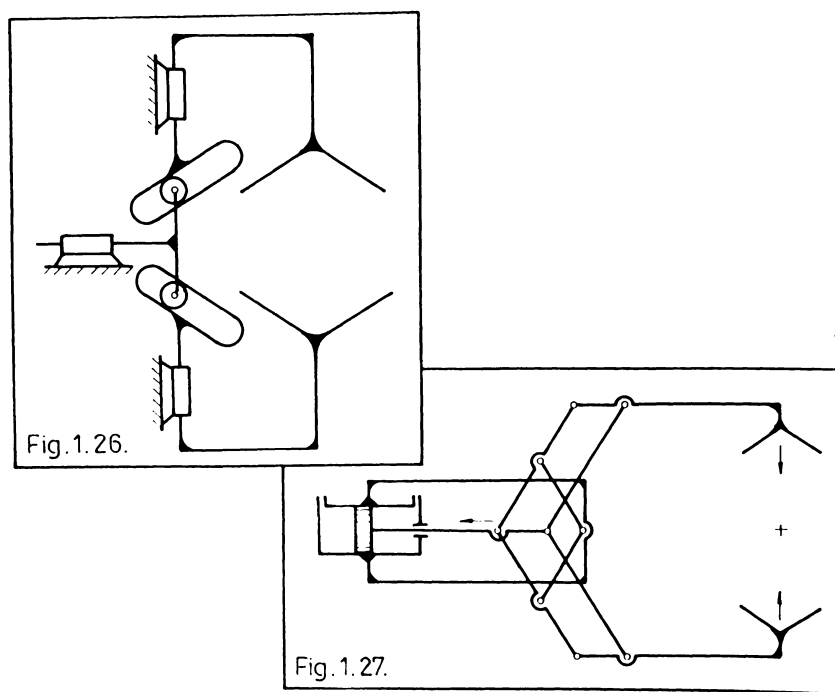
Dispozitivul din fig.1.4 este remarcabil prin ingeniozitatea simplitatii sale, dar suprafata profilata este tehnologic greu realizabila si isi degradeaza profilul prin uzura (de altfel foarte accentuata in zona contactului bac-piesa manipulata).

Centrarea cu doua degete/falci rotative se mai poate realiza prin articularea bacurilor/prismelor si orientarea acestora printr-un mecanism auxiliar, conform [D4] (se reda schema in fig.1.5). Dispozitivul din fig.1.5 prezinta un avantaj deosebit intrucit centrarea este realizata de un mecanism continind numai couple inferioare, avind insa dezvantajul unei constructii mai complicate prin numarul mare al elementelor.

Se observa din fig.1.5 ca bisectoarele celor doua prisme fac un acelasi unghi cu bratele tijelor mecanismului auxiliar. Aceste tije concurind intr-un punct comun fix, implica si o pozitie neschimbata a punctului de intersectie a bisectoarelor, realizind astfel conditia de centrare.

In mod mult mai complicat (constructiv), cu ajutorul a TREI degete, realizarea centrarii este usurata prin disponerea convenabila in plan a axelor articulatiilor fixe. In aceasta situatie centrarea se poate realiza pe o suprafata interioara respectiv exterioara.

Centrarea cu ajutorul a trei degete in miscare de rotatie,



pe suprafata exterioara, este prezentata in fig.1.6 (conform [C1], [D2], [K5], [V1], [*1], [*2], [*3] si [*4]). Denumirea comerciala a acestui mecanism este "mina FANUC".

Centrarea cu ajutorul a trei degete pe suprafata interioara este prezentata in fig.1.7 (conform [E1]), in fig.1.8 (conform [B1]) si in fig.1.9 (conform [*6]).

Dispozitivele de prehensiune avind schemele din fig.1.6, 1.7, 1.8 si 1.9, printre configuratie corespunzatoare a bacurilor, pot servi la prinderea exterioara a pieselor de tip disc sau arbore (doar cele din fig.1.6 si 1.9) precum si a pieselor inelare. Se disting diferite variante pentru mecanismele de sincronizare (cu bare conform fig.1.6 si 1.9, cu lant/curea dintata conform fig.1.7, cu roti dintate conform fig.1.8) si pentru motoarele de actionare (cu cilindru pneumatic /hidraulic obisnuit conform fig.1.6 si 1.9 sau cu tija bilatera conform fig.1.7, respectiv cu paleta fixa si carcasa oscilanta conform fig.1.8). "Mecanismul purtator" este format din simple "bare rotative" (fig.1.7, 1.8 si 1.9) sau din "mecanisme paralelogram" (fig.1.6).

Conform dispozitivului de prehensiune cu schema din fig.1.10, piese de tip teava pot fi "prinse" din interior, in mod centric, dar nu pentru un ecart prea mare de dimensiuni. Mecanismul de prehensiune este constituit din mecanismul purtator, adica din "trei bare rotative" si din transmisie (mecanismul de actionare) "pseudospatiala", continind si o cupla superioara.

1.4.2. Dispozitive de prehensiune cu degete in miscare de rotatie si de translatie

Aceasta situatie distincta se realizeaza cu ajutorul a TREI degete, dintre care doua degete sint in miscare de rotatie, fiind deplasate sincron cu inaintarea proprie de catre o cama cu Profil dublu special, si un deget in miscare de translatie solidar cu cama. Schema cinematica a acestui dispozitiv este redata in fig.1.11 (conform [K5], [U1] si [*5]). Dezavantajul acestui dispozitiv se datoreaza existentei profilului camei, prin pierderea preciziei acestuia cauzata de uzura si

501.4129.6

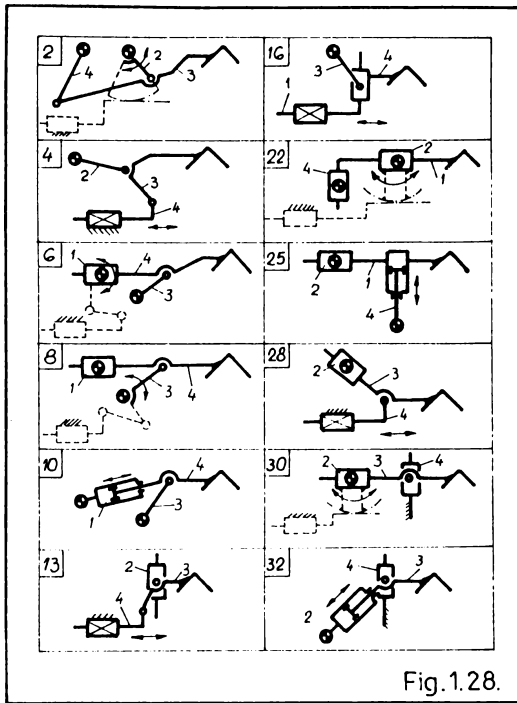


Fig.1.28.

necesitatea manoperei tehnologice relativ costisitoare la uzinare, dezavantaje specifice cuprelor superioare).

Cu notatiile din fig.1.12, ecuatiiile parametrice ale profilului real al camei, dupa [U1], sunt

$$x'_D = x'_C + R \cdot \cos \beta \quad (1.4)$$

$$y'_D = y'_C - R \cdot \sin \beta \quad (1.5)$$

unde profilul teoretic al camei asta dat de

$$x'_C = \rho - l_1 \cdot \frac{A + B - (z + r)^2}{2 \cdot \sqrt{A \cdot B}} \cdot \cos(\xi + \chi) - l_1 \cdot \left\{ \sin \left[\arccos \frac{A + B - (z + r)^2}{2 \cdot \sqrt{A \cdot B}} \right] \right\} \cdot \sin(\xi + \chi) - u - (z + r) \quad (1.6)$$

$$y'_C = e - l_1 \cdot \frac{A + B - (z + r)^2}{2 \cdot \sqrt{A \cdot B}} \cdot \sin(\xi + \chi) + l_1 \cdot \left\{ \sin \left[\arccos \frac{A + B - (z + r)^2}{2 \cdot \sqrt{A \cdot B}} \right] \right\} \cdot \cos(\xi + \chi) \quad (1.7)$$

in care s-a notat

$$\rho = \rho^2 + c^2 \quad (1.8)$$

$$B = l_2^2 \quad (1.9)$$

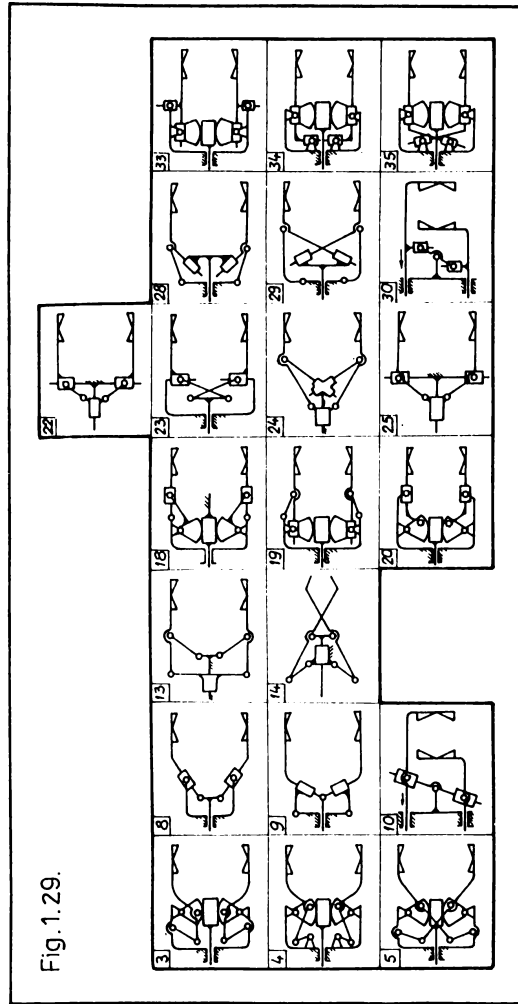
$$\beta = \arctg \left[\frac{1 + p \cdot \operatorname{ctg}(\xi + \chi)}{1 - p \cdot \operatorname{tg}(\xi + \chi) - q / \cos(\xi + \chi)} \cdot \operatorname{tg}(\xi + \chi) \right] \quad (1.10)$$

$$p = \frac{A + B - (z + r)^2}{\sqrt{-(z + r)^4 + 2 \cdot (A + B) \cdot (z + r)^2 + 4 \cdot A \cdot B - (A + B)^2}} \quad (1.11)$$

$$q = \frac{\sqrt{A \cdot B}}{l_1 \cdot (z + r)} \quad (1.12)$$

Inlocuirea instantaneu izocinetica a cuprelor superioare in schema mecanismului din fig.1.11, poate conduce la un dispozitiv de prehensiune, avind schema din fig.1.13. Dupa cum era de asteptat, mecanismul instantaneu izocinetice inlocuitor (conform [C3]) asigura in limite tehnice admise (functionind in jurul pozitiei inlocuite) o "centrare suficient de buna". Dezavantajul acestui dispozitiv este, probabil, ecartul mic al diametrelor pentru care se asigura centrarea inainte amintita.

Fig. 1.29.



1.4.3. Dispozitive de prehensiune cu degete in miscare de translatie

Purtind uneori denumirea "tip menghina", mecanismul purtator al acestor dispozitive de prehensiune are schema din fig.1.14. Pe aceasta schema se gasesc inscrise dimensiunile de "adecvat" la cele ale pieselor de manipulat (conform [B1], [B2], [C2], [D2], [E2], [H1], [H2], [I1], [K4], [K5], [M1], [M2], [P2], [R1], [S1], [V3], [W1], [*7], [*8], [*9], [*10], [*11], [*12], [*13], [*14], [*15], [*16], [*17], [*18], [*19], [*20] si [*21]).

Acest tip de dispozitiv de prehensiune asigura centrarea pentru piese cu variatii dimensionale, daca directia de translatie este perpendiculara pe axa de simetrie a dispozitivului de prehensiune. Daca unghiu amintit difera de 90 grade, dezaxarea (eroarea de centratie) va fi

$$L = \frac{D}{2 \cdot \operatorname{tg} \alpha} \quad (1.13)$$

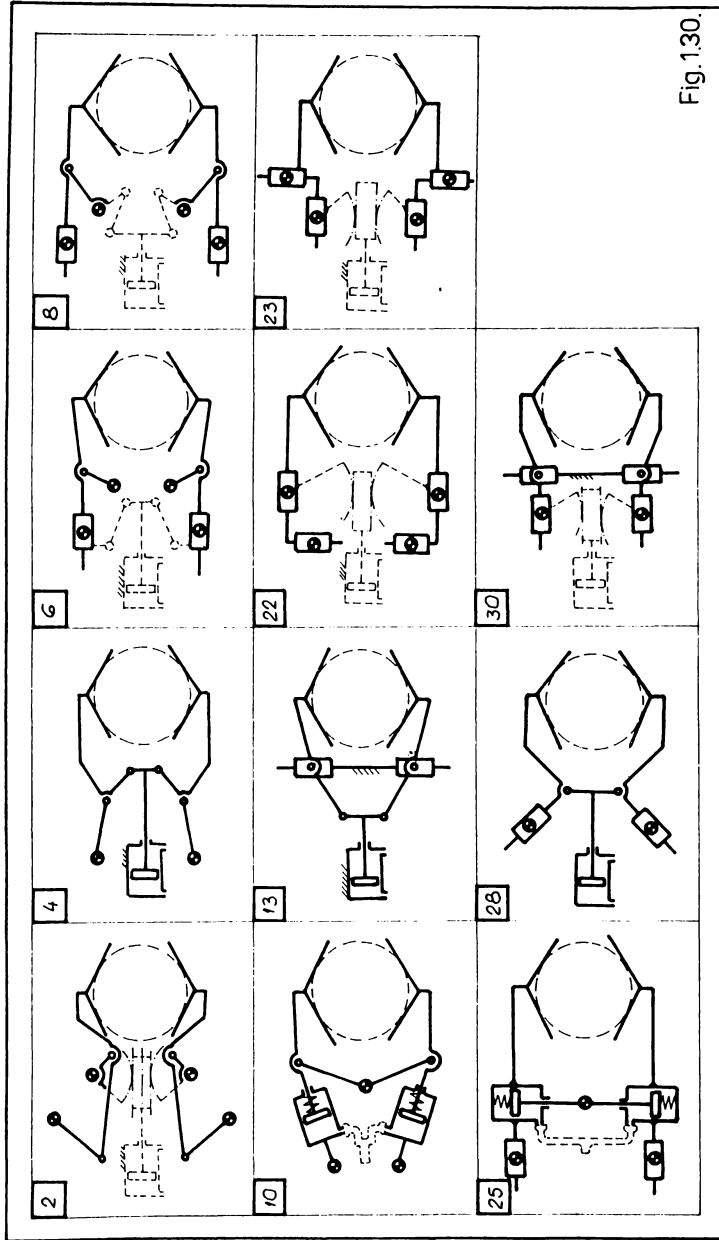
iar variația dimensională a piesei în condițiile uneidezaxări (eroare de centratie) admise, va putea fi calculată cu

$$D = 2 \cdot L \cdot \operatorname{tg} \alpha \quad (1.14)$$

Desi realizeaza CENTRAREA, dispozitivele de prehensiune bazate pe mecanisme purtatoare de acest tip, prezinta dezavantaje majore constind in prezența cuprelor de translatie datorita carora, pentru evitarea autoblocarii, rezulta un gabarit transversal considerabil, in greutati la uzinare si la intretinere, in prezența de uzuri considerabile la capetele curselor din pricina jocurilor, in prezența unor unghiuri de presiune uneori favorabile blocarii, respectiv in necesitatea de-a utiliza mecanisme de actionare in general complicate si deci cu masa considerabila.

Se vor trece in revista cele mai importante mentionari din bibliografia tehnica asupra ansamblului format in mecanismul de prehensiune, de mecanismul purtator si mecanismul de actionare (practic chiar intreg dispozitivul de prehensiune), bazat pe degete/bacuri in miscare de translatie.

Fig.130.



In fig.1.15, 1.16, 1.17, si 1.18, se prezinta schemele unor dispozitive de prehensiune cu mecanisme de actionare tip "piston-bielă", "piston-bielă-bielă secundară de patrulater-manivelă", "piston-bielă-manivelă-bielă secundară", respectiv "piston-bielă-bielă secundară rectilinie-manivelă", (conform [A1], [K6] si [*21]).

In fig.1.19 si 1.20, se prezinta schemele unor dispozitive de prehensiune, unde deplasarea sincronă a degetelor/bacurilor se face prin intermediul unor piulite solidare cu acestea, piulitele deplasindu-se pe un surub avind pe o parte filet "dreapta" si pe cealalta parte filet "stinga", bacurile fiind uneori dublu ghidate pentru cresterea preciziei de centrare (conform [K5] si [*22]).

In fig.1.21, 1.22, 1.23, 1.24 si 1.25, se prezinta schemele unor dispozitive de prehensiune la care cele două degete/bacuri solidare fiecare cu cîte o cremaliere sint deplasate de roti dintate care angreneaza cu acestea. In fig.1.21 si 1.23, miscarea motoare este realizata cu un motor pneumatic/hidraulic rotativ, al carui pinion angreneaza simultan cu cele două cremaliere sau pinioane intermediare, sincronizindu-le deplasarea (conform [B2], [L1] si [*21]). In fig.1.22, 1.24 si 1.25, miscarea motoare este realizata cu un motor pneumatic/hidraulic liniar, care pune in miscare de translatie o cremaliere solidara cu pistonul motorului. Acesta transforma miscarea de translatie in miscare de rotatie a unor pinioane intermediare si mai apoi in miscare de translatie a cremalierei bacurilor, dar după o directie perpendiculară pe prima translatie (conform [D1], [S1] si [V1]). Prezenta rotilor dintate este dezavantajul acestor mecanisme (cupla superioara, jocuri, imposibilitatea ungerii hidrodinamice).

In fig.1.26, se prezinta (conform [D2]) un dispozitiv de prehensiune cu degete/bacuri utilizind la actionare tot un mecanism cu cupla superioara dar mult mai simplu decit Precedentele (mai ieftin si mai fiabil).

In fig.1.27, se prezinta schema unui dispozitiv de prehensiune ale carui bacuri sint in translatie fara ca schema sa contină couple de translatie, bazindu-se pe un mecanism mai complicat ce porneste de la célébra problema a elipsografului lui Cardano si de la mecanismul paralelogram (conform [G1]).

In același articol de referinta [K4] amintit în subcap.1.2,

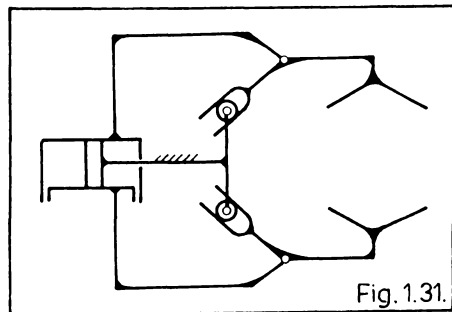


Fig. 1.31.

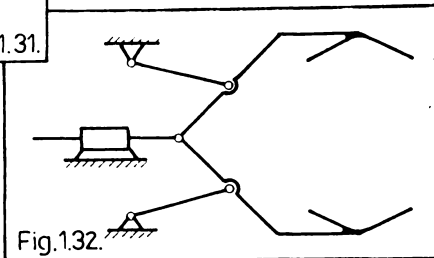


Fig. 1.32.

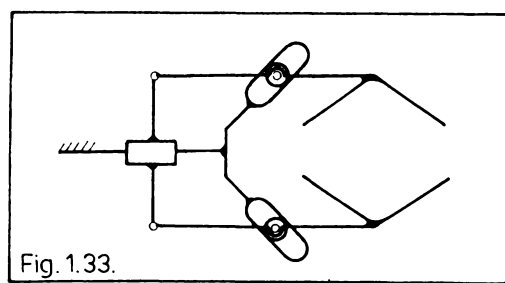


Fig. 1.33.

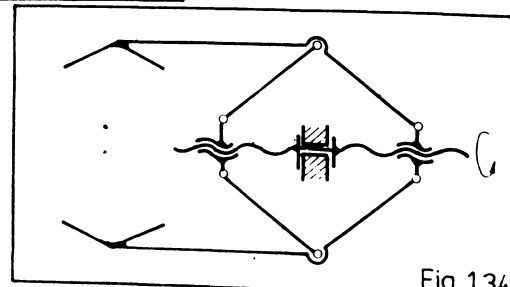


Fig. 1.34.

Konstantinov prezinta pe un tablou sistematic schemele unor dispozitive de prehensiune, dintre care au fost selectionate in fig.1.28, acele mecanisme susceptibile sa asigure centrarea. Din categoria "cu degete/bacuri in miscare de translatie" (paragraful de fata) fac parte schemele dispozitivelor de prehensiune numerotate cu 10, 22, 23, 25 si 30. Schemele lui Konstantinov sint preluate identic in [C3], [D3], [I2], [K2] si [*[22].

1.4.4. Dispozitive de prehensiune cu degete in miscare plana generala

Degetele acestui tip de dispozitiv au o miscare complexa in plan (miscare de biela), datorita faptului ca sunt solidarizate cu biela mecanismului purtator.

In [K4], Konstantinov prezinta o serie de scheme ale unor mecanisme (numerotate cu 3, 4, 5, 8, 9, 13, 14, 18, 19, 20, 24, 28, 29, 33, 34 si 35 in fig.1.28) capabile sa asigure centrarea prin miscarea plana generala a "bielei-deget-bac".

Intr-un capitol dedicat dispozitivelor de prehensiune in [D7], se face un studiu structural, asemanator cu cel din [K4], in care o serie de scheme structurale ale mecanismelor purtatoare (din care numai cele numerotate cu 2, 4, 6, 8, 10, 13, 16, 22, 25, 28, 30, 32, si reproduse in fig.1.29) asigura o miscare plana generala a "bielei-deget-bac", dind posibilitatea ca printre-o sinteza adevarata sa se realizeze centrarea dorita.

Tot in [D7], pe baza pe baza schemelor amintite, se redau mecanisme de prehensiune (din care s-au retinut in fig.1.30, doar schemele, numerotate cu 2, 4, 6, 8, 10, 13, 22, 23, 25, 28, 30), capabile sa asigure centrarea.

Majoritatea schemelor amintite sufera de dezavantajul unei constructii relativ complicate, al existentei cuprelor de translatie si/sau superioare.

O schema similara celor din [K4] amintite mai sus, este reprodusa in fig.1.31 dupa [D1]. Desi mai simpla, prezenta cuplei superioare este un dezavantaj si al acestei scheme.

Un dispozitiv cu schema fara cuple superioare, mai simplu, dar (se va vedea mai tiri) cu domeniu mai restrins pentru gama diametrelor pieselor, este prezentat in fig.1.32, conform [W1],

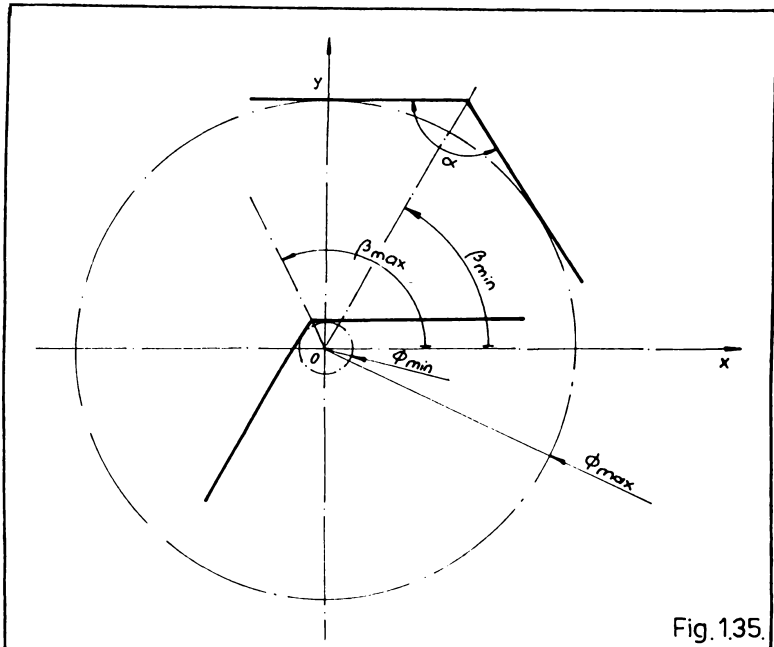


Fig. 1.35.

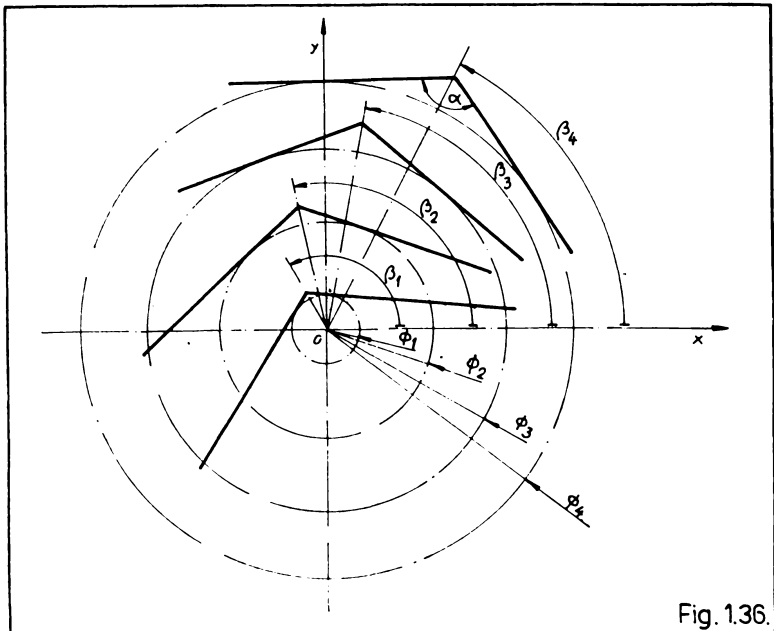


Fig. 1.36.

unde biela unui mecanism piston-manivela este degetul/bac.

In [E1] este prezentata schema unui dispozitiv de prehensiune, redată și în fig.1.33, continind o cuplu superioara (cu dezavantajele ei), capabil să asigure centrarea.

In fig.1.34, conform [R1] se prezintă un dispozitiv de prehensiune care sintetizat corespunzător, poate centra, și a căruia actionare se face prin surub dreapta-stinga.

Conform celor expuse pînă acum, apare clara ideea realizării unei prinderi centrice cu prisme pentru piese cilindrice, într-o gama de diametre ca în fig.1.35, urmînd o succesiune a pozițiilor prismelor, spre exemplu, ca în fig.1.36 (s-a reprezentat doar o "jumătate" de schema, cea "intreagă" fiind simetrică după axa absciselor).

O lucrare remarcabilă în sensul celor de mai sus, este [Q1] bazată pe [Q2]. Problemele tratate aici sunt reluate parțial și sumar în [R1]. În fig.1.37 se prezintă o schema simetrică a unui prim dispozitiv de prehensiune cu două prisme, fiecare solidarizată cu o biela. Efectul de centrare este obținut prin ghidarea adecvată a punctului "V" de către camele de tip "1". În fig.1.38 se prezintă o schema asimetrică a unui al doilea dispozitiv de prehensiune cu o prisma solidara cu o biela și un bac plan. Centrarea este obținuta prin ghidarea adecvată a punctului "V" de către o cama de tip "1" și apropierea bacului plan sub influența "programului" înmagazinat în profilul camei tip "2". În fig.1.39, se prezintă o schema asimetrică a unui al treilea dispozitiv de prehensiune cu două prisme, una ghidată adecvat cu cama tip "1" și cealaltă "autoasezabilă elastică" peste piesa deja centrata.

In cele ce urmează se prezintă pe scurt calculul profilului real al camelor tip "1" și "2" urmarind notatiile din fig.1.38.
Se poate deduce distanța "GD" cu

$$GD = \sqrt{BD^2 + BG^2 - 2 \cdot BD \cdot BG \cdot \cos \left[2 \cdot \operatorname{arctg} \sqrt{\frac{(E - AB) \cdot (E - OB)}{E \cdot (E - \sqrt{OE^2 + AE^2})}} - K \right]} \quad (1.15)$$

în care s-a notat

$$OB = \frac{R}{\sin(\theta/2)} + BJ \quad (1.16)$$

$$E = (OA + OB + AB)/2 \quad (1.17)$$

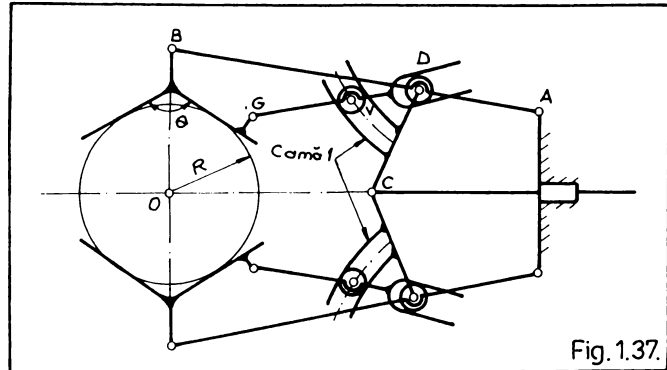


Fig. 1.37.

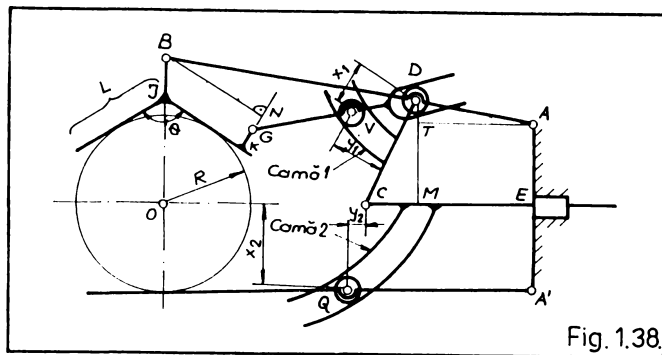


Fig. 1.38.

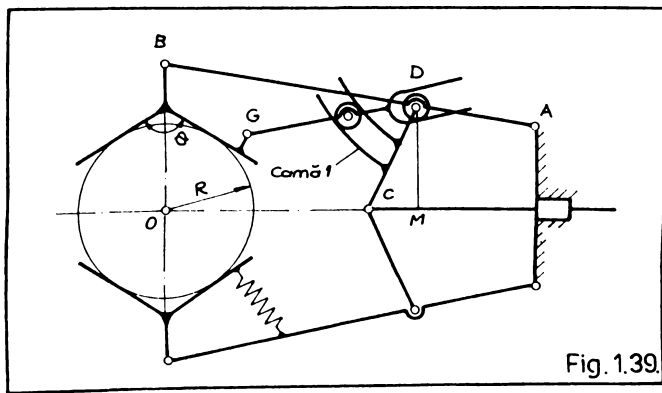


Fig. 1.39.

$$K = \arcsin \frac{GK - BJ \cdot \sin(\theta/2)}{BG} + \frac{\theta}{2} \quad (1.18)$$

Se poate calcula unghiul "CDG" cu

$$\widehat{CDG} = 2 \cdot \arctg \sqrt{\frac{(E - AB) \cdot (E - \sqrt{OE^2 + AE^2})}{E \cdot (E - OB)}} + \arctg \frac{OE}{AE} - 2 \cdot \arctg \sqrt{\frac{(P - BD) \cdot (P - DG)}{P \cdot (P - BG)}} - \\ - \arccos \frac{AE - AD \cdot \cos \left\{ 2 \cdot \arctg \sqrt{(E - AB) \cdot (E - \sqrt{OE^2 + AE^2}) / [E \cdot (E - OB)]} + \arctg(OE/AE) \right\}}{CD} \quad (1.19)$$

unde s-a notat

$$P = (BD + DG + BG)/2 \quad (1.20)$$

Profilul camei tip "1" va fi dat de:

$$x_1 = (GD - GV) \cdot \cos \widehat{CDG} \quad (1.21)$$

$$y_1 = (GD - GV) \cdot \sin \widehat{CDG} \quad (1.22)$$

Profilul camei tip "2" va fi dat de:

$$x_2 = AE - A'Q \cdot \cos \left[\arcsin \frac{R}{\sqrt{AE^2 + OE^2}} + \arctg \frac{OE}{AE} \right] \quad (1.23)$$

$$y_2 = A'Q \cdot \sin \left(\arcsin \frac{R}{\sqrt{AE^2 + OE^2}} + \arctg \frac{OE}{AE} \right) - \\ - AE - AD \cdot \cos \left[2 \cdot \arctg \sqrt{\frac{(E - AB) \cdot (E - \sqrt{AE^2 + OE^2})}{E \cdot (E - OB)}} + \arctg(OE/AE) \right] \\ - CD \cdot \sin \arccos \frac{CD}{AD \cdot \sin \left[2 \cdot \arctg \sqrt{\frac{(E - AB) \cdot (E - \sqrt{AE^2 + OE^2})}{E \cdot (E - OB)}} + \arctg \frac{OE}{AE} \right]} \quad (1.24)$$

Conform [Q1], dispozitivul de prehensiune schematizat in fig.1.38, a fost realizat de autor cu " $\theta=120$ grade" pentru "Rmin=10 mm" si "Rmax=40 mm", rezultind o precizie a centrarii care, in comparatie cu cea a unui dispozitiv de prehensiune bazat pe schema din fig.1.3 si avind aproximativ acelasi gabarit, pentru aceleasi diametre, este mult mai buna (0.2 mm fata de 24.3 mm). Dispozitivul a fost testat mai multe luni cu piese de 1.5 kg, avind diametre de 20, 30, 40, 50, 60, 70 si 80

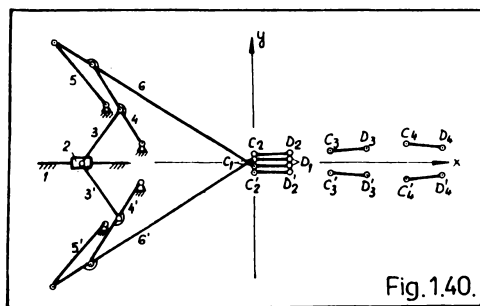


Fig. 1.40.

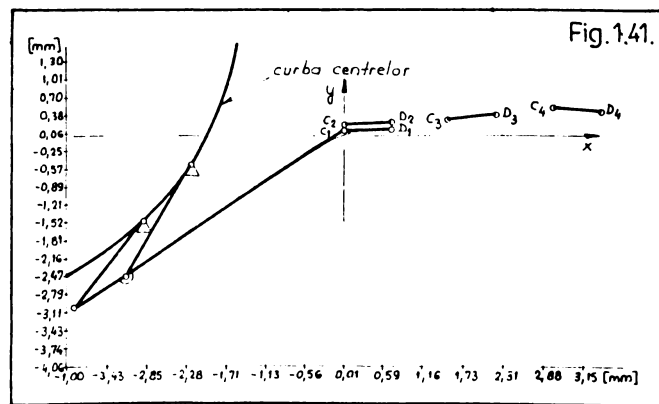


Fig. 1.41.

mm, pe un robot ce le deplasa cu viteza de 1 m/sec.

Misarea plana generala a unor degete cu bacuri plate intr-un dispozitiv de prehensiune, fara a implica centrarea, a fost relativ recent (iulie 1990) propusa in [K14]. Prin sinteza patrupozitionala, au rezultat dimensiunile dispozitivului de prehensiune cu schema din fig.1.40, al carui mecanism patrulater purtator, cele patru pozitii impuse bacului si o parte a curbei centrelor, se observa in fig.1.41. S-a utilizat teoria "clasica" a sintezei patrupozitionale (conform cap.2) beneficiind de "modernismul" calculului automatizat.

De asemenea, in [B8] se prezinta un dispozitiv de prehensiune, redat in fig.1.42, care prin deplasarea plana generala a unor bacuri-role, realizeaza o centrare aproximativa intr-un domeniu impus de diametre. Mecanismul patrulater purtator (elementele 4-9-11-2) a fost obtinut prin sinteza bipozitionala/tripozitionala. Metoda de sinteza este relativ "comuna" si se gaseste expusa sintetic in [V7]. Dupa cum se va vedea in cap.8, sinteza cincipozitionala nu se poate aplica, iar cea patrupozitionala (preocupare de baza in aceasta lucrare) are ca efect amplasarea articulatiilor cu elementul fix, in alta parte decit in acest caz si cresterea preciziei de centrare intr-un ecart mai larg de diametre.

1.5. Reducerea problemei centrarii la o problema de sinteza pozitionala

In [K4] sunt aratate formule similare cu cele de la paragrafele 1.4.2, 1.4.3 si 1.4.4, atit pentru calcule exacte, cit si pentru calcule aproximative. In [K4] se apreciaza ca "universalitatea acestor dispozitive de prehensiune prezentate este redusa, dar raspandirea este mare datorita simplitatii". Tot aici se reda in plus o mare diversitate de mecanisme de prehensiune, implicit si mecanisme purtatoare, impreuna cu transmisiiile (mecanismele de actionare) corespunzatoare, fara a realiza centrarea. Multe dintre acestea sunt complicate constructiv (elemente numeroase, couple superioare) sau implica gabarite transversale apreciabile si nu toate asigura centrarea pieselor cilindrice manipulate.

Problema gabaritului transversal este elegant rezolvata in

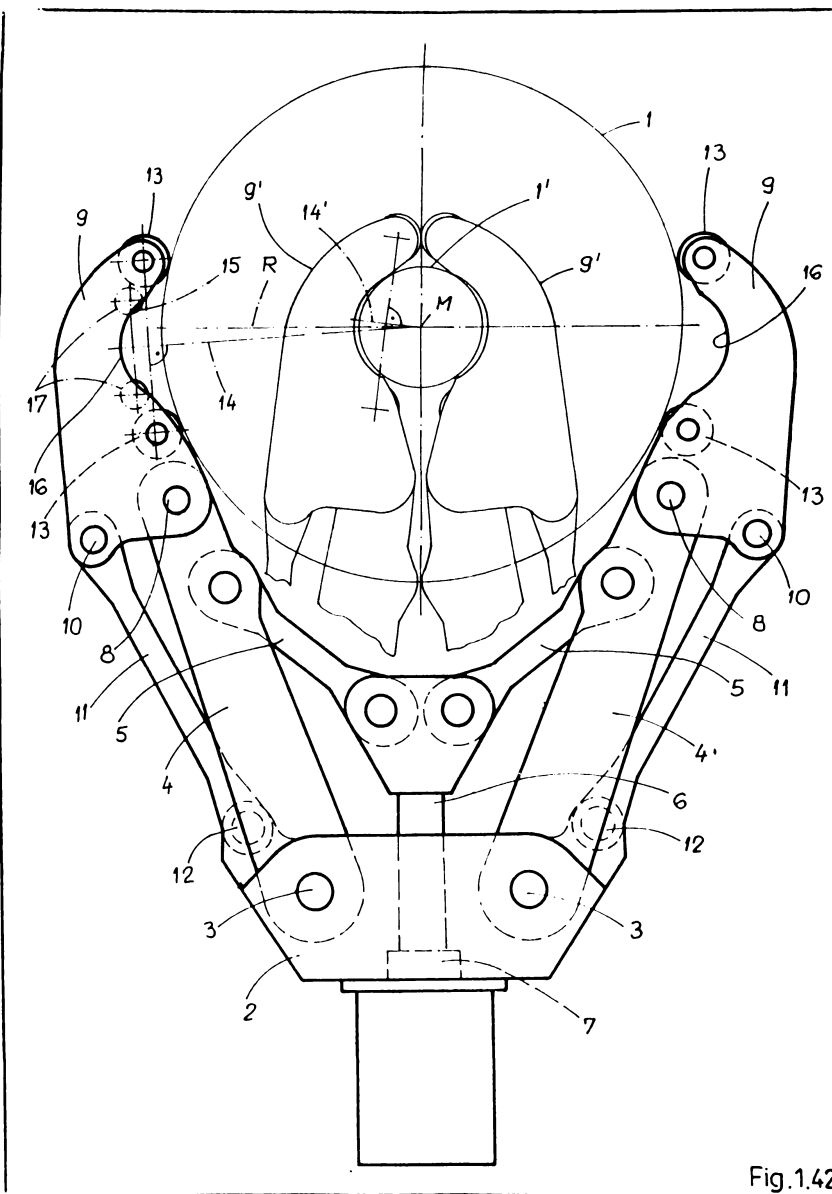


Fig.1.42.

[Q1] (vezi fig.1.37, fig.1.38 si fig.1.39) unde centrarea se realizeaza prin conducerea in miscare plana a bacurilor, prin succesiunea de pozitii prezentata in fig.1.36. Ramine totusi deficitara, prezenta cuplei/cuplelor superioare, a gabaritului longitudinal exagerat si a constructiei complicate.

Eliminarea cuplelor superioare este rezolvata in [B8] si [V7] (a se vedea fig.1.42), dar raman deficitare problemele gabaritului longitudinal exagerat, a constructiei complicate (inca) si mai ales a preciziei centrarii (inca neoptimizata).

Documentarea pentru acest prim capitol a constat in consultarea a circa 30000 pagini de manuale, articole sau prospecte (existente in dotarea "Colectivului de robotica industriala", a "Catedrei de organe de masini si mecanisme", sau a bibliotecii "Institutul politehnic Traian Vuia" din Timisoara). Dintre acestea doar in cele codificate la bibliografie cu [A1], [B1], [B2], [B8], [C1], [C2], [C3], [D1], [D2], [D3], [D4], [D5], [D7], [E1], [E2], [G1], [H1], [H2], [I1], [I2], [K1], [K2], [K3], [K4], [K5], [K6], [K14], [K17], [K18], [L1], [M1], [M2], [P1], [P2], [Q1], [Q2], [R1], [S1], [U1], [V1], [V2], [V3], [V7], [W1], [*1], [*2], [*3], [*4], [*5], [*6], [*7], [*8], [*9], [*10], [*11], [*12], [*13], [*14], [*15], [*16], [*17], [*18], [*19], [*20], [*21] si [*22], s-au gasit referiri la dispozitivele de prehensiune "prezentind interes", in sensul amintit la subcap.1.2, pentru aceasta lucrare. Toate referirile la dispozitivele de prehensiune care pot asigura centrarea s-au inclus in acest capitol. Rezulta ca problema centrarii este insuficient tratata in literatura de specialitate si de aici se releva oportunitatea prezentei lucrari in abordarea acestui domeniu.

Luind in considerare cele expuse pina acum, autorul considera ca la sinteza mecanismelor dispozitivelor de prehensiune din punctele de vedere structural/constructiv/al preciziei de centrare, este bine:

- sa fie eliminate cuplele superioare (implica uzinare grea si uzuri rapide, alaturi de intretinerea dificila);
- in limitele posibilului, sa fie eliminate cuplele de translatie (din aceleasi motive ca mai sus), pastrarea lor fiind necesara doar in cadrul mecanismului de actionare (cupla piston-cilindru a motorului liniar pneumatic prezent in circa 90% din cazuri la actionarea

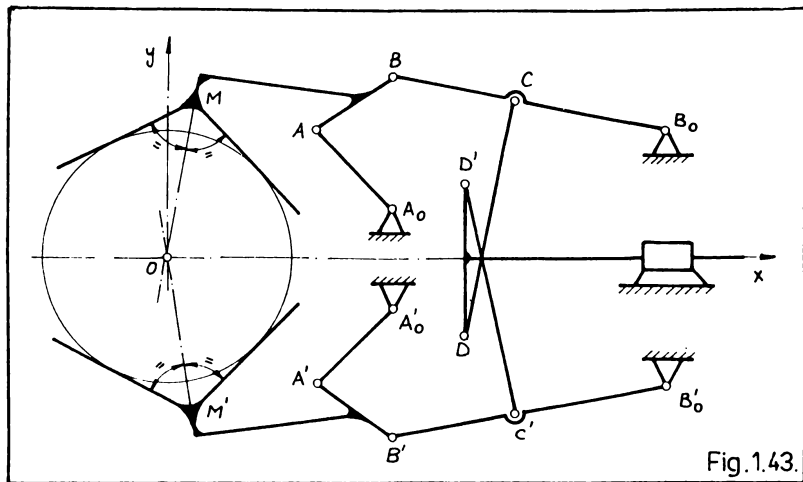


Fig.1.43.

dispozitivelor de prehensiune).

- sa fie minimezele erorile de centrare pentru mecanismele purtatoare incluse in mecanismele de prehensiune luate in consideratie.

In concluzie, autorul propune ca pentru realizarea unei centrari (dupa axa) cit mai exacta a pieselor cilindrice de diferite diametre, sa se procedeze la alegerea/determinarea ca in fig.1.36, a unui numar de doua/trei/PATRU pozitii de precizie pentru bacul-prisma (se va arata mai tarziu, in subcap.8.3, de ce nu si "cinci" pozitii de precizie, "patru" fiind numarul de pozitii din preocuparile autorului, intrucit asigura precizia maxima cu schema propusa in continuare).

Pentru aceste pozitii impuse in cadrul unui ecart de diametre, centrarea se face fara eroare teoretica, urmând ca datorita mecanismului purtator sintetizat pe baza pozitiilor, erorile intermediare sa nu depaseasca valori tehnice admisibile (care nu trebuie considerate la "soft"-ul robotului industrial). Mecanismul purtator obtinut prin sinteza pozitionala trebuie sa fie un mecanism patrulater (care elimina neajunsurile mai sus semnalate ale cuprelor de translatie/supericare), iar mecanismul de actionare (transmisia) cel mai simplu posibil ar urma sa fie de tipul piston-manivela. Schema corespunzatoare a dispozitivului de prehensiune ar urma sa fie cea din fig.1.43 (se va arata mai tarziu, in cap.8, de ce punctul figurativ al cuplei "C" va fi situat pe elementul "BoB").

S-a ajuns, conform rationamentelor de mai sus, la necesitatea de a sintetiza mecanisme patrulater ca mecanisme purtatoare de pozitionare (in sensul disciplinei "Mecanisme"). Pentru dispozitivele de prehensiune cu schema propusa in fig.1.43. Teoria sintezei acestui tip de mecanism (patrulater) este (dupa cum se va vedea in cap.2) destul de veche (ca incepaturi), dar inca actuala (conform cap.3), perfectibila (dupa cum se va vedea in cap.4/5/6/7) si chiar simplificabila (optimizabila) in sensul reducerii volumului/complexitatii calculelor si al cresterii preciziei (se va vedea in cap.8).

Preocuparile autorului, in sensul sintezei propuse mai sus, au inceput in 1983 cu [M14], [M13] si au continuat cronologic cu [P12], [G2], [C4], [B7], pînă în prezent. Alte lucrări "adiacente" celor amintite, au fost apelate, conform uzantelor, in "apropierea" locului lor de "utilizare".

2. STADIUL ACTUAL AL SINTEZEI MECANISMELOR DE POZITIONARE CU "CERCURI SUPORT"

"Cercurile suport" sunt realizate de manivelele/balansierele mecanismelor patrulatere. Aceste mecanisme (alaturi de mecanismele piston-manivela) ar fi cele mai simple mecanisme articulate imaginabile ca "mecanism purtatoare", in constructia dispozitivelor de prehensiune. Se va arata mai taziu ca mecanismele patrulater (in acceptiunea propunerilor de sinteza conform finalului cap.1) sunt singurele care ofera o constructie "simetrica" dispozitivului de prehensiune (in care cupla de translatie a actionarii este unica) deosebindu-se in acest fel de aceleia care utilizeaza ca mecanism purtator, mecanismul piston-manivela.

In acest fel, se releva motivatia abordarii unui capitol cu acest titlu.

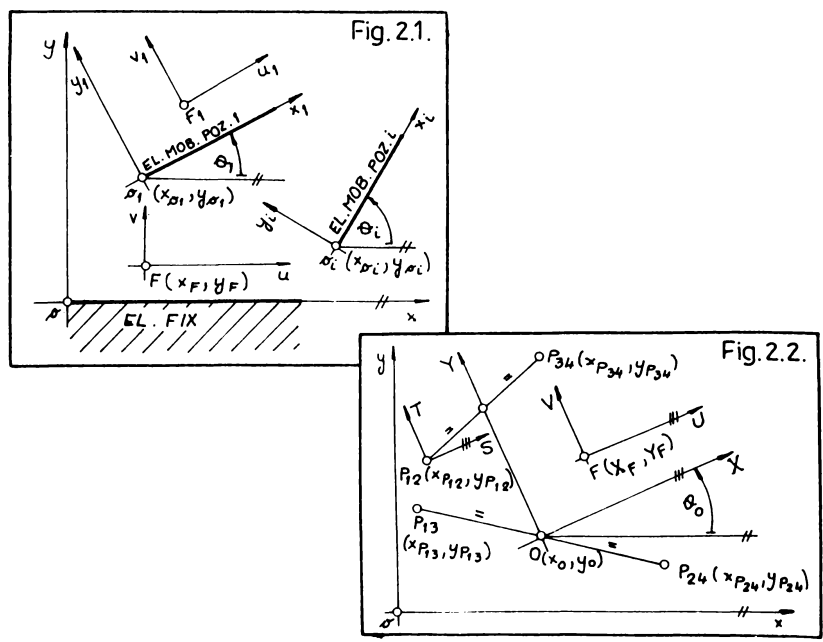
2.1. Conventia de notatii

Desi principiul unei cercetari bibliografice este de a păstra figurile si notatiile autorilor, in prezentă lucrare se va face o convenție unitara pentru notatiile, ce urmează a fi utilizate in continuare si in capitolele originale.

In fig. 2.1 se disting notatiile referitoare la sistemul de axe "xoy" al Elementului FIX fata de care se repereaza sistemul de axe "x_io_iy_i" al Elementului MOBIL "surprins" in POZitia "i" sau sistemul "x_io_iy_i" al Elementului MOBIL "surprins" in POZitia "i" (in general in aceasta lucrare "i=1/2/3/4"). S-au mai notat cu "F" sau "F_i" focarele curbelor de sinteza (se va reveni asupra notiunii) in planul fix sau mobil si cu "uFv" sau "u_iF_iv_i" sistemele de axe corespunzatoare, translate fata de "xoy" sau "x_io_iy_i".

In fig.2.2 se disting o parte din polii "P_{ij}" ai rotatiilor finite (se va reveni asupra notiunii) corespunzatori la patru pozitii impuse planului mobil ("i=4").

In legatura cu formatia "patrulater de contrapoli" se defineste un sistem de axe "XOY" de tip "intrinsec" (cu originea la jumalatea unei "diagonale" si axa OY - axa "medie"/axa "Newton-Gauss" - trecind prin mijlocul celeilalte diagonale). In



focalul din acest sistem intrinsec, se repereaza sistemul translatat "UFV".

In fig.2.3 se disting notatiile corespunzatoare unui mecanism patrulater functionind ca mecanism purtator intr-un dispozitiv de prehensiune care ar urma sa asigure succesiunea de pozitii ca in fig.1.38.

Mediatoarea unui segment a fost notata " m " cu indici formati din capetele segmentului (ex: " $mA1A2$ ") ca in fig.2.4.

In afara celor mai sus amintite, se vor indicia cu un alt treilea indice (ex: " $P231$ ") polii rotatiilor finite corespunzatori "misiuni inverse" (observatorul solidar cu elementul mobil) a elementului fix in raport cu cel mobil. O notatie asemanatoare va fi folosita pentru polii " Q " (ex: " $Q23$ " respectiv " $Q231$ "). In general un singur indice "1" (sau altul treilea indice "1") releva apartenenta punctului indicat la pozitia data de indicele respectiv (ex:focalul " F " sau " $F1$ ", punctul principal " P " sau " $P1$ ", punctul Newton " N " sau " $N1$ ", punctul Gauss " G " sau " $G1$ ", punctele nodale " N' "/" N'' " sau " N'_1 "/" N''_1 ").

Cu prescurtarile "AXA N-G", "ASI.", "TG. I", "TG. \perp " si "INFL." s-au notat dreptele importante cu denumirile complete "axa medie/Newton-Gauss", "asimptota", "tangente paralele cu asimptota", "tangente perpendiculare pe asimptota" respectiv "suportul punctelor de inflexiune". Cu un singur indice s-au specificat si puncte importante ("I1/I2/I3"-de inflexiune, "T1/T2/T3/T4"-de tangenta cu "TG. I", "T5/T6"-de tangenta cu "TG. \perp ", "T7/T8"-de intersectie cu "TG. \perp ").

S-au mai folosit notatiile " X_a, Y_a, Z_a " pentru "coordonatele omogene". Cu "A, B, C, D, E, F, G, H, I, W" au fost notati coeficientii in diferite ecuatii, semnificatiile lor recunoscindu-se dupa tipul ecuatiei si al variabilelor (sistemului de axe) in fata carora apar.

2.2. Sinteza bipozitionala

Pentru cazul cind se impun doua pozitii bacului-prisma, conform [A2], [D7], [H3], [H4], [K7], [K9], [K11], [K12], [M3], [M4], [P3], [PS] si [S2], si pentru a diminua erorile de centrage prezентate in cap.1, autorul considera ca solutia este

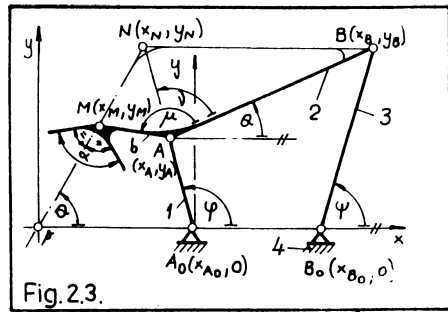


Fig. 2.3.

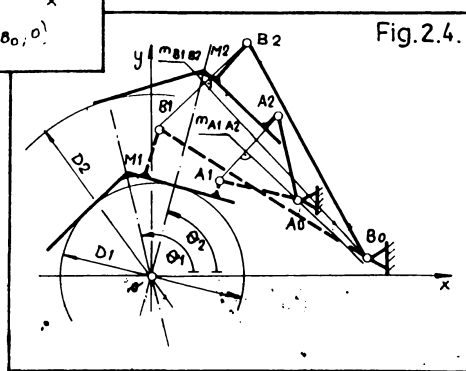
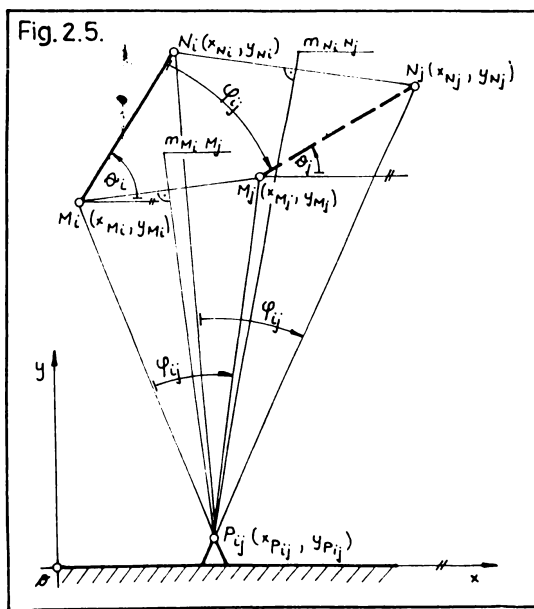


Fig. 2.4.



problemei nu este posibila printr-o conexiune "KA(-2)" ci numai prin două conexiuni "KB(-1)", cele notate "AoA" și "BoB" în fig.1.42. În acest caz se vor alege convenabil articulațiile "A" și "B" în cele două poziții impuse ("A1" și "A2", "B1" și "B2"). Articulațiile cu elementul fix "Ao" și "Bo" se vor alege convenabil pe mediatoarele corespunzătoare "mA1A2" respectiv "mB1B2" (vezi fig.2.4). Abordarea analitică a acestei probleme începe cu determinarea coordonatelor punctului "M1" și "M2" (din diametrele impuse "D1" și "D2" pe care "calca" prismele și din impunerea unghiurilor "θ1" și "θ2"). După alegerea coordonatelor punctelor "A1" și "B1", acestea servesc la determinarea coordonatelor punctelor "A2" și "B2". Se pot scrie ușor ecuațiile mediatoarelor "mA1A2" și "mB1B2", alegerea/determinarea coordonatelor punctelor "Ao" și "Bo" fiind apoi imediata.

2.2.1. Pol al rotației finite în planul fix

Rezolvarea problemei sintezei bipozitionale printr-o conexiune "KA(-2)" ar fi presupus alegerea punctului figurativ a cuplei de rotație a baculu lui fata de elementul fix, în chiar polul rotațiilor finite determinat de pozițiile impuse.

Având nevoie mai târziu de relațiile pentru determinarea coordonatelor polilor rotațiilor finite, s-au notat în fig.2.5 pozițiile "i" și "j" ale elementului mobil (determinate fiecare prin tripletul de date "xMi", "yMi", "θi" respectiv "xMj", "yMj", "θj").

Polul rotațiilor finite va avea, conform [K7]/[P4], coordonatele "xPij" și "yPij" date de

$$x_{Pij} = \frac{(x_{Mj} + x_{Mi}) \cdot (1 - \cos \varphi_{ij}) - (y_{Mj} - y_{Mi}) \cdot \sin \varphi_{ij}}{2 \cdot (1 - \cos \varphi_{ij})} \quad (2.1)$$

$$y_{Pij} = \frac{(x_{Mj} - x_{Mi}) \cdot \sin \varphi_{ij} + (y_{Mj} + y_{Mi}) \cdot (1 - \cos \varphi_{ij})}{2 \cdot (1 - \cos \varphi_{ij})} \quad (2.2)$$

unde " φ_{ij} " este unghiul rotației finite dat de

$$\varphi_{ij} = \theta_j - \theta_i \quad (2.3)$$

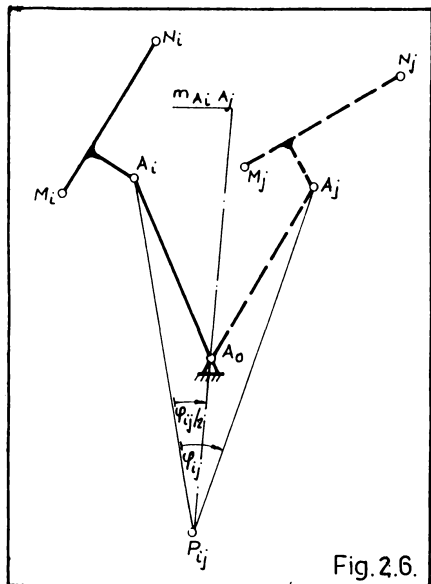


Fig. 2.6.

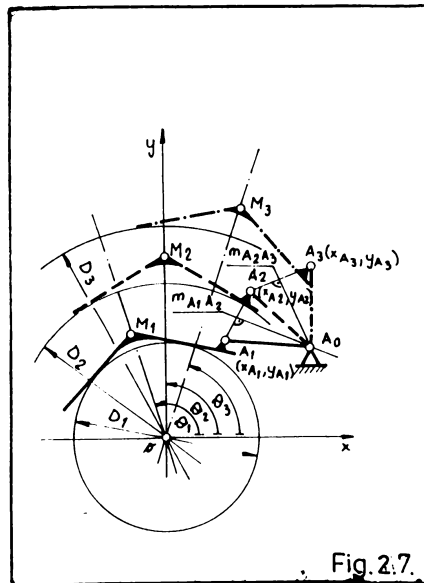


Fig. 2.7.

2.2.2. O proprietate a polului rotatiei finite fata de conexiunea "KB(-1)"

In legatura cu doua pozitii carecare "i" si "j" ale elementului mobil (vezi fig.2.6), odata determinat polul rotatiei finite se poate proceda la alegerea punctului figurativ al couplei de rotatie mobile "Ai" si corespunzator "Aj". Evident mediatoreala "mAiAj" va trece prin polul rotatiilor finite "Pij". Punctul figurativ al articulatiei fixe "Ao" poate fi ales doar pe "mAiAj". Se mentioneaza in legatura cu cele de mai sus (conform [K9] si [K13]) urmatoarea proprietate:

"Dintron pol al rotatiei finite "Pij", conexiunea "KB(-1)" (elementul dintre "Ao" si "Ai/Aj") introduusa pentru a permite trecerea elementului mobil din pozitia "i" in pozitia "j", se vede sub un unghi egal cu semiunghiul rotatiilor finite " $\varphi_{ij}/2$ "

2.3. Sinteză tripozitională

Pentru cazul cind se impun trei pozitii bacului-prisma, in aceleasi conditii ca mai sus, dupa alegerea convenabila a articulatiei "A" in cele trei pozitii impuse ("A1/A2/A3"), articulatia "Ao" se va obtine ca in fig.2.7 la intersectia mediatoarelor "mA2A3" si "mA1A2" (conform [A2], [D7], [H3], [H4], [K7], [K9], [K11], [K12], [M3], [M4], [P3], [P5], [S2] si [V7]). In acest fel s-a determinat o conexiune "KB(-1)" (elementul dintre "Ao" si "A1/A2/A3") cu care bacul/prisma (biela) trebuie "legat" la elementul fix. In mod similar se poate proceda cu a doua conexiune "KB(-1)" necesara (elementul refigurat dintre "Bo" si "B1/B2/B3").

Intrucit se va utiliza ulterior, este necesar sa se specifica in acest subcapitol, conform [P3], [K7] si [K9], relatiile analitice de determinare a coordonatelor centrului "Ao(xAo,yAo)" al cercului determinat de trei puncte "A1(xA1,yA1)", "A2(xA2,yA2)" si "A3(xA3,yA3)". Acestea sunt

$$x_{Ao} = \frac{\begin{vmatrix} (x_{A2}^2 + y_{A2}^2) - (x_{A1}^2 + y_{A1}^2) & y_{A2} - y_{A1} \\ (x_{A3}^2 + y_{A3}^2) - (x_{A1}^2 + y_{A1}^2) & y_{A3} - y_{A1} \end{vmatrix}}{2 \cdot \begin{vmatrix} x_{A2} - x_{A1} & y_{A2} - y_{A1} \\ x_{A3} - x_{A1} & y_{A3} - y_{A1} \end{vmatrix}} \quad (2.4)$$

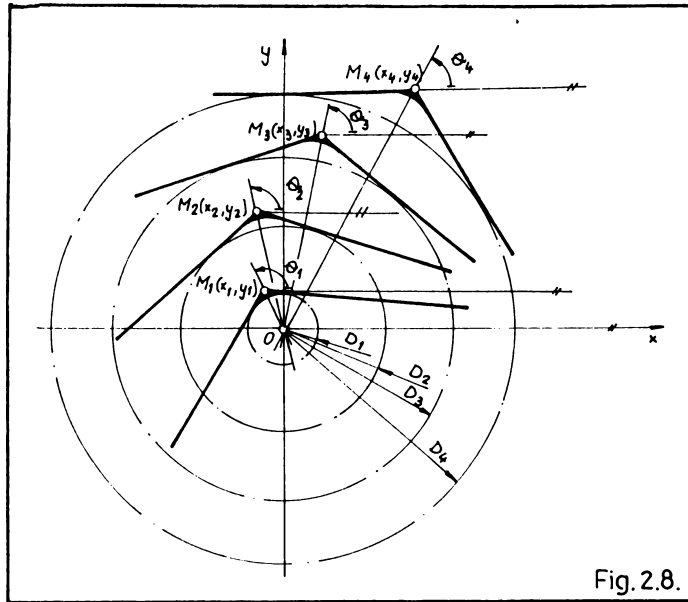


Fig. 2.8.

$$y_{A0} = \frac{\begin{vmatrix} (x_{A2}^2 + y_{A2}^2) - (x_{A1}^2 + y_{A1}^2) & x_{A2} - x_{A1} \\ (x_{A3}^2 + y_{A3}^2) - (x_{A1}^2 + y_{A1}^2) & x_{A3} - x_{A1} \end{vmatrix}}{-2 \cdot \begin{vmatrix} x_{A2} - x_{A1} & y_{A2} - y_{A1} \\ x_{A3} - x_{A1} & y_{A3} - y_{A1} \end{vmatrix}} \quad (2.5)$$

La sinteza bipozitionala si tripozitionala amintite mai sus, s-a inceput prin alegerea articulatiilor mobile ale conexiunilor "KB(-1)", procedindu-se apoi la determinarea articulatiilor fixe ale acestei conexiuni prin care elementul mobil se "leaga" la elementul fix. Prin considerarea miscarii "inverse" (elementele fix si mobil isi schimba rolul, dar isi pastreaza pozitiile relative), procedindu-se similar, dupa alegerea articulatiilor "fixe" se vor determina cele mobile.

In cazul sintezei tripozitionale, conform [K11], [M3] si [M4], se pune problema determinarii articulatiei fixe si a determinarii articulatiei mobile ale conexiunii KB(-1) cu ajutorul triunghiului polilor si a unor proprietati remarcabile ale acestuia.

Metoda este mai dificila de abordat analitic, de aceea nefiind utilizata in continuare, nu s-a expus.

2.4. Sinteză patrupozitională

Problemele sintezei patrupozitionale sunt mult mai complexe decit cele anterioare. In subcapitolele urmatoare, ele sunt "recapitulate" pornind de la notiuni "initiale" strict necesare "intelegerii" rationamentului "prezent" cit si pentru a crea "bazele" pe care s-au dezvoltat capitolele "originale" ale lucrarii.

2.4.1. Poli ai rotatiilor finite in planul fix si in planul mobil.

Patrulatere complete de contraponi. Punctul lui Miquel.

Pentru cazul cind se impun patru pozitii bacului-prisma (biela), ca in fig.2.8, pentru doua cite doua din acestea (notate cu "i" si "j" in fig.2.5), se pot determina cei sase

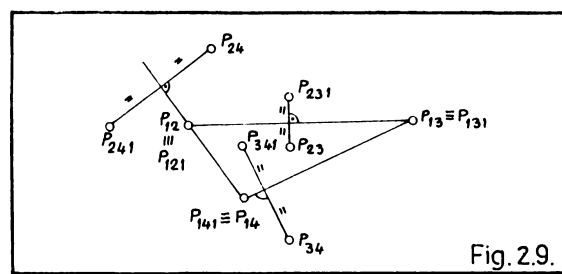


Fig. 2.9.

poli ai rotatiilor finite prin coordonatele lor date de relatiile (2.1) si (2.2). Acesti poli aparțin planului fix "xoy" și sunt în număr de sase ("P12, P13, P14, P23, P24, P34"). În miscarea "inversă" rezultă tot sase poli ai rotatiilor finite. Dacă poziția în care se "fixează" elementul mobil este "1" atunci polii rotatiilor finite din planul "1" se notează cu "P121, P131, P141, P231, P241, P341".

Conform [K11], [M3], [M4] și [P3], coincid următoarele perechi de puncte

$$P12 \equiv P121 ; P13 \equiv P131 ; P14 \equiv P141$$

iar celelalte puncte pot fi determinate, după fig.2.9, prin simetrii fata de laturile corespunzătoare ale triunghiului polilor comuni.

Se va lucra în continuare cu polii rotatiilor finite din planul fix, concluziile obținute fiind valabile pentru miscarea inversă raportată la elementul mobil în poziția "1" dacă s-ar considera polii rotatiilor finite din planul "1", amintiti mai sus.

Dintr-un set de sase poli ai rotatiilor finite se pot selecta (conform [K11], [M3], [M4] și [P3]) trei perechi de "poli opusi" sau "contrapoli" (fara indici comuni):

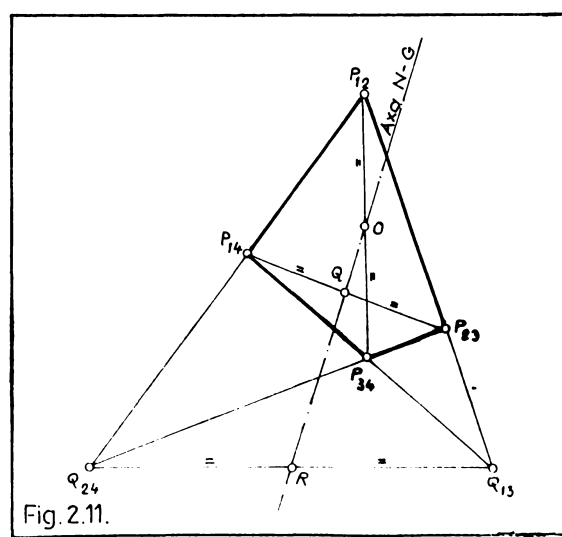
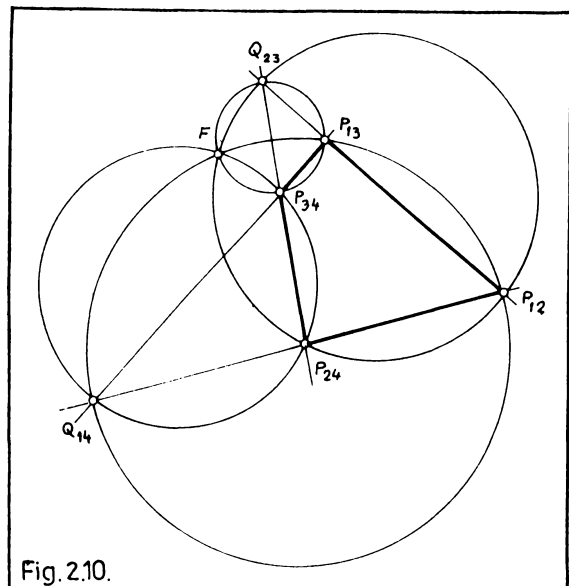
$$P12 - P34 ; P13 - P24 ; P14 - P23$$

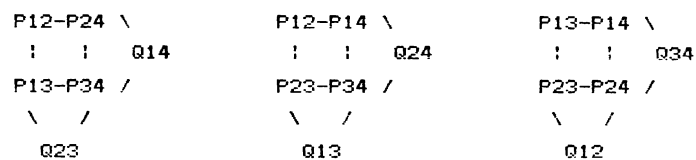
Cu cîte două diagonale la capetele carora sint contrapoli, se pot forma trei "patrulatere de contrapoli":

P12 - P24	P12 - P14	P13 - P14
: :	: :	: :
P13 - P34	P23 - P34	P23 - P24

Conform [K11], [M3], [M4], [P3], și [B3], se numește "Patrulater complet de contrapoli" unul dintre patrulaterele de mai sus completat cu "polii Q", obținuti la intersectia prelungirilor laturilor, opuse dintr-un patrulater de contrapoli.

Cele trei patrulatere complete de contrapoli (se poate constata jocul indicilor la notarea polilor "Q") sint:





In fig.2.10 se arata primul dintre patrulaterele complete de contrapoli amintite. Construind conform [K11], [M3], [M4], [P3], si [B3], cele patru cercuri circumscrise triunghiurilor de forma "QijPilPik" (un indice comun) se constata ca ele se intersecteaza toate intr-un punct comun-focarul "F" (conform unei teoreme a matematicianului Miquel), de unde si denumirea acestui punct (punctul Miquel).

Conform [K11], [M3], [M4], [P3], si [B3], se numesc diagonale intr-un patrulater complet de contrapoli, segmentele ce unesc polii opusi respectiv polii "Q" corespunzatori (rezulta astfel trei diagonale pentru un patrulater complet).

In fig.2.11 se arata (conform teoremei Newton-Gauss din [B3]), ca mijloacele diagonalelor dintr-un patrulater complet de contrapoli sint coliniare.

Dreapta ce trece prin cele trei puncte coliniare "O", "O" si "R" se numeste "axa Newton-Gauss" sau "axa medie" a patrulaterului respectiv de contrapoli.

Remarcabil este faptul ca utilizarea oricaruiuia dintre cele trei patrulatere complete de contrapoli amintite mai sus si referente unei succesiuni de patru pozitii impuse planului mobil, conduce la un acelasi focar-punct Miquel si o aceeasi axa medie.

2.4.2. Teorema izovizibilitatii

In cadrul sintezei bipozitionale pentru a determina o conexiune "KB(-1)" exista o tripla infinitate de posibilitati (o dubla infinitate la alegerea articulatiei mobile in planul mobil si o simpla infinitate la alegerea articulatiei fixe pe mediatoare). In cadrul sintezei tripozitionale pentru a determina o conexiune "KB(-1)" exista o dubla infinitate de posibilitati (o dubla infinitate la alegerea articulatiei mobile in planul mobil, articulatia fixa fiind determinata la intersectia celor doua mediatoare-a se vedea fig.2.7).

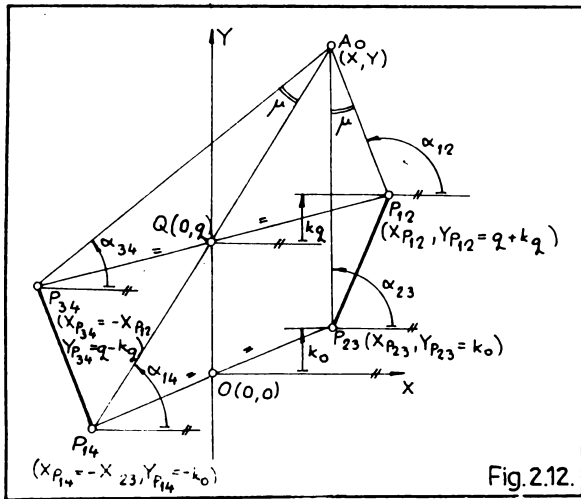


Fig. 2.12.

, In cadrul sintezei patrupozitionale (mergind in sensul restrangerii numarului de solutii) exista o singura infinitate de solutii (articulatiile mobile/fixe vor apartine unor curbe-loc geometric, una in planul mobil, alta in planul fix, doua cite doua puncte de pe aceste curbe fiind conjugate -"capetele" aceleasi conexiuni "KB(-1)".

Aceste curbe-loc geometric au fost amintite pentru prima data in [B4] si de atunci poarta numele de "curbe de sinteza ale lui Burmester" ("curba centrelor" - in planul fix, locul geometric al articulatiilor fixe si "curba punctelor cercuale" - in planul mobil, locul geometric al articulatiilor mobile delimitatoare ale conexiunii "KB(-1)" amintite).

In [A3], [D8], [D9], [D10], [D11], [D12], [H3], [H4], [K11], [M3], [M4] si [P3], etc., se trateaza problema acestor curbe, relevindu-se in legatura cu acestea "teorema izovizibilitatii":

"Din centrele/punctele de pe curba centrelor/punctelor, laturile opuse dintr-un patrulater de contrapoli ai planului fix/mobil se vad sub unghiuri egale"

2.4.3. Ecuatia Lichtenheldt a curbelor Burmester

Abordarea analitica a problemei sintezei patrupozitionale pe baza curbelor Burmester este facuta pentru prima data in [L2] si reluata in [A3], [D8], [D9], [D10], [D11], [D12], [H3], [H4], [K7], [K8], [K10], [K11], [K12], [K13], [M3], [M4], [P3], [P4].

Se adopta un "sistem de axe intrinsec" legat de un patrulater de contrapoli ca in fig.2.12, unde axa "OY" este chiar axa Newton-Gauss.

Presupunind ca "Ao(X,Y)" este un centru al curbei centrelor, bazat pe teorema izovizibilitatii ("P34AoP14= P23AoP12" sau egalitatea tangentelor acestor unghiuri) se pot exprima tangentele unghiurilor cu ajutorul coordonatelor polilor rotatiilor finite din fig.2.12 prin relatie

$$\frac{\frac{Y - Y_{P12}}{X - X_{P12}} - \frac{Y - Y_{P23}}{X - X_{P23}}}{1 + \frac{Y - Y_{P12}}{X - X_{P12}} \cdot \frac{Y - Y_{P23}}{X - X_{P23}}} = \frac{\frac{Y - Y_{P14}}{X - X_{P14}} - \frac{Y - Y_{P34}}{X - X_{P34}}}{1 + \frac{Y - Y_{P14}}{X - X_{P14}} \cdot \frac{Y - Y_{P34}}{X - X_{P34}}} \quad (2.6)$$

Dezvoltind (2.6) si tinind cont de inlocuirile unora din coordonatele specificate pe fig.2.12, se obtine ecuatia curbei centrelor in "sistemul intrinsec" sub forma

$$X \cdot (X^2 + Y^2) - A \cdot (X^2 - Y^2) - B \cdot X \cdot Y - C \cdot X - D \cdot Y + E = 0 \quad (2.7)$$

unde

$$A = (X_{P23} \cdot k_0 - X_{P12} \cdot k_q)/q \quad (2.8)$$

$$B = (X_{P12}^2 - X_{P23}^2 + k_0^2 - k_q^2 + q^2)/q \quad (2.9)$$

$$C = X_{P23}^2 - k_0^2 \quad (2.10)$$

$$D = 2 \cdot k_0 \cdot X_{P23} \quad (2.11)$$

$$E = [(X_{P12} \cdot k_0 - X_{P23} \cdot k_q) \cdot (X_{P12} \cdot X_{P23} + k_0 \cdot k_q) + q^2 \cdot k_0 \cdot X_{P23}]/q \quad (2.12)$$

Ecuatia (2.7) va fi denumita dupa cel care a pus-o in evidenta, "ecuatia Lichtenheldt".

2.4.3.1. Axa Newton-Gauss. Focarul.

Asimptota. Identitati intre coeficienti.

!

Axa "Newton-Gauss" ("axa medie"/"axa OY"), se construieste conform fig.2.11 si subcap.2.4.1. Ecuatia acestei axe este

$$X = 0 \quad (2.13)$$

In acelasi "sistem intrinsec" coordonatele focarului sint

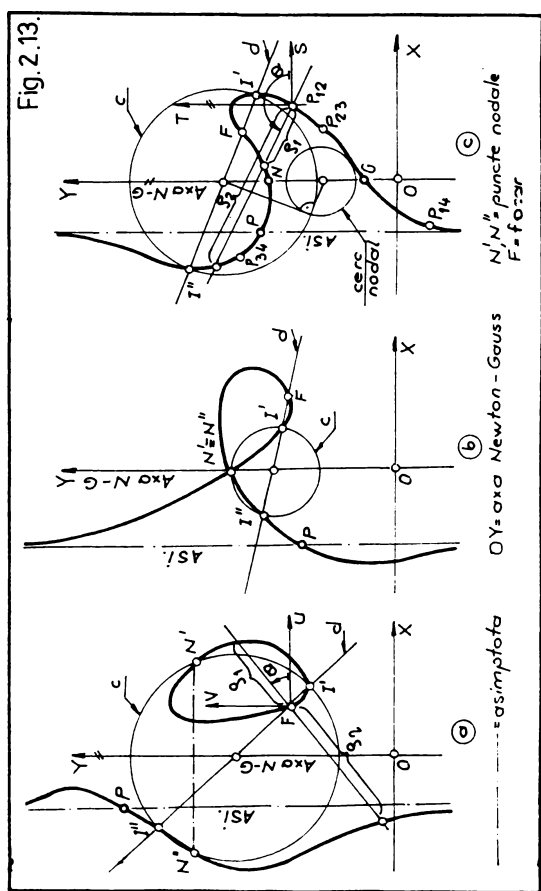
$$X_F = A \quad (2.14)$$

$$Y_F = B/2 \quad (2.15)$$

Curba data de (2.7), are o asimptota de ecuatie

$$Y = -A \quad (2.16)$$

Fig. 2.13.



Se releva o identitate intre coeficientii dati de (2.8)...(2.12), sub forma

$$2 \cdot A \cdot C = 2 \cdot E - B \cdot D \quad (2.17)$$

Din cele de mai sus rezulta:

"Curba centrelor/punctelor este o cubica focală (focalul situat pe curba) care are o asymptota paralela cu axa Newton-Gauss situata de partea opusa focalului fata de aceasta axa, la o aceeasi distanta".

Prezenta grupului " X^2+Y^2 " semnifica faptul ca aceasta curba este o "ciclica" (trece prin punctele de la infinit ale planului care au "coordonatele omogene $(1,i,0)$ si $(1,-i,0)$ ").

2.4.3.2. Tipurile curbelor Burmester

Tipurile curbelor de sinteza pot fi diferențiate funcție de semnul expresiei:

$$EXP = \frac{E}{A} - \left(\frac{D}{2 \cdot A} \right)^2 \quad (2.18)$$

Daca " $EXP > 0$ " curba centrelor/punctelor are două ramuri și arată calitativ ca în fig.2.13.a.

Daca " $EXP = 0$ " curba centrelor/punctelor are un punct dublu și arată calitativ ca în fig.2.13.b.

Daca " $EXP < 0$ " curba centrelor/punctelor are o singură ramură și arată calitativ ca în fig.2.13.c.

Este puțin probabil ca din patru pozitii oarecare prescrise să fie satisfacuta relatia " $EXP=0$ ", deci curba cu o singura ramură și cu punct dublu ar fi forma cea mai rar intalnita.

Pentru anumite configuratii ale patrulaterelor complete de contrapoli, curbele de sinteza Burmester iau forme particulare, pe larg prezентate in bibliografia amintita la subcap.2.4.3.

Din gradul curbei (trei), din gradul unei drepte oarecare (unu) și conform teoremei lui Bezout, rezulta ca in general o dreapta are in comun cu curba centrelor/punctelor, trei puncte (care pot fi toate reale sau numai unul real).

Interesant este ca asymptota are in comun cu curba

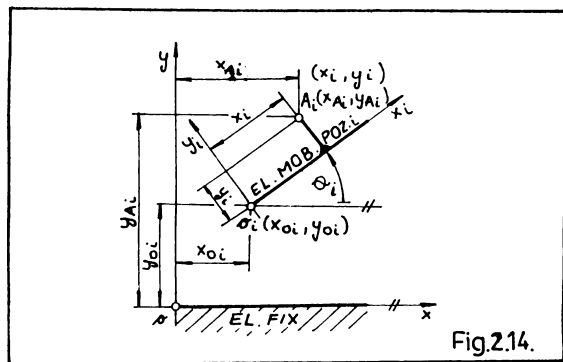


Fig.2.14.

centrelor/punctelor un punct real la distanta finita si doua puncte reale la distanta infinita, rezultind astfel ca aceste curbe de sinteza sunt tangente la distanta infinita cu asimptota, de o parte si de cealalta a ei.

Există metode grafice de trasare a curbelor de sinteza cum ar fi "metoda intersectiei a două fascicole de cercuri (Alt)" bazată pe teorema izovizibilității și "metoda intersectiei unui fascicol de cercuri cu un fascicol de drepte ce trec prin focar", (cele trei forme din fig.2.13,a,b,c corespunzând respectiv construcțiilor "cu puncte nodale distincte", "cu puncte nodale confundate/cu cerc nodal de raza nula" sau "cu cerc nodal").

Polii rotațiilor finite "Pij" aparțin curbei de sinteza (se poate demonstra cu ajutorul metodei Alt) iar polii "Qij" aparțin și ei curbei de sinteza (bazat teorema izovizibilității).

2.4.4. Ecuatia Perju a curbelor

Burmester. Asimptota.

Dacă se impun patru pozitii planului mobil (conform fig.2.14 cu "i=1,2,3,4"), ecuația curbei punctelor a lui Burmester a fost regasită sub alta formă decit (2.7) pentru prima dată în [P6] și apoi reluată în [K7], [K9] și [P3].

Între coordonatele din cele două sisteme ("xoy" și ("xioiyi") pentru punctul "A" există relațiile de transformare punctuala (conform [*23])

$$x_{Ai} = x_{oi} + x_i \cdot \cos \theta_i - y_i \cdot \sin \theta_i \quad (2.19)$$

$$y_{Ai} = y_{oi} + x_i \cdot \sin \theta_i + y_i \cdot \cos \theta_i \quad (2.20)$$

în care "xoi", "yoi" și " θ_i " sunt parametrii de poziționare ai elementului mobil în raport cu cel fix.

Se cauta punctele din planul mobil care în cele "i=4" poziții ale acestuia, să se gasească pe un același cerc, fiind astfel capabile să devină articulații mobile ale conexiunilor "KB(-1)" amintite în subcapitolele anterioare.

Pornind de la ecuația sub forma de determinant [*23] a cercului ce trece prin trei puncte (cele indicate cu "2,3,4"),

conditia matematica care impune ca si al patrulea punct (indicat cu "1") sa se situeze pe un acelasi cerc, este

$$\begin{vmatrix} x_{A1}^2 + y_{A1}^2 & x_{A1} & y_{A1} & 1 \\ x_{A2}^2 + y_{A2}^2 & x_{A2} & y_{A2} & 1 \\ x_{A3}^2 + y_{A3}^2 & x_{A3} & y_{A3} & 1 \\ x_{A4}^2 + y_{A4}^2 & x_{A4} & y_{A4} & 1 \end{vmatrix} = 0 \quad (2.21)$$

Scrazind prima linie a determinantului (2.21) din celelalte linii, dezvoltind apoi determinantul de rang "3" astfel obtinut si tinind cont de (2.19) si (2.20), rezulta ecuatia punctelor cercuale tot sub forma unei cubice ciclice (in planul "x1oy1")

$$(x_1^2 + y_1^2) \cdot (A \cdot x_1 + B \cdot y_1 + W) + C \cdot x_1^2 + D \cdot y_1^2 + E \cdot x_1 \cdot y_1 + F \cdot x_1 + G \cdot y_1 + H = 0 \quad (2.22)$$

unde

$$A = \begin{vmatrix} p_2 & s_2 & t_2 \\ p_3 & s_3 & t_3 \\ p_4 & s_4 & t_4 \end{vmatrix} \quad (2.23)$$

$$B = \begin{vmatrix} q_2 & s_2 & t_2 \\ q_3 & s_3 & t_3 \\ q_4 & s_4 & t_4 \end{vmatrix} \quad (2.24)$$

$$W = \begin{vmatrix} r_2 & s_2 & t_2 \\ r_3 & s_3 & t_3 \\ r_4 & s_4 & t_4 \end{vmatrix} \quad (2.25)$$

$$C = \begin{vmatrix} p_2 & s_2 & v_2 \\ p_3 & s_3 & v_3 \\ p_4 & s_4 & v_4 \end{vmatrix} - \begin{vmatrix} p_2 & t_2 & u_2 \\ p_3 & t_3 & u_3 \\ p_4 & t_4 & u_4 \end{vmatrix} \quad (2.26)$$

$$D = - \begin{vmatrix} q_2 & s_2 & u_2 \\ q_3 & s_3 & u_3 \\ q_4 & s_4 & u_4 \end{vmatrix} - \begin{vmatrix} q_2 & t_2 & v_2 \\ q_3 & t_3 & v_3 \\ q_4 & t_4 & v_4 \end{vmatrix} \quad (2.27)$$

$$E = - \begin{vmatrix} p_2 & s_2 & u_2 \\ p_3 & s_3 & u_3 \\ p_4 & s_4 & u_4 \end{vmatrix} - \begin{vmatrix} p_2 & t_2 & v_2 \\ p_3 & t_3 & v_3 \\ p_4 & t_4 & v_4 \end{vmatrix} + \begin{vmatrix} q_2 & s_2 & v_2 \\ q_3 & s_3 & v_3 \\ q_4 & s_4 & v_4 \end{vmatrix} - \begin{vmatrix} q_2 & t_2 & u_2 \\ q_3 & t_3 & u_3 \\ q_4 & t_4 & u_4 \end{vmatrix} \quad (2.28)$$

$$F = \begin{vmatrix} p_2 & u_2 & v_2 \\ p_3 & u_3 & v_3 \\ p_4 & u_4 & v_4 \end{vmatrix} + \begin{vmatrix} r_2 & s_2 & v_2 \\ r_3 & s_3 & v_3 \\ r_4 & s_4 & v_4 \end{vmatrix} - \begin{vmatrix} r_2 & t_2 & u_2 \\ r_3 & t_3 & u_3 \\ r_4 & t_4 & u_4 \end{vmatrix} \quad (2.29)$$

$$G = \begin{vmatrix} q_2 & u_2 & v_2 \\ q_3 & u_3 & v_3 \\ q_4 & u_4 & v_4 \end{vmatrix} - \begin{vmatrix} r_2 & s_2 & u_2 \\ r_3 & s_3 & u_3 \\ r_4 & s_4 & u_4 \end{vmatrix} - \begin{vmatrix} r_2 & t_2 & v_2 \\ r_3 & t_3 & v_3 \\ r_4 & t_4 & v_4 \end{vmatrix} \quad (2.30)$$

$$H = \begin{vmatrix} r_2 & u_2 & v_2 \\ r_3 & u_3 & v_3 \\ r_4 & u_4 & v_4 \end{vmatrix} \quad (2.31)$$

in care pentru "j=2,3,4" s-a notat

$$p_j = 2 \cdot (x_{oj} \cdot \cos \theta_j - x_{o1} \cdot \cos \theta_1 + y_{oj} \cdot \sin \theta_j - y_{o1} \cdot \sin \theta_1) \quad (2.32)$$

$$q_j = 2 \cdot (-x_{oj} \cdot \sin \theta_j + x_{o1} \cdot \sin \theta_1 + y_{oj} \cdot \cos \theta_j - y_{o1} \cdot \cos \theta_1) \quad (2.33)$$

$$r_j = x_{oj}^2 - x_{o1}^2 + y_{oj}^2 - y_{o1}^2 \quad (2.34)$$

$$s_j = \cos \theta_j - \cos \theta_1 \quad (2.35)$$

$$t_j = \sin \theta_j - \sin \theta_1 \quad (2.36)$$

$$u_j = x_{oj} - x_{o1} \quad (2.37)$$

$$v_j = y_{oj} - y_{o1} \quad (2.38)$$

Considerind "miscarea inversa" (a elementului fix in raport cu cel mobil in pozitia "1", cu pastrarea pozitiilor relative) se poate stabili in mod asemanator ecuatia curbei centrelor sub forma

$$(x^2 + y^2) \cdot (A \cdot x + B \cdot y + W) + C \cdot x^2 + D \cdot y^2 + E \cdot x \cdot y + F \cdot x + G \cdot y + H = 0 \quad (2.39)$$

in care coeficientii se determina adevarand relatiile de mai sus.

Curbele date de (2.22)/(2.39) admit, dupa cum era de asteptat (prin faptul ca in fond sunt similare cu cele date de (2.7)), cte o asymptota de ecuatie

$$A \cdot (A^2 + B^2) \cdot x + B \cdot (A^2 + B^2) \cdot y + W \cdot (A^2 + B^2) + B^2 \cdot C + A^2 \cdot D - A \cdot B \cdot E = 0 \quad (2.40)$$

Daca se alege articulatia mobila "A1" a conexiunii "KB(-1)" pe curba data de (2.22), articulatia fixa poate fi determinata cu oricare trei din punctele "A1", "A2", "A3" sau "A4" prin relatiile (2.4), (2.5).

Curba centrelor din "miscarea directa" (a elementului mobil in raport cu cel fix) devine curba a punctelor in "miscarea

inversa" (a elementului fix in raport cu cel mobil).

In relatiile (2.7)/(2.22)/(2.39)/(2.40) s-a evideniat faptul ca ecuatiiile curbelor de sinteza sunt "cubice", "ciclice" si curbele "admit o asimptota".

Evident pentru a realiza un mecanism patrulater care sa asigure bielei o succesiune impusa, este necesar sa se determine doua conexiuni "KB(-1)" in modul descris mai sus.

Ecuatia (2.22)/(2.39) va fi denumita dupa cel care a pus-o in evidenta, "ecuatia Perju".

2.4.5. Metode analitice de determinare a punctelor/centrelor pe curbele de sinteza dimensionala

Pentru alegerea centrelor/punctelor este necesara cunoasterea a cit mai multor puncte de pe curbele de sinteza. Lucrarea de fata prezinta metodele analitice, considerind ca precizia acestora este hotaritoare fata de cele grafice (desi acestea prezinta o mare "doza de spectaculozitate").

O apreciere asupra metodelor descrise se face in cap.3. cu ocazia utilizarii lor.

2.4.5.1. Metoda dreptei variabile paralela cu abscisa.

In [K7], [K9], [P3], [P6], se porneste de la ecuatia unei drepte paralela cu abscisa

$$y = k \quad (2.41)$$

Care daca se inlocuieste in (2.39) si se ordoneaza dupa puterile lui "x" conduce la

$$a_3 \cdot x^3 + a_2 \cdot x^2 + a_1 \cdot x + a_0 = 0 \quad (2.42)$$

unde coeficientii "a0,a1,a2,a3" sunt dati de

$$a_3 = A \quad (2.43)$$

$$a_2 = B \cdot k + C + W \quad (2.44)$$

$$a_1 = A \cdot k^2 + B \cdot k + F \quad (2.45)$$

$$a_0 = B \cdot k^3 + (D + W) \cdot k^2 + G \cdot k + H \quad (2.46)$$

Ecuatia (2.42) poate fi rezolvata fie prin metode numerice, fie, in cele ce urmeaza, prin formulele lui Cardano (conform [23]). Se va trece mai intii la forma normala

$$x^3 + r \cdot x^2 + s \cdot x + t = 0 \quad (2.47)$$

unde coeficientii "r,s,t" sint dati de

$$r = a_2/a_3 \quad (2.48)$$

$$s = a_1/a_3 \quad (2.49)$$

$$t = a_0/a_3 \quad (2.50)$$

facindu-se apoi substitutia

$$z = x - r/3 \quad (2.51)$$

cu ajutorul careia se obtine forma redusa

$$z^3 + p \cdot z + q = 0 \quad (2.52)$$

si carei coeficienti "p,q" se determina prin

$$p = s - r^2/3 \quad (2.53)$$

$$q = 2 \cdot r^3/27 - s \cdot r/3 + t \quad (2.54)$$

Se calculeaza expresia

$$\Delta p = (q/2)^2 + (p/3)^3 \quad (2.55)$$

Daca " $\Delta p > 0$ ", ecuatia (2.52) are o singura radacina reala (celelalte sint complexe conjugate si nu prezinta interes)

$$z_1 = \sqrt[3]{-q/2 + \sqrt{exp}} + \sqrt[3]{-q/2 - \sqrt{exp}} \quad (2.56)$$

si tinind cont de substitutia (2.51), pentru ecuatia (2.42) rezulta solutia

$$x_1 = z_1 - r/3 \quad (2.57)$$

Daca "exp=0", ecuatia (2.52) are trei radacini reale (doua reale confundate)

$$z_1 = 2 \cdot \sqrt[3]{-q/2} \quad (2.58)$$

$$z_{2,3} = -\sqrt[3]{-q/2} \quad (2.59)$$

si tinind cont de substitutia (2.51), pentru ecuatia (2.42) rezulta solutiile

$$x_{1,2,3} = z_{1,2,3} - r/3 \quad (2.60)$$

Daca "exp<0", ecuatia (2.52) are trei radacini reale distincte

$$z_1 = 2 \cdot \sqrt{p/3} \cdot \cos(\varphi/3) \quad (2.61)$$

$$z_2 = 2 \cdot \sqrt{p/3} \cdot \cos(\varphi/3 + 120^\circ) \quad (2.62)$$

$$z_3 = 2 \cdot \sqrt{p/3} \cdot \cos(\varphi/3 + 240^\circ) \quad (2.63)$$

unde in argumentul functiilor "cos", intra

$$\varphi = \arccos \frac{-q/2}{\sqrt{-p^3/27}} \quad (2.64)$$

si tinind cont de substitutia (2.51), pentru ecuatia (2.42) ramine valabila relatia (2.60) la gasirea solutiilor.

Pentru fiecare valoare "k" admisa in (2.41) se obtin cel mai adesea unul sau trei puncte/centre ("exp=0" fiind o raritate) de pe curba de sinteza. Metoda se preteaza la calculul automatizat, "k" fiind parametrul de ciclare iar impreuna cu solutiile ecuatiei (2.42) fiind marimile de iesire.

2.4.5.2. Metoda dreptei variabile paralela cu asimptota

In [K7], [K9], [P3], [P6], se porneste de la ecuatia unei drepte paralela cu asimptota

$$y = -\frac{A}{B} \cdot x + n = m \cdot x + n \quad (2.65)$$

care daca se inlocuieste in (2.39) si se ordoneaza dupa puterile lui "x" conduce la o banala ecuatie de gradul doi

$$b_2 \cdot x^2 + b_1 \cdot x + b_0 = 0 \quad (2.66)$$

unde coefficientii "b0,b1,b2" sunt dati de

$$b_2 = m^2 \cdot (B \cdot n + W + D) + m \cdot E + B \cdot n + W + C \quad (2.67)$$

$$b_1 = m \cdot [2 \cdot n \cdot (B \cdot n + W + D) + G] + E \cdot n + F \quad (2.68)$$

$$b_0 = (B \cdot n + W + D) \cdot n^2 + G \cdot n + H \quad (2.69)$$

Solutiile ecuatiei (2.66) si utilizarea lor in (2.65) sunt chiar coordonatele cautate

$$x_{1,2} = \frac{-b_1 \pm \sqrt{b_1^2 - 4 \cdot b_2 \cdot b_0}}{2 \cdot b_2} \quad (2.70)$$

$$y_{1,2} = m \cdot x_{1,2} + n = -(A/B) \cdot x_{1,2} + n \quad (2.71)$$

Prin valori date succesiv parametrului "n" in (2.65) se obtin doua sau nici un punct/centru de pe curba de sinteza, dupa cum dreapta respectiva intersecteaza sau nu curba.

Metoda se preteaza la calcul automatizat si este mai rapida decit cea precedenta.

2.4.5.3. Metoda "numerelor complexe"

In [S4] se utilizeaza pentru determinarea punctelor/centrelor de sinteza, o metoda bazata pe calculul cu numere

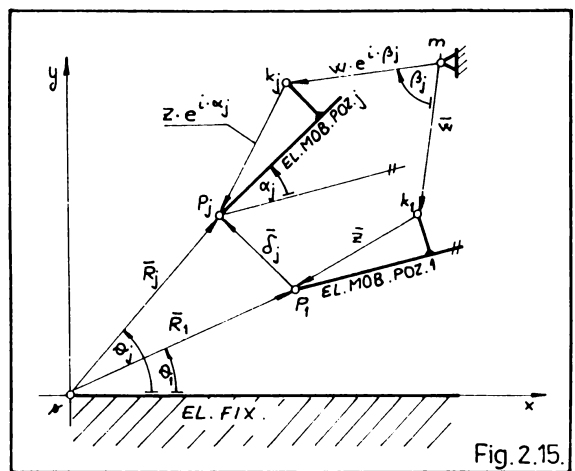


Fig. 2.15.

complexe.

Urmărind în fig.2.15, unde s-a figurat elementul mobil în prima și în "a j-a" poziție ("j=2,3,4"), se poate scrie, presupunind că "m" este un centru de pe curba centrelor și "k" este un punct de pe curba punctelor

$$W \cdot e^{i\beta_j} + Z \cdot e^{i\alpha_j} - \bar{\delta}_j - \bar{Z} - \bar{W} = 0 \quad (2.72)$$

care se poate re scrie sub forma

$$W \cdot (e^{i\beta_j} - \bar{1}) + Z \cdot (e^{i\alpha_j} - \bar{1}) = \bar{\delta}_j \quad (2.73)$$

Pentru "j=2,3,4", se poate scrie sub forma matricială

$$\begin{bmatrix} e^{i\beta_2} - \bar{1} & e^{i\alpha_2} - \bar{1} \\ e^{i\beta_3} - \bar{1} & e^{i\alpha_3} - \bar{1} \\ e^{i\beta_4} - \bar{1} & e^{i\alpha_4} - \bar{1} \end{bmatrix} \cdot \begin{bmatrix} W \\ Z \end{bmatrix} = \begin{bmatrix} \bar{\delta}_2 \\ \bar{\delta}_3 \\ \bar{\delta}_4 \end{bmatrix} \quad (2.74)$$

Pentru ca sistemul (2.74) să admită soluții este necesar ca

$$M = \begin{bmatrix} e^{i\beta_2} - \bar{1} & e^{i\alpha_2} - \bar{1} & \bar{\delta}_2 \\ e^{i\beta_3} - \bar{1} & e^{i\alpha_3} - \bar{1} & \bar{\delta}_3 \\ e^{i\beta_4} - \bar{1} & e^{i\alpha_4} - \bar{1} & \bar{\delta}_4 \end{bmatrix} = 0 \quad (2.75)$$

Se dezvoltă după prima coloană, expresia (2.75), obținindu-se ecuația de închidere

$$\Delta_2 \cdot e^{i\beta_2} + \Delta_3 \cdot e^{i\beta_3} + \Delta_4 \cdot e^{i\beta_4} + \Delta_1 = 0 \quad (2.76)$$

unde s-au notat

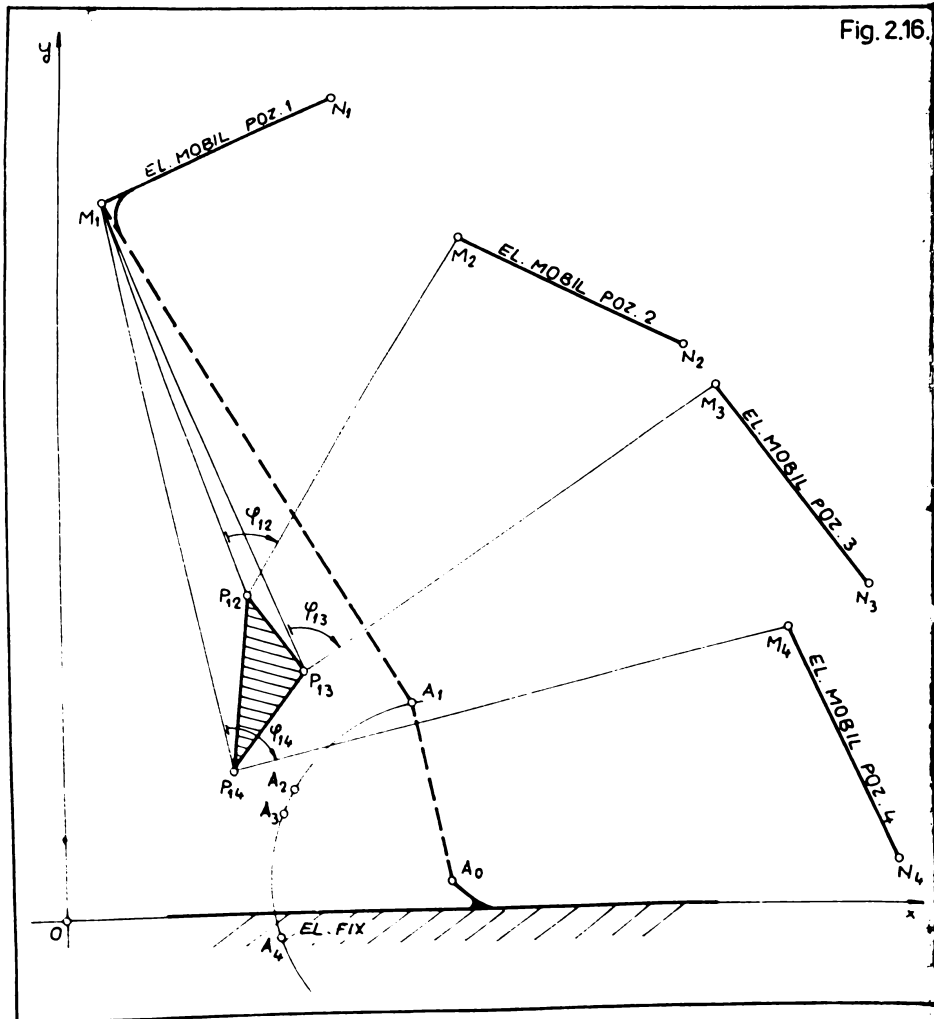
$$\Delta_1 = -\Delta_2 - \Delta_3 - \Delta_4 \quad (2.77)$$

$$\Delta_2 = \begin{bmatrix} e^{i\alpha_3} - \bar{1} & \bar{\delta}_3 \\ e^{i\alpha_4} - \bar{1} & \bar{\delta}_4 \end{bmatrix} \quad (2.78)$$

$$\Delta_3 = (-1) \cdot \begin{bmatrix} e^{i\alpha_2} - \bar{1} & \bar{\delta}_2 \\ e^{i\alpha_4} - \bar{1} & \bar{\delta}_4 \end{bmatrix} \quad (2.79)$$

$$\Delta_4 = \begin{bmatrix} e^{i\alpha_2} - \bar{1} & \bar{\delta}_2 \\ e^{i\alpha_3} - \bar{1} & \bar{\delta}_3 \end{bmatrix} \quad (2.80)$$

Fig. 2.16.



, Relatia (2.76) se poate scrie sub forma

$$\Delta_3 \cdot e^{i\beta_3} + \Delta_4 \cdot e^{i\beta_4} = -\Delta \quad (2.81)$$

unde s-a notat

$$-\Delta = -\Delta_1 - \Delta_2 \cdot e^{i\beta_2} \quad (2.82)$$

Se dau valori lui " $\beta_2=10,2*\bar{k}_1$ ", rezultind din (2.81) pentru " β_3 " si " β_4 " cete doua seturi de solutii. Primul set este " $\beta_2, \beta_3, \beta_4$ " iar al doilea set este " $\beta_2, \tilde{\beta}_3, \beta_4$ ". Cele doua seturi de solutii satisfac sistemul (2.74). Se rezolva sistemul respectiv (liniar), obtinindu-se solutiile " \bar{Z}, \bar{W} ".

| Coordonata complexa a unui punct de pe curba punctelor in prima pozitie a planului mobil va fi

$$\bar{k}_1 = \bar{R}_1 - \bar{Z} \quad (2.83)$$

iar pozitia unui centru de pe curba centrelor va fi data de coordonata complexa

$$\bar{m} = \bar{k}_1 - \bar{W} \quad (2.84)$$

Acest algoritm este abordabil prin calcul automatizat avind intrari " $\alpha_2, \alpha_3, \alpha_4, \delta_2, \delta_3, \delta_4$ " ca variabila in ciclu " β_2 " si ca insiri " \bar{k}_1, \bar{m} ".

Avantajul metodei este obtinerea concomitenta la un pas de declare a cete doua puncte conjugate, unul pe curba punctelor si celuilalt pe curba centrelor.

2.4.5.4. Metoda Kovacs

In [K13] si [K9] se utilizeaza pentru sinteza conexiunii "MB(-1)", de legatura a elementului mobil cu cel fix, o metoda bazata pe proprietatea polilor rotatiilor finite specificata in subcap.2.2.2.

Fiind date patru pozitii relative ale elementului mobil in raport cu elementul fix, se definesc trei poli ai rotatiilor finite cu indicele continind cifra "1" ("P12,P13,P14") si trei

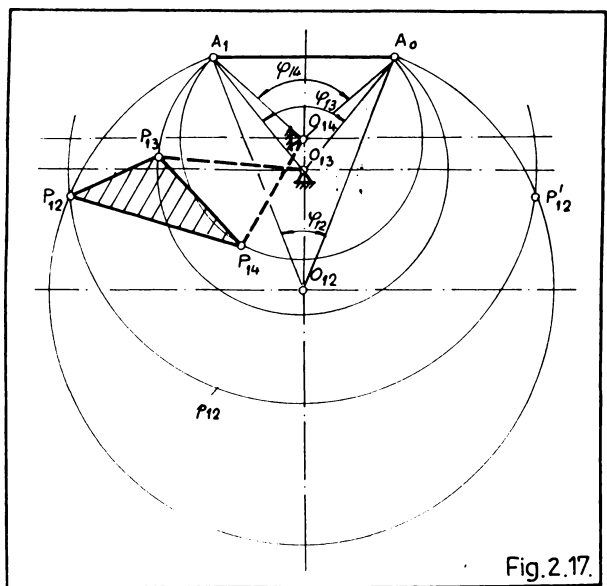


Fig.2.17.

unghiuri ale rotatiilor finite corespunzatoare " $\varphi_{12}, \varphi_{13}, \varphi_{14}$ " (fig.2.16). Pozitiile relative ale celor trei poli fiind invariabile, fiecare din ei trebuie sa se gaseasca simultan pe cte un cerc cu centrele "O12,O13,O14", capabile fata de segmentul cu lungimea impusa "AoA1", de unghiurile " $\varphi_{12}/2, \varphi_{13}/2, \varphi_{14}/2$ " (fig.2.17). In cazul in care "P14" si "P13" se deplaseaza pe cercurile cu centrele "O14" respectiv "O13", "P12" se deplaseaza pe o curba de biela ("p12") a patrulaterului fictiv articulat "O14P14P13O13". Punctele de intersectie ale acestui curba de biela cu cercul avind centrul in "O12", dau pozitiile relative posibile ale polului "P12" fata de "AoA1". Odata cu acestea se definesc si pozitiile posibile ale triunghiului polilor "P12P13P14" fata de "AoA1". Se considera "înghețata" pozitia relativă a configurației "AoA1P12P13P14" din fig.2.17. Construind prin suprapunere triunghiul "P12P13P14" din configurația "înghețata", ca in fig.2.16, un segment "AoA1" care sa aiba aceeasi pozitie fata de triunghiul polilor "P12P13P14" ca in fig.2.17, se obtine pozitia conexiunii "AoA1" cautată pentru a fi interpusa intre elementele mobil si fix.

Se recunoaste usor ca "A1" este un punct de pe curba punctelor cercuale iar "Ao" este un centru de pe curba centrelor. Algoritmul descris "grafic" poate fi "transpus analitic" si chiar "dezvoltat" dupa cum se va vedea in subcap. 6.5.4.

O limita momentan nerezolvata a metodei este faptul ca nu se poate preciza care din cuplurile de rotatie ale conexiunii "KB(-1)" este cea fixa, respectiv cea mobila.

2.5. Sinteză cincipozitională

Daca se impun cinci pozitii elementului mobil (" $i=1,2,3,4,5$ " in fig.2.14), mergind in sensul restrigerii numarului de solutii (comentat in subcapitolul 2.4), rezulta ca problema sintezei cincipozitionale cu cercuri suport poate avea doar un numar finit de solutii tip "patrulater articulat".

Realizind pentru fiecare combinatie de cte patru pozitii din cele cinci impuse cte o curba de sinteză (ca la subcapitolul 2.4) rezulta in total cinci curbe ale centrelor/punctelor. Intersecțiile comune ale acestor cinci curbe

reprezinta "centrele/punctele" de sinteza ale lui Burmester care pot servi la amplasarea articulatiilor fixe/mobile ale celor doua conexiuni "KB(-1)" dintre elementul mobil si cel fix.

Oricare doua din cele cinci curbe amintite (cubice) se vor intersecta conform teoremei lui Bezout in "3*3=9" puncte de intersectie din care doua puncte sunt punctele ciclice ale planului (curbele fiind monociclice), trei sunt polii comuni (ex: pentru pozitiile "1,2,3,4" si pentru pozitiile "1,2,3,5", "P12,P13 si P23" sunt poli comuni) care nu pot fi solutii ale sintezei cincipozitionale intrucit sigur nu se situeaza pe celelalte trei curbe neluate in considerare (ex: "P12" nu se va gasi pe curba de sinteza corespunzatoare pozitiilor "2,3,4,5"). Raman patru puncte/centre Burmester posibile care pot fi toate reale (vor exista patru conexiuni "KB(-1)" de interpus intre elementul fix si cel mobil, adica sase mecanisme patrulatere articulate capabile sa asigure succesiunea celor cinci pozitii initial impuse), doua reale (vor exista doar doua conexiuni "KB(-1)" si deci un singur mecanism patrulater pentru solutionarea problemei cincipozitionale) sau toate imaginare (caz in care problema cincipozitionala nu poate fi rezolvata cu un mecanism patrulater).

In aceasta lucrare nu se insista asupra sintezei cincipozitionale intrucit se va arata mai tирziu ca in problema concreta propusa rezolvării, aceasta nu este aplicabila.

Inaplicabilitatea "imediata" ar consta in faptul ca centrele/punctele Burmester, prin numarul lor finit ("4/2/0"), ofera proiectantului prea putine variante in alegerea unei solutii, iar cea "independanta", in faptul ca acesta centre (la cazul concret) sunt plasate in zone "neconvenabile".

2.6. Spatierea optimala dupa Cebisev

In [K9], [P3] si [S4] se arata, pentru mecanismele generatoare de functii/traекторii, ca daca punctele de precizie nu sunt impuse ele pot fi alese rational in asa fel incit traectoria/functia de realizat sa fie aproximata pe un interval mult mai bine decit daca punctele de precizie ar fi impuse fara nici un criteriu (spre exemplu echidistant).

Un grafic al erorilor pe intervalul "[a,b]" de reprodus, in

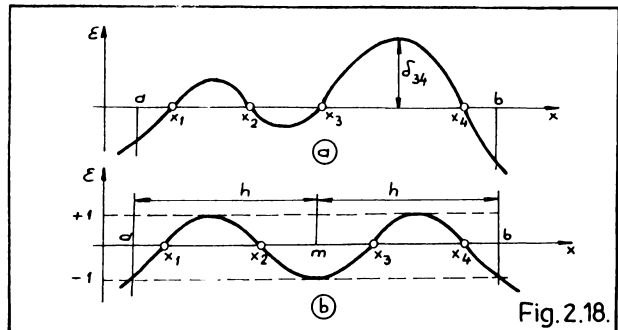


Fig. 2.18.

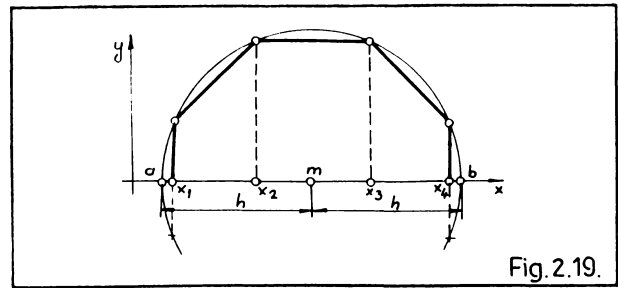


Fig. 2.19.

cazul unei alegeri (spatieri) arbitrară a punctelor de precizie " x_1, x_2, x_3, x_4 " ar arata ca în fig.2.18.a. Este posibil ca eroarea maxima semnalata sa deranjeze.

Cebisev a tratat aceasta problema cu ajutorul celebrelor sale polinoame ajungind la concluzia ca "erorile sunt minime" daca sunt egale (in valoare absoluta) ca in fig.2.18.b, fapt pentru care este necesar ca punctele de precizie/solutiile sa fie proiectiile pe axa "x" a virfurilor unui poligon regulat cu un numar dublu de laturi fata de numarul punctelor de precizie impuse, inscris in cercul de raza "h" si avind ca axa "x", dreapta ce trece prin centrul poligonului, perpendicular pe o latura.

In fig.2.19 s-a reprezentat spatiera optimala pentru alegerea a patru puncte de precizie in intervalul "[a,b]".

Relatia generala de calcul a solutiei de amplasare pentru punctele de precizie in cazul a "p" puncte de precizie, este

$$x_k = m + h \cdot \cos(2 \cdot k - 1) \cdot \frac{\pi}{2 \cdot p} \quad (2.85)$$

unde

$$k = 1, 2, 3 \dots p \quad (2.86)$$

Notatiile sunt similare celor din fig.2.19.

2.7. Relatii de pozitii in mecanismul patrulater

In [H3], [H4], [K7], [M4], [P3] si [P7], problema analizei pozitiilor este rezolvata prin "metoda contururilor". Cu notatiile din fig.2.3 se obtin pentru pozitia balansierului

$$\psi = 2 \cdot \operatorname{arctg} \frac{-B \pm \sqrt{A^2 + B^2 - C^2}}{A + C} \quad (2.87)$$

unde s-a notat

$$A = 2 \cdot l_3 \cdot (l_4 - l_1 \cdot \cos \varphi) \quad (2.88)$$

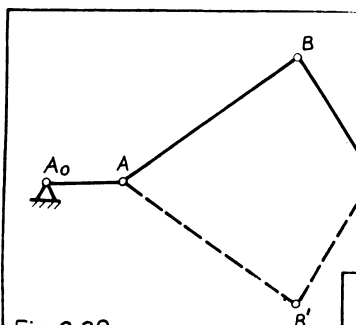


Fig. 2.20.

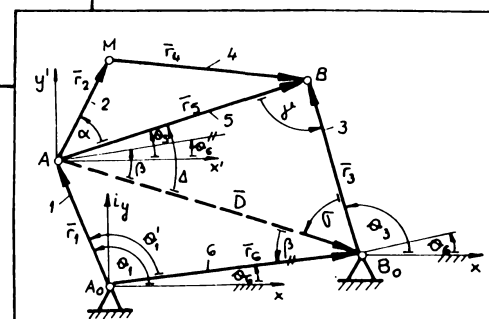


Fig. 2.21.

$$B = 2 \cdot l_1 \cdot l_3 \cdot \sin \varphi \quad (2.89)$$

$$C = l_2^2 + 2 \cdot l_1 \cdot l_4 \cdot \cos \varphi - (l_1^2 + l_3^2 + l_4^2) \quad (2.90)$$

iar pozitia bielei va fi data de

$$x_A = l_1 \cdot \cos \varphi \quad (2.91)$$

$$y_A = l_1 \cdot \sin \varphi \quad (2.92)$$

$$\theta = 2 \cdot \arctg \frac{E \mp \sqrt{D^2 + E^2 - F^2}}{D + F} \quad (2.93)$$

in care

$$D = 2 \cdot l_2 \cdot (l_1 \cdot \cos \varphi - l_4) \quad (2.94)$$

$$E = 2 \cdot l_1 \cdot l_2 \cdot \sin \varphi \quad (2.95)$$

$$F = l_3^2 + 2 \cdot l_1 \cdot l_4 \cdot \cos \varphi - (l_1^2 + l_2^2 + l_4^2) \quad (2.96)$$

In relatiile (2.88)...(2.90) si (2.94)...(2.96), "11,12,13, 14" sint lungimile corespunzatoare ale elementelor "1,2,3,4" din mecanismul patrulater.

Semnele superioare in relatiile (2.87) respectiv (2.93) corespund mecanismului "AoABBo" din fig.2.20, iar semnele inferioare din aceleasi relatii corespund mecanismului "AoAB'Bo" din aceeasi figura.

Cele doua mecanisme cu denumirea "direct" (AoABBo) sau "incrucisat" (AoAB'Bo) se regasesc in [S3], unde problema analizei pozitiilor este rezolvata cu ajutorul planului complex si al operatiilor cu numere complexe.

Cu notatiile din fig.2.21 se poate scrie

$$\theta'_1 = \theta_1 - \theta_6 \quad (2.97)$$

$$\theta_3 = \Delta - \beta + \theta_6 \quad (2.98)$$

$$\beta = \tan^{-1} \left(\frac{r_1 \cdot \sin \theta'_1}{r_6 - r_1 \cdot \cos \theta'_1} \right) \quad (2.99)$$

$$\Delta = \tan^{-1} \left(\frac{r_3 \cdot \sin \gamma}{r_5 - r_3 \cdot \cos \gamma} \right) \quad (2.100)$$

$$\Delta^2 = r_1^2 + r_6^2 - 2 \cdot r_1 \cdot r_6 \cdot \cos \theta'_1 = r_5^2 + r_3^2 - 2 \cdot r_5 \cdot r_3 \cdot \cos \gamma \quad (2.101)$$

in care avem " $\Delta=0$ " si " $\Delta<180$ " grade.
Din (2.101) se obtine

$$\cos \gamma = \frac{r_3^2 + r_6^2 - r_5^2 - r_1^2}{2 \cdot r_5 \cdot r_3} + \frac{r_1 \cdot r_6}{r_5 \cdot r_3} \cdot \cos \theta'_1 \quad (2.102)$$

cu care se poate exprima

$$\sin \gamma = \left| \sqrt{1 - \cos^2 \gamma} \right| \quad (2.103)$$

Unghiul pozitiei bielei va fi dedus din (2.98), tinind cont de (2.99) si (2.100) ca fiind

$$\theta_5 = \tan^{-1} \left(\frac{r_3 \cdot \sin \gamma}{r_5 - r_3 \cdot \cos \gamma} \right) - \tan^{-1} \left(\frac{r_1 \cdot \sin \theta'_1}{r_6 - r_1 \cdot \cos \theta'_1} \right) + \theta_6 \quad (2.104)$$

in care se vor reutiliza valorile date de (2.97), (2.102) si (2.103).

Se poate de asemenea scrie

$$\sigma = \tan^{-1} \left(\frac{r_5 \cdot \sin \gamma}{r_3 - r_5 \cdot \cos \gamma} \right) \quad (2.105)$$

cu care se poate determina unghiul de pozitie al balansierului sub forma

$$\theta_3 = 180^\circ - \beta - \sigma + \theta_6 \quad (2.106)$$

Cu ajutorul numerelor complexe se poate scrie

$$\tilde{r}_1 = r_1 \cdot e^{i \theta_1} \quad (2.107)$$

$$\tilde{r}_2 = r_2 \cdot e^{i(\theta_5 + \alpha)} \quad (2.108)$$

$$\tilde{r}_3 = r_3 \cdot e^{i \theta_3} \quad (2.109)$$

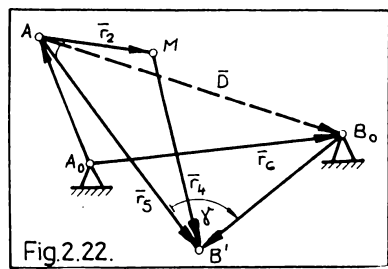


Fig.2.22.

$$\bar{r}_4 = \bar{r}_5 - \bar{r}_2 \quad (2.110)$$

$$\bar{r}_5 = r_5 \cdot e^{i \cdot \theta_5} \quad (2.111)$$

$$\bar{r}_6 = r_6 \cdot e^{i \cdot \theta_6} \quad (2.112)$$

$$\bar{D} = \bar{r}_6 - \bar{r}_1 \quad (2.113)$$

Se observă ca

$$\beta = \arg \bar{r}_6 - \arg \bar{D} \quad (2.114)$$

De asemenea se poate scrie

$$\cos \Delta = \frac{D^2 + r_5^2 - r_3^2}{2 \cdot D \cdot r_5} \quad (2.115)$$

$$\sin \Delta = \text{signum} \Delta \cdot \sqrt{1 - \cos^2 \Delta} \quad (2.116)$$

Pentru fig.2.21, "signum $\Delta = +1$ ", iar pentru fig.2.22, "signum $\Delta = -1$ ".

Se pot calcula principalele elemente geometrice cu

$$\Delta = \arg(\cos \Delta + i \cdot \sin \Delta) \quad (2.117)$$

$$\theta_6 = \arg \bar{D} + \Delta \quad (2.118)$$

$$\bar{r}_3 = \bar{r}_5 - \bar{D} \quad (2.119)$$

$$\theta_3 = \arg \bar{r}_3 \quad (2.120)$$

$$\gamma = \theta_3 - \theta_5 \quad (2.121)$$

Desi relatiile (2.97)...(2.121) din [S3], reproduse mai sus, nu sint deduse exact in ordinea necesara abordarii lor, totusi sint mai sigure decit (2.87)...(2.93) pentru care [P7] recomanda o "verificare grafica".

Se va reveni mai tarziu (in subcap.8.3.4) asupra unui algoritm referitor la relatiile de pozitii in mecanismul patrulater, considerat de autor, ca fiind mai "fara echivoc" si de aceea mai adevarat abordabil prin calcul automatizat.

2.8. Determinarea punctelor de pe curbele de biela

In [H3], [H4], [K7], [M4], [P3] si [P6], se deduce ecuatia curbei descrise de un punct apartinind bielei unui mecanism patrulater.

Este vorba de o sextica triciclica dedusa de matematiceanul Samuel Roberts. Deoarece metodele numerice pot aborda rezolvarea unor "intersectii" intre o curba de biela si un cerc (cum este cazul in subcapitolul 2.4.5.4.), fara a avea nevoie de ecuatia explicita a curbei de biela sau a cercului, nu se vor relua in aceasta lucrare deductiile lui Roberts.

Se va arata, in legatura cu determinarea preciziei dispozitivului de prehensiune si in legatura cu o noua metoda de determinare a punctelor/centrelor de pe curbele de sinteza Burmester, ca este suficiente determinarea coordonatelor unor puncte de pe curbele de biela ale unui mecanism patrulater, in loc de a deduce explicit/implicit ecuatia acestor curbe.

In subcapitolul 2.7, s-a aratat referitor la fig.2.3 cum poate fi determinat unghiul de pozitie al bielei cu relatia (2.93).

Conform fig.2.3, daca se cunosc unghiurile amintite mai sus, segmentul "b=AM" si unghiul " γ " al acestuia fata de biela "AB", se pot exprima coordonatele punctului "M" (de pe curba de biela) prin

$$x_M = l_1 \cdot \cos \varphi + b \cdot \cos(\gamma + \mu) \quad (2.122)$$

$$y_M = l_1 \cdot \sin \varphi + b \cdot \sin(\gamma + \mu) \quad (2.123)$$

In mod similar se pot exprima coordonatele unui alt punct din fig.2.3, spre exemplu ale lui "N(xN,yN)" cunoscindu-se unghiul " ν ".

Coordonatele celor doua puncte, "M(xM,yM)" si "N(xN,yN)", se vor utiliza impreuna cu relatiile de pozitie (subcap.2.7) in cadrul unor calcule referitoare la precizia teoretica de centrage asigurata de mecanismul purtator (tip patrulater) al unui dispozitiv de prehensiune (subcap.8.3.4).

Relatiile (2.122) si (2.123) au fost utilizate pentru studiul curbelor de biela in [M6].

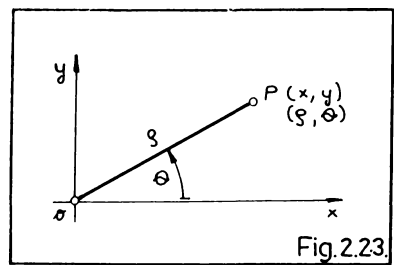


Fig. 2.23.

2.9. Relatii de trecere dintr-un sistem de coordonate in altul. Relatii de simetrie

Se vor utiliza in capitolul urmator relatiile de transformare punctuala de tipul (2.19) si (2.20), exprimate in legatura cu fig.2.14 in subcap.2.4.4.

Acestea servesc pentru a trece din sistemul "x₁o₁y₁" in sistemul "xoy". Pentru trecerea inversa din (2.19) si (2.20) s-a dedus

$$x_i = (x_{Ai} - x_{oi}) \cdot \cos \theta_i + (y_{Ai} - y_{oi}) \cdot \sin \theta_i \quad (2.124)$$

$$y_i = -(x_{Ai} - x_{oi}) \cdot \sin \theta_i + (y_{Ai} - y_{oi}) \cdot \cos \theta_i \quad (2.125)$$

Daca " $\Theta_i=0$ " este cazul "translatiei de axe" cind (2.19) si (2.20) devin

$$x_{Ai} = x_{oi} + x_i \quad (2.126)$$

$$y_{Ai} = y_{oi} + y_i \quad (2.127)$$

Daca " $x_{oi}=y_{oi}=0$ " este cazul "rotatiei de axe" cind relatiile (2.19) si (2.20) devin

$$x_{Ai} = x_i \cdot \cos \theta_i - y_i \cdot \sin \theta_i \quad (2.128)$$

$$y_{Ai} = x_i \cdot \sin \theta_i + y_i \cdot \cos \theta_i \quad (2.129)$$

Se vor utiliza si relatiile de trecere dintr-un sistem cartezian de axe intr-un sistem polar de axe. Conform notatiilor din fig.2.23, se poate trece din coordonatele "x,y" in sistemul de coordonate " ρ,θ " cu

$$x = \rho \cdot \cos \theta \quad (2.130)$$

$$y = \rho \cdot \sin \theta \quad (2.131)$$

Sursele bibliografice utilizate sunt [23] si [24].

Relatiile de trecere din sistemul "xoy" in sistemul

"x_{101y1}" au fost utilizate in [P3], pentru coordonatele polilor din planul elementului mobil in pozitia "1" (a se vedea cap.2.4.1 si fig.2.9)

Astfel exista relatiile

$$x_{1p_{ij}} = (x_{p_{ij1}} - x_{o1}) \cdot \cos \theta_1 + (y_{p_{ij1}} - y_{o1}) \cdot \sin \theta_1 \quad (2.132)$$

$$y_{1p_{ij}} = (y_{p_{ij1}} - y_{o1}) \cdot \cos \theta_1 - (x_{p_{ij1}} - x_{o1}) \cdot \sin \theta_1 \quad (2.133)$$

in care au fost utilizate relatiile de "simetrie" (dupa [P4]):

$$x_{p_{ij1}} = x_{p_{1i}} + (x_{p_{ij}} - x_{p_{1i}}) \cdot \cos \theta_{i1} - (y_{p_{ij}} - y_{p_{1i}}) \cdot \sin \theta_{i1} \quad (2.134)$$

$$y_{p_{ij1}} = y_{p_{1i}} + (x_{p_{ij}} - x_{p_{1i}}) \cdot \sin \theta_{i1} - (y_{p_{ij}} - y_{p_{1i}}) \cdot \cos \theta_{i1} \quad (2.135)$$

unde

$$\theta_{i1} = \theta_1 - \theta_i \quad (2.136)$$

$$i,j = 1, 2, 3, 4; i \neq j; P_{ij1} \equiv P_{ji1} \quad (2.137)$$

Desi par "disparate", relatiile de mai sus vor fi logic aplicate in capitolele urmatoare, schimbind eventual doar unele notatii.

{

}

{

{

{

{

{

BUPT

3. PROGRAME IN LIMBAJ "BASIC"
 CORESPUNZATOARE CU STADIUL
 ACTUAL IN SINTEZA POZITIONALA

Calculul automatizat a fost relativ putin aplicat in sinteza pozitionala a mecanismelor. In [K9] si [B9] exista programe de sinteza a mecanismelor pe baza curbei centrelor/punctelor, dar acestea sunt scrise in limbajul "FORTRAN" al calculatoarelor "FELIX 256". In [P7] exista mai ales programe pentru analiza mecanismelor, iar in [P8] mai ales programe pentru cinetostatica mecanismelor, dar metodele numerice expuse pot fi refolosite la sinteza. In [M17] se prezinta pe linda programele pentru analiza mecanismelor, si programe pentru sinteza acelora continind cupluri superioare. In [P9] se prezinta programe pentru analiza si sinteza mecanismelor cu bare dar nu pe baza curbelor de sinteza. Fara a fi specificat in mod distinct, sigur calcule numerice de sinteza au fost efectuate (s-a dedus dupa alura grafica si modul de prezentare al rezultatelor) in [S3], [S4], [D8], [D9], [D10], [D12], [K14].

In contextul prezentat mai sus, autorul a gindit ca nu ar fi lipsita de interes, includerea in lucrarea de fata, a unui capitol de prezentare pentru unele programe noi, scrise in limbajul "BASIC" (foarte raspandit si usor accesibil conform [D13], [D14], [P9], [VS]) implementat pe calculatoarele de 64 kbytes/128 kbytes din familia compatibila "SINCLAIR" care se produc in Romania (tipurile "TIM-S", "HC-85", "COBRA", "CIP", etc.) si care prin marea lor raspandire, in ciuda memoriei limitate, sunt de un real ajutor in ingineria mecanica de conceptie [P10], [P11], [D13], [D14].

3.1. Program pentru generarea unor
 pozitii de control la verificarea
 programelor de sinteza

In lucrarea de fata, abordindu-se probleme de sinteza pe baza cercurilor suport, a fost necesar, in vederea verificarii programelor aferente, sa se porneasca de la cazurile "rezolvate" ale unor mecanisme patrulater functionale. Seturi de patru/cinci pozitii dintre cele ocupate de biela acestor mecanisme, se

```

5 REM *****
Program pentru generarea pozitiilor de control *****
10 PRINT "Introduceti cele patru lungimi ale mecanismului si domeniul de variazie pentru unghiul fi"
20 PRINT "11="; INPUT 11: PRI NT 11
30 PRINT "12="; INPUT 12: PRI NT 12
40 PRINT "13="; INPUT 13: PRI NT 13
50 PRINT "14="; INPUT 14: PRI NT 14
60 PRINT "domeniul de variazie ptr.fi"
70 PRINT "fimin="; INPUT fimi
80 LET fimin=fimi*PI/180: PRIN T fimi
90 PRINT "fimax="; INPUT fima
100 LET fimax=fima*PI/180: PRIN T fima
110 PRINT "pasul="; INPUT pas: PRINT pas: LET pas=pas*PI/180
120 PRINT "11";"12";"13";"14";"fimin";"fimax";"fi max";"fima": pas
130 CLS : FOR i=fimin TO fimax STEP pas
140 LET a=2*I3*(14-i)*COS i
150 LET b=2*I1*I3*SIN i
160 LET c=12*I2*I2*I1*I4*COS i-(11*I1+I3*I3+I4*I4)
170 LET csi=2#ATN ((-b+SQR (a*a+b*b-c*c))/(a+c))
180 PRINT "i=";i*180/PI,
190 PRINT "csi=";csi*180/PI
200 LET d=2*I2*(11*COS i-14)
210 LET e=2*I1*I2*SIN i
220 LET f=I3*(I3+2*I1*I4*COS i-(11*I1+I2*I2+I4*I4))
230 LET tet=2#ATN ((e-SQR (d*d+e*e-f*f))/(d+f))
240 PRINT "tet=";tet*180/PI;"."
250 LET x=11*COS i
260 LET y=11*SIN i
270 PRINT "x=";x,"y=";y"
280 NEXT i
350 LET a11=P(1,2)-P(2,3); LET a12=0(2,3)-0(1,2); LET b11=P(1,2)*0(2,3)-0(1,2)*P(2,3)
360 LET a21=P(1,4)-P(3,4); LET a22=0(3,4)-0(1,4); LET b22=P(1,4)*0(3,4)-0(1,4)*P(3,4)
370 GO SUB 170: LET O(3,1)=v1: LET P(3,1)=v2
380 LET a11=P(1,2)-P(2,4); LET a12=0(2,4)-0(1,2); LET b11=P(1,2)*0(2,4)-0(1,2)*P(2,4)
390 LET a21=P(1,3)-P(3,4); LET a22=0(3,4)-0(1,3); LET b22=P(1,3)*0(3,4)-0(1,3)*P(3,4)
400 GO SUB 170: LET O(4,1)=v1: LET P(4,1)=v2
410 LET a11=P(1,2)-P(1,3); LET a12=0(1,3)-0(1,2); LET b11=P(1,2)*0(1,3)-0(1,2)*P(1,3)
420 LET a21=P(2,4)-P(3,4); LET a22=0(3,4)-0(2,4); LET b22=P(2,4)*0(3,4)-0(2,4)*P(3,4)
430 GO SUB 170: LET O(3,2)=v1: LET P(3,2)=v2
440 LET a11=P(1,2)-P(1,4); LET a12=0(1,4)-0(1,2); LET b11=P(1,2)*0(1,4)-0(1,2)*P(1,4)
450 LET a21=P(2,3)-P(3,4); LET a22=0(3,4)-0(2,3); LET b22=P(2,3)*0(3,4)-0(2,3)*P(3,4)
460 GO SUB 170: LET O(4,2)=v1: LET P(4,2)=v2
470 LET a11=P(1,3)-P(1,4); LET a12=0(1,4)-0(1,3); LET b11=P(1,3)*0(1,4)-0(1,3)*P(1,4)
480 LET a21=P(2,3)-P(2,4); LET a22=0(2,4)-0(2,3); LET b22=P(2,3)*0(2,4)-0(2,3)*P(2,4)
490 GO SUB 170: LET O(4,3)=v1: LET P(4,3)=v2
500 PRINT "coordonate punctel or Qij :": PRINT : FOR i=1 TO 3: FOR j=i+1 TO 4: PRINT "Q(";i;"";j;)":=;Q(i,j);";";P(j,i);: NEXT j: NEXT i
510 PRINT "pt.a continua apasa ti o tasta": PAUSE 0
520 REM *****
TRECEREA COORD.PCT.Pij/Qij
DIN SIST.INIT. IN SISTINTRINSEC *****
530 DIM Q(4,4): DIM R(4,4)
540 LET MX=-(P(1,2)+P(3,4)-P(2,3)-P(1,4))/(O(1,2)+O(3,4)-O(2,3)-O(1,4)))
550 LET TETAO=ATN (MX): LET X0=(O(2,3)+O(1,4))/2: LET Y0=(P(2,3)+P(1,4))/2
560 FOR I=1 TO 4: FOR J=1 TO 4:
LET XV=O(1,J): LET VY=P(1,J): G O SUB 1660: LET Q(1,J)=XN: LET R(I,J)=YN: NEXT J: NEXT I
570 REM *****
CALCULUL COEFICIENTILOR EQUATIEI CURBEI CENTRELOR(SISTINTRINSEC)
*****580 LET Q=(R(1,2)+R(3,4))/2-(R(2,3)+R(1,4))/2
590 LET K0=R(2,3)-(R(2,3)+R(1,4))/2
600 LET KQ=R(1,2)-Q
610 LET X12=Q(1,2)
620 LET X23=Q(2,3)
630 LET A=(X23*K0-X12*K0)/Q
640 LET B=(X12*X12-X23*X23+K0*K0-Q*K0*Q)/Q
650 LET C=X23*X23-K0*K0
660 LET D=2*K0*X23
670 LET E=((X12*K0-X23*K0)*(X12*K0+Q*K0)+(Q*K0*X23))/Q

```

constituie ca "date" initiale pentru mecanisme ce "urmeaza" a fi sintetizate.

La "scrierea" programului s-au utilizat relatiile (2.91)...(2.96) valabile in sistemul de axe "xAoy" din fig.2.3. Programul este scris la modul "conversational", datele de intrare fiind dimensiunile elementelor mecanismului, unghiiurile initial si final ale elementului motor si pasul pozitiilor acestuia. Datele de iesire sunt parametrii pozitionali ai bielei si elementului condus.

Tab.3.1

Poz.i	φ [grade]	$x_A=x_M$ [mm]	$y_A=y_M$ [mm]	θ [grade]
1	0/360	30	0	58.411864
2	15	28.977775	7.7645714	51.815525
3	30	25.980762	15	45.544811
4	45	21.213203	21.213203	40.247018
5	60	15	25.980762	36.130657
6	75	7.7645713	28.977775	33.153577
7	90	0	30	31.196757
8	105	-7.7645713	28.977775	30.152629
9	120	-15	25.980762	29.954053
10	135	-21.213203	21.213203	30.574680
11	150	-25.980762	15	32.015455
12	165	-28.977775	7.7645714	34.282071
13	180	-30	0	37.356852
14	195	-28.977775	-7.7645713	41.172264
15	210	-25.980762	-15	45.595458
16	225	-21.213203	-21.213203	50.427990
17	240	-15	-25.980762	55.415109
18	255	-7.7645714	-28.977775	60.254144
19	270	0	-30	64.595245
20	285	7.7645713	-28.977775	68.036078
21	300	15	-25.980762	70.122833
22	315	21.213203	-21.213203	70.385857
23	330	25.980762	-15	68.456517
24	345	28.977775	-7.7645714	64.293798

```

680 PRINT "'Coeficientii ec. Li
chthenheld :'"'A=";B=";C="
;D=";E=";pt.a continua
apasati o tasta": PAUSE 0
690 REM *****
700 LET XFN=A: LET YFN=B/2
710 LET XFV=X0*XFN*COS TETA0-YF
N*SIN TETA0: LET YFV=Y0+XFN*SIN
TETA0+YFN*COS TETA0
720 PRINT : PRINT "coor
donatele focarului": PRINT "XF=
";XFV;"YF=";YFV
730 REM *****
CALCULU COORDONATELOR FOCARULUI
IN SIST. INTRINSEC SI SIST. INIT.*  

*****  

700 LET XFN=A: LET YFN=B/2
710 LET XFV=X0*XFN*COS TETA0-YF
N*SIN TETA0: LET YFV=Y0+XFN*SIN
TETA0+YFN*COS TETA0
720 PRINT : PRINT "coor
donatele focarului": PRINT "XF=
";XFV;"YF=";YFV
730 REM *****
CALCULU COORDONATELOR FOCARULUI
IN SIST. INTRINSEC SI SIST. INIT.*  

*****  

740 LET p$="#"
750 PRINT : PRINT "domeniul de
variatie ptr. dreapta t p
aralela cu axa N-G"
760 BEEP .05,20: INPUT "tmin=";
tin,"max";tax, pasul;"pt
770 INPUT "factor de scarare=";
fs
780 INPUT "abscisa originii ()1
0,();246=";x0
790 INPUT "ordonata originii ()1
0,();163=";y0
800 LET contor=0:CLS
810 LET i=1n
820 REM *****
DETERMINAREA CENTRELOR
*****  

830 IF ((B*x1+D)*(B*x1)-4*(i+A)
*(i*x1-A*x1-C*x1))<0 THEN BEE
P .0,02,10: GO TO 920
840 LET y1=(B*x1+D)*SQR ((B*x1+D)*
(B*x1)-4*(i+A)*(i*x1-A*x1-C*x
1))/((2*x1+2*A))
850 LET y2=((B*x1+D)*SQR ((B*x1+D)*
(B*x1)-4*(i+A)*(i*x1-A*x1-C*x
1))/((2*x1+2*A))
860 LET XVI=i*COS TETA0-y1*SIN
TETA0+X0
870 LET XV2=i*COS TETA0-y2*SIN
TETA0+X0
880 LET YV1=i*SIN TETA0+y1*COS
TETA0+Y0
890 LET YV2=i*SIN TETA0+y2*COS
TETA0+Y0
900 GO SUB 1570: PRINT #0;AT 0,
0;XV1,";YV1;" d/n?": GO SUB 14
60
910 GO SUB 1570: PRINT #1;AT 1,
0;XV2,";YV2;" d/n?": GO SUB 15
10: PRINT #1;AT 1,0;" : PRINT #0;
AT 0,0;" "
920 LET i=i+p1
930 IF i>tax THEN GO TO 820
940 IF (pax/fs)<-x0 OR (pax/fs)
>(255-x0) THEN PRINT AT 0,0;"a
legeti alta scara, alta origine
sau alt punct de ecran": PAUS
E 150: GO TO 770
950 PRINT AT 0,0;" "
960 PRINT #0;AT 0,0;"doriti un
alt punct d/n?": GO TO 1090
970 IF INKEY$="#" THEN LET p$=
B": CLS : GO TO 800
980 IF INKEY$="n" THEN GO TO 10
00
990 GO TO 970
1000 PRINT #0;AT 0,0;"un alt dom
eni? d/n?": PRINT "
"
1010 PAUSE 0: IF INKEY$="d" THEN
CLS : GO TO 750
1020 PAUSE 0: IF INKEY$="n" THEN
PRINT #0;AT 0,0;" .: GO TO 1050
1030 LET X=1010
1040 REM *****
TRASAREA CENARULUI SI A AXELOR
*****  

1050 PLOT 0,0: DRAW 255,0: DRAW
0,175: DRAW -255,0: DRAW 0,-175
1060 PLOT (xor-10),yor: DRAW 10,
0: PLOT 245,yor: DRAW 10,0: PLOT
xor,(yor-10): DRAW 0,20: PLOT x
or,165: DRAW 0,10
1070 PAUSE 0: STOP
1080 REM *****
CALCULU PUNCTELOR CONJUGATE (IN
POZ. 1-4) CENTRULUI ALES PE CURBA
*****  

1090 DIM M(4): DIM G(4): DIM D(4
)
1100 GO SUB 1150: PRINT AT 1,0;"  

";p$;"i=";xc;" ";y";p$;"i=";yc
); IF xc<-x0 OR xc>(255-x0) OR
yc<-yor OR yc>(175-yor) THEN GO
TO 1110: CIRCLE xor+(xc/fs),yor+
(yc/fs),1
1110 LET XX=x(x2): LET X2=x(1):
LET X(1)=XX: LET YY=y(x2): LET Y
(2)=y(1): LET Y(1)=YY: LET TT=T(
2): LET T(2)=T(1): LET T(1)=TT:
GO SUB 1150: PRINT AT 2,0;"x";p$  

;"2=";xc;" ";y";p$;"2=";yc; IF
xc<-x0 OR xc>(255-x0) OR yc<-yo
r OR yc>(175-yor) THEN GO TO 112
0: CIRCLE xor+(xc/fs),yor+(yc/fs
),1
1120 LET XX=x(3): LET X(3)=X(1):
LET X(1)=XX: LET YY=y(3): LET Y
(3)=y(1): LET Y(1)=YY: LET TT=T(
3): LET T(3)=T(1): LET T(1)=TT:
GO SUB 1150: PRINT AT 3,0;"x";p$  

;"3=";xc;" ";y";p$;"3=";yc; IF
xc<-x0 OR xc>(255-x0) OR yc<-yo
r OR yc>(175-yor) THEN GO TO 11
30: CIRCLE xor+(xc/fs),yor+(yc/f
s),1
1130 LET XX=x(4): LET X(4)=X(1):
LET X(1)=XX: LET YY=y(4): LET Y
(4)=y(1): LET Y(1)=YY: LET TT=T(
4): LET T(4)=T(1): LET T(1)=TT:
GO SUB 1150: PRINT AT 4,0;"x";p$  

;"4=";xc;" ";y";p$;"4=";yc; IF
xc<-x0 OR xc>(255-x0) OR yc<-yo
r OR yc>(175-yor) THEN GO TO 11
40: CIRCLE xor+(xc/fs),yor+(yc/f
s),1
1140 GO TO 1430
1150 FOR I=4 TO 2 STEP -1
1160 LET M(I)=(Y(I)-PAY)/(X(I)-P
AX)
1170 LET um=(ATN m(i))*180/PI
1180 LET un=(T(i))*180/PI
1190 IF um<0 AND un<0 THEN IF AB
S.um>ABS um THEN LET g(i)=um-un
1200 IF um<0 AND un>0 THEN IF AB
S.um<ABS um THEN LET g(i)=-um+un
1210 IF um>un THEN LET g(i)=um-u
n
1220 IF um<un THEN LET g(i)=um-
un
1230 LET D(I)=SOR ((X(I))-PAY)*(X
(I)-PAY)+(Y(I))-PAY)*(Y(I)-PAY)
1240 LET g(i)=g(i)*PI/180
1250 NEXT I
1260 DIM V(4): DIM W(4)
1270 FOR I=4 TO 2 STEP -1
1280 LET MI=(-TAN G(I))+TAN T(I))
/(1+TAN T(I))*TAN G(I))
1290 LET V(I)=X(I)+D(I)*COS (T(I)
)-G(I))
1300 LET W(I)=Y(I)+D(I)*SIN (T(I)
)-G(I))
1310 NEXT I
1320 LET V(1)=PAK: LET W(1)=PAY
1330 LET I=1: LET J=3: LET K=1:
LET L=4
1340 LET X1=(V(I)+V(J))/2
1350 LET Y1=(W(I)+W(J))/2
1360 LET M1=-1/((W(I)-W(J))/(V(I)
)-V(J)))
1370 LET X2=(V(K)+V(L))/2
1380 LET Y2=(W(K)+W(L))/2
1390 LET M2=-1/((W(K)-W(L))/(V(K)
)-V(L)))
1400 LET XC=(Y1-Y2+M2*X2-M1*X1)/
(M2-M1)
1410 LET YC=M1*(XC-X1)+Y1
1420 RETURN
1430 LET XX=X(X1): LET YY=Y(X1): L
ET TT=T(1): FOR i=2 TO 4: LET X(
I-1)=X(i): LET Y(I-1)=Y(I): LET
T(I-1)=T(I): NEXT I: LET X(4)=XX
: LET Y(4)=YY: LET T(4)=TT
1440 GO TO 960
1450 REM *****
DIALOGUL PT. ALEGAREA
CENTRELOR PE CURBA CENTRELOR
*****  

1460 IF contor=1 THEN RETURN
1470 PAUSE 0: LET z$=INKEY$: IF
z$="#" THEN RETURN
1480 IF z$="d" THEN GO TO 1500
1490 GO TO 1460
1500 LET contor=: LET PAX=XV1:
LET PAY=YV1: RETURN
1510 IF contor=1 THEN RETURN
1520 PAUSE 0: LET x$=INKEY$: IF
x$="#" THEN RETURN
1530 IF x$="d" THEN GO TO 1550
1540 GO TO 1460
1550 LET contor=: LET PAX=XV2:
LET PAY=YV2: RETURN
1560 REM *****
SUBROUTINA DE TRASARE A CURBEI
*****  

1570 LET xn1=INT (XV1/fs+0.5): L
ET yn1=INT (YV1/fs+0.5): LET xn2
=INT (XV2/fs+0.5): LET yn2=INT (
YV2/fs+0.5)
1580 IF xn1<-x0 OR xn1>(255-x0)
) THEN RETURN
1590 IF yn1<-yor OR yn1>(175-yor
) THEN RETURN
1600 PLOT xn1+xor,yn1+yor: IF xn
2<-x0 OR xn2>(255-x0) THEN RET
URN
1610 IF xn2<-x0 OR xn2>(255-x0)
) THEN RETURN
1620 IF yn2<-yor OR yn2>(175-yor
) THEN RETURN
1630 PLOT xn2+xor,yn2+yor
1640 RETURN
1650 REM *****
SUBROUTINA DE TRECERE DIN
SIST.INITIAL IN CEL INTRINSEC
*****  

1660 LET XN=(XV-X0)*COS TETA0+(Y
-V0)*SIN TETA0: LET YN=(YV-Y0)*
COS TETA0-(XV-X0)*SIN TETA0: RET
URN

```

S-a rulat programul pentru mecanisme patrulater de tipul manivela-balansier, redindu-se in tab.3.1 rezultatele pentru acela cu dimensiunile manivelei motoare "l1=30mm", bielei "l2=90mm", balansierului "l3=80mm" si elementului fix "l4=100mm".

S-a rulat programul pentru mecanisme patrulater de tipul dublu manivela, redindu-se in tab.3.2, rezultatele pentru acela cu dimensiunile manivelei motoare "l1=90mm", bielei "l2=80mm", manivelei conduse "l3=100mm" si elementului fix "l4=30mm".

Tab.3.2

Poz.i	φ [grade]	$x_A=xM$ [mm]	$y_A=yM$ [mm]	Θ [grade]
1	0/360	90	0	90
2	15	86.933324	23.293714	113.32265
3	30	77.942286	45	137.12996
4	45	63.639610	63.639610	160.03237
5	60	45	77.942286	181.38166
6	75	23.293714	86.933324	201.08339
7	90	0	90	219.27475
8	105	-23.293714	86.933324	236.13320
9	120	-45	77.942286	251.80427
10	135	-63.639613	63.639610	266.38854
11	150	-77.942286	45	279.95232
12	165	-86.933324	23.293714	292.54682
13	180	-90	0	304.22887
14	195	-86.933324	-23.293714	315.07908
15	210	-77.942286	-45	325.21381
16	225	-63.639610	-63.639610	334.79038
17	240	-45	-77.942286	344.00850
18	255	-23.293714	-86.933324	353.11317
19	270	0	-90	2.4048511
20	285	23.293714	-86.933324	12.260945
21	300	45	-77.942286	23.168453
22	315	63.639610	-63.639610	35.753822
23	330	77.942286	-45	50.756388
24	345	86.933324	-23.293714	68.819757

```

5 REM *****
PROGRAM BAZAT PE EC.LICHTENHELDT
A CURBEI CENTRELOR PRIN METODA
DREPTEI PERPENDIC. PE ASIMPTOTA
*****
10 REM *****
INTRODUCEREA DATELOR
*****
20 DIM x(4): DIM y(4): DIM t(4)
)1
30 FOR i=1 TO 4
40 PRINT i
50 INPUT "x=";x
60 INPUT "y=";y
70 INPUT "[etap grade]";tet
80 LET x(i)=x: LET y(i)=y: LET
t(i)=tet*i/180
90 NEXT i
100 REM *****
CALC.COORD.POLILOR ROT.FINITE
*****
110 DIM O(4,4): DIM P(4,4): DIM
F(4,4)
120 CLS
130 CLS : FOR I=1 TO 4: FOR J=1
TO 4: LET F(I,J)=T(J)-T(I): N
EXT J: NEXT I
140 FOR I=1 TO 4: FOR J=I+1 TO
4: LET O(I,J)=1/(2-2*COS F(I,J))
*(X(J)*X(I))+1-COS F(I,J)-(Y(I)
-J)*(Y(I))*SIN F(I,J): LET P(I,J)
=1/(2-2*COS F(I,J))*(X(J)-X(I))
*SIN F(I,J)+(Y(J)+Y(I))*(1-COS F
(I,J)): NEXT J: NEXT I
150 PRINT: PRINT "coordonatele
polilor Pij": PRINT
160 FOR I=1 TO 4: FOR J=I+1 TO
4: PRINT "#";P(I,"";J,"");#=O(I,J
);";#P(I,J): NEXT J: NEXT I: P
PRINT ","
170 GO TO 330
180 LET mltpl1=a11*a21: LET mltpl
2=a21*a11: LET mltpl3=a12*a22: LE
T mltpl4=a22*a12
190 LET maxmltp=mltpl1: LET cont
or=1
200 IF mltpl2>maxmltp THEN LET m
axmltp=mltpl2: LET contor=2
210 IF mltpl3>maxmltp THEN LET m
axmltp=mltpl3: LET contor=3
220 IF mltpl4>maxmltp THEN LET m
axmltp=mltpl4: LET contor=4
230 IF contor=3 THEN GO TO 280
240 IF contor=2 THEN GO TO 290
250 IF contor=1 THEN GO TO 300
260 IF contor=4 THEN GO TO 310
270 RETURN
280 LET v2=(b11-mltp1*b22)/(a12
-mltp1*a22): LET v1=(b11-a12*v2)
/a11: RETURN
290 LET v2=(b22-b11*mltp2)/(a22
-a12*mltp2): LET v1=(b22-a22*v2)
/a21: RETURN
300 LET v1=(b11-mltp3*b22)/(a11
-a21*mltp3): LET v2=(b11-a11*v1)
/a12: RETURN
310 LET v1=(b22-mltp4*b11)/(a21
-a11*mltp4): LET v2=(b22-a21*v1)
/a22: RETURN
320 REM *****
CALC.COORD.PCT.Qij PRIN
INTERSECTIA OPTIMA A DREPTELOR
*****
330 LET a11=P(1,4)-P(2,4): LET
a12=O(2,4)-O(1,4): LET b11=P(1,4
)*O(2,4)-O(1,4)*P(2,4)
340 LET a21=P(1,3)-P(2,3): LET
a22=O(2,3)-O(1,3): LET b22=P(1,3
)*O(2,3)-O(1,3)*P(2,3)
350 GO SUB 180: LET O(2,1)=v1:
LET P(2,1)=v2
360 LET a11=P(1,2)-P(2,3): LET
a12=O(2,3)-O(1,2): LET b11=P(1,2
)*O(2,3)-O(1,2)*P(2,3)
370 LET a21=P(1,4)-P(3,4): LET
a22=O(3,4)-O(1,4): LET b22=P(1,4
)*O(3,4)-O(1,4)*P(3,4)
380 GO SUB 180: LET O(3,1)=v1:
LET P(3,1)=v2
390 LET a11=P(1,2)-P(2,4): LET
a12=O(2,4)-O(1,2): LET b11=P(1,2
)*O(2,4)-O(1,2)*P(2,4)
400 LET a21=P(1,3)-P(3,4): LET
a22=O(3,4)-O(1,3): LET b22=P(1,3
)*O(3,4)-O(1,3)*P(3,4)
410 GO SUB 180: LET O(4,1)=v1:
LET P(4,1)=v2
420 LET a11=P(1,2)-P(1,3): LET
a12=O(1,3)-O(1,2): LET b11=P(1,2
)*O(1,3)-O(1,2)*P(1,3)
430 LET a21=P(2,4)-P(3,4): LET
a22=O(3,4)-O(2,4): LET b22=P(2,4
)*O(3,4)-O(2,4)*P(3,4)
440 GO SUB 180: LET O(3,2)=v1:
LET P(3,2)=v2
450 LET a11=P(1,2)-P(1,4): LET
a12=O(1,4)-O(1,2): LET b11=P(1,2
)*O(1,4)-O(1,2)*P(1,4)
460 LET a21=P(2,3)-P(3,4): LET
a22=O(2,4)-O(2,3): LET b22=P(2,3
)*O(2,4)-O(2,3)*P(2,4)
470 GO SUB 180: LET O(4,2)=v1:
LET P(4,2)=v2
480 LET a11=P(1,3)-P(1,4): LET
a12=O(1,4)-O(1,3): LET b11=P(1,3
)*O(1,4)-O(1,3)*P(1,4)
490 LET a21=P(2,3)-P(2,4): LET
a22=O(2,4)-O(2,3): LET b22=P(2,3
)*O(2,4)-O(2,3)*P(2,4)
500 GO SUB 180: LET O(4,3)=v1:
LET P(4,3)=v2
510 PRINT: PRINT "coordonatele
punctelor Qij": PRINT
520 FOR i=1 TO 3: FOR j=i+1 TO
4: PRINT "#";Q(i,"";j,"");#=O(i,j
);";#P(j,i): NEXT J: NEXT I
530 PRINT "#";P(i,j),a continua apasa
ti o tasta": PAUSE 0
540 REM *****
TRECEREA COORD.PCT.Qij/0ij
DIN SIST.INIT. IN SISTINTRSEC
*****
550 DIM R(4,4): DIM RR(4,4)
560 LET MX=-1/(((P(1,2)-P(3,4)-P(2,3)-P(1,4))/(O(1,2)+O(3,4)-O(2,3)-O(1,4)))
570 LET TETA0=ATN (MX): LET X0=(O(2,3)+O(1,4))/2: LET Y0=(P(2,3)-P(1,4))/2
580 FOR I=1 TO 4: FOR J=1 TO 4:
LET XY=(Q(I,J)-XN)/LET R(I,J)=YN: NEXT J: NEXT I
590 REM *****
CALCULUL COEFICIENTILOR CURBEI
CENTRELOR IN SISTEMUL INTRINSEC
*****
600 LET Q=(R(1,2)+R(3,4))/2-(R(2,3)+R(1,4))/2
610 LET K0=R(2,3)-(R(2,3)+R(1,4))/2
620 LET K0=R(1,2)-Q
630 LET X12=Q(1,2)
640 LET X23=Q(2,3)
650 LET A=(X3*K0-X12*K0)/Q
660 LET B=(X12*X12-X23*X23+K0*K
0-K0*K0)/Q/2
670 LET C=X23*X23-K0*K0
680 LET D=2*K0*X23
690 LET E=((X12*K0-X23*K0)*(X12
)*X23+K0*K0*X23)/Q
700 PRINT "#";"coefficientii ec. Li
chlenheldt :";"A=";B=";C=";"D=";E=";"p.a continu
a apasati o tasta": PAUSE 0
710 REM *****
CALCULUL COORDONATELOR FOCARULUI
IN SIST. INTRINSEC SI SIST.INIT.#
*****
720 LET XFN=A: LET YFN=B/2
730 LET XFV=X0+XFN*COS TETA0-YF
NNSIN TETA0: LET YFV=Y0+XFN*IN
TETA0+YFN*COS TETA0
740 PRINT: PRINT "coordonatele
focarului": PRINT "XF=";XFV,
YF=";YFV
750 REM *****
CALC.COORD.PCT.CURBEI CENTRELOR
IN SIST. INTRINSEC SI SIST.INIT.
*****
760 PRINT "domeniul de variazie
ptr. Y": INPUT "Ymin";ymin,"Ym
ax";ymax,"pasul";py,"fact.scar
are";fs;"abscisa originii D>0,
<246>";"xor "ordonata originii [
>10,<166>";y0r
770 LET contor=0: LET p$="A": C
LS
780 REM *****
DETERMINAREA CENTRELOR#
*****
790 FOR y=ymin TO ymax STEP py
800 LET pp=y-y-B*y-C-(A)*(A)/
3
810 LET qq=2*(A)*(A)*(A)/27
(-A)*(y-y-B*y-C)/3+A*y*y-D*y*y
820 LET dd=qq*qq/4+pp*pp*pp/27
830 IF dd>0 THEN LET xx1=(SGN (
-qq/2+SQR dd))*(ABS (-qq/2+SQR d
d))^(1/3)+(SGN ((-qq/2-SQR dd))^(1/3)+A/3): G
O SUB 1460: GO SUB 1500: PRINT #
0;AT 0,0;x1;".";yy;" d/n?": GO
SUB 1300: PRINT #;AT 0,0; "
840 IF dd<0 THEN LET rr=SQR (-p
*pp*pp*pp/27): LET fi=ACOS ((-q-q/2)/
(SQR (-pp*pp*pp/27))): LET xx1=
2*(rr)^(1/3)*COS (fi/3+A/3): G
O SUB 1460: GO SUB 1540: PRINT #
0;AT 0,0;x1;".";yy;" d/n?": GO
SUB 1300: PRINT #;AT 0,0; "
850 IF rr>0 THEN LET rr=SQR (-p
*pp*pp*pp/27): LET fi=ACOS ((-q-q/2)/
(SQR (-pp*pp*pp/27))): LET xx1=
2*(rr)^(1/3)*COS (fi/3+A/3): G
O SUB 1470: GO SUB 1590:
PRINT #;AT 0,0;x1;".";yy;" d/n?": GO
SUB 1350: PRINT #;AT 0,0; "
860 IF rr<0 THEN LET rr=SQR (-p
*pp*pp*pp/27): LET fi=ACOS ((-q-q/2)/
(SQR (-pp*pp*pp/27))): LET xx1=
2*(rr)^(1/3)*COS (fi/3+A/3): G
O SUB 1480: GO SUB 1400: PRINT #
0;AT 0,0;x1;".";yy;" d/n?": GO
SUB 1400: PRINT #;AT 0,0; "
870 REM *****
CALCULUL PUNCTELOR CONJUGATE (IN
POZ.1-4) CENTRULUI ALES PE CURBA
*****
880 DIM M(4): DIM G(4): DIM D(4
): PRINT AT 0,0;"x";p$;"y";g$;"z";pax;
".;y";p$;"g";paz: CIRCLE xor+
pax/ps,yor+pay/ps,z
890 GO SUB 940: PRINT AT 1,0;"x

```

S-a rulat programul pentru mecanisme patrulater de tipul dublu balansier, redindu-se in tab.3.3 rezultatele pentru acela cu dimensiunile balansierului motor "11=100mm", bielei "12=30mm", balansierului condus "13=90mm" si a elementului fix "14=100mm".

Tab.3.3

Poz.i	φ [grade]	$x_A=x_M$ [mm]	$y_A=y_M$ [mm]	Θ [grade]
1	45	70.710678	70.710678	37.085440
2	50	64.278761	76.604444	24.962747
3	55	57.357644	81.915204	15.195516
4	60	50	86.602540	6.5022227
5	65	42.261826	90.630779	358.1559
6	70	34.202014	93.969262	349.51886
7	75	25.881905	96.592583	339.66269
8	80	17.364818	98.480775	325.96251

"Verificarea grafica" recomandata in finalul subcap.2.7 are ca efect alegerea adevarata a semnului "+" sau "-" in fata radicalului din instructiunile numerotate cu 170 si 230. Programul ocupa o memorie de 931 bytes si este listat pe versoul magazinii 55.

3.2. Program bazat pe ecuatia Lichtenheldt si pe metoda dreptei paralele cu asymptota

Utilizind ecuatia Lichtenheldt (2.7) si metoda dreptei paralele cu asymptota, programul prezentat in acest subcapitol, rezolva probleme de sinteza patrupozitionala sau descrie (analitic/grafic) curba centrelor aferenta unui set de patru pozitii impuse care constituie datele de intrare. Limbajul conversational in care programul a fost scris, permite o utilizare simpla, iar "blocurile" sale (subrutine sau cicluri) pot fi usor modificate pentru adaptarea la cazuri concrete.

Cu instructiunea 10 incepe introducerea datelor Calculul

```

";p$;"1=";xc;" ;"y";p$;"1=";yc;
CIRCLE xor+xc/f$,yor+yc/f$,1
900 LET XX=X(2); LET X(2)=X(1);
LET X(1)=XX; LET YY=Y(2); LET Y
(2)=Y(1); LET Y(1)=YY; LET TT=TT
(2); LET T(2)=T(1); LET T(1)=TT;
GO SUB 940; PRINT AT 2,0;"x";p$;
"2=";xc;" ;"y";p$;"2=";yc; CIRC
LE xor+xc/f$,yor+yc/f$,1
910 LET XX=X(3); LET X(3)=X(1);
LET X(1)=XX; LET YY=Y(3); LET Y
(3)=Y(1); LET Y(1)=YY; LET TT=TT
(3); LET T(3)=T(1); LET T(1)=TT;
GO SUB 940; PRINT AT 3,0;"x";p$;
"3=";xc;" ;"y";p$;"3=";yc; CIRC
LE xor+xc/f$,yor+yc/f$,1
920 LET XX=X(4); LET X(4)=X(1);
LET X(1)=XX; LET YY=Y(4); LET Y
(4)=Y(1); LET Y(1)=YY; LET TT=TT
(4); LET T(4)=T(1); LET T(1)=TT;
GO SUB 940; PRINT AT 4,0;"x";p$;
"4=";xc;" ;"y";p$;"4=";yc; CIRC
LE xor+xc/f$,yor+yc/f$,1
930 GO TO 1240
940 FOR I=1 TO 2 STEP -1
950 LET M(I)=(Y(I)-PAY)/(X(I)-P
AX)
960 LET um=(ATN m(i))*180/PI
970 LET un=(T(i))*180/PI
980 IF um<0 AND un>0 THEN IF AB
S um>ABS un THEN LET g(i)=um-un
990 IF um<0 AND un<0 THEN IF AB
S um<ABS un THEN LET g(i)=um+un
1000 IF um>un THEN LET g(i)=um-u
n
1010 IF um<un THEN LET g(i)=-um+
un
1020 LET D(I)=SGR ((X(I)-PAX)*(X
(I)-PAX)+(Y(I)-PAY)*(Y(I)-PAY))
1030 LET g(i)=g(i)*PI/180
1040 NEXT I
1050 DIM V(4); DIM W(4)
1060 FOR I=4 TO 2 STEP -1
1070 LET M1=(-TAN G(I)+TAN T(I))
/(I+TAN T(I)*TAN G(I))
1080 LET V(I)=X(I)+D(I)*COS (T(I
)-G(I))
1090 LET W(I)=Y(I)+D(I)*SIN (T(I
)-G(I))
1100 NEXT I
1110 LET V(I)=PAY; LET W(I)=PAY
1120 LET I=1; LET J=3; LET K=1;
LET L=4
1130 GO SUB 1150
1140 GO TO 1230
1150 LET XI=(V(I)+V(J))/2
1160 LET YI=(W(I)+W(J))/2
1170 LET M1=-1/((W(I)-W(J))/(V(I
)-V(J)))
1180 LET X2=(V(K)+V(L))/2
1190 LET Y2=(W(K)+W(L))/2
1200 LET M2=-1/((W(K)-W(L))/(V(K
)-V(L)))
1210 LET XC=(YI-Y2+M2*X2-M1*XI)/
(M2-M1)
1220 LET YC=M1*(XC-X1)+Y1
1230 RETURN
1240 LET XX=X(1); LET YY=Y(1); L
ET TT=T(1); FOR i=2 TO 4; LET X(
I-1)=X(I); LET Y(I-1)=Y(I); LET
T(I-1)=T(I); NEXT I; LET X(4)=XX
; LET Y(4)=YY; LET T(4)=TT
1250 REM *****
TRASAREA CHENARULUI SI A AXELOR*
*****
1260 PLOT (xor-10),yor; DRAW 20,
0; PLOT 245,yor; DRAW 10,0; PLOT
xor,(yor-10); DRAW 0,20; PLOT x
or,165; DRAW 0,10
1270 PLOT 0,0; DRAW 255,0; DRAW
0,175; DRAW -255,0; DRAW 0,-175
1280 PAUSE 0; STOP
1290 REM *****
DIALOGUL PT. ALEGREA
CENTREUL PE CURBA CENTRELOR
*****
1300 LET z$=INKEY$; IF z$="n" TH
EN RETURN
1310 IF contor=1 THEN RETURN
1320 IF z$="d" THEN GO TO 1340
1330 GO TO 1300
1340 LET contor=1; LET PAX=x!; L
ET PAY=y; RETURN
1350 IF contor=1 THEN RETURN
1360 LET x$=INKEY$; IF x$="n" TH
EN RETURN
1370 IF x$="d" THEN GO TO 1390
1380 GO TO 1350
1390 LET contor=1; LET PAX=x!; L
ET PAY=y; RETURN
1400 IF contor=1 THEN RETURN
1410 LET y$=INKEY$; IF y$="n" TH
EN RETURN
1420 IF y$="d" THEN GO TO 1440
1430 GO TO 1400
1440 LET contor=1; LET PAX=x!; L
ET PAY=y; RETURN
1450 REM *****
SUBRUTINA DE TRECCERE DIN SIST.
INTRINSEC IN CEL INITIAL
*****
1460 LET xl=xx1*COS TETA0-*SIN
TETA0*x0; LET yy=xx1*SIN TETA0+*
COS TETA0*x0; RETURN
1470 LET x2=xx2*COS TETA0-*SIN
TETA0*x0; LET yy=xx2*SIN TETA0+*
COS TETA0*x0; RETURN
1480 LET x3=xx3*COS TETA0-*SIN
TETA0*x0; LET yy=xx3*SIN TETA0+*
COS TETA0*x0; RETURN
1490 REM *****
SUBRUTINA DE TRASARE A CURBEI
*****
1500 LET yn=INT (yy/f$+0,5); LET
xn=INT (xl/f$+0,5)
1510 IF yn<-yor OR yn>(175-yor)
THEN RETURN
1520 IF xn<-xor OR xn>(255-yor)
THEN RETURN
1530 PLOT xn+xor,yn+yor; RETURN
1540 LET xn1=INT (x1/f$); LET yn
=INT (yy/f$)
1550 IF yn<-yor OR yn>(175-yor)
THEN RETURN
1560 IF xn1<-xor OR xn1>(255-xor
) THEN RETURN
1570 PLOT xn1+xor,yn+yor
1580 RETURN
1590 LET xn2=INT (x2/f$+0,5); LE
T yn=INT (yy/f$+0,5)
1600 IF yn<-yor OR yn>(175-yor)
THEN RETURN
1610 IF xn2<-xor OR xn2>(255-xor
) THEN RETURN
1620 PLOT xn2+xor,yn+yor
1630 RETURN
1640 LET xn3=INT (x3/f$+0,5); LE
T yn=INT (yy/f$+0,5)
1650 IF yn<-yor OR yn>(175-yor)
THEN RETURN
1660 IF xn3<-xor OR xn3>(255-xor
) THEN RETURN
1670 PLOT xn3+xor,yn+yor
1680 RETURN
1690 REM *****
SUBRUTINA DE TRECCERE DIN
SIST. INITIAL IN CEL INTRINSEC
*****
1700 LET XN=(XY-X0)*COS TETA0+*(Y
-Y0)*SIN TETA0; LET YN=(YV-Y0)*

```

coordonatelor polilor rotatiilor finite " P_{ij} " se face cu relatiile (2.1), (2.2), (2.3) dupa instructiunea 100. Calculul coordonatelor polilor " Q_{ij} " se face rezolvind sistemul liniar format din ecuatiiile dreptelor (6.25) si (6.26). La rezolvarea acestui sistem a fost aplicata "metoda pivotului maxim" care conform [D15] asigura erori minime de rotunjire (a se vedea instructiunea 310). Cu o subrutina, incepand de la linia 520, s-au trecut coordonatele polilor din sistemul " $xAOy$ " de definire a pozitiilor, in sistemul "intrinsec" " XOY " legat de poli (a se vedea subcap.2.1). Incepand cu instructiunea 570 s-au calculat cu relatiile (2.8)...(2.12) coeficientii ecuatiei Lichtenheldt (2.7) a curbei centrelor. Immediat (instructiunea 690) s-au calculat coordonatele focarului cu relatiile (2.14), (2.15) si s-a trecut dupa o discutie (instructiunea 730) de alegere a unor parametri de ciclare la determinarea (instructiunea 820) centrelor de pe curba de sinteza cu ajutorul relatiilor (6.39), (6.41), (6.43), (6.44), (6.45). Dialogul pentru alegerea centrului de sinteza incepe la instructiunea 1450 si continua la instructiunea 1080 cu determinarea punctului cercual conjugat (in toate cele patru pozitii impuse). Pentru a avea si o imagine grafica asemenea realitatii (curbele centrelor in pozitia reala) algoritmului expus, exista o subrutina (instructiunea 1650) de trecere din sistemul " XOY " in sistemul " $xAOy$ ", care permite prin subrutina de trasare a curbei centrelor (instructiunea 1560) si de trasare a chenarului/axelor (instructiunea 1040) sa se obtina figuri similare celor redate in continuare.

Pe versoul paginii 55 si in continuare pe versoul paginii 56, se expune listingul unei variante a programului (lungime 11565 bytes) comentat mai sus.

Programul expus a fost rulat pentru "exemplul I" (amintit la subcap.4.3) care porneste de la patru pozitii "oarscare" specificate in tab.4.1. rezultind curba centrelor din fig.3.1.

Acelasi program, a fost rulat pentru "exemplele II, III, IV" care au ca date de intrare pozitiile specificate respectiv in tab.3.4 (extrase din tab.3.1), in tab.3.5 (extrase din tab.3.3) si in tab.3.6 (extrase din tab.3.2). Au rezultat astfel, corespunzator, curbele centrelor din fig.3.2, fig.3.3 si fig.3.4.

Intrucit programul prezentat se bazeaza pe una din cele mai simple metode teoretice, el este usor de intelese si de utilizat.

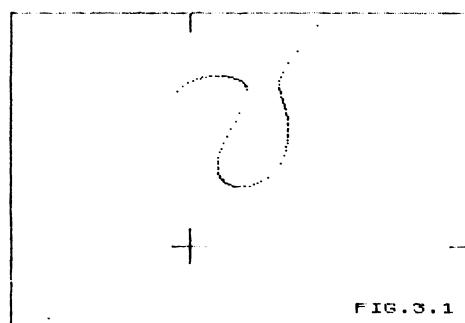


FIG.3.1

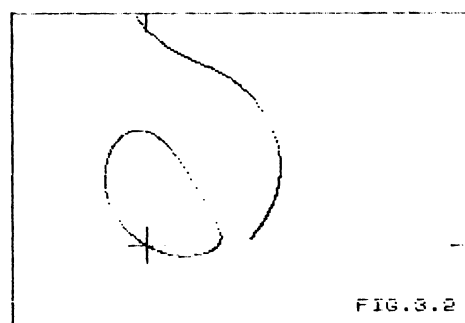


FIG.3.2

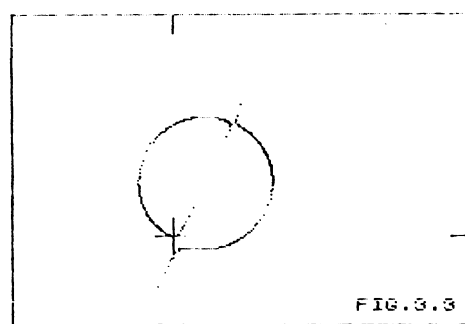


FIG.3.3

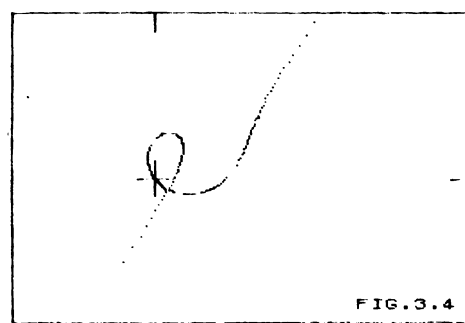


FIG.3.4

Tab.3.4

Poz.	x [mm]	y [mm]	Θ [grade]
1	30	0	58.411864
2	15	25.980762	36.130657
3	-15	25.980762	29.954053
4	-30	0	37.356852

Tab.3.5

Poz.	x [mm]	y [mm]	Θ [grade]
1	70.710678	70.710678	37.08544
2	57.357644	81.915204	15.195516
3	32.202014	93.569262	349.518860
4	17.364818	98.480775	325.96251

Tab.3.6

Poz.	x [mm]	y [mm]	Θ [grade]
1	63.63961	63.639610	160.03237
2	-23.293714	86.933324	236.13320
3	-86.933324	23.293714	292.54682
4	-45	-77.942286	344.00850

Observind fig.3.1/fig.3.2/fig.3.3/fig.3.4 se constata ca metoda dreptei paralele cu asymptota nu va da o imagine suficient de clara (centru "in continuitate") a curbei centrelor pe portiunile aproximativ "paralele" cu asymptota/axa medie, in contrast cu portiunile aproximativ "perpendiculare".

Programul prezentat mai sus poate fi modificat (exista si aceasta varianta) in sensul ca daca se inlocuiesc coordonatele polilor "P23,P24,P34" cu cele ale polilor "P231,P241,P341" ce se pot obtine cu relatiile (2.134)/(2.135), din rulare va rezulta curba punctelor cercuale in prima pozitie impusa sintezei.

```

5 REM *****
PROGRAM BAZAT PE ECUATIA PERJU A
CURBEI CENTRELOR/PUNCTELOR PRIN
METODA DREPTEI PARALELE CU "0x"
*****  

10 REM *****
INTRODUCEREA DATELOR
*****  

20 CLS : DIM x(4); DIM v(4); D
IM t(4); FOR i=1 TO 4: PRINT : P
RINT "introduceti poz.nr.";"i";"d
e sint.";"x";"i";":; INPUT x(i
); PRINT v(i); PRINT "y";"i";":; INPUT y(i); PRINT
"t";"i";":; INPUT ttee; LET t
(i)=t*PI/180; PRINT ttee; NEX
T i  

30 GO TO 40
40 REM *****
CALCUL COEFICIENTILOR A,B,W,C,
D,E,F,G,H, AI ECUATIEI PERJU A
CURBEI CENTRELOR/PUNCTELOR
*****  

50 CLS : PRINT "Alegeti:  

    .           1.curba cent
relor          .           2.curba punct
elor  

60 LET a$=INKEY$: IF a$="1" TH
EN GO TO 1340
70 IF a$="2" THEN GO TO 90
80 LET dd=100
90 CLS : DIM p(4); DIM q(4); D
IM r(4); DIM s(4); DIM z(4); DIM
u(4); DIM v(4)
100 FOR i=2 TO 4
110 LET p(i)=2*(x(i)*COS t(i)-x
(i)*COS t(i)+y(i)*SIN t(i)-y(i)*
SIN t(i))
120 LET q(i)=2*(-x(i)*SIN t(i)+x
(i)*SIN t(i)+y(i)*COS t(i)-y(i)*
COS t(i))
130 LET r(i)=x(i)*x(i)-x(i)*x(i
)+y(i)*y(i)-y(i)*y(i)
140 LET s(i)=COS t(i)-COS t(i)
150 LET z(i)=SIN t(i)-SIN t(i)
160 LET u(i)=x(i)-x(i)
170 LET v(i)=y(i)-y(i)
180 NEXT i
190 DIM a(4); DIM b(4); DIM c(4
); FOR i=2 TO 4; LET a(i)=p(i);
LET b(i)=q(i); LET c(i)=z(i); NE
X T i; GO SUB 1240; LET aa=del
200 FOR i=2 TO 4; LET a(i)=q(i
); LET b(i)=z(i); LET c(i)=v(i);
NEXT i; GO SUB 1240; LET bb=del
210 FOR i=2 TO 4; LET a(i)=r(i
); LET b(i)=z(i); LET c(i)=v(i);
NEXT i; GO SUB 1240; LET cc=del
220 FOR i=2 TO 4; LET a(i)=p(i
); LET b(i)=v(i); LET c(i)=u(i);
NEXT i; GO SUB 1240; LET d1=del
230 FOR i=2 TO 4; LET a(i)=q(i
); LET b(i)=u(i); LET c(i)=v(i);
NEXT i; GO SUB 1240; LET e1=del
240 LET dd=d1-d2
250 FOR i=2 TO 4; LET a(i)=p(i
); LET b(i)=z(i); LET c(i)=u(i);
NEXT i; GO SUB 1240; LET d1=del
260 FOR i=2 TO 4; LET a(i)=q(i
); LET b(i)=z(i); LET c(i)=v(i);
NEXT i; GO SUB 1240; LET d2=del
270 LET dd=d1-d2
280 FOR i=2 TO 4; LET a(i)=p(i
); LET b(i)=z(i); LET c(i)=u(i);
NEXT i; GO SUB 1240; LET e1=del
290 FOR i=2 TO 4; LET a(i)=p(i
); LET b(i)=z(i); LET c(i)=v(i);
NEXT i; GO SUB 1240; LET e2=del
300 FOR i=2 TO 4; LET a(i)=q(i
); LET b(i)=z(i); LET c(i)=v(i);
NEXT i; GO SUB 1240; LET e3=del
310 FOR i=2 TO 4; LET a(i)=q(i
); LET b(i)=z(i); LET c(i)=u(i);
NEXT i; GO SUB 1240; LET e4=del
320 LET ee=e1-e2-e3-e4
330 FOR i=2 TO 4; LET a(i)=p(i
); LET b(i)=z(i); LET c(i)=v(i);
NEXT i; GO SUB 1240; LET f1=del
340 FOR i=2 TO 4; LET a(i)=r(i
); LET b(i)=z(i); LET c(i)=v(i);
NEXT i; GO SUB 1240; LET f2=del
350 FOR i=2 TO 4; LET a(i)=r(i
); LET b(i)=z(i); LET c(i)=v(i);
NEXT i; GO SUB 1240; LET f3=del
360 LET ff=f1+f2-f2
370 FOR i=2 TO 4; LET a(i)=q(i
); LET b(i)=z(i); LET c(i)=v(i);
NEXT i; GO SUB 1240; LET g1=del
380 FOR i=2 TO 4; LET a(i)=r(i
); LET b(i)=z(i); LET c(i)=v(i);
NEXT i; GO SUB 1240; LET g2=del
390 FOR i=2 TO 4; LET a(i)=r(i
); LET b(i)=z(i); LET c(i)=v(i);
NEXT i; GO SUB 1240; LET g3=del
400 LET gg=g1-g2-g3
410 FOR i=2 TO 4; LET a(i)=r(i
); LET b(i)=z(i); LET c(i)=v(i);
NEXT i; GO SUB 1240; LET hh=del
420 PRINT "coeficientii ecuatiei
perjui:";"A";"aa";"B";"bb";"W";
"ww";"x";"y";"D";"dd";"ee";"ff";
"gg";"H";"hh";"pp";"a continua
apasiati o tasta": PAUSE 0
430 REM *****
CALCULUL COORDONATELOR CENTRELOR
/PUNCTELOR SI TRASAREA CURBEI
*****  

440 LET ps="A"
450 PRINT "domeniul de variazie
pt, y": INPUT "ymin=";ymin;"ymax
";ymax;"pasul";py;"fact.scar
re";fs;"abscisa originii";D10.(
460 ;"xor;"ordonata originii";D
10,(166);;"yor"
460 LET contor=0;CLS
470 FOR y=min TO max: STEP py
T ss=(aa*yy*yee*yy+ff)/aa; LET
tt=(bb*yy*yy+ww*yy*y+dd*yy*gg*yy+
hh)/aa
490 LET ppsss=rr*rr*rr*rr/3
500 LET qqq=(rrrr*rrrr*rrr)/27-
(rr*rr*ss)/34*tt
510 LET ddd=(qqq*qqq)/4+(ppp*pp
*ppp)/27
520 IF ddd<0 THEN LET sgn1=SGN
(-qqq/2*SGN (ddd)); LET sgn2=SGN
(-qqq/2*SGN (ddd)); LET xx1=sgn
1*sgn2*ABS (-qqq/2*SGN (ddd))^(1/3)
+sgn2*ABS (-qqq/2*SGN (ddd))^(1/3)
*sgn1*rrr/3; LET xl=(xx1-y(i))/COS
S t(i)+(y(i)-y(i))*SIN t(i); LET yl
=-(xx1-x(i))/COS t(i)+(y(i)-y(i))/
SIN t(i); GO SUB 1460; GO SUB 104
0; PRINT "#0;AT 0,0;x1;";"y1;"d/n^2"; GO SUB 880; PRINT "#0;AT 0
,0;"  

530 IF ddd>0 THEN LET rr=(-ppp*
pp*pp*pp/27)^(1/2); LET fi=ACS ((-
qqc/2)^(1/2)-pp*pp*pp*pp/27)^(1/2));
LET xx1=2*((rr)^(1/2))*COS (f
i/3)-rrr/3; LET xl=(xx1-x(i))/COS
t(i)+(y(i)-y(i))*SIN t(i); LET y
l=-(xx1-y(i))/COS t(i)+(y(i)-y(i))/
SIN t(i); GO SUB 1460; GO SUB 10
90; PRINT "#0;AT 0,0;x1;";"y1;"d/
n^2"; GO SUB 880; PRINT "#0;AT
0,0;"  

540 IF ddd<0 THEN LET rr=(-ppp*
pp*pp*pp/27)^(1/2); LET fi=ACS ((-
qqq/2)^(1/2)-pp*pp*pp*pp/27)^(1/2));
LET xx3=2*(rr)^(1/3)*COS (f
i/3+2*PI/3)-rrr/3; LET x2=(xx2-x
(i))/COS t(i)+(y(i)-y(i))*SIN t(i); LET
y2=-(xx2-y(i))/COS t(i)+(y(i)-y(i))/
SIN t(i); GO SUB 1490; GO
UB 1120; PRINT "#0;AT 0,0;x2;";"y2;"d/n^2"; GO SUB 930; PRINT "#0;AT
0,0;"  

550 IF ddd>0 THEN LET rr=(-ppp*
pp*pp*pp/27)^(1/2); LET fi=ACS ((-
qqq/2)^(1/2)-pp*pp*pp*pp/27)^(1/2));
LET xx3=2*(rr)^(1/3)*COS (f
i/3+2*PI/3)-rrr/3; LET x3=(xx3-x
(i))/COS t(i)+(y(i)-y(i))*SIN t(i); LET
y3=-(xx3-y(i))/COS t(i)+(y(i)-y(i))/
SIN t(i); GO SUB 1520; GO
UB 1120; PRINT "#0;AT 0,0;x3;";"y3;"d/n^2"; GO SUB 930; PRINT "#0;AT
0,0;"  

560 PRINT AT 0,0;"  

570 NEXT y
580 IF pax/fs<-xor OR pax/fs>(
55-xor) THEN PRINT AT 0,0;"alegi
ti alt punct de pe ecran sau
n alt factor de scara": GO TO 4
0
590 REM *****
CALCULUL COORDONATELOR CENTRULU
(IN POZ.0) CONJUGAT CU PUNCTUL
ALES (IN POZ.1)
*****  

600 DIM s(4); DIM u(4); DIM v(4
); DIM w(4); DIM m(4)
610 FOR i=1 TO 4: LET m(i)=TAN
t(i); NEXT i
620 PRINT AT 0,0;"x";p$;"i";p;
"y";"z";p$;"i";p;pay: CIRCLE x
+pax/fs,y+rt+pay/fs,2
630 LET x+pay; LET y+pay; LET t
01=y(i); LET y01=y(1); LET t1=t
1; GO CUB 1270
640 LET s(1)=x1; LET u(1)=y1
650 FOR i=2 TO 4: LET s(i)=s(1);
LET u(i)=u(1); NEXT i
660 FOR i=1 TO 4; LET x01=x(i);
LET y01=y(i); LET x1=x(i); LET
y1=y(i); LET t1=t(i); GO SUB 13
0
670 LET v(i)=x; LET w(i)=y; NE
T i
680 LET I=1; LET J=2; LET K=3;
LET L=4
690 LET X1=(V(I)+V(J))/2
700 LET Y1=(W(I)+W(J))/2
710 LET M1=-1/(W(I)-W(J))/(V(I)
-V(J))
720 LET X2=(V(K)+V(L))/2
730 LET Y2=(W(K)+W(L))/2
740 LET M2=-1/(W(K)-W(L))/(V(L)
-V(L)))
750 LET XC=(Y1-Y2+M2*X2-M1*X1)/
(M2-M1)
760 LET YC=M1*(XC-X1)+Y1
770 PRINT AT 1,0;"x";p$;"0";x
;"y";p$;"0";yc: CIRCLE xor
xc/fs,y+rt+yc/fs,2
780 PRINT "#0;AT 0,0;"doriti alt
punct?"; d/n^2".
790 LET a$=INKEY$
800 IF a$="d" THEN LET p$="B";
GO TO 460
810 IF a$="n" THEN GO TO 830

```

3.3. Program bazat pe ecuatia
 Lichtenheldt si pe metoda
 dreptei perpendicularare pe
 asimptota

Programul prezentat in acest capitol porneste de la ecuatia Lichtenheldt (2.7) a curbelor de sinteza, dar spre deosebire de cel descris in subcap.3.2, "baleierea" sistemului intrinsec de axe nu se face cu o dreapta paralela cu asimptota ci cu una perpendiculara la aceasta. Si prezentul program a fost scris in limbaj conversational, subroutinesle putind fi usor modificate functie de scop: rezolvarea problemelor de sinteza sau descrierea (grafica/analitica) a curbelor de sinteza (in cazul de fata a curbei centrelor) corespunzatoare unui set de patru pozitii impuse.

Introducerea datelor (cele patru pozitii impuse) incepe cu instructiunea 10. Calculul coordonatelor polilor rotatiilor finite " P_{ij} ", bazat pe relatiile (2.1), (2.2), (2.3) incepe la instructiunea 100 iar coordonatele polilor " Q_{ij} " se determina cu erori minime "de rotunjire" prin "intersectia" dreptelor (6.25) si (6.26), utilizand "metoda pivotului maxim" [D15], incepind de la instructiunea 320. Trecerea coordonatelor polilor " P_{ij}/Q_{ij} " din sistemul "xAoy" de definire a pozitiilor, in sistemul "intrinsec" "XOY" (subcap.2.1) se face incepind cu instructiunea 540 iar calculul coeficientilor ecuatiei Lichtenheldt (2.7) a curbei centrelor, in acelasi sistem, utilizand relatiile (2.8)-(2.12), se face incepind cu instructiunea 590. Cu relatiile (2.14) si (2.15) s-au calculat, la instructiunea 710, coordonatele focarului curbei. Parametrii de ciclare ceruti de instructiunea 750 au servit la determinarea centrelor de pe curba de sinteza cu relatiile (6.39), (6.41), (6.43), (6.44), (6.45), incepind de la instructiunea 780. Problema de sinteza patrupositionala se rezolva alegind centrul convenabil de pe curba de sinteza (prin "dialogul" de la instructiunea 1290) si calculind cele patru pozitii ale punctului conjugat (incepind cu instructiunea 870). Imaginea grafica a curbei centrelor se obtine in subroutines de trasare (instructiunea 1490) a curbei propriu-zise si in subroutines de trasare a axelor si chenarului (instructiunea 1250). Pentru lucrul in sistemul de definire a pozitiilor de sinteza si in sistemul intrinsec, exista

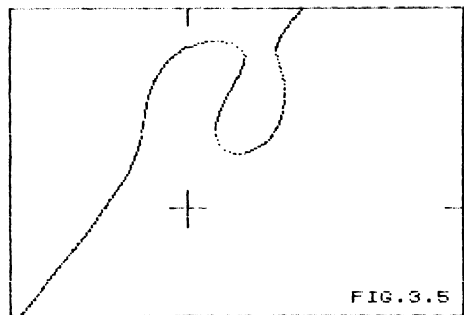


FIG.3.5

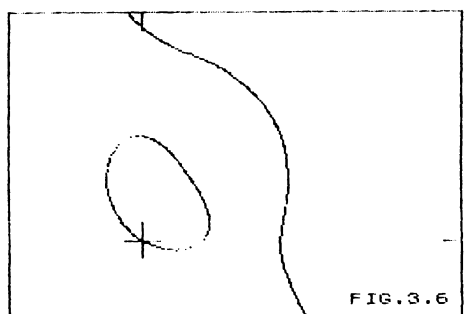


FIG.3.6

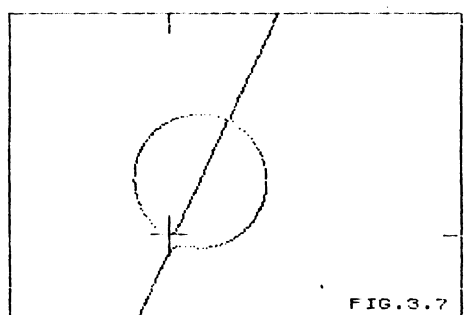


FIG.3.7

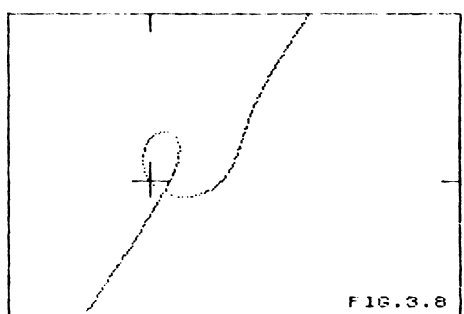


FIG.3.8

subrutele de trecere intre aceste sisteme (incepind cu instructiunile 1450/1690).

Se expune pe versoul paginilor 57 si 58, listingul unei variante a programului (lungime 11872 bytes) comentat mai sus.

Programul de mai sus a fost rulat pentru "exemplele I, II, III si IV" (presentate in subcap. 3.2) care au ca date de intrare pozitiile specificate respectiv in tab.4.1, tab.3.4, tab.3.5 si tab.3.6. In acest fel, au rezultat corespunzator curbele centrelor din fig.3.5, fig.3.6, fig.3.7 si fig.3.8. Fata de rularile corespunzatoare amintite in subcap.3.2, au fost utilizati aici, aceiasi parametri de obtinere a imaginilor (pas de iterare, factor de scara, etc.) in scopul posibilitatilor de comparare.

Se constata la fig.3.5/fig.3.6/fig.3.7/fig.3.8, respectiv fata de fig. 3.1/fig.3.2/fig.3.3/fig.3.4, o "imagine" mult mai "clara" a curbelor centrelor (fapt favorabil metodei dreptei perpendicularare pe asymptota in defavoarea metodei dreptei paralele cu asymptota). Si prin metoda din acest capitol rezulta (in mai mica masura ca in precedentul) mici zone mai putin clare (centru "in continuitate") pe portiunile curbei de sinteza, aproximativ "perpendicularare" la asymptota/axa medie.

Evident, daca (printr-o modificare simpla) se inlocuiesc (in program) coordonatele polilor rotatiilor finite din planul fix "P23,P24,P34", corespunzator cu cele ale polilor "P231, P241,P341" (obtenibile cu relatiile (2.134) si (2.135)) din planul mobil, rezulta din rularea programului, coordonate ale punctelor cercuale, respectiv curba punctelor cercuale in prima pozitie impusa sintezei.

3.4. Program bazat pe ecuatia Perju si pe metoda dreptei paralele cu abscisa

Programul prezentat in cele ce urmeaza, utilizeaza ecuatia Perju (2.39) a curbelor de sinteza iar planul fix/mobil este "prospectat" cu o dreapta paralela cu axa "Ox". Varianta "conversationala" si subrutele usor de identificat si modificat, pot servi fie la sinteza patrupozitionala, fie la "descrierea" grafica/analitica a curbelor de sinteza

```

820 GO TO 790
830 REM ****SUBRUTINA DE TRASARE CHENARULUI SI A AXELOR**** 
840 PLOT *(xor-10),yor; DRAW 20,0; PLOT *(xor+10),yor; DRAW 0,20; PLOT *(xor-165),DRAW 0,10; PLOT 0,0; DRAW 255,0; DRAW 0,-175
850 PAUSE 0; STOP
870 REM ****ALLEGAREA CENTRULUI / PUNCTULUI PE CURBA CENTRELOR / PUNCTELOR****
880 LET z$=INKEY$; IF z$="n" TH
EN RETURN
890 IF contor=1 THEN RETURN
900 IF z$="d" THEN GO TO 920
910 GO TO 380
920 LET contor=1; LET PAX=x1; L
ET PAY=v1; RETURN
930 IF contor=1 THEN RETURN
940 LET x$=INKEY$; IF x$="n" TH
EN RETURN
950 IF x$="d" THEN GO TO 970
960 GO TO 930
970 LET contor=1; LET PAX=x2; L
ET PAY=v2; RETURN
980 IF contor=1 THEN RETURN
990 LET y$=INKEY$; IF y$="n" TH
EN RETURN
1000 IF y$="d" THEN GO TO 1020
1010 GO TO 980
1020 LET contor=1; LET PAX=x3; L
ET PAY=v3; RETURN
1030 REM ****SUBRUTINA DE TRASARE A CURBEI*****
1040 LET yn=INT (y1/fs+0.5); LET
yn=INT (y1/fs+0.5)
1050 IF yn<=yor OR yn>(175-yor)
THEN RETURN
1060 IF -xn<xor OR xn>(255-xor)
THEN RETURN
1070 PLOT xn+yor,yn+yor; RETURN
1080 LET xn1=INT (x1/fs+0.5); LE
T yn1=INT (y1/fs+0.5)
1090 IF yn1<=yor OR yn1>(175-yor
) THEN RETURN
1100 IF xn1<xor OR xn1>(255-xor
) THEN RETURN
1110 PLOT xn1+xor,yn1+yor
1120 RETURN
1130 LET xn2=INT (x2/fs+0.5); LE
T yn2=INT (y2/fs+0.5)
1140 IF yn2<=yor OR yn2>(175-yor
) THEN RETURN
1150 IF xn2<xor OR xn2>(255-xor
) THEN RETURN
1160 PLOT xn2+xor,yn2+yor
1170 RETURN
1180 LET xn3=INT (x3/fs+0.5); LE
T yn3=INT (y3/fs+0.5)
1190 IF yn3<=yor OR yn3>(175-yor
) THEN RETURN
1200 IF xn3<xor OR xn3>(255-xor
) THEN RETURN
1210 PLOT xn3+xor,yn3+yor
1220 RETURN
1230 REM ****SUBRUTINA DE CALCUL A DETERMI
NANTILUI DE 3 LINII SI 3 COLOANE*****
1240 LET de1=(2)*b*(3)*c*(4)+a*(4)
*b*(2)*c*(3)+a*(3)*b*(4)*c*(2)-a*(4)*b
*(3)*c*(2)-a*(2)*b*(4)*c*(3)-a*(3)*b*(2
)*c*(4)
1250 RETURN

```

corespunzatoare unui set de patru pozitii impuse.

La linia 10 se incepe introducerea datelor de intrare (cele patru pozitii impuse). Operatorul poate opta pentru curba centrelor sau a punctelor in cadrul sintezei, dupa care la linia 40 incepe determinarea coeficientilor "A,B,W,C,D,E,F,G,H" prin relatiile (2.23)...(2.38). Baleierea planului printre-o dreapta variabila paralela cu axa "Ox" conduce la ecuatie de gradul trei (2.42), avind coeficientii (2.43)...(2.46), ce se rezolva prin relatiile Cardano (2.47)...(2.64) incepand cu linia 430. Pentru sinteza exista la linia 590, calculul determinarii coordonatelor conjugatului centrului/punctului ales prin dialogul de la linia 870. Coeficientii ecuatiei Perju se calculeaza cu ajutorul a 28 de determinanti prin subrutina de la linia 1230. Pentru reprezentarea grafica a curbelor de sinteza exista subrutina de trasare propriuza la linia 1030 si cea de trasare a chenarului/axelor (linia 830), precum si subrutinale de trecere din sistemul mobil (pozitia 1) in cel fix (linia 1300) sau invers (linia 1260).

Intrucit ecuatiei Perju (2.39) a fost scrisa practic pentru curba punctelor cercuale, la determinarea curbei centrelor s-a reperat sistemul fix fata de cel mobil in pozitia "1", respectiv sistemele mobile (pozitiile "2,3,4") fata de cel fix si apoi fata de cel mobil (pozitia "1") prin intermediul subrutinelor de "trecere" amintite mai inainte.

Se expune pe versoul paginii 60 si in continuare pe cel al Paginii 62, listingul unei variante a programului (lungime 9597 bytes) comentat mai sus.

Programul prezentat a fost rulat pentru "exemplile I, II, III, IV" (a se vedea subcap. 3.2) cu datele de intrare cuprinse respectiv in tab. 4.1, tab. 3.4, tab. 3.5 si tab. 3.6. Cunoscute fiind (fig.3.1...3.8) curbele centrelor, autorul a optat pentru reprezentarea curbelor punctelor cercuale. Au rezultat in acest context, in mod corespunzator, fig. 3.9, fig. 3.10, fig. 3.11 si fig. 3.12. Au fost adoptati ca parametri de reprezentare (pas, factor de scara, coordonate ale originii), alte valori decit cele din curbele centrelor conjugate si prezentate in fig.3.1...fig.3.8. Se constata din fig. 3.9, fig. 3.10, fig. 3.11, fig. 3.12 ca in portiunile curbelor de sinteza care sunt "aproximativ" paralele cu axa "Ox", reprezentarea grafica are "neclaritati" (punkte in "discontinuitate").

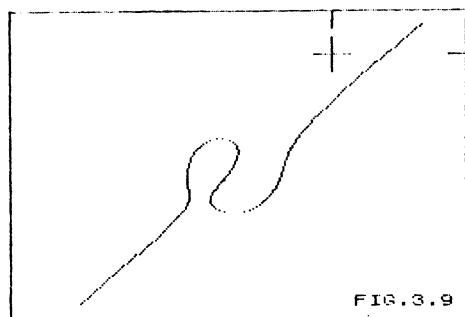


FIG.3.9

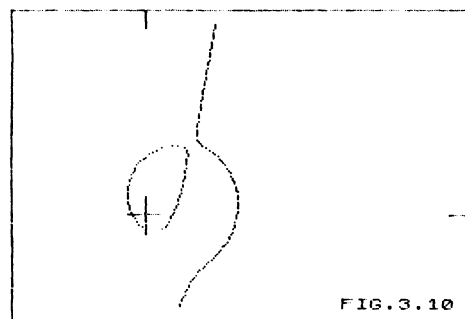


FIG.3.10

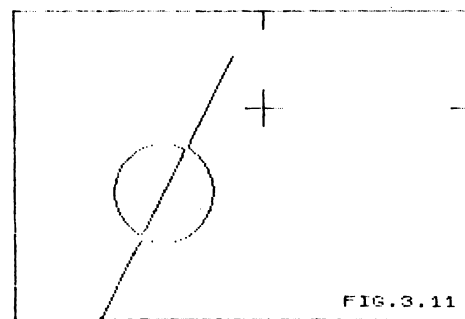


FIG.3.11

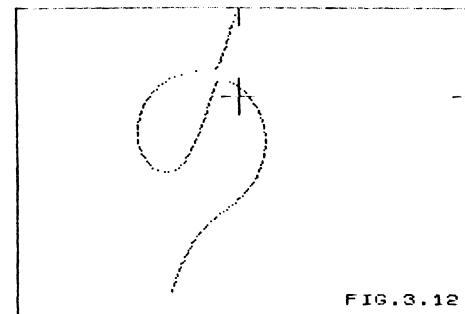


FIG.3.12

3.5. Concluzii

Dintre cele trei modalitati de reprezentare a curbelor de sinteza, descrise in subcap. 3.2, subcap. 3.3 si subcap. 3.3, autorul este incredintat ca cele bazate pe ecuatiile Lichtenheldt (2.7)/Perju (2.39) si metodele ce apeleaza la ecuatii de gradul trei (subcap.3.3 si 3.4), sunt acelea cu rezultatele cele mai "bune". Nu s-a aplicat "metoda dreptei paralele cu asymptota" la ecuatie Perju (2.39) intrucat conducea la rezultate perfect similare cu aplicatia de la ecuatie Lichtenheldt (2.7). Din punct de vedere al rularii, trebuie mentionat, ca dupa determinarea coeficientilor ecuatiilor curbelor, centrele/punctele de pe acestea se obtin cam in acelasi ritm prin toate metodele (la cca. doua secunde). Doua observatii "interesante" se releva, comparind fig.3.1/3.5, fig.3.2/3.6, fig.3.3/3.7 si fig.3.4/3.8, respectiv, cu fig.3.9, fig.3.10, fig.3.11 si fig.3.12, sau, rememorind scarile de reprezentare:

- PENTRU O CURBA A CENTRELOR CU O RAMURA/CU DOUA RAMURI, CORESPUNDE O CURBA A PUNCTELOR CERCUALE DE ACELASI TIP.

- PENTRU O CURBA A CENTRELOR "MARE", CORESPUNDE O CURBA A PUNCTELOR CERCUALE "MICA" (SI INVERS).

S-au denumit mai sus, "mare" sau "mica" (prin comparatie), curbele de sinteza avind zonele nemonotone (cuprinse in dreptunghiul limitat de tangentele paralele extreme si cele perpendiculare la asymptota, asupra carora se va reveni pe larg in cap.5) "mari" sau "mici".

Ramine ca "investigatiile" ulterioare sa confirme sau sa infirme observatiile de mai sus, relevate dupa un mare numar de rulari ale programelor prezentate.

Autorul nu a observat vreo "regula" de corespondenta a tipului curbelor de sinteza (cu o ramura, cu doua ramuri, cu punct dublu) legata de tipul mecanismului patrulater (manivela-balansier, dublu manivela, dublu balansier) cu care au fost "generate" pozitiile de sinteza utilizate ca date de intrare.

4. FORME NOI PENTRU ECUATIILE CURBELOR DE SINTEZA

Ecuatia Lichtenheldt (2.7) precum si ecuatia Perju (2.39) pot fi privite ca expresii matematice de forme diferite pentru o aceeasi curba Burmester de sinteza. Ceea ce difera este sistemul de referinta ales pentru deducerea ecuatiilor respective. In cazul ecuatiei Perju sistemul de referinta este un sistem "general" (in care s-au definit pozitiile impuse) iar in cazul ecuatiei Lichtenheldt acest sistem este "particular" ("intrinsec", "legat" de dispunerea polilor rotatiilor finite obtinuti din pozitiile initial impuse).

| Se pun mai multe probleme:

- a) Ecuatia Lichtenheldt este cea mai simpla posibila intr-un sistem "particular" de axe ?
- b) Ecuatia Perju este cea mai simpla posibila intr-un sistem "general" de axe ?
- c) Ce se intampla daca ecuatiile Lichtenheldt/Perju se exprima intr-un alt sistem de coordonate decit cel cartezian (intr-unul "polar" de exemplu) ?
- d) Exista si alte particularitati ale curbelor de sinteza Burmester decit cele relevante de Lichtenheldt si Perju ?
- e) Ce implicatii (mai ales "inlesniri") ar aduce in sinteza mecanismelor de pozitionare cu cercuri suport, aceste noi elemente de geometrie si algebra ?

In acest capitol si in urmatorul, se releva preocuparile autorului, legate de problematica amintita .

4.1. Scurt istoric

In stradania de a raspunde intrebarilor de mai sus a fost nevoie sa se porneasca de la studiul general al cubicelor. Primele studii sistematice in legatura cu cubicele le-a facut Newton in anul 1704 conform datelor prezentate de [B5], [B6], [S5].

Cea mai completa lucrare (consultata de autor) legata de studiul cubicelor este [S5], unde cubicele cu aliura grafica din fig.2.13 sunt catalogate in "clasa I, categoria 2, sortul I, aspectul A, numerele 75, 77, 78, 79, 80, 81, 82". Aceasta

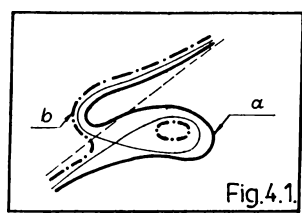


Fig.4.1.

clasificare cuprinde "104 forme grafice", 6 "clase", fiecare cu 1 pînă la 6 "sorturi", fiecare cu 1 pînă la 3 "aspete" rezultînd în acest fel 219 "numere" diferențiate. În [S5] se apreciază că s-au sintetizat aici toate lucrările (1001 referințe bibliografice) referitoare la cubice, aparute între 1704 și 1961.

Conform [S5], se redă în fig.4.1 astă numită "focală" a lui Van Rees și modul în care acesta "trece" din forma cu o singură ramură "a" în forma cu două ramuri "b" prin intermediul formei cu punct dublu. Conform ecuației corespunzătoare din [S5], aceasta cubică este ciclică, are un focar situat pe curba și are o asymptotă spre care curba tinde, punctele de tangenta de la infinit fiind "atinse" de-o parte și cealaltă a asymptotei.

4.2. Utilizarea ecuației Lichtenheldt

Prima idee pe care ar putea-o avea cineva la prelucrarea ecuației Lichtenheldt (2.7), este aceea a transferării originii într-un alt punct unde spre exemplu să se anuleze termenul liber. Evident acest punct ar trebui să apartină curbei de sănătate. În continuare se vor considera ca puncte de pe curba de sănătate, focarul curbei și un pol al rotațiilor finite.

4.2.1. Ecuația în coordonate carteziene cu originea în focar

Tinînd cont de coordonatele focarului date de (2.14) și (2.15) în sistemul "intrinsec X0Y", se poate face trecerea din acest sistem în sistemul "UFV" (fig.2.2). Se vor utiliza relațiile (2.126) și (2.127) scrise sub forma

$$X = U + A \quad (4.1)$$

$$Y = V + B/2 \quad (4.2)$$

Inlocuind (4.1) și (4.2) în (2.7) se obține

$$(U^2 + V^2) \cdot (U + 2 \cdot A) + (A^2 - B^2/4 - C) \cdot U + (A \cdot B - D) \cdot V = 0 \quad (4.3)$$

In deducerea ecuatiei (4.3) s-a tinut cont de identitatea semnalata in (2.17). Ecuatia (2.7) are opt termeni iar ecuatia (4.3) are sase termeni. In mod "normal" a disparut termenul liber dar a disparut si termenul in " UxV ". Acest fapt strage inca o data atentia asupra focalului ca o avantajoasa origine a unui sistem de axe translatat aici.

Ecuatia (4.3) contine doar patru din cei cinci coeficienti dati de (2.8)...(2.12), semnificatiile lor mentinindu-se. Se observa ca si (4.3) este tot o cubica ciclica ca si (2.7). Ecuatia (4.3) va fi denumita in continuare "ecuatia carteziana cu originea in focar".

4.2.2. Ecuatia in coordonate polare cu originea in focar

Se observa in ecuatia (4.3), ca daca s-ar trece in coordonate polare, datorita absentei termenului liber, gradul ecuatiei s-ar reduce cu o unitate. De altfel acest lucru era previzibil intrucit in general o cubica este intersectata de o dreapta in trei puncte (teorema lui Bezout). Rotind aceasta dreapta in jurul unuia din aceste trei puncte, coordonatele celorlalte doua, se vor determina din ecuatii de gradul doi.

Trecerea la un sistem de coordonate polare ca in fig.2.2, se va face cu relatiile (2.130) si (2.131) scrise adaptat sub forma

$$U = \rho \cdot \cos \theta \quad (4.4)$$

$$V = \rho \cdot \sin \theta \quad (4.5)$$

Inlocuind (4.4) si (4.5) in (4.3), se obtine

$$\rho^2 \cdot \cos^2 \theta + \rho \cdot 2 \cdot A + (A^2 - B^2/4 - C) \cdot \cos \theta + (A \cdot B - D) \cdot \sin \theta = 0 \quad (4.6)$$

Ecuatia (4.6) este de gradul al doilea (si deci mai simpla la utilizare decit o cubica). Semnificatia coeficientilor " A, B, C, D " din (4.6) este aceea data de (2.8)...(2.11). Ecuatia (4.6) va fi denumita in continuare "ecuatia polară cu originea in focar".

**4.2.3. Ecuatia in coordonate polare
cu originea intr-un pol al
rotatiei finite**

Pentru a simplifica mersul de calcul se va porni de la relatia (2.6), bazata pe teorema izovizibilitatii. Se alege ca in fig.2.2, un sistem de axe cu originea intr-unul dintre poli (spre exemplu "P12") cum ar fi sistemul "SP12T". Ecuatia "in S si T" nu este mai simpla decit (4.3) avind prezent termenul in "S*T". De aceea se va trece direct in sistemul polar inlocuind in (2.6)

$$X = S + X_{12} = \rho \cdot \cos \theta + X_{12} \quad (4.7)$$

$$Y = T + Y_{12} = \rho \cdot \sin \theta + Y_{12} \quad (4.8)$$

astfel obtinindu-se

$$a \cdot \rho^2 + b \cdot \rho + c = 0 \quad (4.9)$$

unde coeficientii "a,b,c", sint dati de

$$a = [(X_{12} + X_{34}) - (X_{14} + X_{23})] \cdot \sin \theta - [(Y_{12} - Y_{34}) - (Y_{14} - Y_{23})] \cdot \cos \theta \quad (4.10)$$

$$\begin{aligned} b = & [(X_{12} + X_{14}) \cdot (X_{12} - X_{23}) - (Y_{12} - Y_{14}) \cdot (Y_{12} - Y_{23})] \cdot \sin(2 \cdot \theta) + \\ & + [Y_{14} \cdot (X_{12} - X_{23}) + X_{14} \cdot (Y_{12} - Y_{23})] \cdot \cos(2 \cdot \theta) + \\ & + (Y_{12} - Y_{23}) \cdot (X_{34} - 2 \cdot X_{12} \cdot \cos^2 \theta) - (X_{12} - X_{23}) \cdot (Y_{34} - 2 \cdot Y_{12} \cdot \sin^2 \theta) + \\ & + X_{12} \cdot (Y_{14} - Y_{34}) + X_{14} \cdot (Y_{34} - Y_{12}) + X_{34} \cdot (Y_{12} - Y_{14}) \end{aligned} \quad (4.11)$$

$$\begin{aligned} c = & [(X_{12} - X_{14}) \cdot (X_{12} - X_{34}) + (Y_{12} - Y_{14}) \cdot (Y_{12} - Y_{34})] \cdot [(X_{12} - X_{23}) \cdot \sin \theta - (Y_{12} - Y_{23}) \cdot \cos \theta] + \\ & + [X_{12} \cdot (Y_{14} - Y_{34}) + X_{14} \cdot (Y_{34} - Y_{12}) + X_{34} \cdot (Y_{12} - Y_{14})] \cdot [(X_{12} - X_{23}) \cdot \cos \theta + (Y_{12} - Y_{23}) \cdot \sin \theta] \end{aligned} \quad (4.12)$$

Ecuatia (4.9) este numai aparent mult mai complicata decit (4.6), ea continind explicit exprimarea coeficientilor, direct prin coordonatele polilor rotatiilor finite si nu prin intermediul altor notatii. Ecuatia (4.9) va fi denumita in continuare, "ecuatia polară cu originea intr-un pol".

Si ecuatia (4.6) poate fi pusa sub forma (4.9), coeficientii "a,b,c" rezultind prin identificare (se va proceda ca atare, intr-un mod unitar, in subcap.6.3.1).

4.3. Utilizarea ecuatiei generale a cubicelor

O cubica completa are, conform [B5], [B6] si [S5], o ecuatie de forma

$$a \cdot x^3 + b \cdot x^2 \cdot y + c \cdot x \cdot y^2 + d \cdot y^3 + e \cdot x^2 + f \cdot x \cdot y + g \cdot y^2 + h \cdot x + i \cdot y + k = 0 \quad (4.13)$$

Din (4.13) poate fi obtinuta o forma normalizata, prin impartirea cu termenul liber "k"

$$A \cdot x^3 + B \cdot x^2 \cdot y + C \cdot x \cdot y^2 + D \cdot y^3 + E \cdot x^2 + F \cdot x \cdot y + G \cdot y^2 + H \cdot x + I \cdot y + 1 = 0 \quad (4.14)$$

Examinind (4.14) se poate concluziona ca se cunoaste ecuatiunea unei cubice daca se cunosc cei noua coeficienti "A,B,C,D,E,F,G,H,I". Aceste noua coeficienti pot fi determinati daca se cunosc coordonatele a noua puncte cit mai "oarecare" apartinatoare curbei. Inlocuind aceste coordonate pe rand in (4.14) se obtin noua ecuatii ce pot fi grupate intr-un sistem de ecuatii liniare ce poate fi rezolvat (bineintele prin metode numerice) rezultind cele noua necunoscute "A,B,C,D,E,F,G,H,I". Sistemul amintit, cind cele noua puncte sunt polii "P12,P13,P14, P23,P24,P34,Q12,Q13,Q14", este

$$A \cdot x_{P12}^3 + B \cdot x_{P12}^2 \cdot y_{P12} + C \cdot x_{P12} \cdot y_{P12}^2 + D \cdot y_{P12}^3 + E \cdot x_{P12}^2 + F \cdot x_{P12} \cdot y_{P12} + G \cdot y_{P12}^2 + H \cdot x_{P12} + I \cdot y_{P12} + 1 = 0 \quad (4.15)$$

$$A \cdot x_{P13}^3 + B \cdot x_{P13}^2 \cdot y_{P13} + C \cdot x_{P13} \cdot y_{P13}^2 + D \cdot y_{P13}^3 + E \cdot x_{P13}^2 + F \cdot x_{P13} \cdot y_{P13} + G \cdot y_{P13}^2 + H \cdot x_{P13} + I \cdot y_{P13} + 1 = 0 \quad (4.16)$$

$$A \cdot x_{P14}^3 + B \cdot x_{P14}^2 \cdot y_{P14} + C \cdot x_{P14} \cdot y_{P14}^2 + D \cdot y_{P14}^3 + E \cdot x_{P14}^2 + F \cdot x_{P14} \cdot y_{P14} + G \cdot y_{P14}^2 + H \cdot x_{P14} + I \cdot y_{P14} + 1 = 0 \quad (4.17)$$

$$A \cdot x_{P23}^3 + B \cdot x_{P23}^2 \cdot y_{P23} + C \cdot x_{P23} \cdot y_{P23}^2 + D \cdot y_{P23}^3 + E \cdot x_{P23}^2 + F \cdot x_{P23} \cdot y_{P23} + G \cdot y_{P23}^2 + H \cdot x_{P23} + I \cdot y_{P23} + 1 = 0 \quad (4.18)$$

$$A \cdot x_{P24}^3 + B \cdot x_{P24}^2 \cdot y_{P24} + C \cdot x_{P24} \cdot y_{P24}^2 + D \cdot y_{P24}^3 + E \cdot x_{P24}^2 + F \cdot x_{P24} \cdot y_{P24} + G \cdot y_{P24}^2 + H \cdot x_{P24} + I \cdot y_{P24} + 1 = 0 \quad (4.19)$$

$$A \cdot x_{P34}^3 + B \cdot x_{P34}^2 \cdot y_{P34} + C \cdot x_{P34} \cdot y_{P34}^2 + D \cdot y_{P34}^3 + E \cdot x_{P34}^2 + F \cdot x_{P34} \cdot y_{P34} + G \cdot y_{P34}^2 + H \cdot x_{P34} + I \cdot y_{P34} + 1 = 0 \quad (4.20)$$

$$A \cdot x_{Q12}^3 + B \cdot x_{Q12}^2 \cdot y_{Q12} + C \cdot x_{Q12} \cdot y_{Q12}^2 + D \cdot y_{Q12}^3 + E \cdot x_{Q12}^2 + F \cdot x_{Q12} \cdot y_{Q12} + G \cdot y_{Q12}^2 + H \cdot x_{Q12} + I \cdot y_{Q12} + 1 = 0 \quad (4.21)$$

$$A \cdot x_{Q13}^3 + B \cdot x_{Q13}^2 \cdot y_{Q13} + C \cdot x_{Q13} \cdot y_{Q13}^2 + D \cdot y_{Q13}^3 + E \cdot x_{Q13}^2 + F \cdot x_{Q13} \cdot y_{Q13} + G \cdot y_{Q13}^2 + H \cdot x_{Q13} + I \cdot y_{Q13} + 1 = 0 \quad (4.22)$$

$$A \cdot x_{Q14}^3 + B \cdot x_{Q14}^2 \cdot y_{Q14} + C \cdot x_{Q14} \cdot y_{Q14}^2 + D \cdot y_{Q14}^3 + E \cdot x_{Q14}^2 + F \cdot x_{Q14} \cdot y_{Q14} + G \cdot y_{Q14}^2 + H \cdot x_{Q14} + I \cdot y_{Q14} + 1 = 0 \quad (4.23)$$

Preocupari ale autorului in acest sens exista in [M9].

4.3.1. Ecuația bazată pe seturi de nouă poli "Pij/Qij"

Cele nouă puncte amintite în subcap.4.3 pot fi oricare dintre cei sase poli "Pij" și cei sase poli "Qij", obținuti cu ocazia efectuării unei sinteze patrupozitionale (în general cei sase poli "Pij" și cei sase poli "Qij" nu sunt situați pe locuri geometrice particolare, astăzi ca pot fi adoptați ca "punkte oarecare" de pe curba de sinteza).

Pentru "exemplul I" (amintit în cap.3) de sinteza patrupozitională s-a pornit de la pozițiile impuse, specificate în tab.4.1.

Tab.4.1.

Poz.	xM	yM	θ
1.	16	70	77
2.	45	65	20
3.	70	20	350
4.	40	-10	310

Cu cei doisprezece poli "Pij/Qij" se pot face 220 de combinații diferite de cîte nouă. Acestea au fost ciclate într-un program (vezi cap.7), rezultatele fiind obținute cu un subprogram de rezolvare a sistemelor liniare de "n" ecuații cu "n" necunoscute bazat pe "metoda exactă a lui Gauss"/"metoda

pivotului maxim" (cu cazul particular "n=9" al sistemelor tip (4.15)...(4.23)). Asupra acestui exemplu si a programului amintit se va insista in cap.7.

Dintre cele 220 de rezultate amintite mai sus, au fost selectate in tab.4.2, trei variante la intimplare, specificind de fiecare data combinatia de poli corespunzatoare.

Tab.4.2.

Set de 9: P12P13P14P23Q12 : P12P13P14P23Q12 : P12P13P14P23P24 :			
Coef.	Q13Q14Q23Q24	Q13Q14Q23Q34	Q12Q13Q14Q34
A	0.000054922589	0.000054922590	0.000054922599
B	-0.000047525737	-0.000047525735	-0.000047525737
C	0.000054922588	0.000054922583	0.000054922591
D	-0.000047525735	-0.000047525740	-0.000047525739
E	-0.000030934396	-0.000030934487	-0.000030934357
F	0.003941997500	0.003941997400	0.003941997500
G	-0.002314311700	-0.002314311400	-0.002314311700
H	0.011974678000	0.011974676000	0.011974678000
I	-0.102924570000	-0.102924570000	-0.102924570000

Observatiile efectuate asupra celor 220 de variante rezultate, permit concluzia ce se obtine si din tab.4.2, ca intr-adevar combinatia (setul) de noua puncte din cele douasprezece "Pij/Qij" poate fi "oarecare" (o mai mare "stabilitate" constatindu-se daca intre cele noua puncte se includ cele mai indepartate). De asemenea se constata ca o curba a centrelor/punctelor este o cubica speciala, avind unii coeficienti egali ("A=C" si "B=D"). De altfel acest lucru era de asteptat avind in vedere ecuatia Perju (2.22)/(2.39).

4.3.2. Ecuatia bazata pe seturi de sapte poli "Pij/Qij"

Tinind cont de concluziile subcap.4.3.1, rezulta ca de fapt ecuatia (4.14) poate fi scrisa sub forma

$$A \cdot x^3 + B \cdot x^2 \cdot y + A \cdot x \cdot y^2 + B \cdot y^3 + E \cdot x^2 + F \cdot x \cdot y + G \cdot y^2 + H \cdot x + I \cdot y + 1 = 0 \quad (4.24)$$

Examinind (4.24) se constata ca exista doar **sapte coeficienti distincti** in ecuatia cubicei-curba a centrelor/punctelor. Ca urmare va fi suficient sa se cunoasca **sapte puncte de pe curba centrelor/punctelor**, a caror coordonate inlocuite pe rand in (4.24), vor conduce la formarea unui sistem liniar de **sapte ecuatii cu sapte necunoscute** (coeficientii "A,B,E,F,G,H,I"). Sistemul amintit, cind cele **sapte puncte sunt polii "P12,P13,P14,P23,P24,P34,Q12"**, este

$$(x_{P12}^2 + y_{P12}^2) \cdot (A \cdot x_{P12} + B \cdot y_{P12}) + E \cdot x_{P12}^2 + F \cdot x_{P12} \cdot y_{P12} + G \cdot y_{P12}^2 + H \cdot x_{P12} + I \cdot y_{P12} + 1 = 0 \quad (4.25)$$

$$(x_{P13}^2 + y_{P13}^2) \cdot (A \cdot x_{P13} + B \cdot y_{P13}) + E \cdot x_{P13}^2 + F \cdot x_{P13} \cdot y_{P13} + G \cdot y_{P13}^2 + H \cdot x_{P13} + I \cdot y_{P13} + 1 = 0 \quad | \quad (4.26)$$

$$(x_{P14}^2 + y_{P14}^2) \cdot (A \cdot x_{P14} + B \cdot y_{P14}) + E \cdot x_{P14}^2 + F \cdot x_{P14} \cdot y_{P14} + G \cdot y_{P14}^2 + H \cdot x_{P14} + I \cdot y_{P14} + 1 = 0 \quad (4.27)$$

$$(x_{P23}^2 + y_{P23}^2) \cdot (A \cdot x_{P23} + B \cdot y_{P23}) + E \cdot x_{P23}^2 + F \cdot x_{P23} \cdot y_{P23} + G \cdot y_{P23}^2 + H \cdot x_{P23} + I \cdot y_{P23} + 1 = 0 \quad (4.28)$$

$$(x_{P24}^2 + y_{P24}^2) \cdot (A \cdot x_{P24} + B \cdot y_{P24}) + E \cdot x_{P24}^2 + F \cdot x_{P24} \cdot y_{P24} + G \cdot y_{P24}^2 + H \cdot x_{P24} + I \cdot y_{P24} + 1 = 0 \quad | \quad (4.29)$$

$$(x_{P34}^2 + y_{P34}^2) \cdot (A \cdot x_{P34} + B \cdot y_{P34}) + E \cdot x_{P34}^2 + F \cdot x_{P34} \cdot y_{P34} + G \cdot y_{P34}^2 + H \cdot x_{P34} + I \cdot y_{P34} + 1 = 0 \quad | \quad (4.30)$$

$$(x_{Q12}^2 + y_{Q12}^2) \cdot (A \cdot x_{Q12} + B \cdot y_{Q12}) + E \cdot x_{Q12}^2 + F \cdot x_{Q12} \cdot y_{Q12} + G \cdot y_{Q12}^2 + H \cdot x_{Q12} + I \cdot y_{Q12} + 1 = 0 \quad | \quad (4.31)$$

Avind in vedere **cei doisprezece poli "Pij/Qij"** din **"exemplul I"** cuprins in subcapitolul precedent, s-a procedat la **"rularea"** seturilor de **cite sapte** dintre acestia printr-un program ce continea un subprogram de rezolvare a sistemelor liniare de **sapte ecuatii cu sapte necunoscute** (se va reveni in cap.7 asupra acestui program de calcul automatizat). Din cele 792 de variante posibile la combinarea celor 12 poli "Pij/Qij" in seturi de 7, s-au retinut aleator in tab.4.3, **cîteva** din rezultate.

Tab.4.3.

Set de 7:		P12P13P14P23	P12P13P14Q12	P12P13P14P24	
Coef.	\	Q12Q13Q14	Q13Q14Q23	Q12Q13Q14	
I	A	0.000054922590	0.000054922594	0.000054922580	
I	B	-0.000047525741	-0.000047525740	-0.000047525736	
I	E	-0.000030934438	-0.000030934502	-0.000030934147	
I	F	0.003941997700	0.003941997700	0.003941997300	
I	G	-0.002314311500	-0.002314311900	-0.002314311000	
I	H	0.011974678000	0.011974682000	0.011974668000	
I	I	-0.102924580000	-0.102924580000	-0.102924570000	

| Observatiile efectuate asupra celor 792 de variante rezultate permit concluzia ce se obtine si din tab.4.3, ca intr-adevar combinatia (setul) de sapte puncte din cele douăsprezece "Pij/Qij" poate fi "oarecare" (o mai mare stabilitate constatindu-se daca intre cele sapte puncte se includ cele mai indepartate). Evident economia de timp la rezolvarea unui sistem liniar de sapte ecuatii cu sapte necunoscute este remarcabila (a se vedea cap.7) fata de rezolvarea unui sistem liniar de noua ecuatii cu noua necunoscute (ca in subcap.4.3.1).

pentru a evidenția caracterul "ciclic" al curbei data de (4.24), ecuația respectiva poate fi scrisa sub forma

$$(x^2 + y^2) \cdot (A \cdot x + B \cdot y) + E \cdot x^2 + F \cdot x \cdot y + G \cdot y^2 + H \cdot x + I \cdot y + L = 0 \quad (4.32)$$

In continuare ecuația (4.32) va fi denumita "ecuația cu 7 coeficienți", corespunzătoare modului ei de definire sub aceasta formă.

Ca și "ecuația Perju" (2.39), "ecuația cu 7 coeficienți" este definită în sistemul general de axe "xoy" în care au fost impuse cele patru pozitii de sinteza. Deosebirea majoră este că "ecuația Perju" își deduce coeficienții direct din pozițiile impuse (printr-un calcul laborios conform (2.23)...(2.38)), iar "ecuația cu 7 coeficienți" își deduce coeficienții din coordonatele polilor (prin rezolvarea unui sistem liniar de

sapte ecuatii cu sapte necunoscute, corespunzator pozitiilor de sinteza impuse.

4.4. Concluzii

Din cele de mai sus se constata ca "ecuatie carteziana cu originea in focar" (4.3) este mai simpla decit "ecuatie Lichtenheldt" (2.7), iar "ecuatie cu 7 coeficienti" (4.32) este mai simpla decit "ecuatie Perju" (2.39). Se va vedea in continuare ca pe linge forme algebrice mai simple, exista si elemente geometrice referitoare la curbele de sinteza care plideaza pentru utilizarea ecuatiilor (4.3) si (4.32).

Ecuatiile in coordonate polare "cu originea in focar" (4.6) si "cu originea intr-un pol" (4.9) au avantajul gradului redus cu o unitate, fata de cubicele carteziene care sunt ecuatiile acelorasi curbe de sinteza.

Se va opera in continuare asupra tuturor ecuatiilor amintite, tinind cont (se va vedea mai departe) ca, anumite proprietati se vor releva diferentiat asupra acestor ecuatii.

Dupa relevarea unor elemente geometrice noi referitoare la curbele de sinteza (cap.5), se vor deduce si alte ecuatii corespunzatoare acelorasi curbe (subcap.6.3), despre "scrierea" carora se poate spune ca a fost posibila doar datorita acestor noi elemente geometrice.

5. ELEMENTE GEOMETRICE NOI REFERITOARE LA CURBELE DE SINTEZA

In cele ce urmeaza, pentru curbele de sinteza date sub forma ecuatiei Lichtenheldt (2.7), sub forma ecuatiei carteziene cu originea in focar (4.3), sub forma ecuatiei Perju (2.39), sub forma ecuatiei cu 7 coeficienti (4.32), sau sub forma ecuatiei polare (4.9), se vor determina elementele geometrice cunoscute dar inca nedeterminate (pentru unele forme) cum ar fi focarul, asimptota, axa Newton-Gauss respectiv elemente geometrice noi cum ar fi punctul principal, intersectiile cu axa medie, tangentele paralele cu asimptota/axa medie, tangentele perpendiculare pe asimptota/axa medie, punctele de tangenta cu tangentele amintite mai sus, punctele de inflexiune, dreapta inflexiunilor.

In afara celor de mai sus s-a procedat la schimbari de coordonate, prin rotatie, prin translatie sau prin translatie si rotatie pentru a determina cele mai simple forme ale ecuatiilor curbelor de sinteza, pentru a determina alte puncte remarcabile, pentru identificarea unor invariante in raport cu translatia/rotatia.

5.1. Determinarea focarului

Pentru ecuatie Lichtenheldt (2.7), coordonatele focarului sunt date de (2.14) si (2.15). Pentru ecuatie carteziana cu originea in focar (4.3) sunt evidente coordonatele focarului

$$U = 0 \quad (5.1)$$

$$V = 0 \quad (5.2)$$

Procedeul de determinare a coordonatelor focarului pentru o curba algebrica data sub forma implicita

$$f(x, y) = 0 \quad (5.3)$$

Parcurge urmatoarele etape (dupa [K10], [K11] si [K12]):

~ Se trece (5.3) in "coordonate omogene" conform [T1], prin

substitutiile

$$x = X_0/Z_0 \quad (5.4)$$

$$y = Y_0/Z_0 \quad (5.5)$$

$$z = Z_0/Z_0 \quad (5.6)$$

obtinindu-se astfel forma

$$F(X_0, Y_0, Z_0) = 0 \quad (5.7)$$

- Se deduc derivatele parțiale ale ecuației (5.7), sub formă

$$\frac{\partial F}{\partial X_0} = F'_{X_0}(X_0, Y_0, Z_0) \quad (5.8)$$

$$\frac{\partial F}{\partial Y_0} = F'_{Y_0}(X_0, Y_0, Z_0) \quad (5.9)$$

$$\frac{\partial F}{\partial Z_0} = F'_{Z_0}(X_0, Y_0, Z_0) \quad (5.10)$$

calculindu-se valorile acestora în punctele ciclice ale planului

$$\left. \frac{\partial F}{\partial X_0} \right|_{(1,i,0)} = F'_{X_0}(1, i, 0) \quad (5.11)$$

$$\left. \frac{\partial F}{\partial Y_0} \right|_{(1,i,0)} = F'_{Y_0}(1, i, 0) \quad (5.12)$$

$$\left. \frac{\partial F}{\partial Z_0} \right|_{(1,i,0)} = F'_{Z_0}(1, i, 0) \quad (5.13)$$

$$\left. \frac{\partial F}{\partial X_0} \right|_{(1,-i,0)} = F'_{X_0}(1, -i, 0) \quad (5.14)$$

$$\left. \frac{\partial F}{\partial Y_0} \right|_{(1,-i,0)} = F'_{Y_0}(1, -i, 0) \quad (5.15)$$

$$\left. \frac{\partial F}{\partial Z_0} \right|_{(1,-i,0)} = F'_{Z_0}(1, -i, 0) \quad (5.16)$$

-

- Cu valorile acestor derivate partiale, se pot scrie cele două tangente în punctele ciclice ale planului, în coordonate omogene, sub formele

$$F'_{X_0}(1, i, 0) \cdot X_0 + F'_{Y_0}(1, i, 0) \cdot Y_0 + F'_{Z_0}(1, i, 0) \cdot Z_0 = 0 \quad (5.17)$$

$$F'_{X_0}(1, -i, 0) \cdot X_0 + F'_{Y_0}(1, -i, 0) \cdot Y_0 + F'_{Z_0}(1, -i, 0) \cdot Z_0 = 0 \quad (5.18)$$

- Se revine din coordonatele omogene în planul real prin împărțirea cu "Z₀" a relațiilor (5.17) și (5.18). Se obțin ecuațiile unor drepte imaginare (tangentele la curba în punctele ciclice ale planului) sub forma

$$A(i) \cdot x + B(i) \cdot y + C(i) = 0 \quad (5.19)$$

$$A'(i) \cdot x + B'(i) \cdot y + C'(i) = 0 \quad (5.20)$$

Daca curba data de (5.3) are focar , dreptele imaginare de mai sus se intersecteaza intr-un punct real, focalul curbei.

5.1.1. Focalul pentru ecuația Perju

Pentru ecuația Perju (2.39), cu substituțiile (5.4), (5.5), (5.6) se obține

$$(X_0^2 + Y_0^2) \cdot (A \cdot X_0 + B \cdot Y_0 + W \cdot Z_0) + C \cdot X_0^2 \cdot Z_0 + D \cdot Y_0^2 \cdot Z_0 + E \cdot X_0 \cdot Y_0 \cdot Z_0 + F \cdot X_0 \cdot Z_0^2 + G \cdot Y_0 \cdot Z_0^2 + H \cdot Z_0^3 = 0 \quad (5.21)$$

ale carei derivate partiale sint

$$\frac{\partial F}{\partial X_0} = 2 \cdot X_0 \cdot (A \cdot X_0 + B \cdot Y_0 + W \cdot Z_0) + A \cdot (X_0^2 + Y_0^2) + Z_0 \cdot (2 \cdot C \cdot X_0 + E \cdot Y_0 + F \cdot Z_0) \quad (5.22)$$

$$\frac{\partial F}{\partial Y_0} = 2 \cdot Y_0 \cdot (A \cdot X_0 + B \cdot Y_0 + W \cdot Z_0) + B \cdot (X_0^2 + Y_0^2) + Z_0 \cdot (2 \cdot D \cdot Y_0 + E \cdot X_0 + G \cdot Z_0) \quad (5.23)$$

$$\frac{\partial F}{\partial Z_0} = W \cdot (X_0^2 + Y_0^2) + C \cdot X_0^2 + D \cdot Y_0^2 + E \cdot X_0 \cdot Y_0 + Z_0 \cdot (2 \cdot F \cdot X_0 + 2 \cdot G \cdot Y_0 + 3 \cdot H \cdot Z_0) \quad (5.24)$$

Valorile derivatelor partiale în punctele ciclice ale

planului sint

$$\frac{\partial F}{\partial X_0} \Big|_{(1,i,0)} = 2 \cdot (A + B \cdot i) \quad (5.25)$$

$$\frac{\partial F}{\partial Y_0} \Big|_{(1,i,0)} = 2 \cdot (A \cdot i - B) \quad (5.26)$$

$$\frac{\partial F}{\partial Z_0} \Big|_{(1,i,0)} = C - D + E \cdot i \quad (5.27)$$

$$\frac{\partial F}{\partial X_0} \Big|_{(1,-i,0)} = 2 \cdot (A - B \cdot i) \quad (5.28)$$

$$\frac{\partial F}{\partial Y_0} \Big|_{(1,-i,0)} = -2 \cdot (A \cdot i + B) \quad (5.29)$$

$$\frac{\partial F}{\partial Z_0} \Big|_{(1,-i,0)} = C - D - E \cdot i \quad (5.30)$$

cu care ecuatiiile tangentelor in punctele ciclice ale planului, conform (5.19) si (5.20), sint

$$2 \cdot (A + B \cdot i) \cdot x + 2 \cdot (A \cdot i - B) \cdot y + C - D + E \cdot i = 0 \quad (5.31)$$

$$2 \cdot (A - B \cdot i) \cdot x - 2 \cdot (A \cdot i + B) \cdot y + C - D - E \cdot i = 0 \quad (5.32)$$

Rezolvind sistemul format de (5.31) si (5.32), se obtin coordonatele focarului sub forma

$$x_F = \frac{A \cdot (D - C) - B \cdot E}{2 \cdot (A^2 + B^2)} \quad (5.33)$$

$$y_F = \frac{B \cdot (C - D) - A \cdot E}{2 \cdot (A^2 + B^2)} \quad (5.34)$$

Se insista asupra faptului ca relatiile (5.33) si (5.34) sunt corespunzatoare cu relatiile (2.39) si (2.22), coeficientii "A,B,C,D,E" avind aceleasi semnificatii, in sensul ca se calculeaza cu relatiile corespunzatoare dintre cele cuprinse intre (2.23)...(2.38).

**5.1.2. Focarul pentru ecuația
cu șapte coeficienți**

Pentru ecuația carteziana cu 7 coeficienți (4.32), cu substituțiile (5.4), (5.5), (5.6), se obține

$$(X_0^2 + Y_0^2) \cdot (A \cdot X_0 + B \cdot Y_0) + E \cdot X_0^2 \cdot Z_0 + F \cdot X_0 \cdot Y_0 \cdot Z_0 + G \cdot Y_0^2 \cdot Z_0 + H \cdot X_0 \cdot Z_0^2 + I \cdot Y_0 \cdot Z_0^2 + Z_0^3 = 0 \quad (5.35)$$

ale carei derivate parțiale sunt

$$\frac{\partial F}{\partial X_0} = 2 \cdot X_0 \cdot (A \cdot X_0 + B \cdot Y_0) + A \cdot (X_0^2 + Y_0^2) + Z_0 \cdot (2 \cdot E \cdot X_0 + F \cdot Y_0 + H \cdot Z_0) \quad (5.36)$$

$$\frac{\partial F}{\partial Y_0} = 2 \cdot Y_0 \cdot (A \cdot X_0 + B \cdot Y_0) + B \cdot (X_0^2 + Y_0^2) + Z_0 \cdot (2 \cdot G \cdot Y_0 + F \cdot X_0 + I \cdot Z_0) \quad (5.37)$$

$$\frac{\partial F}{\partial Z_0} = E \cdot X_0^2 + G \cdot Y_0^2 + F \cdot X_0 \cdot Y_0 + Z_0 \cdot (2 \cdot H \cdot X_0 + 2 \cdot I \cdot Y_0 + 3 \cdot Z_0) \quad (5.38)$$

Valorile derivatelor parțiale în punctele ciclice ale planului sint:

$$\left. \frac{\partial F}{\partial X_0} \right|_{(1,i,0)} = 2 \cdot (A + B \cdot i) \quad (5.39)$$

$$\left. \frac{\partial F}{\partial Y_0} \right|_{(1,i,0)} = 2 \cdot (A \cdot i - B) \quad (5.40)$$

$$\left. \frac{\partial F}{\partial Z_0} \right|_{(1,i,0)} = E - G + F \cdot i \quad (5.41)$$

$$\left. \frac{\partial F}{\partial X_0} \right|_{(1,-i,0)} = 2 \cdot (A - B \cdot i) \quad (5.42)$$

$$\left. \frac{\partial F}{\partial Y_0} \right|_{(1,-i,0)} = -2 \cdot (A \cdot i + B) \quad (5.43)$$

$$\left. \frac{\partial F}{\partial Z_0} \right|_{(1,-i,0)} = E - G - F \cdot i \quad (5.44)$$

În care ecuațiile tangentelor în punctele ciclice ale planului, conform (5.19) și (5.20) sint

$$2 \cdot (A + B \cdot i) \cdot x + 2 \cdot (A \cdot i - B) \cdot y + E - G + F \cdot i = 0 \quad (5.45)$$

$$2 \cdot (A - B \cdot i) \cdot x - 2 \cdot (A \cdot i + B) \cdot y + E - G - F \cdot i = 0 \quad (5.46)$$

Rezolvind sistemul format de (5.45) si (5.46) se obtin
coordonatele focarului sub forma

$$x_F = \frac{A \cdot (G - E) - B \cdot F}{2 \cdot (A^2 + B^2)} \quad (5.47)$$

$$y_F = \frac{B \cdot (E - G) - A \cdot F}{2 \cdot (A^2 + B^2)} \quad (5.48)$$

Se insista asupra faptului ca relatiile (5.47) si (5.48)
sunt corespunzatoare cu relatia (4.32), coeficientii avind
aceleasi semnificatii.

5.1.3. Concluzii

Marea asemanare a relatiilor (5.33) cu (5.47) si (5.34) cu
(5.48) conduc la concluzia ca ele sunt formule generale de
determinare a coordonatelor focarului acestui gen de curbe,
rezultind urmatoarele "reguli":

ABSCISA FOCARULUI SE CALCULEAZA DIN PRODUSUL COEFICIENTULUI
LUI " x^3 ", PRIN DIFERENTA DINTRE COEFICIENTUL LUI " y^2 " SI AL
LUI " x^2 " DIN CARE SE SCADE APOI PRODUSUL COEFICIENTULUI LUI
" y^3 " PRIN COEFICIENTUL LUI " $x \cdot y$ " RAPORTIND TOTUL LA DUBLUL
SUMEI PATRATELOR COEFICIENTILOR LUI " x^3 " SI " y^3 ".

ORDONATA FOCARULUI SE CALCULEAZA DIN PRODUSUL
COEFICIENTULUI LUI " y^3 " PRIN DIFERENTA DINTRE COEFICIENTUL LUI
" x^2 " SI AL LUI " y^2 " DIN CARE SE SCADE APOI PRODUSUL
COEFICIENTULUI LUI " x^3 " PRIN COEFICIENTUL LUI " $x \cdot y$ " RAPORTIND
TOTUL LA DUBLUL SUMEI PATRATELOR COEFICIENTILOR LUI " x^3 " SI
" y^3 ".

Regulile de mai sus aplicate ecuatiei Lichtenheldt (2.7)
conduc intradevar la (2.14) si (2.15), iar aplicate
corespunzator ("x" devine "U" si "y" devine "V") ecuatiei
carteziene cu originea in focar (4.3) conduc dupa cum era de
asteptat la (5.1).si.(5.2).

Relatiile pentru determinarea coordonatelor focarului

curbei date de ecuatia Perju, (5.33) si (5.34), au fost deduse de autor in [M10], iar ale celei date de ecuatia cu 7 coeficienti, (5.47) si (5.48), in [M12].

5.2. Determinarea asimptotei

Pentru ecuatia Lichtenheldt (2.7), ecuatia asimptotei este data de (2.16). Pentru ecuatia Perju (2.39), asimptota are ecuatia (2.40). Pentru ecuatia carteziana cu originea in focar (4.3), tinind cont ca asimptota trece paralel cu axa Newton-Gauss printre-un punct simetric cu focalul, fata de acesta, rezulta, considerind (2.14) si (2.16), ecuatia asimptotei sub forma

$$U = -2 \cdot A \quad (5.49)$$

Procedeul de determinare a ecuatiei asimptotei pentru o curba algebrica data sub forma implicita (5.3), presupune parcurgerea urmatoarelor etape (dupa [I3] si [M8]):

- Se scrie asimptota sub forma

$$y = m \cdot x + n \quad (5.50)$$

- Se inlocuieste (5.50) in (5.3), rezultind o functie "f(x)", care se deriveaza succesiv, obtinindu-se "f'(x)", "f''(x)" si "f'''(x)".

- Din anularea celei de-a III-a derivate

$$f'''(x) = 0 \quad (5.51)$$

se obtin solutiile reale ale parametrului "m" (panta asimptotei acelei curbe).

- Se inlocuieste parametrul "m" in "f''(0)", obtinind din anularea acestei derivate

$$f''(0) = 0 \quad (5.52)$$

valoarea parametrului "n" (ordonata la origine a asimptotei acelei curbe).

- Se inlocuiesc parametrii "m" si "n" in (5.50), rezultind astfel ecuatie asimptotei.
- Din ecuatie (5.50) determinata ca mai sus, se poate obtine usor ecuatie asimptotei sub forma generala a unei drepte.

5.2.1. Asimptota corespunzatoare ecuatiei cu sapte coeficienti

Inlocuind ecuatie asimptotei (5.50) in ecuatie cu 7 coeficienti (4.32), se obtine

$$f(x) = A \cdot x^3 + B \cdot x^2 \cdot (m \cdot x + n) + A \cdot x \cdot (m \cdot x + n)^2 + B \cdot (m \cdot x + n)^3 + E \cdot x^2 + F \cdot x \cdot (m \cdot x + n) + G \cdot (m \cdot x + n)^2 + H \cdot x + I \cdot (m \cdot x + n) + \dots = 0 \quad (5.53)$$

ale carei derivate sunt

$$f'(x) = A \cdot [3 \cdot x^2 + (m \cdot x + n)^2 + 2 \cdot x \cdot (m \cdot x + n) \cdot m] + B \cdot [2 \cdot x \cdot (m \cdot x + n) + x^2 \cdot m + 3 \cdot (m \cdot x + n)^2 \cdot m] + 2 \cdot E \cdot x + F \cdot (2 \cdot m \cdot x + n) + 2 \cdot G \cdot (m \cdot x + n) \cdot m + H + I \cdot m \quad (5.54)$$

$$f''(x) = 2 \cdot A \cdot [3 \cdot x + 2 \cdot (m \cdot x + n) \cdot m + x \cdot m^2] + 2 \cdot B \cdot [3 \cdot m \cdot x + n + 3 \cdot (m \cdot x + n) \cdot m^2] + 2 \cdot E + 2 \cdot F \cdot m + 2 \cdot G \cdot m^2 \quad (5.55)$$

$$f'''(x) = (m^2 + 1) \cdot (B \cdot m + A) = 0 \quad (5.56)$$

Se observa ca anulind (5.56), se obtine singura solutie reala pentru panta asimptotei

$$m = -A/B \quad (5.57)$$

Facind "x=0" si tinind cont de (5.57) in (5.55), se obtine

$$f''(0) = 2 \cdot [n \cdot (B - A^2/B) + E - A \cdot F/B + A^2 \cdot G/B^2] \quad (5.58)$$

Anulind (5.58), se obtine ordonata la origine a asimptotei, sub forma

$$\approx -\frac{B^2 \cdot E + A^2 \cdot G - A \cdot B \cdot F}{B \cdot (A^2 + B^2)} \quad (5.59)$$

Inlocuind (5.57) si (5.59) in (5.50), dupa prelucrari, se obtine ecuatie generala a asimptotei curbei centrelor/punctelor exprimate sub forma ecuatiei cu 7 coeficienti

$$A \cdot (A^2 + B^2) \cdot x + B \cdot (A^2 + B^2) \cdot y + A^2 \cdot G + B^2 \cdot E - A \cdot B \cdot F = 0 \quad (5.60)$$

5.2.2. Asimptota corespunzatoare ecuatiei polare cu originea in focar

Conform [M8], se poate scrie ecuatie in coordonate polare a dreptei-asimptota, sub forma

$$\rho = \frac{p}{\sin(\alpha - \theta)} \quad (5.61)$$

unde

$$a = \lim_{\rho \rightarrow \infty} \theta \quad (5.62)$$

$$p = \lim_{\rho \rightarrow \infty} [\rho \cdot \sin(\alpha - \theta)] \quad (5.63)$$

Din ecuatie polara cu originea in focar (4.6), se exprima solutiile

$$\rho_{1,2} = \frac{-A \pm \sqrt{A^2 - (A^2 - B^2/A - C) \cdot \cos^2 \theta + (A \cdot B - D) \cdot \sin \theta \cdot \cos \theta}}{\cos \theta} \quad (5.64)$$

Din (5.64) se observa ca " $\theta \rightarrow \infty$ " cind numitorul se anuleaza. Argumentul corespunzator anularii numitorului din relatia (5.64) este

$$\beta = \pm \pi/2 \quad (5.65)$$

Tinind cont de cele de mai sus, " $\beta \rightarrow \infty$ ", este echivalent cu " $\theta \rightarrow +\sqrt{2}\pi/2$ ". Cu aceasta in (5.63), tinind cont si de (5.65), se obtine

$$p = \pm 2 \cdot A \quad (5.66)$$

Cu relatiile (5.65) si (5.66) inlocuite in (5.61), se obtine ecuatie polara a asymptotei curbei centrelor/punctelor, exprimata sub forma ecuatiei polare cu originea in focar

$$\rho = \frac{2 \cdot A}{\pm \cos \theta} \quad (5.67)$$

5.2.3. Asimptota corespunzatoare ecuatiei polare cu originea in pol

Referitor la ecuatie curbei de sinteza sub forma polara cu originea in pol (4.9), se procedeaza la scrierea simplificata a coeficientilor "a,b,c", sub forma

$$a = C_1 \cdot \cos \theta + C_2 \cdot \sin \theta \quad (5.68)$$

$$b = C_3 \cdot \cos^2 \theta + C_4 \cdot \sin^2 \theta + C_5 \cdot \sin(2 \cdot \theta) + C_6 \quad (5.69)$$

$$c = C_7 \cdot \cos \theta + C_8 \cdot \sin \theta \quad (5.70)$$

unde coeficientii "C1...C8" pot fi determinati prin identificari corespunzatoare.

Din ecuatie polara cu originea in pol (4.9), tinind cont de (5.68), (5.69) si (5.70), se exprima solutiile

$$\mu_{1,2} = \frac{-b \pm \sqrt{b^2 - 4 \cdot a \cdot c}}{2 \cdot a} \quad (5.71)$$

Cautand limita data de (5.62) se constata ca " $\rho \rightarrow \infty$ " este echivalent cu " $a \rightarrow 0$ ", adica daca se anuleaza (5.68). In aceste conditii, se obtine

$$\alpha = \arctg(-C_1/C_2) \quad (5.72)$$

Tinind cont de echivalenta de mai sus, se poate deduce

$$\begin{aligned} & C_3 \cdot \cos^2 \alpha + C_4 \cdot \sin^2 \alpha + C_5 \cdot \sin(2 \cdot \alpha) + C_6 \mp \\ & \pm \{[C_3 \cdot \cos^2 \alpha + C_4 \cdot \sin^2 \alpha + C_5 \cdot \sin(2 \cdot \alpha) + C_6]^2 - \\ & - 4 \cdot (C_1 \cdot \cos \alpha + C_2 \cdot \sin \alpha) \cdot (C_7 \cdot \cos \alpha + C_8 \cdot \sin \alpha)\}^{1/2} \end{aligned} \quad (5.73)$$

Cu (5.72) si (5.73) inlocuieste in (5.61), se obtine forma asimptotei curbei centrelor/punctelor exprimata prin ecuatie polara cu originea intr-un pol al rotatiei finite (spre exemplu "P12"), (4.9).

5.2.4. Concluzii

Comparind ecuatie asimptotei ecuatiei Lichtenheldt (2.16) cu ecuatie asimptotei ecuatiei avind originea in focar (5.49), rezulta complexitatea similara, dar comparind asimptota ecuatiei Perju (2.40) cu asimptota ecuatiei cu 7 coeficienti (5.60), se constata o mai mare simplitate a celei din urma, ceea ce pledeaza in favoarea ecuatiei cu 7 coeficienti pentru a fi utilizata cu preponderenta in viitor.

Marea asemanare a relatiilor (2.40) si (5.60), pentru determinarea asimptotelor in cazul ecuatiei Perju, respectiv in cazul ecuatiei cu 7 coeficienti, releva faptul ca (2.40) si (5.60), sunt forme generalizante pentru determinarea ecuatiei generale a asimptotei la aceasta categorie de曲, rezultind urmatoarea regula:

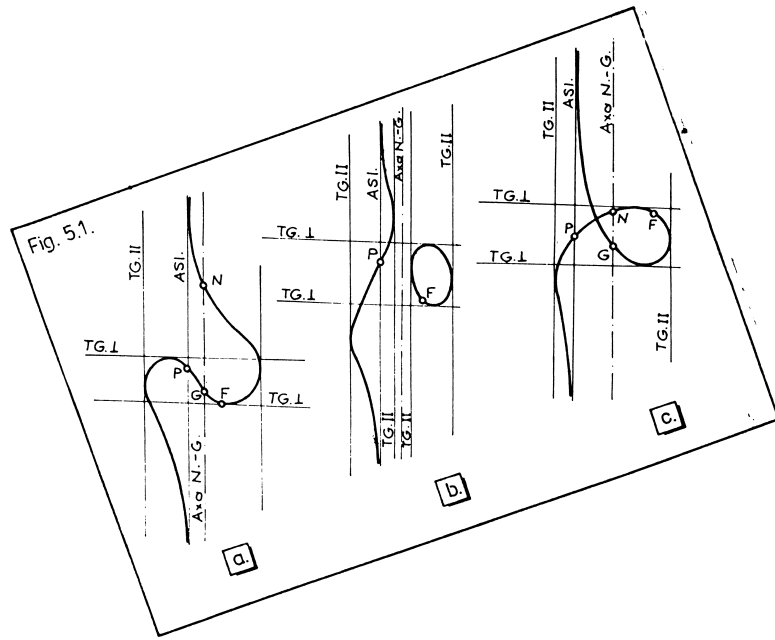
IN ECUATIA GENERALA A ASIMPTOTEI, COEFICIENTUL LUI "x" ESTE PRODUSUL COEFICIENTULUI LUI " x^3 " PRIN SUMA PATRATELOR COEFICIENTILOR LUI " x^3 " SI " y^3 ", COEFICIENTUL LUI "y" ESTE PRODUSUL COEFICIENTULUI LUI " y^3 " PRIN SUMA PATRATELOR COEFICIENTILOR LUI " x^3 " SI " y^3 ", IAR TERMENUL LIBER ESTE SUMA PRODUSELOR: PATRATUL COEFICIENTULUI LUI " x^3 " PRIN COEFICIENTUL LUI " y^2 ", PATRATUL COEFICIENTULUI LUI " y^3 " PRIN COEFICIENTUL LUI " x^2 ", COEFICIENTUL LUI " x^3 " PRIN COEFICIENTII LUI " y^3 " SI AI LUI " $x*y$ ".

Este de remarcat faptul ca asimptota (2.16), corespunzatoare ecuatiei Lichtenheldt (2.7) si asimptota (5.49), corespunzatoare ecuatiei carteziene cu originea in focar (4.3), pot fi obtinute conform regulii de mai sus.

Ecuatia asimptotei curbei exprimate in coordonate polare cu originea in focar are o forma simpla (5.67), pe cind incercarile de a determina asimptota in coordonate polare cu originea in pol (4.9), au condus la forme mult mai complicate.

Determinarea asimptotelor de mai sus a fost facuta de catre autor in [M12].

Fig. 5.1.



5.3. Determinarea punctului principal

"Punctul principal" sau "punctul central" al cubicelor ce admit o asymptota este definit in [B5] ca fiind punctul de intersectie reala al asymptotei cu cubica respectiva. Acest punct s-a notat cu "P" in fig.5.1.a,b,c.

Punctul "P" exista intotdeauna intrucit daca o cubica (curba de sinteza) si o dreapta (asymptota) au doua puncte comune (la infinit pe cele doua sensuri ale asymptotei) atunci se il va sigur in comun si pe al treilea (cel principal/central ("P").

Coordonatele punctului "P" se obtin rezolvind sistemul format din ecuatie curbei centrelor/punctelor si ecuatiei asymptotei proprii.

5.3.1. Punctul principal corespunzator ecuatiei Lichtenheldt

Sistemul amintit la subcap.5.3, in cazul ecuatiei Lichtenheldt, este format din (2.7) si (2.16). Rezolvind acest sistem se obtine

$$x_p = -A \quad (5.74)$$

$$y_p = \frac{A \cdot (2 \cdot A^2 - C) - E}{A \cdot B - D} \quad (5.75)$$

Tinind cont de identitatea (2.17) pentru ordonata "Yp" mai este posibila forma

$$y_p = \frac{2 \cdot (A^3 - E) + B \cdot D / 2}{A \cdot B - D} \quad (5.76)$$

Coeficientii "A,B,C,D,E" au semnificatia data de relatiile (2.8), (2.9), (2.10), (2.11) si (2.12).

Relatiile (5.74) si (5.75)/(5.76), prin faptul ca nu introduc restrictii (de felul unor radicali care sa admite doar anumite domenii de existenta), confirmă ca punctul principal va avea intotdeauna, o existenta reala.

**5.3.2. Punctul principal corespunzator
ecuatiei carteziene cu originea
in focar**

Sistemul amintit la subcap.5.3, in cazul ecuatiei carteziene cu originea in focar este format din (4.3) si (5.49). Rezolvind acest sistem se obtine

$$l_p = -2 \cdot A \quad (5.77)$$

$$v_p = \frac{2 \cdot A \cdot (A^2 - B^2/A - C)}{A \cdot B - D} \quad (5.78)$$

Coefficientii "A,B,C,D" au semnificatia data de relatiile (2.8), (2.9), (2.10), (2.11), iar concluzia finala a subcap. 5.3.1 poate fi verificata si in acest caz.

**5.3.3. Punctul principal corespunzator
ecuatiei Perju**

Sistemul amintit la subcap.5.3, in cazul ecuatiei Perju este format din (2.39) si (2.40). Rezolvind acest sistem se obtine

$$r_p = \frac{\begin{aligned} & [W \cdot (A^2 + B^2) + A^2 \cdot D + B^2 \cdot C - A \cdot B \cdot E] \cdot \{[W \cdot (A^2 + B^2) + A^2 \cdot D + \\ & + B^2 \cdot C - A \cdot B \cdot E] \cdot [A \cdot E - B \cdot (C - D)] - G \cdot (A^2 + B^2)^2\} + B \cdot H \cdot (A^2 + B^2)^3 \\ & \end{aligned}}{\begin{aligned} & (A^2 + B^2) \cdot \{[W \cdot (A^2 + B^2) + A^2 \cdot D + B^2 \cdot C - A \cdot B \cdot E] \cdot \\ & \cdot [E \cdot (A^2 - B^2) - 2 \cdot A \cdot B \cdot (C - D)] + (A^2 + B^2)^2 \cdot (B \cdot F - A \cdot G)\}} \quad (5.79)$$

$$v_p = \frac{\begin{aligned} & [W \cdot (A^2 + B^2) + A^2 \cdot D + B^2 \cdot C - A \cdot B \cdot E] \cdot \{[W \cdot (A^2 + B^2) + A^2 \cdot D + \\ & + B^2 \cdot C - A \cdot B \cdot E] \cdot [B \cdot E - A \cdot (D - C)] - F \cdot (A^2 + B^2)^2\} + A \cdot H \cdot (A^2 + B^2)^3 \\ & \end{aligned}}{\begin{aligned} & (A^2 + B^2) \cdot \{[W \cdot (A^2 + B^2) + A^2 \cdot D + B^2 \cdot C - A \cdot B \cdot E] \cdot \\ & \cdot [E \cdot (B^2 - A^2) - 2 \cdot A \cdot B \cdot (D - C)] + (A^2 + B^2)^2 \cdot (A \cdot G - B \cdot F)\}} \quad (5.80)$$

Coefficientii "A,B,C,D,E,F,G,H,W" au semnificatia data de relatiile (2.23), (2.24), (2.25), (2.26), (2.27), (2.28), (2.29), (2.30) si (2.31), iar desi aceste coordonate au o expresie mult mai complicata decit in cazurile anterioare, concluzia din subcap.5.3.1 se poate extinde si in acest caz.

**5.3.4. Punctul principal corespunzator
ecuatiei cu sapte coeficienti**

Sistemul amintit la subcap.5.3, in cazul ecuatiei cu 7 coeficienti este format din (2.32) si (2.60). Rezolvind acest sistem se obtine

$$\nu_p = \frac{(A \cdot B \cdot F - A^2 \cdot G - B^2 \cdot E) \cdot \{(A \cdot B \cdot F - A^2 \cdot G - B^2 \cdot E) \cdot \{[A \cdot F + B \cdot (G - E)] + I \cdot (A^2 + B^2)^2\} + B \cdot (A^2 + B^2)^3\}}{(A^2 + B^2) \cdot \{(A \cdot B \cdot F - A^2 \cdot G - B^2 \cdot E) \cdot [F \cdot (B^2 - A^2) + 2 \cdot A \cdot B \cdot (E - G)] + (A^2 + B^2)^2 \cdot (B \cdot H - A \cdot I)\}} \quad (5.81)$$

$$\nu_p = \frac{(A \cdot B \cdot F - A^2 \cdot G - B^2 \cdot E) \cdot \{(A \cdot B \cdot F - A^2 \cdot G - B^2 \cdot E) \cdot \{[B \cdot F + A \cdot (E - G)] + H \cdot (A^2 + B^2)^2\} + A \cdot (A^2 + B^2)^3\}}{(A^2 + B^2) \cdot \{(A \cdot B \cdot F - A^2 \cdot G - B^2 \cdot E) \cdot [F \cdot (A^2 - B^2) + 2 \cdot A \cdot B \cdot (G - E)] + (A^2 + B^2)^2 \cdot (A \cdot I - B \cdot H)\}} \quad (5.82)$$

Coefficientii "A,B,E,F,G,H,I" au semnificatia din ecuatia 4.32), iar concluzia din subcap.5.3.1 se poate extinde si in acest caz.

**5.3.5. Punctul principal corespunzator
ecuatiei polare cu originea in
focar**

Sistemul amintit la subcap.5.3, in cazul ecuatiei polare cu originea in focar este format din (4.6) si (5.67). Rezolvind acest sistem, se obtine

$$\nu_p = \operatorname{arctg} \frac{B^2/4 + C - A^2}{A \cdot B - D} \quad (5.83)$$

Inlocuind (5.83) in (5.67), se obtine

$$\nu = \frac{2 \cdot A}{\pm \cos \operatorname{arctg} \frac{B^2/4 + C - A^2}{A \cdot B - D}} \quad (5.84)$$

Coefficientii "A,B,C,D" au semnificatia data de relatiile 2.8), (2.9), (2.10) si (2.11).

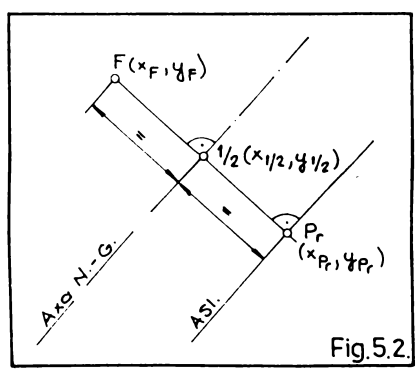


Fig.5.2.

5.3.6. Concluzii

Comparind coordonatele punctului principal al ecuației Lichtenheldt cu coordonatele punctului principal al ecuației carteziene cu originea în focar, adică (5.74) cu (5.77) și (5.75)/(5.76) cu (5.78) se constată complexitate similară. Comparind coordonatele punctului principal corespunzătoare ecuației "Perju" cu cele corespunzătoare ecuației cu 7 coeficienți, adică (5.79) cu (5.81) și (5.80) cu (5.82) se constată o simplitate mai mare în favoarea ecuației cu 7 coeficienți. Punctul principal pentru ecuația polară cu originea în pol tinând seama de (5.72) și (5.73) ar conduce la coordonate polare mult mai complicate decit (5.83) și (5.84) ceea ce pledează pentru focar ca origine, în general, în scopul obținerii de ecuații mai simple.

Determinarea coordonatelor de mai sus ale punctului principal, a fost făcută de către autor în [M11].

5.4. Determinarea axei medii (Newton-Gauss)

Axa medie (Newton-Gauss) se construiește geometric ca în fig.2.11, conform subcap.2.4.1. Pentru ecuația Lichtenheldt (2.7) ecuația axei medii este (2.13).

In cele ce urmează, se vor determina ecuațiile axelor medii corespunzătoare curbelor centrelor/punctelor exprimate prin ecuații deja cunoscute (forma Perju (2.39)) sau unele ecuații deduse în capitolul precedent (carteziana cu originea în focar, cu 7 coeficienți).

Pentru ecuația carteziana cu originea în focar (4.3) ecuația axei Newton-Gauss se stabilește tinind cont că aceasta este paralela cu asymptota (5.49), trecind pe lângă jumătatea distantei dintre focar și asymptota. În consecință ecuația axei medii corespunzătoare ecuației carteziene cu originea în focar, (4.3), este

$$U \doteq -A$$

$$(5.85)$$

Rationamentul de mai sus se regăseste în fig.5.2, unde s-au

mai notat, fata de paragraful 2.1, cu "Pr" proiectia focalului pe asymptota si cu "1/2" mijlocul segmentului "FPr".

5.4.1. Axa Newton-Gauss corespunzatoare ecuatiei Perju

Avind ecuatie asymptotei (2.40) corespunzatoare ecuatiei Perju a curbelor de sinteza (2.39) si tinind cont ca panta unei drepte perpendicular pe asymptota este " B/A " s-a scris ecuatiei dreptei perpendicular pe asymptota care trece prin focalul "F" (coordonatele acestuia in sistemul general de axe "xoy" sunt date de (5.33) si (5.34)) sub forma

$$y - \frac{B \cdot (C - D) - A \cdot E}{2 \cdot (A^2 + B^2)} = \frac{B}{A} \cdot \left[x - \frac{A \cdot (D - C) - B \cdot E}{2 \cdot (A^2 + B^2)} \right] \quad (5.86)$$

care poate fi adusa dupa simplificari si reduceri la o forma mai simpla

$$2 \cdot B \cdot (A^2 + B^2) \cdot x - 2 \cdot A \cdot (A^2 + B^2) \cdot y - 2 \cdot A \cdot B \cdot (D - C) - E \cdot (A^2 - B^2) = 0 \quad (5.87)$$

Sistemul liniar de doua ecuatii cu doua necunoscute format din (2.40) si (5.87) se poate rezolva conducind la coordonatele proiectiei focalului pe asymptota

$$x_{Pr} = \frac{2 \cdot A \cdot [D \cdot (B^2 - A^2) - 2 \cdot B^2 \cdot C - W \cdot (A^2 + B^2)] + B \cdot E \cdot (3 \cdot A^2 - B^2)}{2 \cdot (A^2 + B^2)^2} \quad (5.88)$$

$$y_{Pr} = \frac{2 \cdot B \cdot [C \cdot (A^2 - B^2) - 2 \cdot A^2 \cdot D - W \cdot (A^2 + B^2)] + A \cdot E \cdot (3 \cdot B^2 - A^2)}{2 \cdot (A^2 + B^2)^2} \quad (5.89)$$

Coordonatele jumatatii segmentului "FPr" se obtin imediat

$$x_{1/2} = \frac{A \cdot B \cdot (3 \cdot B \cdot D - 5 \cdot B \cdot C - 2 \cdot B \cdot W + 2 \cdot A \cdot E) - A^3 \cdot (D + 2 \cdot W + C) - 2 \cdot B^3 \cdot E}{4 \cdot (A^2 + B^2)^2} \quad (5.90)$$

$$y_{1/2} = \frac{A \cdot B \cdot (3 \cdot A \cdot C - 5 \cdot A \cdot D - 2 \cdot A \cdot W + 2 \cdot B \cdot E) - B^3 \cdot (C + 2 \cdot W + D) - 2 \cdot A^3 \cdot E}{4 \cdot (A^2 + B^2)^2} \quad (5.91)$$

Ecuatia axei Newton-Gauss se scrie ca ecuatiei dreptei avind aceeasi panta cu asymptota (" $-A/B$ ") si care trece prin punctul

"1/2", sub forma

$$y - y_{1/2} = -\frac{A}{B} \cdot (x - x_{1/2}) \quad (5.92)$$

Tinind cont de (5.90) si (5.91) in (5.92), dupa prelucrari se obtine ecuatie generala a axei Newton-Gauss, corespunzatoare ecuatiei Perju

$$4 \cdot A \cdot x + 4 \cdot B \cdot y + C + D + 2 \cdot W = 0 \quad (5.93)$$

5.4.2. Axa Newton-Gauss corespunzatoare ecuatiei cu sapte coeficienti

Avind ecuatie asymptotei (5.60) corespunzatoare ecuatiei cu 7 coeficienti (4.32) si tinind cont ca panta unei drepte perpendicularare pe asymptota este "B/A", s-a scris ecuatie dreptei perpendicularare pe asymptota care trece prin focalul "F" (coordonatele acestuia in sistemul general de axe "xoy" sunt date de (5.47) si (5.48)), sub forma

$$y - \frac{B \cdot (E - G) - A \cdot F}{2 \cdot (A^2 + B^2)} = \frac{B}{A} \cdot \left[x - \frac{A \cdot (G - E) - B \cdot F}{2 \cdot (A^2 + B^2)} \right] \quad (5.94)$$

Care poate fi adusa dupa simplificari si reduceri, la forma mai simpla

$$2 \cdot B \cdot (A^2 + B^2) \cdot x - 2 \cdot A \cdot (A^2 + B^2) \cdot y - 2 \cdot A \cdot B \cdot (G - E) - F \cdot (A^2 - B^2) = 0 \quad (5.95)$$

Sistemul liniar de doua ecuatii cu doua necunoscute, format din (5.60) si (5.95) se poate rezolva, conducind la coordonatele proiectiei focalului pe asymptota:

$$x_{Pr} = \frac{B \cdot F \cdot (3 \cdot A^2 - B^2) - 2 \cdot A \cdot [G \cdot (A^2 - B^2) + 2 \cdot B^2 \cdot E]}{2 \cdot (A^2 + B^2)^2} \quad (5.96)$$

$$y_{Pr} = \frac{A \cdot F \cdot (3 \cdot B^2 - A^2) - 2 \cdot B \cdot [E \cdot (B^2 - A^2) + 2 \cdot A^2 \cdot G]}{2 \cdot (A^2 + B^2)^2} \quad (5.97)$$

Coordonatele jumplatii segmentului "FPr" se obtin imediat

$$x_{1/2} = \frac{A^2 \cdot [2 \cdot B \cdot F - A \cdot (E + G)] + B^2 \cdot [A \cdot (3 \cdot G - 5 \cdot E) - 2 \cdot B \cdot F]}{4 \cdot (A^2 + B^2)^2} \quad (5.98)$$

$$y_{1/2} = \frac{B^2 \cdot [2 \cdot A \cdot F - B \cdot (E + G)] + A^2 \cdot [B \cdot (3 \cdot E - 5 \cdot G) - 2 \cdot A \cdot F]}{4 \cdot (A^2 + B^2)^2} \quad (5.99)$$

Ecuatia axei Newton-Gauss se scrie ca ecuatia dreptei avind aceeasi panta cu asymptota (" $-A/B$ ") si care trece prin punctul " $1/2$ ", sub forma (5.92). Tinind cont de (5.98) si (5.99) in (5.92), dupa prelucrari, se obtine ecuatia generala a axei Newton-Gauss corespunzatoare ecuatiei cu 7 coeficienti

$$4 \cdot A \cdot x + 4 \cdot B \cdot y + E + G = 0 \quad (5.100)$$

5.4.3. Concluzii

Marea asemanare a relatiilor (5.93) cu (5.100) pentru determinarea axelor medii (Newton-Gauss) in cazul ecuatiei Perju, respectiv in cazul ecuatiei cu 7 coeficienti, releva faptul ca (5.93) si (5.100) sunt forme generale pentru determinarea ecuatiei generale a axei medii la aceasta categorie de cubice, dupa urmatoarea regula

IN ECUATIA GENERALA A AXEI NEWTON-GAUSS COEFICIENTUL LUI "x" ESTE CUADRUPUL COEFICIENTULUI LUI " x^3 ", COEFICIENTUL LUI "y" ESTE CUADRUPUL COEFICIENTULUI LUI " y^3 ", IAR TERMENUL LIBER ESTE SUMA COEFICIENTILOR LUI " x^2 " SI " y^2 ".

De remarcat ca ecuatiile axei Newton-Gauss (2.13), corespunzatoare ecuatiei Lichtenheldt (2.7) si a axei Newton-Gauss (5.85), corespunzatoare ecuatiei carteziene cu originea in focar (4.3), pot fi obtinute conform regulii de mai sus.

Se observa ca ecuatia axei Newton-Gauss (5.100) corespunzatoare ecuatiei cu 7 coeficienti (4.32), este mai simpla decit ecuatia axei Newton-Gauss (5.93) corespunzatoare ecuatiei Perju (2.39), fapt favorabil primeia dintre ele inecomandarea de a fi utilizata cu preponderenta in viitoarele aplicatii.

Ecuatiile corespunzatoare axei Newton-Gauss puse in evidenta prin acest paragraf, au constituit preocuparea utorului in [M12].

**5.5. Determinarea intersectiilor
cu axa medie**

Exceptind asimptota (care intersecteaza curba de sinteza intr-un singur punct real), o dreapta paralela cu axa Newton-Gauss intersecteaza curba de sinteza in doua puncte sau nu o intersecteaza de loc. Acest lucru este relevat in subcap.2.4.5.2.

Se vor nota cele doua puncte cu "N" (de la Newton) si cu "G" (de la Gauss). Coordonatele punctelor "N" si "G" se vor obtine rezolvind sistemul format din ecuatiiile curbelor de sinteza si ecuatiiile corespunzatoare ale axei Newton-Gauss (axa medie).

Ca orice sistem de ecuatii si cel amintit mai sus poate fi redus, in rezolvarea lui, la o ecuatie care in acest caz este de gradul doi. De aici va aparea "discutia" asupra domeniilor de existenta/inexistenta a solutiilor.

**5.5.1. Intersectiile cu axa medie in
cazul ecuatiei Lichtenheldt**

Sistemul amintit mai sus este format din ecuatie Lichtenheldt (2.7) si ecuatie axei Newton-Gauss (2.13).

Rezolvind acest sistem se obtin coordonatele punctului "N"

$$X_N = 0 \quad (5.101)$$

$$Y_N = \frac{D + \sqrt{D^2 - 4 \cdot A \cdot E}}{2 \cdot A} \quad (5.102)$$

si ale punctului "G"

$$X_G = 0 \quad (5.103)$$

$$Y_G = \frac{D - \sqrt{D^2 - 4 \cdot A \cdot E}}{2 \cdot A} \quad (5.104)$$

Cele doua puncte exista daca expresia de sub radical studiata si sub forma (2.18) la subcap.2.4.3.2, este pozitiva.

In corelatie cu subcap.2.4.3.2, se remarcă faptul ca punctele "N" și "G" există ca puncte reale dacă curba centrelor/punctelor are o singură ramură, conform fig.5.1.a și fig.5.1.c.

In cazul cind curba centrelor/punctelor are două ramuri, axa medie trece printr-o zonă în care nu există centre/puncte (deci nici puncte "N"/"G"), conform fig.5.1.b sau conform fig.5.3 (linie continuă).

Cazul din fig.5.3 (linie intreruptă) nu este posibil intrucit ar însemna că axa medie (Newton-Gauss) intersectează curba centrelor/punctelor în patru puncte ceea ce contravine evidențelor din subcap.5.5 cu privire la ecuațiile de gradul doi (se va discuta și în subcap.5.6).

5.5.2. Intersecțiile cu axa medie în cazul ecuației carteziene cu originea în focar

Sistemul necesar pentru determinarea punctelor "N" și "G", este format din ecuația carteziană cu originea în focar (4.3) și ecuația axei medii corespunzătoare (5.85). Rezolvând acest sistem se obțin coordonatele punctului "N"

$$U_N = -A \quad (5.105)$$

$$V_N = \frac{D - A \cdot B + \sqrt{D^2 - 2 \cdot A \cdot (2 \cdot A \cdot C + B \cdot D)}}{2 \cdot A} \quad (5.106)$$

sau ale punctului "G"

$$U_G = -A \quad (5.107)$$

$$V_G = \frac{D - A \cdot B - \sqrt{D^2 - 2 \cdot A \cdot (2 \cdot A \cdot C + B \cdot D)}}{2 \cdot A} \quad (5.108)$$

Considerind identitatea (2.117) în (5.106) și (5.108), se obțin

$$V_N = \frac{D - A \cdot B + \sqrt{D^2 - 4 \cdot A \cdot E}}{2 \cdot A} \quad (5.109)$$

$$V_0 = \frac{D - A \cdot B - \sqrt{D^2 - 4 \cdot A \cdot E}}{2 \cdot A} \quad (5.110)$$

In acest subcapitol sunt valabile aceleasi concluzii ca si in subcapitolul precedent. Atit acolo cit si aici coeficientii "A,B,C,D,E", au semnificatia data de relatiile (2.8)...(2.12).

5.5.3. Intersectiile cu axa medie in cazul ecuatiei Perju

In acest caz trebuie rezolvat sistemul format din ecuatie Perju (2.39) si ecuatie corespunzatoare a axei medii (5.93). Se obtin, printr-o dubla inlocuire, coordonatele punctelor "N" si "G", sub forma

$$\begin{aligned} & -[(D + C + 2 \cdot W) \cdot (2 \cdot W - C + 3 \cdot D + 2 \cdot B \cdot E) + 8 \cdot B^2 \cdot (F - A \cdot G)]/2 \pm \\ & \pm \{[(D + C + 2 \cdot W) \cdot (2 \cdot W - C + 3 \cdot D + 2 \cdot B \cdot E) + 8 \cdot B^2 \cdot (F - A \cdot G)]^2/4 - \\ & - [B^2 \cdot (2 \cdot W - 3 \cdot C - D) + A^2 \cdot (2 \cdot W - C + 3 \cdot D) - 4 \cdot B \cdot A \cdot E] \cdot \{(D + C + \\ & + 2 \cdot W) \cdot [(2 \cdot W - C + 3 \cdot D) \cdot (D + C + 2 \cdot W) - 16 \cdot B^2 \cdot F] + 64 \cdot B^2 \cdot H\}/2\}^{1/2} \\ & x_{N,G} = \frac{2 \cdot [B^2 \cdot (2 \cdot W + 3 \cdot C - D) + A^2 \cdot (2 \cdot W - C + 3 \cdot D) - 4 \cdot B \cdot A \cdot E]}{x_{N,G}} \end{aligned} \quad (5.111)$$

$$\begin{aligned} & -[(C + D + 2 \cdot W) \cdot (2 \cdot W - D + 3 \cdot C + 2 \cdot A \cdot E) + 8 \cdot A^2 \cdot (G - B \cdot F)]/2 \pm \\ & \pm \{[(C + D + 2 \cdot W) \cdot (2 \cdot W - D + 3 \cdot C + 2 \cdot A \cdot E) + 8 \cdot A^2 \cdot (G - B \cdot F)]^2/4 - \\ & - [A^2 \cdot (2 \cdot W - 3 \cdot D - C) + B^2 \cdot (2 \cdot W - D + 3 \cdot C) - 4 \cdot A \cdot B \cdot E] \cdot \{(C + D + \\ & + 2 \cdot W) \cdot [(2 \cdot W - D + 3 \cdot C) \cdot (C + D + 2 \cdot W) - 16 \cdot A^2 \cdot F] + 64 \cdot A^2 \cdot H\}/2\}^{1/2} \\ & y_{N,G} = \frac{2 \cdot [A^2 \cdot (2 \cdot W + 3 \cdot D - C) + B^2 \cdot (2 \cdot W - D + 3 \cdot C) - 4 \cdot A \cdot B \cdot E]}{y_{N,G}} \end{aligned} \quad (5.112)$$

In (5.111) si (5.112) coordonatelor punctului "N" le corespunde semnul "+" in fata radicalului, iar coordonatelor punctului "G" le corespunde semnul "-" in fata aceluiasi radical.

5.5.4. Intersectiile cu axa medie in cazul ecuatiei cu sapte coeficienti

In acest caz trebuie rezolvat sistemul format din ecuatie cu 7 coeficienti (4.32) si ecuatie corespunzatoare a axei medii (5.100). Se obtin coordonatele punctelor "N" si "G", sub forma

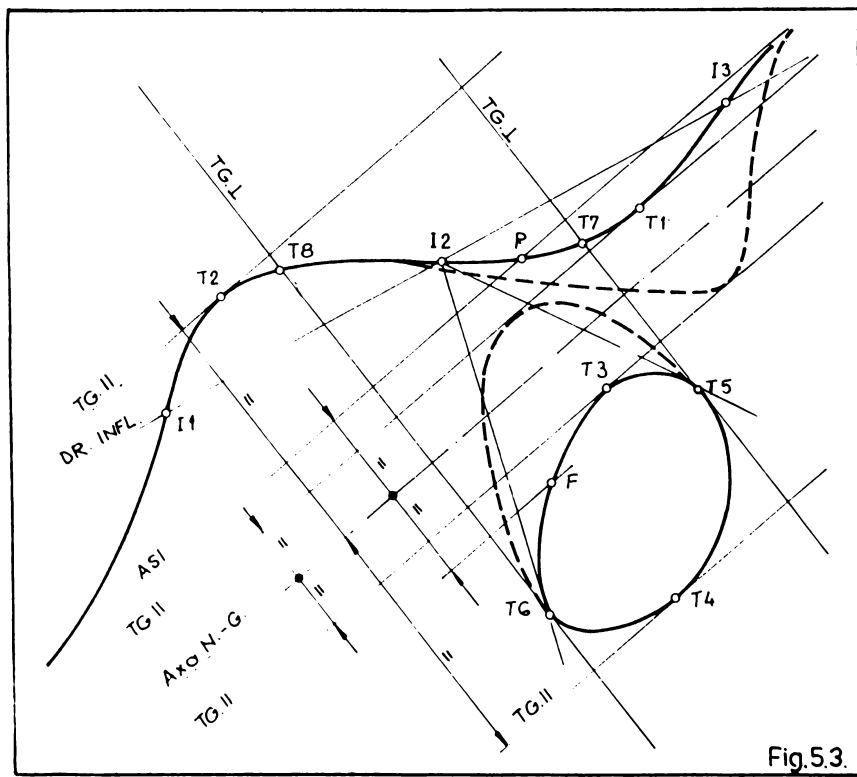


Fig.5.3.

$$\begin{aligned} & -[(E+G) \cdot (3 \cdot A \cdot G - E \cdot A - 2 \cdot F \cdot B) - 8 \cdot B \cdot (A \cdot I - B \cdot H)] \pm \\ & \pm \{(E+G) \cdot (3 \cdot A \cdot G - E \cdot A - 2 \cdot F \cdot B) - 8 \cdot B \cdot (A \cdot I - B \cdot H)\}^2 - [4 \cdot (A^2 \cdot G - A \cdot B \cdot F + \\ & + B^2 \cdot E) - (A^2 + B^2) \cdot (E+G)] \cdot \{(E+G) \cdot [(3 \cdot G - E) \cdot (E+G) - 16 \cdot B \cdot I] + 64 \cdot B^2\}]^{1/2} \\ & \cdot_{N,G} = \frac{+B^2 \cdot E) - (A^2 + B^2) \cdot (E+G)] \cdot \{(E+G) \cdot [(3 \cdot G - E) \cdot (E+G) - 16 \cdot B \cdot I] + 64 \cdot B^2\}]^{1/2}}{4 \cdot [4 \cdot (B^2 \cdot E - A \cdot B \cdot F + A^2 \cdot G) - (A^2 + B^2) \cdot (E+G)]} \end{aligned} \quad (5.113)$$

$$\begin{aligned} & -[(E+G) \cdot (3 \cdot B \cdot E - G \cdot B - 2 \cdot F \cdot A) - 8 \cdot A \cdot (B \cdot H - A \cdot I)] \pm \\ & \pm \{(E+G) \cdot (3 \cdot B \cdot E - G \cdot B - 2 \cdot F \cdot A) - 8 \cdot A \cdot (B \cdot H - A \cdot I)\}^2 - [4 \cdot (B^2 \cdot E - A \cdot B \cdot F + \\ & + A^2 \cdot G) - (A^2 + B^2) \cdot (E+G)] \cdot \{(E+G) \cdot [(3 \cdot E - G) \cdot (E+G) - 16 \cdot A \cdot H] + 64 \cdot A^2\}]^{1/2} \\ & \cdot_{N,G} = \frac{+A^2 \cdot G) - (A^2 + B^2) \cdot (E+G)] \cdot \{(E+G) \cdot [(3 \cdot E - G) \cdot (E+G) - 16 \cdot A \cdot H] + 64 \cdot A^2\}]^{1/2}}{4 \cdot [4 \cdot (B^2 \cdot E - A \cdot B \cdot F + A^2 \cdot G) - (A^2 + B^2) \cdot (E+G)]} \end{aligned} \quad (5.114)$$

In (5.113) si (5.114) coordonatelor punctului "N" le corespunde semnul "+" in fata radicalului, iar coordonatelor punctului "G" le corespunde semnul "-" in fata aceliasi radical.

5.5.5. Concluzii

In subcap.5.5 se releva clar faptul ca unele proprietati geometrice apar mai pregnante, daca formele ecuatiilor sint mai simple (subcap.5.5.1 si subcap.5.5.2). Relatiile din subcap.5.5.3 (pentru ecuatia Perju) si subcap.5.5.4 (pentru ecuatie cu 7 coeficienti) sint greu abordabile, sansa de a gresi fiind foarte mare la transcrierea acestora (desi se constata o "oarecare" simplitate in favoarea ecuatiei cu 7 coeficienti fata de ecuatie Perju).

Intersectiile cu axa medie a curbelor de sinteza au fost partial stabilite de catre autor in [M11].

5.6. Determinarea tangentelor paralele cu asymptota/axa medie

Tangentele paralele cu asymptota/axa medie a curbei centrelor/punctelor, se disting in fig.5.1 si fig.5.3. Determinarea acestor tangente, incepe prin a scrie o dreapta parametrica paralela cu asymptota/axa medie a curbei centrelor/punctelor. Inlocuind, in general, "necunoscuta x" din expresia dreptei parametrice in ecuatia curbei centrelor/

punctelor se obtine o ecuatie "de grad II in y ". Punind conditia ca ecuatia de grad II de mai sus sa aiba solutii confundate se obtine o ecuatie ce permite determinarea parametrului de asa maniera incit inlocuind valoarea respectiva in ecuatia dreptei parametric, aceasta sa fie ecuatia tangentei cautate.

In cazul ecuatiei Lichtenheldt (2.7) si al ecuatiei carteziene cu originea in focar (4.3), inlocuirea lui " x " amintita este simpla, fiind dubla in cazul celorlalte ecuatii (adica se inlocuieste mai intii " $A*x+B*y$ " iar apoi " x ").

5.6.1. Tangentele paralele pentru ecuatia Lichtenheldt

Pentru ecuatia Lichtenheldt (2.7), relatia

$$X = k \quad (5.115)$$

reprezinta o familie de drepte paralele cu asimptota/axa medie.
Inlocuind (5.115) in (2.7), se obtine

$$(k + A) \cdot Y^2 - (B \cdot k + D) \cdot Y + k^3 - A \cdot k^2 - C \cdot k + E = 0 \quad (5.116)$$

ale carei solutii sint

$$\gamma_{1,2} = \frac{B \cdot k + D \pm \sqrt{(B \cdot k + D)^2 - 4 \cdot (A + k) \cdot (k^3 - A \cdot k^2 - C \cdot k + E)}}{2 \cdot (A + k)} \quad (5.117)$$

Impunind ca cele doua solutii sa fie confundate (dreapta (5.115) sa fie tangenta), trebuie ca expresia de sub radical sa se anuleze. Tinind cont si de identitatea (2.17), radicalul anulat conduce la

$$-4k^4 + k^2 \cdot (B^2 + 4 \cdot A^2 + 4 \cdot C) + D^2 - 4 \cdot A \cdot E = 0 \quad (5.118)$$

care este o ecuatie bipatrata. Aceasta are solutiile

$$\gamma_{1,2,3,4} = \pm \sqrt{\frac{B^2 + 4 \cdot A^2 + 4 \cdot C \mp \sqrt{(B^2 + 4 \cdot A^2 + 4 \cdot C)^2 + 16D^2 - 64 \cdot A \cdot E}}{8}} \quad (5.119)$$

Inlocuind relatiile date de (5.119) in (5.115), se obtin ecuatiile tangentelor paralele cu asimptota/axa medie in cazul ecuatiei Lichtenheldt (2.7) a curbei centrelor/punctelor

$$X = k_{1,2,3,4} \quad (5.120)$$

Analizind (5.119) in contextul dat de (5.115), se pot trage urmatoarele concluzii:

- EXISTA MAXIMUM PATRU TANGENTE PARALELE CU ASIMPTOTA OBTEMABILE INLOCUIND SOLUTIILE (5.119) IN (5.115).
- TANGENTELE PARALELE CU ASIMPTOTA/AXA MEDIE SINT DOUA CITE DOUA SIMETRICE FATA DE AXA MEDIE/NEWTON-GAUSS.
- DACA EXPRESIA

$$(B^2 + 4 \cdot A + 4 \cdot C)^2 + 16 \cdot D^2 - 64 \cdot A \cdot E = 0 \quad (5.121)$$

SUBZISTA, ATUNCI SE OBTIN DOAR DOUA TANGENTE PARALELE CU ASIMPTOTA, SIMETRICE FATA DE AXA MEDIE/NEWTON-GAUSS.

- ANULAREA EXPRESIEI (5.121) CONSTITUIE O CONDITIE SUPLIMENTARA IN RAPORT CU EXPRESIA (2.18), REZULTIND CA FORMA CURBEI CENTRELOR/PUNCTELOR CU O SINGURA RAMURA DIN FIG.5.1.a, ESTE MAI RARA DECIT CEA CU DOUA RAMURI DIN FIG.5.1.b.
- CEL MAI FRECVENT SE VOR OBTINE CURBE ALE CENTRELOR/PUNCTELOR CU DOUA RAMURI SI PATRU TANGENTE CA IN FIG.5.1.b. SI FIG.5.3 (LINIE CONTINUA).
- INTRE "CELE DOUA TANGENTE INTERIOARE" EXISTA O BANDA SIMETRIC REPARTIZATA FATA DE AXA MEDIE/NEWTON-GAUSS IN CARE NU SE GASESC PUNCTE/CENTRE ALE CURBEI PUNCTELOR/CENTRELOR, CA IN FIG.5.3 (LINIE CONTINUA).
- CELE DOUA RAMURI ALE CURBEI SE GASESC IN DOUA BENZI, DE LATIME EGALA, CUPRINSE FIECARE INTRE TANGENTELE EXTERIOARE SI INTERIOARE, DISPUSE SIMETRIC IN RAPORT CU AXA MEDIE/NEWTON-GAUSS, CA IN FIG.5.3 (LINIE CONTINUA).
- IN EXTERIORUL TANGENTELOR EXTERIOARE PARALELE CU AXA MEDIE NU EXISTA CENTRE/PUNCTE ALE CURBEI CENTRELOR/PUNCTELOR, CA IN FIG.5.3 (LINIE CONTINUA).
- FORMA CU LINIE INTRERUPTA DIN FIG.5.3, NU ESTE POSIBILA PENTRU O CURBA DE SINTEZA, INTRUCIT PRESUPUNE PATRU INTERSECTII REALE INTRE O CUBICA (CURBA CENTRELOR/PUNCTELOR) SI O DREAPTA (AXA MEDIE), FAPT IMPOZIBIL CONFORM TEOREMEI LUI BEZOUT.

**5.6.2. Tangentele paralele pentru
ecuatie carteziana cu originea
in focar**

Pentru ecuatie carteziana cu originea in focar (4.3), relatia

$$U = k \quad (5.122)$$

reprezinta o familie de drepte paralele cu asymptota/axa medie. Inlocuind (5.122) in (4.3), se obtine

$$V^2 \cdot (k + 2 \cdot A) + (A \cdot B - D) \cdot V + k^2 \cdot (k + 2 \cdot A) + (A^2 - B^2/4 - C) \cdot k = 0 \quad (5.123)$$

ale carei solutii sint

$$V_{1,2} = \frac{-A \cdot B + D \pm \sqrt{(A \cdot B - D)^2 - 4 \cdot (k + 2 \cdot A) \cdot [k^2 \cdot (k + 2 \cdot A) + (A^2 - B^2/4 - C) \cdot k]}}{2 \cdot (k + 2 \cdot A)} \quad (5.124)$$

Impunind ca cele doua solutii sa fie confundate (dreapta (5.122) sa fie tangenta), trebuie ca expresia de sub radical sa se anuleze. Aceasta conduce la

$$4 \cdot k^4 + 16 \cdot A \cdot k^3 + (20 \cdot A^2 - B^2 - 4 \cdot C) \cdot k^2 + 2 \cdot A \cdot (4 \cdot A^2 - B^2 - 2 \cdot C) \cdot k - (A \cdot B - D)^2 = 0 \quad (5.125)$$

Care poate fi rezolvata doar prin metode numerice. Solutiile "k1, k2, k3, k4" obtinute, inlocuite in (5.122) dau ecuatiiile tangentelor paralele cu asymptota/axa medie in sistemul "UFV"

$$U = k_{1,2,3,4} \quad (5.126)$$

**5.6.3. Tangentele paralele pentru
ecuatie Perju**

Pentru ecuatie Perju (2.39), relatia

$$A \cdot x + B \cdot y + k = 0 \quad (5.127)$$

reprezinta o familie de drepte paralele cu asymptota/axa medie.

Inlocuind de două ori (5.127) în (2.39), se obtine

$$y^2 \cdot [(B^2/A^2 + 1) \cdot (W - k) + C \cdot B^2/A^2 + D - E \cdot A/B] + y \cdot [2 \cdot k \cdot B \cdot (W - k)/A + 2 \cdot k \cdot B \cdot C/A - E \cdot k - F \cdot B/A + G] + k^2 \cdot (W - k) + C \cdot k^2 - F \cdot k + H = 0 \quad (5.128)$$

ale cărei solutii sint

$$y_{1,2} = \frac{-2 \cdot k \cdot B \cdot (W - k + C)/A + E \cdot k + B \cdot F/A - G \pm \{[2 \cdot k \cdot B \cdot (W - k + c)/A + E \cdot k + F \cdot B/A - G]^2 - 4 \cdot [(B^2/A^2 + 1) \cdot (W - k) + C \cdot B^2/A^2 + D - E \cdot B/A] \cdot [k^2 \cdot (W - k + c) - F \cdot k + H]\}^{1/2}}{2 \cdot [(B^2/A^2 + 1) \cdot (W - k) + B^2 \cdot C/A + D - B \cdot E/A]} \quad (5.129)$$

Impunind ca cele două solutii să fie confundate (dreapta (5.127) să fie tangentă), trebuie ca expresia de sub radical să se anuleze. Aceasta conduce la

$$\begin{aligned} & -4 \cdot A^2 \cdot k^4 + 4 \cdot [A^2 \cdot (D - C + 2 \cdot W) - 2 \cdot B \cdot (B \cdot C + A \cdot E)] \cdot k^3 + \\ & + 8 \cdot B^2 \cdot [C \cdot (C + W) - F] + 4 \cdot A \cdot B \cdot (2 \cdot E \cdot W + G) + A^2 \cdot [E^2 + 4 \cdot (D + W) \cdot (C + W) - 4 \cdot F] \cdot k^2 + \\ & + [4 \cdot B^2 \cdot [2 \cdot C \cdot (C + W) + H] + 2 \cdot A \cdot B \cdot [2 \cdot G \cdot (C + W) - E \cdot F] + 2 \cdot A^2 \cdot [2 \cdot F \cdot (D + W) + 2 \cdot H - E \cdot G]] \cdot k^4 \\ & + B^2 \cdot [F^2 - 4 \cdot H \cdot (C + W)] + 2 \cdot A \cdot B \cdot (2 \cdot E \cdot H - F \cdot G) + G^2 - 4 \cdot H \cdot (D + W) = 0 \end{aligned} \quad (5.130)$$

Care poate fi rezolvata doar prin metode numerice. Solutiile "k1,k2,k3,k4" obtinute, inlocuite in (5.127), dau ecuatii tangentelor paralele cu asymptota/axa medie in sistemul "xoy"

$$A \cdot x + B \cdot y + k_{1,2,3,4} = 0 \quad (5.131)$$

5.6.4. Tangentele paralele pentru ecuația cu sapte coeficienți

Pentru ecuația cu 7 coeficienți (4.32), relația (5.127), la fel ca și pentru ecuația (4.32), reprezintă o familie de drepte paralele cu asymptota/axa medie. Inlocuind de două ori (5.127) în (4.32), se obtine

$$y^2 \cdot [B^2 \cdot (E - k)/A^2 - B \cdot F/A + G - k] + y \cdot [B \cdot (2 \cdot E \cdot k - 2 \cdot k^2 - H)/A - F \cdot k + I] + (E \cdot k^2 - K^3 - H \cdot k + 1) = 0 \quad (5.132)$$

ale cărei solutii sint

$$y_{1,2} = \frac{F \cdot k - I - B \cdot (2 \cdot E \cdot k - 2 \cdot k^2 - H)/A \pm \{B^2 \cdot (2 \cdot E \cdot k - 2 \cdot k^2 - H)^2/A^2 + F^2 \cdot k^2 + \\ + I^2 - 2 \cdot B \cdot F \cdot k \cdot (2 \cdot E \cdot k - 2 \cdot k^2 - H)/A + 2 \cdot B \cdot I \cdot (2 \cdot E \cdot k - 2 \cdot k^2 - H)/A - \\ - 2 \cdot F \cdot I \cdot k - A \cdot [B^2 \cdot E/A^2 - B^2 \cdot k/A^2 - B \cdot F/A + G - k] \cdot [E \cdot k^2 - k^3 - H \cdot k + 1]\}^{1/2}}{2 \cdot [B^2 \cdot (E - k)/A^2 - b \cdot F/A + G - k]} \quad (5.133)$$

Impunind ca cele doua solutii sa fie confundate (dreapta (5.127) sa fie tangenta), trebuie ca expresia de sub radical sa se anuleze. Aceasta conduce la

$$-4 \cdot k^4 + 4 \cdot (E - G) \cdot k^3 + [F^2 - 4 \cdot (B \cdot I/A + E \cdot G - H)] \cdot k^2 + \\ + [2 \cdot B \cdot (2 \cdot E \cdot I - F \cdot H)/A + 4 \cdot G \cdot H - 2 \cdot F \cdot I + 4 \cdot B^2/A^2 + 1] \cdot k + \\ + (B \cdot H/A + I)^2 - 4 \cdot [B \cdot (B \cdot E/A - F)/A + G] = 0 \quad (5.134)$$

care poate fi rezolvata doar prin metode numerice. Solutiile "k1, k2, k3, k4" obtinute, inlocuite in (5.127) dau ecuatiiile tangentelor paralele cu asymptota/axa medie in sistemul "xoy" (relatie identica cu (5.131) din cazul ecuatiei Perju).

5.6.5. Tangentele paralele pentru ecuatie polara cu originea in focar

Pentru ecuatie polara cu originea in focar (4.6), relatia

$$\rho = \frac{-k}{\cos \theta} \quad (5.135)$$

reprezinta o familie de drepte paralele cu asymptota/axa medie.

Inlocuind (5.135) in (4.6), se obtine

$$(k - 2 \cdot A)^2 \cdot \rho^4 + [2 \cdot k \cdot (A^2 - B^2/4 - C) \cdot (k - 2 \cdot A) - (A \cdot B - D)^2] \cdot \rho^2 + k^2 \cdot [(A^2 - B^2/4 - C)^2 + (A \cdot B - D)^2] = 0 \quad (5.136)$$

Care fiind o ecuatie bipatrata, are solutiile

$$\rho_{1,2,3,4} = \frac{\pm \{-k \cdot (A^2 - B^2/4 - C) \cdot (k - 2 \cdot A) - (A \cdot B - D)^2 \pm \\ \pm \{[k \cdot (A^2 - B^2/4 - C) \cdot (k - 2 \cdot A) - (A \cdot B - D)^2]^2 - \\ - k^2 \cdot (k - 2 \cdot A)^2 \cdot [(A^2 - B^2/4 - C)^2 + (A \cdot B - D)^2]\}\}^{1/2}}{(k - 2 \cdot A)} \quad (5.137)$$

Impunind ca solutiile sa fie confundate (dreapta (5.135) sa fie tangentă), trebuie ca expresia de sub radical să se anuleze. Aceasta conduce la

$$-4 \cdot (A \cdot B - D)^2 \cdot k^4 + 16 \cdot A \cdot (A \cdot B - D)^2 \cdot k^3 - 4 \cdot (A \cdot B - D)^2 \cdot (5 \cdot A^2 - B^2/4 - C) \cdot k^2 + \\ + 8 \cdot A \cdot (A^2 - B^2/4 - C) \cdot (A \cdot B - D)^2 \cdot k + (A \cdot B - D)^4 = 0 \quad (5.138)$$

Care poate fi rezolvată doar prin metode numerice. Solutiile "k_{1,2,3,4}" obținute, înlocuite în (5.135) dau ecuațiile tangentelor paralele cu asymptota/axa medie în sistemul polar cu originea în focar (ρ, θ) și axa zero perpendiculară pe asymptota

$$p = \frac{-k_{1,2,3,4}}{\cos \theta} \quad (5.139)$$

|

5.6.6. Concluzii

Cele mai importante concluzii referitoare la tangentele paralele cu asymptota/axa medie ale curbei centrelor/punctelor au fost scrise cu majuscule în subcap. 6.6.1. Totuși se remarcă în favoarea ecuației cu 7 coeficienți (4.32) față de ecuația Perju (2.39), faptul că relația (5.134) din care se determină parametrii definiitori ai tangentelor paralele este mai simplă și mai ușor de abordat prin metode numerice decât (5.130).

Pentru ecuația polara cu originea în pol nu s-au dedus tangentele paralele, ca și pentru ecuația polara cu originea în focar, întrucât se obțin complicații de calcul.

Relațiile din subcap. 5.6 au fost parțial deduse de autor în [M12].

5.7. Determinarea tangentelor perpendiculare pe asymptota / axa medie

Tangentele perpendiculare pe asymptota/axa medie a curbei centrelor/punctelor, se disting în fig.5.1 și fig.5.3. Pentru determinarea acestor tangente perpendiculare, se scrie mai întii ecuația parametrică a unei drepte perpendiculară pe asymptota/

/axa medie. Apoi se inlocuieste, de obicei, "necunoscuta y " in ecuatie curbei centrelor/punctelor rezultind o ecuatie "de gradul III in x ". Impunind ca doua din solutiile acestei ecuatii sa fie confundate (vezi subcap.2.4.5.1), se obtine conditia matematica din care rezulta valorile parametrului care inlocuite in ecuatie dreptei amintite dau ecuatii tangentele perpendiculare pe asymptota/axa medie.

Din formele geometrice ale curbelor de sinteza prezentate in [A2], [A3], [B5], [B6], [B9], [D6], [H3], [H4], [H5], [K7], [M3], [M4], [P3], se poate constata ca exista doar doua tangente perpendiculare pe asymptota/axa medie (ca in fig.5.1 si in fig.5.3).

5.7.1. Tangentele perpendiculare pentru ecuatie Lichtenheldt

Pentru ecuatie Lichtenheldt (2.7), dreapta

$$Y = t \quad (5.140)$$

reprezinta o familie de drepte perpendiculare pe asymptota/axa Newton-Gauss.

Inlocuind (5.140) in (2.7), se obtine

$$X^3 + p \cdot X + q = 0 \quad (5.141)$$

unde

$$p = -A^2/3 + t^2 + B \cdot t - C \quad (5.142)$$

$$q = -2 \cdot A^3/27 + (A \cdot t^2 - A \cdot B \cdot t - A \cdot C)/3 + A \cdot t^2 - D \cdot t + E \quad (5.143)$$

Conform celor discutate in subcap.2.5.4.1, ecuatie de gradul III (5.141) admite doua radacini confundate (dreapta (5.140) va fi tangentă) daca

$$(q/2)^2 + (p/3)^2 = 0 \quad (5.144)$$

Inlocuind (5.142) si (5.143) in (5.144), se obtine

$$\begin{aligned}
 & 4 \cdot t^6 - 12 \cdot B \cdot t^5 + 4 \cdot (11 \cdot A^2 + 3 \cdot B^2 - 3 \cdot C) \cdot t^4 + 4 \cdot (6 \cdot B \cdot C - 4 \cdot A^2 \cdot B - 18 \cdot A \cdot D - B^3) \cdot t^3 + \\
 & + (27 \cdot D^2 - A^2 \cdot B^2 - 4 \cdot A^4 + 18 \cdot A \cdot B \cdot D + 72 \cdot A \cdot E - 16 \cdot A^2 \cdot C - 12 \cdot B^2 \cdot C + 12 \cdot C^2) \cdot t^2 + \\
 & + 2 \cdot (2 \cdot A^3 \cdot D - 9 \cdot A \cdot B \cdot E - A^2 \cdot B \cdot C - 27 \cdot D \cdot E + 9 \cdot A \cdot C \cdot D - 6 \cdot B \cdot C^2) \cdot t + 27 \cdot E^2 - A^2 \cdot C^2 - 18 \cdot A \cdot C \cdot E - 4 \cdot A^3 \cdot E - 4 \cdot C^3 = 0
 \end{aligned} \tag{5.145}$$

care poate fi rezolvata prin metode numerice. Conform celor studiate in cap.7 (exemple de calcul), pentru (5.145) s-au obtinut de fiecare data doar cte doua solutii reale "t1, t2". Acestea inlocuite in (5.140) dau ecuatiiile celor doua tangente perpendiculare pe asimptota/axa medie, in cazul ecuatiei Lichtenheldt (2.7) a curbelor de sinteza

$$Y = t_{1,2} \tag{5.146}$$

5.7.2. Tangentele perpendiculare pentru ecuatie carteziana cu originea in focar

Pentru ecuatie carteziana cu originea in focar (4.3), expresia

$$V = t \tag{5.147}$$

rezinta o familie de drepte perpendiculare pe asimptota/axa Newton-Gauss. Inlocuind (5.147) in (4.3), se obtine

$$U^2 + p \cdot U + q = 0 \tag{5.148}$$

unde

$$p = (3 \cdot t^2 - A^2)/3 - (B^2 - 4 \cdot C)/4 \tag{5.149}$$

$$q = [A \cdot (-4 \cdot A^2 + 9 \cdot B^2 + 36 \cdot C) + t \cdot (72 \cdot A \cdot t + 54 \cdot A \cdot B - 54 \cdot D)]/54 \tag{5.150}$$

Conform celor discutate in subcap.2.5.4.1, ecuatie de gradul III (5.148) admite doua radacini confundate (dreapta (5.147) va fi tangentă daca este indeplinita conditia cunoscuta (5.144)).

Inlocuind (5.149) si (5.150) in (5.144), se obtine

$$\begin{aligned}
 & 64 \cdot t^6 + (704 \cdot A^2 - 48 \cdot B^2 - 192 \cdot C) \cdot t^4 + (1152 \cdot A^2 \cdot B - A \cdot D) \cdot t^3 + \\
 & + (12 \cdot B^4 - 64 \cdot A^4 + 192 \cdot C^2 + 96 \cdot B^2 \cdot C + 656 \cdot A^2 \cdot B^2 + 896 \cdot A^2 \cdot C + 432 \cdot D^2 - 864 \cdot A \cdot B \cdot D) \cdot t^2 + \\
 & + (144 \cdot A^2 \cdot B^3 - 64 \cdot A^4 \cdot B + 576 \cdot A^2 \cdot B \cdot C - 144 \cdot A \cdot B^2 \cdot D + 64 \cdot A^3 \cdot D - 576 \cdot A \cdot C \cdot D) \cdot t - \\
 & - B^6 - 64 \cdot C^3 - 12 \cdot B^4 \cdot C - 48 \cdot B^2 \cdot C^2 + 8 \cdot A^2 \cdot B^4 + 128 \cdot A^2 \cdot C^2 + 64 \cdot A^2 \cdot B^2 \cdot C - 16 \cdot A^4 \cdot B^2 - 64 \cdot A^4 \cdot C = 0
 \end{aligned} \tag{5.151}$$

care poate fi rezolvata prin metode numerice. Conform celor studiate in cap.7 (exemple de calcul), pentru (5.151) s-au obtinut de fiecare data doar cate doua solutii reale "t1, t2".

Acestea inlocuite in (5.147) dau ecuatiiile celor doua tangente perpendiculare pe asimptota/axa medie, in cazul ecuatiei carteziene cu originea in focar (4.3) a curbelor de sinteza

$$V = t_{1,2} \tag{5.152}$$

5.7.3. Tangentele perpendiculare pentru ecuatie Perju

Pentru ecuatie Perju (2.39), expresia

$$A \cdot y - B \cdot x + t = 0 \tag{5.153}$$

reprezinta o familie de drepte perpendiculare pe asimptota/axa Newton-Gauss.

Explicitind pe "y" din (5.153) si inlocuind in (2.39), se obtine

$$\begin{aligned}
 & (A^2 + B^2)^2 \cdot x^3 + \{-3 \cdot B \cdot (A^2 + B^2) \cdot t + A \cdot [(A^2 + B^2) \cdot W + A^2 \cdot C + B^2 \cdot D + A \cdot B \cdot E]\} \cdot x^2 + \\
 & + \{(A^2 + 3 \cdot B^2) \cdot t^2 - A \cdot [2 \cdot B \cdot (D + W) + A \cdot E] \cdot t + A^2 \cdot (A \cdot F + B \cdot G)\} \cdot x - B \cdot t^3 + A \cdot (D + W) \cdot t^2 - A^2 \cdot G \cdot t + A^3 \cdot H = 0
 \end{aligned} \tag{5.154}$$

Se noteaza

$$z = p_2 \cdot t^2 + p_1 \cdot t + p_0 \tag{5.155}$$

$$z = q_2 \cdot t^2 + q_1 \cdot t + q_0 \tag{5.156}$$

Inde

$$p_0 = \frac{A^2}{(A^2 + B^2)^2} \cdot \left\{ A \cdot F + B \cdot G - \left[\frac{(A^2 + B^2) \cdot W + B^2 \cdot D + A \cdot (A \cdot C + B \cdot E)}{A^2 + B^2} \right]^2 \right\} \quad (5.157)$$

$$p_1 = \frac{A^2}{(A^2 + B^2)^3} \cdot [2 \cdot A \cdot B \cdot (C - D) - (A^2 + B^2) \cdot E] \quad (5.158)$$

$$p_2 = \frac{A^2}{(A^2 + B^2)^2} \quad (5.159)$$

$$p_3 = \frac{A^3}{(A^2 + B^2)^2} \cdot \left\{ \left[\frac{A \cdot (A \cdot C + B \cdot E) + B^2 \cdot D}{3 \cdot (A^2 + B^2)^2} + \frac{W}{3 \cdot (A^2 + B^2)} \right] \cdot \left[\frac{2 \cdot [(A^2 + B^2) \cdot W + B^2 \cdot D + A \cdot (A \cdot C + B \cdot E)]^2}{9 \cdot (A^2 + B^2)^2} - A \cdot F - B \cdot G \right] + H \right\} \quad (5.160)$$

$$p_4 = \frac{A^3}{(A^2 + B^2)^3} \cdot \left\{ \frac{[2 \cdot A \cdot B \cdot (D - C) + (A^2 + B^2) \cdot E] \cdot [(A^2 + B^2) \cdot W + B^2 \cdot D + A \cdot (A \cdot C + B \cdot E)]}{3 \cdot (A^2 + B^2)^2} + B \cdot F - A \cdot G \right\} \quad (5.161)$$

$$p_5 = \frac{A^3}{3 \cdot (A^2 + B^2)^4} \cdot [2 \cdot (A^2 + B^2) \cdot W + (3 \cdot B^2 - A^2) \cdot C + (3 \cdot A^2 - B^2) \cdot D - 4 \cdot A \cdot B \cdot E] \quad (5.162)$$

Inlocuind (5.155) si (5.156) in conditia (5.144), impusa pentru ca ecuatia (5.154) sa aiba doua radacini reale confundate (adica (5.153) sa fie tangenta perpendiculara pe asimptota/axa medie), se obtine

$$\begin{aligned} & \frac{p_2^3}{27} \cdot t^6 + \frac{p_1 \cdot p_2^2}{9} \cdot t^5 + \left(\frac{p_0 \cdot p_2^2 + p_1^2 \cdot p_2}{9} + \frac{q_2^2}{4} \right) \cdot t^4 + \left(\frac{p_1^3}{27} + \frac{2 \cdot p_0 \cdot p_1 \cdot p_2}{9} + \frac{q_1 \cdot q_2}{2} \right) \cdot t^3 + \\ & + \left(\frac{p_0 \cdot p_1^2 + p_0^2 \cdot p_2}{9} + \frac{q_1^2}{4} + \frac{q_0 \cdot q_2}{2} \right) \cdot t^2 + \left(\frac{p_0^2 \cdot p_1}{9} + \frac{q_0 \cdot q_1}{2} \right) \cdot t + \frac{p_0^3}{27} + \frac{q_0^2}{4} = 0 \end{aligned} \quad (5.163)$$

Care poate fi rezolvata prin metode numerice.

Conform celor studiate in cap.7 (exemple de calcul), pentru (5.163) s-au obtinut de fiecare data (pe un numar foarte mare de cazuri concrete) doar cate doua solutii reale "t1,t2". Acestea inlocuite in (5.153) dau ecuatiiile celor doua tangente perpendiculare pe asimptota/axa medie, in cazul ecuatiei Perju (2.39) a curbelor de sinteza

$$A \cdot y - B \cdot x + t_{1,2} = 0 \quad (5.164)$$

**5.7.4. Tangentele perpendiculare pentru
ecuatie cu sapte coeficienti**

Pentru ecuatie cu 7 coeficienti (4.32), expresia (5.153) reprezinta o familie de drepte perpendiculare pe asimptota/axa Newton-Gauss. Explicitind pe "y" din (5.153) si inlocuind in (4.32), se obtine

$$(A^2 + B^2)^2 \cdot x^3 + \{ -3 \cdot B \cdot (A^2 + B^2) \cdot t + A \cdot [A \cdot (A \cdot E + B \cdot F) + B^2 \cdot G] \} \cdot x^2 + \\ + [(A^2 + 3 \cdot B^2) \cdot t^2 - A \cdot (A \cdot F + 2 \cdot B \cdot G) \cdot t + A^2 \cdot (A \cdot H + B \cdot I)] \cdot x - B \cdot t^3 + A \cdot G \cdot t^2 - A^2 \cdot I \cdot t + A^3 = 0 \quad (5.165)$$

Se mentin notatiile (5.155) si (5.156), unde

$$p_0 = \frac{A}{(A^2 + B^2)^2} \cdot \left\{ \frac{A \cdot (A \cdot H + B \cdot I) - A \cdot [A \cdot (A \cdot E + B \cdot F) + B^2 \cdot G]^2}{3 \cdot (A^2 + B^2)^2} \right\} \quad (5.166)$$

$$p_1 = \frac{A^2 \cdot [2 \cdot A \cdot B \cdot (E - G) + (B^2 - A^2) \cdot F]}{(A^2 + B^2)^3} \quad (5.167)$$

$$p_2 = \frac{A^2}{(A^2 + B^2)^2} \quad (5.168)$$

$$q_0 = \frac{A^3}{(A^2 + B^2)^2} \cdot \left\{ \frac{A \cdot (A \cdot E + B \cdot F) + B^2 \cdot G}{3 \cdot (A^2 + B^2)^2} \cdot \left[\frac{2 \cdot [A \cdot (A \cdot E + B \cdot F) + B^2 \cdot G]^2}{9 \cdot (A^2 + B^2)^2} - A \cdot H - B \cdot I \right] + 1 \right\} \quad (5.169)$$

$$q_1 = \frac{A^3}{(A^2 + B^2)^3} \cdot \left\{ \frac{A \cdot (A \cdot E + B \cdot F) + B^2 \cdot G}{3 \cdot (A^2 + B^2)^2} \cdot [2 \cdot A \cdot B \cdot (G - E) + (A^2 - B^2) \cdot F] + B \cdot H - A \cdot I \right\} \quad (5.170)$$

$$q_2 = \frac{A^3}{3 \cdot (A^2 + B^2)^4} \cdot [(3 \cdot B^2 - A^2) \cdot E + (3 \cdot A^2 - B^2) \cdot G - 4 \cdot A \cdot B \cdot F] \quad (5.171)$$

Inlocuind (5.155) si (5.156), tinind cont de (5.166)...(5.171), in conditia (5.144), impusa pentru ca ecuatie (5.165) sa aiba doua radacini reale confundate (adica (5.153) sa fie tangenta perpendiculara pe asimptota/axa medie), se obtine o forma similara cu (5.163), care poate fi rezolvata prin metode numerice. Conform celor studiate in cap.7 (exemple de calcul), pentru (5.163) s-au obtinut de fiecare data doar cate doua

solutii reale "t₁,t₂". Acestea inlocuite in (5.153), dău ecuațiile celor două tangente perpendiculare pe asymptota/axa medie, în cazul ecuației cu 7 coeficienți (4.32) a curbelor de sinteza (similară cu (5.164)).

5.7.5. Concluzii

Dacă la determinarea tangentelor perpendiculare pe asymptota/axa medie a curbelor de sinteza în cazul ecuațiilor Lichtenheldt (2.7) și carteziana cu originea în focar (4.3), nu se constată deosebiri prea mari, analizind (5.157)...(5.162) fata de (5.166)...(5.171), se poate concluziona că aceeași determinare se face mai ușor pentru ecuația cu 7 coeficienți (4.32), fata de ecuația Perju (2.39).

Tangentele perpendiculare pe asymptota/axa medie sunt drepte importante referitoare la curbele centrelor/punctelor, care se adaugă tangentelor paralele. Dupa cum se va arata în capitolele următoare, împreună, aceste drepte "zonează" curbele centrelor/punctelor, în "portiuni" cu forme de "variatie" (probabil și proprietăți) distincte. Din pacate un studiu pe aceasta "temă" nu se poate face pe "cazul general", ci doar pe exemple numerice (motivatia fiind formulele prea lungi).

Relațiile din subcap.5.7 au fost deduse parțial de autor, în [M12].

5.8. Determinarea punctelor de tangenta cu tangentele paralele/perpendiculare cu/pe asymptota/axa medie

Urmărind fig.5.3, s-au denumit "T₁,T₂,T₃,T₄" punctele de tangenta ale curbei centrelor/punctelor cu tangentele paralele cu asymptota/axa medie. Cu "T₅,T₆" s-au notat punctele de tangenta ale acelasi曲 cu tangentele perpendiculare pe asymptota/axa medie. Mai apar notate cu "T₇,T₈" punctele în care tangentele perpendiculare pe asymptota/axa medie "taie" curba de sinteza.

Se vor determina sau se va indica modalitatea de determinare a coordonatelor punctelor mai sus amintite.

**5.8.1. Punctele de tangenta pentru
ecuatie Lichtenheldt**

Pentru ecuatie Lichtenheldt (2.7) a curbei centrelor/punctelor, inlocuind solutiile date de (5.119) in (5.115) si (5.117), se obtin coordonatele

$$\bar{v}_{T1,2,3,4} = k_{1,2,3,4} \quad (5.172)$$

$$\bar{v}_{T1,2,3,4} = \frac{B \cdot k_{1,2,3,4} + D}{2 \cdot (A + k_{1,2,3,4})} \quad (5.173)$$

ale punctelor de tangenta cu tangentele paralele. In general, vor exista patru puncte de tangenta (daca exista patru tangente), sau mai rar doua puncte de tangenta (daca exista doua tangente).

Daca se inlocuiesc cele doua solutii reale "t_{1,2}" date de (5.145) in (5.143), se obtine

$$t = -2 \cdot A^3/27 + (A \cdot t_{1,2}^2 - A \cdot B \cdot t_{1,2} - C)/3 + A \cdot t_{1,2}^2 - D \cdot t_{1,2} + E \quad (5.174)$$

Cu (5.174) inlocuita in (2.60), tinind seama de (2.48), (2.59) si cu solutiile din (5.145) in (5.140), se obtin

$$v_{T5,6} = \sqrt{-q/2} \quad (5.175)$$

$$v_{T7,8} = t_{1,2} \quad (5.176)$$

care reprezinta coordonatele punctelor de tangenta cu tangentele perpendiculare.

Inlocuind (5.174) in (2.60), tinind seama de (2.48), (2.58) si solutiile din (5.145) in (5.140), se obtin

$$v_{T7,8} = 2 \cdot \sqrt[3]{-q/2} \quad (5.177)$$

$$t_{7,8} = t_{1,2} \quad (5.178)$$

care reprezinta coordonatele punctelor de intersectie cu tangentele perpendiculare.

**5.8.2. Punctele de tangenta pentru
ecuatie carteziana cu originea
in focar**

Pentru ecuatie carteziana cu originea in focar (4.3) a curbei centrelor/punctelor, inlocuind solutiile date de (5.125) in (5.122) si (5.124), se obtin coordonatele

$$l_{T1,2,3,4} = k_{1,2,3,4} \quad (5.179)$$

$$V_{T1,2,3,4} = \frac{D - A \cdot B}{2 \cdot (k_{1,2,3,4} + 2 \cdot A)} \quad (5.180)$$

ale punctelor de tangenta cu tangentele paralele. In general, vor exista patru puncte de tangenta (daca exista patru tangente), sau mai rar doua puncte de tangenta (daca exista doua tangente).

Daca se inlocuiesc cele doua solutii reale "t1,t2" date de (5.151) in (5.150), se obtine:

$$q = [A \cdot (-4 \cdot A^2 + 9 \cdot B^2 + 36 \cdot C) + t_{1,2} \cdot (72 \cdot A \cdot t_{1,2} + 54 \cdot A \cdot B - 54 \cdot D)]/54 \quad (5.181)$$

Cu (5.181) inlocuita in (2.60) tinind seama de (2.48), (2.59) si cu solutiile din (5.151) in (5.147), se obtin

$$U_{T5,6} = \sqrt{-q/2} \quad (5.182)$$

$$V_{T5,6} = t_{1,2} \quad (5.183)$$

care reprezinta coordonatele punctelor de tangenta cu tangentele perpendiculare.

Inlocuind (5.181) in (2.60), tinind seama de (2.48), (2.58) si solutiile din (5.151) in (5.147), se obtin

$$U_{T7,8} = 2 \cdot \sqrt{-q/2} \quad (5.184)$$

$$V_{T7,8} = t_{1,2} \quad (5.185)$$

care reprezinta coordonatele punctelor de intersectie cu tangentele perpendiculare.

**5.8.3. Punctele de tangenta
pentru ecuatia Perju**

Pentru ecuatia Perju (2.39) a curbei centrelor/punctelor, inlocuind solutiile date de (5.130) in (5.129), se obtine

$$\eta_{1,2,3,4} = \frac{-2 \cdot k_{1,2,3,4} \cdot B \cdot (W - k_{1,2,3,4} + C)/A + E \cdot k_{1,2,3,4} + B \cdot F/A - G}{2 \cdot (B^2/A^2 + 1) \cdot (W - k_{1,2,3,4}) + B^2 \cdot C/A + D - B \cdot E/A} \quad (5.186)$$

Explicitind "x" din (5.127) in care s-a inlocuit (5.186), se obtine

$$x_{1,2,3,4} = (-B \cdot \eta_{1,2,3,4} - k_{1,2,3,4})/A \quad (5.187)$$

Relatiile (5.187) si (5.186) sunt coordonatele punctelor de tangenta cu tangentele paralele. In general, vor exista patru puncte de tangenta (daca exista patru tangente), sau mai rar doua puncte de tangenta (daca exista doua tangente).

Daca se inlocuiesc cele doua solutii reale "t1,t2" date de (5.163), tinind seama de (5.157)...(5.162), in (5.156), tinind seama de (5.160)...(5.162), se obtine

$$q = q_2 \cdot t_{1,2}^2 + q_1 \cdot t_{1,2} + q_0 \quad (5.188)$$

Cu (5.188), tinind seama de (5.160)...(5.162), inlocuit in (2.60), tinind seama de (2.48), (2.59) si cu solutiile din (5.163), tinind seama (5.157)...(5.162), in "y" explicitat din (5.153), se obtin

$$x_{T5,6} = -\sqrt[3]{-q/2} - \{-3 \cdot B \cdot (A^2 + B^2) \cdot t_{1,2} + A \cdot [(A^2 + B^2) \cdot W + A^2 \cdot C + B^2 \cdot D + A \cdot B \cdot E]\}/(A^2 + B^2)^2 \quad (5.189)$$

$$\eta_{T5,6} = (B \cdot x_{T5,6} - t_{1,2})/A \quad (5.190)$$

Care reprezinta coordonatele punctelor de tangenta cu tangentele perpendiculare.

Inlocuind (5.188), tinind seama de (5.160)...(5.162), in (2.60), tinind seama de (2.48), (2.58) si solutiile din (5.163, tinind seama de (5.157)...(5.162), in "y" explicitat din (5.153), se obtin

$$x_{T7,8} = 2 \cdot \sqrt{-q/2} - \{-3 \cdot B \cdot (A^2 + B^2) \cdot t_{1,2} + A \cdot [(A^2 + B^2) \cdot W + A^2 \cdot C + B^2 \cdot D + A \cdot B \cdot E]\}/(A^2 + B^2)^2 \quad (5.191)$$

$$y_{T7,8} = (B \cdot x_{T7,8} - t_{1,2})/A \quad (5.192)$$

care reprezinta coordonatele punctelor de intersectie cu tangentele perpendiculare.

5.8.4. Punctele de tangenta pentru ecuatie cu sapte coeficienti

Pentru ecuatie cu 7 coeficienti (4.32) a curbei centrelor/punctelor, inlocuind solutiile date de (5.134) in (5.133), se obtine

$$y_{1,2,3,4} = \frac{F \cdot k_{1,2,3,4} - B \cdot [2 \cdot k_{1,2,3,4} \cdot (E - k_{1,2,3,4}) - H]/A - I}{2 \cdot [B^2 \cdot (E - k_{1,2,3,4})/A^2 - B \cdot F/A + G - k_{1,2,3,4}]} \quad (5.193)$$

Explicitind "x" din (5.127) in care s-a inlocuit (5.193), se obtine o relatie identica formal cu (5.187). Relatiile (5.187) si (5.193) sunt coordonatele punctelor de tangenta cu tangentele paralele. In general, vor exista patru puncte de tangenta (daca exista patru tangente), sau mai rar doua puncte de tangenta (daca exista doua tangente).

Daca se inlocuiesc cele doua solutii reale "t1,t2" date de (5.163), tinind seama de (5.166)...(5.171), in (5.156), tinind seama de (5.169)...(5.171), se obtine o relatie identica formal cu (5.188). Cu (5.188) inlocuit in (2.60) tinind seama de (2.48), (2.59) si cu solutiile din (5.163), tinind seama de (5.166)...(5.171), in "y" explicitat din (5.153), se obtine

$$x_{T5,6} = -\sqrt{-q/2} - \{-3 \cdot B \cdot (A^2 + B^2) \cdot t_{1,2} + A \cdot [(A \cdot (A \cdot E + B \cdot F) + B^2 \cdot G)]/(A^2 + B^2)^2 \quad (5.194)$$

si o relatie identica formal cu (5.190).

Relatiile (5.194) si (5.190) reprezinta coordonatele punctelor de tangenta cu tangentele perpendiculare.

Inlocuind (5.188), tinind seama de (5.169)...(5.171), in (2.60), tinind seama de (2.48), (2.58) si solutiile din (5.163), tinind seama de (5.166)...(5.171), in "y" explicitat din

(5.153), se obtine

$$x_{T7,8} = 2 \cdot \sqrt[3]{-q/2} - \{-3 \cdot B \cdot (A^2 + B^2) \cdot t_{1,2} + A \cdot [(A \cdot (A \cdot E + B \cdot F) + B^2 \cdot G)]/(A^2 + B^2)^2\} / (A^2 + B^2)^2 \quad (5.195)$$

si o relatie identica formal cu (5.192).

Relatiile (5.195) si (5.192) reprezinta coordonatele punctelor de intersectie cu tangentele perpendiculare.

5.8.5. Concluzii

Cu privire la punctele amintite mai sus se remarcă faptul ca între relatiile deduse pentru ecuația Lichtenheldt (2.7) și pentru ecuația carteziana cu originea în focar (4.3) nu există deosebiri prea mari. Relatiile deduse pentru ecuația cu 7 coeficienți (4.32) sunt mai simple decât cele corespunzătoare deduse pentru ecuația Perju (2.39).

Relatiile din subcap.5.8 au fost parțial deduse de autor în [M11].

5.9. Determinarea punctelor de inflexiune

Curbele de sinteza Burmester (a centrelor/punctelor) sunt tangente asymptotic de o parte și cealaltă a asymptotei. Cu excepția (poate) a cazului din fig.5.1.c (s-a arătat că este cel mai rar întâlnit – practic o formă particulară) alura curbelor (conform acelorași surse bibliografice semnalate în subcap.5.5) subînălță existența a trei puncte de inflexiune notate cu "I1, I2, I3", în fig.5.3.

Pentru a afla punctele de inflexiune, oricare dintre ecuațiile curbelor centrelor/punctelor, Lichtenheldt (2.7), Perju (2.39), carteziana cu originea în focar (4.3), cu 7 coeficienți (4.32), poate fi notată generic ca în (5.3). Conform celor indicate în [V4], se procedează la trecerea în coordonate omogene facind substituțiile (5.4), (5.5), (5.6). Se obține forma generică ca în (5.7). Se deduc derivatele partiale de ordinul întâi ale ecuației generice (5.7), sub formele generice (5.8), (5.9), (5.10).

Se deduc derivatele partiale de ordinul al doilea

$$\frac{\partial^2 F}{\partial X_0^2} = F''_{X_0}(X_0, Y_0, Z_0) \quad (5.196)$$

$$\frac{\partial^2 F}{\partial Y_0^2} = F''_{Y_0}(X_0, Y_0, Z_0) \quad (5.197)$$

$$\frac{\partial^2 F}{\partial Z_0^2} = F''_{Z_0}(X_0, Y_0, Z_0) \quad (5.198)$$

$$\frac{\partial^2 F}{\partial X_0 \partial Y_0} = F''_{X_0 Y_0}(X_0, Y_0, Z_0) \quad (5.199)$$

$$\frac{\partial^2 F}{\partial X_0 \partial Z_0} = F''_{X_0 Z_0}(X_0, Y_0, Z_0) \quad (5.200)$$

$$\frac{\partial^2 F}{\partial Y_0 \partial Z_0} = F''_{Y_0 Z_0}(X_0, Y_0, Z_0) \quad (5.201)$$

Cu ajutorul acestor derivate partiale, conform [V4], se poate scrie "hessiană" curbei data de (5.7), sub forma

$$H(X_0, Y_0, Z_0) = \begin{vmatrix} \frac{\partial^2 F}{\partial X_0^2} & \frac{\partial^2 F}{\partial X_0 \partial Y_0} & \frac{\partial^2 F}{\partial X_0 \partial Z_0} \\ \frac{\partial^2 F}{\partial Y_0 \partial X_0} & \frac{\partial^2 F}{\partial Y_0^2} & \frac{\partial^2 F}{\partial Y_0 \partial Z_0} \\ \frac{\partial^2 F}{\partial Z_0 \partial X_0} & \frac{\partial^2 F}{\partial Z_0 \partial Y_0} & \frac{\partial^2 F}{\partial Z_0^2} \end{vmatrix} = 0 \quad (5.202)$$

Conform [V4], printre punctele de intersectie ale "hessianei" (5.202) cu curba studiata (5.7), se gasesc si punctele de inflexiune ale curbei studiate. Intrucit curbele centrelor/punctelor sunt cubice, rezulta ca derivatele lor partiale de ordinul al doilea sunt de gradul intii, "hessiană" (5.202) fiind deci si ea o cubica. Conform teoremei lui Bezout, intre cubica studiata si "hessiană" ar trebui sa existe noua puncte de intersectie. Cele care sunt si puncte de inflexiune se pot decela, conform [I3], dupa expresia curburii

$$y'' \mp \frac{2 \cdot f'_x \cdot f'_y \cdot f''_{xy} - f'^2_x \cdot f''_{yy} - f'^2_y \cdot f''_{xx}}{f'_y^3} \quad (5.203)$$

care isi schimba semnul la trecerea prin punctul de inflexiune.

5.9.1. Punctele de inflexiune pentru ecuația Lichtenheldt

Avind în vedere ecuația curbei centrelor/punctelor, forma Lichtenheldt (2.7), prin substituțiile (5.4), (5.5), (5.6), se obține în coordonate omogene

$$f(X_0, Y_0, Z_0) = X_0^3 + X_0 \cdot Y_0^2 - A \cdot X_0^2 \cdot Z_0 + A \cdot Y_0^2 \cdot Z_0 + B \cdot X_0 \cdot Y_0 \cdot Z_0 - C \cdot X_0 \cdot Z_0^2 - D \cdot Y_0 \cdot Z_0^2 + E \cdot Z_0^3 = 0 \quad (5.204)$$

Ecuatia "hessianei", sub forma de determinant, în care se pot identifica derivatele parțiale de ordinul al doilea, pentru ecuația (5.204), este

$$H(X_0, Y_0, Z_0) = \begin{vmatrix} -6 \cdot X_0 - 2 \cdot A \cdot Z_0 & 2 \cdot Y_0 - B \cdot Z_0 & (-2 \cdot A \cdot X_0 - B \cdot Y_0 - \\ & & -2 \cdot C \cdot Z_0) \\ 2 \cdot Y_0 - B \cdot Z_0 & 2 \cdot X_0 + 2 \cdot A \cdot Z_0 & (2 \cdot A \cdot Y_0 - B \cdot X_0 - \\ & & -2 \cdot D \cdot Z_0) \\ -2 \cdot A \cdot X_0 - B \cdot Y_0 - & (2 \cdot A \cdot Y_0 - B \cdot X_0 - & (-2 \cdot C \cdot X_0 - 2 \cdot D \cdot Y_0 + \\ & -2 \cdot C \cdot Z_0) & -2 \cdot D \cdot Z_0) & +6 \cdot E \cdot Z_0 \end{vmatrix} = 0 \quad (5.205)$$

Dezvoltind (5.205) și revenind din coordonatele omogene "X₀, Y₀, Z₀" la coordonatele initiale "X, Y" prin inversarea substituțiilor (5.4), (5.5), (5.6), se obține

$$\begin{aligned} 4XY = & (-6 \cdot X^2 - 3 \cdot B^2 - 12 \cdot C) \cdot X^3 + 12(A \cdot B - D) \cdot X^2 \cdot Y + (B^2 - 20 \cdot A^2 + 4 \cdot C) \cdot X \cdot Y^2 + 4(D - A \cdot B) \cdot Y^3 + \\ & -136 \cdot E - 16 \cdot A \cdot C - A \cdot B^2 - 4 \cdot A^3 - 12 \cdot B \cdot D) \cdot X^2 + (24 \cdot A \cdot D - 4 \cdot A^2 \cdot B - B^3 - 4 \cdot B \cdot C) \cdot X \cdot Y + \\ & + (A \cdot B^2 - 4 \cdot A \cdot C + 4 \cdot A^2 - 12 \cdot E) \cdot Y^2 + (24 \cdot A \cdot E - 4 \cdot A^2 \cdot C - B^2 \cdot C - 4 \cdot C^2 - 12 \cdot D^2) \cdot X + \\ & + (4 \cdot C \cdot D + 12 \cdot B \cdot E - B^2 \cdot D - 4 \cdot A^2 \cdot D) \cdot Y - 12 \cdot A^2 \cdot E - 4 \cdot B \cdot C \cdot D - 4 \cdot A \cdot C^2 - 3 \cdot B^2 \cdot E + 4 \cdot A \cdot D^2 = 0 \end{aligned} \quad (5.206)$$

care este ecuația "hessianei" în coordonatele intrinseci.

Prin rezolvarea numerică a sistemului neliniar de două ecuații cu două necunoscute format din relațiile (2.7) și (5.206) se vor obține coordonatele punctelor de intersecție între curba centrelor/punctelor "f(X, Y)=0" și "hessiană" corespunzătoare "h(X, Y)=0". Dupa cum se poate vedea în cap. 7, punctele de inflexiune vor fi obținute mai repede printr-o metodă ce face apel la "grafica" cu ajutorul calculatorului, deci apelând la verificarea unei relații de tipul (5.203). De altfel "aprecierea grafică" constituie soluție inițială pentru

rezolvarea exactă a sistemului neliniar amintit mai sus (prin metoda Newton – a se vedea cap.7).

5.9.2. Punctele de inflexiune pentru ecuația Perju

Avind în vedere ecuația curbei centrelor/punctelor forma Perju (2.39), prin substituțiile (5.4), (5.5), (5.6), se obține în coordonate omogene (5.21).

Ecuatia "hessianei", sub forma de determinant, în care se pot identifica derivatele parțiale de ordinul al doilea pentru ecuația (5.21), este

$$H(X_0, Y_0, Z_0) = \begin{vmatrix} [6 \cdot A \cdot X_0 + 2 \cdot B \cdot Y_0 + & [2 \cdot B \cdot X_0 + 2 \cdot A \cdot Y_0 + & [2 \cdot (C+W) \cdot X_0 + \\ + 2 \cdot (C+W) \cdot Z_0] & + E \cdot Z_0) & + E \cdot Y_0 + 2 \cdot F \cdot Z_0] \\ [2 \cdot B \cdot X_0 + 2 \cdot A \cdot Y_0 + & [2 \cdot A \cdot X_0 + 6 \cdot B \cdot Y_0 + & [2 \cdot (D+W) \cdot Y_0 + \\ + E \cdot Z_0] & + 2 \cdot (D+W) \cdot Z_0] & + E \cdot X_0 + 2 \cdot G \cdot Z_0] \\ [2 \cdot (C+W) \cdot X_0 + & [2 \cdot (D+W) \cdot Y_0 + & [2 \cdot F \cdot X_0 + 2 \cdot G \cdot Y_0 + \\ + E \cdot Y_0 + 2 \cdot F \cdot Z_0] & + E \cdot X_0 + 2 \cdot G \cdot Z_0] & + 6 \cdot H \cdot Z_0] \end{vmatrix} = 0 \quad (5.207)$$

Desvoltind (5.207) și revenind din coordonatele omogene "X₀, Y₀, Z₀" la coordonatele initiale "x, y", prin inversarea substituțiilor (5.4), (5.5), (5.6), se obține

$$\begin{aligned} h(x, y) = & x^3 \cdot [4 \cdot F \cdot (3 \cdot A^2 - B^2) + 4 \cdot (C+W) \cdot (B \cdot E - A \cdot C - A \cdot W) - 3 \cdot A \cdot E^2] + \\ & + x^2y \cdot [32 \cdot A \cdot B \cdot F + 4 \cdot G \cdot (3 \cdot A^2 - B^2) + B \cdot E^2 + 8 \cdot B \cdot (C+W) \cdot (D+W) - 12 \cdot B \cdot (C+W)^2 - 12 \cdot A \cdot E \cdot (D+W)] + \\ & + x^2y^2 \cdot [4 \cdot F \cdot (3 \cdot B^2 - A^2) + 32 \cdot A \cdot B \cdot G + A \cdot E^2 + 8 \cdot A \cdot (C+W) \cdot (D+W) - 12 \cdot B \cdot E \cdot (C+W) - 12 \cdot A \cdot (D+W)^2] + \\ & + y^3 \cdot [A \cdot G \cdot (3 \cdot B^2 - A^2) + 4 \cdot (D+W) \cdot (A \cdot E - B \cdot D - B \cdot W) - 3 \cdot B \cdot E^2] + \\ & + x^2y \cdot [12 \cdot A \cdot F \cdot (D+W) + 12 \cdot H \cdot (3 \cdot A^2 - B^2) + 8 \cdot B \cdot G \cdot (C+W) - 4 \cdot A \cdot F \cdot (C+W) - 4 \cdot (C+W)^2 \cdot (D+W) + \\ & + E^2 \cdot (C+W) - 12 \cdot A \cdot E \cdot G] + \\ & + x^2y \cdot [-12 \cdot B \cdot F \cdot (C+W) + 12 \cdot B \cdot F \cdot (D+W) + 12 \cdot A \cdot G \cdot (C+W) + 96 \cdot A \cdot B \cdot H + E^3 - 12 \cdot A \cdot G \cdot (D+W) - \\ & - 4 \cdot A \cdot E \cdot F - 4 \cdot B \cdot E \cdot G - 4 \cdot E \cdot (C+W) \cdot (D+W)] + \\ & + y^2 \cdot [12 \cdot B \cdot G \cdot (C+W) + 12 \cdot H \cdot (3 \cdot B^2 - A^2) + 8 \cdot A \cdot E \cdot (D+W) + E^2 \cdot (D+W) - 4 \cdot B \cdot G \cdot (D+W) - \\ & - 4 \cdot (C+W) \cdot (D+W)^2 - 12 \cdot B \cdot E \cdot F] + \\ & + x \cdot [12 \cdot A \cdot H \cdot (C+W) + 36 \cdot A \cdot H \cdot (D+W) + 8 \cdot B \cdot F \cdot G + E^2 \cdot F - 4 \cdot A \cdot F^2 - 4 \cdot F \cdot (C+W) \cdot (D+W) - \\ & - 12 \cdot B \cdot E \cdot H - 12 \cdot A \cdot G^2] + \\ & + y \cdot [12 \cdot B \cdot H \cdot (D+W) + 8 \cdot A \cdot F \cdot G + E^2 \cdot G + 36 \cdot B \cdot H \cdot (C+W) - 12 \cdot B \cdot F^2 - 12 \cdot A \cdot E \cdot H - 4 \cdot B \cdot G^2 - \\ & - 4 \cdot G \cdot (C+W) \cdot (D+W)] + \\ & + 12 \cdot H \cdot (C+W) \cdot (D+W) + 4 \cdot E \cdot F \cdot G - 4 \cdot F^2 \cdot (D+W) - 3 \cdot E^2 \cdot H - 4 \cdot G^2 \cdot (C+W) = 0 \quad (5.208) \end{aligned}$$

Care este ecuația "hessianei" în coordonatele de definire a

celor patru pozitii de sinteza initial impuse.

Prin rezolvarea numerică a sistemului neliniar de două ecuații cu două necunoscute format din relațiile (2.7) și (5.208), se vor obține coordonatele punctelor de intersecție între curba centrelor/punctelor "f(x,y)=0" și "hessiană" corespunzătoare "h(x,y)=0".

5.9.3. Punctele de inflexiune pentru ecuația cu sapte coeficienți

Avind în vedere ecuația curbei centrelor/punctelor, forma cu 7 coeficienți (4.32), prin substituțiile (5.4), (5.5), (5.6), se obține în coordonate omogene (5.35).

Ecuția "hessianei", sub formă de determinant în care se pot identifica derivatele parțiale de ordinul al doilea, pentru ecuația (5.35), este

$$H(X_0, Y_0, Z_0) = \begin{vmatrix} (6 \cdot A \cdot X_0 + 2 \cdot B \cdot Y_0 + \\ + 2 \cdot E \cdot Z_0) & (2 \cdot B \cdot X_0 + 2 \cdot A \cdot Y_0 + \\ + F \cdot Z_0) & (2 \cdot E \cdot X_0 + F \cdot Y_0 + \\ + 2 \cdot H \cdot Z_0) \\ (2 \cdot B \cdot X_0 + 2 \cdot A \cdot Y_0 + \\ + F \cdot Z_0) & (2 \cdot A \cdot X_0 + 6 \cdot B \cdot Y_0 + \\ + 2 \cdot G \cdot Z_0) & (F \cdot X_0 + 2 \cdot G \cdot Y_0 + \\ + 2 \cdot I \cdot Z_0) \\ (2 \cdot E \cdot X_0 + F \cdot Y_0 + \\ + 2 \cdot H \cdot Z_0) & (F \cdot X_0 + 2 \cdot G \cdot Y_0 + \\ + 2 \cdot I \cdot Z_0) & (2 \cdot H \cdot X_0 + 2 \cdot I \cdot Y_0 + \\ + 6 \cdot Z_0) \end{vmatrix} = 0 \quad (5.209)$$

Dezvoltind (5.209) și revenind din coordonatele omogene "X₀, Y₀, Z₀", la coordonatele initiale "x, y", prin inversarea substituțiilor (5.4), (5.5), (5.6), se obține

$$\begin{aligned} h(x, y) = & x^3 \cdot [4 \cdot H \cdot (3 \cdot A^2 - B^2) - A \cdot (4 \cdot E^2 + 3 \cdot F^2) + A \cdot B \cdot E \cdot F] + \\ & + x \cdot y^2 \cdot [4 \cdot H \cdot (3 \cdot B^2 - A^2) + A \cdot (F^2 - 12 \cdot G^2 + 8 \cdot E \cdot G) + 4 \cdot B \cdot (8 \cdot A \cdot I - 3 \cdot E \cdot F)] + \\ & + x^2 \cdot y \cdot [4 \cdot I \cdot (3 \cdot A^2 - B^2) + B \cdot (F^2 - 12 \cdot E^2 + 8 \cdot E \cdot G) + 4 \cdot A \cdot (8 \cdot B \cdot H - 3 \cdot F \cdot G)] + \\ & + y^3 \cdot [4 \cdot I \cdot (3 \cdot B^2 - A^2) - B \cdot (4 \cdot G^2 + 3 \cdot F^2) + 4 \cdot A \cdot F \cdot G] + \\ & + x^2 \cdot [4 \cdot A \cdot H \cdot (3 \cdot G - E) + 36 \cdot A^2 + E \cdot (F^2 - 4 \cdot E \cdot G) + 4 \cdot I \cdot (2 \cdot B \cdot E - 3 \cdot A \cdot F) - 12 \cdot B^2] + \\ & + x \cdot y \cdot [12 \cdot (E - G) \cdot (A \cdot I - B \cdot H) + 96 \cdot A \cdot B + E^3 - 4 \cdot F \cdot (A \cdot H + B \cdot I + E \cdot G)] + \\ & + y^2 \cdot [4 \cdot B \cdot I \cdot (3 \cdot E - G) + 36 \cdot B^2 + G \cdot (F^2 - 4 \cdot E \cdot G) + 4 \cdot H \cdot (2 \cdot A \cdot G + 3 \cdot B \cdot F) - 12 \cdot A^2] + \\ & + x \cdot [4 \cdot A \cdot (3 \cdot E + 9 \cdot G - H^2 - 3 \cdot I^2) + H \cdot (F^2 - 4 \cdot E \cdot G) + 4 \cdot B \cdot (2 \cdot H \cdot I - 3 \cdot F)] + \\ & + y \cdot [4 \cdot B \cdot (3 \cdot G + 9 \cdot E - I^2 - 3 \cdot H^2) + I \cdot (F^2 - 4 \cdot E \cdot G) + 4 \cdot A \cdot (2 \cdot H \cdot I - 3 \cdot F)] + \\ & + [4 \cdot E \cdot (3 \cdot G - I^2) + 4 \cdot H \cdot (F \cdot I - G \cdot H) - 3 \cdot F^2] = 0 \end{aligned} \quad (5.210)$$

Care este ecuația "hessianei" în coordonatele de definire a

celor patru pozitii de sinteza initial impuse.

Prin rezolvarea numerică a sistemului nelinier de două ecuații cu două necunoscute, format din relațiile (4.32) și (5.210) se vor obține coordonatele punctelor de intersecție între curba centrelor/punctelor "f(x,y)=0" și "hessiană" corespunzătoare "h(x,y)=0". Dupa cum se poate vedea în cap.7, punctele de inflexiune vor fi obținute mai repede printr-o metoda ce face apel la "grafica" cu ajutorul calculatorului, decit apelind la verificarea unei relații de tipul (5.203). De altfel "aprecierea grafică" constituie soluțiile initiale pentru rezolvarea exactă a sistemului nelinier amintit mai sus (prin metoda Newton - a se vedea cap.7).

5.9.4. Punctele de inflexiune pentru ecuația carteziana cu originea în focar

Avind în vedere ecuația curbei centrelor/punctelor, forma cu originea în focar (4.3), prin substituțiile (5.4), (5.5), (5.6), adaptate ("x" devine "U" și "y" devine "V"), se obține în coordonate omogene

$$F(X_0, Y_0, Z_0) = X_0^3 + X_0 \cdot Y_0^2 + 2 \cdot A \cdot X_0^2 \cdot Z_0 + 2 \cdot A \cdot Y_0^2 \cdot Z_0 + (A^2 - B^2/4 - C) \cdot X_0 \cdot Z_0^2 + (A \cdot B - D) \cdot Y_0 \cdot Z_0^2 = 0 \quad (5.211)$$

Ecuatia "hessianei", sub forma de determinant în care se pot identifica derivatele parțiale de ordinul al doilea, pentru ecuația (5.211), este

$$H(X_0, Y_0, Z_0) = \begin{vmatrix} (6 \cdot X_0 + 4 \cdot A \cdot Z_0) & 2 \cdot Y_0 & [4 \cdot A \cdot X_0 + \\ & & + 2 \cdot (A^2 - B^2/4 - C) \cdot Z_0] \\ 2 \cdot Y_0 & (2 \cdot X_0 + 4 \cdot A \cdot Z_0) & [4 \cdot A \cdot Y_0 + \\ & & + 2 \cdot (A \cdot B - D) \cdot Z_0] \\ [4 \cdot A \cdot X_0 + & [4 \cdot A \cdot Y_0 + & [2 \cdot (A^2 - B^2/4 - C) \cdot X_0 + \\ + 2 \cdot (A^2 - B^2/4 - C) \cdot Z_0] & + 2 \cdot (A \cdot B - D) \cdot Z_0] & + 2 \cdot (A \cdot B - D) \cdot Y_0] \end{vmatrix} = 0 \quad (5.212)$$

Dezvoltind (5.212) și revenind din coordonatele omogene "X₀, Y₀, Z₀" la coordonatele initiale "U, V" prin inversarea unor substituții de tipul (5.4), (5.5), (5.6), se obține

$$h(U, V) = -(4 \cdot A^2 + 3 \cdot B^2 + 12 \cdot C) \cdot U^3 + 12 \cdot (A \cdot B - D) \cdot U^2 \cdot V + (B^2 - 20 \cdot A^2 + 4 \cdot C) \cdot U \cdot V^2 - 4 \cdot (A \cdot B - D) \cdot V^3 - 4 \cdot A \cdot (4 \cdot A^2 + B^2 + 4 \cdot C) \cdot (U^2 + V^2) - [(A^2 - B^2/4 - C) \cdot (20 \cdot A^2 - B^2 - 4 \cdot C) + 12 \cdot (A \cdot B - D)^2] \cdot U - 12 \cdot (A \cdot B - D) \cdot (4 \cdot A^2 + B^2 + 4 \cdot C) \cdot V - 8 \cdot A \cdot [(A^2 - B^2/4 - C)^2 + (A \cdot B - D)^2] = 0 \quad (5.213)$$

care este ecuația "hessianei" în coordonatele "UFV" specificate în subcap.4.1.

Prin rezolvarea numerică a sistemului neliniar de două ecuații cu două necunoscute format din relațiile (4.3) și (5.213) se vor obține coordonatele punctelor de intersecție între curba centrelor/punctelor "f(U,V)=0" și "hessiană" corespunzătoare "h(U,V)=0".

5.9.5. Concluzii

Comparind ecuațiile (5.212) și (5.205), respectiv (5.213) și (5.206), se constată că la determinarea punctelor de inflexiune în cazul ecuațiilor cu originea în focar (4.3) sau Lichtenheldt (2.7), nu există deosebiri prea mari în favoarea uneia dintre ele. Comparind ecuațiile (5.209) și (5.207), respectiv (5.210) și (5.208), se constată în cazul ecuației cu 7 coeficienți (4.32) forme algebrice, mult mai simple, mai ușor de prelucrat cu ajutorul calculatorului, decit în cazul ecuației Perju (2.39).

Relațiile din subcap.5.9 au fost parțial deduse de autor în [M11].

5.10. Determinarea dreptei inflexiunilor

Din sistemele amintite la subcap.5.9, rezulta, conform determinărilor efectuate în cap.7, că se obțin pentru curbele centrelor/punctelor trei puncte de inflexiune de coordonate (XII,2,3 ; YI1,2,3) în cazul ecuației Lichtenheldt (2.7), de coordonate (xII,2,3 ; yII,2,3) în cazul ecuațiilor Perju (2.39) sau cu 7 coeficienți (4.32), de coordonate (UII,2,3 ; VII,2,3) în cazul ecuației carteziene cu originea în focar (4.3).

Conform [V4] "daca două din punctele de intersecție ale unei drepte cu o cubica sint de inflexiune atunci si al treilea

punct de intersectie este de inflexiune". Rezulta de aici concluzia importanta:

CELE TREI PUNCTE DE INFLEXIUNE ALE CURBEI CENTRELOR/ /PUNCTELOR SINT COLINIARE.

Dreapta care trece prin cele trei puncte, denumita in continuare "dreapta inflexiunilor", a fost marcată in fig.5.3, si ecuația ei poate fi scrisă cu ajutorul oricărora două perechi de coordonate de mai sus, sub formele

$$(Y - Y_{I1})/(X - X_{I1}) = (Y_{I2} - Y_{I1})/(X_{I2} - X_{I1}) \quad (5.214)$$

pentru ecuația Lichtenheldt (2.7),

$$(y - y_{I1})/(x - x_{I1}) = (y_{I2} - y_{I1})/(x_{I2} - x_{I1}) \quad (5.215)$$

pentru ecuațiile Perju (2.39) sau cu 7 coeficienți (4.32),

$$(V - V_{I1})/(U - U_{I1}) = (V_{I2} - V_{I1})/(U_{I2} - U_{I1}) \quad (5.216)$$

pentru ecuația carteziana cu originea în focar (4.3).

Coordonatele celui de al treilea punct de inflexiune vor verifica corespunzător ecuațiile (5.214), (5.215), (5.216), după cum se va constata în cap.7.

5.11. Schimbarea axelor de coordonate prin rotație

Pentru a determina direcțiile remarcabile în legătură cu ecuațiile curbelor centrelor/punctelor s-a procedat la schimbarea axelor de coordonate prin rotație, cu ajutorul relațiilor (2.128) și (2.129), scrise corespunzător pentru sistemele în care au fost definite diferențele ecuații ale curbelor de sinteza.

5.11.1. Rotația axelor pentru ecuația Lichtenheldt

Se vor păstra formal aceleasi variabile desi denumirile

acestora ar trebui sa se schimbe prin relatiile (2.128), (2.129). Tinind cont de cele de mai sus, prin rotatia axelor in ecuatie Lichtenheldt (2.7), se obtine

$$(X^2 + Y^2) \cdot (X \cdot \cos \theta - Y \cdot \sin \theta) + X^2 \cdot [-A \cdot \cos(2 \cdot \theta) - (B/2) \cdot \sin(2 \cdot \theta)] + Y^2 \cdot [A \cdot \cos(2 \cdot \theta) + (B/2) \cdot \sin(2 \cdot \theta)] + X \cdot Y \cdot [2 \cdot A \cdot \sin(2 \cdot \theta) - B \cdot \cos(2 \cdot \theta)] + X \cdot [-C \cdot \cos \theta - D \cdot \sin \theta] + Y \cdot [C \cdot \sin \theta - D \cdot \cos \theta] + E = 0 \quad (5.217)$$

Examinind (5.217), se constata ca ecuatie contine zece termeni. Unii dintre acestia s-ar putea reduce daca prin anularea coeficientilor corespunzatori se precizeaza exact valoarea unghiului de rotatie necesar la schimbarea axelor in acest scop.

In acest context se observa ca termenii in "X^2" si "Y^2" se anuleaza, daca

$$\theta = [\text{arctg}(-2 \cdot A/B)]/2 \quad (5.218)$$

De asemenea se anuleaza termenul in "X*Y", daca

$$\theta = [\text{arctg}(B/2/A)]/2 \quad (5.219)$$

Sa mai poate anula termenul in "X", daca

$$\theta = \text{arctg}(C/D) \quad (5.220)$$

sau termenul in "Y", daca

$$\theta = \text{arctg}(D/C) \quad (5.221)$$

5.11.2. Rotatia axelor pentru ecuatie Perju

Se vor pastra formal aceleasi variabile desi denumirile acestora ar trebui sa se schimbe prin relatiile (2.128), (2.129).

Tinind cont de cele de mai sus, prin rotatia axelor in ecuatie Perju (2.39), se obtine

$$\begin{aligned}
 & [x^2 + y^2] \cdot [x \cdot (A \cdot \cos \theta + B \cdot \sin \theta) + y \cdot (B \cdot \cos \theta - A \cdot \sin \theta)] + \\
 & + x^2 \cdot [C \cdot \cos^2 \theta + D \cdot \sin^2 \theta + (E/2) \cdot \sin(2 \cdot \theta) + W] + y^2 \cdot [C \cdot \sin^2 \theta + D \cdot \cos^2 \theta - (E/2) \cdot \sin(2 \cdot \theta) + W] + \\
 & + x \cdot y \cdot [(D - C) \cdot \sin(2 \cdot \theta) + E \cdot \cos(2 \cdot \theta)] + x \cdot (F \cdot \cos \theta + G \cdot \sin \theta) + y \cdot (G \cdot \cos \theta - F \cdot \sin \theta) + H = 0
 \end{aligned} \tag{5.222}$$

Examinind (5.222), se constata ca ecuatia contine zece termeni. Unii dintre acestia sa ar putea reduce daca prin anulearea coeficientilor corespunzatori se precizeaza exact valoarea unghiului de rotatie necesar la schimbarea axelor in acest scop.

In acest context se observa ca termenul in "x^2" se anuleaza, daca se rezolva prin metode numerice

$$C \cdot \cos^2 \theta + D \cdot \sin^2 \theta + (E/2) \cdot \sin(2 \cdot \theta) + W = 0 \tag{5.223}$$

si termenul in "y^2", daca se rezolva similar

$$C \cdot \sin^2 \theta + D \cdot \cos^2 \theta - (E/2) \cdot \sin(2 \cdot \theta) + W = 0 \tag{5.224}$$

De asemenea se anuleaza termenul in "x*y", daca

$$\theta = \{\operatorname{arctg}[E/(C - D)]\}/2 \tag{5.225}$$

Sa mai poate anula termenul in "x", daca

$$\theta = \operatorname{arctg}(-F/G) \tag{5.226}$$

Sau termenul in "y", daca

$$\theta = \operatorname{arctg}(G/F) \tag{5.227}$$

5.1.3. Rotatia axelor pentru ecuatia cu sapte coeficienti

Se vor păstra formal aceleasi variabile desi denumirile acestora ar trebui sa se schimbe prin relatiile (2.128), (2.129). Tinind cont de cele de mai sus, prin rotatia axelor in ecuatia cu 7 coeficienti (4.32), se obtine

$$\begin{aligned}
 & x^2 + y^2) \cdot [x \cdot (A \cdot \cos \theta + B \cdot \sin \theta) + y \cdot (B \cdot \cos \theta - A \cdot \sin \theta)] + \\
 & + x^2 \cdot (E \cdot \cos^2 \theta + F \cdot \sin \theta \cdot \cos \theta + G \cdot \sin^2 \theta) + x \cdot y \cdot [(G - E) \cdot \sin(2 \cdot \theta) + F \cdot \cos(2 \cdot \theta)] + \\
 & + y^2 \cdot (E \cdot \sin^2 \theta - F \cdot \sin \theta \cdot \cos \theta + G \cdot \cos^2 \theta) + x \cdot (H \cdot \cos \theta + I \cdot \sin \theta) + y \cdot (I \cdot \cos \theta - H \cdot \sin \theta) + 1 = 0
 \end{aligned} \tag{5.228}$$

Examinind (5.228), se constata ca ecuatia contine zece termeni. Unii dintre acestia s-ar putea reduce daca prin anularea coeficientilor corespunzatori se precizeaza exact valoarea unghiului de rotatie necesar la schimbarea axelor in acest scop.

In acest context se observa ca termenul in "x^2" se anuleaza, daca

$$\theta = \operatorname{arctg} \frac{-F \pm \sqrt{F^2 - 4 \cdot G \cdot E}}{2 \cdot G} \tag{5.229}$$

si termenul in "y^2", daca similar se anuleaza

$$\theta = \operatorname{arctg} \frac{F \pm \sqrt{F^2 - 4 \cdot G \cdot E}}{2 \cdot E} \tag{5.230}$$

De asemenea se anuleaza termenul in "x*y", daca

$$\theta = \{\operatorname{arctg}[F/(E - G)]\}/2 \tag{5.231}$$

mai poate anula termenul in "x", daca

$$\theta = \operatorname{arctg}(-H/I) \tag{5.232}$$

sau termenul in "y", daca

$$\theta = \operatorname{arctg}(I/H) \tag{5.233}$$

5.11.4. Rotatia axelor pentru ecuatia carteziana cu originea in focar

Se vor păstra formal aceleasi variabile desi denumirile acestora ar trebui sa se schimbe prin relatiile (2.128),

(2.129). Tinind cont de cele de mai sus, prin rotatia axelor in ecuatie carteziana cu originea in focar (4.3), se obtine

$$(U^2 + V^2) \cdot (U \cdot \cos \theta - V \cdot \sin \theta + 2 \cdot A) + U \cdot [(A^2 - B^2/4 - C) \cdot \cos \theta + (A \cdot B - D) \cdot \sin \theta] + V \cdot [(A \cdot B - D) \cdot \cos \theta - (A^2 - B^2/4 - C) \cdot \sin \theta] = 0 \quad (5.234)$$

Examinind (5.234), se constata ca ecuatie contine opt termeni. Unii dintre acestia s-ar putea reduce daca prin anularea coeficientilor corespunzatori se preciseaza exact valoarea unghiului de rotatie necesar la schimbarea axelor in acest scop.

Se poate anula termenul in "U", daca

$$\theta = \operatorname{arctg} \frac{A^2 - B^2/4 - C}{D - A \cdot B} \quad (5.235)$$

sau termenul in "V", daca

$$\theta = \operatorname{arctg} \frac{A \cdot B - D}{A^2 - B^2/4 - C} \quad (5.236)$$

5.11.5. Directii remarcabile. Concluzii

Analizind ecuatie Lichtenheldt rotita (5.217) si ecuatiiile (5.218), (5.219), (5.220), (5.221), se releva ca remarcabile directiile dupa care orientindu-se abscisa sistemului de axe se pot anula doi (este, dupa cum s-a aratat la subcap. 5.11.1, cazul singular al ecuatiei Lichtenheldt "rotita") sau cite un termen (potrivit celelalte cazuri). Astfel se poate obtine in cel mai bun caz, printre-o orientare "anumita" a sistemului de axe, o ecuatie cu opt termeni (orientare data de (5.218)), cel mai adesea cu noua termeni (orientari date de (5.219), (5.220), (5.221)).

Analizind ecuatiiile Perju "rotita" (5.222) si cea cu 7 coeficienti "rotita" (5.228), precum si relatiile corespunzatoare (5.223)...(5.227) si (5.229)...(5.233), se constata ca printre-o alegere adevarata a orientarii axelor, numarul de termeni se reduce cu o unitate (de la zece la noua). Se remarcă faptul ca in cazul ecuatiei cu 7 coeficienti

"rotita", rezolvarea "orientarii axelor", este mai simpla decit in cazul ecuatiei Perju "rotita".

Analizind ecuatie carteziana cu originea in focar "rotita" (5.234), precum si relatiile corespunzatoare (5.235)...(5.236), se constata ca printre o alegere adevarata a orientarii axelor numarul de termeni se reduce cu o unitate (de la opt la sapte).

Avind in vedere analizele de mai sus se poate afirma ca in afara de directia asimptotei/axeii medii (Newton-Gauss) si a perpendiculariei pe aceasta directie, exista si alte directii importante (relevante de relatiile (5.220), (5.221), (5.225)...(5.227), (5.229)...(5.233), (5.235), (5.236)), remarcabile prin faptul ca simplifica ecuatiile curbelor centrelor/punctelor daca sistemele de axe se orienteaza adevarat.

De asemenea trebuie remarcat faptul ca PRIN ROTATIA adevarata a AXELOR NU SE POATE GASI O ECUATIE MAI SIMPLA DECIT CEA CARTEZIANA CU ORIGINEA IN FOCAR SI AXA ORDONATELOR PARALELA CU ASIMPTOTA/AXA NEWTON-GAUSS (4.3)(are sase termeni).

Relatiile din subcap.5.11 au fost parcial deduse de autor in [M12].

5.12. Schimbarea axelor de coordonate prin translatie

Intrucit, depinzind numai de un parametru, rotatia de axe poate contribui la simplificarea ecuatiilor curbelor centrelor/punctelor, in general, cu o unitate, se va proceda in cele ce urmeaza la studiul posibilitatii simplificarii acestor ecuatii prin translatia axelor, cu doua unitati, stiut fiind ca aceasta depinde de doi parametri.

S-a simbolizat abscisa de translatie a noii origini cu "L" si ordonata de translatie a ei cu "M", pastrindu-se aceste notatii indiferent de numele variabilelor din ecuatii.

5.12.1. Translatia de axe pentru ecuatie Lichtenheldt

La aplicarea relatiilor (2.126) si (2.127), in conditiile de mai sus, asupra ecuatiei Lichtenheldt (2.7) s-au pastrat

aceleasi notatii pentru variabile in scopul simplificarii ecuatiilor obtinute.

Astfel a rezultat urmatoarea ecuatie (o cubica ciclica)

$$X \cdot (X^2 + Y^2) + X^2 \cdot (3 \cdot L - A) + Y^2 \cdot (L + A) + X \cdot Y \cdot (2 \cdot M - B) + X \cdot (3 \cdot L^2 + M^2 - 2 \cdot A \cdot L - B \cdot M - C) + Y \cdot (2 \cdot L \cdot M + 2 \cdot A \cdot M - B \cdot L - D) + L \cdot (L^2 + M^2) - A \cdot (L^2 - M^2) - B \cdot L \cdot M - C \cdot L - D \cdot M + E = 0 \quad (5.237)$$

care are zece termeni. Se pot anula unii dintre termeni anulind coeficientii acestora

$$3 \cdot L - A = 0 \quad (5.238)$$

$$L + A = 0 \quad (5.239)$$

$$2 \cdot M - B = 0 \quad (5.240)$$

$$3 \cdot L^2 + M^2 - 2 \cdot A \cdot L - B \cdot M - C = 0 \quad (5.241)$$

$$2 \cdot L \cdot M + 2 \cdot A \cdot M - B \cdot L - D = 0 \quad (5.242)$$

$$L \cdot (L^2 + M^2) - A \cdot (L^2 - M^2) - B \cdot L \cdot M - C \cdot L - D \cdot M + E = 0 \quad (5.243)$$

Ecuatiile (5.238)...(5.243) contin ca necunoscute "L" si "M". Se observa ca (5.238) si (5.239) se exclud reciproc. Rezulta ca numarul total de sisteme cu doua necunoscute (L,M) de cate doua ecuatii dintre (5.238)...(5.243), este dublul combinariilor de cinci luate cate doua minus combinariile de patru luate cate doua (adica 14 combinatii posibile).

Pentru anularea termenilor in "X^2" si "X*Y", din sistemul format cu (5.238) si (5.240), se obtine

$$L = A/3 \quad (5.244)$$

$$M = B/2 \quad (5.245)$$

Pentru anularea termenilor in "Y^2" si "X*Y", din sistemul format cu (5.239) si (5.240), se obtine

$$L = -A \quad (5.246)$$

$$M = B/2$$

(5.247)

Pentru anularea termenilor in "X^2" si "X", din sistemul format cu (5.238) si (5.241), se obtine

$$L_{1,2} = A/3$$

(5.248)

$$M_{1,2} = \left[B \pm \sqrt{B^2 + 4 \cdot (C + A^2/3)} \right] / 2 \quad (5.249)$$

Pentru anularea termenilor in "X^2" si "Y", din sistemul format cu (5.238) si (5.242), se obtine

$$L = A/3$$

(5.250)

$$M = (A \cdot B + 3 \cdot D)/8$$

(5.251)

Pentru anularea termenilor in "X^2" si "liber", din sistemul format cu (5.238) si (5.243), se obtine

$$L_{1,2} = A/3$$

(5.252)

$$M_{1,2} = \left[3 \cdot (A \cdot B + 3 \cdot D) \pm \sqrt{9 \cdot (A \cdot B + 3 \cdot D)^2 + 16 \cdot A \cdot (2 \cdot A^3 + 9 \cdot A \cdot C - 27 \cdot E)} \right] / (24 \cdot A) \quad (5.253)$$

sau tinind cont de identitatea (2.17)

$$M_{1,2} = \left[3 \cdot (A \cdot B + 3 \cdot D) \pm \sqrt{9 \cdot (A \cdot B + 3 \cdot D)^2 + 16 \cdot A \cdot (2 \cdot A^3 + 9 \cdot B \cdot D/2 - 18 \cdot E)} \right] / (24 \cdot A) \quad (5.254)$$

Pentru anularea termenilor in "Y^2" si "X", din sistemul format cu (5.239) si (5.241), se obtine

$$L_{1,2} = -A$$

(5.255)

$$M_{1,2} = \left(B \pm \sqrt{B^2 + 4 \cdot C - 20 \cdot A^2} \right) / 2 \quad (5.256)$$

Pentru anularea termenilor in "Y^2" si "Y", sistemul format cu (5.239) si (5.242) nu are solutii, ceea ce inseamna ca cei doi termeni amintiti nu se pot anula concomitent.

Pentru anularea termenilor in "Y^2" si "liber", din sistemul format cu (5.239) si (5.243), se obtine

$$L = -A \quad (5.257)$$

$$M = (2 \cdot A^3 - A \cdot C - E) / (A \cdot B - D) \quad (5.258)$$

Pentru anularea termenilor in "X*Y" si "X", din sistemul format cu (5.240) si (5.241), se obtine

$$l_{1,2} = \left[A \pm \sqrt{A^2 + 3 \cdot (B^2/4 - C)} \right] / 3 \quad (5.259)$$

$$M_{1,2} = B/2 \quad (5.260)$$

Pentru anularea termenilor in "X*Y" si "Y", sistemul format cu (5.240) si (5.242) nu are solutii, ceea ce inseamna ca cei doi termeni amintiti nu se pot anula concomitent.

Pentru anularea termenilor in "X*Y" si "liber", din sistemul format cu (5.240) si (5.243), se obtine

$$l_1 = A \quad (5.261)$$

$$l_{2,3} = \pm \sqrt{B^2/4 - C} \quad (5.262)$$

$$M_{1,2} = B/2 \quad (5.263)$$

Pentru anularea termenilor in "X" si "Y", sistemul format cu (5.241) si (5.242) conduce prin metoda substitutiilor la rezolvarea unei ecuatii de gradul patru, ceea ce face ca acest sistem sa poata fi abordat numai prin metode numerice (a se vedea cap.7).

Pentru anularea termenilor in "X" si "liber", sistemul format cu (5.241) si (5.243) conduce prin metoda substitutiilor la rezolvarea unei ecuatii de gradul opt, ceea ce face ca acest sistem sa poata fi abordat numai prin metode numerice (a se vedea cap.7).

Pentru anularea termenilor in "Y" si "liber", sistemul format cu (5.242) si (5.243) conduce prin metoda substitutiilor la rezolvarea unei ecuatii de gradul patru, ceea ce face ca

'acest sistem sa poata fi abordat numai prin metode numerice (a se vedea cap.7).

| Analizind (5.244)...(5.263), se constata:

- (5.244), (5.245) desemneaza un punct nesituat pe curba centrelor/punctelor.

- (5.246), (5.247) desemneaza un punct nesituat pe curba dar apartinind asimptotei, simetric cu focarul fata de axa Newton-Gauss.

- (5.248)...(5.254) desemneaza puncte care nu apartin curbei centrelor/punctelor dar care au toate aceeasi abscisa.

- (5.255), (5.256) desemneaza doua puncte nesituate pe curba centrelor/punctelor dar apartinind asimptotei.

- (5.257), (5.258) desemneaza un punct reprezentind intersectia asimptotei cu curba centrelor/punctelor (punctul principal "P", amintit in subcap.5.3).

- (5.259), (5.260) desemneaza doua puncte care nu apartin curbei centrelor/punctelor dar au aceeasi ordonata cu focarul.

- (5.261), (5.262), (5.263) desemneaza in varianta "1" chiar focarul curbei centrelor/punctelor iar in varianta "2, 3" doua puncte ce apartin curbei, au aceeasi ordonata cu focarul si sunt simetrice fata de axa medie/Newton-Gauss.

| Se constata, in cazul ecuatiei Lichtenheldt "translatata" (5.237), ca ea poate avea o forma mai simpla (cu sase termeni) daca se translateaza originea intr-unul din punctele specificate mai sus.

5.2.2. Translatia de axe pentru ecuatie Perju

La aplicarea relatiilor (2.126) si (2.127), in conditiile de mai sus, asupra ecuatiei Perju (2.39), s-au pastrat aceleasi notatii pentru variabile in scopul simplificarii ecuatiilor obtinute.

| Astfel a rezultat urmatoarea ecuatie (o cubica ciclica)

$$(x^2+y^2)\cdot(A\cdot x+B\cdot y)+x^2\cdot(3\cdot A\cdot L+B\cdot M+C+W)+y^2\cdot(A\cdot L+3\cdot B\cdot M+D+W)+x\cdot y\cdot(2\cdot B\cdot L+2\cdot A\cdot M+E)+\\+x\cdot[3\cdot A\cdot L^2+2\cdot L\cdot(C+W)+2\cdot B\cdot L\cdot M+E\cdot M+A\cdot M^2+F]+\\+y\cdot[B\cdot L^2+E\cdot L+2\cdot A\cdot L\cdot M+2\cdot M\cdot(D+W)+3\cdot B\cdot M^2+G]+\\+A\cdot L^3+B\cdot L^2\cdot M+A\cdot L\cdot M^2+B\cdot M^3+L^2\cdot(C+W)+E\cdot L\cdot M+M^2\cdot(D+W)+F\cdot L+C\cdot M+H=0 \quad (5.264)$$

care are zece termeni. Se pot anula unii dintre termeni anulind coeficientii acestora

$$3 \cdot A \cdot L + B \cdot M + C + W = 0 \quad (5.265)$$

$$A \cdot L + 3 \cdot B \cdot M + D + W = 0 \quad (5.266)$$

$$2 \cdot B \cdot L + 2 \cdot A \cdot M + E = 0 \quad (5.267)$$

$$3 \cdot A \cdot L^2 + 2 \cdot L \cdot (C + W) + 2 \cdot B \cdot L \cdot M + E \cdot M + A \cdot M^2 + F = 0 \quad (5.268)$$

$$B \cdot L^2 + E \cdot L + 2 \cdot A \cdot L \cdot M + 2 \cdot M \cdot (D + W) + 3 \cdot B \cdot M^2 + G = 0 \quad (5.269)$$

$$A \cdot L^3 + B \cdot L^2 \cdot M + A \cdot L \cdot M^2 + B \cdot M^3 + L^2 \cdot (C + W) + E \cdot L \cdot M + M^2 \cdot (D + W) + F \cdot L + G \cdot M + H = 0 \quad (5.270)$$

| Ecuatiile (5.265)...(5.270) contin ca necunoscute "L" si "M". Numarul total de sisteme cu doua necunoscute (L,M) de cte doua ecuatii dintre (5.265)...(5.270), este combinari de sase luate cate doua (adica 15 combinatii posibile).

Pentru anularea termenilor in "x^2" si "y^2", din sistemul format cu (5.265) si (5.266), se obtine

$$L = (D - 3 \cdot C - 2 \cdot W) / (8 \cdot A) \quad (5.271)$$

$$M = (C - 3 \cdot D - 2 \cdot W) / (8 \cdot B) \quad (5.272)$$

Pentru anularea termenilor in "x^2" si "x*y", din sistemul format cu (5.265) si (5.267), se obtine

$$L = [B \cdot E - 2 \cdot A \cdot (C + W)] / [2 \cdot (3 \cdot A^2 - B^2)] \quad (5.273)$$

$$M = [2 \cdot B \cdot (C + W) - 3 \cdot A \cdot E] / [2 \cdot (3 \cdot A^2 - B^2)] \quad (5.274)$$

| Pentru anularea termenilor in "y^2" si "x*y", din sistemul format cu (5.266) si (5.267), se obtine

$$L = [2 \cdot A \cdot (D + W) - 3 \cdot B \cdot E] / [2 \cdot (3 \cdot B^2 - A^2)] \quad (5.275)$$

$$M = [A \cdot E - 2 \cdot B \cdot (D + W)] / [2 \cdot (3 \cdot B^2 - A^2)] \quad (5.276)$$

S-au evidențiat mai sus rezolvările sistemelor de cîte două ecuații liniare dintre (5.265)...(5.267).

Orice sistem de două ecuații care cuprinde una dintre ecuațiile (5.265)...(5.267) și una dintre (5.268), (5.269), conduce la rezolvarea unor ecuații de gradul al doilea cu soluții greoi explicitabile.

Orice sistem de două ecuații care cuprinde una dintre ecuațiile (5.265)...(5.267) și (5.270), conduce la rezolvarea unor ecuații de gradul al treilea cu soluții greoi explicitabile.

Sistemul format din (5.268) și (5.269) conduce la rezolvarea unor ecuații de gradul al patrulea cu soluții determinabile numai prin metode numerice.

Orice sistem de două ecuații format din una dintre (5.268)...(5.270), conduce la rezolvarea unor ecuații de gradul al saselea cu soluții determinabile numai prin metode numerice.

Soluțiile specificate în (5.271)...(5.276) sunt puncte care nu aparțin curbilor centrelor/punctelor.

Se obțin puncte care aparțin curbei centrelor/punctelor dacă în sistemul respectiv de două ecuații se include (5.270). Probabil printre aceste puncte se vor obține focalul, punctul principal și alte puncte semnificative semnalate la subcap.5.12.1.

Metodele numerice amintite mai sus, au fost efectiv aplicate, pe cazuri concrete în cap.7, fără a urmări un anume tip de ecuație.

Trebuie remarcat faptul că ecuația Perju "translatată" (5.264) are zece termeni, rezultind că prin alegerea convenabilă a originii "translatate" se obțin ecuații mai simple, cu cîte opt termeni (doi reducindu-se pentru originile sistemelor de axe alese conform celor expuse mai sus).

5.12.3. Translația de axe pentru ecuația cu sapte coeficienți

La aplicarea relațiilor (2.126) și (2.127), în condițiile de mai sus, asupra ecuației cu 7 coeficienți (4.32) s-au pastrat aceleasi notatii pentru variabile in scopul simplificarii ecuațiilor obtinute.

Astfel a rezultat urmatoarea ecuatie (o cubica ciclica)

$$(x^4 + y^2) \cdot (A \cdot x + B \cdot y) + x^2 \cdot (3 \cdot A \cdot L + B \cdot M + E) + y^2 \cdot (A \cdot L + 3 \cdot B \cdot M + G) + x \cdot y \cdot (2 \cdot A \cdot M + 2 \cdot B \cdot L + F) + x \cdot [2 \cdot L \cdot (A \cdot L + B \cdot M + E) + A \cdot (L^2 + M^2) + F \cdot M + H] + y \cdot [2 \cdot M \cdot (A \cdot L + B \cdot M + G) + B \cdot (L^2 + M^2) + F \cdot L + I] + (A \cdot L + B \cdot M) \cdot (L^2 + M^2) + E \cdot L^2 + F \cdot L \cdot M + G \cdot M^2 + H \cdot L + I \cdot M + 1 = 0 \quad (5.277)$$

care are zece termeni. Se pot anula unii dintre termeni, anulind coeficientii acestora

$$3 \cdot A \cdot L + B \cdot M + E = 0 \quad (5.278)$$

$$A \cdot L + 3 \cdot B \cdot M + G = 0 \quad (5.279)$$

$$2 \cdot A \cdot M + 2 \cdot B \cdot L + F = 0 \quad (5.280)$$

$$2 \cdot L \cdot (A \cdot L + B \cdot M + E) + A \cdot (L^2 + M^2) + F \cdot M + H = 0 \quad (5.281)$$

$$2 \cdot M \cdot (A \cdot L + B \cdot M + G) + B \cdot (L^2 + M^2) + F \cdot L + I = 0 \quad (5.282)$$

$$(A \cdot L + B \cdot M) \cdot (L^2 + M^2) + E \cdot L^2 + F \cdot L \cdot M + G \cdot M^2 + H \cdot L + I \cdot M + 1 = 0 \quad (5.283)$$

Ecuatiile (5.278)...(5.283) contin ca necunoscute "L" si "M". Numarul total de sisteme cu doua necunoscute (L,M) de cte doua ecuatii dintre (5.278)...(5.283), este combinari de sase luate cate doua (adica 15 combinatii posibile).

Pentru anularea termenilor in "x^2" si "y^2", din sistemul format cu (5.278) si (5.279), se obtine

$$L \stackrel{!}{=} (G - 3 \cdot E)/(8 \cdot A) \quad (5.284)$$

$$M \stackrel{!}{=} (E - 3 \cdot G)/(8 \cdot B) \quad (5.285)$$

Pentru anularea termenilor in "x^2" si "x*y", din sistemul format cu (5.278) si (5.280), se obtine

$$L \stackrel{!}{=} (2 \cdot A \cdot E - B \cdot F)/[2 \cdot (B^2 - 3 \cdot A^2)] \quad (5.286)$$

$$M \stackrel{!}{=} (2 \cdot B \cdot E - 3 \cdot A \cdot F)/[2 \cdot (3 \cdot A^2 - B^2)] \quad (5.287)$$

Pentru anularea termenilor in "y^2" si "x*y", din sistemul format cu (5.279) si (5.280), se obtine

$$L = (2 \cdot A \cdot G - 3 \cdot B \cdot F) / [2 \cdot (3 \cdot B^2 - A^2)] \quad (5.288)$$

$$M = (2 \cdot B \cdot G - A \cdot F) / [2 \cdot (A^2 - 3 \cdot B^2)] \quad (5.289)$$

S-au evidențiat mai sus rezolvările sistemelor de cîte două ecuații liniare dintre (5.278)...(5.280).

Orice sistem de două ecuații care cuprinde una dintre ecuațiile (5.278)...(5.280) și una dintre (5.281), (5.282), conduce la rezolvarea unor ecuații de gradul al doilea cu soluții greoi explicitabile.

Orice sistem de două ecuații care cuprinde una dintre ecuațiile (5.278)...(5.280) și (5.283) conduce la rezolvarea unor ecuații de gradul al treilea cu soluții greoi explicitabile.

Sistemul format din (5.281) și (5.282) conduce la rezolvarea unor ecuații de gradul al patrulea cu soluții determinabile numai prin metode numerice.

Orice sistem de două ecuații format din una dintre (5.281)...(5.283), conduce la rezolvarea unor ecuații de gradul al saselea cu soluții determinabile numai prin metode numerice.

Soluțiile specificate în (5.284)...(5.289) sunt puncte care nu aparțin curbilor centrelor/punctelor.

Se obțin puncte care aparțin curbei centrelor/punctelor dacă în sistemul respectiv de două ecuații se include (5.283). Probabil printre aceste puncte se vor obține focalul, punctul principal și alte puncte semnificative semnalate la subcap.5.12.1.

Trebuie remarcat faptul că ecuația cu 7 coeficienți "translatată" (5.277) are zece termeni, rezultind că prin alegerea convenabilă a originii "translate", se obțin ecuații mai simple, cu cîte opt termeni (doi reducindu-se pentru originile sistemelor de axe alese conform celor expuse mai sus).

5.12.4. Translația de axe pentru ecuația carteziana cu originea în focar

La aplicarea relațiilor (2.126) și (2.127), în condițiile de mai sus, asupra ecuației carteziene cu originea în focar (4.3) s-au pastrat aceleasi notatii pentru variabile, în scopul

simplificarii ecuațiilor obținute. Astfel a rezultat

$$\begin{aligned} & U \cdot (U^2 + V^2) + U^2 \cdot (3 \cdot L + 2 \cdot A) + V^2 \cdot (L + 2 \cdot A) + U \cdot V \cdot (2 \cdot M) + \\ & + U \cdot (3 \cdot L^2 + M^2 + 4 \cdot A \cdot L + A^2 - B^2/4 - C) + V \cdot (2 \cdot L \cdot M + 4 \cdot A \cdot M + A \cdot B - D) + \\ & + L^3 + L \cdot M^2 + 2 \cdot A \cdot L^2 + 2 \cdot A \cdot M^2 + L \cdot (A^2 - B^2/4 - C) + M \cdot (A \cdot B - D) = 0 \end{aligned} \quad (5.290)$$

care are opt termeni. Se pot anula unii dintre termeni, anulind coeficientii acestora

$$3 \cdot L + 2 \cdot A = 0 \quad (5.291)$$

$$L + 2 \cdot A = 0 \quad (5.292)$$

$$2 \cdot M = 0 \quad (5.293)$$

$$3 \cdot L^2 + M^2 + 4 \cdot A \cdot L + A^2 - B^2/4 - C = 0 \quad (5.294)$$

$$2 \cdot L \cdot M + 4 \cdot A \cdot M + A \cdot B - D = 0 \quad (5.295)$$

$$L^3 + L \cdot M^2 + 2 \cdot A \cdot L^2 + 2 \cdot A \cdot M^2 + L \cdot (A^2 - B^2/4 - C) + M \cdot (A \cdot B - D) = 0 \quad (5.296)$$

Ecuatiile (5.291)...(5.296) contin ca necunoscute "L" si "M". Se observă că (5.291) și (5.292) se exclud reciproc. Rezulta că numărul total de sisteme cu două necunoscute (L,M) de către două ecuații dintre (5.291)...(5.296), este dublul combinarilor de cinci luate cite două minus combinarile de patru luate cite două (adică 14 combinații posibile).

Pentru anularea termenilor în "U^2" și "U*V", din sistemul format cu (5.291) și (5.293), se obține

$$L = -2 \cdot A/3 \quad (5.297)$$

$$M \neq 0 \quad (5.298)$$

Pentru anularea termenilor în "V^2" și "U*V", din sistemul format cu (5.292) și (5.293), se obține

$$L \neq -2 \cdot A \quad (5.299)$$

$$M = 0 \quad (5.300)$$

Pentru anularea termenilor in "U^2" si "U", din sistemul format cu (5.291) si (5.294), se obtine

$$L_{1,2} = -2 \cdot A/3 \quad (5.301)$$

$$M_{1,2} = \pm \sqrt{A^2/3 + B^2/4 + C} \quad (5.302)$$

Pentru anularea termenilor in "U^2" si "V", din sistemul format cu (5.291) si (5.295), se obtine

$$L = -2 \cdot A/3 \quad (5.303)$$

$$M = 3 \cdot (D - A \cdot B)/(8 \cdot A) \quad (5.304)$$

Pentru anularea termenilor in "U^2" si "liber", din sistemul format cu (5.291) si (5.296), se obtine

$$L_{1,2} = -2 \cdot A/3 \quad (5.305)$$

$$M_{1,2} = \left\{ D - A \cdot B \pm \sqrt{(A \cdot B - D)^2 + 16 \cdot A^2 \cdot (2 \cdot A^2/9 - B^2/2 - 2 \cdot C)/9} \right\} / (8 \cdot A/3) \quad (5.306)$$

Pentru anularea termenilor in "V^2" si "U", din sistemul format cu (5.292) si (5.294), se obtine

$$L_{1,2} = -2 \cdot A \quad (5.307)$$

$$M_{1,2} = \pm \sqrt{B^2/4 - 5 \cdot A^2 + C} \quad (5.308)$$

Pentru anularea termenilor in "V^2" si "V", sistemul format cu (5.292) si (5.295) nu are solutii, ceea ce inseamna ca cei doi termeni amintiti nu se pot anula concomitent.

Pentru anularea termenilor in "V^2" si "liber", din sistemul format cu (5.292) si (5.296), se obtine

$$L = -2 \cdot A \quad (5.309)$$

$$M = 2 \cdot A \cdot (A^2 - B^2/4 - C)/(A \cdot B - D) \quad (5.310)$$

Pentru anularea termenilor in "U*V" si "U", din sistemul format cu (5.293) si (5.294), se obtine

$$L_{1,2} = -A \pm (1/6) \cdot \sqrt{3 \cdot B^2 - 4 \cdot A^2 + 12 \cdot C} \quad (5.311)$$

$$\dot{M}_{1,2} = 0 \quad (5.312)$$

Pentru anularea termenilor in "U*V" si "V", sistemul format cu (5.293) si (5.295) nu are solutii, ceea ce inseamna ca cei doi termeni amintiti nu se pot anula concomitent.

Pentru anularea termenilor in "U*V" si "liber", din sistemul format cu (5.293) si (5.296), se obtine

$$L_1 = 0 \quad (5.313)$$

$$L_{2,3} = \left(-2 \cdot A \pm \sqrt{b^2 - 4 \cdot c} \right) / 2 \quad (5.314)$$

$$M_{1,2,3} = 0 \quad (5.315)$$

Pentru anularea termenilor in "U" si "V", sistemul format cu (5.294) si (5.295) conduce prin metoda substitutiilor la rezolvarea unei ecuatii de gradul patru, ceea ce face ca acest sistem sa poata fi abordat numai prin metode numerice (a se vedea cap.7).

Pentru anularea termenilor in "U" si "liber", sistemul format cu (5.294) si (5.296) conduce prin metoda substitutiilor la rezolvarea unei ecuatii de gradul sase, ceea ce face ca acest sistem sa poata fi abordat numai prin metode numerice (a se vedea cap.7).

Pentru anularea termenilor in "V" si "liber", sistemul format cu (5.295) si (5.296) conduce prin metoda substitutiilor la rezolvarea unei ecuatii de gradul cinci, ceea ce face ca acest sistem sa poata fi abordat numai prin metode numerice (a se vedea cap.7).

- Analizind (5.297)...(5.315), se constata
- + (5.297), (5.298) desemneaza un punct nesituat pe curba centrelor/punctelor.
- (5.299), (5.300) desemneaza un punct nesituat pe curba dar apartinind asimptotei, simetric cu focalul fata de axa Newton-Gauss.
- (5.301)...(5.306) desemneaza puncte care nu apartin curbei centrelor/punctelor dar care au toate aceeasi abscisa.
- + (5.307), (5.308) desemneaza doua puncte nesituate pe curba

centrelor/punctelor dar aparținând asymptotei.

- (5.309), (5.310) desemnează un punct reprezentând intersecția asymptotei cu curba centrelor/punctelor (punctul principal "P", amintit în subcap.5.3).

- (5.311), (5.312) desemnează două puncte care nu aparțin curbei centrelor/punctelor dar au aceeași ordonată cu focarul.

- (5.313), (5.314), (5.315) desemnează în varianta "1" chiar focarul curbei centrelor/punctelor iar în varianta "2, 3" două puncte ce aparțin curbei, au aceeași ordonată cu focarul și sunt simetrice față de axa medie/Newton-Gauss.

Se constată, în cazul ecuației carteziene cu originea în focar "translatată" (5.290), că ea poate avea o formă mai simplă (cu sase termeni) dacă se translatează originea într-unul din punctele specificate mai sus.

5.12.5. Concluzii

Examinind rezultatele din subcap.5.12.1...5.12.4, se constată că, în general, nu se obțin forme mult mai simple pentru ecuațiile curbelor centrelor/punctelor prin translatarea originii în punctele particulare ale căror coordonate au fost deduse aici.

Complexitatea relațiilor din subcap.5.12 este mai redusă la cele provenite din ecuația cu 7 coeficienți față de cele provenite din ecuația Perju; în cazul ecuațiilor Lichtenheldt și carteziana cu originea în focar, rezultând complexitatea similară.

Din cele expuse pînă aici, rezulta că "CEA MAI SIMPLA FORMĂ A: ECUAȚIILOR CURBELOR CENTRELOR/PUNCTELOR ESTE ECUAȚIA CARTEZIANĂ CU ORIGINEA ÎN FOCAR (4.3), AVIND SASE TERMENI" (pe parcursul subcap.5.12 au mai fost identificate puncte care fiind utilizate ca origini, conduc la ecuații similare).

Totuși coordonatele punctelor deduse mai sus au evidențiat în afara punctelor cunoscute (focarul "F", punctul principal "P", punctul Newton "N", punctul Gauss "G", etc), și alte puncte remarcabile (cele în care se reduc prin translatare cite doi termeni din ecuațiile curbelor centrelor/punctelor).

Unele dintre relațiile din subcap.5.12, au fost deduse de autor în [M11].

**5.13. Schimbarea axelor de coordonate
prin translatie si rotatie**

Daca schimbarea axelor de coordonate prin rotatie (vezi subcap.5.11) conduce la reducerea numarului de termeni in ecuatiile curbelor de sinteza, in general, cu o unitate (un singur parametru) si daca schimbarea axelor de coordonate prin translatie (vezi subcap.5.12) conduce la reducerea aceluiasi numar cu doua unitati (doi parametri), atunci este de asteptat ca, prin schimbarea axeelor de coordonate prin translatie si rotatie (trei parametri), numarul respectiv de termeni sa se reduca cu trei unitati.

Facind o comparatie cu studiul "conicelor" din [23], [M8], [T1], se incearca, in raport cu "cubicele" care sunt curbele centrelor/punctelor, efectuarea unui studiu asemanator, inclusiv identificarea unor invariante fata de rotatie/translatie.

Se vor utiliza, pentru schimbarea axelor de coordonate prin translatie si rotatie, relatiile de transformare punctuala (2.19) si (2.20). In aceste relatii, pentru a simplifica scrierea, s-au notat cu "L" abscisa de translatie, cu "M" ordonata de translatie si cu " θ " unghiul de rotatie. Numele variabilelor in aceste relatii vor fi adevarate diferitelor sisteme de axe in care au fost exprimate ecuatiile curbelor de sinteza.

**5.13.1. Translatia si rotatia axelor
pentru ecuatie Lichtenheldt**

In circumstantele enuntate anterior, s-a efectuat transformarea punctuala asupra ecuatiei Lichtenheldt (2.7), pastrind numele variabilelor in scopul evitarii complicatiilor. Astfel s-a obtinut ecuatie (o cubica ciclica)

$$\begin{aligned} & [X^2 + Y^2] \cdot (X \cdot \cos \theta - Y \cdot \sin \theta) + X^2 \cdot [2 \cdot L \cdot \cos^2 \theta - A \cdot \cos(2 \cdot \theta) + (M - B/2) \cdot \sin(2 \cdot \theta) + L] + \\ & + Y^2 \cdot [2 \cdot L \cdot \sin^2 \theta + A \cdot \cos(2 \cdot \theta) - (M - B/2) \cdot \sin(2 \cdot \theta) + L] + X \cdot Y \cdot [2 \cdot (A - L) \cdot \sin(2 \cdot \theta) + (2 \cdot M - B) \cdot \cos(2 \cdot \theta)] + \\ & + X \cdot [(3 \cdot L^2 - 2 \cdot A \cdot L - B \cdot M + M^2 - C) \cdot \cos \theta + (2 \cdot A \cdot M + 2 \cdot L \cdot M - B \cdot L - D) \cdot \sin \theta] + \\ & + Y \cdot [(2 \cdot A \cdot M + 2 \cdot L \cdot M - B \cdot L - D) \cdot \cos \theta - (3 \cdot L^2 - 2 \cdot A \cdot L - B \cdot M + M^2 - C) \cdot \sin \theta] + \\ & + L \cdot (M^2 + L^2) + A \cdot (M^2 - L^2) - B \cdot L \cdot M - C \cdot L \cdot D \cdot M + E = 0 \end{aligned} \quad (5.316)$$

care are zece termeni. Anulind coeficientii ce depind de neconoscutele translatiei (L, M) si rotatiei (θ), ai termenilor respectivi, se obtin

$$2 \cdot L \cdot \cos^2 \theta - A \cdot \cos(2 \cdot \theta) + (M - B/2) \cdot \sin(2 \cdot \theta) + L = 0 \quad (5.317)$$

$$2 \cdot L \cdot \sin^2 \theta + A \cdot \cos(2 \cdot \theta) - (M - B/2) \cdot \sin(2 \cdot \theta) + L = 0 \quad (5.318)$$

$$2 \cdot (A - L) \cdot \sin(2 \cdot \theta) + (2 \cdot M - B) \cdot \cos(2 \cdot \theta) = 0 \quad (5.319)$$

$$(3 \cdot L^2 - 2 \cdot A \cdot L - B \cdot M + M^2 - C) \cdot \cos \theta + (2 \cdot A \cdot M + 2 \cdot L \cdot M - B \cdot L - D) \cdot \sin \theta = 0 \quad (5.320)$$

$$(3 \cdot A \cdot M + 2 \cdot L \cdot M - B \cdot L - D) \cdot \cos \theta - (3 \cdot L^2 - 2 \cdot A \cdot L - B \cdot M + M^2 - C) \cdot \sin \theta = 0 \quad (5.321)$$

$$L \cdot (M^2 + L^2) + A \cdot (M^2 - L^2) - B \cdot L \cdot M - C \cdot L - D \cdot M + E = 0 \quad (5.322)$$

Din cele sase ecuatii (5.317)...(5.322), se pot scrie sisteme de cite trei ecuatii transcendentale, in numar de douazeci de variante (combinari de sase luate cite trei). Aceste sisteme pot fi abordate numai prin metode numerice (a se vedea cap.7), rezultind parametrii translatiei si rotatiei care aplicati prin relatiile (2.19), (2.20) asupra ecuatiei Lichtenheldt "translatata si rotita" (5.316), o simplifica (aducind-o la o forma cu sapte termeni).

Se observa ca daca intr-unul din sistemele amintite se include ecuatie (5.322), noua origine va fi un punct cercual sau un centru (apartinind deci curbei centrelor/punctelor).

5.13.2. Translatia si rotatia axelor pentru ecuatie Perju

Se vor utiliza, pentru schimbarea axelor de coordonate prin translatie si rotatie, relatiile de transformare punctuala (2.19) si (2.20). In aceste relatii, pentru a simplifica scrierea, s-au notat cu "L" abscisa de translatie, cu "M" ordonata de translatie si cu " θ " unghiul de rotatie.

In circumstantele enunstate anterior s-a efectuat transformarea punctuala asupra ecuatiei Perju (2.39), păstrind numele variabilelor in scopul evitarii complicatiilor. Astfel

s-a obtinut ecuatia (o cubica ciclica)

$$\begin{aligned}
 & (x^2 + y^2) \cdot [(B \cdot \sin \theta + A \cdot \cos \theta) \cdot x + (B \cdot \cos \theta - A \cdot \sin \theta) \cdot y] + \\
 & + x^2 \cdot [(2 \cdot A \cdot L + C) \cdot \cos^2 \theta + (2 \cdot B \cdot M + D) \cdot \sin^2 \theta + (A \cdot M + B \cdot L + E/2) \cdot \sin(2 \cdot \theta) + A \cdot L + B \cdot M + W] + \\
 & + y^2 \cdot [(2 \cdot A \cdot L + C) \cdot \sin^2 \theta + (2 \cdot B \cdot M + D) \cdot \cos^2 \theta - (A \cdot M + B \cdot L + E/2) \cdot \sin(2 \cdot \theta) + A \cdot L + B \cdot M + W] + \\
 & + x \cdot y \cdot \{(A \cdot M + B \cdot L + E/2) \cdot \cos(2 \cdot \theta) + [2 \cdot (A \cdot L + B \cdot M) + C + D] \cdot \sin(2 \cdot \theta)\} + \\
 & + x \cdot \{[L \cdot (2 \cdot A \cdot M + B \cdot L + E) + M \cdot (3 \cdot B \cdot M + 2 \cdot W + 2 \cdot D) + G] \cdot \sin \theta + \\
 & \quad + [L \cdot (3 \cdot A \cdot L + 2 \cdot B \cdot M + 2 \cdot W + 2 \cdot C) + M \cdot (A \cdot M + E) + F] \cdot \cos \theta\} + \\
 & + y \cdot \{[L \cdot (2 \cdot A \cdot M + B \cdot L + E) + M \cdot (3 \cdot B \cdot M + 2 \cdot W + 2 \cdot D) + G] \cdot \cos \theta - \\
 & \quad - [L \cdot (3 \cdot A \cdot L + 2 \cdot B \cdot M + 2 \cdot W + 2 \cdot C) + M \cdot (A \cdot M + E) + F] \cdot \sin \theta\} + \\
 & + (A \cdot L + B \cdot M + W) \cdot (L^2 + M^2) + C \cdot L^2 + D \cdot M^2 + F \cdot L + G \cdot M + H = 0
 \end{aligned} \tag{5.323}$$

Care are zece termeni. Anulind coeficientii ce depend de necunoscutele translatiei (L, M) si rotatiei (θ), ai termenilor respectivi, se obtin

$$(2 \cdot A \cdot L + C) \cdot \cos^2 \theta + (2 \cdot B \cdot M + D) \cdot \sin^2 \theta + (A \cdot M + B \cdot L + E/2) \cdot \sin(2 \cdot \theta) + A \cdot L + B \cdot M + W = 0 \tag{5.324}$$

$$(2 \cdot A \cdot L + C) \cdot \sin^2 \theta + (2 \cdot B \cdot M + D) \cdot \cos^2 \theta - (A \cdot M + B \cdot L + E/2) \cdot \sin(2 \cdot \theta) + A \cdot L + B \cdot M + W = 0 \tag{5.325}$$

$$(A \cdot M + B \cdot L + E/2) \cdot \cos(2 \cdot \theta) + [2 \cdot (A \cdot L + B \cdot M) + C + D] \cdot \sin(2 \cdot \theta) = 0 \tag{5.326}$$

$$\begin{aligned}
 & [L \cdot (2 \cdot A \cdot M + B \cdot L + E) + M \cdot (3 \cdot B \cdot M + 2 \cdot W + 2 \cdot D) + G] \cdot \sin \theta + \\
 & + [L \cdot (3 \cdot A \cdot L + 2 \cdot B \cdot M + 2 \cdot W + 2 \cdot C) + M \cdot (A \cdot M + E) + F] \cdot \cos \theta = 0
 \end{aligned} \tag{5.327}$$

$$\begin{aligned}
 & [L \cdot (2 \cdot A \cdot M + B \cdot L + E) + M \cdot (3 \cdot B \cdot M + 2 \cdot W + 2 \cdot D) + G] \cdot \cos \theta - \\
 & - [L \cdot (3 \cdot A \cdot L + 2 \cdot B \cdot M + 2 \cdot W + 2 \cdot C) + M \cdot (A \cdot M + E) + F] \cdot \sin \theta = 0
 \end{aligned} \tag{5.328}$$

$$(A \cdot L + B \cdot M + W) \cdot (L^2 + M^2) + C \cdot L^2 + D \cdot M^2 + F \cdot L + G \cdot M + H = 0 \tag{5.329}$$

Din cele sase ecuatii (5.324)...(5.329) se pot scrie sisteme de cîte trei ecuatii transcidente, în numar de douăzeci de variante (combinari de sase luate cîte trei). Aceste sisteme pot fi abordate numai prin metode numerice (a se vedea cap.7), rezultind parametrii translatiei și rotatiei care aplicati prin relațiile (2.19), (2.20) asupra ecuației Perju "translatată și rotita" (5.323), o simplifică (aducind-o la o formă cu săptă termeni).

Se observă că dacă într-unul din sistemele amintite se include ecuația (5.329), noua origine va fi un punct cercual sau unicentru (apartinind deci curbei centrelor/punctelor).

**5.13.3. Translatia si rotatia
axelor pentru ecuatia
cu sapte coeficienti**

In circumstantele enunata anterior s-a efectuat transformarea punctuala asupra ecuatiei cu 7 coeficienti (4.32), pastrind numele variabilelor in scopul evitarii complicatiilor. Astfel s-a obtinut ecuatia (o cubica ciclica)

$$\begin{aligned}
 & (x^2 + y^2) \cdot [(A \cdot \cos \theta + B \cdot \sin \theta) \cdot x + (B \cdot \cos \theta - A \cdot \sin \theta) \cdot y] + \\
 & + x^2 \cdot [A \cdot L + B \cdot M + (2 \cdot B \cdot M + G) \cdot \sin^2 \theta + (2 \cdot A \cdot L + E) \cdot \cos^2 \theta + (A \cdot M + B \cdot L + F/2) \cdot \sin(2 \cdot \theta)] + \\
 & + x \cdot y \cdot [(2 \cdot B \cdot L + 2 \cdot A \cdot M + F) \cdot \cos(2 \cdot \theta) + (-2 \cdot A \cdot L + 2 \cdot B \cdot M - E + G) \cdot \sin(2 \cdot \theta)] + \\
 & + y^2 \cdot [A \cdot L + B \cdot M + (2 \cdot A \cdot L + E) \cdot \sin^2 \theta + (2 \cdot B \cdot M + G) \cdot \cos^2 \theta - (A \cdot M + B \cdot L + F/2) \cdot \sin(2 \cdot \theta)] + \\
 & + x \cdot \{[2 \cdot M \cdot (A \cdot L + B \cdot M) + B \cdot (L^2 + M^2) + F \cdot L + 2 \cdot G \cdot M + I] \cdot \sin \theta + \\
 & + [2 \cdot L \cdot (A \cdot L + B \cdot M) + A \cdot (L^2 + M^2) + 2 \cdot L \cdot E + F \cdot M + H] \cdot \cos \theta\} + \\
 & + y \cdot \{[-2 \cdot L \cdot (A \cdot L + B \cdot M) + A \cdot (L^2 + M^2) + 2 \cdot E \cdot L + F \cdot M + H] \cdot \sin \theta + \\
 & + [2 \cdot M \cdot (A \cdot L + B \cdot M) + B \cdot (L^2 + M^2) + F \cdot L + 2 \cdot G \cdot M + I] \cdot \cos \theta\} + \\
 & + (A \cdot L + B \cdot M) \cdot (L^2 + M^2) + E \cdot L^2 + F \cdot L \cdot M + G \cdot M^2 + H \cdot L + I \cdot M + I = 0
 \end{aligned} \tag{5.330}$$

Care are zece termeni. Anulind coeficientii ce depind de necunoscutele translatiei (L, M) si rotatiei (θ), ai termenilor respectivi, se obtin

$$A \cdot L + B \cdot M + (2 \cdot B \cdot M + G) \cdot \sin^2 \theta + (2 \cdot A \cdot L + E) \cdot \cos^2 \theta + (A \cdot M + B \cdot L + F/2) \cdot \sin(2 \cdot \theta) = 0 \tag{5.331}$$

$$(2 \cdot B \cdot L + 2 \cdot A \cdot M + F) \cdot \cos(2 \cdot \theta) + (-2 \cdot A \cdot L + 2 \cdot B \cdot M - E + G) \cdot \sin(2 \cdot \theta) = 0 \tag{5.332}$$

$$A \cdot L + B \cdot M + (2 \cdot A \cdot L + E) \cdot \sin^2 \theta + (2 \cdot B \cdot M + G) \cdot \cos^2 \theta - (A \cdot M + B \cdot L + F/2) \cdot \sin(2 \cdot \theta) = 0 \tag{5.333}$$

$$\begin{aligned}
 & [2 \cdot M \cdot (A \cdot L + B \cdot M) + B \cdot (L^2 + M^2) + F \cdot L + 2 \cdot G \cdot M + I] \cdot \sin \theta + \\
 & + [2 \cdot L \cdot (A \cdot L + B \cdot M) + A \cdot (L^2 + M^2) + 2 \cdot L \cdot E + F \cdot M + H] \cdot \cos \theta = 0
 \end{aligned} \tag{5.334}$$

$$\begin{aligned}
 & -[2 \cdot L \cdot (A \cdot L + B \cdot M) + A \cdot (L^2 + M^2) + 2 \cdot E \cdot L + F \cdot M + H] \cdot \sin \theta + \\
 & + [2 \cdot M \cdot (A \cdot L + B \cdot M) + B \cdot (L^2 + M^2) + F \cdot L + 2 \cdot G \cdot M + I] \cdot \cos \theta = 0
 \end{aligned} \tag{5.335}$$

$$(A \cdot L + B \cdot M) \cdot (L^2 + M^2) + E \cdot L^2 + F \cdot L \cdot M + G \cdot M^2 + H \cdot L + I \cdot M + I = 0 \tag{5.336}$$

Din cele sase ecuatii (5.331)...(5.336), se pot scrie sisteme de cate trei ecuatii transcendentale, in numar de douazeci de variante (combinari de sase luate cate trei). Aceste sisteme pot fi abordate numai prin metode numerice (a se vedea cap.7), rezultind parametrii translatiei si rotatiei care aplicati prin

relatiile (2.19), (2.20) asupra ecuatiei cu 7 coeficienti "translatata si rotita" (5.330), o simplifica (aducind-o la o forma cu sapte termeni).

Se observa ca daca intr-unul din sistemele amintite, se include ecuatie (5.336), noua origine va fi un punct cercual sau un centru (apartenind deci curbei centrelor/punctelor).

5.13.4. Translatia si rotatia axelor pentru ecuatie carteziana cu originea in focar

In circumstantele enuntate anterior, s-a efectuat transformarea punctuala asupra ecuatiei carteziene cu originea in focar (4.3), pastrind numele variabilelor in scopul evitarii complicatiilor. Astfel s-a obtinut ecuatie (o cubica ciclica)

$$(U^2 + V^2) \cdot (U \cdot \cos \theta - V \cdot \sin \theta) + U^2 \cdot (2 \cdot L \cdot \cos^2 \theta + M \cdot \sin(2 \cdot \theta) + L + 2 \cdot A) + \\ + V^2 \cdot (2 \cdot L \cdot \sin^2 \theta - M \cdot \sin(2 \cdot \theta) + L + 2 \cdot A) + U \cdot V \cdot [2 \cdot M \cdot \cos(2 \cdot \theta) - L \cdot \sin(2 \cdot \theta)] + \\ + U \cdot [(2 \cdot L \cdot M + 4 \cdot A \cdot M + A \cdot B - D) \cdot \sin \theta + (3 \cdot L^2 + M^2 + 4 \cdot A \cdot L + A^2 - B^2/4 - C) \cdot \cos \theta] + \\ + V \cdot [(2 \cdot L \cdot M + 4 \cdot A \cdot M + A \cdot B - D) \cdot \cos \theta - (3 \cdot L^2 + M^2 + 4 \cdot A \cdot L + A^2 - B^2/4 - C) \cdot \sin \theta] + \\ + (L^2 + M^2) \cdot (2 \cdot A + L) + L \cdot (A^2 - B^2/4 - C) + M \cdot (A \cdot B - D) = 0 \quad (5.337)$$

care are zece termeni. Anulind coeficientii ce depind de necunoscutele translatiei (L, M) si rotatiei (θ), ai termenilor respectivi, se obtin

$$2 \cdot L \cdot \cos^2 \theta + M \cdot \sin(2 \cdot \theta) + L + 2 \cdot A = 0 \quad (5.338)$$

$$2 \cdot L \cdot \sin^2 \theta + M \cdot \sin(2 \cdot \theta) + L + 2 \cdot A = 0 \quad (5.339)$$

$$2 \cdot M \cdot \cos(2 \cdot \theta) - L \cdot \sin(2 \cdot \theta) = 0 \quad (5.340)$$

$$(2 \cdot L \cdot M + 4 \cdot A \cdot M + A \cdot B - D) \cdot \sin \theta + (3 \cdot L^2 + M^2 + 4 \cdot A \cdot L + A^2 - B^2/4 - C) \cdot \cos \theta = 0 \quad (5.341)$$

$$(2 \cdot L \cdot M + 4 \cdot A \cdot M + A \cdot B - D) \cdot \cos \theta - (3 \cdot L^2 + M^2 + 4 \cdot A \cdot L + A^2 - B^2/4 - C) \cdot \sin \theta = 0 \quad (5.342)$$

$$(L^2 + M^2) \cdot (2 \cdot A + L) + L \cdot (A^2 - B^2/4 - C) + M \cdot (A \cdot B - D) = 0 \quad (5.343)$$

Din cele sase ecuatii (5.338)...(5.343), se pot scrie sisteme de cite trei ecuatii transcendentale, in numar de douazeci de variante (combinari de sase luate cite trei). Aceste sisteme pot fi abordate numai prin metode numerice (a se vedea cap.7), rezultind parametrii translatiei si rotatiei care aplicati prin relatiile (2.19), (2.20) asupra ecuatiei carteziene cu originea

in focar "translatata si rotita" (5.337), o simplifica (aducind-o la o forma cu sase termeni).

Se observa ca daca intr-unul din sistemele amintite se include ecuatia (5.343), noua origine va fi un punct cercual sau un centru (apartinind deci curbei centrelor/punctelor).

5.13.5. Concluzii. Invarianti

Daca se compara ecuatiile rotite si translatate (5.316) cu (5.337) si (5.323) cu (5.330), precum si sistemele de ecuatii transcendentale adecvate, se constata forme mai simple si mai usor abordabile in favoarea variantelor deduse din ecuatia cu sase coeficienti si din ecuatia carteziana cu originea in focar.

Este de asemenea important faptul ca dupa toate simplificările posibile asupra oricarei ecuatii,

ECUATIA CARTEZIANA CU ORIGINEA IN FOCAR SI AXA ORDONATELOR PARALELA CU ASIMPTOTA/AXA MEDIE (4.3), ESTE CEA MAI SIMPLA ECUATIE A CURBEI CENTRELOR/PUNCTELOR, AVIND SASE TERMENI.

Dupa cum s-a specificat la subcap.5.13, s-a procedat, prin analogie cu studiul conicelor, la cautarea unor invarianti in raport cu translatia/rotatia de axe. S-a lucrat, avand in vedere simetria si complexitatea, asupra ecuatiei cu 7 coeficienti "rotita si translatata" (5.330). S-a constatat ca:

suma/produsul (de fapt orice combinatie) coeficientilor termenilor de gradul al treilea este un invariant fata de translatie

$$\text{coef}(x^3) + \text{coef}(x^2 \cdot y) + \text{coef}(x \cdot y^2) + \text{coef}(y^3) = 2 \cdot A \cdot (\cos \theta - \sin \theta) + B \cdot (\sin \theta + \cos \theta) \quad (5.344)$$

$$\text{coef}(x^3) \cdot \text{coef}(x^2 \cdot y) \cdot \text{coef}(x \cdot y^2) \cdot \text{coef}(y^3) = (A \cdot \cos \theta + B \cdot \sin \theta)^2 \cdot (B \cdot \cos \theta - A \cdot \sin \theta)^2 \quad (5.345)$$

- suma coeficientilor termenilor in "x^2" si "y^2" este un invariant fata de rotatie

$$\text{coef}(x^2) + \text{coef}(y^2) = 4 \cdot (A \cdot L + B \cdot M) + E + G \quad (5.346)$$

- produsul coeficientilor termenilor in "x^2" si "y^2" minus sfertul patratului coeficientului termenului in "x*y" este un

invariant fata de rotatie

$$\text{coef}(x^2) \cdot \text{coef}(y^2) - [\text{coef}(x \cdot y)]^2 / 4 = (A \cdot L + 3 \cdot B \cdot M + G) \cdot (3 \cdot A \cdot L + B \cdot M + E) - (2 \cdot B \cdot L + 2 \cdot A \cdot M + F)^2 / 4 \quad (5.347)$$

Invariantii semnalati mai sus pot fi regasiti si lucrendu-se asupra ecuatiilor rotite si translatate Lichtenheldt (5.316), Perju (5.323), carteziana cu originea in focar (5.337), iar dupa parerea autorului sunt singurii existenti.

Unele relatii din subcap.5.13 au fost deduse de autor in [M12].

6. UTILITATEA PRACTICA A ELEMENTELOR GEOMETRICE NOU DETERMINATE

In cap.5 s-au prezentat o serie de noi elemente geometrice referitoare la curbele de sinteza, avind o valoare intrinsecă datorată contribuției prin ele la o mai aprofundată cunoaștere a acestui gen de curbe și al sintezei mecanismelor pe baza lor. Cele ce urmează în acest capitol, sint, în viziunea autorului, cîteva utilizări imediate ale unora din contribuțiile teoretice din cap.5.

6.1. Decelarea tipurilor curbelor de sinteza

| In subcap.2.4.3.2. s-a aratat ca in sistemul intrinsec "XOY", in care a fost definita ecuația Lichtenheldt (2.7) a curbei centrelor/punctelor, semnul expresiei (2.18) permite incadrarea curbei in tipul cu două ramuri din fig.2.13.a sau in tipul cu o ramură din fig.2.13.c (anularea expresiei (2.18) conduce la tipul particular cu punct dublu din fig.2.13.b).

O discuție general valabilă asupra incadrării tipologice, pentru toate ecuațiile curbelor centrelor/punctelor preluate în cap.2 sau stabilite în cap.4, se poate face pe baza numărului de "tangente paralele" cu asymptota/axa medie determinate în subcap.5.6. Având în vedere fig.2.13, fig.5.1, fig.5.3 și concluziile subcap.5.6, se poate afirma că:

| | - DACA EXISTA PATRU TANGENTE PARALELE CU ASIMPTOTA/AXA MEDIE, CURBA CENTRELOR/PUNCTELOR ESTE DE TIPUL CU DOUA RAMURI (aceasta afirmație este echivalentă matematic cu faptul că, pentru ecuațiile Lichtenheldt (2.7), carteziana cu originea în focar (4.3), Perju (2.39), cu 7 coeficienți (4.32), polara cu originea în focar (4.6), în mod corespunzător, ecuațiile de gradul patru (5.118), (5.125), (5.130), (5.134), (5.138) să admită patru soluții reale).

, | | - DACA EXISTA DOUA TANGENTE PARALELE CU ASIMPTOTA/AXA MEDIE, CURBA CENTRELOR/PUNCTELOR ESTE DE TIPUL CU O RAMURA (aceasta afirmație este echivalentă matematic cu faptul că ecuațiile de gradul patru, corespunzătoare, amintite, mai sus, să admită două soluții reale). În acest caz sunt posibile și

unele forme particulare ale curbelor de sinteza (strofoida/cerc si o dreapta diametrala).

- DACA NU EXISTA TANGENTE PARALELE CU ASIMPTOTA/AXA MEDIE, CURBA CENTRELOR/PUNCTELOR ESTE DE TIP PARTICULAR (aceasta afirmatie este echivalenta matematic cu faptul ca ecuatiile de gradul patru corespunzatoare, amintite mai sus, sa nu admita solutii reale). In acest caz sunt posibile numai forme particulare ale curbelor de sinteza (doua drepte ortogonale).

De asemenea, o alta discutie general valabila pentru toate ecuatiile curbelor centrelor/punctelor preluate in cap.2 sau stabilite in cap.4, se poate face pe baza existentei/inexistentei intersectiilor reale dintre axa medie si aceste curbe (existenta/inexistenta punctelor Newton/Gauss "N"/"G") determinate in subcap.5.5. Avind in vedere fig.2.13, fig.5.1, fig.5.3 si concluziile subcap.5.5, se poate afirma ca:

- DACA PUNCTELE NEWTON SI GAUSS SINT REALE, CURBA CENTRELOR/PUNCTELOR ESTE DE TIPUL CU O RAMURA (aceasta afirmatie este echivalenta matematic cu faptul ca, pentru ecuatiile Lichtenheldt (2.7), carteziana cu originea in focar (4.3), Perju (2.39), cu 7 coeficienti (4.32), in mod corespunzator, expresiile de sub radicalii din (5.102), (5.104), (5.106), (5.108)...(5.114), sa fie pozitive).

- DACA PUNCTELE NEWTON SI GAUSS SINT IMAGINARE, CURBA CENTRELOR/PUNCTELOR ESTE DE TIPUL CU DOUA RAMURI (aceasta afirmatie este echivalenta matematic cu faptul ca expresiile de sub radicalii corespunzatori amintiti mai sus, sa fie negative).

- DACA PUNCTELE NEWTON SI GAUSS SINT CONFUNDATE, CURBA CENTRELOR/PUNCTELOR ESTE DE TIPUL CU PUNCT DUBLU SAU DE ALT TIP PARTICULAR (ex: doua drepte ortogonale) (aceasta afirmatie este echivalenta matematic cu faptul ca expresiile de sub radicalii corespunzatori, amintiti mai sus, sa fie nule).

Formele particulare ale curbelor de sinteza sunt pe larg prezentate in [D6], [D8], [H4], [K7], [K9], [K11], [M4], [P3].

6.2. Aprecierea posibilitatii sintezei cincipozitionale

Conform subcap.5.6 si 5.7, precum si din examinarea fig.5.1 si 5.3, se constata ca cele doua tangente perpendiculare

impreuna cu cele doua tangente mai departate paralele cu asymptota/axa medie, impart curbele de sinteza in doua zone. Domeniul "dreptunghiular" (intersectia benzii dintre tangentele perpendiculare cu banda dintre tangentele paralele extreme) include zona "nemonotona" ("complicata") a curbelor de sinteza, iar restul domeniului ("banda" dintre tangentele paralele extreme) cuprinde zona "monotona" a acelorasi曲.

In "continuitatea" numarului de solutii pentru problemele sintezelor bi, tri si patrupozitionale (aspect discutat in subcap.2.4.2), este de asteptat ca problema sintezei cincipozitionale cu cercuri suport, sa admita un numar finit de solutii. Pentru cinci pozitii impuse, grupate in seturi de cite patru, se obtin corespunzator cite cinci curbe ale centrelor/punctelor, conform [D6], [H3], [H4], [K7], [K9], [K11], [K12], [M4], [P3]. Intersectiile comune ale tuturor acestor cinci curbe sunt solutii (punkte figurative ale cuprelor de la capetele conexiunilor "KB(-1)") pentru problema cincipozitionala. In cautarea acestor solutii, este suficienta considerarea intersectiilor a doua din cele cinci curbe amintite mai sus, dintre care intersectii se elimina polii comuni (evident, acestia nu se situeaza pe celelalte curbe).

Pentru a "intersecta" doua curbe de sinteza, nu pot fi luate in considerare ecuatii Lichtenheldt (2.7) sau carteziana cu origine in focar (4.3), intrucit sistemele intrinseci de definire ale acestora nu sunt comune celor doua curbe. In acest scop pot fi considerate ecuatii Perju (2.39) sau (mai simplu dupa gindirea autorului) cea cu 7 coeficienti (4.32), intrucit sistemele lor de definire sunt sistemele in care au fost impuse pozitiile de sinteza. Calculele exacte (a se vedea cap.7) conform celor de mai sus, sunt laborioase si este posibil sa nu existe solutii pentru sinteza cinci pozitionala. Evitarea efectuarii acestor calcule, in cazurile fara solutii, se poate face, conform "experientei" autorului in urmatoarea succesiune:

- Din cele cinci pozitii de sinteza impuse, se selecteaza doua seturi de cite patru.

- Pentru seturile de cite patru pozitii amintite, se determina coeficientii curbelor centrelor/punctelor, pentru ecuatie Perju (2.39) prin relatiile (2.23)...(2.38) sau pentru ecuatie cu 7 coeficienti (4.32), prin rezolvarea unui sistem de tipul (4.25)...(4.31).

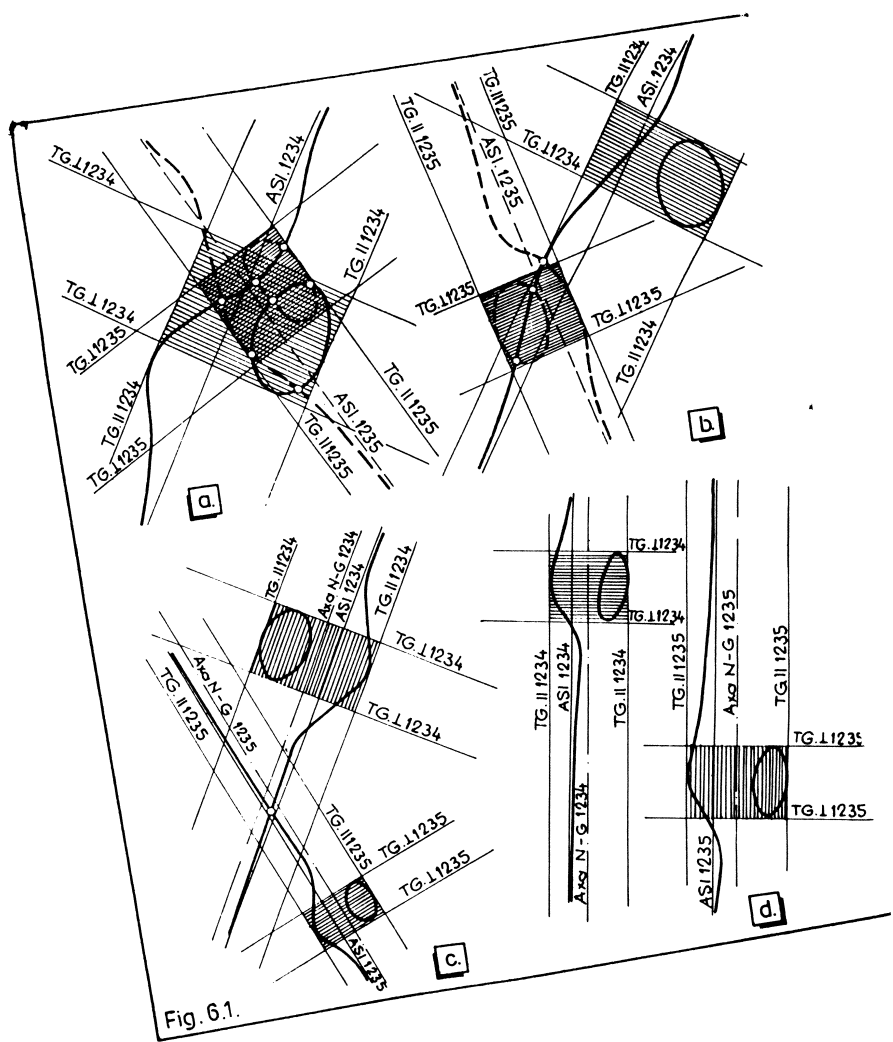


Fig. 6.1.

- Cu coeficientii de mai sus se formeaza ecuatiiile (5.130)/(5.134) si (5.163) (pentru ecuatie Perju/cu sapte coeficienti), a caror rezolvare permite determinarea ecuatiilor tangentelor paralele (5.131) si a celor perpendiculare (5.164) cu asimptota/axa medie.

- Reprezentind aceste tangente, se obtin imagini ca in fig.6.1.a/b/c/d (exceptind curbele).

- Daca "domeniile dreptunghiulare" se suprapun in mare parte, ca in fig.6.1.a, zonele "nemonotone" ale celor doua curbe de sinteza se intersecteaza, datorita complicabilitatii lor, in mai mult de trei puncte (conform subcap.2.5 in cinci sau sapte) si sinteza cincipozitionala, pentru pozitiile impuse, este posibila, fiind oportuna continuarea calculelor pentru determinarea centrelor/punctelor Burmester.

- Daca "domeniile dreptunghiulare" nu se suprapun, ca in fig.6.1.b/c/d, cele doua curbe de sinteza se intersecteaza in cel mult trei puncte si conform subcap.2.5, sinteza cincipozitionala, pentru pozitiile impuse, nu este posibila, calculele ulterioare nemaiavindu-si rostul. Imagini ca in fig.6.1.b se obtin pentru cinci pozitii impuse imposibil de sintetizat (o zona monotonă a unei curbe de sinteza, "traverseaza" zona nemonotonă a celeilalte curbe), intersectiile fiind polii comuni ambelor grupari alese de cîte patru din cele cinci pozitii impuse. Imagini ca in fig.6.1.c/d se obtin pentru seturi de cîte patru pozitii dintre care cel mult doua sint comune. Imagini ca in fig.6.1.d sunt o raritate (axele medii/asimptotele corespunzatoare unor seturi "oarecare" de cîte patru pozitii impuse, sunt foarte rare paralele).

In cap.7 se redau calculele automatizate conform succesiunii de mai sus, rezultind utilitatea lor (timp scurt) in detectarea cazurilor unor sinteze cincipozitionale fara solutii (fata de timpul lung necesar, conform celor prezentate in [K9]).

6.3. Forme ale ecuatiilor curbelor de sinteza rezultate din utilizarea noilor elemente geometrice

In subcap.5.11,5.12 si 5.13 prin rotatia/translatia/rotatia si translatia sistemului de axe in care au fost definite forme

de ecuatii ale curbelor de sinteza, s-au cautat acei parametri ai rotatiei/translatei/rotatiei si translatei care conduc la reducerea unor termeni in ecuatiiile respective. Translatia depinzind de doi parametri si rotatia de unul, translatea si rotatia de cei trei anteriori, rezulta ca numarul de termeni ce se pot reduce in ecuatiiile considerate, este in numar de trei, iar daca noua origine apartine curbei, este in numar de patru (se reduce si termenul liber).

Reducerea unor termeni in ecuatiiile curbelor de sinteza prin schimbarea adevarata a axelor, are sens (conform subcap.6.2) doar in cazul sintezei patrupozitionale. Aceasta reducere nu a putut fi pusa in evidenta in mod analitic prin translatia si rotatia tratate in subcap.5.13 (cei trei parametri fiind prinsi in ecuatii transcendentale) dar rezultatele din subcap.5.11 (rotatia) si subcap.5.12 (translatia) pot fi aplicate pe rind sau impreuna, efectul de ansamblu fiind acelasi iar valorile parametrilor translatei/rotatiei fiind exprimate explicit.

6.3.1 Ecuatii in coordonate carteziene cu originea in focar si axa ordonatelor paralela cu asymptota

Reducerile amintite mai sus au fost aplicate ecuatilor Perju (2.39) si cu 7 coeficienti (4.32) pentru a obtine ecuatii similara ca numar de termeni celei carteziene cu originea in focar (4.3). S-au pastrat variabilele "U" si "V" cu semnificatia data in subcap.2.1, la aplicarea relatiilor (2.126) si (2.127)/(2.128) si (2.129) (translate/rotatie), tinindu-se cont de variabilele "u" si "v" specificate tot in subcap.2.1.

In ecuatie Perju "rotita si translata" (5.323) care are zece termeni, dispar termenii in " x^2*y " si " y^3 " daca se alege

$$\begin{aligned} &= \operatorname{arctg}(B/A) \\ &= \operatorname{arctg}(B/A) \end{aligned} \quad (6.1)$$

ca parametru al rotatiei iar daca parametrii translatei se aleg

$$L = x_F \quad (6.2)$$

$$M = y_F \quad (6.3)$$

unde "xF" si "yF" sint dati de (5.33) si (5.34), dispar termenii in "x*y" si "liber", obtinindu-se astfel o ecuatie cu sase termeni, similara celei carteziene cu originea in focar (4.3), de forma

$$\begin{aligned}
 & (U^2 + V^2) \cdot U \cdot [B \cdot \sin \operatorname{arctg}(B/A) + A \cdot \cos \operatorname{arctg}(B/A)] + \\
 & + U^2 \cdot \{(2 \cdot A \cdot x_F + C) \cdot \cos^2 \operatorname{arctg}(B/A) + (2 \cdot B \cdot y_F + D) \cdot \sin^2 \operatorname{arctg}(B/A) + \\
 & + (A \cdot y_F + B \cdot x_F + E/2) \cdot \sin [2 \cdot \operatorname{arctg}(B/A)] + A \cdot x_F + B \cdot y_F + W\} + \\
 & + V^2 \cdot \{(2 \cdot A \cdot x_F + C) \cdot \sin^2 \operatorname{arctg}(B/A) + (2 \cdot B \cdot y_F + D) \cdot \cos^2 \operatorname{arctg}(B/A) - \\
 & - (A \cdot y_F + B \cdot x_F + E/2) \cdot \sin [2 \cdot \operatorname{arctg}(B/A)] + A \cdot x_F + B \cdot y_F + W\} + \\
 & + U \cdot \{[x_F \cdot (2 \cdot A \cdot y_F + B \cdot x_F + E) + y_F \cdot (3 \cdot B \cdot y_F + 2 \cdot D + 2 \cdot W) + G] \cdot \sin \operatorname{arctg}(B/A) + \\
 & + [x_F \cdot (3 \cdot A \cdot x_F + 2 \cdot B \cdot y_F + 2 \cdot C + 2 \cdot W) + y_F \cdot (A \cdot y_F + E) + F] \cdot \cos \operatorname{arctg}(B/A)\} + \\
 & + V \cdot \{[x_F \cdot (2 \cdot A \cdot y_F + B \cdot x_F + E) + y_F \cdot (3 \cdot B \cdot y_F + 2 \cdot D + 2 \cdot W) + G] \cdot \cos \operatorname{arctg}(B/A) - \\
 & - [x_F \cdot (3 \cdot A \cdot x_F + 2 \cdot B \cdot y_F + 2 \cdot C + 2 \cdot W) + y_F \cdot (A \cdot y_F + E) + F] \cdot \sin \operatorname{arctg}(B/A)\} = 0 \quad (6.4)
 \end{aligned}$$

In ecuatia (6.4), coeficientii "A,B,C,D,E,F,G,H,W" se calculeaza cu relatiile (2.23)...(2.38).

In ecuatia cu 7 coeficienti "rotita si translatata" (5.330) care are de asemenea zece termeni, daca parametrul rotatiei se alege conform relatiei (6.1), dispar termenii in "x^2*y" si "y^3", iar daca parametrii translatiei se aleg conform relatiilor (6.2) si (6.3), unde "xF" si "yF" sint dati de (5.47) si (5.48), dispar termenii in "x*y" si "liber", obtinindu-se astfel o ecuatie tot cu sase termeni, bineintele, similara tot celei carteziene cu originea in focar (4.3), de forma

$$\begin{aligned}
 & (U^2 + V^2) \cdot U \cdot [A \cdot \cos \operatorname{arctg}(B/A) + B \cdot \sin \operatorname{arctg}(B/A)] + \\
 & + U^2 \cdot \{(2 \cdot B \cdot y_F + G) \cdot \sin^2 \operatorname{arctg}(B/A) + (2 \cdot A \cdot x_F + E) \cdot \cos^2 \operatorname{arctg}(B/A) + \\
 & + (A \cdot y_F + B \cdot x_F + F/2) \cdot \sin [2 \cdot \operatorname{arctg}(B/A)] + A \cdot x_F + B \cdot y_F\} + \\
 & + V^2 \cdot \{(2 \cdot A \cdot x_F + E) \cdot \sin^2 \operatorname{arctg}(B/A) + (2 \cdot B \cdot y_F + G) \cdot \cos^2 \operatorname{arctg}(B/A) - \\
 & - (A \cdot y_F + B \cdot x_F + F/2) \cdot \sin [2 \cdot \operatorname{arctg}(B/A)] + A \cdot x_F + B \cdot y_F\} + \\
 & + U \cdot \{[2 \cdot y_F \cdot (A \cdot x_F + B \cdot y_F) + B \cdot (x_F^2 + y_F^2) + F \cdot x_F + 2 \cdot G \cdot y_F + I] \cdot \sin \operatorname{arctg}(B/A) + \\
 & + [2 \cdot x_F \cdot (A \cdot x_F + B \cdot y_F) + A \cdot (x_F^2 + y_F^2) + 2 \cdot E \cdot x_F + F \cdot y_F + H] \cdot \cos \operatorname{arctg}(B/A)\} + \\
 & + V \cdot \{[-2 \cdot x_F \cdot (A \cdot x_F + B \cdot y_F) + A \cdot (x_F^2 + y_F^2) + 2 \cdot E \cdot x_F + F \cdot y_F + H] \cdot \sin \operatorname{arctg}(B/A) + \\
 & + [2 \cdot y_F \cdot (A \cdot x_F + B \cdot y_F) + B \cdot (x_F^2 + y_F^2) + F \cdot x_F + 2 \cdot G \cdot y_F + I] \cdot \cos \operatorname{arctg}(B/A)\} = 0 \quad (6.5)
 \end{aligned}$$

In ecuatia (6.5), coeficientii "A,B,E,F,G,H,I" se calculeaza rezolvind un sistem de tipul (4.25)...(4.31).

Comparind ecuatia (6.4) cu (6.5), se constata ca prima dintre ele este ceva mai complicata, fapt ce pledeaza pentru utilizarea ecuatiei cu 7 coeficienti (4.3), in locul ecuatiei Perju (2.39).

Comparind ecuațiile (6.4)/(6.5) cu (4.3) se constată că au același număr de termeni iar prin identificarea coeficientilor, se pot găsi (probabil în mod foarte laborios) relațiile ce leagă coeficientii "A,B,C,D,E" din ecuațiile Lichtenheldt (2.7) și carteziana cu originea în focar (4.3) date de (2.8)...(2.12), cu coeficientii "A,B,C,D,E,F,G,H,W" din ecuația Perju (2.39) date de (2.23)...(2.38) și cu coeficientii "A,B,E,F,G,H,I" din ecuația cu 7 coeficienti (4.32) date de (4.25)...(4.31), precum și invers.

Rezultate similare celor de mai sus se obțin, considerind ca parametru al rotației

$$\theta = \operatorname{arctg}(-B/A) \quad (6.6)$$

sau alte directii remarcabile specificate în partile finale ale subcap. 5.11.1/5.11.2/5.11.3/5.11.4.

6.3.2. Ecuații în coordonate polare cu originea în focar

In subcap. 4.2.2. s-a dedus, pe baza ecuațiilor Lichtenheldt (2.7) și carteziana cu originea în focar (4.3), ecuația polară cu originea în focar (4.6).

Cunoscind coordonatele focalului date de (5.33) și (5.34) pentru ecuația Perju (2.39), și procedind la translatarea originii în focar concomitent cu trecerea în coordonate polare prin

$$x = x_F + \rho \cdot \cos \theta \quad (6.7)$$

$$y = y_F + \rho \cdot \sin \theta \quad (6.8)$$

in (2.39), sau adevărat cu (6.2), (6.3), (2.130) și (2.131) în (5.264), se obține

$$\begin{aligned} & \rho^2 \cdot (A \cdot \cos \theta + B \cdot \sin \theta) + \\ & + \rho \cdot [(2 \cdot B \cdot y_F + D) \cdot \sin^2 \theta + (2 \cdot A \cdot x_F + C) \cdot \cos^2 \theta + (B \cdot x_F + A \cdot y_F + E/2) \cdot \sin(2 \cdot \theta) + A \cdot x_F + B \cdot y_F + W] + \\ & + [B \cdot x_F^2 + 3 \cdot B \cdot y_F^2 + 2 \cdot A \cdot x_F \cdot y_F + 2 \cdot (D + W) \cdot y_F + E \cdot x_F + G] \cdot \sin \theta + \\ & + [A \cdot y_F^2 + 3 \cdot A \cdot x_F^2 + 2 \cdot B \cdot x_F \cdot y_F + 2 \cdot (C + W) \cdot x_F + F \cdot y_F + F] \cdot \cos \theta = 0 \end{aligned} \quad (6.9)$$

in care coeficientii "A,B,C,D,E,F,G,H,W" se calculeaza cu relatiile (2.23)...(2.38).

Cunoscind coordonatele focarului date de (5.47) si (5.48) pentru ecuatiei cu 7 coeficienti (4.32), si procedind la translatarea originii in focar concomitent cu trecerea in coordonate polare prin (6.7) si (6.8) in (4.32), sau adevarat cu (6.2),(6.3),(2.130) si (2.131) in (5.277), se obtine

$$\begin{aligned} & \rho^2 \cdot (A \cdot \cos \theta + B \cdot \sin \theta) + \\ & + \rho \cdot [(2 \cdot B \cdot y_F + G) \cdot \sin^2 \theta + (2 \cdot A \cdot x_F + E) \cdot \cos^2 \theta + (B \cdot x_F + A \cdot y_F + F/2) \cdot \sin(2 \cdot \theta) + A \cdot x_F + B \cdot y_F] + \\ & + [3 \cdot B \cdot y_F^2 + 2 \cdot G \cdot y_F + 2 \cdot A \cdot x_F \cdot y_F + F \cdot x_F + B \cdot x_F^2 + I] \cdot \sin \theta + \\ & + [3 \cdot A \cdot x_F^2 + 2 \cdot E \cdot x_F + 2 \cdot B \cdot x_F \cdot y_F + F \cdot y_F + A \cdot y_F^2 + H] \cdot \cos \theta = 0 \end{aligned} \quad (6.10)$$

in care coeficientii "A,B,E,F,G,H,I" se calculeaza rezolvind un sistem de tipul (4.25)...(4.31).

Comparind ecuatie (6.9) cu (6.10), se constata ca prima dintre ele este ceva mai complicata, fapt ce pledeaza pentru utilizarea ecuatiei cu 7 coeficienti (4.3) in locul ecuatiei Perju (2.39).

Ecuatiile (6.9) si (6.10) sunt similare cu (4.3), ceva mai complicate, dar au avantajul masurarii unghiului polar fata de o paralela la abscisa sistemului in care initial au fost impuse cele patru pozitii de sinteza (polul=focarul fiind si el definit in acest sistem).

6.3. Ecuatii in coordonate carteziene cu originea in punctul principal

In intentia de a obtine ecuatii cu cit mai putini termeni pentru curbele de sinteza, s-a procedat la utilizarea punctului principal (a se vedea subcap.5.3) ca origine a sistemului de axe iar axa ordonatelor a fost aleasa paralela cu asymptota/axa medie. S-au denumit variabilele cu "x" si "y" desi s-a lucrat cu relatiile (2.126) si (2.127)/(2.128) si (2.129) atit asupra ecuatiei Lichtenheldt (2.7), cit si asupra ecuatiilor Perju (2.39)/cu 7 coeficienti (4.32).

In ecuatie Lichtenheldt (2.7) care are opt termeni, conform relatiilor (5.257) si (5.258), daca schimbarile de variabile pentru translatie sunt

$$X = x + X_P = x - A \quad (6.11)$$

$$Y = y + Y_P = y + \frac{2 \cdot A^3 - A \cdot C - E}{A \cdot B - D} \quad (6.12)$$

unde se includ coordonatele punctului principal date de (5.74) si (5.75)/(5.76), se obtine o ecuatie fara termenii in "y^2" si "liber"

$$\begin{aligned} & x \cdot (x^2 + y^2) - 4 \cdot A \cdot x^2 + \left(2 \cdot \frac{2 \cdot A^3 - A \cdot C - E}{A \cdot B - D} - B \right) \cdot x \cdot y + \\ & + \left[\frac{(2 \cdot A^3 - A \cdot C - E)^2}{(A \cdot B - D)^2} + \frac{3 \cdot A^3 \cdot B - 5 \cdot A^2 \cdot D - B \cdot E - C \cdot D}{A \cdot B - D} \right] \cdot x + (A \cdot B - D) \cdot y = 0 \end{aligned} \quad (6.13)$$

care are sase termeni si ai carei coeficienti "A,B,C,D,E" se calculeaza conform (2.8)...(2.12).

In ecuatie Perju "rotita si translatata" (5.323) care are zece termeni, daca parametrul rotatiei se alege conform (6.1), dispar termenii in "x^2*y" si "y^3", iar daca parametrii translatiei se aleg

$$L = x_P \quad (6.14)$$

$$M = y_P \quad (6.15)$$

unde "xp" si "yp" sunt dati de (5.79) si (5.80), dispar termenii in "y^2" si "liber", obtinindu-se o ecuatie cu originea in punctul principal si axa ordonatelor paralela cu asimptota/axa medie, de forma

$$\begin{aligned} & (x^2 + y^2) \cdot x \cdot [B \cdot \sin \arctg(B/A) + A \cdot \cos \arctg(B/A)] + \\ & + x^2 \cdot \{(2 \cdot A \cdot x_P + C) \cdot \cos^2 \arctg(B/A) + (2 \cdot B \cdot y_P + D) \cdot \sin^2 \arctg(B/A) + \\ & + (A \cdot y_P + B \cdot x_P + E/2) \cdot \sin [2 \cdot \arctg(B/A)] + A \cdot x_P + B \cdot y_P + W\} + \\ & + x \cdot y \cdot \{(A \cdot y_P + B \cdot x_P + E/2) \cdot \cos [2 \cdot \arctg(B/A)] + [2 \cdot (A \cdot x_P + B \cdot y_P) + C + D] \cdot \sin [2 \cdot \arctg(B/A)]\} + \\ & + x \cdot \{[x_P \cdot (2 \cdot A \cdot y_P + B \cdot x_P + E) + y_P \cdot (3 \cdot B \cdot y_P + 2 \cdot D + 2 \cdot W) + G] \cdot \sin \arctg(B/A) + \\ & + [x_P \cdot (3 \cdot A \cdot x_P + 2 \cdot B \cdot y_P + 2 \cdot C + 2 \cdot W) + y_P \cdot (A \cdot y_P + E) + F] \cdot \cos \arctg(B/A)\} + \\ & + y \cdot \{[x_P \cdot (2 \cdot A \cdot y_P + B \cdot x_P + E) + y_P \cdot (3 \cdot B \cdot y_P + 2 \cdot D + 2 \cdot W) + G] \cdot \cos \arctg(B/A) - \\ & - [x_P \cdot (3 \cdot A \cdot x_P + 2 \cdot B \cdot y_P + 2 \cdot C + 2 \cdot W) + y_P \cdot (A \cdot y_P + E) + F] \cdot \sin \arctg(B/A)\} = 0 \end{aligned} \quad (6.16)$$

care are sase termeni si ai carei coeficienti "A,B,C,D,E,F,G,H,W" se calculeaza conform (2.23)...(2.38).

In ecuatia cu 7 coeficienti "rotita si translatata" (5.330) care are zece termeni, daca parametrul rotatiei se elege conform (6.1), dispar termenii in "x^2*y" si "y^3" iar daca parametrii translatiei se aleg (6.14) si (6.15) unde "xp" si "yp" sunt dati de (5.81) si (5.82), dispar termenii in "y^2" si "liber", obtinindu-se o ecuatie cu originea in punctul principal si axa ordonatelor paralela cu asimptota/axa medie, de forma

$$\begin{aligned}
 & (x^2 + y^2) \cdot x \cdot [A \cdot \cos \operatorname{arctg}(B/A) + B \cdot \sin \operatorname{arctg}(B/A)] + \\
 & + x^2 \cdot \{(2 \cdot B \cdot y_P + G) \cdot \sin^2 \operatorname{arctg}(B/A) + (2 \cdot A \cdot x_P + E) \cdot \cos^2 \operatorname{arctg}(B/A) + \\
 & + (A \cdot y_P + B \cdot x_P + F/2) \cdot \sin[2 \cdot \operatorname{arctg}(B/A)] + A \cdot x_P + B \cdot y_P\} + \\
 & + x \cdot y \cdot \{(2 \cdot B \cdot x_P + 2 \cdot A \cdot y_P + F) \cdot \cos[2 \cdot \operatorname{arctg}(B/A)] + (2 \cdot B \cdot y_P - 2 \cdot A \cdot x_P - E + G) \cdot \sin[2 \cdot \operatorname{arctg}(B/A)]\} + \\
 & + x \cdot \{[2 \cdot y_P \cdot (A \cdot x_P + B \cdot y_P) + B \cdot (x_P^2 + y_P^2) + F \cdot x_P + 2 \cdot G \cdot y_P + I] \cdot \sin \operatorname{arctg}(B/A) + \\
 & + [2 \cdot x_P \cdot (A \cdot x_P + B \cdot y_P) + A \cdot (x_P^2 + y_P^2) + 2 \cdot E \cdot x_P + F \cdot y_P + H] \cdot \cos \operatorname{arctg}(B/A)\} + \\
 & + y \cdot \{-[2 \cdot x_P \cdot (A \cdot x_P + B \cdot y_P) + A \cdot (x_P^2 + y_P^2) + 2 \cdot E \cdot x_P + F \cdot y_P + H] \cdot \sin \operatorname{arctg}(B/A) + \\
 & + [2 \cdot y_P \cdot (A \cdot x_P + B \cdot y_P) + B \cdot (x_P^2 + y_P^2) + F \cdot x_P + 2 \cdot G \cdot y_P + I] \cdot \cos \operatorname{arctg}(B/A)\} = 0 \quad (6.17)
 \end{aligned}$$

Care are sase termeni si ai carei coeficienti "A,B,E,F,G,H,I" se calculeaza rezolvind sistemul (4.25)...(4.31).

Rezultate similare celor de mai sus se obtin considerind ca parametru al rotatiei pe cel dat de (6.6) sau alte directii remarcabile specificate in partiele finale ale subcap. 5.11.1/5.11.2/5.11.3/5.11.4. Noile ecuatii cu originea in punctul principal si axa ordonatelor paralela cu asimptota/axa medie (6.15)/(6.16)/(6.17) au acelasi numar de termeni ca ecuatiile carteziene cu originea in focar (4.3)/(6.4)/(6.5). Preferinta pentru punctul principal sau pentru focar, ca origini ale sistemelor de axe la definirea ecuatiilor curbelor de sinteza, ramine sa fie decisa de utilizator, autorul relevand astfel "importanta egala" a celor doua tipuri de ecuatii.

Identificarea coeficientilor ecuatiilor (6.13)/(6.16)/(6.17) permite determinarea legaturii intre coeficientii ecuatiilor Lichtenheldt (2.7)/Perju (2.39)/ cu 7 coeficienti (4.32).

6.3.4. Ecuatii in coordonate carteziene cu originea in punctele Newton/Gauss

Desi nu au fost evidențiate in subcap.5.12 ca puncte in care se reduc cite doi termeni, prin faptul ca aparțin curbelor de sinteza, punctele Newton/Gauss determinate in subcap.5.5 pot

servi drept origini pentru sisteme de axe in care ecuațiile curbelor de sinteza sa nu contin termenul "liber". Cum punctele Newton/Gauss exista doar in cazul curbelor de sinteza cu o singura ramura, este evident ca ecuațiile din acest subcapitol vor fi utilizabile doar pentru acest tip de curba.

S-au denumit variabilele cu "x" si "y" desi s-a lucrat cu relatiile (2.126) si (2.127)/(2.128) si (2.129) atit asupra ecuației Lichtenheldt (2.7) cit si asupra ecuațiilor Perju (2.39)/ sau cu 7 coeficienti (4.32).

In ecuația Lichtenheldt (2.7) care are opt termeni, daca schimbarile de variabile pentru translatie sint

$$X = x + X_{N/G} = x \quad (6.18)$$

$$Y = y + Y_{N/G} = y + \frac{D \pm \sqrt{D^2 - 4 \cdot A \cdot E}}{2 \cdot A} \quad (6.19)$$

unde se includ coordonatele punctelor Newton/Gauss date de (5.101) si (5.102)/(5.103) si (5.104), si daca se considera identitatea (2.17), se obtine o ecuație fara termenul "liber"

$$\begin{aligned} & x \cdot (x^2 + y^2) - A \cdot (x^2 - y^2) + \frac{D - A \cdot B \pm \sqrt{D^2 - 4 \cdot A \cdot E}}{A} \cdot x \cdot y + \\ & + \frac{D^2 - 4 \cdot A \cdot E \pm (D - A \cdot B) \cdot \sqrt{D^2 - 4 \cdot A \cdot E}}{2 \cdot A^2} \cdot x \pm \sqrt{D^2 - 4 \cdot A \cdot E} \cdot y = 0 \end{aligned} \quad (6.20)$$

care are sapte termeni si ai carei coeficienti "A,B,C,D,E" se calculeaza conform (2.8)...(2.12).

In ecuația Perju "rotita si translatata" (5.323) care are zece termeni, daca parametrul rotatiei se alege conform (6.1), dispar termenii in "x^2*y" si "y^3", iar daca parametrii translatiei se aleg

$$t = x_{N/G} \quad (6.21)$$

$$= y_{N/G} \quad (6.22)$$

unde "xN/G" si "yN/G" sunt dati de (5.111) si (5.112), dispars termenul "liber", obtinindu-se ecuația cu originea in punctele Newton/Gauss si axa ordonatelor paralela cu asimptota/axa medie

$$\begin{aligned}
& (x^2 + y^2) \cdot x \cdot [B \cdot \sin \arctg(B/A) + A \cdot \cos \arctg(B/A)] + \\
& + x^2 \cdot \{(2 \cdot A \cdot x_{N/G} + C) \cdot \cos^2 \arctg(B/A) + (2 \cdot B \cdot y_{N/G} + D) \cdot \sin^2 \arctg(B/A) + \\
& + (A \cdot y_{N/G} + B \cdot x_{N/G} + E/2) \cdot \sin [2 \cdot \arctg(B/A)] + A \cdot x_{N/G} + B \cdot y_{N/G} + W\} + \\
& + y^2 \cdot \{(2 \cdot A \cdot x_{N/G} + C) \cdot \sin^2 \arctg(B/A) + (2 \cdot B \cdot y_{N/G} + D) \cdot \cos^2 \arctg(B/A) - \\
& - (A \cdot y_{N/G} + B \cdot x_{N/G} + E/2) \cdot \sin [2 \cdot \arctg(B/A)] + A \cdot x_{N/G} + B \cdot y_{N/G} + W\} + \\
& + x \cdot y \cdot \{(A \cdot y_{N/G} + B \cdot x_{N/G} + E/2) \cdot \cos [2 \cdot \arctg(B/A)] + A \cdot x_{N/G} + B \cdot y_{N/G} + W\} + \\
& + [2 \cdot (A \cdot x_{N/G} + B \cdot y_{N/G}) + C + D] \cdot \sin [2 \cdot \arctg(B/A)] + \\
& + x \cdot \{[x_{N/G} \cdot (2 \cdot A \cdot y_{N/G} + B \cdot x_{N/G} + E) + y_{N/G} \cdot (3 \cdot B \cdot y_{N/G} + 2 \cdot D + 2 \cdot W) + G] \cdot \sin \arctg(B/A) + \\
& + [x_{N/G} \cdot (3 \cdot A \cdot x_{N/G} + 2 \cdot B \cdot y_{N/G} + 2 \cdot C + 2 \cdot W) + y_{N/G} \cdot (A \cdot y_{N/G} + E) + F] \cdot \cos \arctg(B/A)\} + \\
& + y \cdot \{[x_{N/G} \cdot (2 \cdot A \cdot y_{N/G} + B \cdot x_{N/G} + E) + y_{N/G} \cdot (3 \cdot B \cdot y_{N/G} + 2 \cdot D + 2 \cdot W) + G] \cdot \cos \arctg(B/A) - \\
& - [x_{N/G} \cdot (3 \cdot A \cdot x_{N/G} + 2 \cdot B \cdot y_{N/G} + 2 \cdot C + 2 \cdot W) + y_{N/G} \cdot (A \cdot y_{N/G} + E) + F] \cdot \sin \arctg(B/A)\} = 0
\end{aligned} \tag{6.23}$$

care sunt săptă termeni și ai cărei coeficienți "A,B,C,D,E,F,G,H,W" se calculează conform (2.23)...(2.38).

In ecuația cu 7 coeficienți "rotita și translatata" (5.330) care sunt zece termeni, dacă parametrul rotației se alege conform (6.1), dispar termenii în " x^2y " și " y^3 " iar dacă parametrii translaciei se aleg (6.21) și (6.22) unde " $x_{N/G}$ " și " $y_{N/G}$ " sunt date de (5.113) și (5.114), dispare termenul "liber", obținindu-se o ecuație cu originea în punctele Newton/Gauss și axa ordonatelor paralela cu asymptota/axa medie, de forma

$$\begin{aligned}
& (x^2 + y^2) \cdot x \cdot [A \cdot \cos \arctg(B/A) + B \cdot \sin \arctg(B/A)] + \\
& + x^2 \cdot \{(2 \cdot B \cdot y_{N/G} + G) \cdot \sin^2 \arctg(B/A) + (2 \cdot A \cdot x_{N/G} + E) \cdot \cos^2 \arctg(B/A) + \\
& + (A \cdot y_{N/G} + B \cdot x_{N/G} + F/2) \cdot \sin [2 \cdot \arctg(B/A)] + A \cdot x_{N/G} + B \cdot y_{N/G}\} + \\
& + x \cdot y \cdot \{(2 \cdot B \cdot x_{N/G} + 2 \cdot A \cdot y_{N/G} + F) \cdot \cos [2 \cdot \arctg(B/A)] + \\
& + (2 \cdot B \cdot y_{N/G} - 2 \cdot A \cdot x_{N/G} - E + G) \cdot \sin [2 \cdot \arctg(B/A)]\} + \\
& + y^2 \cdot \{(2 \cdot A \cdot x_{N/G} + E) \cdot \sin^2 \arctg(B/A) + (2 \cdot B \cdot y_{N/G} + G) \cdot \cos^2 \arctg(B/A) - \\
& - (A \cdot y_{N/G} + B \cdot x_{N/G} + F/2) \cdot \sin [2 \cdot \arctg(B/A)] + A \cdot x_{N/G} + B \cdot y_{N/G}\} + \\
& + x \cdot \{[2 \cdot y_{N/G} \cdot (A \cdot x_{N/G} + B \cdot y_{N/G}) + B \cdot (x_{N/G}^2 + y_{N/G}^2) + F \cdot x_{N/G} + 2 \cdot G \cdot y_{N/G} + I] \cdot \sin \arctg(B/A) + \\
& + [2 \cdot x_{N/G} \cdot (A \cdot x_{N/G} + B \cdot y_{N/G}) + A \cdot (x_{N/G}^2 + y_{N/G}^2) + 2 \cdot E \cdot x_{N/G} + F \cdot y_{N/G} + H] \cdot \cos \arctg(B/A)\} + \\
& + y \cdot \{-[2 \cdot x_{N/G} \cdot (A \cdot x_{N/G} + B \cdot y_{N/G}) + A \cdot (x_{N/G}^2 + y_{N/G}^2) + 2 \cdot E \cdot x_{N/G} + F \cdot y_{N/G} + H] \cdot \sin \arctg(B/A) + \\
& + [2 \cdot y_{N/G} \cdot (A \cdot x_{N/G} + B \cdot y_{N/G}) + B \cdot (x_{N/G}^2 + y_{N/G}^2) + F \cdot x_{N/G} + 2 \cdot G \cdot y_{N/G} + I] \cdot \cos \arctg(B/A)\} = 0
\end{aligned} \tag{6.24}$$

Care sunt săptă termeni și ai cărei coeficienți "A,B,E,F,G,H,I" se calculează rezolvând sistemul (4.25)-(4.31).

Rezultate similare celor de mai sus, se obțin considerind ca parametru al rotației pe cel dat de (6.6) sau alte directii remarcabile specificate în partile finale ale subcap.5.11.1/5.11.2/5.11.3/5.11.4.

Noile ecuații (6.22)/(6.23)/(6.24) cu originea în punctul

Newton (semnul "+") sau in punctul Gauss (semnul "-") si axa ordonatelor paralela cu asimptota/axa medie, sint destul de simple (sapte termeni) si sint importante pentru ca reprezinta forme generale de ecuatii pentru originea luata intr-un punct oarecare al curbei de sinteza (ex: pol "P" sau "Q", puncte de inflexiune sau de tangenta) si orientarea specificata mai sus.

Identificarea coeficientilor ecuatiilor (6.22)/(6.23)/(6.24) permite determinarea legaturii intre cei ai ecuatiilor Lichtenheldt (2.7)/Perju (2.39)/cu 7 coeficienti (4.32).

6.4. Echivalarea polilor

"Qij" cu polii "Pij"

In subcap.4.3 s-a aratat ca la determinarea coeficientilor ecuatiei cu 7 coeficienti (4.32) a curbelor de sinteza, polii "Qij" si polii rotatiilor finite "Pij" se pot inlocui reciproc fara restrictii in "seturi de 9" sau "seturi de 7" puncte. Aceasta prima "proprietate comună" a polilor "Pij" si "Qij" a fost semnalata in [M9]. Preocuparile autorului in "echivalarea" polilor "Qij" cu polii "Pij" au continuat in [M15] si [M18].

Este remarcabil ca prin constructia grafica din fig.6.2 (reluata dupa fig.2.10/2.11) si din jocul indicilor, se observa ca daca o pereche de poli "Pij" (fara indici comuni), dintr-un patrulater complet de contrapoli, este inlocuita cu perechea corespunzatoare ca indici dintre polii "Qij", atunci polii "Pij" inlocuiti pot fi obtinuti conform unor scheme similare celor din subcap.2.4.1:

$$\begin{array}{ccc}
 \begin{array}{c} Q_{12}-P_{23} \backslash \\ | \quad | \quad P_{13} \\ P_{14}-Q_{34} / \\ \backslash \quad / \\ P_{24} \end{array} &
 \begin{array}{c} P_{12}-Q_{24} \backslash \\ | \quad | \quad P_{14} \\ Q_{13}-P_{34} / \\ \backslash \quad / \\ P_{23} \end{array} &
 \begin{array}{c} Q_{13}-P_{23} \backslash \\ | \quad | \quad P_{12} \\ P_{14}-Q_{24} / \\ \backslash \quad / \\ P_{34} \end{array} \\
 \\
 \begin{array}{c} P_{12}-Q_{23} \backslash \\ | \quad | \quad P_{13} \\ Q_{14}-P_{34} / \\ \backslash \quad / \\ P_{24} \end{array} &
 \begin{array}{c} Q_{12}-P_{24} \backslash \\ | \quad | \quad P_{14} \\ P_{13}-Q_{34} / \\ \backslash \quad / \\ P_{23} \end{array} &
 \begin{array}{c} P_{13}-Q_{23} \backslash \\ | \quad | \quad P_{12} \\ Q_{14}-P_{24} / \\ \backslash \quad / \\ P_{34} \end{array}
 \end{array}$$

Cele expuse mai sus, sugereaza ca polii "P_{ij}" si polii "Q_{ij}" ar putea sa-si inverseze rolul, adica polii "Q_{ij}" ar putea fi priviti ca poli ai rotatiilor finite a unor alte patru pozitii ale planului mobil, decit cele impuse initial ca problema de sinteza.

Problema determinarii acestor noi patru pozitii de sinteza poate fi rezolvata numai numeric, datorita neliniaritatii relatiilor (2.1) si (2.2) pentru calculul coordonatelor polilor rotatiilor finite. In studiul acestor aspecte, au fost abordate mai multe cazuri dintre care se reda "exemplul II" (amintit in cap.3) pornind de la pozitiile impuse, specificate in tab. 6.1.

Tab.6.1

Poz.	xM [mm]	yM [mm]	Θ [grade]
1	30	0	58.411864
2	25.980762	15	45.544811
3	15	25.980762	36.130656
4	0	30	31.196756

Din aceste pozitii, cu ajutorul relatiilor (2.1), (2.2) si (2.3), in care la jocul indicilor s-a considerat " $i < j$ " si " $i, j = 1, 2, 3, 4$ ", s-au determinat coordonatele polilor rotatiilor finite, transcrise in tab.6.2.

Tab.6.2

Polul P _{ij}	xP _{ij} [mm]	yP _{ij} [mm]
P12	94.503009	25.322006
P13	88.465037	51.075313
P14	76.966816	76.966816
P23	87.170315	87.170315
P24	72.576205	125.705670
P34	54.145257	202.072850

Tinind cont de fig.2.10, fig.2.11 si fig.6.2, polul "Q_{ij}"

Poate fi determinat la intersectia celor doua drepte ce trec prin polii "Pik" si "Pjk", respectiv "Pil" si "Pjl" (cu jocul de indici "i,j,k,l=1,2,3,4" si primul indice mai mic decit al doilea). Aceste doua drepte au, conform [V6], [*_23], [*_24], ecuatiile

$$(y_{Pjk} - y_{Pik}) \cdot x - (x_{Pjk} - x_{Pik}) \cdot y - x_{Pik} \cdot (y_{Pjk} - y_{Pik}) + y_{Pik} \cdot (x_{Pjk} - x_{Pik}) = 0 \quad (6.25)$$

$$(y_{Pjl} - y_{Pil}) \cdot x - (x_{Pjl} - x_{Pil}) \cdot y - x_{Pil} \cdot (y_{Pjl} - y_{Pil}) + y_{Pil} \cdot (x_{Pjl} - x_{Pil}) = 0 \quad (6.26)$$

Rezolvind sistemul format din (6.25) si (6.26), vor rezulta ca solutii, coordonatele "xQij" si "yQij" ale polului "Qij". Pentru datele din tab.6.2, cu jocul de indici amintit mai sus, s-au obtinut coordonatele polilor "Qij", transcrise in tab.6.3.

Tab.6.3

! Polul Qij :	xQij [mm]	yQij [mm]
! Q12 :	94.529387	-117.9900300
! Q13 :	109.569790	-101.7601800
! Q14 :	99.055064	4.4821266
! Q23 :	16.248609	359.0946200
! Q24 :	162.520970	-174.9936700
! Q34 :	172.532830	-138.2271200

Rezultatele din tab.6.2. si tab.6.3. au fost obtinute prin utilizarea unui fragment dintr-un program in limbaj "BASIC" prezentat in cap.3 si rulat pe calculatorul personal "TIM-S".

Coordonatele "xQij" si "yQij" din tab 6.3 au fost utilizate ca marimi cunoscute in relatii de tipul (2.1) si (2.2), unde parametri pozitiilor de sinteza (numerotate aici cu "1', 2', 3', 4'") au fost considerate ca necunoscute. S-a putut scrie astfel, urmatorul sistem de ecuatii neliniare

$$\frac{(x_{M2'} + x_{M1'}) \cdot [1 - \cos(\theta_{2'} - \theta_{1'})] - (y_{M2'} - y_{M1'}) \cdot \sin(\theta_{2'} - \theta_{1'})}{2 \cdot [1 - \cos(\theta_{2'} - \theta_{1'})]} - x_{Q12} = 0 \quad (6.27)$$

$$\frac{(x_{M2'} - x_{M1'}) \cdot \sin(\theta_{2'} - \theta_{1'}) + (y_{M2'} + y_{M1'}) \cdot [1 - \cos(\theta_{2'} - \theta_{1'})]}{2 \cdot [1 - \cos(\theta_{2'} - \theta_{1'})]} - y_{Q12} = 0 \quad (6.28)$$

$$\frac{(x_{M3'} + x_{M1'}) \cdot [1 - \cos(\theta_{3'} - \theta_{1'})] - (y_{M3'} - y_{M1'}) \cdot \sin(\theta_{3'} - \theta_{1'})}{2 \cdot [1 - \cos(\theta_{3'} - \theta_{1'})]} - x_{Q13} = 0 \quad (6.29)$$

$$\frac{(x_{M3'} - x_{M1'}) \cdot \sin(\theta_{3'} - \theta_{1'}) + (y_{M3'} + y_{M1'}) \cdot [1 - \cos(\theta_{3'} - \theta_{1'})]}{2 \cdot [1 - \cos(\theta_{3'} - \theta_{1'})]} - y_{Q13} = 0 \quad (6.30)$$

$$\frac{(x_{M4'} + x_{M1'}) \cdot [1 - \cos(\theta_{4'} - \theta_{1'})] - (y_{M4'} - y_{M1'}) \cdot \sin(\theta_{4'} - \theta_{1'})}{2 \cdot [1 - \cos(\theta_{4'} - \theta_{1'})]} - x_{Q14} = 0 \quad (6.31)$$

$$\frac{(x_{M4'} - x_{M1'}) \cdot \sin(\theta_{4'} - \theta_{1'}) + (y_{M4'} + y_{M1'}) \cdot [1 - \cos(\theta_{4'} - \theta_{1'})]}{2 \cdot [1 - \cos(\theta_{4'} - \theta_{1'})]} - y_{Q14} = 0 \quad (6.32)$$

$$\frac{(x_{M3'} + x_{M2'}) \cdot [1 - \cos(\theta_{3'} - \theta_{2'})] - (y_{M3'} - y_{M2'}) \cdot \sin(\theta_{3'} - \theta_{2'})}{2 \cdot [1 - \cos(\theta_{3'} - \theta_{2'})]} - x_{Q23} = 0 \quad (6.33)$$

$$\frac{(x_{M3'} - x_{M2'}) \cdot \sin(\theta_{3'} - \theta_{2'}) + (y_{M3'} + y_{M2'}) \cdot [1 - \cos(\theta_{3'} - \theta_{2'})]}{2 \cdot [1 - \cos(\theta_{3'} - \theta_{2'})]} - y_{Q23} = 0 \quad (6.34)$$

$$\frac{(x_{M4'} + x_{M2'}) \cdot [1 - \cos(\theta_{4'} - \theta_{2'})] - (y_{M4'} - y_{M2'}) \cdot \sin(\theta_{4'} - \theta_{2'})}{2 \cdot [1 - \cos(\theta_{4'} - \theta_{2'})]} - x_{Q24} = 0 \quad (6.35)$$

$$\frac{(x_{M4'} - x_{M2'}) \cdot \sin(\theta_{4'} - \theta_{2'}) + (y_{M4'} + y_{M2'}) \cdot [1 - \cos(\theta_{4'} - \theta_{2'})]}{2 \cdot [1 - \cos(\theta_{4'} - \theta_{2'})]} - y_{Q24} = 0 \quad (6.36)$$

$$\frac{(x_{M4'} + x_{M3'}) \cdot [1 - \cos(\theta_{4'} - \theta_{3'})] - (y_{M4'} - y_{M3'}) \cdot \sin(\theta_{4'} - \theta_{3'})}{2 \cdot [1 - \cos(\theta_{4'} - \theta_{3'})]} - x_{Q34} = 0 \quad (6.37)$$

$$\frac{(x_{M4'} - x_{M3'}) \cdot \sin(\theta_{4'} - \theta_{3'}) + (y_{M4'} + y_{M3'}) \cdot [1 - \cos(\theta_{4'} - \theta_{3'})]}{2 \cdot [1 - \cos(\theta_{4'} - \theta_{3'})]} - y_{Q34} = 0 \quad (6.38)$$

a carui rezolvare a putut fi abordata cu programul expert matematic "EUREKA" din biblioteca matematica a calculatorului personal "ROBOTRON EC 1834" (compatibil "IBM PC-XT").

Pentru cazul dat mai sus s-au efectuat multiple incercari de rezolvare, dar timpii lungi de calcul (de ordinul zecilor de minute) nu au condus la rezultate imediate. Un rezultat bun a fost obtinut, in cca. 50 minute, schimbind ordinea ecuatiilor din sistemul de mai sus. Aceasta schimbare, in principiu, nu afecteaza cu nimic precizia solutiilor, ci doar ordinea de determinare a acestora (in sensul ordinii de abordare a lor, de catre algoritmul programului utilizat). Cu sistemul amintit, in ordinea (6.29), (6.30), (6.31), (6.32), (6.27), (6.28), (6.33), (6.34), (6.35), (6.36), (6.37), (6.38) au fost obtinuti parametrii unor pozitii de sinteza, transcrise in tab.6.4.

Tab.6.4

Poz.	xM [mm]	yM [mm]	θ [grade]
1'	260.464000	-49.455419	27.949381
2'	-12.817359	25.912654	29.769412
3'	12.003593	24.674177	29.843736
4'	253.662800	75.605608	28.703042

Nivelul de precizie atins in rezolvarea sistemului cu ordinea schimbată, este reflectat prin diferențele de "inchidere" ale "termenilor liberi" ai acestor ecuații (coordonatele polilor "Qij"), redate in tab.6.5.

Tab.6.5

Polul Qij	dif.xQij [mm]	dif.yQij [mm]	
Q12	-0,0000313721010	0	
Q13	0,0000819722200	0,0000083067263	
Q14	-0,0000276346420	0,0000092114127	
Q23	-0,0000095391927	-0,0000028435885	
Q24	-0,0000915785240	0	
Q34	0,0000821755580	0	

unde cea mai mare diferență este prezentată la "xQ24". În condiția cind aceasta diferență este mai mică decât "zecimea de micrometru", se poate aprecia că pentru cazurile inginerestе admisibile, rezultatele din tab.6.4 sunt "bune". Au fost obținute și alte rezultate "bune" similare celor de mai sus.

Pozitiile de sinteza "1,2,3,4" din tab.6.1 au fost generate cu un program prezentat în cap.3 de un mecanism având, conform notatiilor din fig.2.3, dimensiunile "AoA"=30 mm, "AB"=90 mm, "BoB"=80 mm, "AoBo"=100 mm, pentru pozitia manivelei motoare corespunzătoare la "0, 30, 60, 90 grade".

Conform teoriei prezentate în subcap.2.4, aceste pozitii de sinteza puteau fi generate de orice mecanism dintr-o familie infinită de mecanisme, obținindu-se polii rotatiilor finite

"Pij" (specificati in tab.6.2) si corespunzator polii "Qij" (specificati in tab.6.3). Adoptind polii "Qij" ca poli ai rotatiilor finite (bazat pe "echivalarea" amintita la inceputul acestui subcapitol) s-a ajuns, prin rezolvarea sistemului (6.27)...(6.38), la niste pozitii "1',2',3',4'" din care acesti poli ai rotatiilor finite ar putea rezulta. A doua familie infinita de mecanisme sintetizabile din pozitiile "acum impuse" "1',2',3',4'" poate genera aceste pozitii prin oricare mecanism "membru" al ei.

Se considera ca in acest fel S-AU DETERMINAT DOUA FAMILII DE MECANISME POLAR CONJUGATE PRIN INTERMEDIUL DETERMINARII EXISTENTE INTRE POLII "Pij" SI "Qij".

O prima proprietate a acestor doua familii de mecanisme polar conjugate ar fi aceea ca pentru pozitiile de sinteza "1',2',3',4'" si "1'',2'',3'',4'' cele doua curbe de sinteza (fie ale centrelor, fie ale punctelor) ar avea CITE SASE PUNCTE COMUNE (polii "Qij"), ceea ce este "foarte mult" intrucit (conform subcap.4.3.2.) la sapte puncte comune, curbele ar coincide.

In contextul prezentat mai sus pentru sinteza patrupozitionala, se poate proceda la un rationament similar (dar probabil cu un numar finit de mecanisme "polar conjugate") si pentru sinteza cincipozitionala:

Un set de 5 pozitii poate fi generat de un numar finit (0/2/6) de mecanisme (a se vedea subcap.2.5). Celor 5 pozitii le corespund 10 poli ai rotatiilor finite "Pij", cu care se pot forma 15 perechi de contrapoli. De aici rezulta, conform [M4], un numar de 15 patrulatere de contrapoli corespunzatoare seturilor distincte de cite 4 pozitii din cele 5 initial impuse, si, deci in mod corespunzator, 10 poli "Qij". Luind cite 6 din acesti poli "Qij", cu ajutorul unor 5 sisteme diferite de 12 ecuatii neliniare bazate pe relatiile (2.1) si (2.2) (similar cu sistemul (6.27)...(6.38)), se pot determina un numar de combinatii corespunzatoare de noi seturi de cite 5 pozitii. Acest numar de seturi de cite 5 pozitii poate fi generat de un numar cuprins intre "0" si probabil un numar finit (dar foarte mare) de mecanisme care sunt polar conjugate, primelor "0/2/6" mecanisme de la care s-a pornit, prin intermediul determinarii existente intre polii "Pij" si "Qij".

Rationamentul de mai sus nu a fost verificat prin calcul automatizat, dar autorul isi propune sa o faca in alte lucrari.

6.5. Noi metode de determinare

' a centrelor/punctelor de pe curbele de sinteza

In subcap.2.4.5 s-au prezentat mai multe metode analitice cunoscute, pentru determinarea centrelor/punctelor de pe curbele de sinteza, singura noutate fata de [K9] spre exemplu, fiind aceea ca la rezolvarea ecuatiei de gradul trei nu s-a apelat la metode numerice ci la relatiile lui Cardano. Unele dintre metodele amintite erau "aplicate" asupra ecuatiei Perju (2.39). Calculele numerice/programele adecvate, prezentate in cap.3 (mai ales rezultatele rularilor pe exemple), au relevat unele limite ale metodelor amintite. In cele ce urmeaza s-a pus problema perfectionarii metodelor din cap.3 si aplicarea lor atit la ecuatie Perju (2.39) cit si altor ecuatii ale curbelor de sinteza. De asemenea, se prezinta si metode complet noi de determinare a punctelor/centrelor de pe aceste curbe.

6.5.1. Metoda dreptelor paralele si perpendiculare pe asymptota/ /axa medie

Se va exemplifica aceasta metoda utilizind ecuatie Lichtenheldt (2.7).

O dreapta parametrica paralela cu asymptota/axa medie, este

$$(= t) \quad (6.39)$$

iar o alta perpendiculara pe asymptota/axa medie, este

$$(= s) \quad (6.40)$$

Inlocuind (6.39) in (2.7), se obtine ecuatie de gradul doi in "Y"

$$\cdot Y^2 + c_1 \cdot Y + c_0 = 0 \quad (6.41)$$

iar inlocuind (6.40) in (2.7), se obtine ecuatie de gradul trei in "X"

$$X^3 + d_2 \cdot X^2 + d_1 \cdot X + d_0 = 0 \quad (6.42)$$

unde coeficientii "c2,c1,co,d3,d2,d1,do" se calculeaza cu

$$= t + A \quad (6.43)$$

$$= -B \cdot t - D \quad (6.44)$$

$$= t^3 - A \cdot t^2 - c \cdot t + E \quad (6.45)$$

$$:= 1 \quad (6.46)$$

$$= s^2 - A \quad (6.47)$$

$$= -B \cdot s - C \quad (6.48)$$

$$:= A \cdot s^2 - D \cdot s + E \quad (6.49)$$

iar coeficientii "A,B,C,D,E" sunt dati de (2.8)...(2.12).

Ecuatia de gradul doi (6.41) se poate rezolva prin relatia (2.70), rezultind solutiile "Y1,2", iar ecuatie de gradul trei (6.42), prin relatiile (2.47)...(2.64) rezultind solutiile "X1,2,3".

Variind parametrii "t" (intre minimul si "mediul mic" respectiv intre maximul si "mediul mare" dintre "k1,2,3,4" dati de (5.119)) si "s" (teoretic intre "-oo" si "+oo", practic, dupa experienta autorului, intre "- 5*tmax" si "5*tmax"), cu un pas "adecvat" (dupa experienta autorului de cca. (tmax-tmin)/100), prin calcul automatizat, reprezentind la scara convenabila pe monitoare/plottere/imprimante, punctele/centrele de coordonate "t;Y1,2" si "X1,2,3;s", rezultate la fiecare ciclare, se pot obtine imagini clare ale curbelor de sinteza (se vor vedea in cap.7).

Rezultate similare se vor obtine aplicind metoda de mai sus asupra ecuatiei carteziene cu originea in focar (4.3).

Daca punctele/centrele de coordonate "t;Y1,2" si "X1,2,3;s" se "trec" in sistemul de definire a pozitiilor de sinteza, prin relatii de tipul (2.124) si (2.125), curba de sinteza emisita mai sus, va fi obtinuta in pozitia ei reala (altfel ea va fi cu asimptota paralela cu axa ordonatelor).

**6.5.2. Metoda dreptelor paralele
cu abscisa si cu ordonata**

Se va exemplifica aceasta metoda utilizind ecuatia cu 7 coeficienti (4.32).

O dreapta parametrica paralela cu abscisa, este

$$t = l \quad (6.50)$$

iar o alta, paralela cu ordonata, este

$$s = s_0 \quad (6.51)$$

Inlocuind (6.50) in (4.32), se obtine ecuatia de gradul trei in "x"

$$x^3 + c_2 \cdot x^2 + c_1 \cdot x + c_0 = 0 \quad (6.52)$$

iar inlocuind (6.51) in (4.32), se obtine ecuatia de gradul trei in "y"

$$y^3 + f_2 \cdot y^2 + f_1 \cdot y + f_0 = 0 \quad (6.53)$$

unde coeficientii "e3,e2,e1,e0,f3,f2,f1,f0" se calculeaza cu

$$t = \frac{s}{A} \quad (6.54)$$

$$t = \frac{1}{B} \cdot t + E \quad (6.55)$$

$$= A \cdot t^2 + F \cdot t + H \quad (6.56)$$

$$= B \cdot t^3 + G \cdot t^2 + I \cdot t + 1 \quad (6.57)$$

$$t = \frac{l}{B} \quad (6.58)$$

$$t = A_1 \cdot s + G \quad (6.59)$$

$$t = B \cdot s^2 + F \cdot s + I \quad (6.60)$$

$$= A_1 \cdot s^3 + E \cdot s^2 + H \cdot s + 1 \quad (6.61)$$

iar coeficientii "A,B,E,F,G,H,I" sint dati de sistemul (4.25)...(4.31).

Cele doua ecuatii de gradul trei se pot rezolva prin relatiile (2.47)...(2.64), rezultind solutiile " $x_1,2,3$ " respectiv " $y_1,2,3$ ".

Variind parametrii "t" (teoretic intre " $-\infty$ " si " $+\infty$ ", practic, dupa experienta autorului, intre triplul ordonatelor minima si maxima dintre cele 12 ale polilor " P_{ij}/Q_{ij} ") si "s" (teoretic intre " $-\infty$ " si " $+\infty$ ", practic, dupa experienta autorului, intre triplul absciselor minima si maxima dintre cele 12 ale polilor " P_{ij}/Q_{ij} "), cu un pas "adecvat" (dupa experienta autorului, de cca. o miime/sutime din maxima/minima dintre cele 24 abscise/ordonate ale polilor " P_{ij}/Q_{ij} "), prin calcul automatizat, reprezentind la scari convenabile pe monitoare/plottere/imprimante, punctele/centrele de coordonate " $x_1,2,3;t$ " si " $s;y_1,2,3$ ", rezultate la fiecare ciclare, se pot obtine imagini clare ale curbelor de sinteza (se va vedea in cap.7).

Rezultate similare se vor obtine aplicind metoda de mai sus asupra ecuatiei Perju (2.39).

Curbele de sinteza rezulta in pozitiile lor reale fata de pozitiile impuse sintezei.

6.5.3. Metoda dreptei ce trece prin doua puncte cunoscute

Conform teoremei lui Bezout [V6], [*23], [*24], doua curbe algebrice se intersecteaza intr-un numar de puncte egal cu produsul gradelor ecuatiilor corespunzatoare. Deci (conform unor considerente atinse si in [M11], [M12]) o dreapta (gradul intui) si o curba de sinteza Burmester (gradul trei), vor avea trei puncte de intersectie. Punctele de intersectie pot fi reale sau imaginare. Tinind cont ca la rezolvarea unei ecuatii solutiile imaginare apar in pereche, REFERITOR LA INTERSECTIILE UNEI DREpte CU O CUBICA, SE POATE SPUNE CA DACA ELE SE INTERSECTEAZA IN DOUA PUNCTE REALE, ATUNCI SI CEL DE-AL TREILEA PUNCT DE INTERSECTIE VA FI REAL.

Prin urmare, scriind ecuatie una drepte ce trece prin doua puncte reale cunoscute si apartinind curbei de sinteza Burmester

(aceste puncte pot fi oricare două din cei sase poli ai rotatiilor finite "P_{ij}", corespunzători celor patru pozitii impuse in problema de sinteza). Al treilea punct real de intersectie poate fi determinat prin rezolvarea sistemului format din ecuațiile dreptei amintite și a curbei de sinteza Burmester (in mod foarte expedativ, apelind la prima relație a lui Vieta [V6], [*23], [*24], conform careia "suma radacinilor este egala cu cîtul, cu semn schimbat, dintre coeficientul termenului de putere inferioara cu unitatea și termenul de puterea cea mai mare"). Acest nou punct se adauga la cele anterioare, numarul de combinatii crescind pe masura ce acest proces ciclic se reia.

Date fiind cele patru pozitii de sinteza, prin pozitiile unui punct al planului mobil și prin unghiiurile unei drepte solidare cu acest plan, coordonatele polilor rotatiilor finite, corespunzători, se pot calcula cu relațiile (2.1), (2.2), (2.3). Aceste sase perechi de coordonate pot fi depuse in doi "vectori coloana" in memoria unui calculator, ocupind astfel primele sase nivele. Fie "i" si "j" două nivele oarecare din acești vectori. Ecuatia dreptei ce trece prin cele două puncte corespunzătoare (care aparțin curbei de sinteza) va fi, conform [*23]/[*24],

$$(x_j - x_i)/(x_j - x_i) = (y_j - y_i)/(y_j - y_i) \quad (6.62)$$

unde explicitind după oricare din necunoscute (spre exemplu "x") și notind

$$N = \frac{x_j - x_i}{y_j - y_i} \quad (6.63)$$

se obtine

$$x = N \cdot (y - y_i) + x_i \quad (6.64)$$

In continuare se va exemplifica metoda, utilizind ecuația cu 7 coeficienți (4.32).

Inlocuind (6.64) in (4.32), după ordonari și reduceri conform necesitatilor de creștere a preciziei prin calcul automatizat (adica urmărindu-se o anumita succesiune a operatiilor aritmetice), se obtine

$$\begin{aligned}
 & y^3 \cdot (A \cdot N^3 + B \cdot N^2 + A \cdot N + B) + \\
 & + y^2 \cdot [-3 \cdot A \cdot y_i \cdot N^3 + (3 \cdot A \cdot x_i - 2 \cdot B \cdot y_i + E) \cdot N^2 + (2 \cdot B \cdot x_i - A \cdot y_i + F) \cdot N + A \cdot x_i + G] + \\
 & + y \cdot [3 \cdot A \cdot y_i^2 \cdot N^3 + (B \cdot y_i^2 - 6 \cdot A \cdot x_i \cdot y_i - 2 \cdot E \cdot y_i) \cdot N^2 + \\
 & + (3 \cdot A \cdot x_i^2 - 2 \cdot B \cdot x_i \cdot y_i + 2 \cdot E \cdot x_i - F \cdot y_i + H) \cdot N + B \cdot x_i^2 + F \cdot x_i + I] + \\
 & + A \cdot (x_i - y_i \cdot N)^3 + E \cdot (x_i - y_i \cdot N)^2 + H \cdot (x_i - y_i \cdot N) + 1 = 0
 \end{aligned} \tag{6.65}$$

Tinind cont de relatia lui Vieta, amintita mai sus, rezulta mai repede decit prin relatiile lui Cardano noua solutie (a treia, indicata cu "k") a ecuatiei (6.65), sub forma

$$y_k = \frac{3 \cdot A \cdot y_i \cdot N^3 - (3 \cdot A \cdot x_i - 2 \cdot B \cdot y_i + E) \cdot N^2 - (2 \cdot B \cdot x_i - A \cdot y_i + F) \cdot N - A \cdot x_i - G}{A \cdot N^3 + B \cdot N^2 + A \cdot N + B} - y_i - y_j \tag{6.66}$$

Inlocuind (6.66) in (6.64), se obtine

$$x_k = (y_k - y_i) \cdot N + x_i \tag{6.67}$$

Noul punct de coordonate "xk,yk" se situeaza evident pe curba de sinteza Burmester.

Coordonatele date de (6.67) si (6.66), pornind de la primele 6 nivele din vectorii coloana amintiti, ar trebui sa duca printre prima ciclare ("i=1...6"; "j=1...6"; "j>i") la ocuparea urmatoarelor 15 nivele (combinari de 6 luate cate 2). Se vor ocupa practic doar urmatoarele 9 nivele deoarece prin gruparile de contrapoli in patrulatere (conform fig. 2.10/2.11), prin prelungirea a cate doua laturi opuse, se obtine un acelasi pol "Qij" apartinand curbei de sinteza. Polii "Qij" fiind in numar de 6, rezulta ca dupa prima ciclare a relatiilor (6.66) si (6.67), in vectorii coloana din memoria calculatorului vor fi ocupate 15 nivele.

La doua ciclare a relatiilor (6.66) si (6.67) (cu "i=1...15"; "j=1...15" si "j>i") ar trebui sa se ocupe urmatoarele 105 nivele (combinari de 15 luate cate 2) din vectorii de memorie, dar conform fig.2.10/2.11, ficare din cele 15 puncte de la care s-a plecat in aceasta ciclare, ar fi obtinut inca de doua ori. Deci practic la aceasta ciclare se vor ocupa urmatoarele 75 de noi nivele (105-2*15) din vectorii de memorie. Vor exista deci memorate dupa ciclarea a doua, in vectorii coloana, 90 de puncte (15+75) de pe curba de sinteza.

Numarul punctelor obtinute pe curba de sinteza, la urmatoarele ciclari, creste, urmard rationamentul de mai sus.

Metoda descrisa are avantaje fata de celelalte expuse in aceasta lucrare in sensul ca este mai rapida neapelind, in fiecare ciclare, la rezolvarea de ecuatii de grad doi/trei si in sensul ca nu obliga la alegerea/calcularea domeniului de ciclare.

Un dezavantaj este acela ca metoda isi incetineste ritmul de obtinere a punctelor/centrelor pe masura ce numarul lor creste, datorita necesitatii compararii solutiei curente cu cele anterioare. Acest dezavantaj nu se evidentiaza pentru mai putin de 100 puncte/centre.

In mod similar cu succesiunea calculului de mai sus, inlocuind (6.64) in ecuatie Perju (2.39), rezulta

$$\begin{aligned} & y^3 \cdot (A \cdot N^3 + B \cdot N^2 + A \cdot N + B) + \\ & + y^2 \cdot [-A \cdot y_i \cdot N^3 + (3 \cdot A \cdot x_i - 2 \cdot B \cdot y_i + C + W) \cdot N^2 + (2 \cdot B \cdot x_i - A \cdot y_i + E) \cdot N + A \cdot x_i + D + W] + \\ & + y \cdot [3 \cdot A \cdot y_i^2 \cdot N^3 + (-6 \cdot A \cdot x_i \cdot y_i + B \cdot y_i^2 - 2 \cdot C \cdot y_i - 2 \cdot W \cdot y_i) \cdot N^2 + \\ & + (3 \cdot A \cdot x_i^2 - 2 \cdot B \cdot x_i \cdot y_i + 2 \cdot C \cdot x_i + 2 \cdot W \cdot x_i - E \cdot y_i + F) \cdot N + B \cdot x_i^2 + E \cdot x_i + G] + \\ & + A \cdot (x_i - N \cdot y_i)^3 + (C + W) \cdot (x_i - N \cdot y_i)^2 + F \cdot (x_i - N \cdot y_i) + H = 0 \end{aligned} \quad (6.68)$$

si

$$y_k = \frac{3 \cdot A \cdot y_i \cdot N^3 - (3 \cdot A \cdot x_i - 2 \cdot B \cdot y_i + C + W) \cdot N^2 - (2 \cdot B \cdot x_i - A \cdot y_i + E) \cdot N - A \cdot x_i + D + W}{A \cdot N^3 + B \cdot N^2 + A \cdot N + B} - \frac{y_i - y_j}{y_i - y_j} \quad (6.69)$$

care impreuna cu (6.67), pot urma algoritmul de calcul automatizat, deja expus.

Pentru ecuatie Lichtenheldt (2.7), notind cu

$$N = \frac{X_j - X_i}{Y_j - Y_i} \quad (6.70)$$

si inlocuind

$$X = N \cdot (Y - Y_i) + X_i \quad (6.71)$$

in (2.7), se obtine

$$\begin{aligned} & Y^3 \cdot (N^3 + N) + \\ & + Y^2 \cdot [-3 \cdot Y_i \cdot N^3 + (3 \cdot X_i - A) \cdot N^2 - (Y_i + B) \cdot N + X_i + A] + \\ & + Y \cdot [3 \cdot Y_i^2 \cdot N^3 + (-6 \cdot X_i \cdot Y_i + 2 \cdot A \cdot Y_i) \cdot N^2 + (3 \cdot X_i^2 - 2 \cdot A \cdot X_i + B \cdot Y_i - C) \cdot N - B \cdot X_i - D] + \\ & + (X_i - N \cdot Y_i)^3 - A \cdot (X_i - N \cdot Y_i)^2 - C \cdot (X_i - N \cdot Y_i) + E = 0 \end{aligned} \quad (6.72)$$

a carei noua solutie este

$$Y_k = \frac{3 \cdot Y_i \cdot N^3 - (3 \cdot X_i - A) \cdot N^2 + (Y_i + B) \cdot N - X_i + A}{N^3 + N} - Y_i - Y_j \quad (6.73)$$

de care, tinind cont in (6.71), rezulta

$$X_k = (Y_k - Y_i) \cdot N + X_i \quad (6.74)$$

care impreuna cu (6.73), pot urma algoritmul de calcul automatizat, deja expus.

Pentru ecuatia carteziana cu originea in focar (4.3), procedind ca mai sus, sau facind schimbarile de variabila (4.1) si (4.2), se ajunge la

$$V_k = \frac{3 \cdot V_i \cdot N^3 - (3 \cdot U_i + 2 \cdot A) \cdot N^2 + V_i \cdot N - 2 \cdot A - U_i}{N^3 + N} - V_i - V_j \quad (6.75)$$

si

$$U_k = (V_k - V_i) \cdot N + U_i \quad (6.76)$$

care pot urma algoritmul de calcul automatizat, deja expus.

6.5.4. Metoda bazata pe o proprietate a polilor rotatiilor finite

In subcap.2.4.5.4 s-a prezentat metoda Kovacs, prin care se porneste de la patru pozitii impuse elementului mobil si de la lungimea impusa a unei conexiuni "KB(-1)" (manivela/balansierul "AqA/BoB" din fig.2.3). Prin aceea metoda se determina pozitiile punctelor figurative ale cuprelor de la capetele conexiunii ("Ao" si "A"/"Bo" si "B"). Acestea sunt puncte cercuale ("A"/"B")/centru ("Ao"/"Bo") de pe curbele de sinteza.

Adoptind ca variabila de ciclare, lungimea conexiunii "KB(-1)", prin calcul automatizat, se vor obtine, la fiecare pas al ciclului, cite un punct cercual si cite un centru, aflate in corespondenta.

De fapt, conform subcap.2.4.5.4, intersectia necesara

dintre curba de biela a patrulaterului fictiv (o sextică triciclică) și cercul capabil de un anumit unghi fata de conexiunea "KB(-1)" (o conică ciclică), are "0/2/4/6" variante (conform teoremei lui Bezout). Rezulta ca impunind în cadrul unui ciclu, o anumita lungime conexiunii "KB(-1)" amintita mai sus și determinind toate intersectiile reale ale curbei de biela cu cercul, se pot obtine "0/2/4/6" perechi de puncte cercuale și centre aflate în corespondență.

Însiruirea acestor puncte va conduce la "descrierea" concomitentă a curbei punctelor și a curbei centrelor.

Dacă se marchează și polii rotatiilor finite "P12, P13, P14, P23, P24, P34" (eventual și "P231, P241, P341"), se va constata că, prin "P12, P13, P14" trec ambele curbe, iar prin "P23, P24, P34" trece curba centrelor și prin "P231, P241, P341" trece curba punctelor cercuale. În acest fel, se înlatura limita semnalată în studiul bibliografic din subcap.2.4.5.4, putindu-se deci aprecia care cuplu de rotație de la capetele conexiunii "KB(-1)" este "centru"/cuplu fixă și care cuplu este "punct cercual"/cuplu mobilă.

Programul de calculator întocmit conform algoritmului descris în subcap.2.4.5.4 și mai sus este mare consumator de timp la rulare, datorita faptului că în cadrul fiecarui pas la schimbarea lungimii conexiunii "KB(-1)" există un calcul iterativ de determinare a intersectiilor unei curbe de biela cu un cerc.

Avantajele acestei metode constau în descrierea concomitentă prin puncte și centre, aflate în corespondență, a ambelor curbe de sinteză și în lipsa obligației de a se preciza domeniul în care se dorește reprezentarea curbelor.

Un dezavantaj este acela că, impunind doar lungimea manivelei/balansierului este posibil că, destul de "tirziu" la rularea programului să apară amplasări favorabile ale cuprelor (ex.: articulația fixă în dreptul "batiului").

6.5.5. Metoda bazată pe ecuații polare

Ecuațiile (4.6), (4.9), (6.9)/(6.10), care descriu curbele de sinteză în coordonate polare, pot fi scrise generic sub forma (4.9), procedind în fiecare caz la identificarea adecvată a

coeficientilor "a,b,c". Prin simplitatea lor, se recomanda in utilizare, ecuatiiile (4.6) si (6.10).

Ca variabila de ciclare se alege unghiul polar " θ ". Se calculeaza corespunzator valorile razelor polare cu

$$r_{1,2} = \frac{-b \pm \sqrt{b^2 - 4 \cdot a \cdot c}}{2 \cdot a} \quad (6.77)$$

Daca "softul" avut la dispozitie are implementat direct lucrul in coordonate polare, se reprezinta punctele de coordonate " ρ_1, θ " si " ρ_2, θ ". In caz contrar, se poate reveni in sistemul cartezian cu relatiile (2.130) si (2.131).

Avantajul metodei consta in rapiditatea posibila la rezolvarea ecuatiei de gradul doi.

Dezavantajul metodei, constatat "practic" de autor, consta in reprezentarea "mai clara" doar a portiunii nemonotone a curbelor de sinteza.

In cap.7 se va demonstra avantajul major al acestei metode, cind originea coordonatelor polare se alege in punctul intermediar de inflexiune (notat cu "I2" in fig.5.3), iar originea de masurare a unghiului polar, se alege ca fiind tangenta in "I2" la curba de sinteza. Acest avantaj ar fi parcurgerea "ordonata" a curbelor de sinteza (pe principiul "vecinitatii"), ceea ce are implicatii deosebite la "zonarea" curbelor in portiuni favorabile, sau nu problemei de sinteza in discutie si la reprezentarea curbelor prin puncte aproximativ "echidistante" (cistig de "claritate").

**7. PROGRAME IN LIMBAJELLE "BASIC"/"BETA BASIC"
 /"PASCAL"/"DE ASAMBLARE"/"COD MASINA",
 CORESPUNZATOARE NOILOR ECUATII SI ELEMENTE
 GEOMETRICE ALE CURBEI OR DE SINTEZA**

Daca stadiul actual al sintezei mecanismelor de pozitionare pe baza cercurilor suport (cap.2), a fost "prelucrat" in mod adevarat prin programe de calcul automatizat (cap.3), este normal ca noile ecuatii (cap.4) si elemente geometrice (cap.5), in lumina utilitatilor practice relevante anterior (cap.6), sa isi gaseasca o reflectare corespunzatoare in programe de calculator.

In acest capitol au fost utilizate, in programarea pe calculatoarele personale "TIM-S" / "COBRA" / "HC-85" / "CIP" (compatibile cu familia "SPECTRUM"), limbajul "BASIC", "dialectul" evoluat "BETA BASIC" (pentru unele facilitati simplificatoare si pentru o viteza cu ceva mai mare), limbajul "PASCAL" (pentru viteza marita in detrimentul preciziei), precum si limbajul in "cod masina" (la unele sechente ale "utilitarelor" in scopul maririi vitezei de calcul la cea mai mare valoare posibila pentru microsistemele avute la dispozitie).

Cele ce urmeaza, vor fi expuse in ordinea "necessitatii". De aceea nu trebuie sa surprinda alternanta unor programe dedicate strict studiului curbelor de sinteza, cu programe utilitare create in interes general dar aplicate specific atunci cind "necessitatea" o cere. Aceasta ultima categorie de programe isi are originea in faptul ca utilizatorul tehnicii de calcul (la orice nivel) va fi mereu atras de "mirajul" maririi performantelor dotarii "avute la dispozitie" prin valorificarea la nivel superior a "hard"-ului sau prin "soft" utilitar nou (in completarea celui existent anterior).

Microsistemul "la dispozitie" amintit mai sus, este constituit din calculatorul de tip personal "SPECTRUM 48/128 k", imprimanta "SCAMP RCD 9335", interfata de tip serial "ZX 1 INTERFACE", monitor si casetofon. Cu adaptari, cele ce urmeaza, se pot aplica microsistemeelor similare/compatibile.

In unele aplicatii, s-a utilizat, in locul calculatorului amintit si a interfetei aferente, un calculator de tipul "TIM-S", pentru a profita de facilitatile oferite prin interfata de tip paralel inglobata acestuia si de posibilitatea efectuarii

```

10 REM *****
11 PROGRAM PENTRU DETERMINAREA
12 COEFICIENTILOR EQUAȚIEI CU 7
13 PE BAZA SETURILOR DE 7 DIN CEI
12 POLI Pi/jii în BETABASIC 3.1
*****20 CLEAR #
21 FORMAT ";"1200
22 OPEN #3;"T"
23 BORDER 0
24 PAPER 0
25 INK 0
26 OVER 0
27 CLS
28 CSIZE 4,16
29 PRINT "Program pentru determinarea coeficientilor ecuației curbelor Burmester (metoda 7/12) cu afisarea rezultatelor la imprimanta";AT 9,10;"TIMP DE RULAR E CCA, 6 ORE"
30 CSIZE 4,8
31 LPRINT "Determinarea coeficienților";"ecuației cu 7 coeficienți a;""curbei centrelor (metodă 7/12)"  

32 LPRINT CHR$ 13
33 LET nrcrt=0
34 REM *****
35 DATA "CU CELE 4 POZITII IMPUSE IN ORDINEA x1,x2,x3,x4,y1,y2,y3,  
y4 [mm], t1,t2,t3,t4 [grade]"  

36 DATA 30,25,980762,7,7645713  
-21,213203,0,15,28,977775,21,21  
3203,58,411864,45,544811,33,1535  
77,30,57480
37 REM CITESTE POZITII IMPUSE
38 DIM M(3,4)
39 RESTORE
40 FOR I=1 TO 3
41 FOR J=1 TO 4
42 READ M(I,J)
43 NEXT J
44 NEXT I
45 LPRINT "Pozitii impuse"  

46 LPRINT CHR$ 13
47 LET Pi/jii=M(1,1);x2=M(1,2);  
y2=M(1,3);x4=M(1,4);  
y4=M(2,1);y2=M(2,2);x3=M(2,3);  
y3=M(2,4);t1=M(3,1);  
t2=M(3,2);t3=M(3,3);t4=M(3,4)
48 LPRINT CHR$ 13
49 FOR I=1 TO 4
50 LET M(3,I)=M(3,I)*PI/180
51 NEXT I
52 REM *****
53 CALCULEAZA COORDONATELE POLILOR
54 Pi/jii IN RI SI SI,  

*****55 REM *****
56 DIM R(4,4)
57 DIM S(4,4)
58 DIM T(4,4)
59 FOR I=1 TO 4
60 FOR J=1 TO 4
61 IF J=I THEN GO TO 300
62 LET T(I,J)=(M(3,J)-M(3,I))
63 LET R(I,J)=((M(1,J)+M(1,I))-(1-COS T(I,J))-(M(2,J)-M(2,I)))*SIN T(I,J)/(1-COS T(I,J)/2
64 LET S(I,J)=(M(1,J)-M(1,I))*SIN T(I,J)+(M(2,J)-M(2,I))*(1-COS T(I,J))/(1-COS T(I,J))/2
65 NEXT J
66 NEXT I
67 DIM T(1)
68 LPRINT " COORDONATELE POL.  

69 REM *****
```

unor "schimbari" in pseudOMEMORIA "ROM" care este destul de usor accesibila unui operator familiarizat cu acest microsistem.

**7.1. Program pentru determinarea
coeficientilor curbelor de
sinteză pe baza seturilor de
cite 7 din cei 12 poli "Pij/Qij"**

Descrisa si utilizata deja in subcap.4.3 si 6.4, metoda seturilor de 7 din cei 12 poli "Pij/Qij", este aplicabila ecuatiei cu 7 coeficienti (4.32) a curbei centrelor/punctelor in scopul determinarii coeficientilor amintiti.

Programul din titlu nu a fost scris in mod "conversational" dat fiind timpul lung de rulare. La intocmirea acestui program s-a utilizat "dialectul BETA BASIC".

Instructiunea 90 atrage atentia asupra liniei urmatoare, de tip "DATA", in care trebuie introduse datele de intrare, adica cele patru pozitii impuse sintezei. Calculul coordonatelor polilor rotatiilor finite "Pij" si a coordonatelor polilor "Qij", se efectueaza dupa liniile 220, respectiv 390. La linia 580 se procedeaza la ordonarea coordonatelor celor 12 poli "Pij/Qij" in vederea obtinerii dupa linia 690, prin anagramare, in cicluri incluse, a tuturor celor 792 de combinatii posibile la gruparea acestora in seturi de 7 poli (evident si a coordonatelor corespunzatoare). Pentru fiecare set de 7 poli "Pij/Qij" (deci la fiecare ciclu), se parcurge "procedura" (subrutina) de dupa linia 1190, in care se rezolva sisteme liniare de 7 ecuatii cu 7 necunoscute de tipul (4.25)...(4.31), obtinindu-se ca rezultat setul corespunzator de coeficienti "A,B,E,F,G,H,I" ai ecuatiei cu 7 coeficienti. Asupra rezolvării sistemelor de ecuatii liniare (metoda "Gauss a pivotului maxim") se va reveni in acest capitol.

Rularea completa a programului dureaza cca. 6 ore, la fiecare cca. 30 secunde rezultind, ca date de iesire spre imprimanta, un set de coeficienti "A,B,E,F,G,H,I". In acest context, microsistemul amintit a fost lasat sa "lucreze" singur, datele necesare fiind "stocate" pe hirtie prin liniile de tip "LPRINT" corespunzatoare.

Pe versoul paginii 173 si in continuare pe cel al paginii

```

1060 LET K=N
1070 LET L_1
1080 LET L=N
1090 END PROC
1100 REM PROCEDURA KL_1 E SUBPRO
CEDURA PENTRU KL_
1110 DEF PROC KL_1
1120 LOCAL C
1130 LET C=0
1140 DO
1150 LET C=C+1
1160 LOOP WHILE T(C)=0
1170 LET N=T(C)
1180 LET T(C)=0
1190 END PROC
*****PROCEDURA "SIGLIN N" CALCULEAZA
IN X() SOLUTIALE UNUI SISTEM
LINIAR DE GR. N CU COEFICIENTI
IN A() SI TERMENI LIBERI IN B()
*****DEF PROC SIGLIN N
1210 LOCAL I,J,K,L1,L2,K1,M,RM
AX,AUX,IAUX
1220 DIM X(N)
DIM Y(N)
FOR I=1 TO N
LET Y(I)=1
NEXT I
1230 TRANSFOR
REZOLVA
ORDONARE
1240 END PROC
1250 REM TRANSFOR
1260 DEF PROC TRANSFOR
1270 LET k=n
1280 LET rmax=ABS a(k,k)
1290 LET l1=k
LET l2=k
1300 FOR i=1 TO k
FOR j=1 TO k
1310 LET aux=ABS a(i,j)
1320 IF rmax>aux THEN GO
TO 1350
1330 LET rmax=aux
1340 LET l1=i
LET l2=j
1350 NEXT j
1360 NEXT i
1370 FOR i=1 TO n
1380 LET aux=a(i,12)
1390 LET a(i,12)=a(i,k)
LET a(i,k)=aux
1400 NEXT i
1410 LET iaux=y(12)
LET y(12)=y(k)
LET y(k)=iaux
1420 FOR j=1 TO k
LET aux=a(l1,j)
1430 LET a(l1,j)=a(k,j)
LET a(k,j)=aux
1440 NEXT j
1450 IF a(k,k)=0 THEN PRINT //
INVERSE 1;"ELEMENT NUL PE DIAGO
NALA"
BEEP 1,-30
STOP
1460 LET aux=b(l1)
LET b(l1)=b(k)
LET b(k)=aux
LET k1=k-1
1470 FOR i=1 TO k1
LET b(i)=b(i)-b(k)*a(i,
k)/a(k,k)
1480 FOR j=1 TO k
1490 LET a(i,j)=a(i,j)-a(i,
k)*a(k,j)/a(k,k)
1500 NEXT j
1510 NEXT i
1520 LET k=k-1

```

174, se expune listingul unei variante a programului (lungime cca. 11000 bytes) comentat mai sus.

Programul a fost rulat pentru "exemplul V" care porneste de la cele patru pozitii specificate in tab.7.1 (extrase din tab.3.1).

Tab.7.1

Poz.	x [mm]	y [mm]	θ [grade]
1	30	0	58.411864
2	25.980762	15	45.544811
3	7.7645713	28.977775	33.153577
4	-21.213203	21.213203	30.574680

Din cele 792 seturi de coeficienti "A,B,E,F,G,H,I" obtinute dupa rulare, se redau in tab.7.2, cteva rezultate. Aparent, prin comparatie cu rezultatele reproduse in tab.4.2 si 4.3, se constata o "instabilitate" a constantei aceliasi coeficient pentru combinatii diferite ale celor sapte poli "Pij/Qij", precum si diferente relativ mari (uneori sase ordine de marime) intre coeficienti din acelasi set. De asemenea, intre seturile de coeficienti din tab.7.2 exista o "proportionalitate" evidenta.

Tab.7.2

\Set de 7 :	P12P13P14P23	P12P13P14P24	P12P13P14P23
\Coef.	Q12Q13Q14	Q12Q13Q14	P24Q12Q13
A	0.99114011	0.24048028	1.157249
B	0.44541675	0.10807141	0.52006536
E	-318.02687	-77.162722	-371.32588
F	-107.16308	-26.000917	-125.12284
G	-132.41489	-32.127805	-154.60666
H	21891.275	5311.4592	25560.098
I	4275.4561	1037.3492	4991.9925

Explicatia celor trei observatii se gaseste analizind pozitiile generate pentru verificari in tab.3.1 si sistemul de ecuatii (4.25)...(4.31) din care se calculeaza coeficientii "A,B,E,F,G,H,I". Astfel, oricare patru pozitii din tab.3.1, prin modul in care au fost obtinute, au cele patru puncte determinate de coordonatele "x,y", situate pe un acelasi cerc in jurul originii. In acest caz, originea este un "centru" si apartine, ca atare, "curbei centrelor". Conform subcap.4.2, 5.12 si 5.13, daca originea sistemului de axe apartine unei curbe, atunci ecuatiei acesteia are termenul liber nul. Ecuatia cu 7 coeficienti a curbei centrelor (4.32) si sistemul corespunzator (4.25)...(4.31), cu care s-au determinat coeficientii din tab.7.2, au termenul liber unitar. Rezolvarea in aceste conditii a sistemului amintit, conduce la "instabilitatea" semnalata, iar "diferentele" ordinelor de marime reprezinta "tendinta" sistemelor de solutii, ale ecuatiilor (4.25)...(4.31), de a "compensa" existenta unui termen liber unitar in locul unuia "corect" nul (in acest caz), atit in ecuatie (4.32) cit si in sistemul de ecuatii amintit. "Proportionalitatea" intre coeficientii "A,B,E,F,G,H,I", observata mai sus, demonstreaza ca, in fond, s-a analizat o aceeasi curba de sinteza.

Cele semnalate mai sus, arata ca ecuatie cu 7 coeficienti obtinuta (a se vedea subcap.4.3) prin "normalizarea" (aducerea la unitate) termenului liber al cubicei complete (4.13), in scopul unei forme "elegante" a acesteia, este susceptibila la o "perfectionare" asupra careia autorul isi propune sa revina in alta lucrare.

Pentru a demonstra ca in cazul "general" a patru pozitii "oarecare" (pentru care originea nu este un centru, acesta fiind cel mai "probabil" caz "natural"), s-a procedat la "translatarea" originii pentru pozitiile din tab.7.1. Astfel s-a adunat "-100" tuturor absciselor, respectiv, "-50", tuturor ordonatelor (era suficiente o singura astfel de operatie) si in plus s-a adunat "10" tuturor unghierilor (operatie fara efect la determinarea polilor "Pij/Qij" si a coeficientilor "A,B,E,F,G,H,I", efectuata pentru "a mai schimba numerele"), obtinindu-se pozitiile planului mobil din tab.7.3 (in fond aceleasi cu cele din tab.7.1 in raport cu planul fix, intrucit nu s-a schimbat nimic in pozitia relativa a celor doua plane (cel fix si cel mobil)).

Tab.7.3

Poz.	x [mm]	y [mm]	& [grade]
1	-70	-50	68.411864
2	-74.019238	-35	55.544811
3	-92.2354287	-21.022225	43.153577
4	-121.213203	-28.786797	40.574680

Programul prezentat, a fost rulat cu datele din tab.7.3, din cele 792 seturi de coeficienti "A,B,E,F,G,H,I" fiind reproduse cîteva în tab.7.4. Rezultatele din tab.7.4 confirmă concluziile din subcap.4.3.1 și 4.3.2. ("stabilitatea" soluțiilor și "indiferența" setului de 7 poli "Pij/Qij" considerat).

Tab.7.4

Set de 7:	P12P13P14P23	P12P13P14P24	P12P13P14P23
\Coef. \:	Q12Q13Q14	Q12Q13Q14	P24Q12Q13
A	-7.8098253E-6	-7.8098356E-6	-7.8098254E-6
B	-3.5097227E-6	-3.5097267E-6	-3.5097227E-6
E	-0.000012496973	-0.000012499302	-0.000012497001
F	-0.00063852067	-0.00063852247	-0.00063852068
G	-0.00026405954	-0.00026406006	-0.00026405955
H	0.081995764	0.081995735	0.081995764
I	0.015571319	0.015571304	0.015571319

Utilizarea coeficientilor din tab.7.2 sau din tab.7.4 în ecuația cu 7 coeficienti (4.32) conduce (cel puțin în reprezentări grafice pe monitorare/plotere/imprimanta, conform experienței autorului) la o aceeași curba de sinteza. Utilizarea, în sinteza patrupozitională, a acelorași seturi de coeficienti, este (foarte probabil) echivalentă (cel puțin din punctul de vedere al aspectului curbelor și al dimensiunilor sesizabile cu ochiul liber).

```

10 REM *****
PROGRAM PENTRU TRASAREA A DOUA
CUBICE (a centrelor sub forma cu
7 coeficienti si hessianei)
*****
20 PRINT "Forma ecuatiei cu 7
coeficienti:"
30 PRINT "(x^2+y^2)*(Axx+Bxy)+"
Exy^2+Fx*x+yGxy^2+Hxy*xIxy!+
40 INPUT "A=";A: PRINT "A=";A
50 INPUT "B=";B: PRINT "B=";B
60 INPUT "E=";E: PRINT "E=";E
70 INPUT "F=";F: PRINT "F=";F
80 INPUT "G=";G: PRINT "G=";G
90 INPUT "H=";H: PRINT "H=";H
100 INPUT "I=";I: PRINT "I=";I
110 PRINT "Daca coeficientii si
nt corecti comandati CONTINUE,i
n caz contrar comandati GO TO
40"
120 PAUSE 60000
130 REM *****
CALCUL COEFICIENTI HESSIANEI
*****
140 LET aa=4*H*(3*AAB-A*B*B)-A*(4
*E*E+3*F*F)+4*B*B*E*F
150 LET bb=4*I*(3*AAB-B*B)+B*(F
*F-12*E*E+8*E*G)+4*A*(3*BHH-3*F*G)
160 LET cc=4*H*(3*B*B-A*A)+A*(F
*F-12*G*G+8*E*G)+4*B*(3*AAB-3*E*F)
170 LET dd=4*I*(3*B*B-A*A)-B*(4
*G*G+3*F*F)+4*A*B*E*G
180 LET ee=4*A*B*(3*G-E)+36*A*A
+E*(F-F-4*E*G)+4*I*(2*B*B-E-3*A*F
-12*B*B
190 LET ff=12*(E-G)*(A*I-B*H)+9
6*A*B*D+F*F*(AHH+B*I+E*G)
200 LET gg=4*B*B*(3*E-G)+36*B*B
+G*(F-F-4*E*G)+4*H*(2*A*G-3*B*F)
-12*A*A
210 LET hh=4*A*(3*E*G-H*H-3*I
*I)+H*(F*F-4*E*G)+4*B*B*(2*H*I-3*F
)
220 LET ii=4*B*(3*G+9*E-I-3*H
*H)+I*(F*F-4*E*G)+4*A*(2*H*I-3*F
)
230 LET jj=4*E*(3*G-I*I)+4*H*(F
*I-G*H)-3*F*F
240 REM *****
SCARA, ORIGinea, AXELe, CENARUL
*****
250 PRINT "Factor de scara"(i
nvers ca in desen)"
260 INPUT "k=";k: PRINT "k=";k
270 PRINT "Coordonatele origini
i axelor"(preferabil pt. grafii
ca eleganta"/"5=x0<=250 si 5=y
0<=170)"
280 INPUT "x0=";x0: PRINT "x0="
;x0
290 INPUT "y0=";y0: PRINT "y0="
;y0
300 CLS
310 IF x0<5 OR x0>250 OR y0<5 O
R y0>170 THEN GO TO 360
320 PLOT x0-5,y0: DRAW 10,0
330 PLOT x0,y0-5: DRAW 0,10
340 PLOT 250,y0: DRAW 5,0
350 PLOT x0,170: DRAW 0,5
360 PLOT 0,0: DRAW 255,0: DRAW
0,175: DRAW -255,0: DRAW 0,-175
370 REM *****
BALEIEREA PLANULUI DUPA ABCISa
*****
380 FOR x=-x0*k TO (255-x0)*k S
TEP k
390 LET a3=B: LET a2=A*x+G: LET
a1=B*x*x+F*x*I: LET a0=A*x*x*x+
E*x*x+H*x*x+I
400 GO SUB 720
410 LET x1=x: LET y1=z1
420 IF sol1=1 THEN GO TO 440
430 LET x2=x: LET y2=z2: LET x3
=x: LET y3=z3
440 GO SUB 860
450 NEXT x
460 FOR x=-x0*k TO (255-x0)*k S
TEP k
470 LET a3=dd: LET a2=cc*x+gg:
LET a1=bb*x*x+f*x*x+i: LET a0=aa
*x*x*x+e*x*x*x+hh*x*x+jj
480 GO SUB 720
490 LET x1=x: LET y1=z1
500 IF sol1=1 THEN GO TO 520
510 LET x2=x: LET y2=z2: LET x3
=x: LET y3=z3
520 GO SUB 860
530 NEXT x
540 REM *****
BALEIEREA PLANULUI DUPA ORDONATA
*****
550 FOR y=-y0*k TO (175-y0)*k S
TEP k
560 LET a3=A: LET a2=B*y+e: LET
a1=A*x*y+F*x*y+H: LET a0=B*x*y*y+
G*x*y*I*y+I
570 GO SUB 720
580 LET x1=z1: LET y1=y
590 IF sol1=1 THEN GO TO 610
600 LET x2=z2: LET y2=y: LET x3
=z3: LET y3=z3
610 GO SUB 860
620 NEXT y
630 FOR y=-y0*k TO (175-y0)*k S
TEP k
640 LET a3=aa: LET a2=bb*x+ee:
LET a1=cc*x*x+f*x*y+hh: LET a0=dd
*x*x*x+gg*x*x*y+iij*x*x+jj
650 GO SUB 720
660 LET x1=z1: LET y1=y
670 IF sol1=1 THEN GO TO 690
680 LET x2=z2: LET y2=y: LET x3
=z3: LET y3=z3
690 GO SUB 860
700 NEXT y
710 STOP
720 REM *****
REZOLVAREA ECUATIEI DE GRADUL 3
*****
730 LET p=-a2*a2/3/a3/a3*a1/a3
740 LET q=a2*a2*a2*a2/27/a3/a3
3-a1*a2/3/a3/a3*a0/a3
750 LET ex=q/4+p*p*p/27
760 IF ex>0 THEN GO TO 830
770 LET r=SQR (-p/3): LET fi=AC
S (-q/2/r/r/r)
780 LET z1=2*r*COS ((fi/3)-a2/3/
a3
790 LET z2=2*r*COS ((fi+2*PI)/3
)-a2/3/a3
800 LET z3=2*r*COS ((fi+4*PI)/3
)-a2/3/a3
810 LET sol=3
820 GO TO 850
830 LET z1=SQR (-q/2+SQR ex)*
(ABS (-q/2+SQR ex))^(1/3)+(SQR (
-q/2-SQR ex))*ABS (-q/2-SQR ex)
)^(1/3)-a2/3/a3
840 LET sol=1
850 RETURN
860 REM *****
TRASAREA PROPRIUZISA A CUBICELOR
*****
870 IF x1/k+x0<0 OR x1/k*x0>255
OR y1/k+y0<0 OR y1/k+y0>175 THE
N GO TO 890
880 PLOT x1/k*x0,y1/k+y0
890 IF sol=1 THEN GO TO 940

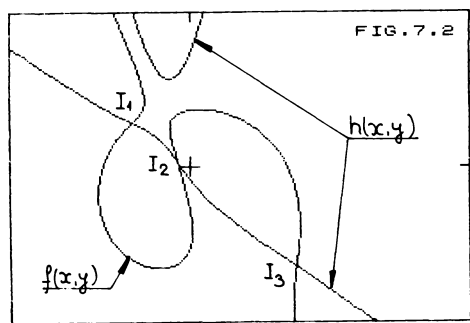
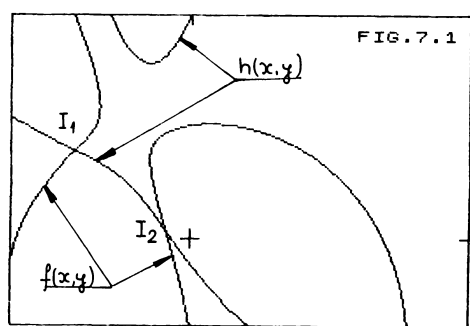
```

7.2. Program pentru reprezentarea grafica a doua cubice

S-a aratat in subcap.5.9.3, ca centrele/punctele de inflexiune ale curbelor de sinteza (cubica "f(x,y)" data spre exemplu de (4.32)), se situeaza printre intersectiile cu hessianei ei (cubica "h(x,y)" data spre exemplu de (5.210)). Aceste intersectii se pot determina din cele doua ecuatii ale curbelor, numai prin metode numerice (spre exemplu prin metoda Newton pentru sisteme de doua ecuatii neliniare). Alegerea punctelor de inflexiune dintre cele de intersectie amintite, se face mai rapid, daca exista o solutie grafica aproximativa, decit prin studiul variației expresiei (5.203). De asemenea aceasta solutie aproximativa poate servi, în prima iteratie a metodei numerice, pentru aflarea exactă a coordonatelor punctului de inflexiune.

Avind ecuația (4.32) a curbei de sinteza cu 7 coeficienți și ecuația corespunzătoare (5.210) a hessianei, amintite mai sus, s-a procedat la "baleierea" planului "xoy" cu o dreapta variabilă paralela cu abscisa/ordonata determinând de fiecare dată intersectiile acesteia atât cu hessiană cât și cu curba de sinteza (s-a apelat la metoda descrisă în subcap.6.5.2 care utilizează relațiile lui Cardano în rezolvarea ecuațiilor de gradul trei). S-au reprezentat grafic intersectiile astfel obținute.

Conform algoritmului de mai sus, s-a întocmit un program de calcul în limbaj "BASIC", sub formă conversațională, care începe (după linia 30) cu introducerea celor 7 coeficienți ai curbei de sinteza (rezultat, spre exemplu, din rularea programului prezentat în subcap.7.1). După linia 130 se procedează la calculul coeficienților hessianei. La linia 240 începe o "discuție" în legătură cu stabilirea factorului de scara, cu alegerea originii axelor și se procedează la trasarea reperelor axelor, respectiv a chenarului. Instrucțiunile 370 și 540 constituie începutul baleierii planului prin drepte paralele cu ordonata, respectiv cu abscisa (în cicluri corespunzătoare). În aceleasi cicluri, se "formează" coeficienții ecuațiilor de gradul trei dati de relațiile (6.54)...(6.61), sau alte relații similare. Aceste ecuații se rezolvă de fiecare dată în subrutina ce începe la linia 720 (se utilizează formulele lui Cardano).



Rezultatele se reintorc in ciclurile amintite, servind la calculul coordonatelor punctelor de pe curba de sinteza si de pe hessiana ei. Acestea se reprezinta grafic prin subrutina ce incepe la linia 860.

Pe versoul paginii 177 se expune listingul unei variante a programului (lungime 4312 bytes) comentat mai sus.

Programul de mai sus a fost rulat pentru "exemplul V" amintit la subcap.7.1 si avind coeficientii "A,B,E,F,G,H,I" din tab.7.4, rezultind (la scara "k=1") curba centrelor si hessiană corespunzătoare din fig.7.1. Apreciind că nesatisfacătoare aceasta "imagină" (nu apar toate centrele de inflexiune), s-a procedat la rularea programului cu un coeficient de scara "k=2" obținindu-se fig.7.2 unde apar toate centrele de inflexiune. S-a considerat în continuare că și aceasta "imagină" este nesatisfacătoare (mai puțin "precisa" decit precedenta), apelind la "ameliorările" (creșterea rezoluției) din subcap.7.3.

Remarcabile în programul amintit sunt aplicarea metodei dreptelor paralele cu abscisa și ordonata (descrisă în subcap. 6.5.2), precum și corelarea factorului de scara cu pasii ciclărilor tinând cont de rezoluția posibilă. Au rezultat astfel (într-un același număr de pasi: $2 \times 256 + 2 \times 176$, deci într-un același timp: cca. 15 minute) imaginile din fig. 7.1 și 7.2, unde apar în "continuitate" curbele de reprezentat.

Programul prezentat poate fi usor adaptat la trasarea a două curbe ale centrelor (necesată la determinarea centrelor Burmester). Modificările constau în anularea instrucțiunilor din programul comentat mai sus purtând numerele 220...230 și înlocuirea altora cu cele de pe versoul paginii 179 (corespunzătoare ca numar).

Acest program adaptat pentru o sinteza cu centre Burmester, a fost rulat considerind un set de cinci pozitii format din cele patru cuprinse în "exemplul V" (tab.7.1 "ameliorat" în tab.7.3) și o a cincea extrasă tot din tab.3.1 și redată în tab.7.5.

Tab.7.5

Poz.	x [mm]	y [mm]	θ [grade]
5	-7.7645713	28.977775	30.152629

```

10 REM *****
PROGRAM PENTRU TRASAREA A DOUA
CUBICE (ale centrelor sub forma
cu 7 coeficienti)
*****
130 INPUT "AA=";AA: PRINT "AA="
;AA
140 INPUT "BB=";BB: PRINT "BB="
;BB
150 INPUT "EE=";EE: PRINT "EE="
;EE
160 INPUT "FF=";FF: PRINT "FF="
;FF
170 INPUT "GG=";GG: PRINT "GG="
;GG
180 INPUT "HH=";HH: PRINT "HH="
;HH
190 INPUT "II=";II: PRINT "II="
;II
200 PRINT "Daca coeficientii si
nt corecti comandati CONTINUE, i
n cazul contrar comandati GO TO
40"
210 PAUSE 65535
240 REM *****
SCARA, ORIGinea, AXELE, CHENARUL
*****
470 LET a3=BB: LET a2=AA*x+GG;
LET a1=BB*x*x+FF*x+II: LET a0=AA
*x*x*x+EE*x*x+HH*x*x
640 LET a3=AA: LET a2=BB*y+EE;
LET a1=AA*x*x+FF*x*y+HH: LET a0=BB
*y*x*x+y*x*x+II*x*x+I

```

Bazat pe aceleasi considerente prin care s-a trecut de la tab.7.1 la tab.7.3, cu datele din tab.7.5 s-au obtinut cele din tab.7.6.

Tab.7.6

Poz.	x [mm]	y [mm]	θ [grade]
5	-107.7645713	-21.022225	40.152629

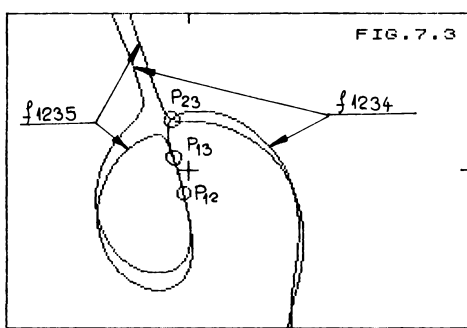
In cadrul sintezei cinci pozitionale, primul set de patru pozitii a fost considerat cel din "exemplul V" (poz. 1,2,3,4 din tab.7.3), iar al doilea set de patru pozitii a fost considerat cel din "exemplul VI" (poz. 1,2,3 din tab.7.3 si poz. 5 din tab.7.6). Pentru "exemplul V", coeficientii curbei centrelor sunt cei din tab.7.4, iar pentru "exemplul VI", coeficientii corespunzatori au fost determinati tot prin rularea programului prezentat in subcap.7.1 si s-au redat in tab.7.7.

Tab.7.7

Set de 7: P12P13P15P23		P12P13P15P25	P12P13P15P23
Coef.	Q12Q13Q15	Q12Q13Q15	P25Q12Q13
A	-9.2706715E-6	-9.2706824E-6	-9.270674E-6
B	-3.3077985E-6	-3.3078015E-6	-3.307799E-6
E	0.000056929326	0.000056926495	0.00005692863
F	-0.0010702568	-0.0010702588	-0.0010702572
G	-0.00035430409	-0.00035430455	-0.00035430417
H	0.084602683	0.08460265	0.084602675
I	0.010554271	0.010554256	0.010554269

Primele seturi de coeficienti "A,B,E,F,G,H,I" din tab.7.4 respectiv din tab.7.7, au constituit datele de intrare pentru programul adaptat, iar rezultatul rularii (coeficient de scara ≤ 2) este fig.7.3 unde s-au incercuit polii rotatiilor finite comuni "P12,P13,P23", celelalte intersectii fiind centre

FIG. 7.3



Burmester (de asteptat sa existe intrucit s-a plecat in sinteza, de la un mecanism functional care prin pozitiile bielei sale a dat tab.3.1, ("izvorul exemplelor V si VI").

Si din fig.7.3 se poate concluziona ca metoda care a stat la baza programelor prezентate in acest subcapitol are avantajul reprezentarii "in continuitate" a curbelor (tinind cont de factorul de scara si limitele "scenei"=rezolutia disponibila, printr-un numar constant de pasi). Exista in continuare dezavantajul "scenei" prea mici care nu ofera o "imagine de ansamblu, cuprinsatoare", concomitent cu "micile detalii demne a fi remarcate". In subcapitolul urmator se incerca o "imbunatatire" in acest sens.

Programele de mai sus, "scrise" pentru ecuatie cu 7 coeficienti (4.32) si hessiana corespunzatoare (5.210), pot fi usor adaptate pentru oricare dublet format din ecuatie carteziana a curbei de sinteza si hessiana ei: Lichtenheldt (2.7) si (5.206), Perju (2.39) si (5.208), cu originea in focar (4.3) si (5.213).

7.3. Extinderea interpretorului "BASIC" (aplicatie la cresterea rezolutiei)

Problema extinderii interpretorului "BASIC" (studiata in colaborare [M19] de catre autor) se pune in special atunci cind este necesar ca anumite subrutine in cod masina sa fie folosite frecvent iar forma "clasica":

```
[[POKE <adresa>,<parametru>:]] RANDOMIZE USR <adresa_start>
```

ar dauna asupra vitezei de introducere a textului "BASIC", precum si claritatii/elegantei acestuia.

In vasta biblioteca de "software" a calculatoarelor compatibile "SPECTRUM", exista deja cteva programe utilitare care realizeaza extinderea interpretorului "BASIC" (ex: "BLAST COMPILER", "COLT COMPILER", "BASIC EXTENDU", "BETA BASIC", s.a.m.d.).

Prezentul subcapitol isi propune sa descrie o noua metoda de extindere a interpretorului "BASIC" si sa o aplicie unui caz concret, oferind o metoda de sporire a posibilitatilor grafice

la calculatoarele compatibile "SPECTRUM", prin DUBLAREA REZOLUTIEI la copierea pe imprimanta a memoriei video.

7.3.1. Interpretorul "BASIC"

La calculatoarele compatibile "SPECTRUM", conform [V5] si [L3], modul de functionare al interpretorului "BASIC" este urmatorul:

- Utilizatorul introduce de la tastatura o "tentativa" de linie "BASIC" in zona de editare (care incepe la adresa data de variabila de sistem "E_LINE" (23641)). Aceasta este afisata in partea de jos a ecranului cu cuvintele cheie tiparite in forma lor literală.
- Tastind "ENTER" (ASCII 13), se semnaleaza sfirsitul liniei si se trece la verificarea ei sintactica.
- DACA sintaxa liniei este corecta, ATUNCI ea este copiata din zona de editare in zona de program "BASIC" (care incepe la adresa data de variabila de sistem "PROG" (23635)) corespunzator numarului de linie, SAU daca acesta lipseste, se executa linia a si o comanda imediata. De asemenea, in aceasta faza are loc evaluarea constantelor numerice care in zona de program apar a insuruirea de coduri "ASCII" corespunzatoare cifrelor constantei urmata de codul de control (ASCII 14) si de cinci octeti care formeaza reprezentarea in virgula flotanta a constantei.
- ALTFEL, linia este afisata din nou in partea de jos a ecranului (consola) dar cu markerul de eroare ("?"-pilpitor) indicind locul unde a fost detectata eroarea. Adresa caracterului de dupa markerul de eroare este data de variabila de sistem "XPTR" (23647).
- Odata ce a fost introdus, un program "BASIC" poate fi lansat in executie, fapt semnalizat de starea bitului 7 din variabila de sistem "FLAGS" (23611). Acest al saptelea bit este setat pentru verificarea sintactica si setat pentru linia in executie.
- Din punct de vedere soft, cele doua etape sunt partial separate. Mecanismul este oarecum redundant deoarece verificarea sintactica se face si la rularea programului. In acest caz:

- DACA sintaxa unei instructiuni este corecta, ATUNCI se evalueaza si valoarea (nu doar tipul) expresiilor care dau parametrii instructiunii (daca exista) si se executa subrutina de comanda a instructiunii. Apoi se trece la interpretarea urmatoarei instructiuni.

- ALTFEL, interpretorul detecteaza o eroare de tip "NONSENSE IN BASIC" (codul erorii se gaseste in variabila de sistem "ERRNR" (23610)), iar programul se opreste, revenindu-se in modul de editare. Modul de editare este semnalat de bitul 5 din variabila de sistem "FLAGX" (23665). Acest al cincilea bit este resetat pentru modul de editare si setat pentru modul "INPUT".

Atit la verificarea sintactica cit si in executie, detectarea unei erori a instructiunii din programul "BASIC", duce la o secventa de tipul:

```
RST #08 ; subrutina de tratare a erorilor "BASIC"
DEFB <cod_eroare>
```

Aceasta subrutina face ca stiva masinii sa fie incarcata cu valoarea continuta in variabila de sistem "ERRSP" (23613), iar variabila de sistem "ERRNR" (23610), cu codul erorii. In acest moment, pe stiva se afla o adresa care este intotdeauna "#1303" cand subrutina de tratare a erorii a fost chemata din timpul executiei. Aceasta subrutina poate fi apelata din editor sau din analizorul sintactic, caz in care pe stiva se vor gasi alte valori. Subrutina de tratare a erorii se termina cu un "RET" care dupa cum se stie face ca registrul "PC" sa fie incarcat cu adresa luata de pe stiva (deci programul continua de la adresa respectiva).

Pentru a permite intelegera paragrafelor care urmeaza este necesar sa se mai aminteasca:

- In general, linia este parcursa cu ajutorul subrutinelor "GET_CH" (RST #18) si "NXT_CH" (RST #20), iar adresa caracterului curent este inmagazinata in variabila de sistem "CHRADD" (23645).

- Numarul liniei aflate in executie, este retinut de variabila de sistem "PPC" (23621), iar cel al instructiunii curente din cadrul liniei, in variabila de sistem "SUBPPC" (23623).

7.3.2. Metode cunoscute pentru extinderea interpretorului "BASIC"

Noile instructiuni din "extensie" vor fi private de interpretorul "BASIC" ca erori de tipul "NONSENSE IN BASIC". Aceste erori trebuie interceptate si cercetate pentru a putea determina daca sunt erori propriuzise sau sunt extensiile de "BASIC". In acest ultim caz extensiile de "BASIC" trebuie verificate sintactic (conform sintaxei impuse de utilizator), iar in executie trebuie chemate subrutinile de comanda a extensiilor (bineintele, tot scrise de utilizator). In final, controlul trebuie redat interpretorului "BASIC" pentru a prelua instructiunea urmatoare.

Din studiul unor programe utilitare care realizeaza extinderea interpretorului "BASIC", s-au retinut urmatoarele metode:

Interpretorul "BASIC EXTENDU" al firmei "ERE INFORMATIQUE", propune o metoda foarte eleganta de interceptare a erorilor de tip "NONSENSE IN BASIC". Modificind corespunzator valoarea din "ERRSP" se pot intercepta orice erori. Erorile "veritabile" sunt tratate in modul obisnuit. Daca sunt indeplinite anumite conditii (ex: utilizatorul este in faza de editare, lungimea zonei de editare este nula, ultima tasta apasata a fost "ENTER", etc.) si functie de starea bitului 7 din "FLAGS", se poate face o discutie care sa duca la tratarea corespunzatoare a noilor instructiuni. O problema destul de dificila, rezolvata cu succes de programatorii firmei "ERE INFORMATIQUE" consta in "aranjarea" corecta a pozitiei si structurii stivei, astfel incit erorile sa fie "deviate" intotdeauna la subrutina de selectare si discutie. Problema este dificila din cauza ca mecanismul de tratare al erorilor lucreaza cu stiva necompensata (nu se pun pe stiva un numar egal de octeti cu cei preluati) iar "ERRSP" puncteaza de regula in virful memoriei (uzual RAMTOP-2).

Sintaxa noilor instructiuni este de tipul:

```
<numar_linie> ! <instructiune> [{<parametru>},]
```

Verificarea sintactica se face atit dupa editare cit si la urmare. Sunt permise mai multe instructiuni pe aceeasi linie separate de ":". Daca sintaxa este corecta din punctul de vedere

al extensiilor, se renunta la caracterul "!" (nu mai apare in zona de program). Noile instructiuni se tasteaza litera cu litera. Dezavantajul principal al metodei consta in discutia extrem de complicata care permite decelarea erorilor fata de extensii. Aceasta duce la o scadere de viteza cind se executa programul in general, nu numai in cazul extensiilor.

Compilatorul "COLT COMPILER" al firmei "HISOFT", conform [x25], si interpretorul "BETA BASIC" al firmei "BETASOFT", conform [x26], se folosesc tot de "ERRSP" pentru devierea tratarii erorii la iesirea din subrutina de la "RST #08", in schimb eroarea din perioada de executie este detectata mult mai simplu. La adresa "#1303" (pe care puncteaza in executie valoarea din "ERRSP") se afla instructiunea "HALT". Aceasta are ca efect oprirea microprocesorului pina la aparitia unei cereri de intrerupere. In mod normal, calculatorul "SPECTRUM" in microprocesor sau de tip "Z 80" trateaza intreruperea in modul "IM 1" care duce la un restart la adresa "#38" unde se realizeaza scanarea tastaturii si incrementarea valorii din "FRAMES" (23768) pentru ceasul de timp real. Cererea de intrerupere este generata de "ULA" la fiecare 20 msec. sincron cu generarea impulsului de sincronizare cadre din semnalul video. Microprocesorul "Z80" permite, conform [W3], si un mod mult mai "puternic" de intrerupere, "IM 2", in care adresa subrutinei de tratare a intreruperii se gaseste la adresa determinata prin concatenarea registrului "I" (partea semnificativa) cu magistrala de date. Daca vectorizarea tratarii intreruperii se face in "RAM", avem un instrument foarte puternic de interceptare a erorii. Decelarea erorilor de extensii se face mult mai simplu si mai rapid decit in cazul precedent. Deoarece calculatorului "SPECTRUM" ii pot fi atasate la "EXPANSION PORT" dispozitive diverse si deoarece unele din acestea nu decodifica corect semnalele de comanda (in favoarea similitatii), continutul magistralei de date in momentul cererii de intrerupere nu poate fi stabilit (de regula el este "#FF"). In acest caz se foloseste o tabela de adrese care face ca subrutina de tratare a intreruperii sa fie independenta de partea nesemnificativa a adresei vectorului. Extinderea interpretorului "BETA BASIC" se face pe baza metodei expuse, inca intr-un mod mult mai complet. In cazul compilatorului "COLT", documentatia acestuia descrie o modalitate de

introducere a unor noi instructiuni, de catre utilizator, pe
aza aceleiasi metode.

Compilatorul "BLAST COMPILER" al firmei "O.C.S.S.", conform
[L4], isi propune sa extinda interpretorul "BASIC" cu cteva
instructiuni, sub forma unor instructiuni speciale de tip "REM"
ex: "REM%", "REM!", "REM&"). Unele dintre extensii sunt
directive ale compilatorului, alttele, extensii de "BASIC".
Metoda este mai simpla dar mai putin eleganta si se bazeaza pe
modificarea subroutinei de comanda a instructiunii "REM".

.3.3. O noua metoda de extindere a interpretorului "BASIC"

Utilizarea interfetei de tip serial "ZX INTERFACE 1",
conform [L4], permite o foarte simpla extindere a
interpretorului "BASIC", bazata pe o trasatura a "SHADOW
ROM"-ului (cei 8 k "ROM" ai interfetei) care in scopul
executarii noilor instructiuni pentru "MICRODRIVE" (unitatea de
memorie pe microcasete), pentru interfata seriala propriuza
RS232 si pentru "LOCAL AREA NETWORK" (retea de calculatoare),
intercepteaza in modul "HARD" (!!!) erorile care conduc la un
"fetch" de la adresa "#0008". Dupa decelarea erorilor
propriuza de instructiunile noi specifice interfetei, are loc
evenirea la interpretorul "BASIC" din "ROM"-ul de baza prin
intermediul noii variabile de sistem "VECTOR" (23735) care in
normal contine o adresa din "ROM" (#0IFO). Alterind aceasta
adresa se poate forta trecerea la subroutinele utilizatorului
care realizeaza binecunoscuta separare a erorilor de extensii.
Utilizatorul trebuie sa prevada un modul de verificare
intactica si un modul care contine subroutinele de comanda a
noilor instructiuni.

Elementul de noutate al acestei ultime metode il constituie
modificarea subroutinei "MAIN EXECUTION" (#12A2 ... #15AE). Acest
scru a fost posibil deoarece aceasta subroutine nu este apelata
direct de la secventa de initializare si astfel a putut fi
locata in "RAM". Aceasta metoda permite dezvoltarea
unui nou SISTEM DE OPERARE.

Punctul de plecare al acestei versiuni a fost eliminarea
dandantei date de verificarea sintactica. In acest context,

interpretorul permite introducerea oricarui text "BASIC", ignorind detectarea unei erori. La executie, erorile sunt interceptate prin tratarea intreruperii in "IM 2". Aici se realizeaza o discutie care separa erorile de extensii. Extensiile dă erori de tipul "NONSENSE IN BASIC".

Totusi, in aceasta versiune este prezent un compromis. Astfel, utilizatorul este avertizat in momentul in care incearca sa introduca o linie incorecta din punctul de vedere al "Sinclair BASIC"-ului.

Sintaxa noilor instructiuni este de forma:

```
| <numar_linie> * <cuvint_cheie> [{parametru,}]
```

Avantajele acestei extensii a interpretorului "BASIC" sint:

- Elimina (mai exact evita) redundanta. Verificarea sintactica se face si la introducerea "liniei tentativa" dar detectarea unei erori nu poate opri transferarea liniei in zona de program.

- Este compatibila 100 % cu interpretorul "BASIC".
- Scade riscul iesirii accidentale din modul de extensie.
- Separarea erorilor de extensii este foarte rapida.
- Este quasiindependenta de perifericul atasat la

"EXPANSION PORT"

Dezavantajele aceleiasi extensii sint:

- In versiunea curenta exista inca limitari, iar responsabilitatea introducerii corecte a noilor instructiuni, revine in intregime utilizatorului.
- Probabil numele noilor instructiuni nu reflecta pe deplin functiile lor (fapt intilnit si la alte extensii).
- In scopul folosirii memoriei ramase pentru programul "BASIC" in aplicatii mai ample, s-a renuntat la utilizarea atributelor de culoare.

Metoda noua prin care s-a extins interpretorul "BASIC" consta in urmatoarele:

Se genereaza tabela de vectorizare a intreruperii in "IM 2" si se stabileste acest mod de intrerupere (subrutina "EXTON").

Saltul neconditionat la "INIT" determina afisarea mesajului de "copyright" si intrarea in propria subrutina de "MAIN EXECUTION" cu pozitionarea corecta a stivei si a "ERRSP"-ului.

Noua subrutina "MAIN EXECUTION" functioneaza astfel: dupa

```

100 *****
110 * BASIC EXTENSIONS VBS *
120 *****
130 BEEPER EQU 949
140 BORDER EQU 23624
150 CHRADD EQU 23645
160 ENDMSG EQU 160
170 ERRNR EQU 23610
180 ERSP EQU 23613
190 FP BC EQU #2DA2
200 GET CH EQU #18
210 GOTO EQU 7786
220 INTI EQU #33
230 MAIN I EQU #12A9
240 NXI CH EQU #20
250 PO MSG EQU #00CA
260 PFC EQU 23621
270 RAMTOP EQU 23730
280 SCAN EQU #24FB
290 SCLEN EQU 6144
300 STM3G EQU #80
310 STRET EQU 7030
320 XMAX EQU 511
330 YMAX EQU 383
340 *****
350 ORG #FFD0
360 JP INT2
370 *****
380 ORG #8000
390 S1 DEFS SCLEN
400 S2 DEFS SCLEN
410 S3 DEFS SCLEN
420 S4 DEFS SCLEN
430 *****
440 ORG 60000
450 ENT $
460 *****
470 START CALL EXTON
480 JP INIT
490 *****
500 EXTON LD HL,#FEO0
510 LD BC,#00FD
520 EX LD (HL),C
530 INC HL
540 DNZ EX
550 LD (HL),C
560 LD 2,#FE
570 LD I,A
580 IM 2
590 EI
600 RET
610 *****
620 EXTOFF LD A,#3E
630 IM 1
640 LD I,A
650 EI
660 RET
670 *****
680 ;VARIABLE DE PROGRAM
690 *****
700 RETAD DEFW 0
710 Y DEFW 0
720 X DEFW 0
730 YC DEFW 0
740 XC DEFW 0
750 NEWSN DEFW 0
760 OLDSN DEFB 0
770 BUFL DEFB 0,0,0,0,0,0
780 CYRMSG DEFB STM3G,127
790 DEFN "1988 OMM & VB
S 4SCREEN$ V1.0"
800 DEFN ENDMSG
810 WRNMSG DEFN STM3G
820 DEFN "WARNING EXTEN
SION ASSUMED !"
830 DEFN ENDMSG
840 *****
850 INT2 EX (SP),HL
860 LD (RETAD),HL
870 EX (SP),HL
880 PUSH AF
890 PUSH BC
900 PUSH DE
910 PUSH HL
920 RST INT1
930 DI
940 CALL ERROR
950 POP HL
960 POP DE
970 POP BC
980 POP AF
990 EI
1000 RET
1010 *****
1020 ERROR LD HL,(RETAD)
1030 LD DE,L1303+1
1040 OR A
1050 SBC HL,DE
1060 RET NZ ;NO RTERROR
1070 *****
1080 RTERR LD A,(ERRNR)
1090 CP #0B ;NONSENSE
1100 IN BASIC
1110 RET NZ ;TRUE ERROR
1120 NIB LD HL,(CHRADD)
1130 DEC HL
1140 LD (CHRADD),HL
1150 RST GET CH
1160 CP "*"
1170 RET NZ ;TRUE NIB E
1180 RROR
1190 MYERR CALL MYCOM
1200 *****
1210 LD HL,(ERRSP)
1220 LD SP,HL
1230 LD DE,L1303
1240 LD (HL),E
1250 DEC HL
1260 LD (HL),D
1270 LD HL,STRET
1280 PUSH HL
1290 LD (IY+0),#FF
1300 ;EROARE ANULATA
1310 LD BC,(PPC)
1320 INC BC
1330 EI
1340 JP GOTO
1350 *****
1360 INIT LD HL,(RAMTOP)
1370 LD (HL),#3E
1380 DEC HL
1390 LD SP,HL
1400 DEC HL
1410 DEC HL
1420 LD (ERRSP),HL
1430 CALL CLS1
1440 CALL CLS2
1450 CALL CLS3
1460 CALL CLS4
1470 CALL SQR
1480 LD DE,CYRMSG
1490 XOR A
1500 CALL PO MSG
1510 SET 5,(IY+2);TVFL
1520 JR L12A9
1530 L12A2 LD (IY+49),#02
1540 CALL #1795
1550 L12A9 CALL #1680
1560 L12AC LD A,#00
1570 CALL #1601
1580 CALL #0F20
1590 CALL #1B17
1600 BIT 7,(IY+0)
1610 CALL Z,WARN
1620 LD (IY+0),#FF
1630 ;EROARE ANULATA
1640 BIT 7,(IY+0)
1650 JR NZ,L12CF
1660 BIT 4,(IY+48)
1670 JR Z,L1303
1680 LD HL,(#5C59)
1690 CALL #11A7
1700 LD (IY+0),#FF
1710 JR L12AC
1720 L12CF LD HL,(#5C59)
1730 LD (#5C5D),HL
1740 CALL #19FB
1750 LD A,B
1760 OR C
1770 JP NZ,L155D
1780 RST #18
1790 CP #0D
1800 JR Z,L12A2
1810 BIT 0,(IY+48)
1820 CALL NZ,#0DAF
1830 CALL #0D5E
1840 LD A,#19
1850 SUB (IY+79)
1860 LD (#5C8C),A
1870 SET 7,(IY+1)
1880 LD (IY+0),#FF
1890 LD (IY+10),#01
1900 CALL #1B3A
1910 L1303 HALT
1920 RES 5,(IY+1)
1930 BIT 1,(IY+48)
1940 CALL NZ,#0ECD
1950 LD A,(#5C3A)
1960 INC A
1970 L1313 PUSH AF
1980 LD HL,#0000
1990 LD (IY+55),H
2000 LD (IY+38),H
2010 LD (#5C0B),HL
2020 LD HL,#0001
2030 LD (#5C16),HL
2040 CALL #1680
2050 RES 5,(IY+55)
2060 CALL #0D5E
2070 SET 5,(IY+2)
2080 POP AF
2090 LD B,A
2100 CP #0A
2110 JR C,L133C
2120 ADD A,#07
2130 L133C CALL #15EF
2140 LD A,#20
2150 RST #10
2160 LD A,B
2170 LD DE,#1391
2180 CALL #00CA
2190 CALL #3B3B
2200 NOP
2210 CALL #00CA
2220 LD BC,(#5C45)
2230 CALL #1A1B
2240 LD A,#2F
2250 RST #10
2260 LD C,(IY+13)
2270 LD B,#00
2280 CALL #1A1B
2290 CALL #1097
2300 LD A,(#5C3A)
2310 INC A
2320 JR Z,L1386
2330 CP #09
2340 JR Z,L1373
2350 CP #15
2360 JR NZ,L1376
2370 L1373 INC (IY+13)
2380 L1376 LD BC,#0003
2390 LD DE,#5C70
2400 LD HL,#5C44
2410 BIT 7,(IY+10)
2420 JR Z,L1384
2430 ADD HL,BC

```

verificarea sintactica, daca a fost detectata o eroare, aceasta se anuleaza iar anularea este semnalizata acustic si printr-un mesaj de avertizare.

In modul de executie, instructiunea "HALT" de la "L1303" (atentie, eticheta, nu valoare absoluta) duce la asteptarea intreruperii.

Subrutina de tratare a intreruperii ("EXST") realizeaza discutia care identifica noile instructiuni ("CALL ERROR") dupa ce in prealabil a apelat tratarea standard a intreruperii de la "#38".

Discutia de identificare se face in urmatoarea succesiune:

- Daca intreruperea provine de la "HALT"-ul de la "L1303", inseamna ca a fost detectata o eroare in timpul executiei si in acest caz se verifica daca este o eroare de tip "NONSENSE IN BASIC".

- Daca este o eroare de alt tip, tratarea ei se lasa in seama interpretorului "BASIC".

- Daca eroarea este de tip "NONSENSE IN BASIC" si primul caracter din linie este caracterul "*", se anuleaza eroarea in "ERRNR" si se cerceteaza lista noilor instructiuni ("MYCOM"). Daca se depaseste capatul listei, se genereaza o eroare de tip "NONSENSE IN BASIC". Pozitionarea instructiunilor in lista a fost facuta dupa frecventa estimata a utilizarii lor (in scopul crestierii vitezei de lucru).

- Cind a fost identificata o noua instructiune, se apeleaza subrutina de comanda a acesteia. Subrutina, realizeaza preluarea parametrilor, verificindu-le numarul, tipul si intervalul de valori permise. Daca verificarile mentionate dau gres, se genereaza mesaje de eroare corespunzatoare (tipic "NONSENSE IN BASIC" si "INTEGER OUT OF RANGE").

- Dupa executia subrutinei de comanda se trece la interpretarea liniei urmatoare ("JP GOTO" (7786)).

- Este necesar sa se specifica ca exista unele constringeri care sunt limitari ale versiunii curente si nu limitari ale metodei. Versiuni ulterioare pot elimina aceste "neajunsuri":

- Parametrii unei instructiuni noi nu pot fi constante numerice. Aceasta limitare este datorata faptului ca trecerea unei linii in zona de program nu este precedata de adaugarea unei formei in virgula flotanta a constantelor numerice in cazul cind linia este incorecta pentru "Sinclair BASIC". Se poate folosi

2440	L1384	LDDR	3240	RST NXT CH	4040	*****
2450	L1384	LD (IY+10),#FF	3250	CALL SCAN	4050	CORCUR LD A,(X)
2450		RES 3,(IY+1)	3260	CALL FP BC	4060	LD (XC),A
2470		JP L12AC	3270	LD HL,YMAX	4070	LD HE,(Y)
2480	L1550	LD (#5C49),BC	3280	OR A	4080	LD JE,192
2490		LD HL,(#5C5D)	3290	SBC HL,BC	4090	OR A
2500		EX DE,HL	3300	LD (Y),HL	4100	SBC HL,DE
2510		LD HL,#1555	3310	CALL NRSC	4110	JP NC,COCU1
2520	PUSH HL		3320	CALL CORCUR	4120	LD A,(Y)
2530	LD HL,(#5C61)		3330	LD A,(NEWSN)	4130	LD (YC),A
2540	SCF		3340	LD HL,OLDSN	4140	RET
2550	SBC HL,DE		3350	CP (HL)	4150	COCU1 LD A,L
2560	PUSH HL		3360	JR Z,P2	4160	LD (YC),A
2570	LD H,B		3370	LD A,(OLDSN)	4170	RET
2580	LD L,C		3380	CALL S_TO_M	4180	*****
2590	CALL #196E		3390	LD A,(NEWSN)	4190	S_TO_M PUSH BC
2600	JR NZ,L1570		3400	LD (OLDSN),A	4200	PUSH DE
2610	CALL #1988		3410	CALL M_TO_S	4210	PUSH HL
2620	CALL #19E8		3420 P2	LD DE,(TC)	4220	CALL PUTBAK
2630	L1570	POP BC	3430	CALL PLUTEX	4230	LDIR
2640		LD A,C	3440	RET	4240	POP HL
2650	DEC A		3450	*****	4250	POP DE
2660	OR B		3460	WARN LD A,(BORDCR)	4260	POP BC
2670	JR Z,L15AB		3470	CPL	4270	RET
2680	PUSH BC		3480	LD (BORDCR),A	4280	*****
2690	INC BC		3490	LD DE,WRNNSG	4290	M_TO_S PUSH BC
2700	INC BC		3500	XOR A	4300	PUSH DE
2710	INC BC		3510	CALL PD_MSG	4310	PUSH HL
2720	INC BC		3520	LD HL,1200	4320	CALL PUTBAK
2730	DEC HL		3530	LD DE,300	4330	EX DE,HL
2740	LD DE,(#5C53)		3540	CALL BEEPER	4340	LDIR
2750	PUSH DE		3550	LD A,(BORDCR)	4350	POP HL
2760	CALL #1655		3560	CPL	4360	POP DE
2770	POP HL		3570	LD (BORDCR),A	4370	POP BC
2780	LD (#5C53),HL		3580	AND %00111000	4380	RET
2790	POP BC		3590	RRCA	4390	*****
2800	PUSH BC		3600	RRCA	4400	PUTBAK CP 1
2810	INC DE		3610	RRCA	4410	JP Z,PB1
2820	LD HL,(#5C61)		3620	OUT (254),A	4420	CP Z
2830	DEC HL		3630	RET	4430	JP Z,PB2
2840	DEC HL		3640	*****	4440	CP Z
2850	LDDR		3650	IAOR RST 8	4450	JP Z,PB3
2860	LD HL,(#5C49)		3660	DEFB #0A	4460	LD DE,\$4
2870	EX DE,HL		3670	*****	4470	JP PBK
2880	POP BC		3680	NRSC LD A,(X+1)	4480	PB3 LD DE,\$3
2890	LD (HL),B		3690	CP 1	4490	JP PBK
2900	DEC HL		3700	JR Z,SC24	4500	PB2 LD DE,\$2
2910	LD (HL),C		3710	JP NC,IAOR	4510	JP PBK
2920	DEC HL		3720 SC13	LD HL,(Y)	4520	PB1 LD DE,\$1
2930	LD (HL),E		3730	LD DE,YMAX+1	4530	PBK LD HL,16384
2940	DEC HL		3740	OR A	4540	LD BC,SCLEN
2950	LD (HL),D		3750	SBC HL,DE	4550	RET
2960	L15AB	POP AF	3760	JP NC,IAOR	4560	*****
2970	JP L12A2		3770	LD HL,(Y)	4570	PLUTEX PUSH AF
2980	*****		3780	LD DE,192	4580	PUSH BC
2990	MYCOM EI	RST NXT CH	3790	OR A	4590	PUSH DE
3000		CP #A9	3800	SBC HL,DE	4600	PUSH HL
3010		JP Z,POINT	3810	JP NC,SC3	4610	LD L,D
3020		CP #D4	3820 SC1	LD A,1	4620	SRL L
3040		JP Z,CLOSE	3830	LD (NEWSN),A	4630	SRL L
3050		CP #AA	3840	RET	4640	SRL L
3060		JP Z,SCRNS	3850 SC3	LD A,3	4650	LD A,E
3070		CP #D2	3860	LD (NEWSN),A	4660	SLA A
3080		JP Z,ERASE	3870	RET	4670	SLA A
3090		CP #DA	3880 SC24	LD HL,(Y)	4680	AND %11100000
3100		JP Z,PAPER	3890	LD DE,YMAX+1	4690	OR L
3110		CP #D1	3900	OR A	4700	LD L,A
3120		JP Z,MOVE	3910	SBC HL,DE	4710	LD A,E
3130		CP #E2	3920	JR NC,IAOR	4720	SRL A
3140		JP Z,STOP	3930	LD HL,(Y)	4730	SRL A
3150		CP #BB	3940	LD DE,192	4740	SRL A
3160		JP Z,SOR	3950	OR A	4750	AND %00011000
3170		RST #8	3960	SBC HL,DE	4760	OR %01000000
3180		DEFB #0B	3970	JP NC,SC4	4770	LD H,A
3190	*****		3980 SC2	LD A,2	4780	LD A,E
3200	POINT	RST NXT CH	3990	LD (NEWSN),A	4790	AND %00000111
3210		CALL SCAN	4000	RET	4800	OR H
3220		CALL FP BC	4010 SC4	LD A,4	4810	LD H,A
3230		LD (X),BC	4020	LD (NEWSN),A	4820	LD A,D
			4030	RET	4830	AND %00001111

artificiul:

```
const_numerica = VAL "const_numerica"
```

ATENTIUNE ! In expresii complicate functia "VAL" poate da surprize ("BUG"-uri din "ROM"-ul calculatorului "Sinclair SPECTRUM").

- Noile instructiuni nu pot fi urmate de alte instructiuni pe aceeasi linie. Motivul este o simplificare care face ca dupa executia unei instructiuni noi, sa se treaca la interpretarea liniei urmatoare, fara a mai verifica prezenata separatorului ":".

- Noile instructiuni nu pot fi date ca si comenzi deoarece nu a fost prevazuta o ramura care sa tina cont de aceasta posibilitate.

- Daca se foloseste o interfata de tip serial "ZX 1 INTERFACE" cu numar de serie mai mare decit 87316, ultima instructiune din program trebuie sa fie o instructiune "normala" (nu o extensie). Altfel, se paraseste modul de extindere intrindu-se in subrutina "MAIN EXECUTION" din "ROM". De asemenea, orice eroare specifica interfetei "ZX 1 INTERFACE" are acelasi efect. Cauzele posibile trebuie cautate in sistemul de operare al interfetei. Remedierea acestui neajuns se face relansind modul de extensie cu "RANDOMIZE USR 6E4".

7.3.4. Aplicarea noii extensii "BASIC" la cresterea rezolutiei

Aplicarea practica a metodei descrise mai sus pentru a extinde interpretorul "BASIC", s-a facut pentru "ameliorarea" posibilitatilor grafice ale microsistemuilui avut la dispozitie.

In studiul curbelor de sinteza pozitionala a mecanismelor cu bare, s-a facut simtita nevoia (conform subcap.7.2) unei rezolutii grafice superioare celei oferite de calculatorul "SPECTRUM" standard (256*192 pixeli). Deoarece memoria alocata paginii video are o structura fixa (de la "#4000" cu o lungime de 6 kbytes, exluzind atributele de culoare), a fost necesara rezervarea unei zone de patru ori mai mare incepand de la adresa "#8000". In acest mod, "RAMTOP"-ul a fost fixat la adresa ~~#8000~~.

```

4840 LD B,A
4850 INC B
4855 XOR A
4860 SCF
4860 PLEX1 RRA
4870 DJNZ PLEX1
4900 OR (HL)
4910 LD (HL),A
4920 POP HL
4930 POF DE
4940 POP BC
4950 POF AF
4960 RET
4970 ****
4980 CLOSE LD A,(NEWSN)
4990 CALL S_TO_M
5000 RET
5010 ****
5020 SCRNS LD A,(NEWSN)
5030 LD (OLDSN),A
5040 RST NXT CH
5050 CALL SCAN
5060 CALL FP BC
5070 CALL TESTSN
5080 LD (NEWSN),A
5090 CALL M_TO_S
5100 RET
5110 ****
5120 ERASE RST NXT CH
5130 CALL SCAN
5140 CALL FP BC
5150 CALL TESTSN
5160 CP 1
5170 JR Z,CLS1
5180 CP 2
5190 JR Z,CLS2
5200 CP 3
5210 JR Z,CLS3
5220 CLS4 LD HL,$4
5230 JR ER1
5240 CLS3 LD HL,$3
5250 JR ER1
5260 CLS2 LD HL,$2
5270 JR ER1
5280 CLS1 LD HL,$1
5290 ER1 XOR A
5300 LD (HL),A
5310 LD D,H
5320 LD E,L
5330 INC DE
5340 LD BC,SCLEN
5350 LDIR
5360 RET
5370 ****
5380 PAPER RST NXT CH
5390 CALL SCAN
5400 CALL FP BC
5410 JP C,IAOR
5420 OR A
5430 JP Z,IAOR
5440 CP 3
5450 JP NC,IAOR
5460 CP 2
5470 JP Z,PAP_S2
5480 ;
5490 PAP_S1 CALL IN_MG
5500 LD E,0
5510 LD B,32
5520 PUSH BC
5530 LD A,1
5540 CALL M_TO_S
5550 CALL TRL
5560 LD A,2
5570 CALL M_TO_S
5580 CALL TRL
5590 CALL SND_NL
5600 POP BC
5610 LD A,E
5620 ADD A,S
5630 LD E,A
5640 DJNZ PAP1
5650 ;
5660 LD E,0
5670 LD B,32
5680 PAP2 PUSH BC
5690 LD A,3
5700 CALL M_TO_S
5710 CALL TRL
5720 LD A,4
5730 CALL M_TO_S
5740 CALL TRL
5750 CALL SND_NL
5760 POP BC
5770 LD A,E
5780 ADD A,S
5790 LD E,A
5800 DJNZ PAP2
5810 CALL IES_MG
5820 RET
5830 ;
5840 TRL LD B,0
5850 LD B,32
5860 TRL1 PUSH BC
5870 CALL FILBUF
5880 CALL SNDBUF
5890 POP BC
5900 LD A,D
5910 ADD A,S
5920 LD D,A
5930 DJNZ TRL1
5940 RET
5950 ;
5960 FILBUF PUSH DE
5970 LD HL,BUF1
5980 LD B,6
5990 FLB1 PUSH HL
6000 CALL ADR_2
6010 LD A,(HL)
6020 POP HL
6030 LD (HL),A
6040 INC HL
6050 INC E
6060 DJNZ FLB1
6070 POP DE
6080 RET
6090 ;
6100 SNDBUF LD B,8
6110 SDB2 PUSH BC
6120 LD HL,BUF1
6130 LD B,6
6140 SDB1 RL (HL)
6150 RR C
6160 INC HL
6170 DJNZ SDB1
6180 SRL C
6190 SRL C
6200 LD A,C
6210 OR Z,11100000
6220 CALL SND_A
6230 POP BC
6240 DJNZ SDB2
6250 RET
6260 ;
6270 ****
6280 ADR_2 PUSH AF
6290 LD L,D
6300 SRL L
6310 SRL L
6320 SRL L
6330 LD A,E
6340 SLA A
6350 SLA A
6360 AND Z,11100000
6370 OR L
6380 LD L,A
6390 LD A,E
6400 SRL A
6410 SRL A
6420 SRL A
6430 AND Z,00011000
6440 OR %01000000
6450 LD H,A
6460 LD A,E
6470 AND Z,00000111
6480 OR H
6490 LD H,A
6500 POP AF
6510 RET
6520 ****
6530 IN_MG LD A,#1B
6540 CALL SND_A
6550 LD A,#47
6560 CALL SND_A
6570 RET
6580 ****
6590 IES_MG LD A,#2D
6600 CALL SND_A
6610 RET
6620 ****
6630 SND_NL LD A,#2F
6640 CALL SND_A
6650 RET
6660 ****
6670 SND_A PUSH AF
6680 - PUSH BC
6690 PUSH DE
6700 PUSH HL
6710 EXX
6720 PUSH HL
6730 EXX
6740 DI
6750 RST 8
6760 DEF8 #1E
6770 EI
6780 EXX
6790 POP HL
6800 EXX
6810 POP HL
6820 PGP DE
6830 POP BC
6840 POP 4F
6850 RET
6860 ****
6870 MOVE CALL NXT CH
6880 CALL SCAN
6890 CALL FP BC
6900 CALL TESTSN
6910 CALL S_TO_M
6920 RET
6930 ****
6940 TESTSN JP C,IAOR
6950 OR A
6960 JP Z,IAOR
6970 CP 5
6980 JP NC,IAOR
6990 RET
7000 ****
7010 STOP CALL EXITOFF
7020 LD HL,(RANTOP)
7030 LD (HL),#3E
7040 DEC HL
7050 LD SP,HL
7060 DEC HL
7070 DEC HL
7080 LD (ERRSP),HL
7090 JP MAIN_1
7100 ****
7110 SGR PUSH BC
7120 PUSH HL
7130 LD HL,$1
7140 LD A,255
7150 LD (HL),A
7160 LD B,7
7170 SOR1 LD A,128
7180 INC H
7190 OR (HL)
7200 LD (HL),A
7210 DJNZ SOR1
7220 :
7230 LD HL,$2+31

```

"#8000", calculatorul "SPECTRUM" comportindu-se astfel ca o "masina" de calcul in configuratia cu 16 kbytes "RAM". Partea superioara a memoriei a fost rezervata subrutinelor de extindere si comanda.

Ecranul propriu-zis este folosit ca o fereastra care se "comuta" (automat) in "zona de interes".

Instructiunile noi (ale extensiei) sint:

* POINT <x>,<y>

unde "0<=x<=511" si "0<=y<=383". Aceasta instructiune seteaza un pixel la coordonatele "x,y". Sistemul de coordinate este la fel orientat cu cel al calculatorului "SPECTRUM".

* CLOSE #

Comutarea automata intre ecrane se face doar cind noul pixel care trebuie setat, se afla in alt ecran decit cel curent. Astfel dupa ultima operatie de "plotare" ecranul curent trebuie "fixat" in zona corespunzatoare de memorie. Este tocmai ceea ce realizeaza aceasta instructiune.

* ERASE <numar_ecran>

unde "1<=numar_ecran<=4". Aceasta instructiune sterge ecranul indicat de parametrul intreg "numar_ecran".

* SCREEN\$ <numar_ecran>

unde "1<=numar_ecran<=4". Aceasta instructiune "afiseaza" pe monitor ecranul indicat de parametrul intreg "numar_ecran".

* MOVE <numar_ecran>

unde "1<=numar_ecran<=4". Aceasta instructiune copiaza continutul ecranului curent, in ecranul indicat de parametrul intreg "numar_ecran". Cu aceasta instructiune, se permite introducerea in imaginea de inalta rezolutie a unor ecrane prelucrate cu un program de grafica. Pozitia relativa a celor patru ecrane este:

7240	LD A,255	8030	CALL SND_NL	8830	RR C
7250	LD (HL),A	8040 ;	LD A,D	8840	SRA C
7260	LD B,7	8050	OR A	8850	LD A,C
7270 SQR2	LD A,1	8060	JP Z,PAP2_5	8860	RRA
7280	INC H	8070		8870	RRA
7290	OR (HL)	8080 ;	LD A,2	8880	OR Z,11000000
7300	LD (HL),A	8090	CALL M TO S	8890	CALL SND_AA
7310	DJNZ SQR2	8100	CALL TRL_T6	8900	INC E
7320 ;		8110	LD A,4	8910	DJNZ PAP2_3
7330	LD HL,S3+SCLEN-32	8120	CALL M TO S	8920	CALL SND_NL
7340	LD A,255	8130	CALL TRL_T6	8930 ;	
7350	LD (HL),A	8140	CALL SUB03	8940	LD D,253
7360	LD B,7	8150	CALL SND_NL	8950 PAP2_4	LD A,1
7370 SQR3	LD A,128	8160	CALL SND_NL	8960	CALL M TO S
7380	DEC H	8170 ;	LD A,2	8970	CALL TRL_T7
7390	OR (HL)	8180	CALL M TO S	8980	LD A,3
7400	LD (HL),A	8190	CALL TRL_T7	8990	CALL M TO S
7410	DJNZ SQR3	8200	LD A,4	9000	CALL TRL_T7
7420 ;		8210	CALL M TO S	9010	CALL SUB03
7430	LD HL,S4+SCLEN-1	8220	CALL TRL_T7	9020	CALL SND_NL
7440	LD A,255	8230	CALL SUB03	9030 ;	
7450	LD (HL),A	8240	CALL SND_NL	9040	LD A,1
7460	LD B,7	8250	CALL SND_NL	9050	CALL M TO S
7470 SQR4	LD A,1	8260 ;	LD A,2	9060	CALL TRL_T8
7480	DEC H	8270	CALL M TO S	9070	LD A,3
7490	OR (HL)	8280	CALL TRL_T8	9080	CALL M TO S
7500	LD (HL),A	8290	LD A,4	9090	CALL TRL_T8
7510	DJNZ SQR4	8300	CALL M TO S	9100	CALL SUB03
7520	POP HL	8310	CALL TRL_T8	9110 ;	CALL SND_NL
7530	POP BC	8320	CALL SUB03	9120 ;	
7540 ;		8330	CALL SND_NL	9130	LD A,1
7550	RET	8340	CALL SND_NL	9140	CALL M TO S
7560 *****		8350 ;	JP PAP2_1	9150	CALL TRL_T1
7570 PAP_S2 CALL IN NC		8370 ;		9160	LD A,3
7580	LD D,255	8380 PAP2_5	LD B,192	9170	CALL M TO S
7590 ;		8390	LD E,0	9180	CALL TRL_T1
7600 PAP2_1	LD A,2	8400 PAP2_2	LD A,2	9190	CALL SUB03
7610	CALL M TO S	8410	CALL M TO S	9200	CALL SND_NL
7620	CALL TRL_T1	8420	LD D,0	9210 ;	
7630	LD A,4	8430	CALL ADR 2	9220	LD A,1
7640	CALL M TO S	8440	LD A,(HL)	9230	CALL M TO S
7650	CALL TRL_T1	8450	LD C,A	9240	CALL TRL_T2
7660	CALL SUB03	8460	SRA C	9250	LD A,3
7670	CALL SND_NL	8470	LD A,1	9260	CALL M TO S
7680 ;		8480	CALL M TO S	9270	CALL TRL_T2
7690	LD A,2	8490	LD D,255	9280	CALL SUB03
7700	CALL M TO S	8500	CALL ADR 2	9290	CALL SND_NL
7710	CALL TRL_T2	8510	LD A,(HL)	9300 ;	
7720	LD A,4	8520	RRA	9310	LD A,D
7730	CALL M TO S	8530	RR C	9320	CP I
7740	CALL TRL_T2	8540	SRA C	9330	JP Z,PAP2_6
7750	CALL SUB03	8550	RRA	9340 ;	
7760	CALL SND_NL	8560	RR C	9350	LD A,1
7770 ;		8570	SRA C	9360	CALL M TO S
7780	LD A,2	8580	LD A,C	9370	CALL TRL_T3
7790	CALL M TO S	8590	RRA	9380	LD A,3
7800	CALL TRL_T3	8600	RRA	9390	CALL M TO S
7810	LD A,4	8610	OR Z,11000000	9400	CALL TRL_T3
7820	CALL M TO S	8620	CALL SND_AA	9410	CALL SUB03
7830	CALL TRL_T3	8630	INC E	9420	CALL SND_NL
7840	CALL SUB03	8640	DJNZ PAP2_2	9430 ;	
7850	CALL SND_NL	8650	LD B,192	9440	LD A,1
7860 ;		8660	LD E,0	9450	CALL M TO S
7870	LD A,2	8670 PAP2_3	CALL M TO S	9460	CALL TRL_T4
7880	CALL M TO S	8680	LD D,0	9470	LD A,3
7890	CALL TRL_T4	8690	CALL ADR 2	9480	CALL M TO S
7900	LD A,4	8700	LD A,(HL)	9490	CALL TRL_T4
7910	CALL M TO S	8710	LD C,A	9500	CALL SUB03
7920	CALL TRL_T4	8720	SRA C	9510	CALL SND_NL
7930	CALL SUB03	8730	LD A,3	9520 ;	
7940	CALL SND_NL	8740	CALL M TO S	9530	LD A,1
7950 ;		8750	LD A,(HL)	9540	CALL M TO S
7960	LD A,2	8760	LD D,255	9550	CALL TRL_T5
7970	CALL M TO S	8770	CALL ADR 2	9560	LD A,3
7980	CALL TRL_T5	8780	LD A,(HL)	9570	CALL M TO S
7990	LD A,4	8790	RRA	9580	CALL TRL_T5
8000	CALL M TO S	8800	RR C	9590	CALL SUB03
8010	CALL TRL_T5	8810	SRA C	9600	CALL SND_NL
8020	CALL SUB03	8820	RRA	9610 ;	
				9620	LD A,1

```
+----+----+
| 1 | 2 |
+----+----+
| 3 | 4 |
+----+----+
```

* PAPER <scara>

unde "1<=scara<=2". Aceasta instructiune face o copie pe imprimanta, a celor patru ecrane alaturate conform pozitiei relative indicate, la scara specificata de parametrul intreg "scara". Copierea se face pe imprimanta "SCAMP RCD 9335" cu viteza transmiterii de 9600 bps, prin intermediul interfetei seriale "RS 232" din interfata "ZX 1 INTERFACE" (fara care instructiunea nu functioneaza). Se obtine astfel, pe hirtia imprimantei, o imagine de "512*384" puncte la "scara=1" (un pixel de pe ecran este "transpus" intr-un punct pe hirtie) sau "1024*768" puncte la "scara=2" (un pixel de pe ecran este "transpus" in patru puncte alaturate pe hirtie intr-un "careu" cu laturile paralele marginilor formatului).

* SQR

Aceasta instructiune (fara parametrii) are ca efect introducerea unor "coltare" ce permit prin pozitia si orientarea lor, identificarea ecranului curent (écranul in lucru). De asemenea, la copierea pe imprimanta, permite delimitarea imaginii pe o hirtie de format mai mare.

* STOP

Aceasta instructiune determina iesirea din modul de extensie ("EXOFF").

In cele ce urmeaza , se redau cteva programe utile in faza de "testare", succint comentate:

Programul de urmator traseaza graficul functiei sinus evidentind astfel modul de functionare al extensiilor. Instructiunea "* PAPER" nu functioneaza decit daca este atasata interfata "ZX 1 INTERFACE". "STOP"-ul de la linia 150 permite raminerea in modul de extensie.

```

9630    CALL M TO S      10430   LD C,A
9640    CALL TRL_T6      10440   DEC HL
9650    LD A,3          10450   LD A,(HL)
9660    CALL M TO S      10460   RRA
9670    CALL TRL_T6      10470   RR C
9680    CALL SUBD3      10480   RRA
9690    CALL SND_NL      10490   RR C
9700    JP PAP2_4      10500   LD A,C
9710 ; PAP2_6 LD A,1      10510   RLCA
9720 ; CALL M TO S      10520   RLCA
9730 ; CALL TRL_TF      10530   RLCA
9740 ; LD A,3          10540   CALL DOUBLE
9750 ; CALL M TO S      10550   DJNZ TR6
9760 ; CALL TRL_TF      10560   RET
9770 ; 10570 ;
9780 ; CALL SND_NL      10580 TRL_T7 LD B,192
9790 ; CALL IES_MS      10590 LD E,0
9800 ; RET             10600 TR7 CALL ADR 2
9810 ; 10610 LD A,(HL)
9820 TRL_T1 LD B,192  10620 RRCA
9830 LD E,0          10630 RRCA
9840 TR1 CALL ADR 2  10640 CALL DOUBLE
9850 LD A,(HL)      10650 DJNZ TR7
9860 CALL DOUBLE      10660 RET
9870 DJNZ TR1      10670 ;
9880 RET             10680 TRL_T8 LD B,192
9890 ; 10690 LD E,0
9900 TRL_T2 LD B,192  10700 TR8 CALL ADR 2
9910 LD E,0          10710 LD A,(HL)
9920 TR2 CALL ADR 2  10720 RLCA
9930 LD A,(HL)      10730 RLCA
9940 RRCA           10740 RLCA
9950 RRCA           10750 CALL DOUBLE
9960 RRCA           10760 DJNZ TR8
9970 CALL DOUBLE      10770 RET
9980 DJNZ TR2      10780 ;
9990 RET             10790 TRL_TF LD B,192
10000 ; 10800 LD E,0
10010 TRL_T3 LD B,192  10810 TRF CALL ADR 2
10020 LD E,0          10820 LD A,(HL)
10030 TR3 CALL ADR 2  10830 RLCA
10040 LD A,(HL)      10840 RLCA
10050 LD C,A          10850 AND Z00000011
10060 DEC HL          10860 CALL DOUBLE
10070 LD A,(HL)      10870 DJNZ TRF
10080 RRCA           10880 RET
10090 RR C            10890 DOUBLE RR
10100 LD A,C          10900 RR C
10110 RLCA           10910 RR C
10120 RLCA           10920 SRA
10130 RLCA           10930 RR A
10140 CALL DOUBLE      10940 RR C
10150 DJNZ TR3      10950 SRA C
10160 RET             10960 RR A
10170 ; 10970 RR C
10180 TRL_T4 LD E,192  10980 SRA C
10190 LD E,0          10990 LD A,C
10200 TR4 CALL ADR 2  11000 PRA
10210 LD A,(HL)      11010 PRA
10220 RRCA           11020 OR Z11000000
10230 CALL DOUBLE      11030 CALL SND_AA
10240 DJNZ TR4      11040 INC E
10250 RET             11050 RET
10260 ; 11060 ;
10270 TRL_T5 LD B,192  11070 SUBD3 LI A,D
10280 LD E,0          11080 SUB 3
10290 TR5 CALL ADR 2  11090 LD D,A
10300 LD A,(HL)      11100 RET
10310 RRCA           11120 SND_AA CALL SND_A
10320 RRCA           11130 CALL SND_A
10330 RRCA           11140 RET
10340 CALL DOUBLE      11150 ****
10350 DJNZ TR5      10360 RET
10370 RET             10380 ;
10390 ; 10390 TRL_T6 LD B,192
10400 LD E,0          10410 TR6 CALL ADR 2
10420 LD A,(HL)

```

```

10 FOR I=1 TO 4           90 * CLOSE #
20 * ERASE I             100 FOR I=1 TO 4
30 NEXT I                110 PAUSE 0
40 * SQR                 120 * SCREEN$ I
50 FOR X=0 TO 511         130 NEXT I
60 LET Y=191+191*SIN (X/511*2*PI) 140 * PAPER VAL "1"
70 * POINT X,Y           150 STOP
80 NEXT X

```

Programul de mai jos permite incarcarea a patru ecrane de pe banda si copierea lor in cele patru ecrane "extinse", urmata de copierea pe imprimanta la "scara=2" si iesirea din modul de extensie.

```

10 FOR I=1 TO 4           50 * PAPER VAL "2"
20 LOAD "" SCREEN$        60 * STOP
30 * MOVE I               70 STOP
40 NEXT I

```

Pentru a "salva" pe banda toate cele patru ecrane, se va utiliza comanda

```
SAVE "nume_fisier" CODE 32768,24576
```

iar pentru a "incarca" de pe banda aceleasi patru ecrane, se va folosi comanda

```

LOAD "nume_fisier" CODE
in care poate lipsi numele fisierului daca banda este pozitionata corespunzator.
In "prezenta" extensiei "activate", sunt "valabile" toate instructiunile din "BASIC"-ul calculatorului "SPECTRUM", mai putin cele grafice (PLOT, DRAW, CIRCLE, POINT).
In cele de mai sus, s-a prezentat O NOUA METODA DE EXTINDERE A INTERPRETORULUI BASIC care aplicata posibilitatilor grafice ale computerului "ZX SPECTRUM" de 48 K sau 128 K , a condus practic la DUBLAREA REZOLUTIEI. Probabil ca pentru computerul "ZX SPECTRUM" de 128 K (si compatibile) este posibil sa se realizeze, in mod similar, o REZOLUTIE TRIPLA (768x576

```

```

10 REM *****
PROGRAM PENTRU TRASAREA A DOUA
CUBICE (a centrelor sub forma cu
7 coeficienti si hessiana ei) *4
*****
270 PRINT "Coordonatele origini
i axelor""(preferabil pt. grafii
ca eleganta""5<=x0<=506 si 5<=y
0<=378):"
310 IF x0<5 OR x0>506 OR y0<5 OR
y0>378 THEN GO TO 360
321 FOR j=0 TO 10: LET xj=x0-5+
j
322*POINT VAL "xj",VAL "y0"
323 NEXT j
331 FOR j=0 TO 10: LET yj=y0-5+
j
332*POINT VAL "x0",VAL "yj"
333 NEXT j
341 FOR j=0 TO 5: LET xj=506+j
342*POINT VAL "xj",VAL "y0"
343 NEXT j
351 FOR j=0 TO 5: LET yj=378+j
352*POINT VAL "x0",VAL "yj"
353 NEXT j
360k$OR
380 FOR x=-x0*k TO (511-x0)*k S
TEP k
460 FOR x=-x0*k TO (511-x0)*k S
TEP k
550 FOR y=-y0*k TO (383-y0)*k S
TEP k
630 FOR y=-y0*k TO (383-y0)*k S
TEP k
705k CLOSE #
706*SCREEN$ VAL "2"
707 PRINT AT 1,24;"FIG.7.4"
708k CLOSE #
709*SQR
870 IF x1/k+x0<0 OR x1/k+x0>511
OR y1/k+y0<0 OR y1/k+y0>383 THE
N GO TO 890
881 LET xx1=x1/k+x0: LET yy1=y1
/k+y0
882*POINT VAL "xx1",VAL "yy1"
900 IF x2/k+x0<0 OR x2/k+x0>511
OR y2/k+y0<0 OR y2/k+y0>383 THE
N GO TO 920
911 LET xx2=x2/k+x0: LET yy2=y2
/k+y0
912*POINT VAL "xx2",VAL "yy2"
920 IF x3/k+x0<0 OR x3/k+x0>511
OR y3/k+y0<0 OR y3/k+y0>383 THE
N GO TO 940
931 LET xx3=x3/k+x0: LET yy3=y3
/k+y0
932*POINT VAL "xx3",VAL "yy3"

```

pixeli) sau chiar QUADRUPLA (1024*768 pixeli).

Se reda pe versoul PAGINILOR 187...191, programul in limbaj de asamblare (lungime 14352 bytes, mai explicit decit codul masina corespunzator) pentru noua metoda de extindere, in continuare redindu-se "loaderul BASIC" al variantei in cod masina, Practic/direct utilizabila (lungime 5535 bytes):

```
10 BORDER 0: PAPER 0: INK 7: CLEAR 32767
20 LOAD ""CODE : CLS : RANDOMIZE USR 6E4
```

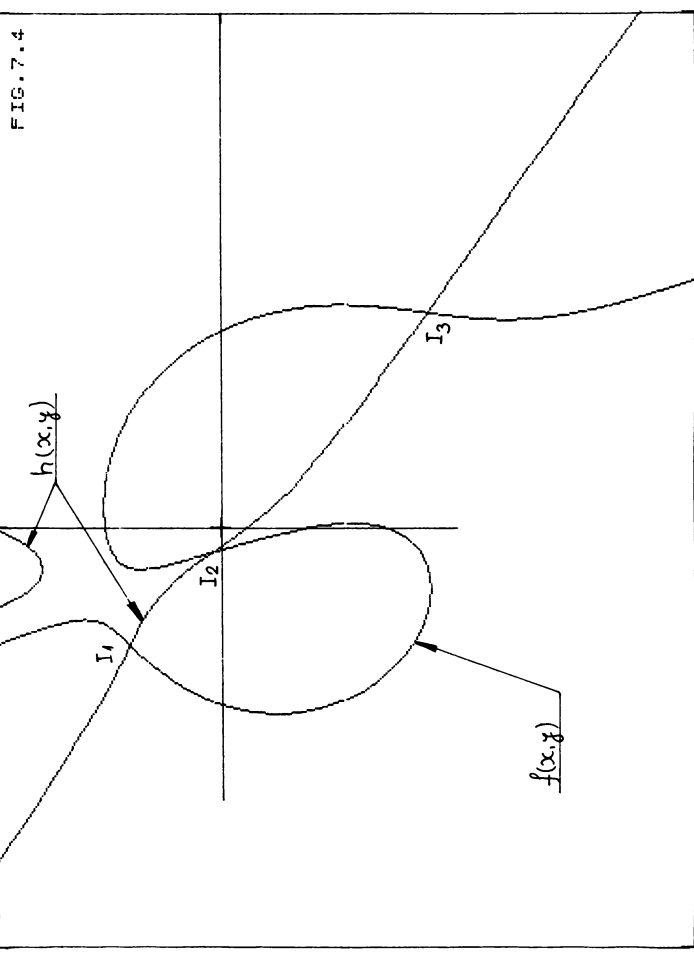
7.3.5. Utilizarea rezolutiei mariite

Avind "microsistemul" amintit la inceputul cap. 7, incarcat cu "extensia BASIC" prezentata in subcap.7.3.3 (bineintelese "lansata" in executie), s-a procedat la obtinerea unor "desene echivalente" cu fig.7.1/fig.7.2, respectiv fig.7.3, in scopul "claritatii" mariite prin cresterea rezolutiei.

Astfel, primul program prezentat in subcap.7.2 a fost "imbunatatit" conform posibilitatilor "extensiei BASIC" din subcap.7.3.4, inlocuind unele instructiuni cu cele de pe versoul PAGINII 192 corespunzatoare ca numar sau cu grupurile de instructiuni avind "numerotare derivata" (ex: instructiunea 320 este inlocuita de grupul 321, 322, 323, etc.).

Rularea programului prezentat mai sus, cu aceleasi date de intrare ca si primul program prezentat in subcap.7.2 ("exemplul V" din tab.7.3 cu coeficientii "A,B,E,F,G,H,I" din tab.7.4), a condus la fig.7.4 care, comparata cu fig.7.1 (acelasi factor de scara "k=1"), prezinta o "scena" quadruplata ca suprafata, iar, comparata cu fig.7.2 (factor de scara "k=2"), prezinta o rezolutie dublata. In toate aceste figurile se disting curba centrelor "f(x,y)", hessiana corespunzatoare "h(x,y)" si centrele de inflexiune "I1,I2,I3" semnalate in subcap.5.9 (reprezentate "calitativ" in fig.5.3). Timpul rularii, pentru a obtine "imagini" de acelasi tip ca fig.7.4, este de cca. 55 minute, dar ameliorarea fata de fig.7.1 (temp de rulare cca. 15 minute) este evidentă.

Efectuind aceleasi schimbari amintite mai sus, in al doilea program prezentat in subcap.7.2 (mai putin cu instructiunile 10, unde se adauga pentru "identificare" simbolul "*4", si 707, unde



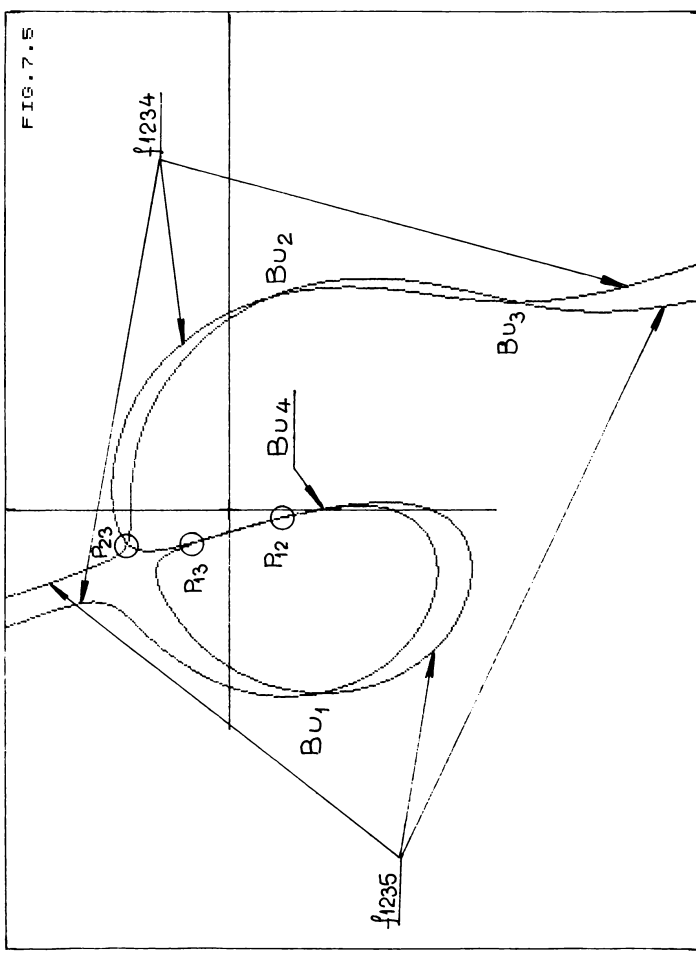
se inlocuieste numerotarea "7.4" cu "7.5"), acesta, rulat cu aceleasi date de intrare ("exemplul V" din tab.7.3 cu coefficientii "A,B,E,F,G,H,I" din tab.7.4 si "exemplul VI" format din "poz.1,2,3" din tab.7.3 completat de "poz.5" din tab.7.6 cu coefficientii "A,B,E,F,G,H,I" din tab.7.7, pentru sinteza cinci pozitionala), a condus la fig.7.5 (factor de scara "k=1") care comparata cu fig.7.3 (factor de scara "k=2"), prezinta o "scena" quadrupla la o rezolutie dubla. In cele doua figurile se disting curbele centrelor "f1234" si "f1235", polii comuni ai rotatiilor finite "P12,P13,P23", celelalte intersectii fiind centrele Burmester (trei se evidentaiza net iar al patrulea este "undeva sub" cei trei poli, intrucit numai asa se pot intersecta "S-ul inflexiunii centrale" de pe "f1234" cu "ramura inchisa", mereu convexa, de pe "f1235").

Atit in fig.7.4 cit si in fig.7.5 s-a pastrat "avantajul" reprezentarii "in continuitate" (prin pixeli adjacenti) a curbelor analizate (claritate, eleganta, etc). La acest avantaj se poate renunta, cu efecte minime negative, daca, in instructiunile 380, 460, 550 si 630, se maresteste pasul de ciclare, obtinind concomitent timpi de rulare corespunzatori, micsorati prin patratul maririi pasului.

Asa cum era de asteptat (a se vedea subcap.5.9.3 si subcap.7.2), identificarea pe fig.7.4 a centrelor de inflexiune s-a facut rapid (probabil ramura superioara partial reprezentata a hessianei " $h(x,y)$ " mai intersecteaza intr-un centru curba " $f(x,y)$ ", la fel ca o ramura inferioara, ce exista si poate fi evidentata printre-un factor de scara "k=10", aici "neintrind in cadrul", dar acolo sigur nu exista inflexiuni pentru ca " $f(x,y)$ " tinde catre asymptota fara a-si mai schimba curbura).

Tinind cont de faptul ca in fig.7.4 si fig.7.5, factorul de scara este "k=1" (adică, unui mm din "natura" ii corespunde un Punct din figura) si ca imprimanta "RCD 9335" scrie cu 72 puncte pe 25.4 mm, rezulta o scara a spatiului " $ks=2.8346457 \text{ mm/min}$ " (adică, la 2.8346457 mm din natura, corespunde 1 mm in figura). Aceasta scara a spatiului este definita in sensul disciplinei "MECANISME", inversa fata de sensul dat in cadrul disciplinei "DESEN TEHNIC".

Masuratorile pe fig.7.4 au condus la coordonatele "aparente" din tab.7.8, pentru cele trei centre de inflexiune ale curbei " $f(x,y)$ ".



Tab.7.8

\ Coord.ap.	x	y
\ Pet.infl.	(mm.)	(mm.)
I1	-22.9	17.1
I2	-4.8	1.2
I3	41.7	-39.6

Conform scarii spatiului mai sus determinata, din coordonatele "aparente", s-au calculat in tab.7.9, coordonatele "reale aproximative" ale acelorasi centre de inflexiune ale curbei "f(x,y)".

Tab.7.9

\ Crd.re.aprx.	x	y
\ Centr.infl.	[mm.]	[mm.]
I1	-64.92	48.47
I2	-13.58	3.40
I3	118.22	-112.26

Tab.7.10

\ Coord.ap.	x	y
\ Pet.Burm.	(mm.)	(mm.)
Bu1	-35.4	-17.3
Bu2	41.6	-8.1
Bu3	40.2	-54.9
Bu4	-0.1	-17.5

Masuratorile pe fig.7.5 au condus la coordonatele

"aparente" din tab.7.10, pentru cele patru centre Burmester ale curbelor "f1234" si "f1235" (solutii ale sintezei cincipozitionale corespunzatoare combinatiei "exemplelor V si VI").

Conform scarii spatiului mai sus determinata, din coordonatele "aparente", s-au calculat in tab.7.11, coordonatele "reale aproximative" ale acelorasi centre Burmester ale curbelor "f1234" si "f1235".

Tab.7.11

Crd.re.aprx.	x	y
Centr.Burm.	[mm.]	[mm.]
Bu1	-100.35	-49.04
Bu2	117.93	-22.96
Bu3	113.97	-155.64
Bu4	-0.28	-49.61

Trebuie specificat ca programele prezentate in acest capitol, desi au fost "orientate" spre rezultate "grafice", pot fi usor adaptate pentru a "livra" rezultate "analitice" corespunzatoare.

7.4. Program pentru rezolvarea sistemelor de doua ecuatii nelineare prin metoda Newton

Dupa cum era de asteptat, din finalul subcap.7.3, autorul "tinde" sa determine pozitia exacta a centrelor de inflexiune si a centrelor Burmester. In acest context, constatind ca ecuatiile curbelor de sinteza, de ex. (4.32), si a hessianei corespunzatoare, de ex. (5.210), sunt cubice definite implicit, s-a ivit necesitatea de a le "intersecta" rezolvind sistemul format de aceste ecuatii. Metoda adoptata a fost cea denumita "Newton" si prezentata in [D16].

Se expune, pe versoul paginii 196, o varianta a programului

```

15)REM *****
      PROGRAM PENTRU REZOLVAREA
      SISTEMELOR DE DOUA ECUATII,
      DEFINITE IMPLICIT, CU DOUA
      NECUNOSCUTE, PRIN METODA
      "NEWTON"
*****
20 BORDER 2; PAPER 2; INK 6; C
LS
30 GO SUB 370; GO SUB 390
40 IF INKEY$="I" OR INKEY$="i"
THEN GO SUB 330; GO SUB 370; GO
SUB 390
50 IF INKEY$="" OR INKEY$="f"
THEN CLS : GO TO 70
60 GO TO 40
70 GO SUB 650
80 GO SUB 230
90 GO SUB 260
100 LET x1=x0; LET y1=y0
110 LET t=1
120 GO SUB 370
130 LET j=FN h(x1,y1)*FN k(x1,y
1)-FN f(x1,y1)*FN i(x1,y1)
140 IF j=0 THEN PRINT AT 16,1;"solutie ce da j=0"; AT 20,1;"apasa
o tastă!": PAUSE 0; CLS : GO T
O 90
150 LET h=-(FN f(x1,y1)*FN k(x1
,y1)-FN g(x1,y1)*FN i(x1,y1))/j
160 LET k=-(FN h(x1,y1)*FN g(x1
,y1)-FN j(x1,y1)*FN f(x1,y1))/j
170 LET x2=x1+t*h; LET y2=y1+t*k
180 GO SUB 410
190 PRINT AT 21,0;"continuam it
eratia?": PAUSE 0; PRINT AT 21,0;
" "; IF IN
KEY$="n" OR INKEY$="N" THEN GO T
O 210
200 LET t=t+1; LET x1=x2; LET y
1=y2; GO TO 130
210 GO SUB 510
220 STOP
230 REM *INIT. F*
240 DEF FN f(x,y)=VAL a$: DEF F
N g(x,y)=VAL b$: DEF FN h(x,y)=VAL
c$: DEF FN i(x,y)=VAL d$: DEF
FN j(x,y)=VAL e$: DEF FN k(x,y)
=VAL f$
250 RETURN
260 REM *INPUT S A*
270 CLS : PRINT AT 6,2;"SOL. AP
ROX."
280 GO SUB 370
290 PRINT INVERSE 1;AT 8,2;"x0=
"; INPUT "x0=";x0: PRINT INVE
RSE 1;x0
300 PRINT INVERSE 1;AT 9,2;"y0=
"; INPUT "y0=";y0: PRINT INVE
RSE 1;y0
310 PAPER 1; INK 6; PAUSE 60
320 RETURN
330 CLS : PRINT AT 3,1;"Se cuno
sc F(x,y) si G(x,y) sub forma i
mplicită";AT 5,1;"se calc F'x;F'
y;G'x;G'y";AT 6,1;"se aproximeaz
a solutia cu X0,Y0";AT 7,1;"calc
ulul iterativ duce la val. core
ctaata ce poate fi recalculat"
340 PRINT AT 9,1;"lata pina la
prec. dorita."
350 PRINT #0;"apasa o tastă!":
PAUSE 0; CLS
360 RETURN
370 PRINT AT 0,1;"      METODA NE
WTON PTR. SIST. DE DOUA ECUATI
I CU DOUA NEC."
380 RETURN
390 PRINT AT 8,5;"I INSTRUCTION
1";AT 10,5;"F FUNCTII"

```

scris in limbajul "BASIC" pe baza algoritmului expus in [D16].

Programul a fost scris la modul "conversational", dupa incarcare autolansindu-se si propunind, in prima faza, "Instructiuni" sau "Executie". Blocul de calcul are nevoie, ca date de intrare, de cele doua functii in " x, y ", de primele lor derivate partiale functie de aceleasi variabile si de unul sau mai multe sisteme de solutii aproximative (daca nu se cunoaste un astfel de sistem este mai putin important decit faptul ca in "domeniul" unde se "cauta" solutii, functiile sa fie continue). Calculul decurge iterativ, numarul iteratiilor fiind limitat de catre utilizator. Nu are sens continuarea iteratiilor dupa ce doua sisteme succesive de solutii coincid, aceasta insemnind "atingerea" solutiilor cu precizia maxima a unitati de calcul (limitata prin erorile de trunchiere). In continuare se poate opta pentru calculul valorii functiilor corespunzator solutiilor curente, pentru cautarea altor sisteme de solutii introducind aproximari initiale din alte domenii si pentru introducerea altor functii pentru un nou sistem de ecuatii in vederea rezolvării (se presupun cunoscute restrictiile de calcul ale interpretorului "BASIC", spre exemplu imposibilitatea de a ridică la putere numere negative, ceea ce inseamna ca la introducerea functiilor de rezolvat se vor utiliza corespunzator functiunile matematice "ABS" si "SGN" sau inmultirile repeatate care ofera de fapt cea mai mare precizie).

Programul comentat, a fost rulat, in scopul determinarii centrelor de inflexiune, introducind functia corespunzatoare ecuatiei (4.32) care pentru "exemplul V" are coeficientii din tab.7.4 si functia corespunzatoare ecuatiei (5.210) ai carei coeficienti au fost calculati prin identificare utilizind tot valorile din tab.7.4, obtinindu-se astfel

$$h(x,y) = 6,5419651 \cdot 10^{-11} \cdot x^3 + 9,6835353 \cdot 10^{-11} \cdot x^2 \cdot y + 9,2541636 \cdot 10^{-12} \cdot x \cdot y^2 - 1,492737 \cdot 10^{-12} \cdot y^3 + 3,1138307 \cdot 10^{-9} \cdot x^2 + 1,105977 \cdot 10^{-9} \cdot x \cdot y - 1,2944579 \cdot 10^{-9} \cdot y^2 + 2,7777415 \cdot 10^{-7} \cdot x + 1,6579796 \cdot 10^{-7} \cdot y + 2,6689981 \cdot 10^{-6} = 0 \quad (7.1)$$

Ca sisteme de solutii aproximative, au fost introduse, pe rand, perechile de coordonate din tab.7.9, obtinindu-se, dupa numai patru iteratii (una durind cca. o secunda), valorile exacte (transcrise in tab.7.12) ale coordonatelor centrelor de inflexiune de pe curba centrelor " $f(x,y)$ " corespunzatoare

"exemplului V" ("inceput" cu pozitiile din tab.7.3).

Tab.7.12

<i>\ Coord.exacte:</i>	<i>x</i>	<i>y</i>
<i>\ Centr.infl.</i> \:	[mm.]	[mm.]
I I1	-64.350966	49.577303
I I2	-13.606436	4.2993748
I I3	117.34624	-112.54605

Acelasi program, a fost rulat, in scopul determinarii centrelor Burmester, introducind functiile corespunzatoare ecuatiei (4.32) dintre care cea pentru "exemplul V" are coeficientii din tab.7.4 si cea pentru "exemplul VI" are coefficientii din tab.7.7.

Ca sisteme de solutii aproximative, au fost introduse, pe rand, perechile de coordonate din tab.7.11, obtinindu-se, dupa numai patru/cinci iteratii (o iteratie dureaza cca. o secunda), valorile exacte (transcrise in tab.7.13) ale coordonatelor centrelor Burmester de pe curbele centrelor "f1234" corespunzatoare "exemplului V" ("inceput" cu pozitiile din tab.7.3) si "f1235" corespunzatoare "exemplului VI" ("inceput" cu "poz.1,2,3" din tab.7.3 completate cu "poz.5" din tab.7.6).

Tab.7.13

<i>\ Coord.exacte:</i>	<i>x</i>	<i>y</i>
<i>\ Centr.Burm.</i> \:	[mm.]	[mm.]
I Bu1	-100.00009	-49.999366
I Bu2	115.86118	-22.359438
I Bu3	113.41174	-157.79925
I Bu4	0.000024353932	-50.000181

Avind in vedere coordonatele centrelor Burmester, "Bu1" si

"Bu4", din tab.7.13, precum si "adunarile efectuate pentru a obtine prin tab.7.1 datele din tab.7.3 in subcap.7.1, asociate cu mecanismul patrulater ce a condus (in coordonatele din fig.2.3) la tab.3.1 din care s-a extras tab.7.3, se constata ca aceste centre Burmester sint, dupa cum era de asteptat, chiar articulatiile fixe "Ao" si "Bo". Abaterile acestor coordonate, fata de valorile "intregi" corespunzatoare, ofera o indicatie cantitativa asupra erorilor de calcul cumulate de-a lungul algoritmilor expusi in aceasta lucrare si mai ales asupra "credibilitatii" coordonatelor centrelor de inflexiune din tab.7.12. In ambele cazuri, "zecimea de micrometru" constatata ca abatere, este o eroare inginerestă admisibila (avind in vedere dimensiunile mecanismului patrulater care a generat prin pozitiile bielei sale, datele pentru exemplele de calcul abordate).

Trebuie remarcat ca atit sistemul neliniar format din ecuatiile curbei centrelor " $f(x,y)$ " si hessiana " $h(x,y)$ " corespunzatoare, cit si cel format din ecuatiile a doua curbe ale centrelor "f1234" si "f1235", sint (dupa "experienta" in astfel de calcule a autorului) destul de "puternic convergente", in sensul ca sisteme de solutii aproximative, de ordinul "miilor de milimetri", mult "departate" fata de valorile din tab.7.9 si tab.7.11 dar "oarecum intentionat orientate", au condus destul de rapid (in cca. 10...12 iteratii) la aceleasi solutii "exacte" continute in tab.7.12 si tab.7.13. "Experimentele" amintite au fost efectuate si pentru a cauta alte intersectii decit centrele de inflexiune ale curbei centrelor cu hessiana (posibile, conform [V4], dar negasite de autor), respectiv alte intersectii decit centrele Burmester ale curbelor centrelor din sinteza principiozionala (cei cinci poli comuni ai rotatiilor finite, gasiti de autor pe aceasta "cale", cu "erori" de ordinul ± 6 , fata de coordonatele deduse direct din pozitiile impuse pentru sinteza).

7.5. Utilizarea centrelor/punctelor de inflexiune

O prima utilitate a centrelor de inflexiune este posibilitatea de a putea scrie ecuatia "dreptei inflexiunilor"

semnalata in subcap.5.10. Pentru "exemplul V", inlocuind coordonatele centrelor de inflexiune "I1" si "I3" din tab.7.12 in ecuatie (5.215), a unei drepte ce trece prin doua puncte cunoscute, se obtine ecuatie dreptei inflexiunilor

$$0,89227213 \cdot x + y + 7,8412705 = 0 \quad (7.2)$$

care este "foarte bine verificata" de coordonatele centrului de inflexiune "I2" (eroare 1.66E-6), confirmind astfel teorema coliniaritatii celor trei centre/puncte de inflexiune ale curbelor centrelor/punctelor enuntata in subcap.5.10.

O a doua utilitate intrevazuta pentru centrul de inflexiune "intermediar" ("I2" in fig.7.4), este de a scrie ecuatie curbei centrelor sub forma polară cu originea in acest punct si pornind de la unghiul tangentei in "I2" (pentru fig.7.4, in sens orar) cu raza polară curentă, sa se obtina in mod "ordonat" (după "principiul vecinatatii") centrele, de pe curba, corespunzatoare unghiului polar curent.

Tangenta intr-un punct (spre exemplu avind coordonatele "xI2,yI2") la o curba definita implicit "f(x,y)" (spre exemplu ecuatie cu 7 coeficienti (4.32)) are, conform [V4] si [I3], o ecuatie de forma

$$(x - x_{I2}) \cdot \frac{\partial f}{\partial x_{I2}} + (y - y_{I2}) \cdot \frac{\partial f}{\partial y_{I2}} = 0 \quad (7.3)$$

in care ecuatie cu 7 coeficienti (4.32) are derivatele partiale

$$\frac{\partial f}{\partial x} = A \cdot (3 \cdot x^2 + y^2) + 2 \cdot B \cdot x \cdot y + 2 \cdot E \cdot x + F \cdot y + H \quad (7.4)$$

$$\frac{\partial f}{\partial y} = B \cdot (x^2 + 3 \cdot y^2) + 2 \cdot A \cdot x \cdot y + F \cdot x + 2 \cdot G \cdot y + I \quad (7.5)$$

Valorile derivatelor partiale in punctul "I2", avind coordonatele din tab.7.12, vor fi

$$\frac{\partial f}{\partial x_{I2}} = 0,075519249 \quad (7.6)$$

$$\frac{\partial f}{\partial y_{I2}} = 0,022058065 \quad (7.7)$$

Inlocuind valorile (7.6) si (7.7) in (7.3), rezulta ecuatia tangentei la curba data de (4.32) cu coeficientii "A,B,E,F,G,H,I" din tab.7.4, sub forma

$$0,075519249 \cdot x + 0,022058065 \cdot y + 0,93271194 = 0 \quad (7.8)$$

Aceasta tangenta face cu abscisa, unghiul

$$\beta_0 = 106,28231^\circ = 1,8549762 \text{ rad} \quad (7.9)$$

Pentru a translata sistemul de axe in "I2", corespunzator ecuatiei cu 7 coeficienti, se va utiliza ecuatia (5.277) in care abscisa de translatie "L" si ordonata de translatie "M" vor lua valoriile

$$L = x_{I2} \quad (7.10)$$

$$M = y_{I2} \quad (7.11)$$

din tab.7.12. Cu aceste valori si coeficientii "A,B,E,F,G,H,I" din tab.7.4, inlocuind in (5.277), se obtine

$$\begin{aligned} & -7,8098253 \cdot 10^{-6} \cdot x - 3,5097227 \cdot 10^{-6} \cdot y \cdot (x^2 + y^2) + 0,00029120508 \cdot x^2 - 0,00020306449 \cdot y^2 - \\ & 0,00061016577 \cdot x \cdot y + 0,075519249 \cdot x + 0,022058064 \cdot y = 0 \end{aligned} \quad (7.12)$$

Ecuatia (7.12) reprezinta curba centrelor pentru "exemplul V" (corespunzator pozitiilor de sinteza din tab.7.3), considerind coordonatele carteziene cu originea in centrul intermediar de inflexiune "I2".

Trecerea ecuatiei (7.12) in coordonate polare se face considerind substitutiile (2.130) si (2.131), obtinindu-se

$$\begin{aligned} & r^2 \cdot (-7,8098253 \cdot 10^{-6} \cdot \cos \theta - 3,5097227 \cdot 10^{-6} \cdot \sin \theta) + \\ & + r \cdot (0,00029120508 \cdot \cos^2 \theta - 0,00020306449 \cdot \sin^2 \theta - 0,00061016577 \cdot \cos \theta \cdot \sin \theta) + \\ & + 0,075519249 \cdot \cos \theta + 0,022058064 \cdot \sin \theta = 0 \end{aligned} \quad (7.13)$$

Ecuatia (7.13) reprezinta curba centrelor pentru "exemplul V" (corespunzator pozitiilor de sinteza din tab.7.3), considerind coordonatele polare cu originea in centrul intermediar de inflexiune "I2". Aceasta ecuatie are forma (7.13)

```

10 REM *****
20 PRINT "Forma ecuatiei polar
e;"  

30 PRINT "(a*RO^2+b*R0+c=0"  

40 PRINT "Inlocuiti in linia 3  

50 REM *****SCARA, ORIGINEA, POLUL, SENS DE  

PARCURS, AXELE, CHENARUL*****  

60 PRINT "Factor de scara""(i  

nvers ca in desen);"  

70 INPUT "k=";k: PRINT "k=";k  

80 PRINT "Coordonatele origini  

i axelor""(preferabil pt. grafi  

ca eleganta""5<=x0<=506 si 5<=y  

0<=378);"  

90 INPUT "x0=";x0: PRINT "x0="  

:x0  

100 INPUT "y0=";y0: PRINT "y0="  

:y0  

110 PRINT "Coordonatele polului  

(centrul de inflexiune intermed  

iar);"  

120 INPUT "x12=";x12: PRINT "x1  

2=";x12  

130 INPUT "y12=";y12: PRINT "y1  

2=";y12  

140 PRINT "Sensul de parcurs (p  

entru sensul trigonometric tasta  

ti +1 sau -1) iar pentru cel or  

ar -1"  

150 INPUT "s=";s: PRINT "s=";s  

160 PRINT "Unghiul cu abscisa p  

ozitiva al tangentei in I2 (in  

grade);"  

170 INPUT "te0=";te0: PRINT "te  

0=";te0  

180 PRINT "Pasul unghiular (gra  

de);"  

190 INPUT "pas=";pas  

200 CLS  

210 IF x0>5 OR x0>506 OR y0>5  

OR y0>378 THEN GO TO 400  

220 FOR j=0 TO 10: LET xj=x0-5+  

j  

230*POINT VAL "xj",VAL "y0"  

240 NEXT j  

250 FOR j=0 TO 10: LET yj=y0-5+  

j  

260*POINT VAL "x0",VAL "yj"  

270 NEXT j  

280 FOR j=0 TO 5: LET xj=506+j  

290*POINT VAL "xj",VAL "yj"  

300 NEXT j  

300 IF j=0 TO 5: LET yj=378+j  

320*POINT VAL "x0",VAL "yj"  

330 NEXT j  

340 IF x12/k+x0<1 OR x12/k+x0>  

10 OR y12/k+y0<1 OR y12/k+y0>382  

THEN GO TO 620  

350 FOR i=-1 TO 1  

360 FOR j=-1 TO 1  

370*POINT VAL "x12/k+x0+i",VAL  

"y12/k+y0+j"  

380 NEXT i  

390 NEXT j  

400*SR  

410 REM *****BALEIEREA PLANULUI CU RAZA  

POLARA*****  

420 FOR t=te0 TO te0+s*180 STEP  

s*pas

```

oricare ar fi centrul/punctul de pe curba centrelor/punctelor admis ca origine polară.

In cele ce urmeaza se va incerca a se releva importanta "practica" a ecuației curbei centrelor (7.13).

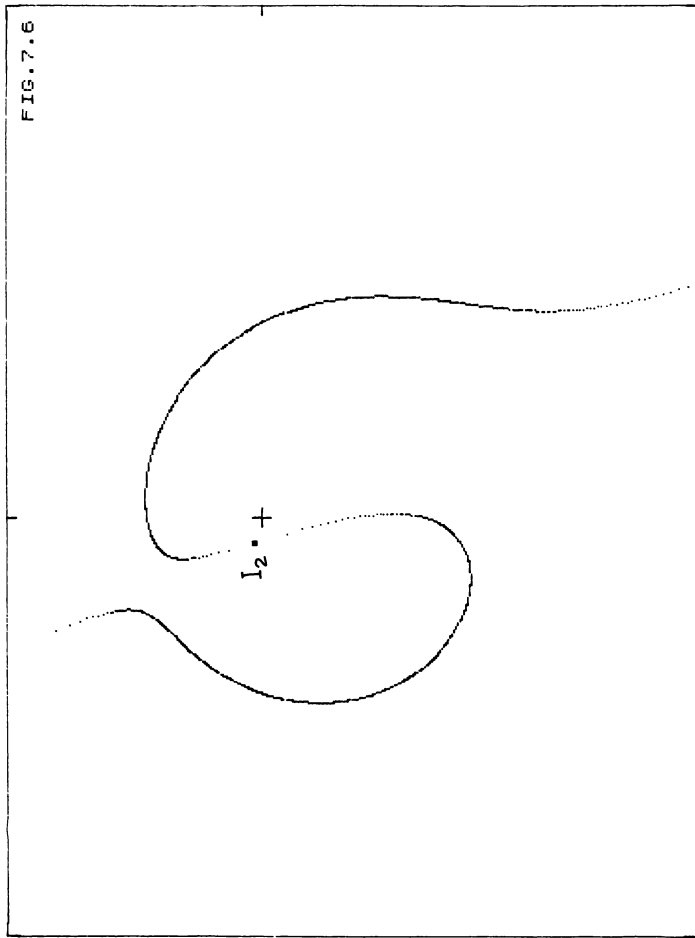
**7.6. Utilizarea ecuației curbelor de
sinteza sub forma polară cu
originea în centrul / punctul
intermediar de inflexiune**

Fiind o ecuație de gradul doi, forma polară (7.13) sau altele similare, reprezintă o simplificare pentru utilizator, în raport cu oricare din cubicele cartesiene (2.7), (2.39), (4.3), (4.32), etc. În primul rind, viteza algoritmului de rezolvare a ecuației de gradul doi este de cca. două ori mai mare decât a celui pentru rezolvarea ecuației de gradul trei (utilizat în programele din subcap.7.2 și 7.3.2). În al doilea rind (acesta fiind "AVANTAJUL PRINCIPAL"), "rotind" raza polară în jurul centrului intermediar de inflexiune "I2", începând de la unghiul tangentei la curba în "I2" dat de (7.9), pe un interval de 180 grade, cu un "pas" unghiular adecvat, urmând mai întii sensul "trigonometric" (apoi cel orar) și considerind corespunzător mai întii semnul "+" (apoi "-") în fața "radicalului" la rezolvarea ecuației (7.13), se obțin centre de pe curba, în ordine, respectând "principiul vecinătății", începând de la "distanța infinită" din partea de "sus" pînă la "distanța infinită" din partea de "jos". Cu alte cuvinte, curba centrelor este "parcursă de la un capat la celălalt" în mod ordonat.

Se apreciază că doar tangentă în centrul/punctul intermediar de inflexiune "I2" și eventual asymptota trecind prin centrul/punctul principal "P" (a se vedea subcap.5.3), sunt dreptele care "împart favorabil" (în sensul de mai sus) curba de sinteza.

Conform celor mai sus expuse, s-a întocmit un program, sub forma conversațională, în "BASIC"-ul "extins" conform subcap. 7.3, pentru reprezentarea unei curbe a centrelor utilizind ecuația de tip (7.13). Ca date de intrare se "cer" coeficientii "a,b,c" ai ecuației (7.13), factorul de scăă "k", coordonatele originii axelor cartesiene "x0,y0" și ale centrului intermediar

FIG. 7.6



de inflexiune "xI2,yI2", sensul de parcurs "s", unghiul cu abscisa al tangentei in "I2" la curba si pasul unghiular. Pe lîngă "elemente de grafica" (marcarea axelor si a "polului I2"), programul propriuzis, contine un ciclu de baleiere a planului cu raza polară (adică rezolvare repetată a ecuației de gradul doi (7.13), începînd cu linia 410) și o subrutină de trasare (începînd cu linia 610).

Pe versoul paginii 201, se expune listingul unei variante a programului (lungime 2625 bytes) comentat mai sus.

Programul pomenit mai sus a fost rulat pentru "exemplul V" amintit la subcap.7.1 caruia îi corespunde ecuația (7.9), rezultînd în aceleasi condiții dimensionale ca în subcap.7.3.5, curba din fig.7.6. Pasul unghiular utilizat a fost de 0.25 grade, condiție prin care s-a obținut, în cca. 15 minute de rulare, o curba care, în "majoritatea" lungimii reprezentate, are "claritatea" celor din fig.7.4/fig.7.5.

Prima "tentativă" în continuare, pentru autor, ar fi fost de a "parcurge" curba "de la un capat la celalalt" prin arce (sau cel puțin, prin coarde) egale. Nu s-a insistat în acest sens întrucât numărul "pasilor" ar fi fost infinit (remedial prin parcurgerea de la polul "I2" spre "capete" și limitarea "rezonabilă" a numărului de pași) și pentru că ciclurile de schimbare a pasului unghiular (mereu variabil în corespondență cu arcele egale) au condus la tempi de rulare prea mari. Aceasta "cale" va fi parcursă de autor pe un calculator mai performant.

A doua "tentativă", pentru autor, a reprezentat-o faptul că pe curba centrelor/punctelor SA SE EVIDENTIEZE "ZONELE UTILE" MNIMITOR CONDITII DE SINTEZA. Experiențele în sinteza patrupositionala au condus și la mecanisme patrulater care permită plasarea elementului condus (biela) în pozițiile de sinteza initial impuse, doar prin "demontare" și "remontare" (într-un punct de trece, spre exemplu, "dintr-o" de o poziție "extrema" neimpusa (unele poziții impuse fiind "de o parte", celelalte "de cealalta" în raport cu poziția extrema amintita). "Remediul" constă în alegerea centrelor/punctelor de sinteza "în alta parte" pe curba, cu sansa de a "clacă" din nou.

S-a procedat pentru "exemplul V" (cu pozițiile impuse din tab.7.3) la alegerea "cuplei motoare" (punctul figurativ "Ao" din fig.2.3) în chiar centrul Burmester "Bu1" (avind coordonatele din tab.7.13). În mod normal, pozițiile impuse au

```

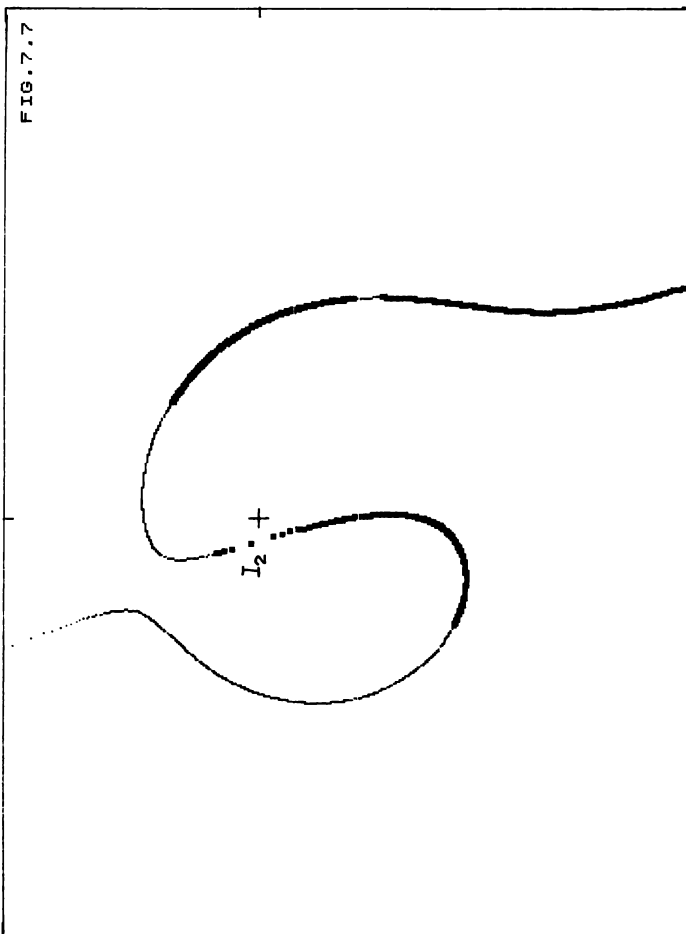
10 REM *****
11 REM PROGRAM PENTRU TRASAREA CURBEI
12 REM CENTRELOR sub forma polară cu
13 REM originea în centrul intermediu
14 REM de inflexiune, în ciclul FOR-NEXT,
15 REM EVIDENȚIINDU-I "ZONELE UTILE"
16 REM *****
17 DIM x(4); DIM y(4); DIM t(4)
18 DIM u(4); DIM l(3)
19 PRINT "Forma ecuației polare"
20 PRINT "(a*x^2+b*x^0+c=0"
21 INPUT "Inlocuiți în linia 4"
22 forma coeficienților a, b,
23 c, iar în linia 770 caracteris-
24 ticile conexiunii în raport
25 cu care se evidențiază zonele u-
26 tile ale curbelor"
27 PRINT "Introduceti cele 4 p-
28 oz, impreu"
29 FOR j=1 TO 4
30 INPUT "x(j)(";x(j): PRINT "
31 x("j");)"x(j)
32 INPUT "y(j)(";y(j): PRINT "
33 y("j");)"y(j)
34 INPUT "t(j)(";t(j): PRINT "
35 t("j");)"t(j)
36 LET u(j)=PI*t(j)/180
37 NEXT j
38 REM *****
39 SCARA, ORIGINEA, POLUL, SENS DE
40 PARCURS, AXELE, CHENARUL
41 REM *****
42 PRINT "Factor de scara"/"(i-
43 nvers ca în desen):"
44 INPUT "k=";k: PRINT "k=";
45 PRINT "Coordonatele originii
46 și axelor"//(preferabil pt. grafi-
47 ca eleganță)"5<=x0<=506 și 5<=y
48 0<=378:""
49 INPUT "x0=";x0: PRINT "x0="
50 x0
51 INPUT "y0=";y0: PRINT "y0="
52 y0
53 PRINT "Coordonatele polului
54 (central de inflexiune intermediu-
55 iar):"
56 INPUT "x12=";x12: PRINT "x1
57 2=";x12
58 INPUT "y12=";y12: PRINT "y1
59 2=";y12
60 PRINT "Sensul de parcurs (p-
61 entru sensul trigonometric tasta
62 ti +1
63 iar pentru cel or-
64 ar -1"
65 INPUT "=";s: PRINT "=";s
66 PRINT "Unghiul cu abscula pozițională al tangentei în I2 (in
67 grade):"
68 INPUT "te0=";te0: PRINT "te
69 0=";te0
70 PRINT "Pasul unghiular (gra-
71 de):"
72 INPUT "pas=";pas
73 LET sgn=1
74 CLS
75 IF x0<5 OR x0>506 OR y0<5 OR
76 y0>378 THEN GO TO 450
77 FOR j=0 TO 10: LET xj=x0-5+j
78 POINT VAL "xj",VAL "y0"
79 NEXT j
80 FOR j=0 TO 10: LET yj=y0-5+j
81 POINT VAL "x0",VAL "yj"
82 NEXT j
83 FOR j=0 TO 5: LET xi=506+j
84 POINT VAL "xi",VAL "y0"
85 NEXT j
86 FOR j=0 TO 5: LET yj=378+j
87 POINT VAL "x0",VAL "yj"
88 NEXT j
89 FOR j=0 TO 5: LET xi=506+j
90 POINT VAL "xi",VAL "y0"
91 NEXT j
92 FOR j=0 TO 5: LET yj=378+j
93 POINT VAL "x0",VAL "yj"
94 NEXT j
95 FOR j=0 TO 5: LET xi=506+j
96 POINT VAL "xi",VAL "y0"
97 NEXT j
98 FOR j=0 TO 5: LET yj=378+j
99 POINT VAL "x0",VAL "yj"
100 NEXT j
101 FOR j=0 TO 5: LET xi=506+j
102 POINT VAL "xi",VAL "y0"
103 NEXT j
104 FOR j=0 TO 5: LET yj=378+j
105 POINT VAL "x0",VAL "yj"
106 NEXT j
107 FOR j=0 TO 5: LET xi=506+j
108 POINT VAL "xi",VAL "y0"
109 NEXT j
110 FOR j=0 TO 5: LET yj=378+j
111 POINT VAL "x0",VAL "yj"
112 NEXT j
113 FOR j=0 TO 5: LET xi=506+j
114 POINT VAL "xi",VAL "y0"
115 NEXT j
116 FOR j=0 TO 5: LET yj=378+j
117 POINT VAL "x0",VAL "yj"
118 NEXT j
119 FOR j=0 TO 5: LET xi=506+j
120 POINT VAL "xi",VAL "y0"
121 NEXT j
122 FOR j=0 TO 5: LET yj=378+j
123 POINT VAL "x0",VAL "yj"
124 NEXT j
125 FOR j=0 TO 5: LET xi=506+j
126 POINT VAL "xi",VAL "y0"
127 NEXT j
128 FOR j=0 TO 5: LET yj=378+j
129 POINT VAL "x0",VAL "yj"
130 NEXT j
131 FOR j=0 TO 5: LET xi=506+j
132 POINT VAL "xi",VAL "y0"
133 NEXT j
134 FOR j=0 TO 5: LET yj=378+j
135 POINT VAL "x0",VAL "yj"
136 NEXT j
137 FOR j=0 TO 5: LET xi=506+j
138 POINT VAL "xi",VAL "y0"
139 NEXT j
140 POINT VAL "x0",VAL "yj"
141 NEXT j
142 FOR j=0 TO 5: LET xi=506+j
143 POINT VAL "xi",VAL "y0"
144 NEXT j
145 FOR j=0 TO 5: LET yj=378+j
146 POINT VAL "x0",VAL "yj"
147 NEXT j
148 FOR j=0 TO 5: LET xi=506+j
149 POINT VAL "xi",VAL "y0"
150 NEXT j
151 FOR j=0 TO 5: LET yj=378+j
152 POINT VAL "x0",VAL "yj"
153 NEXT j
154 FOR j=0 TO 5: LET xi=506+j
155 POINT VAL "xi",VAL "y0"
156 NEXT j
157 FOR j=0 TO 5: LET yj=378+j
158 POINT VAL "x0",VAL "yj"
159 NEXT j
160 FOR j=0 TO 5: LET xi=506+j
161 POINT VAL "xi",VAL "y0"
162 NEXT j
163 FOR j=0 TO 5: LET yj=378+j
164 POINT VAL "x0",VAL "yj"
165 NEXT j
166 FOR j=0 TO 5: LET xi=506+j
167 POINT VAL "xi",VAL "y0"
168 NEXT j
169 FOR j=0 TO 5: LET yj=378+j
170 POINT VAL "x0",VAL "yj"
171 NEXT j
172 FOR j=0 TO 5: LET xi=506+j
173 POINT VAL "xi",VAL "y0"
174 NEXT j
175 FOR j=0 TO 5: LET yj=378+j
176 POINT VAL "x0",VAL "yj"
177 NEXT j
178 FOR j=0 TO 5: LET xi=506+j
179 POINT VAL "xi",VAL "y0"
180 NEXT j
181 FOR j=0 TO 5: LET yj=378+j
182 POINT VAL "x0",VAL "yj"
183 NEXT j
184 FOR j=0 TO 5: LET xi=506+j
185 POINT VAL "xi",VAL "y0"
186 NEXT j
187 FOR j=0 TO 5: LET yj=378+j
188 POINT VAL "x0",VAL "yj"
189 NEXT j
190 FOR j=0 TO 5: LET xi=506+j
191 POINT VAL "xi",VAL "y0"
192 NEXT j
193 FOR j=0 TO 5: LET yj=378+j
194 POINT VAL "x0",VAL "yj"
195 NEXT j
196 FOR j=0 TO 5: LET xi=506+j
197 POINT VAL "xi",VAL "y0"
198 NEXT j
199 FOR j=0 TO 5: LET yj=378+j
200 POINT VAL "x0",VAL "yj"
201 NEXT j
202 FOR j=0 TO 5: LET xi=506+j
203 POINT VAL "xi",VAL "y0"
204 NEXT j
205 FOR j=0 TO 5: LET yj=378+j
206 POINT VAL "x0",VAL "yj"
207 NEXT j
208 FOR j=0 TO 5: LET xi=506+j
209 POINT VAL "xi",VAL "y0"
210 NEXT j
211 FOR j=0 TO 5: LET yj=378+j
212 POINT VAL "x0",VAL "yj"
213 NEXT j
214 FOR j=0 TO 5: LET xi=506+j
215 POINT VAL "xi",VAL "y0"
216 NEXT j
217 FOR j=0 TO 5: LET yj=378+j
218 POINT VAL "x0",VAL "yj"
219 NEXT j
220 FOR j=0 TO 5: LET xi=506+j
221 POINT VAL "xi",VAL "y0"
222 NEXT j
223 FOR j=0 TO 5: LET yj=378+j
224 POINT VAL "x0",VAL "yj"
225 NEXT j
226 FOR j=0 TO 5: LET xi=506+j
227 POINT VAL "xi",VAL "y0"
228 NEXT j
229 FOR j=0 TO 5: LET yj=378+j
230 POINT VAL "x0",VAL "yj"
231 NEXT j
232 FOR j=0 TO 5: LET xi=506+j
233 POINT VAL "xi",VAL "y0"
234 NEXT j
235 FOR j=0 TO 5: LET yj=378+j
236 POINT VAL "x0",VAL "yj"
237 NEXT j
238 FOR j=0 TO 5: LET xi=506+j
239 POINT VAL "xi",VAL "y0"
240 NEXT j
241 FOR j=0 TO 5: LET yj=378+j
242 POINT VAL "x0",VAL "yj"
243 NEXT j
244 FOR j=0 TO 5: LET xi=506+j
245 POINT VAL "xi",VAL "y0"
246 NEXT j
247 FOR j=0 TO 5: LET yj=378+j
248 POINT VAL "x0",VAL "yj"
249 NEXT j
250 FOR j=0 TO 5: LET xi=506+j
251 POINT VAL "xi",VAL "y0"
252 NEXT j
253 FOR j=0 TO 5: LET yj=378+j
254 POINT VAL "x0",VAL "yj"
255 NEXT j
256 FOR j=0 TO 5: LET xi=506+j
257 POINT VAL "xi",VAL "y0"
258 NEXT j
259 FOR j=0 TO 5: LET yj=378+j
260 POINT VAL "x0",VAL "yj"
261 NEXT j
262 FOR j=0 TO 5: LET xi=506+j
263 POINT VAL "xi",VAL "y0"
264 NEXT j
265 FOR j=0 TO 5: LET yj=378+j
266 POINT VAL "x0",VAL "yj"
267 NEXT j
268 FOR j=0 TO 5: LET xi=506+j
269 POINT VAL "xi",VAL "y0"
270 NEXT j
271 FOR j=0 TO 5: LET yj=378+j
272 POINT VAL "x0",VAL "yj"
273 NEXT j
274 FOR j=0 TO 5: LET xi=506+j
275 POINT VAL "xi",VAL "y0"
276 NEXT j
277 FOR j=0 TO 5: LET yj=378+j
278 POINT VAL "x0",VAL "yj"
279 NEXT j
280 FOR j=0 TO 5: LET xi=506+j
281 POINT VAL "xi",VAL "y0"
282 NEXT j
283 FOR j=0 TO 5: LET yj=378+j
284 POINT VAL "x0",VAL "yj"
285 NEXT j
286 FOR j=0 TO 5: LET xi=506+j
287 POINT VAL "xi",VAL "y0"
288 NEXT j
289 FOR j=0 TO 5: LET yj=378+j
290 POINT VAL "x0",VAL "yj"
291 NEXT j
292 FOR j=0 TO 5: LET xi=506+j
293 POINT VAL "xi",VAL "y0"
294 NEXT j
295 FOR j=0 TO 5: LET yj=378+j
296 POINT VAL "x0",VAL "yj"
297 NEXT j
298 FOR j=0 TO 5: LET xi=506+j
299 POINT VAL "xi",VAL "y0"
300 NEXT j
301 FOR j=0 TO 5: LET yj=378+j
302 POINT VAL "x0",VAL "yj"
303 NEXT j
304 FOR j=0 TO 5: LET xi=506+j
305 POINT VAL "xi",VAL "y0"
306 NEXT j
307 FOR j=0 TO 5: LET yj=378+j
308 POINT VAL "x0",VAL "yj"
309 NEXT j
310 FOR j=0 TO 5: LET yj=378+j
311 POINT VAL "x0",VAL "yj"
312 NEXT j
313 FOR j=0 TO 5: LET xi=506+j
314 POINT VAL "xi",VAL "y0"
315 NEXT j
316 FOR j=0 TO 5: LET yj=378+j
317 POINT VAL "x0",VAL "yj"
318 NEXT j
319 FOR j=0 TO 5: LET xi=506+j
320 POINT VAL "xi",VAL "y0"
321 NEXT j
322 FOR j=0 TO 5: LET yj=378+j
323 POINT VAL "x0",VAL "yj"
324 NEXT j
325 FOR j=0 TO 5: LET xi=506+j
326 POINT VAL "xi",VAL "y0"
327 NEXT j
328 FOR j=0 TO 5: LET yj=378+j
329 POINT VAL "x0",VAL "yj"
330 NEXT j
331 FOR j=0 TO 5: LET xi=506+j
332 POINT VAL "xi",VAL "y0"
333 NEXT j
334 FOR j=0 TO 5: LET yj=378+j
335 POINT VAL "x0",VAL "yj"
336 NEXT j
337 FOR j=0 TO 5: LET xi=506+j
338 POINT VAL "xi",VAL "y0"
339 NEXT j
340 FOR j=0 TO 5: LET yj=378+j
341 POINT VAL "x0",VAL "yj"
342 NEXT j
343 FOR j=0 TO 5: LET xi=506+j
344 POINT VAL "xi",VAL "y0"
345 NEXT j
346 FOR j=0 TO 5: LET yj=378+j
347 POINT VAL "x0",VAL "yj"
348 NEXT j
349 FOR j=0 TO 5: LET xi=506+j
350 POINT VAL "xi",VAL "y0"
351 NEXT j
352 FOR j=0 TO 5: LET yj=378+j
353 POINT VAL "x0",VAL "yj"
354 NEXT j
355 FOR j=0 TO 5: LET xi=506+j
356 POINT VAL "xi",VAL "y0"
357 NEXT j
358 FOR j=0 TO 5: LET yj=378+j
359 POINT VAL "x0",VAL "yj"
360 NEXT j
361 FOR j=0 TO 5: LET xi=506+j
362 POINT VAL "xi",VAL "y0"
363 NEXT j
364 FOR j=0 TO 5: LET yj=378+j
365 POINT VAL "x0",VAL "yj"
366 NEXT j
367 FOR j=0 TO 5: LET xi=506+j
368 POINT VAL "xi",VAL "y0"
369 NEXT j
370 FOR j=0 TO 5: LET yj=378+j
371 POINT VAL "x0",VAL "yj"
372 NEXT j
373 FOR j=0 TO 5: LET xi=506+j
374 POINT VAL "xi",VAL "y0"
375 NEXT j
376 FOR j=0 TO 5: LET yj=378+j
377 POINT VAL "x0",VAL "yj"
378 NEXT j
379 FOR j=0 TO 5: LET xi=506+j
380 POINT VAL "xi",VAL "y0"
381 NEXT j
382 FOR j=0 TO 5: LET yj=378+j
383 POINT VAL "x0",VAL "yj"
384 NEXT j
385 FOR j=0 TO 5: LET xi=506+j
386 POINT VAL "xi",VAL "y0"
387 NEXT j
388 FOR j=0 TO 5: LET yj=378+j
389 POINT VAL "x0",VAL "yj"
390 NEXT j
391 FOR j=0 TO 5: LET xi=506+j
392 POINT VAL "xi",VAL "y0"
393 NEXT j
394 FOR j=0 TO 5: LET yj=378+j
395 POINT VAL "x0",VAL "yj"
396 NEXT j
397 FOR j=0 TO 5: LET xi=506+j
398 POINT VAL "xi",VAL "y0"
399 NEXT j
400 FOR j=0 TO 5: LET yj=378+j
401 POINT VAL "x0",VAL "yj"
402 NEXT j
403 FOR j=0 TO 5: LET xi=506+j
404 POINT VAL "xi",VAL "y0"
405 NEXT j
406 FOR j=0 TO 5: LET yj=378+j
407 POINT VAL "x0",VAL "yj"
408 NEXT j
409 FOR j=0 TO 5: LET xi=506+j
410 POINT VAL "xi",VAL "y0"
411 NEXT j
412 FOR j=0 TO 5: LET yj=378+j
413 POINT VAL "x0",VAL "yj"
414 NEXT j
415 FOR j=0 TO 5: LET xi=506+j
416 POINT VAL "xi",VAL "y0"
417 NEXT j
418 FOR j=0 TO 5: LET yj=378+j
419 POINT VAL "x0",VAL "yj"
420 NEXT j
421 FOR j=0 TO 5: LET xi=506+j
422 POINT VAL "xi",VAL "y0"
423 NEXT j
424 FOR j=0 TO 5: LET yj=378+j
425 POINT VAL "x0",VAL "yj"
426 NEXT j
427 FOR j=0 TO 5: LET xi=506+j
428 POINT VAL "xi",VAL "y0"
429 NEXT j
430 FOR j=0 TO 5: LET yj=378+j
431 POINT VAL "x0",VAL "yj"
432 NEXT j
433 FOR j=0 TO 5: LET xi=506+j
434 POINT VAL "xi",VAL "y0"
435 NEXT j
436 FOR j=0 TO 5: LET yj=378+j
437 POINT VAL "x0",VAL "yj"
438 NEXT j
439 FOR j=0 TO 5: LET xi=506+j
440 POINT VAL "xi",VAL "y0"
441 NEXT j
442 FOR j=0 TO 5: LET yj=378+j
443 POINT VAL "x0",VAL "yj"
444 NEXT j
445 FOR j=0 TO 5: LET xi=506+j
446 POINT VAL "xi",VAL "y0"
447 NEXT j
448 FOR j=0 TO 5: LET yj=378+j
449 POINT VAL "x0",VAL "yj"
450 NEXT j
451 FOR j=0 TO 5: LET xi=506+j
452 POINT VAL "xi",VAL "y0"
453 NEXT j
454 FOR j=0 TO 5: LET yj=378+j
455 POINT VAL "x0",VAL "yj"
456 NEXT j
457 FOR j=0 TO 5: LET xi=506+j
458 POINT VAL "xi",VAL "y0"
459 NEXT j
460 FOR j=0 TO 5: LET yj=378+j
461 POINT VAL "x0",VAL "yj"
462 NEXT j
463 FOR j=0 TO 5: LET xi=506+j
464 POINT VAL "xi",VAL "y0"
465 NEXT j
466 FOR j=0 TO 5: LET yj=378+j
467 POINT VAL "x0",VAL "yj"
468 NEXT j
469 FOR j=0 TO 5: LET xi=506+j
470 POINT VAL "xi",VAL "y0"
471 NEXT j
472 FOR j=0 TO 5: LET yj=378+j
473 POINT VAL "x0",VAL "yj"
474 NEXT j
475 FOR j=0 TO 5: LET xi=506+j
476 POINT VAL "xi",VAL "y0"
477 NEXT j
478 FOR j=0 TO 5: LET yj=378+j
479 POINT VAL "x0",VAL "yj"
480 NEXT j
481 FOR j=0 TO 5: LET xi=506+j
482 POINT VAL "xi",VAL "y0"
483 NEXT j
484 FOR j=0 TO 5: LET yj=378+j
485 POINT VAL "x0",VAL "yj"
486 NEXT j
487 FOR j=0 TO 5: LET xi=506+j
488 POINT VAL "xi",VAL "y0"
489 NEXT j
490 FOR j=0 TO 5: LET yj=378+j
491 POINT VAL "x0",VAL "yj"
492 NEXT j
493 FOR j=0 TO 5: LET xi=506+j
494 POINT VAL "xi",VAL "y0"
495 NEXT j
496 FOR j=0 TO 5: LET yj=378+j
497 POINT VAL "x0",VAL "yj"
498 NEXT j
499 FOR j=0 TO 5: LET xi=506+j
500 POINT VAL "xi",VAL "y0"
501 NEXT j
502 FOR j=0 TO 5: LET yj=378+j
503 POINT VAL "x0",VAL "yj"
504 NEXT j
505 FOR j=0 TO 5: LET xi=506+j
506 POINT VAL "xi",VAL "y0"
507 NEXT j
508 FOR j=0 TO 5: LET yj=378+j
509 POINT VAL "x0",VAL "yj"
510 NEXT j
511 FOR j=0 TO 5: LET xi=506+j
512 POINT VAL "xi",VAL "y0"
513 NEXT j
514 FOR j=0 TO 5: LET yj=378+j
515 POINT VAL "x0",VAL "yj"
516 NEXT j
517 FOR j=0 TO 5: LET xi=506+j
518 POINT VAL "xi",VAL "y0"
519 NEXT j
520 FOR j=0 TO 5: LET yj=378+j
521 POINT VAL "x0",VAL "yj"
522 NEXT j
523 FOR j=0 TO 5: LET xi=506+j
524 POINT VAL "xi",VAL "y0"
525 NEXT j
526 FOR j=0 TO 5: LET yj=378+j
527 POINT VAL "x0",VAL "yj"
528 NEXT j
529 FOR j=0 TO 5: LET xi=506+j
530 POINT VAL "xi",VAL "y0"
531 NEXT j
532 FOR j=0 TO 5: LET yj=378+j
533 POINT VAL "x0",VAL "yj"
534 NEXT j
535 FOR j=0 TO 5: LET xi=506+j
536 POINT VAL "xi",VAL "y0"
537 NEXT j
538 FOR j=0 TO 5: LET yj=378+j
539 POINT VAL "x0",VAL "yj"
540 NEXT j
541 FOR j=0 TO 5: LET xi=506+j
542 POINT VAL "xi",VAL "y0"
543 NEXT j
544 FOR j=0 TO 5: LET yj=378+j
545 POINT VAL "x0",VAL "yj"
546 NEXT j
547 FOR j=0 TO 5: LET xi=506+j
548 POINT VAL "xi",VAL "y0"
549 NEXT j
550 FOR j=0 TO 5: LET yj=378+j
551 POINT VAL "x0",VAL "yj"
552 NEXT j
553 FOR j=0 TO 5: LET xi=506+j
554 POINT VAL "xi",VAL "y0"
555 NEXT j
556 FOR j=0 TO 5: LET yj=378+j
557 POINT VAL "x0",VAL "yj"
558 NEXT j
559 FOR j=0 TO 5: LET xi=506+j
560 POINT VAL "xi",VAL "y0"
561 NEXT j
562 FOR j=0 TO 5: LET yj=378+j
563 POINT VAL "x0",VAL "yj"
564 NEXT j
565 FOR j=0 TO 5: LET xi=506+j
566 POINT VAL "xi",VAL "y0"
567 NEXT j
568 FOR j=0 TO 5: LET yj=378+j
569 POINT VAL "x0",VAL "yj"
570 NEXT j
571 FOR j=0 TO 5: LET xi=506+j
572 POINT VAL "xi",VAL "y0"
573 NEXT j
574 FOR j=0 TO 5: LET yj=378+j
575 POINT VAL "x0",VAL "yj"
576 NEXT j
577 FOR j=0 TO 5: LET xi=506+j
578 POINT VAL "xi",VAL "y0"
579 NEXT j
580 FOR j=0 TO 5: LET yj=378+j
581 POINT VAL "x0",VAL "yj"
582 NEXT j
583 FOR j=0 TO 5: LET xi=506+j
584 POINT VAL "xi",VAL "y0"
585 NEXT j
586 FOR j=0 TO 5: LET yj=378+j
587 POINT VAL "x0",VAL "yj"
588 NEXT j
589 FOR j=0 TO 5: LET xi=506+j
590 POINT VAL "xi",VAL "y0"
591 NEXT j
592 FOR j=0 TO 5: LET yj=378+j
593 POINT VAL "x0",VAL "yj"
594 NEXT j
595 FOR j=0 TO 5: LET xi=506+j
596 POINT VAL "xi",VAL "y0"
597 NEXT j
598 FOR j=0 TO 5: LET yj=378+j
599 POINT VAL "x0",VAL "yj"
600 NEXT j
601 FOR j=0 TO 5: LET xi=506+j
602 POINT VAL "xi",VAL "y0"
603 NEXT j
604 FOR j=0 TO 5: LET yj=378+j
605 POINT VAL "x0",VAL "yj"
606 NEXT j
607 FOR j=0 TO 5: LET xi=506+j
608 POINT VAL "xi",VAL "y0"
609 NEXT j
610 FOR j=0 TO 5: LET yj=378+j
611 POINT VAL "x0",VAL "yj"
612 NEXT j
613 FOR j=0 TO 5: LET xi=506+j
614 POINT VAL "xi",VAL "y0"
615 NEXT j
616 FOR j=0 TO 5: LET yj=378+j
617 POINT VAL "x0",VAL "yj"
618 NEXT j
619 FOR j=0 TO 5: LET xi=506+j
620 POINT VAL "xi",VAL "y0"
621 NEXT j
622 FOR j=0 TO 5: LET yj=378+j
623 POINT VAL "x0",VAL "yj"
624 NEXT j
625 FOR j=0 TO 5: LET xi=506+j
626 POINT VAL "xi",VAL "y0"
627 NEXT j
628 FOR j=0 TO 5: LET yj=378+j
629 POINT VAL "x0",VAL "yj"
630 NEXT j
631 FOR j=0 TO 5: LET xi=506+j
632 POINT VAL "xi",VAL "y0"
633 NEXT j
634 FOR j=0 TO 5: LET yj=378+j
635 POINT VAL "x0",VAL "yj"
636 NEXT j
637 FOR j=0 TO 5: LET xi=506+j
638 POINT VAL "xi",VAL "y0"
639 NEXT j
640 FOR j=0 TO 5: LET yj=378+j
641 POINT VAL "x0",VAL "yj"
642 NEXT j
643 FOR j=0 TO 5: LET xi=506+j
644 POINT VAL "xi",VAL "y0"
645 NEXT j
646 FOR j=0 TO 5: LET yj=378+j
647 POINT VAL "x0",VAL "yj"
648 NEXT j
649 FOR j=0 TO 5: LET xi=506+j
650 POINT VAL "xi",VAL "y0"
651 NEXT j
652 FOR j=0 TO 5: LET yj=378+j
653 POINT VAL "x0",VAL "yj"
654 NEXT j
655 FOR j=0 TO 5: LET xi=506+j
656 POINT VAL "xi",VAL "y0"
657 NEXT j
658 FOR j=0 TO 5: LET yj=378+j
659 POINT VAL "x0",VAL "yj"
660 NEXT j
661 FOR j=0 TO 5: LET xi=506+j
662 POINT VAL "xi",VAL "y0"
663 NEXT j
664 FOR j=0 TO 5: LET yj=378+j
665 POINT VAL "x0",VAL "yj"
666 NEXT j
667 FOR j=0 TO 5: LET xi=506+j
668 POINT VAL "xi",VAL "y0"
669 NEXT j
670 FOR j=0 TO 5: LET yj=378+j
671 POINT VAL "x0",VAL "yj"
672 NEXT j
673 FOR j=0 TO 5: LET xi=506+j
674 POINT VAL "xi",VAL "y0"
675 NEXT j
676 FOR j=0 TO 5: LET yj=378+j
677 POINT VAL "x0",VAL "yj"
678 NEXT j
679 FOR j=0 TO 5: LET xi=506+j
680 POINT VAL "xi",VAL "y0"
681 NEXT j
682 FOR j=0 TO 5: LET yj=378+j
683 POINT VAL "x0",VAL "yj"
684 NEXT j
685 FOR j=0 TO 5: LET xi=506+j
686 POINT VAL "xi",VAL "y0"
687 NEXT j
688 FOR j=0 TO 5: LET yj=378+j
689 POINT VAL "x0",VAL "yj"
690 NEXT j
691 FOR j=0 TO 5: LET xi=506+j
692 POINT VAL "xi",VAL "y0"
693 NEXT j
694 FOR j=0 TO 5: LET yj=378+j
695 POINT VAL "x0",VAL "yj"
696 NEXT j
697 FOR j=0 TO 5: LET xi=506+j
698 POINT VAL "xi",VAL "y0"
699 NEXT j
700 FOR j=0 TO 5: LET yj=378+j
701 POINT VAL "x0",VAL "yj"
702 NEXT j
703 FOR j=0 TO 5: LET xi=506+j
704 POINT VAL "xi",VAL "y0"
705 NEXT j
706 FOR j=0 TO 5: LET yj=378+j
707 POINT VAL "x0",VAL "yj"
708 NEXT j
709 FOR j=0 TO 5: LET xi=506+j
710 POINT VAL "xi",VAL "y0"
711 NEXT j
712 FOR j=0 TO 5: LET yj=378+j
713 POINT VAL "x0",VAL "yj"
714 NEXT j
715 FOR j=0 TO 5: LET xi=506+j
716 POINT VAL "xi",VAL "y0"
717 NEXT j
718 FOR j=0 TO 5: LET yj=378+j
719 POINT VAL "x0",VAL "yj"
720 NEXT j
721 FOR j=0 TO 5: LET xi=506+j
722 POINT VAL "xi",VAL "y0"
723 NEXT j
724 FOR j=0 TO 5: LET yj=378+j
725 POINT VAL "x0",VAL "yj"
726 NEXT j
727 FOR j=0 TO 5: LET xi=506+j
728 POINT VAL "xi",VAL "y0"
729 NEXT j
730 FOR j=0 TO 5: LET yj=378+j
731 POINT VAL "x0",VAL "yj"
732 NEXT j
733 FOR j=0 TO 5: LET xi=506+j
734 POINT VAL "xi",VAL "y0"
735 NEXT j
736 FOR j=0 TO 5: LET yj=378+j
737 POINT VAL "x0",VAL "yj"
738 NEXT j
739 FOR j=0 TO 5: LET xi=506+j
740 POINT VAL "xi",VAL "y0"
741 NEXT j
742 FOR j=0 TO 5: LET yj=378+j
743 POINT VAL "x0",VAL "yj"
744 NEXT j
745 FOR j=0 TO 5: LET xi=506+j
746 POINT VAL "xi",VAL "y0"
747 NEXT j
748 FOR j=0 TO 5: LET yj=378+j
749 POINT VAL "x0",VAL "yj"
750 NEXT j
751 FOR j=0 TO 5: LET xi=506+j
752 POINT VAL "xi",VAL "y0"
753 NEXT j
754 FOR j=0 TO 5: LET yj=378+j
755 POINT VAL "x0",VAL "yj"
756 NEXT j
757 FOR j=0 TO 5: LET xi=506+j
758 POINT VAL "xi",VAL "y0"
759 NEXT j
760 FOR j=0 TO 5: LET yj=378+j
761 POINT VAL "x0",VAL "yj"
762 NEXT j
763 FOR j=0 TO 5: LET xi=506+j
764 POINT VAL "xi",VAL "y0"
765 NEXT j
766 FOR j=0 TO 5: LET yj=378+j
767 POINT VAL "x0",VAL "yj"
768 NEXT j
769 FOR j=0 TO 5: LET xi=506+j
770 POINT VAL "xi",VAL "y0"
771 NEXT j
772 FOR j=0 TO 5: LET yj=378+j
773 POINT VAL "x0",VAL "yj"
774 NEXT j
775 FOR j=0 TO 5: LET xi=506+j
776 POINT VAL "xi",VAL "y0"
777 NEXT j
778 FOR j=0 TO 5: LET yj=378+j
779 POINT VAL "x0",VAL "yj"
780 NEXT j
781 FOR j=0 TO 5: LET xi=506+j
782 POINT VAL "xi",VAL "y0"
783 NEXT j
784 FOR j=0 TO 5: LET yj=378+j
785 POINT VAL "x0",VAL "yj"
786 NEXT j
787 FOR j=0 TO 5: LET xi=506+j
788 POINT VAL "xi",VAL "y0"
789 NEXT j
790 FOR j=0 TO 5: LET yj=378+j
791 POINT VAL "x0",VAL "yj"
792 NEXT j
793 FOR j=0 TO 5: LET xi=506+j
794 POINT VAL "xi",VAL "y0"
795 NEXT j
796 FOR j=0 TO 5: LET yj=378+j
797 POINT VAL "x0",VAL "yj"
798 NEXT j
799 FOR j=0 TO 5: LET xi=506+j
800 POINT VAL "xi",VAL "y0"
801 NEXT j
802 FOR j=0 TO 5: LET yj=378+j
803 POINT VAL "x0",VAL "yj"
804 NEXT j
805 FOR j=0 TO 5: LET xi=506+j
806 POINT VAL "xi",VAL "y0"
807 NEXT j
808 FOR j=0 TO 5: LET yj=378+j
809 POINT VAL "x0",VAL "yj"
810 NEXT j
811 FOR j=0 TO 5: LET xi=506+j
812 POINT VAL "xi",VAL "y0"
813 NEXT j
814 FOR j=0 TO 5: LET yj=378+j
815 POINT VAL "x0",VAL "yj"
816 NEXT j
817 FOR j=0 TO 5: LET xi=506+j
818 POINT VAL "xi",VAL "y0"
819 NEXT j
820 FOR j=0 TO 5: LET yj=378+j
821 POINT VAL "x0",VAL "yj"
822 NEXT j
823 FOR j=0 TO 5: LET xi=506+j
824 POINT VAL "xi",VAL "y0"
825 NEXT j
826 FOR j=0 TO 5: LET yj=378+j
827 POINT VAL "x0",VAL "yj"
828 NEXT j
829 FOR j=0 TO 5: LET xi=506+j
830 POINT VAL "xi",VAL "y0"
831 NEXT j
832 FOR j=0 TO 5: LET yj=378+j
833 POINT VAL "x0",VAL "yj"
834 NEXT j
835 FOR j=0 TO 5: LET xi=506+j
836 POINT VAL "xi",VAL "y0"
837 NEXT j
838 FOR j=0 TO 5: LET yj=378+j
839 POINT VAL "x0",VAL "yj"
840 NEXT j
841 FOR j=0 TO 5: LET xi=506+j
842 POINT VAL "xi",VAL "y0"
843 NEXT j
844 FOR j=0 TO 5: LET yj=378+j
845 POINT VAL "x0",VAL "yj"
846 NEXT j
847 FOR j=0 TO 5: LET xi=506+j
848 POINT VAL "xi",VAL "y0"
849 NEXT j
850 FOR j=0 TO 5: LET yj=378+j
851 POINT VAL "x0",VAL "yj"
852 NEXT j
853 FOR j=0 TO 5: LET xi=506+j
854 POINT VAL "xi",VAL "y0"
855 NEXT j
856 FOR j=0 TO 5: LET yj=378+j
857 POINT VAL "x0",VAL "yj"
858 NEXT j
859 FOR j=0 TO 5: LET xi=506+j
860 POINT VAL "xi",VAL "y0"
861 NEXT j
862 FOR j=0 TO 5: LET yj=378+j
863 POINT VAL "x0",VAL "yj"
864 NEXT j
865 FOR j=0 TO 5: LET xi=506+j
866 POINT VAL "xi",VAL "y0"
867 NEXT j
868 FOR j=0 TO 5: LET yj=378+j
869 POINT VAL "x0",VAL "yj"
870 NEXT j
871 FOR j=0 TO 5: LET xi=506+j
872 POINT VAL "xi",VAL "y0"
873 NEXT j
874 FOR j=0 TO 5: LET yj=378+j
875 POINT VAL
```

condus la "butonul manivelei" (in prima pozitie, punctul conjugat figurativ "A1") de coordonate " $x_{A1}=-70$ mm" si " $y_{A1}=-50$ mm", corespunzatoare mecanismului manivela-balansier descris in subcap.3.1 care are manivela de 30 mm. In continuare s-a "plimbat" (prin posibilitatea relevata mai sus) cupla fixa a balansierului (centrul figurativ "Bo") "de la un capat la celalalt" al curbei centrelor, calculind de fiecare data coordonatele couplei mobile a balansierului (in prima pozitie, punctul conjugat figurativ "B1"). Astfel s-au putut calcula si dimensiunile bielei "A1B1", balansierului "BoB1" si batialui "AoBo". S-a impus ca "anumita conditie de sinteza", existenta elementului "AoA1" de 30 mm ca manivela rotitoare. Aceasta inseamna respectarea "conditiei lui Grashof" de existenta a manivelei rotitoare $[K7]/[P3]$ (lungimea manivelei plus lungimea maxima dintre celelalte trei elemente sa fie mai mica decit suma lungimilor elementelor intermediare). S-a "marcat" differentiat centrul de pe curba de sinteza dupa cum a dus sau nu la mecanisme patrulater cu "AoA=30 mm" ca manivela rotitoare.

Conform celor mai sus expuse, s-a intocmit un program, sub forma conversationala, in "BASIC"-ul "extins" conform subcap. 7.3, pentru reprezentarea unei curbe a centrelor utilizind ecuatia de tip (7.13). Ca date de intrare se "cer" pe linge cele de la programul precedent, si cele patru pozitii de sinteza initial impuse. Ciclurile de baleiere a planului (dupa linia 600) cu raza polară (adica rezolvare repetata a ecuatiei de gradul doi (7.13)) sunt aici diferențiate dupa semnele "+/-" inata radicalului iar in subrutina de trasare (dupa linia 650), diferențierea centrelor (reprezentate prin "puncte mari"/"puncte mici") s-a facut dupa cum sunt favorabile sau nu "anumitei conditii de sinteza", prin calculul (intre liniile 470...800) siordonarea (intre liniile 810...860) lungimilor elementelor recunoscute, prin impunerea conditiei Grashof (linia 870) si in secente "specializate" de trasare.

Pe verso-ul paginii 203, se expune listingul unei variante a programului (lungime 4281 bytes) comentat mai sus.

Programul pomenit mai sus a fost rulat pentru "exemplul V" mintit la subcap.7.1 caruia ii corespunde ecuatiile (7.9), rezultand in aceleasi conditii dimensionale ca in subcap.7.3.5, curba din fig.7.7. Pasul unghiular utilizat a fost de 0.125 grade, conditie prin care s-a obtinut in cca. 150 minute de



rulare, o curba a carei "ZONA INGRoSATA" este "FAVORABILA" amplasarii articulatiei fixe a balansierului ("Bo") si a carei "ZONA SUBTIATA" este "NEFAVORABILA" amplasarii acelasi articulatii, in circumstantele ca s-a impus mai inainte, amintita "ANUME CONDITIE".

Primele studii ale "zonelor favorabile/nefavorabile" pentru sinteza (in sensul existentei manivelei rotitoare) ale curbelor Burmester, au fost efectuate de catre autor, pe cazuri particulare, in [M26].

Utilizarea ca "ANUME CONDITIE" a unei relatii tip Grashof de existenta a unei manivele rotitoare, constituie doar un exemplu, in acelasi context putindu-se lua in considerare si alte restrictii (ex: nedepasirea unui unghi de presiune impus sau realizarea unei "proprietati" intre lungimile elementelor mecanismului). Efectul pe curba centrelor a unor astfel de restrictii, va consta in evidențierea unor "ZONE FAVORABILE" alternind cu "ZONE NEFAVORABILE" ca in fig.7.7.

La proiectarea unui utilaj continind mecanisme pentru care s-au evidențiat zone favorabile/nefavorabile pe curba centrelor, "imaginii" ca fig.7.7 se pot "proiecta" pe silueta la scara corespunzatoare batiului, rezultind astfel (prin suprapunerea/nesuprapunerea zonelor favorabile cu batii) daca are sens continuarea sintezei sau este necesara schimbarea prevederilor tenei de proiectare.

In acest ultim program prezentat, este inclus, in subrutina de tracarea zonelor favorabile/nefavorabile, un calcul (liniile 670...760) de determinare a punctului conjugat centrului "current", in prima pozitie a planului mobil (se trec coordonatele centrului din planul fix in sistemul de referinta al planului mobil, in a doua si a treia pozitie, cu relatiile (2.124) si (2.125); se repereaza aceste coordonate in prima pozitie a planului mobil si se trec cu relatiile (2.19) si (2.20) in planul fix rezultind astfel doua puncte care impreuna cu centrul considerat determina un cerc cu centrul dat de relatii tip (2.4) si (2.5); centrul acestui cerc este punctul de pe curba punctelor conjugat centrului curent de pe curba centrelor si este determinat in prima pozitie a planului mobil). Daca se introduce acest calcul in penultimul program prezentat si se vor "desena" atit "centrul curent" cit si "punctul conjugat", atunci se vor obtine concomitent dupa terminarea

ciclarilor, atit curba centrelor cit si curba punctelor cercuale in prima sa pozitie. Astfel se ajunge si pe aceasta cale la aceleasi rezultate ca si cele obtinute (probabil) prin metoda "numerelor complexe" (descrisa in subcap.2.4.5.3) sau ca cele obtinabile prin metoda bazata pe "o proprietate a polilor rotatiilor" finite (descrisa in subcap.6.5.4). La acest aspect, autorul isi propune sa revina in alte lucrari, eventual cu ajutorul unui calculator mai performant.

Tot ceea ce s-a expus in acest subcapitol, dupa cum se poate observa, este valabil pentru curbe ale centrelor/punctelor cercuale cu o singura ramura. Pentru cazul curbelor cu doua ramuri (una inchisa), problema utilizarii ecuatiei polare cu originea in centrul/punctul intermediar de inflexiune, se poate pune in mod similar privitor la ramura deschisa (eventual unghiul de baleiere al razei polare va fi mult mai mic decit 180 grade) iar pentru ramura inchisa trebuie creat un algoritm specializat pentru a parcurge aceasta bucla conform principiului "vecinatatii" (se va tine seama de faptul ca "punctele mai apropiate" de polul "I2" rezulta prin semnul "-" in fata radicalului ce da raza polara, iar "punctele mai departate" de "I2" rezulta prin semnul "+" in fata aceluiasi radical, sau invers, atunci cind unghiul polar ia valori in interiorul unghiului ascuns care din "I2" cuprinde tangent bucla inchisa (si se vede fig.5.3>). Si asupra acestui aspect, autorul isi propune sa revina in alte lucrari.

Utilizarea in scopuri "grafice", ca mai inainte a ecuatiei polare cu originea in centrul intermediar de inflexiune al curbei centrelor, este usor de schimbat spre rezultate tabelare.

7.7. Programe pentru rezolvarea ecuatiilor cu o singura necunoscuta

Inlocuind coeficientii din tab.7.4 in relatia (5.124), se obtine

$$-4 \cdot k^4 + 0,0010062503 \cdot k^3 + 0,29999255 \cdot k^2 + 1,8078155 \cdot k + 0,0026663945 = 0 \quad (7.14)$$

Care, pentru "exemplul V", permite determinarea parametrilor

```

10 REM *****
20 PROGRAM PENTRU REZOLVAREA
30 ECUATIILOR PRIN CAUTAREA
40 RADACINILOR INTR-UN INTERVAL
*****  

50 LET c=0
510 LET x=(left+right)/2
520 LET y=FN f(x)
530 LET c+=1
540 IF c>maxb THEN GO TO 690
550 IF ABS (y)<tol*x AND x<1 TH
EN GO TO 640
560 IF ABS (y)<tol*x AND 1<x TH
EN GO TO 640
570 LET prod=f*y
580 IF prod<0 THEN GO TO 610
590 LET left=x
600 GO TO 510
610 IF prod>0 THEN GO TO 640
620 LET right=x
630 GO TO 510
640 LET r(n)=x
650 LET f(n)=y
660 LET size=right-left
670 LET e(n)=size
680 GO TO 270
690 REM *val aprox *
700 PRINT AT 10,2;"Dupa nr. max.
de bisectii am";AT 11,2;"ajuns la rad ";n;: x=";left; , , "right"
710 PRINT AT 12,2;"F(rad)";y
720 LET size=right-left
730 PRINT AT 13,2;"precizie ";size
740 PRINT AT 14,2;"val aprox re
t ca media extr ";
745 PRINT AT 21,1;"apasa o tast
al"; PAUSE 0; CLS
750 LET r(n)=(left+right)/2
760 LET f(n)=y
770 PRINT r(n)
780 LET e(n)=size
790 GO TO 270
800 CLS : FOR i=1 TO nrad
810 PRINT AT 5,2;"radacina ";r(i)
820 PRINT AT 6,2;"F(";r(i);")=
";f(i)
830 PRINT AT 7,2;"precizie ";e(i)
840 PRINT AT 20,5;"apasa o tast
al"; PAUSE 0
850 CLS
860 NEXT i
870 PRINT AT 21,0;"ALTA FUNCTIE
"; PAUSE 0
880 IF INKEY$="n" OR INKEY$="N"
THEN STOP
890 GO TO 19

```



```

10 REM *****
20 PROGRAM PENTRU REZOLVAREA
30 ECUATIILOR PRIN CAUTAREA
40 RADACINILOR IN JURUL UNEI
50 VALORI INITIALE
*****  

50 BORDER 0; PAPER 0; INK 7; C
LS
60 DEF FN s(y,z)=((ABS (y-z)<=
ABS (z)*tolx) OR (ABS (y-z)<=ABS
(y)*tolx))
65 GO SUB 2300
67 PRINT AT 2,1;"F(X)= "
70 INPUT "f(x)";a$
70 DEF FN f(x)=VAL a$: PRINT a
$ 85 PRINT AT 21,0;"CORECT?": PA
USE 0
86 IF INKEY$="N" OR INKEY$="n"
THEN GO TO 67
87 IF INKEY$<>"" THEN GO TO 89
88 GO TO 85
89 GO SUB 2500
90 INPUT "punct pornire cautare";
frsg
100 PRINT AT 2,2;"punct pornire
cautare";frsg
110 INPUT "pas cautare";step
120 PRINT AT 3,2;"pas cautare";
step
130 INPUT "nr. max de pasi ";ma
xb
140 PRINT AT 4,2;"nr. max de pa
si ";maxb
150 INPUT "nr. max de iteratii";
itrmx
160 PRINT AT 5,2;"nr. max de it
eratii ";itrmx
170 INPUT "Tol. ptr. rad. ";tol
180 PRINT AT 6,2;"Tol. pir. rad
";tolx
190 INPUT "tol. ptr. f(x) ";tol
200 PRINT AT 7,2;"tol. ptr. fx
";tolfx
210 GO SUB 270
220 PRINT AT 8,2;"radacina = ";
r
230 PRINT AT 9,2;"val functi
";r
240 INPUT "mai doriti sa calcul
ati?";g$
250 IF g$="d" OR g$="D" THEN GO
TO 50
260 STOP
270 REM *ROOTA*
280 LET dp=(step<=0) OR (maxb<=
0) OR (itrmx<=0) OR (tolx<=0) OR
(tol<=0)
290 IF dp=1 THEN PRINT AT 10,2;
"date eronate!"; PAUSE 200; CLS
: GO TO 90
300 LET x2=frsg
310 LET y2=FN f(x2)
320 LET kounts=0
330 LET rtn=-1
340 REM *Init sr CHKIT*
350 LET t1=x
360 LET z1=y2
370 LET ste=0
380 GO SUB 1270
390 LET x2=t2; LET y2=z2
400 IF rtn=1 THEN PRINT "soluti
i:"; RETURN
410 REM *INIT SR CHKIT*
420 LET t1=x2
430 LET z1=y2
440 LET ste=step
450 GO SUB 1270

```

definitori ai tangentelor paralele cu asymptota (corespunzatori curbei "f1234" din fig.7.5).

Inlocuind coeficientii din tab.7.7 in relatia (5.124), se obtine

$$-4 \cdot k^4 + 0,0016449337 \cdot k^3 + 0,3233488 \cdot k^2 + 1,5092002 \cdot k + 0,0015205511 = 0 \quad (7.15)$$

care, pentru "exemplul VI", permite determinarea parametrilor definitori ai tangentelor paralele cu asymptota (corespunzatori curbei "f1235" din fig.7.5).

Inlocuind, mai intai, coeficientii din tab.7.4 in relatiile (5.166)...(5.171) si apoi rezultatele obtinute in relatia (5.164), se ajunge la

$$\begin{aligned} & 5,4131572 \cdot 10^{28} \cdot t^6 + 9,9395094 \cdot 10^{25} \cdot t^5 - 5,1881938 \cdot 10^{22} \cdot t^4 - 1,4037592 \cdot 10^{20} \cdot t^3 + \\ & + 5,1310153 \cdot 10^{16} \cdot t^2 + 4,6368226 \cdot 10^{13} \cdot t - 1,8557007 \cdot 10^{10} = 0 \end{aligned} \quad (7.16)$$

care, pentru "exemplul V", permite determinarea parametrilor definitori ai tangentelor perpendiculare la asymptota (corespunzatori curbei "f1234" din fig.7.5).

Inlocuind, mai intai, coeficientii din tab.7.7 in relatiile (5.166)...(5.171) si apoi rezultatele obtinute in relatia (5.164), se ajunge la

$$\begin{aligned} & 2,8125855 \cdot 10^{28} \cdot t^6 + 9,285398 \cdot 10^{25} \cdot t^5 + 3,1955119 \cdot 10^{22} \cdot t^4 - 1,2549791 \cdot 10^{20} \cdot t^3 - \\ & - 1,8121965 \cdot 10^{16} \cdot t^2 + 6,5565546 \cdot 10^{13} \cdot t - 1,5975287 \cdot 10^{10} = 0 \end{aligned} \quad (7.17)$$

care, pentru "exemplul VI", permite determinarea parametrilor definitori ai tangentelor perpendiculare la asymptota (corespunzatori curbei "f1235" din fig.7.5).

Utilizarea coeficientilor din tab.7.4 si 7.5 a condus la ecuatii parametrice (7.14)...(7.17) care corespund ecuatiilor sub forma cu 7 coeficienti ale curbelor centrelor "f1234"--"exemplul V" si "f1235"--"exemplul VI" din fig.7.5. Ecuatiile (7.14)...(7.17), de tip polinomial, se pot rezolva numai prin metode numerice. In acest context a devenit oportuna intocmirea unor programe de calcul adecvate. S-a apelat la "ajutorul" documentatiei corespunzatoare "bibliotecii matematice" a calculatoarelor Hewlett-Packard [*28] "traducind" in "BASIC"-ul microsistemului "la dispozitie", algoritmi gasiti

```

460 LET x1=t1; LET y1=z2
470 IF rtn=1 THEN RETURN
490 REM *INIT SR CHKIT*
490 LET t1=x2; LET z1=y2; LET s
te=step
500 GO SUB 1270
510 LET x3=t2; LET y3=z2
520 IF rtn=1 THEN RETURN
530 GO SUB 740
540 IF (y2-y1)*x1)=0 THEN GO TO
640
550 LET kounts=kounts+1; GO SUB
1400; PRINT AT 10,3;"kounts= ";
kounts
560 LET x1=x2; LET y1=y2; LET x
2*x3; LET y2=y3
570 REM *INIT SR CHKIT*
580 LET t1=x2; LET z1=y2; LET s
te=step
590 GO SUB 1270
600 LET x3=t2; LET y3=z2
610 IF rtn=1 THEN RETURN
620 GO SUB 740
630 GO TO 550
640 LET kounts=kounts+1; GO SUB
1400; PRINT AT 10,10;"kounts= "
;kounts
650 LET x3=x2; LET y3=y2; LET x
2*x1; LET y2=y1
660 REM *INIT SR CHKIT*
670 LET t1=x2; LET z1=y2; LET s
te=step
680 GO SUB 1270
690 LET x1=t2; LET y1=z2
700 IF rtn=1 THEN RETURN
710 GO SUB 740
720 GO TO 640
730 LET t1=t1; LET t3=t3; LET
z1=z1; LET z2=z2; RETURN
740 REM * SR MONTON *
750 IF (x2*x1) AND (x3*x2) THEN
GO TO 800
760 CLS : PRINT AT 18,2;"EROARE
IN SR MONTON"
770 PRINT AT 19,2;"X1 ,X2 si x3
nu-s crescatoare"
780 PRINT AT 20,2;"x1= ";x1;" x
2= ";x2;" x3= ";x3
790 PAUSE 0; CLS : STOP
800 PRINT AT 19,2;"(y3-y2)*(y2-y1)>tolf THE
N RETURN
810 CLS : PRINT AT 17,2;"F NU E
MONOTONA SAU E LARGA"
820 PRINT AT 18,2;"incearca pas
mai mic sau alt pct de pleca
re!"
830 PRINT AT 3,3;"x1= ";x1
840 PRINT AT 4,3;"x2= ";x2
850 PRINT AT 5,3;"x3= ";x3
860 PRINT AT 6,3;"y1= ";y1
870 PRINT AT 7,3;"y2= ";y2
880 PRINT AT 8,3;"y3= ";y3
890 PAUSE 0; CLS : STOP
900 REM * SR WORK *
910 LET t1=t1
920 LET t13=t3
930 LET z1=z1
940 LET z13=z3
950 LET kounts=-1
960 IF z1<z13<0 THEN GO TO 101
0
970 PRINT AT 18,2;"EROARE IN SR
WORK!"
980 PRINT AT 19,2;"z1 si z3 nu
sunt de s opus"
990 PRINT AT 20,3;"z1= ";z1;" z3
= ";z3
1000 PAUSE 0; STOP
1010 LET xt1=t1; LET yt1=z1; L
ET xt3=t3; LET yt3=z3
1020 LET kounts=kounts+1
1030 IF kounts>maxb THEN GO TO 1
080
1040 CLS : PRINT AT 18,2;"A POST
ATINS N MAX DE IT"
1050 PRINT AT 19,2;"EROARE IN SR
WORK"
1060 PRINT AT 20,2;"kontor= ";ko
unti;" max iter= ";maxb
1070 PAUSE 0; CLS : STOP
1080 LET x12=(y3*x1-t1*x11)/(y
13-y11)
1090 LET y12=FN f(x12)
1100 IF ABS (y12)>tolf THEN GO T
0 1140
1110 LET r=x12
1120 LET e=y12
1130 GO TO 730
1140 IF y11*y12=0 THEN GO TO 12
10
1150 IF FN s(xt2,xt1)=0 THEN GO
TO 1190
1160 LET r=(x12+x11)/2
1170 LET e=FN f(r)
1180 GO TO 730
1190 LET x3=x12; LET yt3=y12
1200 GO TO 1020
1210 IF FN s(x13,x12)=0 THEN GO
TO 1250
1220 LET r=(x13+x12)/2
1230 LET e=FN f(r)
1240 GO TO 730
1250 LET x1=t1; LET yt1=y12
1260 GO TO 1020
1270 REM *SR CHKIT*
1280 LET t2=t1+te
1290 LET z2=FN f(t2)
1300 IF ABS (z2)>tolf THEN GO TO
1350
1310 LET r=t2
1320 LET e=z2
1330 LET rtn=1
1340 RETURN
1350 IF z1*z2>0 THEN GO TO 1390
1360 LET t3=t2; LET z3=z2
1370 GO SUB 900
1380 LET rtn=1
1390 RETURN
1400 IF kounts<=maxb THEN RETURN
1410 CLS : PRINT AT 16,2;"nu sin
t sch dupa ";maxb"; pasi"
1420 PRINT AT 18,2;"maresti nr d
e pasi?"
1430 INPUT "d/n";x$;
1440 IF x$="d" OR x$="D" THEN IN
PUT "nr pasi= ";maxb; CLS : RETU
RN
1450 GO TO 830
1460 REM *SR. OPTIUNI*
1470 PRINT AT 1,0;"CALCUL NUMERI
C:"
1480 PRINT AT 8,6;"I INSTRUCTION
I";AT 10,6;"RULARE"
1490 IF INKEY$="F" OR INKEY$="f"
THEN GO SUB 2500; RETURN
1500 IF INKEY$="I" OR INKEY$="i"
THEN GO TO 2331
1510 GO TO 2315
1520 CLS : PRINT AT 2,0;"CUNOSCI
ND F(X)=0, SE INTRODUC;"
1530 PRINT AT 4,4;"X0 VALOREA I
N JURUL CARETA SE CAUTA RADA
CINA"
1540 PRINT AT 7,4;"P CU CE PAS S
E EXPLOREAZA"
1550 PRINT AT 10,4;"I FINITE DIN
JURUL RADAC."
1560 PRINT AT 13,4;"INTERV. E IN
JURU LUI P"

```

acolo.

In ambele programe ce vor fi prezentate in continuare, trebuie introdusa "forma" ecuatiei de rezolvat (raminind valabile restrictiile semnalate in subcap.7.4).

Primul program, a fost "scris" pentru a detecta "numarul estimat" de radacini, intr-un "interval de existenta" al acestora, cautind cu un "increment" prescris schimbarea de semn, in jurul careia se face un "numar de bisectii" impreuna pina la atingerea "preciziei" dorite (cu " " s-au marcat "INPUT"-urile din "conversatia" de utilizare a programului). Se reda pe versoul paginii 206, listingul programului (lungime 4015 bytes).

Al doilea program, a fost "scris" pentru a calcula radacinile "exacte", dupa ce se prescriu "valoarea estimata" a radacinii, "incrementul" de cautare in jurul acesteia, "numarul de iteratii" in cadrul incrementului ce cuprinde o radacina, "precizia" solutiei (cu " " s-au marcat "INPUT"-urile din conversatia de utilizare a programului. Se reda, pe versoul paginilor 206 si 207, listingul acestui program (lungime 5204 bytes).

Utilizind (alternativ) programele de mai sus, s-au obtinut pentru ecuatie (7.14), solutiile

$$k_1 = 0,8005126 \quad (7.18)$$

$$k_2 = -0,001475287 \quad (7.19)$$

Pentru ecuatie (7.15), solutiile

$$k_1 = 0,7014798 \quad (7.20)$$

$$k_2 = -0,001321652 \quad (7.21)$$

Pentru ecuatie (7.16), solutiile

$$l_1 = 0,0004457894 \quad (7.22)$$

$$l_2 = -0,0007053783 \quad (7.23)$$

si pentru ecuatie (7.17), solutiile

$$l_1 = 0,0003318562 \quad (7.24)$$

$$l_2 = -0,001059655 \quad (7.25)$$

```

5 REM *****
PROGRAM DE TRASARE A CURBELOR DE
SINTEZA (METODA DREPTEI CE TRECE
PRIN DOUA PUNCTE CUNOSCUTE)
*****
10 PRINT "Se vor introduce in
linia 20 de tip DATA, pozitiile
impose (x=aa y=aa teta-grd"
20 DATA 16,70,77,45,65,20,70,2
0,350,40,-10,310
30 DIM X(4); DIM Y(4); DIM q(4
): DIM W(4)
40 DIM a(200); DIM b(200); DIM
W(6)
50 PRINT " Trasarea curbei c
entreloc"
60 PRINT ""
70 PRINT " Dati coeficientii
ecuatiei de grad II
I "
80 PRINT ""; INPUT "a="; a: PRI
NT "a="; a
90 PRINT ""; INPUT "b="; b: PRI
NT "b="; b
100 PRINT ""; INPUT "e="; e: PRI
NT "e="; e
110 PRINT ""; INPUT "f="; f: PRI
NT "f="; f
120 PRINT ""; INPUT "g="; g: PRI
NT "g="; g
130 PRINT ""; INPUT "h="; h: PRI
NT "h="; h
140 PRINT ""; INPUT "i="; i: PRI
NT "i="; i
150 FOR i=1 TO 4
160 READ X(i)
170 READ Y(i)
180 READ q(i)
190 NEXT i
200 LET n=4; LET s=0
210 PRINT "COORDONATELE POLILOR
ROTATIILOR FINITE"
220 PRINT ""; PRINT ""; PRINT "
"
230 FOR i=1 TO n-1
240 FOR j=i+1 TO n
250 LET s=s+1
260 LET W(i)=q(j)-q(i)
270 LET a(s)=((X(j)+X(i))*(1-CO
S (PI*q(i)/180))-(Y(j)-Y(i))*SIN
(PI*q(i)/180))/(2*(1-COS (PI*q(i
)/180)))
280 LET b(s)=((X(j)-X(i))*SIN (
PI*q(i)/180)+(Y(j)+Y(i))*(1-COS
(PI*q(i)/180)))/(2*(1-COS (PI*q(i
)/180)))
290 PRINT "P"; i; j
300 PRINT "x("; s;")="; a(s)
310 PRINT "y("; s;")="; b(s)
320 NEXT j
330 NEXT i
340 LET s=7
350 PRINT ""; PRINT ""; PRINT "
"; PRINT "COORDONATELE PUNCTELOR
DE TIP Q"
360 FOR i=1 TO 5
370 FOR j=i+1 TO 6
380 LET M=(b(j)-b(i))/(a(j)-a(i
))
390 LET 0=b(i)-M*a(i)
400 LET a3=b*M*a+M*M+b*M*a
410 LET a2=(f+3*b*0)*M*M+(2*a*0
+1)*M*b*0+a
420 LET a(s)=-a2/a3-a(i)-a(j)
430 LET b(s)=M*a(s)+0
440 FOR k=1 TO s-1
450 LET T=a(s)-a(k)
460 LET R=b(s)-b(k)
470 IF ABS (T)<0.05 AND ABS (R)
<0.05 THEN GO TO 520
480 NEXT k
490 PRINT "x("; s;")="; a(s)
500 PRINT "y("; s;")="; b(s)
510 LET s=s+1
520 NEXT j
530 NEXT i
540 PRINT "COORDONATE SUPLIMENT
ARE"
550 FOR i=1 TO 14
560 FOR j=i+1 TO 15
570 LET M=(b(j)-b(i))/(a(j)-a(i
))
580 LET 0=b(i)-M*a(i)
590 LET a3=b*M*a+M*M+b*M*a
600 LET a2=(f+3*b*0)*M*M+(2*a*0
+1)*M*b*0+a
610 LET a(s)=-a2/a3-a(i)-a(j)
620 LET b(s)=M*a(s)+0
630 FOR k=1 TO s-1
640 LET T=a(s)-a(k)
650 LET R=b(s)-b(k)
660 IF ABS (U)<0.05 AND ABS (V)
<0.05 THEN GO TO 720
670 NEXT k
680 PRINT "x("; s;")="; a(s)
690 PRINT "y("; s;")="; b(s)
700 LET s=s+1
710 IF s=106 THEN GO TO 750
720 NEXT j
730 NEXT i
740 GO TO 1110
750 CLS
760 PRINT "Doriti sa se reprezi
nte grafic curba , y
n"
770 INPUT "v$="; v$: CLS
780 IF v$="Y" THEN GO TO 810
790 IF v$="" THEN GO TO 1320
800 GO TO 770
810 PRINT "Factorul de scara, k
="
820 INPUT "k="; k: PRINT AT 0,21
;k
830 CLS
840 FOR i=100 TO 200
850 PLOT i,65
860 NEXT i
870 FOR j=65 TO 150
880 PLOT 100,j
890 NEXT j
900 FOR i=1 TO 140
910 IF 100+a(i)/k<0 OR 100+a
(i)/k>254 THEN GO TO 940
920 IF 65+b(i)/k<0 OR 65+b(i
)/k>174 THEN GO TO 940
930 PLOT 100+a(i)/k,65+b(i)/k
940 NEXT i
950 FOR i=1 TO 6
960 CIRCLE 100+a(i)/k,65+b(i)/k
,2
970 NEXT i
980 FOR i=1 TO 4
990 CIRCLE 100+X(i)/k,65+Y(i)/k
,1
1000 CIRCLE 100+X(i)/k,65+Y(i)/k
,1.5
1010 CIRCLE 100+X(i)/k,65+Y(i)/k
,2
1020 PLOT 100+X(i)/k,65+Y(i)/k:
DRAW 20*COS (PI/180*q(i)),20*SIN
(PI/180*q(i))
1030 NEXT i
1040 PRINT AT 15,24;"X": PRINT A
T 3,11;"Y"
1050 STOP
1060 PRINT AT 21,1;"Doriti un al
t factor de scara"
1070 INPUT "u$="; u$
1080 IF u$="Y" THEN GO TO 750
1090 IF u$="N" THEN STOP

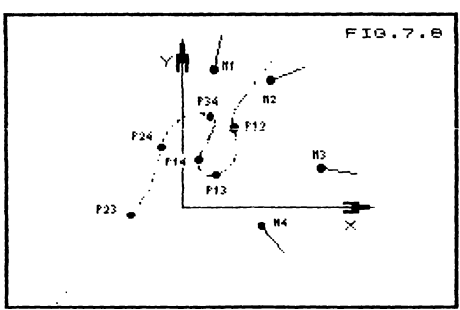
```

care sunt absolut "de asteptat" (exceptind "poate" cazul ecuatiei (7.15) corespunzatoare pentru "exemplul VI").

"In mod normal" (conform celor stabilite in subcap.5.6 si 5.7 cu privire la "tipul" curbelor de sinteza), ecuatiile (7.14), (7.16) si (7.17) au cite doua solutii (curba "f1234" din fig.7.5 avind doar doua tangente paralele cu asimptota si orice curba a centrelor/punctelor avind numai doua tangente perpendiculare pe asimptota). Privitor la ecuatie (7.15), adica la curba "f1235" din fig.7.5, erau de asteptat patru solutii (avind o ramura inchisa, admite patru tangente paralele cu asimptota). Se observa insa, in fig.7.5, ca tangentele "intermediare" sunt "foarte apropiate". Acest lucru inseamna ca radacinile corespunzatoare sa fie "aproape confundate". Pentru detectarea unor astfel de radacini, programele prezентate nu sunt adecate (ca de altfel si majoritatea altora de pe calculatoare mai "puternice"). Ecuatie (7.15) a fost "rezolvata" cu un program in dubla precizie, care gaseste inclusiv radacinile imaginare, pe un calculator de birou tip "HP 9845" (Hewlett-Packard). Cu aceasta ocazie s-au confirmat solutiile (7.20) si (7.21), dar au fost obtinute si doua solutii avind 'partea imaginara foarte mica in raport cu cele similare ale ecuatiei (7.14). Aceste solutii "aproape reale" si "aproape confundate" fata de imaginea curbei "f1235" (cu o ramura inchisa) din fig.7.5, permit sa se afirme ca din cauza "lantului foarte lung de calcule" si a preciziei microsistemu "la dispozitie" (intre "simpla" si "dubla precizie" a calculatoarelor "normale"), coeficientii ecuatiei (7.15) sunt "usor alterati" prin trunchierile de calcul obisnuite (de remarcat si diferentele cu multe ordine de marime intre coeficienti. Aceste "anomalii" pot fi evitate (dupa parerea autorului) printr-un calcul "condus", inca de la pozitiile impuse sintezei, pe un calculator mai "performant" (care dispune cel putin de "dubla precizie").

Din valorile "apropiate" ale solutiilor (7.18)/(7.20), (7.19)/(7.21), (7.22)/(7.24), (7.23)/(7.24) si tinind seama ca acestea, in ecuatiile dreptelor (5.131)/(5.164), sunt proportionale cu "ordonatele la origine", se poate concluziona ca domeniile "dreptunghiulare" amintite in subcap.6.2 (reprezentate "calitativ" in fig.6.1.a) se suprapun evidentind ca in curbele "f1234"- "exemplul V" si "f1235"- "exemplul VI" ca

FIG. 7.8



pentru pozitiile "1,2,3,4" din tab.7.3 si "5" din tab.7.6, sinteza cinci pozitionala este posibila (fara a mai fi necesar sa se determina centrele Burmester ca in subcap.7.3.5/7.4 pentru a demonstra "posibilitatea" efectuarii acestei sinteze).

Inlocuind solutiile (7.18) si (7.19), respectiv (7.20) si (7.21), impreuna cu coeficientii "A,B" din tab.7.4, respectiv tab.7.7, in relatia (5.131), se obtin ecuatiile tangentelor paralele cu asymptota in cazul curbelor centrelor "f1234"--"exemplul V", respectiv "f1235"--"exemplul VI", din fig.7.5. Inlocuind solutiile (7.22) si (7.23), respectiv (7.24) si (7.25), impreuna cu coeficientii "A,B" din tab.7.4, respectiv tab.7.7, in relatia (5.164), se obtin ecuatiile tangentelor perpendiculare la asymptota in cazul curbelor centrelor "f1234"--"exemplul V", respectiv "f1235"--"exemplul VI", din fig.7.5.

7.8. Program pentru reprezentarea curbelor de sinteza utilizind metoda dreptei ce trece prin doua puncte cunoscute

Metoda amintita a fost pe larg descrisa in subcap.6.5.3, pidi preluindu-se algoritmul ce se bazeaza pe ecuatia cu 7 coefficienti. Metoda si programul adevarat au fost prezentate in [MI6]. Se reda pe versoul paginii 208, listingul programului (lungime 6054 bytes).

Acest program a fost rulat pentru "exemplul I" (adica pentru pozitiile de sinteza cuprinse in tab.4.3), obtinandu-se imaginea curbei din fig.7.8. Imaginea curbei centrelor este comparabila cu cea din fig.3.1, si a fost obtinuta in cca. 100 secunde de la introducerea datelor, dupa care a fost "prelucrata" cu un program de grafica ("marcarea" polilor rotatilor finite, a pozitiilor impuse, etc.). Aceasta imagine poate fi ameliorata daca se impun mai multe iteratii, ceea ce presupune (conform metodei expuse in subcap.6.5.3) utilizarea unui calculator mai performant intrucat, conform algoritmului prezentat in subcap.6.5.3, trebuie "memorate" mai multe puncte de pe curba de sinteza.

Programul prezentat poate fi usor adaptat pentru a furniza rezultate numerice (in tabele), in locul celor grafice aratare.

'9. Program pentru trasarea rapida a curbelor de sinteza

Dupa cum s-a observat in subcapitolele precedente si in cap.3, unele programe implica timpi mari de rulare. In cazul studiului curbelor de sinteza, numeroasele exemple, dintre care s-au selectat cele expuse anterior, nu puteau sa fie "tatonate" in conditiile consumului mare de timp presupus de limbajele "BASIC" sau "BETA BASIC". In scopul creerii unei imagini "aproximative" asupra curbelor de sinteza, s-a apelat la compilatorul "PASCAL" varianta "HP4TM16.1", mai rapid dar mai putin precis decit limbajele amintite.

"Nivelul de imprecizie" de care s-a vorbit, trebuie interpretat in sensul ca in "BASIC"/"BETA BASIC" un numar este reprezentat pe cinci octeti (unul pentru exponent si patru pentru mantisa) ceea ce inseamna ca se calculeaza cu 11 cifre semnificative, iar in "PASCAL" un numar este reprezentat pe patru octeti (unul pentru exponent si trei pentru mantisa) ceea ce inseamna ca se calculeaza cu 8 cifre semnificative.

"Nivelul de viteza" de care s-a vorbit, poate fi apreciat prin timpii de rezolvare a sistemelor de ecuatii liniare, existente (pentru a determina coeficientii curbei centrelor, conform subcap.4.3.1/4.3.2) atit in programele "BASIC"/"BETA BASIC" prezентate pina acum, cit si in programul "PASCAL" ce va urma. Aceasta "comparatie" a fost facuta in [M20]. Metoda de rezolvare a sistemelor liniare este "a pivotului maxim" sau "Gauss exacta" si a fost preluata din [P13] dupa [D15], algoritmul devenind comun in ambele limbaje.

Se prezinta in tab.7.14, rezultatele unor teste de viteza pentru programul de rezolvare a sistemelor de ecuatii liniare, in versiunea "BETA BASIC" respectiv "PASCAL", comparatia evidentiind si capacitatea programelor. Timpii din tabel au fost obtinuti ca medii a mai multor cronometrari in cazul unui sistem aleator.

Acest sistem "aleator" a fost obtinut cu functia predefinita "RANDOM" in "PASCAL" si cu functia "RND(255)" in "BETA BASIC". Ambele functii genereaza un numar pseudoaleator intre "0" si "255". Deoarece aceste functii dau rezultate mai slabe cind sunt folosite in mod repetat in bucle ce nu contin operatii de intrare/iesire, s-ar putea ca in practica sa apară mici abateri.

ata de timpii medii prezentati.

Tab.7.14

RANGUL SISTEMULUI : BETA BASIC : PASCAL :			
10	41''	2''	
15	1'58''	5''	
20	4'16''	10''	
25	7'55''	20''	
30	13'08''	33''	
35	20'02''	52''	
40	limita de	1'17''	
	+	capacitate	
80	a RAM-ului	10'25''	

Luind in considerare avantajul vitezei si dezavantajul impreciziei "PASCAL"-ului in raport cu "BASIC"-ul sau "BETA BASIC"-ul, s-a considerat oportuna intocmirea unui program in "PASCAL" pentru a "trasa" rapid pe ecran o curba a centrelor corespunzatoare la patru pozitii de sinteza (datele de intrare). Se calculeaza coordonatele polilor rotatiilor finite "Pij" si ale polilor "Qij", propunindu-se operatorului alegerea celor "sapte poli convenabili" (pentru o buna "stabilitate", conform subcap.4.3.2 este bine a se include aici polii cei mai indepartati), dupa care se determina coeficientii curbelor intrelelor (prin "procedura" de rezolvare a sistemelor de ecuatii liniare) si se trece la trasarea propriuzisa. In unele variante se include posibilitatea de a "copia ecranul" la imprimanta.

Programul impreuna cu partea de "compilator" necesara la lularare si programul compilat, ocupa cca. 19000 bytes. In stingul de pe versoul paginilor 211...213, se prezinta o varianta a acestui program in "PASCAL", scris pentru trasarea

```

3300  BEGIN
3310    WRITELN(LF,'COEFICIENTII CURBEI CENTRELOR',LF);
3320    FOR I:=1 TO N DO
3330      WRITELN(CHR(I+64),':',CC[I]);
3340    WRITELN;
3350    ADT;
3360  END;
3370
3380 PROCEDURE TCC;
3390 CONST X0=127;
3410           Y0=87;
3420
3430 VAR I,NS:INTEGER;
3440   A,B,C,D,X,Y1,Y2,Y3:REAL;
3450
3460 FUNCTION SGN(X:REAL):INTEGER;
3470
3480 BEGIN
3490   IF X=0.0 THEN SGN:=0
3500     ELSE IF X<0.0 THEN SGN:=-1
3510     ELSE SGN:=1
3520 END;
3530
3540 FUNCTION ARCCOS(X:REAL):REAL;
3550
3560 BEGIN
3570   IF ABS(X)<1.0E-7 THEN ARCCOS:=PI/2
3580   ELSE ARCCOS:=ARCTAN(SQRT(1-X*X)/X)-SGN(SGN(X)-1)*PI
3590 END;
3600
3610 FUNCTION SQRT3(X:REAL):REAL;
3620
3630 BEGIN
3640   SQRT3:=SGN(X)*EXP(LN(ABS(X))/3)
3650 END;
3660
3670 PROCEDURE REZEC3(A,B,C,D:REAL; VAR NS:INTEGER; VAR X1,X2,X3:REAL);
3680
3690 VAR P,Q,R,S,T,FI,RR,EXPR:REAL;
3700
3710 BEGIN
3720   R:=B/A; S:=C/A; T:=D/A; P:=S-R*R/3; Q:=-2*R*R*R/27-R*S/3+T;
3730   EXPR:=-Q*Q/4+P*R*R/27;
3740   IF EXPR>0.0 THEN
3750     BEGIN
3760       X1:=SQRT3(-Q/2+SQRT(EXPR))+;
3770       SQRT3(-Q/2-SQRT(EXPR))-R/3;
3780       NS:=1
3790     END
3800   ELSE

```

rapida a curbei centrelor.

Acest program a fost rulat pentru foarte multe seturi de patru pozitii, ca date de intrare, figura curbei fiind obtinuta pe ecran in cca. 10 secunde de la introducerea datelor. Dintre acestea s-au selectat in fig.7.9, fig.7.10, fig.7.11, respectiv in fig.7.12, curbele centrelor pentru care datele de intrare au fost primele trei pozitii din tab.4.1 iar a patra a fost obtinuta din linia corespunzatoare a tabelului, pe rand, adunind (pentru a vedea "ce se intimpla") cte "10 unitati", mai intii ibscisei, apoi ordonatei, apoi unghiului, respectiv tuturor acestora.

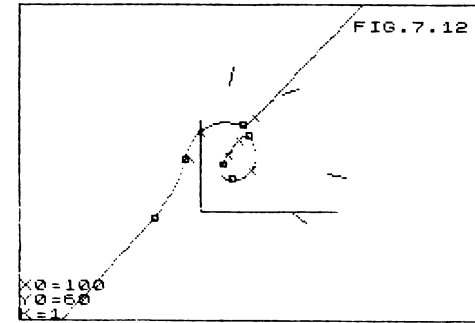
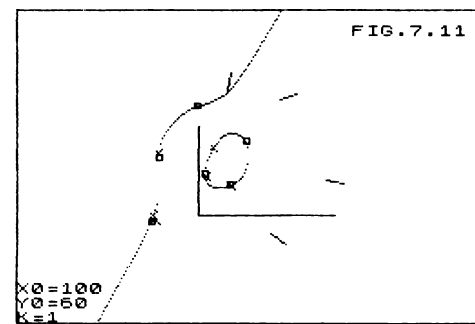
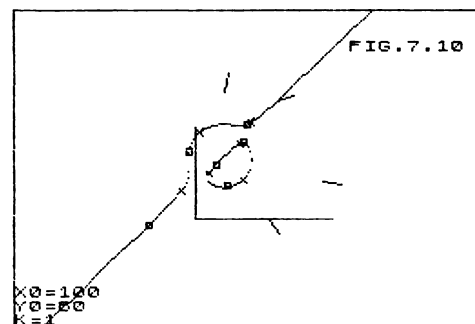
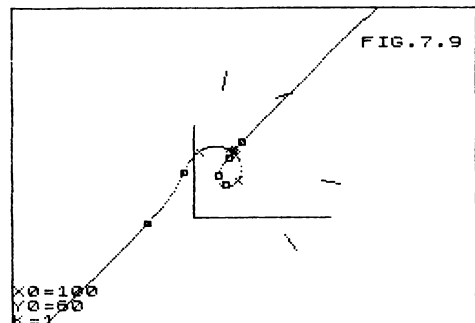
Se observa din fig.7.9, 7.10, 7.11, 7.12 ca metoda de paraleiere a planului este prin drepte paralele cu ordonata iar in imagine au fost introduse (din program) "elemente de grafica" (marcarea prin "segmente" a pozitiilor impuse, a polilor "Pij" prin "patratele", a polilor "Qij" prin "x"-uri, trasarea axelor). Aceste figuri pot fi comparate intre ele sau cu fig.7.8 (pentru a vedea "ce s-a intimplat" variind parametrii dupa cum s-a aratat. "Jocul" de-a "ce se intimpla" daca este variat unul sau mai multi parametri pozitionali este "attractiv" si prin sistematizare poate duce la concluzii interesante privitor la sinteza pozitionala. Autorul isi propune sa revina asupra acestui aspect in lucrari viitoare.

7.10. Perspective

In finalul fiecarui subcapitol din cap.7, s-au relevat unele probleme de sinteza pozitionala, de teoria curbelor (mai ales a cubicelor) plane sau chiar de programare. Ar fi de asteptat ca in finalul capitoului sa apară și alte probleme similare. Se trăc "în revista" cîteva dintre acestea:

O problema de "interes", este cea a "suprapunerii" tuturor celor cinci curbe ale centrelor corespunzatoare combinatiilor de patru din cinci pozitii impuse sintezei. Ea este realizabila prin "ramificarea" programului descris in subcap.7.2 (mai ales in conditiile din subcap.7.3.5), autorul propunindu-si reveniri asupra problemei, in alta lucrare (eventual considerind si curbele punctelor cercuale aferente).

O problema asupra careia autorul isi propune, de asemenea,



sa revina, in alte lucrari, este aceea a reprezentarii centrelor si punctelor aflate in corespondenta pe curba centrelor si pe curba punctelor cercuale, una din curbe fiind parcursa "cu pas constant". In felul acesta, pe curba conjugata sa se pune (probabil) in evidenta zone cu "pas variabil", "zone de salt", "zone fara centre/puncte corespondente", etc.

In abordarea problemelor de mai sus, precum si a tuturor celorlalte cuprinse in aceasta lucrare, microsistemul "la dispozitie" a "facut multe" si "mai putea face", dar dupa cum s-a aratat au fost atinse uneori "niste limite". Se impune, poate, un salt calitativ prin utilizarea tehnicii de calcul mai performante.

**. CALCULUL, PROIECTAREA, REALIZAREA
SI EXPERIMENTAREA UNOR DISPOZITIVE
DE PREHENSIOANE**

In activitatea de cercetare-proiectare a autorului, o sondare semnificativa a avut-o domeniul dispozitivelor de rehensiune. In cele ce urmeaza, se vor trece in revista principalele realizari ale autorului in domeniul amintit. criteriul abordarii acestor realizari intr-o anume ordine este cel al cronologicitatii, edificator si asupra cresterii treptate complexitatii acestor subansamblu.

**.1. Utilizarea fenomenului de
autoblocare la dispozitivele
de prehensiune**

Fenomenul autoblocarii intervine conditionat in buna functionare a mecanismelor. In continuare se fac referiri asupra aplicatiilor acestui fenomen la sinteza dimensională a unui mecanism frecvent folosit la dispozitivele de prehensiune din lucrarea robotilor industriali (mai ales a acelora care realizeaza operatii in interconditioare cu masini unelte pentru lucrari mecanice, pe care le alimenteaza/descarca cu/de elemente/fabricate/piese prelucrate).

Dispozitivul de prehensiune mentionat este redat schematic in fig.8.1. Actionarea prin cilindrul pneumatic "1", permite ca la inaintarea pistonului "2", tija ramificata "3" a acestuia, prin terminatiile ei cilindrice (tip rola) care gliseaza in canalele "4" ale falcilor "5", sa se realizeze stringerea piesei cilindrice de manevrat "6". La retragerea tijei in cilindru se produce desfacerea piesei.

Data fiind simetria constructiva a dispozitivului de rehensiune, in fig.8.2 s-a transpus cu simbolurile consacrate pentru elemente si couple, schema cinematica a mecanismului de respunzator. Se identifica elementele (motor "3", condus "5", fix "1") si couplele cinematice care le leaga (de translatie intre "1" si "3", de rotatie intre "1" si "5", superioara intre "3" si "5"). In schema acestui mecanism plan desmodrom de spuma s-au introdus fortele si momentele care actioneaza asupra

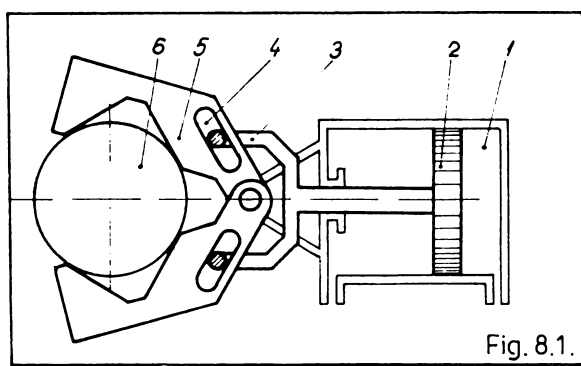


Fig. 8.1.

elementelor, precum si anumite dimensiuni caracteristice. "T" este forta de actionare a cilindrului pneumatic iar "G" este greutatea piesei de manevrat. Cu "R", "F", si "M" s-au notat reactiuni, forte, respectiv momente, ai caror indici literari "f" simbolizeaza "frecarea", indicii numerici fiind consacrați definirii sensului de actionare, conform uzantelor. Indicii "H" si "V" arata apartenenta in planul orizontal, respectiv vertical, iar indicii "A" si "B" sint afectati celor doua zone de contact ale cuplei de translatie.

Se considera mecanismul intr-o pozitie in care forta de stringere a piesei de manevrat nu este importanta. In fig.8.2 sensul fortelor/momentului de frecare a fost dispus in asa fel, incit se tine seama de "tendinta" de deschidere a falcilor dispozitivului de prehensiune sub actiunea greutatii piesei, atunci cind, spre exemplu, dispare presiunea de alimentare cu aer comprimat. Folosind fig.8.2, fig.8.3 si principiile cinetostaticii, conform [K8]/[P4], se pot scrie ecuatiiile (doua de proiectii si una de momente) de echilibru pentru elementul "3".

$$+ R_{f13B} + F_{f13A} - R_{53} \cdot \sin \theta + F_{f53} \cdot \cos \theta = 0 \quad (8.1)$$

$$+ R_{13B} - R_{13A} + R_{53} \cdot \cos \theta + F_{f53} \cdot \sin \theta = 0 \quad (8.2)$$

$$R_{13B} \cdot h - R_{53} \cdot k \cdot \cos \theta - R_{53} \cdot c \cdot \sin \theta - F_{f53} \cdot \left(k + \frac{d \cdot \sin \theta}{2} \right) \cdot \sin \theta + F_{f53} \cdot \left(c - \frac{d \cdot \cos \theta}{2} \right) \cdot \cos \theta = 0 \quad (8.3)$$

In ipoteza frecarii de tip coulombian (considerind coeficientii de frecare corespunzatori), se poate scrie

$$R_{13A} = \mu_{13} \cdot R_{13A} \quad (8.4)$$

$$R_{13B} = \mu_{13} \cdot R_{13B} \quad (8.5)$$

$$R_{53} = \mu_{35} \cdot R_{53} \quad (8.6)$$

$$+ \mu_{13} \cdot (R_{13A} + R_{13B}) - R_{53} \cdot (\sin \theta - \mu_{35} \cdot \cos \theta) = 0 \quad (8.7)$$

Fig. 8.2.

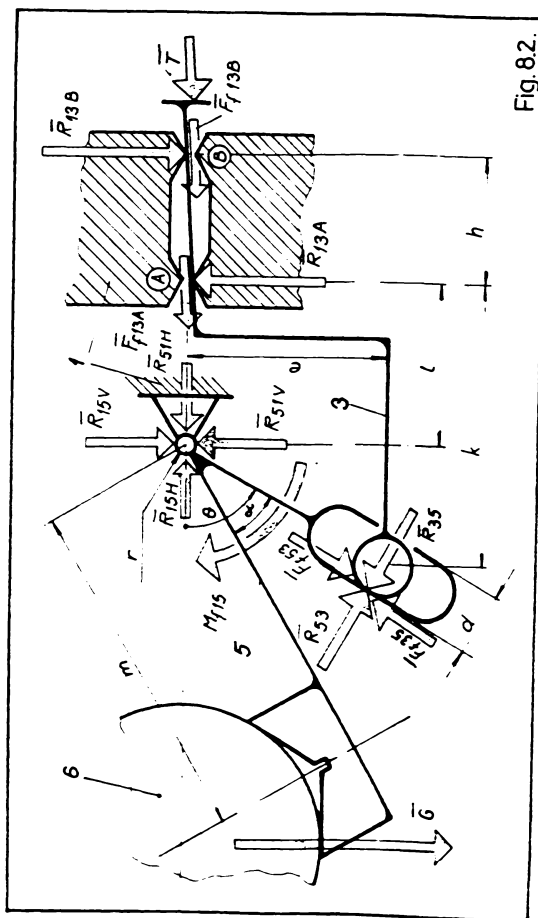
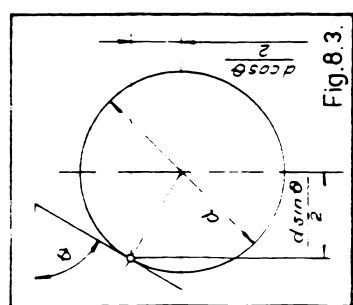


Fig. 8.3.



$$l_{3H} - R_{13A} + R_{53} \cdot (\cos \theta + \mu_{35} \cdot \sin \theta) = 0 \quad (8.8)$$

$$l_{3H} \cdot h - R_{53} \cdot [k \cdot (\cos \theta + \mu_{35} \cdot \sin \theta) + c \cdot (\sin \theta - \mu_{35} \cdot \cos \theta) + \mu_{35} \cdot d/2] = 0 \quad (8.9)$$

Similar, pentru elementul "S", ecuațiile de echilibru au forma

$$l_{15H} - R_{35} \cdot \sin \theta + F_{f35} \cdot \cos \theta = 0 \quad (8.10)$$

$$l_{15V} + G - R_{35} \cdot \cos \theta - F_{f35} \cdot \sin \theta = 0 \quad (8.11)$$

$$\dot{\varphi} \cdot m \cdot \cos(\theta - \alpha) - R_{35} \cdot c / \sin \theta - F_{f35} \cdot d/2 - M_{f15} = 0 \quad (8.12)$$

Referitor la acest element, relațiile lui Coulomb (considerind coeficientii de frecare corespunzători și raza cercului de frecare) sunt

$$F_{f35} = \mu_{35} \cdot R_{35} \quad (8.13)$$

$$d_{f15} = R_{15} \cdot \rho = R_{15} \cdot r \cdot \mu_{15} \quad (8.14)$$

Reacțiunea totală din cupla de rotație este

$$l_{15} = \sqrt{R_{15H}^2 + R_{15V}^2} \quad (8.15)$$

Inlocuind (8.13) și (8.14) în (8.9), (8.10), (8.11), se obține

$$l_{15H} - R_{35} \cdot (\sin \theta - \mu_{35} \cdot \cos \theta) = 0 \quad (8.16)$$

$$l_{15V} + G - R_{35} \cdot (\cos \theta - \mu_{35} \cdot \sin \theta) = 0 \quad (8.17)$$

$$\dot{\varphi} \cdot m \cdot \cos(\theta - \alpha) - R_{35} \cdot (c / \sin \theta + \mu_{35} \cdot d/2) - R_{35} \cdot r \cdot \mu_{15} = 0 \quad (8.18)$$

Relațiile (8.15), (8.16), (8.17), (8.18) pot fi rezolvate cu o precizie impusă prin iteratii successive. În prima iteratie, se consideră frecările nule și se determină reacțiunea în cupla de rotație care se consideră ca atare în urmatoarea iteratie. Dacă între două iteratii se determină o altă valoare a ei. Dacă între două iteratii succitive, aceasta reacțiune difera cu valori inginereske

neglijabile, se considera rezolvarea incheiata. In ipoteza, de altfel acoperitoare pentru scopul ce se urmareste, ca se negligeaza al treilea termen in relatia (8.18), se poate scrie

$$R_{35} = G \cdot \frac{m \cdot \cos(\theta - \alpha)}{\epsilon / \sin \theta + \mu_{35} \cdot d/2} \quad (8.19)$$

tare dupa inlocuire in (8.16), (8.17), (8.8), (8.9), conduce la

$$t_{35H} = G \cdot \frac{m \cdot (\sin \theta - \mu_{35} \cdot \cos \theta) \cdot \cos(\theta - \alpha)}{\epsilon / \sin \theta + \mu_{35} \cdot d/2} \quad (8.20)$$

$$t_{35V} = G \cdot \left[\frac{m \cdot (\cos \theta + \mu_{35} \cdot \sin \theta) \cdot \cos(\theta - \alpha)}{\epsilon / \sin \theta + \mu_{35} \cdot d/2} - 1 \right] \quad (8.21)$$

$$t_{35H} = G \cdot \frac{m \cdot [k \cdot (\cos \theta + \mu_{35} \cdot \sin \theta) + \epsilon \cdot (\sin \theta - \mu_{35} \cdot \cos \theta) + d \cdot \mu_{35}/2] \cdot \cos(\theta - \alpha)}{h \cdot (\epsilon / \sin \theta + d \cdot \mu_{35}/2)} \quad (8.22)$$

$$t_{35A} = G \cdot \frac{m \cdot [(k+h) \cdot (\cos \theta + \mu_{35} \cdot \sin \theta) + \epsilon \cdot (\sin \theta - \mu_{35} \cdot \cos \theta) + d \cdot \mu_{35}/2] \cdot \cos(\theta - \alpha)}{h \cdot (\epsilon / \sin \theta + d \cdot \mu_{35}/2)} \quad (8.23)$$

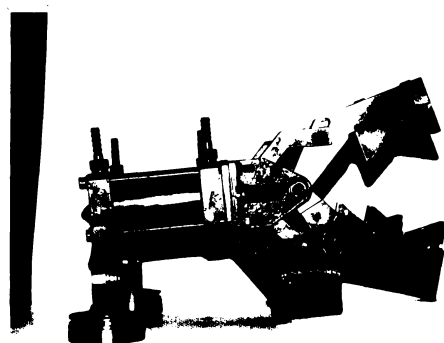
Inlocuind (8.20) si (8.21) in (8.15), se obtine reactiunea in cupla de rotatie, iar inlocuind (8.22) si (8.23) in (8.7), rezulta

$$+ G \cdot \frac{\mu_{13} \cdot m \cdot \cos(\theta - \alpha)}{h \cdot (\epsilon / \sin \theta + d \cdot \mu_{35}/2)} \cdot [(2 \cdot k + h) \cdot (\cos \theta + \mu_{35} \cdot \sin \theta) + (2 \cdot \epsilon - h \cdot \mu_{13}) \cdot (\sin \theta - \mu_{35} \cdot \cos \theta) + d \cdot \mu_{35}] = 0 \quad (8.24)$$

Pentru ca mecanismul sa fie blocat cind, in mod accidental, dispare presiunea in reteaua de aer comprimat, adica "T=0", este necesar ca al doilea termen din relatia (8.24) sa fie pozitiv. In aceste circumstante, tinind cont ca "G", coeficientii de varcare, "m", "h", "epsilon", "d" sunt cantitati reale pozitive si ca in constructie unghiiurile au valori limitate, conditia ca mecanismul sa fie blocat la disparitia fortele motoare, devine

$$(k + h) \cdot (\cos \theta + \mu_{35} \cdot \sin \theta) + (2 \cdot \epsilon - h \cdot \mu_{13}) \cdot (\sin \theta - \mu_{35} \cdot \cos \theta) + d \cdot \mu_{35} \geq 0 \quad (8.25)$$

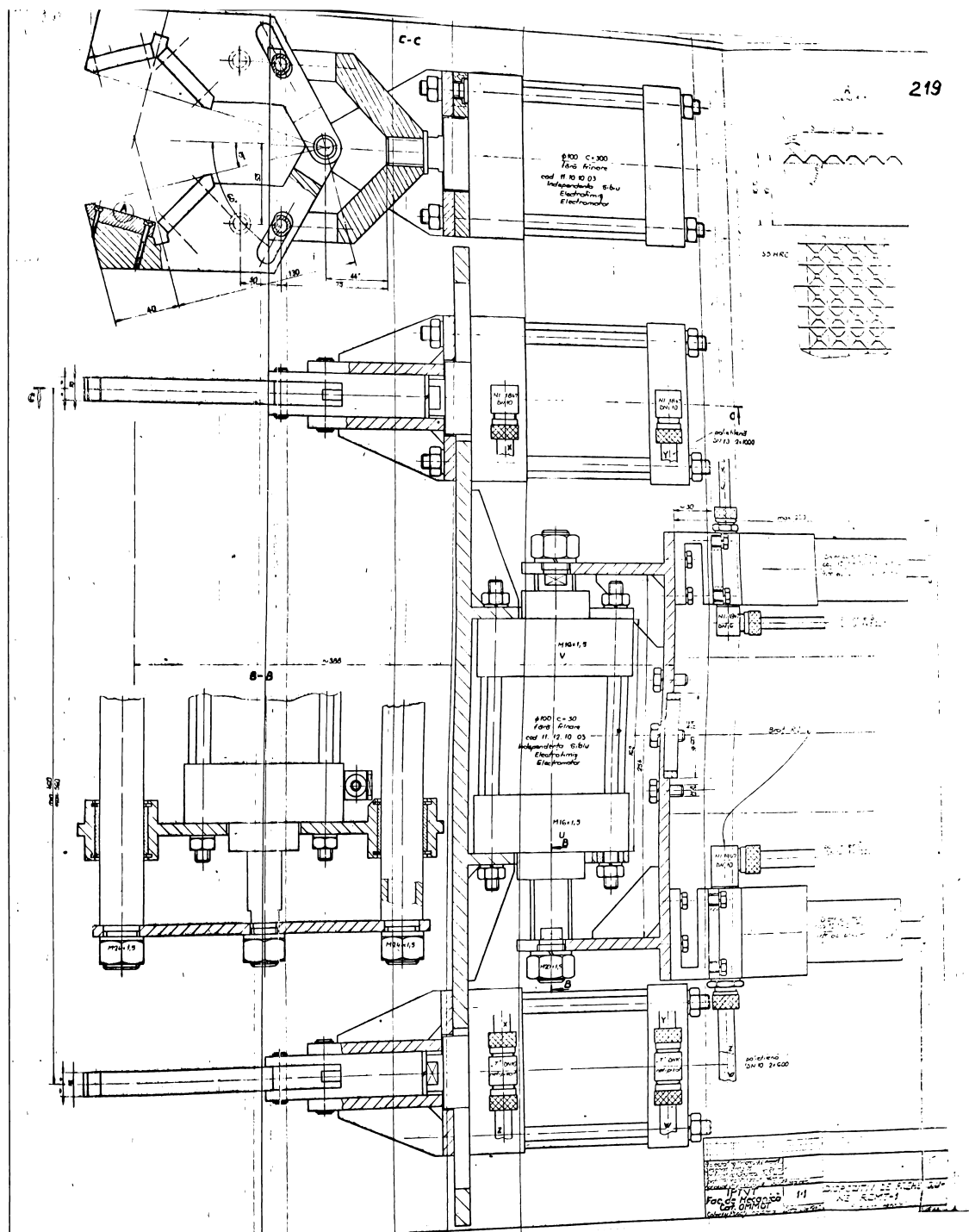
Relatia (8.25), care conditioneaza autoblocarea, arata in raporturi trebuie sa se gaseasca parametrii constructivi ai



FOTOGRAFIA 8.1



FOTOGRAFIA 8.2



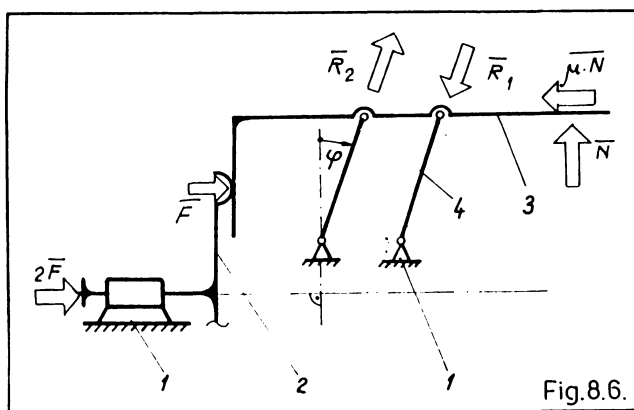
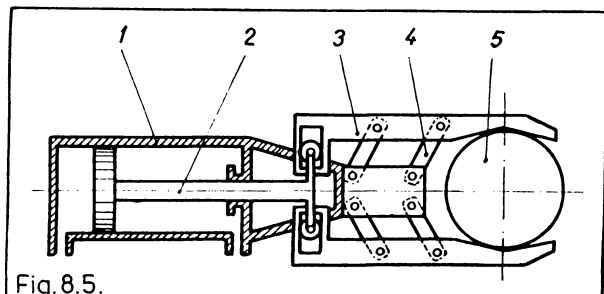
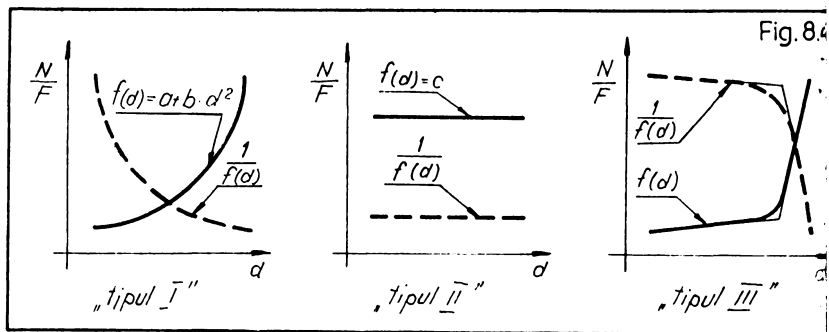
dispozitivelor de prehensiune de tipul celui din fig.8.1 cind se neglijeaaza frecarea in cupla de rotatie. Daca nu se efectueaza aceasta neglijare, reactiunea din cupla de rotatie se determina prin procedeul iterativ descris mai inainte, cu valoarea astfel gasita putindu-se urma succesiunea anterioara de calcul, pina la obtinerea unei relatii similare cu (8.25).

Indeplinirea relatiilor de tipul (8.25), asigurind prin autoblocarea mecanismului, neadesfacerea accidentală a falcilor, contribuie la protectia personalului si utilajelor din zona de lucru a robotului industrial. De asemenea, forta de actionare poate fi oricit de mica (practic o forta de "deblocare"), independent de masa piesei strinsa in dispozitivul de prehensiune. Aceasta calitate conduce la reducerea gabaritului cilindrilor pneumatici de actionare (deci si a mecanismului, in ansamblu) ceea ce implica sarcini mai mici la extremitatea bratului robotului si deci forte inertiale, respectiv eforturi mai reduse, pentru intregul robot.

Calculul de mai sus, a fost expus de autor in [M21] si a fost aplicat cu ocazia contractelor [*29] si [*30], la dispozitivul de prehensiune al robotului industrial "REMT-1". Se prezinta alaturat o planșă-copie redusa la scara 0.35 după proiectul tehnic al dispozitivului de prehensiune al robotului "REMT-1" si in fotografiile 8.1 si 8.2, imagini ale prototipului dispozitivului creat după elaborarea proiectului de executie. Pe acest prototip, in laboratorul disciplinei "DISPOZITIVE", s-a procedat la "incarcarea" falcii inferioare (prototipul fiind fixat cu toate axele in plan orizontal) cu sarcini de pina la 60 kg, fara a o putea "deschide" (după cum era de asteptat), verificind astfel calculul pentru realizarea autoblocarii in absenta forței motoare (adica, a presiunii aerului comprimat de alimentare).

Uzind de acest dispozitiv, robotul "REMT-1" a "lucrat" cca. 5 ani, după omologarea sa in 08.02.1982 cind a devenit primul robot romanesc operativ in mediul industrial, manipulind arbori si rotori de 20...60 kg intr-o celula tehnologica in fabrica "ELECTROMOTOR" din Timisoara, unde a si fost uzinat.

Pentru aceasta prima tehnica nationala, colectivul de proiectanti si realizatori (inclusiv autorul), a fost apreciat cu premiul "Traian Vuia" al Academiei Romaniei (diploma nr.113/25.11.1983).



4.2. Utilizarea unei caracteristici mecanice avantajoase la dispozitivele de prehensiune

Se numeste "caracteristica mecanica" a dispozitivului de rehensiune, dependenta raportului fortei de stringere prin forta de actionare (sau invers) de un parametru pozitional caracteristic dispozitivului (cursa in motorul de actionare, dimensiunea piesei prehensate, sau altele similare).

Conform cu [K18], se prezinta in fig.8.4, cele trei tipuri specific ale caracteristicilor mecanice pentru dispozitivele de rehensiune. Tipul "I" caracterizeaza dispozitivele de rehensiune care prind piese ce au fortele masice preponderente in timpul manipularii (se asigura forte de stringere intrucitva proportionale cu dimensiunea "d" a piesei). Tipul "II" caracterizeaza dispozitivele de prehensiune care prind piese ce au fortele tehnologice preponderente in timpul manipularii (se sigura forte de stringere aproximativ constanta indiferent de dimensiunea "d" a piesei). Tipul "III" caracterizeaza dispozitivele de prehensiune care prind piese de aceleasi dimensiuni (forta de stringere creste lent cit are loc propierea rapida a bacurilor de piesa, respectiv, creste brusc mediat ce contactul bac-piesa s-a produs).

Un dispozitiv de prehensiune care respecta prin constructia sa, cu aproximație, proportionalitatea amintita in cazul "I", este schematic prezentat in fig.8.5. Actionarea prin cilindrul neumatic "1", permite ca la inaintarea pistonului "2", tija amificata a acestuia, prin terminatiile ei cilindrice (tip oval) care gliseaza in canalele falcilor "3", prin legaturile elansierelor "4", sa se realizeze stringerea piesei cilindrice si manevrat "5". La retragerea tijei in cilindru se produce desfacerea piesei.

Data fiind simetria constructiva a dispozitivului de rehensiune, in fig.8.6, s-a transpus cu simbolurile consacrate intre elemente si couple, schema cinematica a mecanismului prespunzator. Se identifica elementele (motor "2", condus "3", plan superior intre "2" si "3"). In schema acestui mecanism plan desmodrom de spata I, presupunind frecarea nula in couplele de

rotatie si cea superioara (apropiat realizabil prin masuri constructive adecvate) s-au introdus fortele ce actioneaza supra falcii-bielă "3", precum si anumite dimensiuni caracteristice. "F" este semi-forta de actionare a cilindrului pneumatic iar "N" este forta de stringere a piesei. Cu "R₁" si R₂ s-au notat reacțiunile date de balansierele "4", resupunind ca fixarea piesei se face prin forta (cazul cel mai favorabil), s-a introdus si efectul frecarii dintre piesa de manipulat si bac (prin coeficientul adecvat al frecarii multipliat cu forta de stringere).

Din suma proiectiilor pe axe, se obtin ecuatiiile

$$F - \mu \cdot N - (R_1 - R_2) \cdot \sin \varphi = 0 \quad (8.26)$$

$$F - (R_1 - R_2) \cdot \cos \varphi = 0 \quad (8.27)$$

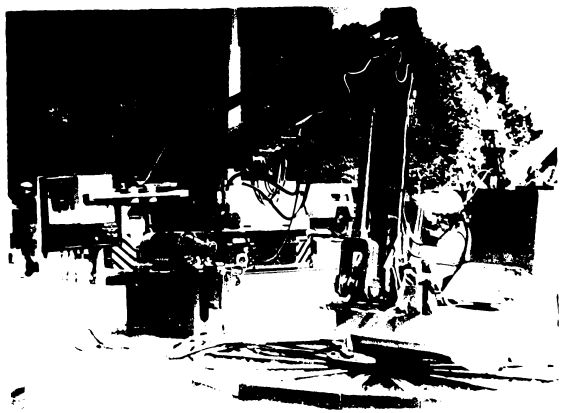
Upalcare rezulta

$$\tan \varphi = \mu + \frac{F}{(R_1 - R_2)} \quad (8.28)$$

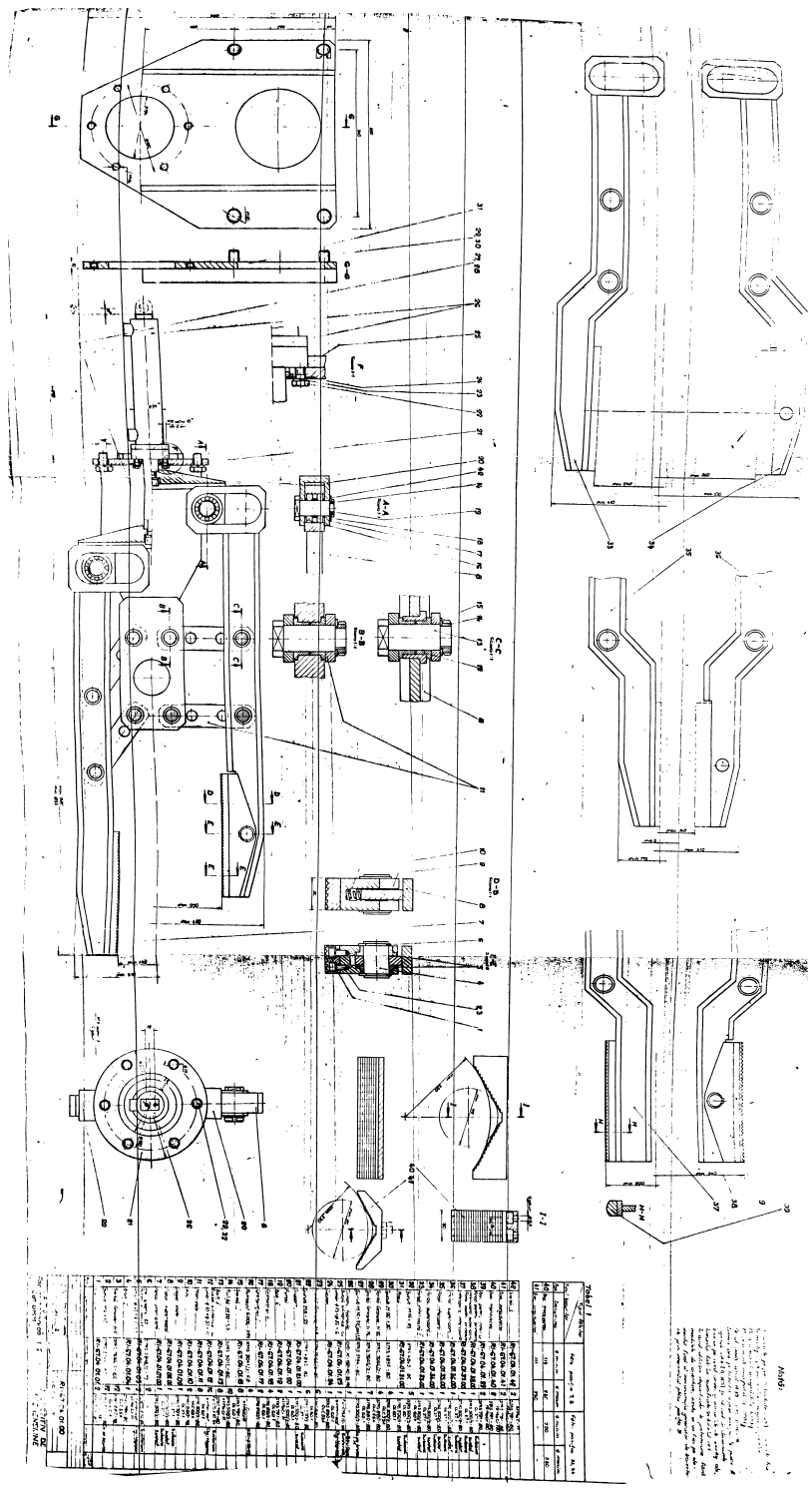
Analizind relatia (8.28), se observa ca la piesele de manipulat cu diametru mare (unghiul de pozitie "mic"), caracteristica mecanica este preponderent determinata de coefficientul de frecare, iar la piesele cu diametru mic (unghi de pozitie de pina la 30 grade), aceeasi caracteristica depinde preponderent de tangenta unghiului de pozitie. Acest fapt este remarcabil, intrucit se stabileste o corespondenta avantajoasa intre baza caracteristicii mecanice, intre forta de stringere si diametrul piesei manipulate (presupus crescator cu masa), asa cum s-a expus in preambulul acestui subcapitol.

Relatia (8.28) poate servi la dimensionarea cilindrilor de actionare. Acest calcul a stat la baza mai multor dispozitive de prehensiune, prezентate cronologic de autor in [G3], [P14], [15], [M22], [K16] si [M23]. In majoritatea cazurilor, desi nu a urmarit in mod special, dispozitivele de prehensiune alizate prezintau fenomenul de autoblocare ca masura de protectie impotriva desfacerii accidentale a falcilor, conform bcap.8.1.

Realizarile principale ale autorului, pe baza contractelor



FOTOGRAFIA 8.3



BUPT

[*31], [*32], [*33] si conform celor expuse in acest subcapitol, sunt dispozitivele de prehensiune ce echipeaza "membrii" familiei de manipulatoare sincrone "MS-200" (pentru sarcini de 200 kg), "MS-500" (pentru sarcini de 500 kg) si "MS-1000" (pentru sarcini de 1000 kg), lucrari colective in cadrul carora autorul a proiectat si alte subansamblu. Toate manipulatoarele amintite (deci si dispozitivele de prehensiune) au actionare hidraulica la presiunea nominala de 100 bar.

Se exemplifica cele anterior expuse, prin alaturarea desenului de subansamblu (redus cu scara 0.35) al dispozitivului de prehensiune din dotarea manipulatorului sincron "MS-200" si prezentarea in fotografie 8.3 a imaginii manipulatorului sincron "MS-500" care "tine" in dispozitivul de prehensiune un bloc metalic de 500 kg (l-a tinut astfel, cteva zile) in perimetru "Tirgului international Bucuresti-1987".

Intreaga familie de manipulatoare sincrone amintite, a fost fabricata la "Intreprinderea mecanica de masini si utilaj dinier" din Baia Mare. Dintre "membrii" familiei, manipulatorul "MS-500" a fost apreciat cu "Medalia de aur a Tirgului international Bucuresti-1987".

8.3. Proiectarea dispozitivelor de prehensiune cu centrare, pe baza mecanismelor de pozitionare

Proiectarea dispozitivelor de prehensiune cu asigurarea centrarii, conform celor expuse in subcap.1.5 (fig.1.35 si fig.1.36) pe baza unei scheme cinematice asemanatoare cu cea a mecanismului din fig.1.43, a stat in atentia autorului incepind cu [M14] si [M13], dar a fost finalizata doar in ultimii ani cu [C4] si [B7] prin sinteza pozitionala "modernizata".

Acest subcapitol constituie "justificarea" multor afirmatii ale autorului, facute anterior in aceasta lucrare. De aceea nu trebuie sa surprinda, in acest context, aparitia unor consideratii teoretice asupra metodei noi propuse in sinteza mecanismelor de tipul celui din fig.1.43 sau asupra preciziei "teoretice" de centrare asigurata de astfel de mecanisme, naturi de proiectul corespunzator al dispozitivelor de prehensiune si verificarea "practica" a centrarii.

8.3.1. Limitele in aplicarea sintezei cincipozitionale

Rationamentul care a dus la concluzia ca in sinteza unui mecanism de tipul celui din fig.1.43 care sa asigure bacurilor prismei solidare cu biela sa, o succesiune de pozitii ca in fig. 1.36, intr-un ecart de diametre ca in fig.1.35, este imposibil de aplicat sinteza cincipozitionala, se bazeaza pe generalizarea a numeroase exemple abordate in timp de catre autor (nu au fost intilnute calcule care sa infirme concluziile la care s-a ajuns). Se prezinta in continuare un astfel de exemplu.

Ecartul de diametre din fig.1.35 a fost ales intre diametrul minim "Dmin=5 mm" si cel maxim "Dmax=70mm". Unghiuul prismei a fost ales de 120 grade (cel mai uzitat la dispozitive de prehensiune, inclusiv de majoritatea celor anterior prezentate), ceea ce a condus la unghiurile de pozitie minim "βmin=60 grade" si maxim "βmax=120 grade". Impartind echidistant (in cazul sintezei cincipozitionale, in patru) aceste ecarturi de diametre si unghiuri, s-a ajuns cu notatiile din fig.1.36 la asocierile de diametre si unghiuri din tab.8.1.

Tab.8.1

i	Marimi asoc.\ i=	1	2	3	4	5
Diametru Di [mm]	5	21.25	37.5	53.75	70	
Unghi βi [grade]	120	105	90	75	60	

Trecerea de la notatiile din fig.1.36 la cele din fig.2.8 (specifice definirii pozitiilor impuse in cadrul sintezei pozitionale), se poate face prin intermediul relatiilor

$$OM_i = \frac{D_i/2}{\sin(\alpha/2)} \quad (8.29)$$

$$x_{M_i} = OM_i \cdot \cos \theta_i \quad (8.30)$$

$$y_{M_i} = OM_i \cdot \sin \theta_i \quad (8.31)$$

cu ajutorul carora se obtin pozitiile impuse din tab.8.2.

Tab.8.2

Poz.	x=xMi [mm]	y=yMi [mm]	& [grade]
1	-1.4433757	2.5	120
2	-3.1753715	11.850648	105
3	0	21.650635	90
4	8.0318219	29.975168	75
5	20.207259	35	60

S-au considerat pozitiile "1,2,3,4" si pozitiile "2,3,4,5" ca date de intrare in programul de determinare a coeficientilor curbei centrelor (sub forma (4.32) a ecuatiei cu 7 coeficienti) prezentat in subcap.7.1. In aceste cazuri au aparut "instabilitati" si "proportionalitati" privitoare la valorile acestor coeficienti, de tipul celor semnalate in tab.7.2, ceea ce semnifica faptul ca originea axelor din fig.1.35/1.36/1.43/ /2.8 este situata pe curba centrelor. Pentru a demonstra ca acesti coeficienti sunt totusi utilizabili, s-au retinut in tab.8.3, primele seturi obtinute prin considerarea ca 7 poli pe curba centrelor, a celor numiti "P12,P13,P14,P23,Q12,Q13,Q14", respectiv "P23,P24,P25,P34,Q23,Q24,Q25", corespunzator pentru curbele "f1234" si "f2345".

Intre valorile aceluiasi set de coeficienti din tab.8.3, se observa mari diferente de ordine a marimilor, semnalate si in subcap.7.1. Acest fapt presupune ca in mod corespunzator, curbele centrelor au forme "aproape particulare". Astfel coeficientii "A,B" sugereaza o asymptota "usor urcatoare" pentru curba "f1234" si una "usor coboritoare" pentru curba "f2345", coeficientii "E,G" (de acelasi ordin de marime in fata termenilor in "x^2" si "y^2") si "F" ("mult" diferit in fata termenului in "x*y") sugereaza existenta unei ramuri "aproape circulara", iar coeficientii "H,I" ("foarte" mari in fata termenilor in "x" si "y") in acceptiunea interpretarii data coeficientilor "A,B", sugereaza existenta cite unei ramuri "aproape rectilinie", "usor crescatoare" pentru curba "f1234" si "usor coboritoare pentru curba "f2345".

Tab.8.3

Curba :			
		"f1234"	"f2345"
Coef. \:			
A	:	-163.09993	8.4217533
B	:	1238.8627	63.969062
E	:	2956.126	-152.64388
F	:	-22064.523	-1139.3187
G	:	-2956.0641	152.63722
H	:	107155.38	-5532.9574
I	:	-813931.8	-42027.245

Coefficientii din tab.8.3 au fost utilizati ca date de intrare in al doilea program (pentru trasarea a doua curbe ale centrelor), prezentat in subcap.7.2. Rezultatul rularii este vizibil in fig.8.7 si confirma "presupunerile" anterioare privitoare la marimile coeficientilor, in plus putindu-se constata ca ramura "aproape rectilinie" este "aproximativ o dreapta aproape diametrala" pentru ramura "aproape circulara".

In fig.8.7 se mai observa ca zonele "nemonotone" ale celor doua curbe se suprapun, ceea ce inseamna ca "aici" se pot gasi solutiile sintezei cincipozitionale, centrele Burmester (unul este sigur originea axelor intrucit s-a aratat mai inainte ca ambele curbe trec prin origine, iar aceasta nu este pol al rotatiilor finite). Tot in fig.8.7, s-a trasat punctat, la aceiasi scara a curbelor "f1234" si "f2345", cercul central reprezentind piesa de diametru maxim din tab.8.1. Dupa cum se observa, in "cercul-piesa" sau in imediata lui apropiere (la cca. 2 mm, tinind cont de scara) ar fi posibil sa existe centre Burmester de adoptat ca loc de amplasare pentru articulatiile manivelelor/balansierilor cu elementul fix. Intrucit "in spatiul ocupat de piesa" nu pot fi "amplasate" articulatii si nu pot "trece" elemente ale mecanismului, se poate concluziona ca PENTRU MECANISME DE TIPUL CELUI DIN FIG.1.43 CARE SA-SI TREACA PRISMA-BAC PURTATA DE BIELA PRIN POZITII DE PRECIZIE CA IN FIG.2.8, NU ESTE POSIBILA APPLICAREA SINTEZEI CINCIPOZITIONALE.

Cele mai sus expuse, au fost studiate de autor incepind cu

[M14] si [M13], aceasta fiind si explicatia pentru faptul ca sinteza patrupozitionala si studiul curbelor aferente ei, constituie fondul acestei lucrari.

8.3.2. Aplicarea "spatierii Cebisev" in sinteza pozitionala

Dupa cum s-a specificat in subcap.2.6, in scopul cresterii preciziei la mecanismele generatoare de traiectorii/functii, se poate aplica o anumita "aranjare" a punctelor de precizie pe traiectoria/functia de reprodus. In cele ce urmeaza, se va arata cum se poate aplica aceasta "spatiere" si la mecanismele de pozitionare, continuind sinteza inceputa in subcapitolul precedent, de data aceasta doar "patrupozitional".

Adoptind acelasi ecart de diametre si unghiuri, precum si impartirea echidistanta (in cazul sintezei patrupozitionale, la trei) a acestor ecarturi, se ajunge la marimile asociate din tab.8.4.

Tab.8.4

i =	1	2	3	4
Diametru Di [mm]	5	26.666667	48.333333	70
Unghi β_i [grade]	120	100	80	60

Autorul a considerat necesar (se va dovedi prin calculul preciziei teoretice a centrarii pe mecanisme sintetizate cu si fara spatiere) a se aplica "spatierea Cebisev", ambelor marimi asociate din tab.8.4. Astfel, utilizand relatiile (2.85) si (2.86), pentru "p=4", din tab.8.4 s-au obtinut marimile asociate spatiate din tab.8.5.

Pentru a putea trece de la marimile asociate din tab.8.4 si tab.8.5 (adică de la notatiile din fig.1.36 la cele din fig.2.8), s-au aplicat relatiile (8.29), (8.30) si (8.31) asupra marimilor continute in aceste tabele, rezultind corespunzator, pozitiile nespatiate din tab.8.6 si cele spatiate din tab.8.7.

Tab.8.5

i	Mar.as.\ i=	1	2	3	4	
	Dia.Di[m]	7.4739152	25.062788	49.937212	67.526085	
	Ung. β_i [gr]	117.71639	101.4805	78.519497	62.283614	

Tab.8.6

Poz.	x=xMi [mm]	y=yMi [mm]	Θ [grade]
1	-1.4433757	2.5	120
2	-2.6734886	15.162107	100
3	4.845698	27.481319	80
4	20.207259	35	60

Tab.8.7

Poz.	x=xMi [mm]	y=yMi [mm]	Θ [grade]
1	-2.0069174	3.8199588	117.71639
2	-2.8800295	14.180499	101.4805
3	5.738415	28.254421	78.519497
4	18.132298	34.512952	62.283614

S-au considerat pozitiile "nespatiate 1,2,3,4" din tab.8.6 si pozitiile "spatiate 1,2,3,4" din tab.8.7 ca date de intrare in programul de determinare a coeficientilor curbei centrelor (sub forma (4.32) a ecuatiei cu 7 coeficienti) prezentat in subcap.7.1. Si in aceste cazuri au aparut "instabilitati" si "proportionalitati" privitoare la valorile acestor coeficienti, de tipul celor semnalate in tab.7.2, ceea ce semnifica faptul ca originea axelor din fig.1.35/1.36/1.43/2.8 este situata pe curba centrelor. Pentru a demonstra ca aceste coeficienti sunt totusi utilizabili, s-au retinut in tab.8.8, primele seturi obtinute prin considerarea ca 7 poli pe curba centrelor, a celor numiti

"P12,P13,P14,P23,Q12,Q13,Q14", corespunzator pentru curbele "fara spatiere" si "cu spatiere".

Tab.8.8

Curba :			
\---		"fara spatiere"	"cu spatiere"
Coef.			
:	A	-0.000043304273	0.000041127934
:	B	131.21176	-101.47229
:	E	0.0038998707	-0.002251924
:	F	-2436.5255	1877.5587
:	G	0.0019185588	-0.0051806124
:	H	-0.11206459	0.000063067794
:	I	-87761.179	67591.431

Intre valorile aceluiasi set de coeficienti din tab.8.8, se observa cele mai mari diferente de ordine a marimilor, semnalate in aceasta lucrare. Acest fapt presupune (la fel ca in subcap.8.3.2) ca in mod corespunzator, curbele centrelor au forme "aproape particulare". Astfel coeficientii "A,B" sugereaza o asymptota "aproape paralela cu abscisa", coeficientii "E,G" (de acelasi ordin de marime in fata termenilor in " x^2 " si " y^2 ") si "F" ("mult" diferit in fata termenului in " xy ") sugereaza o ramura aproape circulara, iar coeficientii "H,I" (unul "foarte" mic in fata termenului in "x" si altul "foarte" mare in fata termenului in "y") in acceptiunea interpretarii datea coeficientilor "A,B", sugereaza cite o ramura "aproape rectilinie", care este "aproape" abscisa atit in cazul curbei "fara spatiere" cit si al celei "cu spatiere".

Coefficientii din tab.8.8 au fost utilizati ca date de intrare in al doilea program (pentru trasarea a doua curbe ale centrelor), prezentat in subcap.7.2. Rezultatul rularii este vizibil in fig.8.8 pentru curba "fara spatiere", respectiv in fig.8.9 pentru curba "cu spatiere", si confirma "presupunerile" anterioare privitoare la marimile coeficientilor, in plus putindu-se constata ca ramura "aproape rectilinie" este "aproximativ o dreapta-axa absciselor aproape diametrala" Pentru

ramura "aproape circulare".

Comparind fig.8.8 cu fig.8.9, se constata ca sunt aproape identice ("usoare" deosebiri apar in cadranele II si III), iar comparind aceleasi figurii cu fig.8.7 se constata ca ramurile "aproape circulare" au "aproape acelasi diametru" si sunt la fel situate fata de origine (deci sunt incluse in cercul ce figureaza piesa de diametru maxim). Intrucit "in spatiul ocupat de piesa" nu pot fi "amplasate" articulatii si nu pot "trece" elemente ale mecanismului, iar conform fig.1.43 si fig.2.8, piesa "intra" intre bacuri "prin stinga imaginilor" (este doar o orientare relativa), se poate concluziona ca PENTRU MECANISME DE TIPUL CELUI DIN FIG.1.43 CARE SA-SI TREACA PRISMA-BAC PURTATA DE BIELA PRIN POZITII DE PRECIZIE CA IN FIG.2.8, IN APLICAREA SINTEZEI PATRUPOSITIONALE, ESTE UTILIZABILA DOAR RAMURA CVASIRECTILINIE DIN "DREAPTA" RAMURII CVASICIRCULARE A CURBEI CENTRELOR, IN SCOPUL AMPLASARII ARTICULATIILOR CU ELEMENTUL FIX A BALANSIERELOR/MANIVELELOR.

Ar mai fi de observat, in legatura cu valorile din tab.8.8 ale coeficientilor "A,B,E,F,G,H,I", in raport cu relatiile (5.47) si (5.48) care dau coordonatele focarului, cu ecuatiiile (5.60) si (5.100) care definesc asimptota, respectiv axa medie, pentru curbe ale centrelor date sub forma ecuatiei cu 7 coeficienti (4.32), ca PENTRU MECANISME DE TIPUL CELUI DIN FIG.1.43 CARE SA-SI TREACA PRISMA-BAC PURTATA DE BIELA PRIN POZITII DE PRECIZIE CA IN FIG.2.8, IN APLICAREA SINTEZEI PATRUPOSITIONALE, CURBA CENTRELOR ARE FOCARUL SITUAT PE RAMURA "CVASIRECTILINIE" (APROXIMATIV IN "CENTRUL" RAMURII "CVASICIRCULARE") CARE ESTE "APROAPE CONFUNDATA" CU ASIMPTOTA, CU AXA MEDIE SI CU AXA ABSCESELOR.

Fig.8.8/8.9 sunt "incomplete" (deosebit de cum rezultau "in continuitate", rularile programelor din subcap.7.2) intrucit la baleierea planului prin o paralela cu abscisa, calculatorul s-a blocat la prima ciclare prin atingerea "numarului cel mai mare" (E39) datorita mai sus amintitei "cea mai mare diferență a ordinului de marime" a coeficientilor din tab.8.8. Acest fapt pledeaza pentru utilizarea unor calculatoare mai performante in studii similare, dar nu impiedica cu nimic asupra concluziilor privind curbele analizate intrucit acestea au fost cunoscute, initial, prin programele prezentate in subcap.3.2, subcap.3.3 si subcap.3.4.

**8.3.3. Propunerea unei metode de
sinteza patrupozitionala
simplificata**

Se au in vedere CONCLUZIILE din subcap.8.3.1 si din subcap. 8.3.2 (verificate intocmai pe cca. 100 cazuri de sinteza) si se constata (conform coeficientilor "A,B" din tab.8.8) ca panta "ramurei rectilinii ce trece prin origine putindu-se utilizata la sinteza", este de "3...4 la 1000000". In acest context, centrele de pe curba centrelor, situate la distanta "rezonabila" de origine (sub 500 mm) sunt departate de abscisa cu distante submicrometrice. Un punct situat pe abscisa, adoptat ca centru si situat la o asemenea distanta de curba centrelor, verifica ecuatia acesteia "cel putin la fel de bine" ca un pol "Pij/Qij", ca focalul "F", ca punctul principal "P", ca punctele Newton si Gauss "N" si "G" (daca exista), ca punctele de tangenta "T1...T8", ca punctele de inflexiune "I1,I2,I3", sau ca alte puncte avind coordonatele semnalate in aceasta lucrare, intrucit proprietatile de care se bucura curbele de sinteza ca locuri geometrice speciale, nu se "dilueaza" la distante (relative) atat de mici.

In contextul de mai sus, ESENTA PROPUNERII DE A SIMPLIFICA SINTEZA PATRUPOZITIONALA (in cazul adoptarii pozitiilor impuse ca in subcap.8.3.2, cu sau fara "spatiere"), CONSTA (paradoxal) IN A RENUNTA LA EFECTUAREA EI, ADOPTIND CA LOC GEOMETRIC AL CENTRELOR (al articulatiilor cu elementul fix) CHIAR SENSUL POZITIV AL AXEI ABSCISELOR. Detaliind, conform "simplificarii", se va proceda, in sintetizarea unui mecanism cu schema din fig.1.43 care sa-si treaca prisma-bac prin pozitii de precizie ca in fig.2.8, la parcurgerea urmatoarelor "secvente":

a.) Se adopta rational unghiul prismei-bac, ecartul de diametre pentru piesa de manipulat si ecartul de unghiuri pentru bisectoarea prismei.

b.) Se procedeaza la impartirea ecarturilor amintite (echidistant sau cu spatiere conform subcap.8.3.2) si se obtin pozitiile impuse sintezei.

c.) Se aleg rational abscisele articulatiilor " $Ao=Ao'$ " si " $Bo=Bo'$ " cu elementul fix (se va tine cont de faptul ca rezultatul analizei cinetostatice este cu atit mai favorabil cu atit mai aproape decese centre este mai mare, corelat cu

gabaritul axial al cilindrului de actionare).

d.) Se deduc coordonatele punctelor cercuale (articulatiile mobile "A" si "B") corespunzatoare alegerii de la secventa "c", in cele patru pozitii impuse la secventa "b".

e.) Se calculeaza pentru fiecare pozitie, lungimile balansierelor si bielei (desi, in fond, se efectueaza o sinteza aproximativa, aceste lungimi vor diferi intre pozitii, cu valori submicrometrice, dupa cum se va vedea mai tiri) si functie de acestea, prin adaos/lipsa se adopta valorile definitive ale acestor lungimi tinind cont de faptul ca mecanismul va trebui sa treaca printre-o pozitie de "aliniament" a articulatiilor "Ao,A,B,Bo" (conditia matematica fiind " $AoBo+AoA=BoB+AB$ ").

f.) Se efectueaza calculele legate de precizia "teoretica" a mecanismului sintetizat (secventa se va parcurge ca in subcap. 8.3.4, dar nu este obligatorie).

g.) Se alege articulatia "C" pe balansierul "BoB" (pe "AoA" nu se poate, acesta fiind relativ scurt si "plasat" intr-o zona "aglomerata" a mecanismului in care ar fi greu de "materializat" aceasta articulatie) tinind cont de faptul ca analiza cinetostatica va fi cu atit mai favorabila cu cit articulatiile "C" si "B" vor fi mai apropiate (cu grija de a nu atinge in articulatia "D", valoarea admisa a unghiului de presiune).

Conform succesiunii "a...g", a fost intocmit un program de calcul (lungime 2731 bytes), una dintre variante fiind redată pe versoul paginii 232.

Programul a fost scris in mod conversational, ca date de intrare fiindu-i necesare cele patru pozitii de sinteza impuse si abscisa articulatiei cu elementul fix ("xAo"/"xB0"). Reperind acest centru in fiecare din pozitiile impuse si considerind "miscarea inversa" (a elementului fix in raport cu cel mobil), se determina coordonatele punctului cervical conjugat, in toate cele patru pozitii ale sale.

Acum program a fost rulat pentru pozitiile impuse din tab.8.6 (nespatiate) si pentru cele din tab.8.7 (spatiate), in ambele cazuri considerind articulatiile cu elementul fix situate la " $xAo=80\text{ mm}$ " si " $xB0=180\text{ mm}$ ". In cazul cu pozitii "nespatiate" coordonatele articulatiilor bielei sunt redate in tab.8.9 iar in cazul "cu spatiere", in tab.8.10, considerind toate cele patru pozitii impuse.

Tab.8.9					
\ Coord.	xA	yA	xB	yB	
\ Poz.	[mm]	[mm]	[mm]	[mm]	
1	55.604667	10.436703	63.527475	15.010939	
2	53.648649	3.1085885	62.658133	4.6972036	
3	53.648649	-3.1085887	62.658135	-4.6972042	
4	55.604667	-10.436703	63.527476	-15.010938	

Tab.8.10					
\ Coord.	xA	yA	xB	yB	
\ Poz.	[mm]	[mm]	[mm]	[mm]	
1	55.511427	9.5819624	63.5896	13.826046	
2	53.955427	3.6310078	62.898049	5.4472355	
3	53.955414	-3.631006	62.898028	-5.4472325	
4	55.511422	-9.5819586	63.589592	-13.82604	

Cu datele din tab.8.9 si tab.8.10, s-a procedat la calculul lungimilor elementelor mecanismului patrulater "AoABBo" din fig.1.43, pentru fiecare pozitie, rezultatele redinduse in tab.8.11 ("fara spatiere") si tab.8.12 ("cu spatiere").

Tab.8.11			
\ Elem.	AoA	AB	BoB
\ Poz.	[mm]	[mm]	[mm]
1	26.534073	9.148471	117.43584
2	26.534073	9.1484698	117.43584
3	26.534073	9.1484719	117.43584
4	26.534073	9.1484714	117.43584

Tab.8.12

\ Elem.	AoA	AB	BoB
\ Poz.	[mm]	[mm]	[mm]
1	26.296468	9.1251917	117.22858
2	26.296463	9.1251943	117.22858
3	26.296476	9.1251862	117.2286
4	26.296471	9.1251881	117.22859

Evident, atit in cazul mecanismului sintetizat pe baza celor patru pozitii "nespatiate" din tab.8.6, cit si in cazul mecanismului sintetizat pe baza celor patru pozitii "spatiate" din tab.8.7, elementul fix are dimensiunea "AoBo=100 mm". Pentru celelalte dimensiuni, noteate conform fig.1.43, se va lucra in continuare cu valorile medii (corespunzator calculate pe coloanele din tab.8.11/8.12) redate in tab.8.13.

Tab.8.13

\Dimens.med.ale elem.	AoA	AB	BoB
Mecanism pt. poz.	[mm]	[mm]	[mm]
"fara spatiere"	26.534073	9.148471025	117.43584
"cu spatiere"	26.2964695	9.125190075	117.2285875

Se observa in tab.8.9 si tab.8.10, ca mecanismul are cele patru pozitii doua cite doua "aproape perfect" simetrice (diferentele apar la "sutimea de micrometru") in raport cu axa de simetrie a dispozitivului de prehensiune (ce trece prin "Ao" si "Bo") si deci el trebuie sa treaca printre-o pozitie de aliniere a articulatiilor pentru care este necesar ca "AoBo+AoA=BoB+AB".

De asemenea, din tab.8.11 si tab.8.12, se observa ca in cele patru pozitii, balansierele "AoA"/"BoB" si biela "AB" au lungimi "aproape strict" egale (diferentele apar la "sutimea de

micrometru"), ceea ce confirma ca "sinteza simplificata", propusa in acest subcapitol, este fundamentata. Avind in vedere ca elementul fix "AoBo=100 mm", sumele "BoB+AB" si "AoBo+AoA" sunt "aproape egale" considerind datele din tab.8.13 (diferentele apar la "sumitea de mm"). Fiind necesar ca sumele amintite sa fie "strict" verificate de dimensiunile mecanismului (altfel el nu va trece de pozitia de aliniere a articulatiilor), in continuare s-au adoptat ca dimensiuni finale pentru elemente, valorile din tab.8.14 (apropiate de valorile medii din tab.8.13).

Tab. 8.14

\Dimens.finale ale elem.	AoA	AB	BoB	AoBo
\ Mecanism pt. pozitii	[mm]	[mm]	[mm]	[mm]
"fara spatiere"	26.55	9.15	117.4	100
"cu spatiere"	26.3	9.1	117.2	100

Cu valorile din tab.8.14 s-au efectuat calculele privitoare la precizia centrarii (in subcap.8.3.4), iar dimensiunile mecanismului "cu spatierea" pozitiilor de precizie impuse, au servit la realizarea practica a unui dispozitiv de prehensiune (prezentat in subcap.8.3.5).

8.3.4. Precizia teoretica a unor dispozitive de prehensiune

Privitor la un dispozitiv de prehensiune realizat pe baza unui mecanism cu schema din fig.1.43, reluată cu notatii specifice acestui calcul în fig.2.3, se poate efectua un calcul al preciziei teoretice a centrarii, pornind de la relatiile de poziții în mecanismul patrulater (subcap.2.7). În "exploatarea" acestor relații cu ajutorul calculatorului, o limită este constituită de faptul că pentru o relație ca (2.93), valoarea "data" ca soluție a funcției "ATN", este cuprinsă în cadranele "I" și "III", la limita neputindu-se obține soluții. Pentru a

"remedia" acest "neajuns" (unghiul de pozitie al bielei mecanismelor patrulatere poate lua valori si in celelalte cadrane) se va porni algoritmul de calcul dintr-un punct anterior relatiei (2.93).

Printre relatiile pozitionale din care s-a dedus (2.93), s-a considerat

$$D \cdot \cos \gamma + E \cdot \sin \gamma = F \quad (8.32)$$

unde coeficientii "D,E,F" sint dati de (2.94), (2.95), (2.96).

Se propune considerarea, alaturi de (8.32), intr-un sistem de ecuatii, a relatiei fundamentale din trigonometrie

$$\cos^2 \gamma + \sin^2 \gamma = 1 \quad (8.33)$$

Explicitind "COS" din (8.32) si inlocuind in (8.33), rezulta ecuatie de gradul doi in "SIN"

$$(D^2 + E^2) \cdot \sin^2 \gamma - 2 \cdot E \cdot F \cdot \sin \gamma + F^2 - D^2 = 0 \quad (8.34)$$

care are solutiile

$$\sin \gamma = \frac{E \cdot F \pm D \cdot \sqrt{D^2 + E^2 - F^2}}{D^2 + E^2} \quad (8.35)$$

Tinind cont de semnificatia coeficientilor "D,E,F" pentru unghiul motor nul, se va atribui semnul "+" in fata radicalului din (8.35), pentru mecanisme de tipul "direct" ("AoABBo") si semnul "-" pentru cele de tipul "incrucisat" ("AoAB'Bo") din fig.2.20.

Solutiile (8.35) pentru "SIN", se inlocuiesc in amintita "explicitare" a lui "COS"

$$\cos \gamma = \frac{F - E \cdot \sin \gamma}{D} \quad (8.36)$$

Cu valorile date de relatiile (8.35) si (8.36) se poate face o "discutie" prin care calculatorul va alege corect valoarea argumentului, indiferent de cadransul in care aceasta se situeaza. Astfel, daca

$$\sin \gamma > 0 \text{ si } \cos \gamma > 0 \Rightarrow \gamma \in (0, \pi/2) \quad (8.37)$$

argumentul este dat de

$$\gamma = \arcsin \frac{E \cdot F + D \cdot \sqrt{D^2 + E^2 - F^2}}{D^2 + E^2} \quad (8.38)$$

daca

$$\sin \gamma > 0 \text{ si } \cos \gamma < 0 \Rightarrow \gamma \in (\pi/2, \pi) \quad (8.39)$$

argumentul rezulta din

$$\gamma = \arccos \frac{F - E \cdot \sin \gamma}{D} \quad (8.40)$$

daca

$$\sin \gamma < 0 \text{ si } \cos \gamma < 0 \Rightarrow \gamma \in (\pi, 3 \cdot \pi/2) \quad (8.41)$$

argumentul se obtine din

$$\gamma = 2 \cdot \pi - \arccos \frac{F - E \cdot \sin \gamma}{D} \quad (8.42)$$

si daca

$$\sin \gamma < 0 \text{ si } \cos \gamma > 0 \Rightarrow \gamma \in (3 \cdot \pi/2, 2 \cdot \pi) \quad (8.43)$$

argumentul se calculeaza cu

$$\gamma = 2 \cdot \pi + \arcsin \frac{E \cdot F - D \cdot \sqrt{D^2 + E^2 - F^2}}{D^2 + E^2} \quad (8.44)$$

Valorile "la limita" ale aceluiasi argument se vor obtine conform cu

$$\cos \gamma = 1 \Rightarrow \gamma = 0 \quad (8.45)$$

$$\sin \gamma = 1 \Rightarrow \gamma = \pi/2 \quad (8.46)$$

```

10 REM *****
20 LPRINT "Introduceti dimensiuni_mec., conform fig.2,3"
30 INPUT "Unghiul prismei=";a
40 LPRINT "Unghiul prismei=";a
50 INPUT "xM1=";xM1
60 LPRINT "yM1=";yM1
70 INPUT "zM1=";zM1
80 LPRINT "xM1=";yM1
90 INPUT "xA1=";xA1
100 LPRINT "yA1=";xA1
110 INPUT "xA1=";yA1
120 LPRINT "xA1=";yA1
130 INPUT "xB1=";xB1
140 LPRINT "xB1=";xB1
150 INPUT "yB1=";yB1
160 LPRINT "yB1=";yB1
170 INPUT "t1=";t1
180 LPRINT "t1=";t1
190 LET xN1=xM1+100*COS (t1*PI/180)
200 LET yN1=yM1+100*SIN (t1*PI/180)
210 LET m1=ACS (((xA1-xM1)*(xA1-xM1)+(yA1-yM1)*(yA1-yM1)+(xA1-xB1)*(xA1-xB1))*(yA1-yB1)*(yA1-yB1)-(xM1-xB1)*(xM1-xB1)*(yM1-yB1)*(yM1-yB1))/2/SQR (((xA1-xM1)*(xA1-xM1)+(yA1-yM1)*(yA1-yM1))/SQR ((xA1-xB1)*(xA1-xB1)+(yA1-yB1)*(yA1-yB1)))
220 LET n1=ACS (((xA1-xN1)*(xA1-xN1)+(yA1-yN1)*(yA1-yN1)+(xA1-xB1)*(xA1-xB1))*(yA1-yB1)*(yA1-yB1)-(xN1-xB1)*(xN1-xB1)*(yN1-yB1)*(yN1-yB1))/2/SQR (((xA1-xN1)*(xA1-xN1)+(yA1-yN1)*(yA1-yN1))/SQR ((xA1-xB1)*(xA1-xB1)+(yA1-yB1)*(yA1-yB1)))
230 INPUT "xAo=";xAo
240 LPRINT "xAo=";xAo
250 INPUT "yAo=";yAo
260 LPRINT "yAo=";yAo
270 INPUT "AOA=";AOA
280 LPRINT "AOA=";AOA
290 INPUT "AB=";AB
300 LPRINT "AB=";AB
310 INPUT "BbB=";BbB
320 LPRINT "BbB=";BbB
330 INPUT "AOBc=";AOBc
340 LPRINT "AOBc=";AOBc
350 INPUT "fmin=";fmin
360 LPRINT "fmin=";fmin
370 INPUT "fmax=";fmax
380 LPRINT "fmax=";fmax
390 LET fimin=fmin*PI/180
400 LET fimax=fmax*PI/180
410 LET AM=SQR ((xA1-xM1)*(xA1-xM1)+(yA1-yM1)*(yA1-yM1))
420 LET AN=SQR ((xA1-xN1)*(xA1-xN1)+(yA1-yN1)*(yA1-yN1))
430 FOR f=fimin TO fimax STEP PI/180
440 LET D=2*AB*(AOA*COS f-AOBc)
450 LET E=2*AOA*AB*SIN f
460 LET G=BbB*BbB*2*AOA*AOBc*CO S f-AOA*AOA-AB*AB-AOBc*AOBc
470 IF f=PI THEN LET s=1
480 IF f>PI THEN LET s=-1
490 LET sga=(EXG+s*D)/SQR (D*D+E*E-G*G)/(D*D+E*E)
500 LET cga=(G-E*sga)/D
510 IF sga>0 AND cga>0 THEN LET ga=ASN sga
520 IF sga>0 AND cga<0 THEN LET ga=ACS sga
530 IF sga<0 AND cga<0 THEN LET ga=2*PI-ACS sga
540 IF sga<0 AND cga>0 THEN LET ga=2*PI+ASN sga
550 IF sga=1 THEN LET ga=0
560 IF sga=-1 THEN LET ga=PI/2
570 IF cga=-1 THEN LET ga=PI
580 IF sga=-1 THEN LET ga=3*PI/2
590 LET xM=xAo+AOA*COS f+AM*COS (ga*pi)
600 LET yM=AOA*SIN f+AM*SIN (ga*pi)
610 LET xN=xAo+AOA*COS f+AN*COS (ga*pi)
620 LET yN=AOA*SIN f+AN*SIN (ga*pi)
630 LET x=xM-yM*(xN-xM)/(yN-yM)
640 LET OM=SQR ((xM-x)*(xM-x)+yM*yM)
650 LET diam=2*OM*SIN (a*pi/360)
660 LPRINT "fi=";f*180/PI
670 LPRINT "diam=";diam
680 LPRINT "err.abs.=";x
690 LPRINT
700 NEXT f

```

$$\cos \gamma = -1 \Rightarrow \gamma = \pi \quad (8.47)$$

$$\sin \gamma = -1 \Rightarrow \gamma = 3\pi/2 \quad (8.48)$$

completind astfel algoritmul propus.

Conform notatiilor din fig.2.3 si inglobind algoritmul mai sus prezentat, s-a intocmit un program de calcul a pozitiilor punctului "M" (virful unghiului prismei-bac) cu relatii de tipul (2.122) si (2.123), precum si a pozitiilor unui punct ajutator "N" (situat la o distanta constanta de "M" pe bisectoarea prismei). Scriind, in continuare, ecuatia dreptei ce trece prin "M" si "N", se obtine apoi intersectia cu axa absciselor a acestei drepte. Eroarea absoluta de centrare este distanta de la aceasta intersectie la origine. Ca variabila s-a ales unghiul de pozitie al balansierului "AoA". Diametrul piesei cu care s-a pus in corespondenta eroarea absoluta, s-a calculat explicitindu-l din relatia (8.29).

Programul amintit este scris la modul "conversational", solicitind ca date de intrare, pozitii ale punctelor "M1,A1,B1, Ao,B0" ca aceleia din tab.8.6/8.7, lungimi ale elementelor "AoA,AB,BoB,AoBo" ca aceleia din tab.8.14 si unghiiurile limita ale miscarii balansierului "AoA". Rezultatul ciclarilor este "dubletul" diametru-eroare. Programul poate fi usor adaptat sa "lucreze" ca acela prezentat in subcap. 3.1, fiind superior acestuia prin algoritmul determinarii unghiului bielei (utilizabil si pentru unghiul balansierului sau al manivelei confuse). Una din variantele acestui program (lungime 2251 bytes) este listata pe versoul paginii 238.

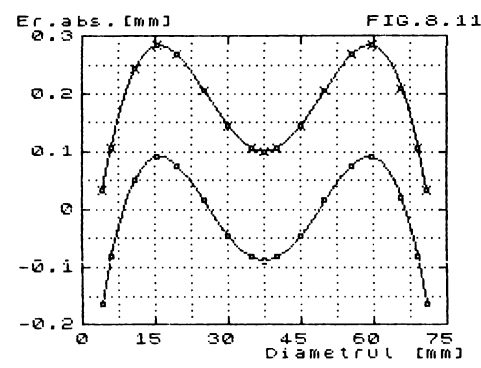
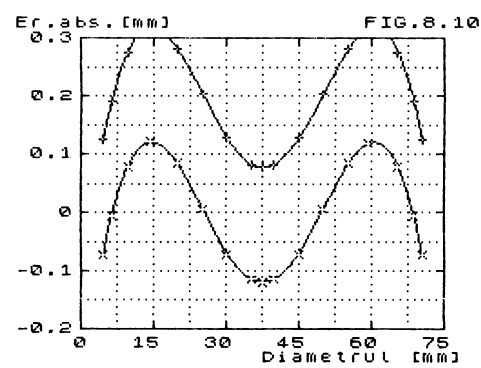
Programul a fost rulat pentru mecanismul "fara spatiere" cu dimensiunile "finale" din tab.8.14, obtinandu-se rezultatele din tab.8.15. La fel s-a procedat si pentru mecanismul "cu spatiere" rezultind tab.8.16. In aceste tabele s-au retinut diametrele apropiate de valorile divizibile cu cinci (in a doua coloana a tabelului) si erorile absolute de centrare corespunzatoare rezultate conform programului (in a treia coloana a tabelului). In plus, s-au introdus si erorile absolute extreme cu diametrele corespunzatoare atunci cind acestea nu se inscriau intre valorile amintite. In coloana a treia a tab.8.15, se observa eroarea maxima in linia cu numarul "3" iar cea minima in linia "8"! Similar, in tab.8.16, eroarea maxima se situeaza in linia "8"!

"13" iar cea minima, in linia "8". Eroarea medie, in aceste cazuri "cu date putine" conform [R2], este media erorilor extreme.

Tab.8.15

Nr.	Diametrul [mm]	Er.abs.prg.[mm]	Er.abs.med.[mm]
1	6.2896214	0.19094472	-0.0061646591
2	9.5702042	0.27514709	0.0780377109
3	14.170919	0.31762445	0.1205150709
4	19.842529	0.28131419	0.0842048109
5	25.134239	0.20229922	0.0051898409
6	30.175437	0.12674632	-0.0703630491
7	35.073935	0.082432491	-0.1146768889
8	37.496062	0.076594309	-0.1205150701
9	39.926078	0.082432298	-0.1146770811
10	44.824575	0.12674564	-0.0703637391
11	49.865774	0.20229815	0.0051887709
12	55.157484	0.28131268	0.0842033009
13	59.367315	0.31593144	0.1188220609
14	65.429809	0.27514447	0.0780350909
15	68.710393	0.19094170	-0.0061676791

Eroarea absoluta medie de centrare, are, pentru coloana a treia din tab.8.15, valoarea "0.1971093791" (cazul mecanismului "fara spatiere"), iar pentru coloana a treia din tab.8.16, valoarea "0.19237496" (cazul mecanismului "cu spatiere"). Semnificatia fizica a acestor erori absolute medii de centrare, este o "corectura" ce trebuie adusa mecanismelor la realizarea practica a dispozitivelor de prehensiune sau in "soft"-ul robotului (in sensul ca articulatiile "Ao" si "Bo" din fig.2.3 trebuie "apropiate" de origine-locul centrarii, cu aceste valori). Acest aspect se datoreaza faptului ca dimensiunile mecanismelor patratulatere din tab.8.14 nu corespund exact pozitiilor de precizie impuse, intrucit cele corespunzatoare, din tab.8.13, au trebuit sa fie "usor ajustate" in scopul creerii posibilitatii ca mecanismele sa poata trece prin pozitia de aliniere a articulatiilor.



Tab.8.16

Nr.	Diametrul [mm]	Er.abs.prg.[mm]	Er.abs.med.[mm]
1	5.8685846	0.10656647	-0.08580849
2	10.786283	0.24271515	0.05034019
3	15.336132	0.28335518	0.09098022
4	19.602552	0.26774190	0.07536694
5	24.965808	0.20779219	0.01541723
6	30.075522	0.14465791	-0.04771705
7	35.040816	0.10647038	-0.08590458
8	37.500002	0.10139424	-0.09098072
9	39.959188	0.10647037	-0.08590459
10	44.924482	0.14465808	-0.04771688
11	50.034195	0.20779239	0.01541743
12	55.397450	0.26774224	0.07539428
13	59.663870	0.28335568	0.09098072
14	65.807305	0.21025626	0.01788130
15	69.131417	0.10656748	-0.08580748

In ultima coloana a tab.8.15/8.16, s-au inscris valorile erorilor absolute de centratie translataate cu eroarea medie absoluta. Examinarea acestei coloane conduce la concluzia ca intr-adevar, pentru mecanismul "cu spatiere" (tab.8.16), erorile extreme sunt mai mici cu cca. o treime si "egalizate" in valoare absoluta fata de erorile extreme pentru mecanismul "fara spatiere" (tab.8.16). Acest fapt pledeaza pentru utilizarea si a mecanismelor de pozitionare, a "spatierii Cebisev" (conform subcap.8.3.2).

Pentru o mai buna apreciere a rezultatelor comentate mai sus, s-a procedat la "trasarea" graficelor corespunzatoare. Astfel, in fig.8.10 s-au reprezentat, pentru "mecanismul fara spatiere", curbele erorii absolute (marcate cu "+") si a erorii absolute mediate (marcate cu "x"), iar in fig.8.11, la aceleasi scari, s-au reprezentat, pentru "mecanismul cu spatiere", aceleasi curbe (cea a erorii absolute marcată cu "patratele" si aceleasi curbe (cea a erorii absolute mediate marcată cu "patratele si x-uri"). Intre punctele "marcate" ale tuturor acestor grafice, curbele au laturi liniare, avin "metoda polinomului alunecator de gradul trei"

din programul utilitar "Grafice-TM". Graficele din fig.8.10 si fig.8.11, permit o mai buna intelegerare a concluziilor anterior exprimate pe baza rezultatelor tabelare (tab.8.15/8.16).

Calculele privitoare la precizia teoretica a mecanismelor dispozitivelor de prehensiune, ca in acest subcapitol, pot sa nu fie efectuate, avind in vedere ca erorile relative de centrare (raportarea se face la diametrul corespunzator) sunt in general sub "1%" (in cazul de fata, eroarea relativa maxima este "0.8%" si corespunde liniei a treia din tab.8.15). Totusi, aceste calcule au importanta lor, pentru concluziile ce s-au putut releva cu ocazia efectuarii lor.

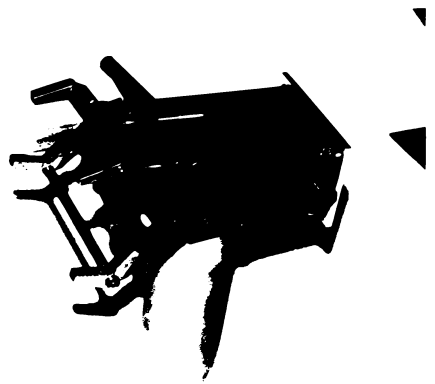
Un aspect asupra caruia autorul isi propune sa revina, in alte lucrari, este acela al aplicarii preciziei relative impuse ca punct de plecare in sinteza pozitionala.

8.3.5. Realizarea unor dispozitive de prehensiune pe baza sintezei patrupozitionale simplificate

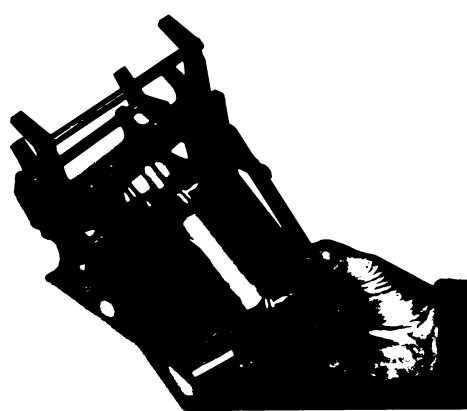
Pentru a putea verifica experimental calculele de tipul celor din subcap.8.3 si a contribui la perfectionarea dispozitivelor de prehensiune ale robotilor industriali, s-a procedat la proiectarea unei familii de astfel de dispozitive, pornind de la gamele de diametre ale piesei manipulate si diametrul corespunzator "estimat" (prin ratiuni de proiectare constructiva) al cilindrului pneumatic de actionare, inscrise in tab.8.17.

Tab.8.17

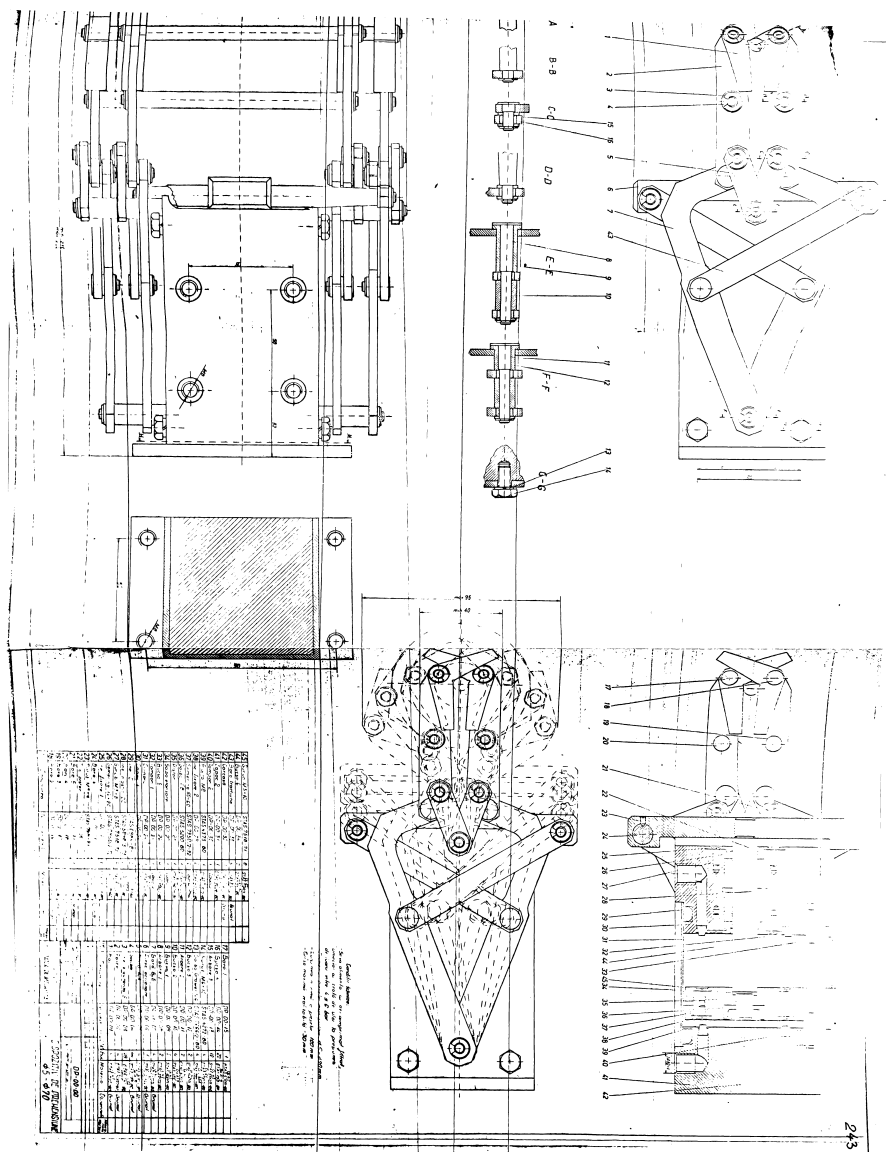
Nr.	Gama de diametre : Diametrul cil. :	pt. piesa manip.	de actionare
crt.	[mm]	[mm]	
1	5....70	60	
2	10...100	80	
3	25...125	100	
4	45...160	125	



FOTOGRAFIA 8.4



FOTOGRAFIA 8.5



Aspectul proiectarii din punctul de vedere al cinetostaticii a fost lasat pe seama "experientei in proiectare", dar autorul isi propune a reveni, in lucrari viitoare, la aplicarea ratiunilor de cinetostatica in sinteza pozitionala.

Dintre prototipurile realizate conform tab.8.17, cele mai reusite sunt primele doua. Alaturat se expune o copie la scara "0.35" dupa desenul de ansamblu al prototipului cu numarul "1". Acest dispozitiv de prehensiune se bazeaza pe un mecanism patrulater ca in fig.2.3 si avind dimensiunile din tab.8.14 (varianta "cu spatierea" pozitiilor de precizie impuse, ca in subcap.8.3.2). Referitor la acest dispozitiv, se expun, in fotografiile 8.4 si 8.5, imagini ale acestuia.

Atit in desen cit si in fotografii, se observa ca dispozitivul de prehensiune a fost proiectat pentru manipularea pieselor de tip "arbore". In acest scop, schema din fig.2.3 a fost "simetrizata" (ca in fig.1.43 dar cu " $Ao=Ao'/Bo'=Bo'$ ") si intregul ansamblu de bare astfel obtinut, a fost "dublat" de ambele parti ale cilindrului pneumatic de actionare. In planele de miscare ale barelor se tine seama de anvergura miscarilor balansierelor/bielelor. Conform desenului se disting, diferit trasate, patru pozitii succesive (cele de precizie impuse) ale tuturor elementelor mobile. Balansierele " BoB'/BoB'' " au fost realizate "cu cot" pentru a permite "trecerea" articulatiilor " B'/B'' " pe linge articulatia " Ao " cu elementul fix. Se remarcă faptul ca la "iesirea" tijei din cilindrul pneumatic, se produce "deschiderea" falciilor-prisma-bac, iar la retractarea tijei are loc "inchiderea" lor (producindu-se stringerea cu centrare a pieselor cilindrice manipulate). Toate articulatiile au fost realizate pe baza unor bucese si saibe autolubrifiante din bronz sinterizat. Cele cete doua mecanisme (de o parte si cealalta a cilindrului pneumatic) care se misca la fel, au fost "jumelate" cu ajutorul unor tije.

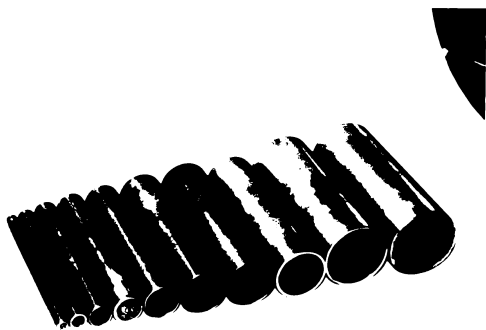
Conform celor de mai sus, a luat nastere o constructie mecanica cu gabarit axial mai mic si mai simpla constructiv (probabil si mai usoara, avind cca.3 kg) decit cea descrisa in [Q1]/[Q2]. Conform calculelor de precizie teoretica (tab.8.16) pe jumate fata de cea reprodusa in subcap.1.4.4 dupa [Q1] pentru aceeasi gama a diametrelor pieselor manipulate.

Se stie ca o functie este cu atit mai bine aproximata de o alta, cu cat numarul lor de puncte comune este mai mare. Asa poate fi interpretata si reproducerea centrarii unei piese cilindrice: cu cat numarul de pozitii impuse falcilor-prisme-bac pentru a centra piese cilindrice, este mai mare, cu atit erorile de centrare sunt mai mici (nule doar pentru pozitiile impuse). S-a demonstrat (subcap.8.3.1) ca sinteza cincipozitionala nu poate fi aplicata in acest caz si ca articulatiile cu elementul fix ("Ao"/"Bo" conform subcap.8.3.2/8.3.3) in sinteza patrupozitionala trebuie sa se situeze "pe axa de simetrie". Dispozitivele de prehensiune descrise in [B8]/[V7], neavand axele amintite astfel asezate, au fost deci create prin sinteza tri sau bipozitionala, fiind teoretic mai imprecise ca prototipul creat care mai are avantajul celui mai mic gabarit axial si transversal. Desi nu s-a urmarit, in mod special acest lucru, la dispozitivul realizat este prezenta autoblocarea impotriva desfacerii accidentale a falcilor-prisma-bac (la "caderea" retelei de aer comprimat) conform celor expuse in subcap.8.1.

In proiectele amintite exista, iar prototipurile realizate materializeaza, doua idei avind caracter de noutate tehnica. Ele au fost apreciate ca atare de catre "OFICIALUL DE STAT PENTRU INVENTII SI MARCI" in [M24] si [M25].

Prima dintre ele se refera la dispozitivul de prehensiune propriu-zis descriis pe larg mai sus si consta in modul de realizare a centrarii celei mai precise pe baza mecanismelor patrulater special concepute, precum si in amplasarea relativa a acestor mecanisme fata de cilindrul de actionare.

A doua dintre ele se refera la cilindrul pneumatic de actionare si consta in constructia speciala a acestuia. La cilindrii pneumatici "clasici", cele doua capace ce inchid axial cilindrul, sunt fixate prin patru tiranti care se tensioneaza comprimind tubul cilindrului sau sunt insurubate chiar pe tub. In ambele ipostaze, tubul are pereti "grosi" (4...8 mm) el preluind nu numai tensiunile datorate presiunii aerului comprimat, ci (alaturi de tiranti) si pe cele datorate incovoierii/torsiunii dintre capace sau datorate loviturilor mecanice. Calculul tubului doar la presiunea aerului comprimat cere pereti din otel "grosi" doar de ordinul zecimilor de mm (1 mm la cilindrul cu diametrul 200 mm). In desen si in unele



FOTOGRAFIA 8.6

BUPT

fotografii, se observa ca cele doua capace au fost rigidizate printr-o piesa avind o sectiune transversala in forma de "U", confectionata din tabla relativ subtire, indoita. In aceasta piesa se pot practica decupari pentru usurare sau ea poate fi subtiata prin nervurari/gofrari pentru sporirea rigiditatii proprii. Fetele exterioare ale piesei in forma de "U" pot servi la amplasarea articulatiilor fixe ale mecanismelor actionate (cum este cazul de fata), respectiv la fixarea subansamblului pe utilajul deservit. Tubul "subtiat" (protejat de piesa "U") preia doar presiunea aerului comprimat, iar piesa in forma de "U" preia toate celelalte solicitari. In ansamblu, o astfel de constructie a cilindrului pneumatic, duce la greutati mai mici decit in cazul cilindrilor "clasici" comparabili ca diametre. De asemenea, tehnologia tubului poate fi radical schimbată in mod favorabil (ambutisare, extrudare, roluire din tabla si sudare de finete pe generatoare, etc).

Dupa cum se va vedea (in subcap.8.3.6), masuratorile pentru determinarea preciziei practice de centrare cu ajutorul primului prototip descris mai sus, confirmă aprecierile asupra preciziei teoretice (din subcap.8.3.4).

8.3.6. Precizia practica a unor dispozitive de prehensiune

Dispozitivul de prehensiune realizat și asupra caruia s-a insistat în tot subcap.8.3, a fost supus unor probe pentru determinarea practica a erorilor de centrare. S-a încercat în acest fel, să se aprecieze influența tehnologiei de realizare (în cazul de fata, corespunzătoare clasei 10...11 de precizie) a prototipului, asupra preciziei teoretice.

S-a creat, conform fig.8.12, o schema de masurare, pe masa rabatabila verticală unei mașini de gaurit în coordinate, profitind de precizia deplasărilor acesteia și a "capului de centraj" din dotare. Precizia mașinii (0.001 mm) fiind superioara preciziei tehnologiei de realizare a prototipului și erorilor teoretice care se cer să fie confirmate (tab.8.16), s-au considerat indeplinite cerințele necesare efectuării masurărilor conform scopurilor propuse. În fotografie 8.6, se prezintă piesele "etalon" de tip "tub cilindric" ale căror

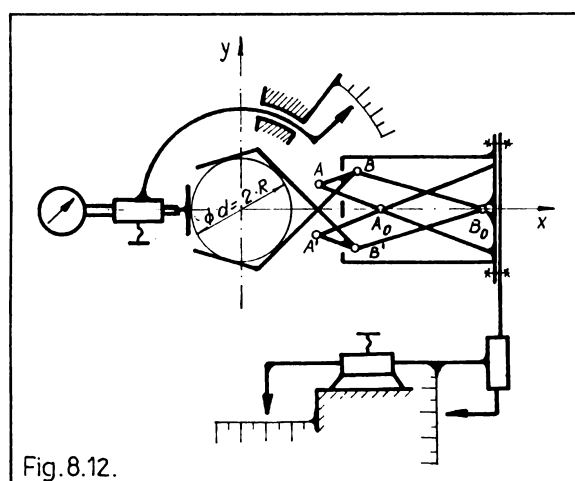


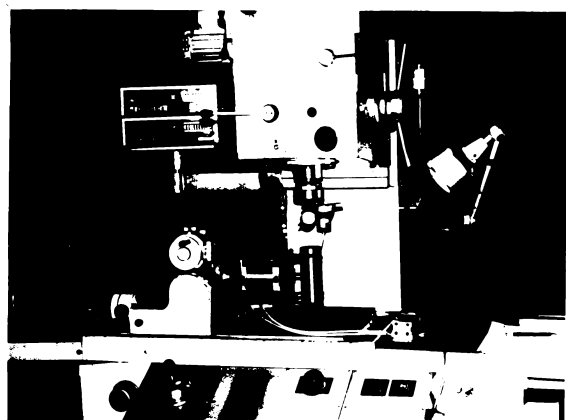
Fig. 8.12.

suprafete exterioare palpabile la masuratori, au fost realizate prin strunjire ingrijita la diametrele din coloana intii a tab.8.18.

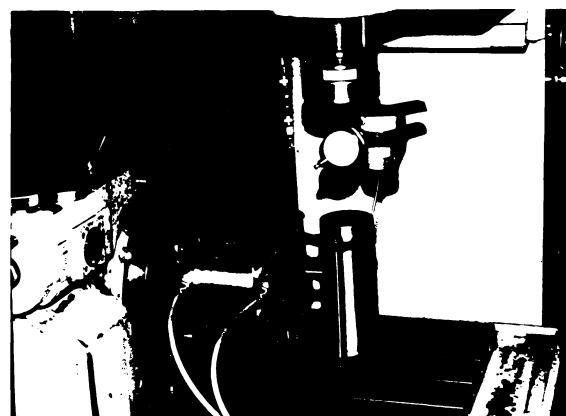
Tab.8.18

Diam.	Er.abs."x" [mm]	Er.abs.med. "x"	Er.abs."y" [mm]	
etal.	+	+	+	+
[mm]	min.	max.	min.	max.
26.24	-1.780	-1.648	-0.517	-0.293
31.94	-2.060	-1.900	-0.605	-0.545
40	-2.154	-2.058	-0.799	-0.703
44.92	-1.435	-1.371	-0.080	-0.016
46.42	-1.967	-1.875	-0.612	-0.520
59.58	-0.907	-0.836	0.448	0.519
64.5	-0.290	-0.211	1.065	1.144
			-2.120	-1.570

Conform fig.8.12, experimentarile au constat in prinderea pieselor etalon intre falcile-prisma-bac ale dispozitivului de prehensiune fixat pe masa unei masini de gaurit in coordonate. Aceasta "fixare" s-a facut "palpind" cu "capul de centraj" peretele dispozitivului (pentru a "aduce" axa piesei etalon in plan vertical) si boltul ce materializeaza articulatia "Ao" a dispozitivului de prehensiune (pentru a putea "aduce" axa acestieia pe axa "x" a masinii). S-a procedat apoi, la deplasarea piesei masinii cu cota " $x_{Ao}=80$ mm", dinspre "Bo" spre "Ao" si la initializarea cotei afisate de masina. In acest fel, teoretic, sistemul de coordonate al masinii are originea suprapusa cu cea a sistemului de definire a pozitiilor impuse falcilor-prisma-bac ale dispozitivului de prehensiune ca in fig. 1.43 si fig.2.3. Dupa cum se observa din fotografia 8.7 (ansamblu) si din fotografia 8.8 (detaliu), executate in timpul masuratorilor comparativ cu fig.1.43/2.3/8.12, directiile axelor la masuratori sunt invers orientate ca in figurii, fapt fara importanta asupra preciziei. In continuare, s-au prins piese etalon intre falcile-prisma-bac ale dispozitivului de prehensiune, procedind la centrarea pieselor astfel prinse cu ajutorul "capului de centraj" si al deplasarilor (efectuate manual) in



FOTOGRAFIA 8.7



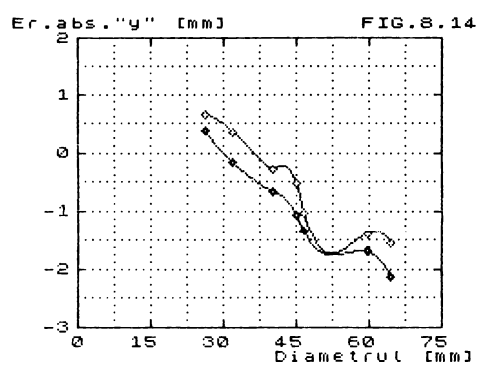
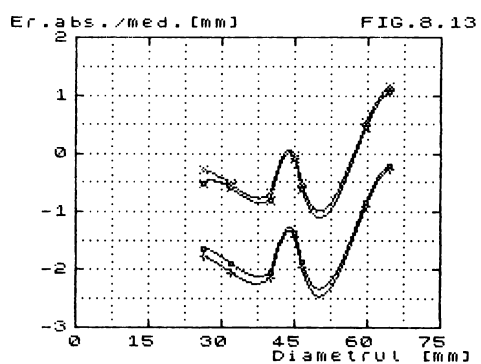
FOTOGRAFIA 8.8

coordonatele "x"/"y" ale masinii. Aceste deplasari, citite pe afisajul masinii de gaurit in coordonate, constituie erorile absolute de centrare determinante practic. Fiecare piesa etalon a fost prinsa de mai multe zeci de ori, in diverse succesiuni ale dimensiunilor acestora.

In legatura cu experimentarile efectuate, se amintește faptul că actionarea dispozitivului de prehensiune este realizată printr-un cilindru pneumatic (cu tija unilateră) care a fost alimentat cu aer comprimat de la rețeaua uzinală printr-un "grup de filtrare-reglare-ungere" și a fost comandat printr-un distribuitor manual cu două cai având trei poziții. S-a lucrat în tot timpul experimentelor, la presiunea de 4 bar.

In conditiile descrise, s-au obtinut erorile experimentale de centratie absolute (dupa axele "x" si "y") intre limitele indicate corespunzator in coloanele a doua, a treia, a sasea si a saptea din tab.8.18. Observind ca erorile dupa axa "x" sunt variabile in jurul unei valori medii ("-1.355 mm", in cazul de fata), s-au calculat erorile experimentale de centratie absolute translatate cu eroarea medie absoluta (raportate la eroarea medie prin scaderea acestiei din erorile de centratie absolute) care au fost transcrise (limitele lor) in coloanele a patra si a cincea din tab.8.18.

Valorile din tab.8.18, conduc la remarca generala ca jocurile din ajustaje si precizia de executie a cotelor importante (corespunzatoare clasei de precizie 10...11) au condus la erori absolute de centrage acceptabile din punct de vedere tehnic (erorile relative, raportate corespunzator la diametre, sunt sub "+/-2%"). Diferentele mici intre limitele erorilor absolute de centrage, corespunzatoare fiecarui diametru, duc la concluzia ca prototipul asupra caruia s-a efectuat experimentul, ofera rezultate "foarte" repetitive. Cu valorile erorilor din tab.8.18, au fost "trasate" (prin "metoda polinomului alunecator de gradul trei" din programul utilitar "Grafice-TM"), in fig.8.13, graficele limitelor erorilor experimentale absolute de centrage si ale celor mediate (acestea din urma, in jurul lui zero) dupa axa "x", iar in fig.8.14, dupa axa "y".



centrare dupa axa "x" din fig.8.13, confirma (in limitele clasei 10...11 de precizie la executia dispozitivului de prehensiune) rezultatele teoretice reprezentate in fig.8.11 (tinind cont si de "inversiunea" sensului axelor, anterior amintita).

Semnificatia fizica a erorii experimentale medii absolute de centrare dupa axa "x", este similara acelora teoretice semnalate in subcap.8.3.4, dar de data aceasta valoarea ei poate fi "poansonata" pe dispozitivul supus experimentarilor (acestea devenind operatiuni de etalonare metrologica) si poate fi considerata ca un "indice calitativ al tehnologiei utilizate in fabricatie". "Evolutia" acestui indice fata de "clasa de precizie" in care a fost realizat dispozitivul de prehensiune, in raport cu valoarea teoretica, este un aspect asupra caruia autorul isi propune sa revina cu viitoare lucrari.

Forma graficelor erorilor experimentale absolute de centrare dupa axa "y" din fig.8.14 (mereu "scazatoare"), sugereaza o "asezare gresita" a dispozitivului de prehensiune pe masa masinii de gaurit in coordonate, sau (ceea ce este cel mai probabil) o "executie gresita" (prezenta unei "inclinari nedorite") la "talpa" de fixare pe masa. Rezulta ca aceste erori vor dispare (sau se vor diminua substantial) daca se "corecteaza" corespunzator (inclinare determinabila ca sens si valoare), piesa de fixare pe masa (se poate proceda si la adaptosuri corespunzatoare sub "talpa" de fixare).

Metoda de masurare a erorilor practice de centrare pentru piese cilindrice, precum si modalitatea de a interpreta rezultatele obtinute asa cum s-a procedat in acest subcapitol, pot fi generalizate pentru toate dispozitivele de prehensiune destinate manipularii acestui tip de piese.

**9. CONSIDERATII SI CONCLUZII FINALE.
CONTRIBUTII ORIGINALE**

Pe parcursul acestei lucrari, au fost pe larg evidențiate (în subcapitolele/capitolele unde era cazul) principalele concluzii teoretice și practice considerate de autor ca prezentind elemente de originalitate. În cele ce urmează, se va rezuma conținutul lucrării, numerotind (pentru a le evidenția) expunerile esențializate ale acestor elemente de originalitate.

Capitolul "1", constituie o selectare din bibliografia adecvată, a realizărilor de interes pentru aceasta lucrare, în domeniul dispozitivelor de prehensiune. Delimitarea partii componente a dispozitivului de prehensiune, care a intrat în preocuparea autorului, s-a putut face prin

1) Evidențierea în cadrul mecanismului de prehensiune, a mecanismului de acționare și a mecanismului purtator al degetului (aceste mecanisme fiind supuse unor ratiuni diferite de sinteza).

De asemenea, delimitarea funcțiunii dispozitivului de prehensiune, prezentind interes pentru lucrare (centrarea), s-a putut face prin

2) Elaborarea unui graf arborescent al tuturor funcțiunilor în general atribuite dispozitivelor de prehensiune.

După trecerea în revista a mecanismelor dispozitivelor de prehensiune, capabile să asigure centrarea, se procedează la

3) Reducerea problemei centrării la o problema de sinteza pozitională.

In continuare, se prezintă prototipurile cunoscute ale unor dispozitive de prehensiune ce au fost sintetizate din condiția asigurării centrării, evidentindu-se avantajele și mai ales dezavantajele acestora, pentru a se putea proceda prin logica inginerescă la

4) Propunerea unei scheme originale pentru mecanismul de prehensiune, bazată pe mecanismul patrulater ca mecanism purtator al degetului și pe mecanismul piston-manivela ca mecanism de acționare.

In capitolul "2", întrucât s-a relevat importanța sintezei pozitionale pentru mecanismul patrulater amintit, se procedează la parcurgerea teoriei cunoscute din bibliografie, referitoare la aceasta sinteza. La expunerea metodelor analitice de sinteza,

se arata ca in cadrul Procedelor pentru determinarea centrelor/
/punctelor de pe curbele de sinteza se poate proceda la

5) Utilizarea relatiilor lui Cardano in rezolvarea unor
ecuatii de gradul trei.

6) Utilizarea unei proprietati a polului rotatiei finite
fata de conexiunea "KB(-1)".

Capitolul "3", constituie o transpunere in programe de
calcul automatizat (limbajul "BASIC") a metodelor analitice de
sinteza cunoscute si prezentate in capitolul "2". Intrucit s-a
aratat ca au fost publicate doar variante in limbaj "FORTRAN"
ale metodelor amintite, fara a folosi facilitatea data de "5)",
se pot considera ca elemente de progres tehnic.

7) Intocmirea unui "program pentru generarea unor pozitii
de control la verificarea calculelor de sinteza".

8) Intocmirea unui "program bazat pe ecuatia dedusa de
Lichtenheldt pentru curbele de sinteza patrupozitionala si pe
metoda dreptei paralele cu asymptota".

9) Intocmirea unui "program bazat pe ecuatia dedusa de
Lichtenheldt pentru curbele de sinteza patrupozitionala si pe
metoda dreptei perpendicularare pe asymptota".

10) Intocmirea unui "program bazat pe ecuatia dedusa de
Perju pentru curbele de sinteza patrupozitionala si pe metoda
dreptei paralele cu abscisa".

Aceste programe, dupa ce au fost analizate din punctele de
vedere ale avantajelor si dezavantajelor prezentate, au fost
rulate iar rezultatele au fost comparate cu cele publicate in
"FORTRAN", constatindu-se corectitudinea algoritmilor si
metodelor folosite. Astfel, programele din capitolul "3" au
putut servi la primele calcule de sinteza patrupozitionala in
problemele puse de autor si la verificarea prin comparatie a
programelor ulterior intocmite pe baza unor noi ecuatii ale
curbelor de sinteza si a unor noi metode de calcul.

In capitolul "4" se procedeaza la deducerea unor noi forme
pentru ecuatiiile curbelor de sinteza descoperite de Burmester.
Translatind ecuatia Lichtenheldt s-a reusit

11) Deducerea ecuatiei in coordonate carteziene intrinseci
cu originea in focar pentru curbele de sinteza patrupozitionala.

Pornind de la aceasta ecuatie s-a ajuns la

12) Deducerea ecuatiei in coordonate polare intrinseci cu
originea in focar pentru curbele de sinteza patrupozitionala.

Utilizind teorema izovizibilitatii s-a procedat la
 13) Deducerea ecuatiei in coordonate polare cu originea
 intr-unul din polii rotatiilor finite pentru curbele de sinteza
 patrupositionala.

Pornind de la ecuatie generala a cubicelor, prin
 proprietatea ca sapte puncte oarecare (aici, sapte poli)
 determina curba de sinteza, s-a reusit

14) Deducerea in coordonate carteziene oarecare a ecuatiei
 cu sapte coeficienti pentru curbele de sinteza patrupositionala.

Capitolul "5" constituie o analiza amanuntita a geometriei
 curbelor de sinteza pe baza ecuatiilor cunoscute ale acestora sau
 pe baza ecuatiilor deduse in capitolul "4".

In primul rind s-a procedat la completarea diferitelor
 ecuatii cu elementele geometrice cunoscute dar cu parametrii
 inca nedeterminati. Astfel s-a ajuns la

15) Explicitarea coordonatelor focarului curbei de sinteza
 exprimata prin ecuatie Perju si prin ecuatie cu 7 coeficienti.

Pe baza celor observate la "15)" si la coordonatele
 focarului corespunzator ecuatiei Lichtenheldt, s-a reusit

16) Enuntarea unor formule generice pentru coordonatele
 focarului, indiferent de forma ecuatiei curbei de sinteza.

De asemenea, s-a ajuns la

17) Determinarea ecuatiei asimptotei curbei de sinteza
 exprimata prin ecuatie cu 7 coeficienti, prin ecuatie polara cu
 originea in focar si prin ecuatie polara cu originea intr-unul
 din polii rotatiilor finite.

Pe baza celor observate la "17)" si la ecuatiile
 asimptotelor corespunzatoare ecuatiilor Lichtenheldt si Perju,
 s-a reusit

18) Enuntarea unor formule generice pentru ecuatiile
 asimptotelor, indiferent de forma ecuatiei curbei de sinteza.

In continuare, s-a ajuns la

19) Determinarea ecuatiei axei medii (axa Newton-Gauss) a
 curbei de sinteza exprimata prin ecuatie Perju si prin ecuatie
 cu 7 coeficienti.

Pe baza celor observate la "19)" si la ecuatiile axelor
 medii corespunzatoare ecuatiei Lichtenheldt, respectiv ecuatiei
 carteziene cu originea in focar, s-a reusit

20) Enuntarea unor formule generice pentru ecuatiile axelor
 medii, indiferent de forma ecuatiei curbei de sinteza.

In al doilea rind s-a procedat la determinarea parametrilor unor elemente geometrice noi referitoare la curbele de sinteza, exprimate prin diferite ecuatii. Astfel, referitor la punctul principal (central) al curbei de sinteza (intersectia acestoria cu asimptota proprie), s-a ajuns la

21) Explicitarea coordonatelor punctului principal al curbei de sinteza exprimata prin ecuatie Lichtenheldt, prin ecuatie carteziana cu originea in focar, prin ecuatie Perju, prin ecuatie cu 7 coeficienti si prin ecuatie polara cu originea in focar.

O concluzie importanta, relevata observind "21)", este

22) Stabilirea existentei perpetue a punctului principal (curba de sinteza isi traverseaza intotdeauna si o singura data asimptota proprie).

In continuare, referitor la punctele curbei de sinteza (denumite de autor) Newton si Gauss (intersectia acestoria cu axa medie proprie), s-a ajuns la

23) Explicitarea coordonatelor punctelor Newton/Gauss ale curbei de sinteza exprimata prin ecuatie Lichtenheldt, prin ecuatie carteziana cu originea in focar, prin ecuatie Perju si prin ecuatie cu 7 coeficienti.

O concluzie importanta, relevata observind "23)", este

24) Posibilitatea decelarii tipurilor curbelor de sinteza dupa existenta/inexistenta/suprapunerea punctelor Newton/Gauss (datorata expresiei pozitive/negative/nule de sub radicalul existent in explicitarea coordonatelor acestor puncte).

Dupa punerea in evidenta a punctelor de intersectie mai sus amintite, s-au analizat curbele de sinteza din punctul de vedere al tangentelor cu directii speciale (paralele/perpendiculare la asimptota). In acest sens, rezultatele cercetarii au constat in

25) Determinarea cite unei cuartice, corespunzatoare respectiv, ecuatiei Lichtenheldt, ecuatiei carteziene cu originea in focar, ecuatiei Perju, ecuatiei cu 7 coeficienti, ecuatiei polare cu originea in focar, ale curbelor de sinteza, din care sa rezulte cei patru/dois parametri ce definesc cele patru/doua tangente paralele cu asimptota.

Observind 25), s-a relevat

26) Concluzionarea ca tangentele paralele cu asimptota sunt una/doua cite una/doua simetrice fata de axa medie.

27) Concluzionarea ca tipurile curbelor de sinteza pot fi

decielate după numarul tangentelor paralele cu asymptota.

28) Concluzionarea că în cazul existenței a patru tangente paralele cu asymptota, curba are două ramuri (una închisă, alta deschisă) situate în benzi de latime egală, simetric amplasate față de axa medie care trece printr-o zonă unde nu există puncte ale curbei de sinteză.

In același context al tangentelor s-a ajuns la

29) Determinarea cite unei sextice, corespunzătoare respectiv, ecuației Lichtenheldt, ecuației carteziene cu originea în focar, ecuației Perju, ecuației cu 7 coeficienți, ale curbelor de sinteză, din care să rezulte cei doi parametri ce definesc cele două tangente perpendiculare pe asymptota.

Examinind "29)", (prin rezolvări în mai multe zeci de cazuri, se poate spune că s-a reusit

30) Demonstrația faptului (prin generalizare), că sextica amintita are doar două soluții reale, existând doar două tangente perpendiculare pe asymptota, în cazul curbelor de sinteză.

Studiind "26)", "27)", "28)", "30)", în mai multe zeci de cazuri concrete, s-a putut generaliza

31) Constatarea că cele două tangente perpendiculare pe asymptota și cele două tangente paralele cu asymptota (mai departate, dacă există patru), inchid în dreptunghiul ce-l formează, zona nemonotonă a curbei de sinteză, avind astfel implicatii în aprecierea posibilității/imposibilității efectuării sintezei cincipozitionale (prin intersectarea/ /neintersectarea dreptunghiurilor amintite, corespunzătoare la oricare două din cele cinci curbe de sinteză rezultate pentru combinațiile de cite patru din cele cinci pozitii impuse sintezei).

O continuare firească după cunoașterea ecuațiilor tangentelor paralele/perpendiculare la asymptota, a constituit o gasirea punctelor de tangenta ale curbei de sinteză cu tangentele amintite. Intrucât cele două tangente perpendiculare pe asymptota intersectează curba de sinteză în cîte un punct, s-a gasit și locul acestora. În acest sens s-a obținut

32) Determinarea coordonatelor punctelor de tangenta ale curbei de sinteză cu tangentele paralele/perpendiculare la asymptota și a coordonatelor punctelor de intersecție ale aceleiasi curbe cu tangentele perpendiculare pe asymptota, curba

fiind exprimata sub forma ecuatiei Lichtenheldt, sub forma ecuatiei carteziene cu originea in focar, sub forma ecuatiei Perju si sub forma ecuatiei cu 7 coeficienti.

Alaturi de punctele remarcate pina acum (polii rotatiilor finite "Pij", polii "Qij", focarul, punctul principal, punctele Newton/Gauss, punctele de tangenta cu tangentele paralele / perpendicularare la asymptota, punctele de intersectie cu tangentele perpendicularare cu asymptota) pe curbele de sinteza, se propune includerea si a punctelor de inflexiune ale acestora. Punctele de inflexiune se gasesc printre intersectiile curbei de sinteza cu "hessian" corespunzatoare. Astfel s-a ajuns la

33) Deducerea ecuatiilor hessianei, respectiv corespunzatoare, ecuatiei Lichtenheldt, ecuatiei carteziene cu originea in focar, ecuatiei Perju a curbelor de sinteza si ecuatiei cu 7 coeficienti, ale curbelor de sinteza.

Examinind "33)", s-a obtinut

34) Demonstrarea faptului ca hessiana oricarei forme carteziene a ecuatiilor curbelor de sinteza, este o cubica completa.

Alura curbelor de sinteza din literatura de specialitate si a celor studiate de autor (catava zeci) a dus prin generalizare la

35) Demonstrarea faptului ca o curba de sinteza neparticulara, are trei puncte de inflexiune aliniate pe o dreapta a inflexiunilor.

Cautind si alte directii decit ale dreptelor remarcate pina aici (asymptota, axa medie, tangentele paralele cu asymptota, tangentele perpendicularare pe asymptota, dreapta inflexiunilor) s-a aplicat rotatia de axe asupra ecuatiilor curbelor de sinteza. S-a ajuns astfel la

36) Deducerea, corespunzatoare respectiv, din ecuatiile Lichtenheldt / carteziana cu originea in focar / Perju / cu 7 coeficienti, pentru curbele de sinteza, a cate unei ecuatii "rotite" si determinarea unor directii remarcabile de orientare a axelor de coordonate, in asa fel incit unii termeni din ecuatiile rotite sa se anuleze.

Simplificarea ecuatiilor curbelor de sinteza prin anularea unor termeni daca se rotesc axele de coordonate (un parametru), unor termeni daca se rotesc axele de coordonate (un parametru), este mai putin eficienta decit simplificarea acestora daca se translateaza axele de coordonate (doi parametri). Procedintul

consecinta, s-a obtinut

37) Deducerea, corespunzatoare respectiv, din ecuatiile Lichtenheldt / carteziana cu originea in focar / Perju / cu 7 coeficienti, pentru curbele de sinteza, a cite unei ecuatii "translatate" si determinarea unor puncte remarcabile ca origini ale axelor de coordonate, in asa fel incit unii termeni din ecuatiile translatata sa se anuleze.

Anularea unor termeni prin rotatia axelor sau prin translatia acestora, a condus, respectiv, la rezolvarea cel mai adesea in expresii analitice a unor ecuatii trigonometrice cu o necunoscuta sau a unor sisteme de doua ecuatii algebrice cu doua necunoscute. Efectul conjugat al translatiei axelor de coordonate concomitent cu rotatia lor (trei parametri) este mai eficient asupra anularii unor termeni in ecuatiile "rotite si translatate", decit rotatia sau translatia, luate separat, dar conduce cel mai adesea la rezolvarea unor sisteme de trei ecuatii transcendentale (cu solutii inexprimabile analitic si determinabile doar prin procedee numerice). Pe aceasta cale s-a ajuns la

38) Deducerea, corespunzatoare respectiv, din ecuatiile Lichtenheldt / carteziana cu originea in focar / Perju / cu 7 coeficienti, pentru curbele de sinteza, a cite unei ecuatii "rotite si translatate", precum si scrierea unor sisteme de ecuatii transcendentale prin rezolvarea carora sa rezulte parametrii rotatiei si translatiei prin adoptarea carora unui termen din ecuatie rotita si translatata sa se anuleze.

Examinind "36)", "37)", "38)", s-a ajuns, in sensul anularii a cit mai multi termeni in ecuatiile curbelor de sinteza, la

39) Stabilirea celei mai remarcabile directii (cea data de **axa medie/asimptota**).

40) Stabilirea celei mai favorabile origini pentru axe de coordonate (in focarul curbei).

41) Stabilirea celei mai simple ecuatii carteziene pentru curbele de sinteza, intr-un sistem particular/intrinsec de axe (ecuatie carteziana cu originea in focar si axa ordonatelor paralela cu asimptota, in care se identifica doar sase termeni).

42) Stabilirea celei mai simple ecuatii carteziene pentru curbele de sinteza, intr-un sistem general de axe (ecuatie cu **sapte coeficienti** in care se identifica zece termeni cu cei mai

simpli coeficienti posibili).

43) Stabilirea celei mai simple ecuatii polare pentru curbele de sinteza (ecuatie cu originea in focar in care se identifica trei termeni cu cei mai simpli coeficienti posibili).

De asemenea, cu ocazia rotatiei/translatiei de axe, s-a reusit

44) Identificarea in ecuatiiile curbelor de sinteza (cubice ciclice cu o asymptota), a patru invarianti (similari cu cei de la studiul conicelor) in raport cu translatia/rotatia de axe.

In contextul dat de "42)" si "43)" in tot acest al "5"-lea capitol si in cel urmator, s-a procedat la

45) Deducerea expresiilor algebrice cele mai simple posibil pentru parametrii (coordonate/ecuatii) elementelor geometrice (puncte/drepte/curbe) remarcabile, evidenitate intr-un sistem particular de axe (corespunzatoare deci curbelor de sinteza definite prin ecuatie carteziana cu originea in focar si axa ordonatelor paralela cu asymptota).

46) Deducerea expresiilor algebrice cele mai simple posibil pentru parametrii (coordonate/ecuatii) elementelor geometrice (puncte/drepte/curbe) remarcabile, evidenitate intr-un sistem general de axe (corespunzatoare deci curbelor de sinteza definite prin ecuatie cu sapte coeficienti).

Capitolul "6" justifica utilitatea elementelor geometrice determinate anterior. In primul rind, bazat pe "23)", "24)", "25)", "27)", s-a ajuns la

47) Enuntarea a doua criterii de decelare a tipurilor curbelor de sinteza (curba are o ramura deschisa daca punctele Newton si Gauss sunt reale distincte sau daca tangentele paralele cu axa medie sunt in numar de doua, are o ramura deschisa si una inchisa daca punctele Newton si Gauss sunt imaginare sau daca tangentele paralele cu axa medie sunt in numar de patru, are forme particulare in toate celelalte cazuri).

In continuare, tinind cont de "31)", s-a procedat la

48) Enuntarea unui criteriu de apreciere a posibilitatii/imposibilitatii efectuarii sintezei cincipozitionale (daca doua din cele cinci curbe de sinteza corespunzatoare, au dreptunghiurile delimitatoare ale zonelor nemonotone, in suprapunere, atunci sinteza cincipozitionala este posibila in caz contrar fiind sigur imposibila).

In al doilea rind, bazat pe "38)", s-a procedat la elaborarea unor noi forme pentru ecuațiile curbelor de sinteza. In acest sens s-a ajuns la

49) Scrierea ecuațiilor carteziene cu originea în focar și axa ordonatelor paralele cu axa medie (au sase termeni), pornind de la ecuația Perju, respectiv de la ecuația cu 7 coeficienți.

50) Scrierea ecuațiilor polare cu originea în focar pornind de la ecuația Perju, respectiv de la ecuația cu 7 coeficienți.

51) Scrierea ecuațiilor carteziene cu originea în punctul principal și axa ordonatelor paralela cu axa medie (are sase termeni), pornind respectiv de la ecuația Lichtenheldt, de la ecuația Perju și de la ecuația cu 7 coeficienți.

52) Scrierea ecuațiilor carteziene cu originea în punctul Newton/Gauss și axa ordonatelor paralela cu axa medie (are săptă termeni), pornind respectiv de la ecuația Lichtenheldt, de la ecuația Perju și de la ecuația cu 7 coeficienți.

Examinind "11)", "12)", "49)", "50)", "51)", s-a ajuns la

53) Evidențierea punctului principal ca origine de aceeași importanță ca și focalul pentru a scrie cele mai simple ecuații ale curbelor de sinteza.

Examinind "52)", s-a procedat la

54) Evidențierea ecuațiilor cu originea în punctul Newton/Gauss, ca forme generale dacă originea sistemului de axe este un punct de pe curba de sinteza (pol "Pij"/"Qij", punct de inflexiune sau de tangentă).

In al treilea rind, prin echivalarea polilor rotatiilor finite "Pij" cu polii "Qij", s-a obținut

55) Evidențierea a două familii de mecanisme, polar conjugate, prin echivalarea amintita.

In al patrulea rind, prin prelucrarea superioara a unor metode cunoscute de determinare a centrelor/punctelor de pe curbele de sinteza, s-a procedat, în scopul trasării curbelor, la

56) Expunerea metodei combinate a dreptelor paralele cu axa medie și a dreptelor perpendiculare pe axa medie (bazată pe ecuația Lichtenheldt).

57) Expunerea metodei combinate a dreptelor paralele cu abscisa și a dreptelor paralele cu ordonata (bazată pe ecuația cu săptă coeficienți).

58) Expunerea metodei bazate pe o proprietate a polilor

rotatiilor finite (luindu-se ca parametru variabil, lungimea manivelelor/balansierelor).

In acelasi context, bazat pe faptul ca daca exista doua intersectii reale intre o dreapta si o cubica, atunci sigur si a treia intersectie este de asemenea reala, s-a ajuns la

59) Expunerea metodei dreptei ce trece prin doua puncte cunoscute ale curbei de sinteza (se poate incepe cu polii rotatiilor finite).

Bazat pe alte ecuatii ale curbelor de sinteza decit cele carteziene, s-a procedat la

60) Expunerea metodei ce utilizeaza ecuatiiile polare.

Capitolul "7" constituie reflectarea in programe de calcul automatizat a preocuparilor teoretice ale autorului, in domeniul sintezei pozitionale pe baza cercurilor suport. Insotind cu numeroase exemple de rulare, s-a procedat la

61) Intocmirea, in limbajul "BETA BASIC", a unui "program pentru determinarea coeficientilor ecuatiei cu sapte coeficienti a curbei de sinteza".

62) Intocmirea, in limbajul "BASIC", a unui "program pentru reprezentarea grafica a doua cubice".

63) Intocmirea, in limbaj "DE ASAMBLARE"/"COD MASINA", a unui "program utilitar, bazat pe o metoda originala de extindere a interpretorului "BASIC", menit sa dubleze rezolutia microsistemului avut la dispozitie.

64) Intocmirea, in limbajul "BASIC", a unui "program pentru rezolvarea sistemelor de doua ecuatii neliniare prin metoda Newton".

65) Intocmirea, in limbajul "BASIC", a unui "program pentru reprezentarea curbelor de sinteza prin metoda ce utilizeaza ecuatiiile polare".

66) Intocmirea, in limbajul "BASIC", a doua "programe pentru rezolvarea ecuatilor cu o necunoscuta" (unul cauta solutiile intr-un interval dat, iar celalalt cauta solutiile in jurul unei valori date).

67) Intocmirea, in limbajul "BASIC", a unui "program pentru reprezentarea curbelor de sinteza prin metoda dreptei ce trece prin doua puncte cunoscute".

68) Intocmirea, in limbajul "PASCAL", a unui "program pentru trasarea rapida a curbelor de sinteza".

Cu "61)" s-au dedus coeficientii ecuatilor curbelor de

sinteză corespunzatoare la un set de patru pozitii de sinteza impuse. Cu "62)" bazat pe "57)", s-au reprezentat grafic doua curbe ale centrelor, respectiv una si hessiana corespunzatoare, utilizind rezolutia obisnuita, iar impreuna cu "63)", utilizind rezolutia dublata. Cu "64)" s-au determinat exact coordonatele centrelor Burmester, respectiv ale centrelor de inflexiune, utilizind ca solutii initiale masuratorile efectuate pe reprezentarile grafice in obisnuita/dubla rezolutie. S-a putut astfel proceda la

69) Scrierea ecuațiilor curbelor de sinteza in coordonate carteziene si apoi in coordonate polare cu originea in centrul intermedian de inflexiune.

Cu ajutorul dat de "65)" si "66", s-a reusit

70) Parcurgerea (trasarea) curbei centrelor de la un capat la celalalt, pe principiul vecinatatii.

71) Punerea in evidenta pe curbele de sinteza, a unor zone utile si a altora inutile, aferente problemei de sinteza a carei rezolvare se urmareste.

Cu "66)" s-a procedat la determinarea din quarticele, respectiv din sexticele mai inainte amintite, a parametrilor ce definesc tangentele paralele/perpendiculare la axa medie. Cu "67)" s-au trasat curbe ale centrelor printr-o metoda noua. Studiul rapid al formei curbelor de sinteza functie de pozitiile impuse, s-a efectuat prin "68)".

In capitolul "8", se prezinta principalele realizari ale autorului in domeniul dispozitivelor de prehensiune ale robotilor industriali. Astfel s-a ajuns la

72) Efectuarea calculelor, elaborarea proiectului tehnic, acordarea asistentei tehnice la realizarea si experimentarea unui dispozitiv de prehensiune care utilizeaza fenomenul de autoblocare pentru asigurarea impotriva desfacerii accidentale a degetelor.

73) Efectuarea calculelor, elaborarea proiectului de executie, acordarea asistentei tehnice la realizarea si experimentarea unui dispozitiv de prehensiune care utilizeaza o caracteristica mecanica avantajoasa (de tipul I) la stringerea pieselor manipulate.

In cadrul aplicarii teoriilor de sinteza a mecanismelor de pozitionare pentru un dispozitiv de prehensiune structurat la "4)", au fost efectuate studii specifice acestui caz care s-au

concretizat prin

74) Demonstrarea atingerii limitelor (imposibilitatea) de aplicare a sintezei cincipozitionale.

75) Elaborarea unei metode de sinteza patrupozitionala simplificata (sustinuta printre-un program de calcul corespunzator, in limbaj BASIC), cunoscind forma particulara a zonei utile a curbei centrelor.

76) Introducerea "spatierii Cebisev" si in acest tip de sinteza pozitionala, cu efect benefic asupra cresterii preciziei teoretice de centrare.

77) Efectuarea calculelor, elaborarea proiectului de executie, acordarea asistentei tehnice la realizarea si experimentarea unui dispozitiv de prehensiune pentru care s-a folosit "75)".

78) Intocmirea, in limbajul "BASIC", a unui "program pentru determinarea erorii teoretice de centrare" realizabila de mecanismul sintetizat, asigurindu-se in acest program o solutie superioara celei din "7)", la rezolvarea problemei pozitiilor.

79) Elaborarea unei metode generale de masurare a preciziei de centrare practic realizata de prototipul dispozitivului de prehensiune amintit la "7)", care a permis extragerea de concluzii cu implicatii tehnologice.

Este usor de intedes ca aceasta lucrare nu s-a putut crea, fara marcarea anumitor etape de valorificare a stadiului respectiv al cercetarilor autorului. In acest sens, sunt de amintit articolele pe tema lucrarii ([K3], [K15], [K16], [M6], [M10], [M11], [M12], [M14], [M15], [M16], [M18], [M19], [M20], [M21], [M22], [M23], [M26], [P14]), la care autorul a colaborat. De asemenea se cer mentionate contractele de cercetare proiectare ([K1], [*29], [*30], [*31], [*32], [*33]), la care autorul a depus o cantitate considerabila de munca. In plus, sub conducerea autorului, s-au elaborat o serie de proiecte de diploma ([B7], [C4], [G2], [M13], [P12], [S6]), cu teme apropiate de diferite capitole ale acestei lucrari. Se reaminteste aici, ca lucrarea de fata include realizari ale unor colective din care autorul a facut parte, apreciate cu un premiu pentru tehnica al Academiei Romaniei (1983), cu o medalie de aur a Targului international din Bucuresti (1987), cu doua brevete ([M24], [M25]), acordate de catre Oficiul de stat pentru inventii si marci din Romania.

* * *

Aceasta lucrare ar fi lipsita de finalul ei firesc, fara a include cuvintele de recunostinta (niciodata indeajuns exprimata) ale autorului, indreptate spre aceia care sub cele mai diverse forme i-au dat posibilitatea sa atinga aceasta faza:

D-lui prof. dr. ing. Francisc Kovacs, seful Catedrei "Organe de masini si mecanisme" si al "Colectivului de robotica industriala" de la " Universitatea tehnica din Timisoara", conducatorul de doctorat al autorului, pentru indrumarile, sugestiile si recomandarile acordate cu rabdare, tact si deosebita competenta, in intreaga perioada a doctoraturii,

D-lui prof. dr. ing. Dan Perju, prorector al Universitatii tehnice din Timisoara, pentru rigurozitatea, rapiditatea si logica rationamentelor de care, autorul a beneficiat in numeroase situatii aparent fara iesire,

D-nei lector dr. mat. Emilia-Viorica Petrisor si D-lui prof. dr. mat. Dan Papuc, pentru solicitudinea si ajutorul acordat in abordarea aspectului matematic al lucrarii,

D-nei as. univ. ing. Arjana Davidescu, D-lui prof. dr. ing. Mihai Crudu, D-lor conf. George Savii, Alfred Pommersheim, Marcu Balekics, Lucian Madaras, Francisc Ioanovici, Ioan Nicoara, Ioan Vacarescu, Corneliu Radulescu, D-lor sefi de lucrari Stefan Varga, Inocentiu Maniu, Mihai Iarosevits si tuturor colegilor din Catedra "Organe de masini si mecanisme", pentru sprijinul moral si adesea material pe care autorul l-a simtit acordat zilnic si direct, din suflet de prieteni,

D-lor fosti studenti, actualmente ingineri si chiar colegi, Stefania Muresan, Miodrag Puterity, Adrian Mares, Zoltan Czika, Soos Jarmil, Doru Gligor, Erwin Lovasz, Ovidiu Barbulescu, de a caror rodnicia si atenta colaborare, autorul a beneficiat cronologic in aceasta ordine, proportional si pe tema titlurilor corespunzatoare din bibliografie,

D-lui conf.dr.ing. Florin Grosu, D-lui sef de lucrari ing. Nicolae Deheleanu, pentru realizarea materialului fotografic, precum si D-lor arh. Paraschiva Ivan, Irina Olariu-Kovacs, Daniela Silaghe, Iuliana Andreiciuc, Dan Sardanescu, pentru executia partii grafice a lucrarii.

Tuturor celor care, pe parcursul acestor ani, au fost alaturi de autor fie si numai cu gindul, acesta leadresseaza multumirile si recunostinta sa.

BIBLIOGRAFIE

- [A1] Auer, H., Beitrag zum Steigerung der Flexibilitat von Handhabeeinrichtungen im Bereich der Einzel- und Kleinserienfertigung, Dr.-Ing-Dissertation TU, Berlin, 1978.
- [A2] Artobolevski, I., Theorie des mechanismes et des machines, Editions M.I.R., Moscova, 1977.
- [A3] Alexandru, P., Visa, I., Bobancu, S., Mecanismes-sinteza, vol.2, Litografia Universitati, Brasov, 1984.
- [A4] Artobolevski, I., I., Teoria mehanismov i masin, ed.IV, glavnaja redactia fizico-matematicheskoi literaturi "Nauka", Moskva, 1988.
- [B1] Belianina, P., A., Avtomaticeskie manipulator u roboto mehaniceskie sistem, Masinostroenie, Moscova, 1988, (pag.250, 253 si 257).
- [B2] Braga, I., Salmon, M., A new robotic assembly system for batch assembly, Proceedings of the 8-th International Conference on Assembly Automation, 31 march-02 april, Copenhagen, 1987, (pag.399-408).
- [B3] Brinzei, D., Onofras, E., Anita, S., Isvoranu, G., Bazele rationamentului geometric, Editura Academiei R.S.R., Bucuresti, 1983.
- [B4] Burmester, L., Lehrbuch der Kinematik, Felix-Verlag, Leipzig, 1888.
- [B5] Brocard, H., Lemoyne, T., Courbes geometriques remarquables - courbes speciales planes et gauches, TOME III, Librairie scientifique et technique Albert Blanchard, Paris, 1970.
- [B6] Brieskorn, E., Knorrer, H., Plane Algebraic Curves, Birkhauser Verlag, Basel - Boston - Stuttgart, 1986.
- [B7] Barbulescu, O., Lovasz, E., Malcoci, D., Simionov, M., Tolbariu, R., Tiritean-Apro, V., Zvinca, M., Contributii la sinteza mecanismelor de pozitionare, cu aplicatie la dispozitivele de prehensiune ale robotilor industriali, Proiect de diploma condus de Mesaros-Anghel, V., I.P.T.V., Timisoara, 1990.
- [B8] Brukher, E., Maschinell betätigte Zange zum Greifen von Rundkörpern, Bundesrepublik Deutschland, Patent 3717091, 21.05.1987
- [B9] Bogdan, R., C., Larionescu, D., Cononovici, S., Sinteză

mecanismelor plane articulate, Editura Academiei Romane, Bucuresti, 1977.

[C1] Ciontu, G., Mini Fanuc utilizate pentru echiparea robotilor, Lucrarile celui de al VII-lea Simpozion national de roboti industriali si mecanisme spatiale, MERO'87, 29-31 octombrie, Bucuresti, 1987, (pag.150-162).

[C2] Camera, A., Lupana, G., Robotic assembly systems in the electrical industry, Proceedings of the 7-th International Conference on assembly automation, 04-06 february, Zurich, 1986, (pag.51-62).

[C3] Chelpanov, I., B., Kolpashnikov, S., N., Mechanical features of gripper in industrial robots, 13-th International symposium on industrial robots and robots 7, vol.2, 17-21 april, Chicago Illinois, 1983, (pag.18.77-18.90).

[C4] Czika, Z., Mares, A., Hard si soft intr-un microsistem pentru studiul mecanismelor-Proiect de diploma condus de Mesaros-Anghel, V., I.P.T.V., 1989.

[D1] Durbacov, S., F., Diacenco, V., A., Proiectirovanie manipulatorov, Visceaia scola, Moscova, 1986, (pag.22-24).

[D2] Dolga, V., Asupra preciziei de centrage a dispozitivului de prehensiune, Lucrarile celui de al 3-lea Simpozion national de robati industriali, vol.1, 27-29 octombrie, Bucuresti, 1983, (pag.108-117).

[D3] Drimer, D., s.a., Roboti industriali si manipulatoare, Editura Tehnica, Bucuresti, 1985, (pag.228, 231 si 233).

[D4] Davigora, V., N., Haischeli, P., Zaberei, A., M., Brevet U.R.S.S. 1024274 A-1982, dosar O.S.I.M. 56, nr. 812571, 1983.

[D5] Dudita, F., Sinteza si sistematizarea structurala a mecanismelor Plane monomobile de prehensiune cu trei bacuri, Lucrarile celui de al VII-lea Simpozion national de roboti industriali si mecanisme spatiale, MERO'87, vol.1, Bucuresti, 29-31.10.1987, (pag.192-198).

[D6] Dudita, F., Diaconescu, D., Curs de mecanisme, vol.3, Litografia Universitatii, Brasov, 1984.

[D7] Dudita, F., Diaconescu, D., Gogu, G., Curs de mecanisme, vol.4, Litografia Universitatii, Brasov, 1987.

[D8] Dijksman, E., A., Het ontwerpen van stangenmechanismen - Monografien - reeks, Uitgegeven door, Technische Uitgeverij H. Stam N.V., Culemborg - Keulen in samenwerking met het Nederlands Instituut van Register - Ingenieurs en Afgestudeerden van Hagere

Technische Scholen, 1968.

[D9] Dijksman, E., A., Calculation and Construction of the Burmester Points for Five Positions of a Moving Plane, presented at the Mechanisms Conference, Atlanta, 06-09.10.1968, Manuscript received by The American Society of Mechanical Engineers Headquarters, 01.07.1968 (Paper No.68-Mech-B).

[D10] Dijksman, E., A., Coordination of Coupler-Point Positions and Crank Rotations in Connection With Roberts' Configuration, presented at the Mechanisms Conference, Atlanta, 06-09.10.1968, Manuscript received by The American Society of Mechanical Engineers Headquarters, 18.06 1968 (Paper No.68-Mech-10).

[D11] Dijksman, E., A., Kinematic Design of a Shuttle Mechanism using the (PP-PP)-method, III Jugoslovenski simpozijum kinematike i dinamike masina i mehanizma, Ljubljana, 25-27.09.1981.

[D12] Dijksman, E., A., Smals, A., T., J., M., Symetrical Coupler Curves Approximating a Straight Line (Degenerate Case), Proceedings of The First International Applied Mechanical Systems Design Conference, (IAMSDC-1), No.1, Vol.1, Nashville, Tennessee, U.S.A., 11-14.06.1989.

[D13] Dumitrascu, L., Invatam BASIC - totul despre ... BASIC in 14 conversatii si 7 sinteze, vol.1, Editura tehnica, Bucuresti, 1989.

[D14] Dumitrascu, L., Invatam BASIC - totul despre ... BASIC in 14 conversatii si 7 sinteze, vol.2, Editura tehnica, Bucuresti, 1989.

[D15] Dorn, W., S., McCracken, D., D., Metode numerice cu programe in FORTRAN IV, Editura tehnica, Bucuresti, 1976.

[D16] Demidovitch, B., Maron, I., Elements de calcul numerique, Edition Mir, Moscou, 1973.

[E1] Espinau, B., Kakikura, M., Model-based planning of visual sensors using a hand eye action simulator system, Towards Third Generation Robotics, 13-15 october, Versailles, 1987, (pag.163-174).

[E2] Engelberger, F., J., Les robots industriels, applications, gestion et pratique, vol.1, Paris, 1980, (pag.55-57).

[F1] Frolov, K., V., Vorobliev, E., I., Mechanika promislennih robotov - Raschet i proektirovanie mehanizmov, vol.2, "Visceiaia scola", Moscova, 1988.

- [G1] Giurovici, G., M., Mecanisme de executie. Tipuri de mini de roboti, Simpozion national de roboti industriali, vol.1, 29-31 octombrie, Bucuresti, 1981, (pag.104-109).
- [G2] Gligor, D., Dispozitivele de prehensiune si orientare ale manipulatorului sincron MS-1000, Proiect de diploma condus de Mesaros-Anghel, V., I.P.T.V., 1989.
- [G3] Gheorghiu, N., Mesaros-Anghel, V., Varga, s., Kovacs, F., Dispozitivele de prehensiune ale robotului industrial REMT-2, Lucrarile celui de-al II-lea "Simpozion national de roboti industriali", Bucuresti, 28-30.10.1982.
- [H1] Horvath, L., S., Application of flexible automation in assembly, Proceedings of the 7-th International Conference on assembly automation, 04-06 february, Zurich, 1986, (pag.219-226).
- [H2] Hirai, S., Sato, T., Matsushita, T., Hand eye task execution based on hand-eye cooperation knowledge base, Towards Third Generation Robotics, 13-15 october, Versailles, 1987, (pag.175-186).
- [H3] Handra-Luca, V., Mecanism, Litografia I. P., Cluj-Napoca, 1980.
- [H4] Handra-Luca, V., Stoica, A., Introducere in teoria mecanismelor, vol.1, Editura Dacia, Cluj-Napoca, 1982.
- [H5] Hartenberg, R., S., Denavit, J., Kinematic Synthesis of Linkages, McGraw-Hill Book Company, New York-San Francisco-Toronto-London, 1964.
- [I1] Iampolskogo, L., S., Promislenaja robotehnika, <Tehnica>, Kiev, 1984, (pag.123).
- [I2] Ionita, N., Elemente de mecanica automatelor si dinamica automatizarii proceselor industriale, Editura tehnica, Bucuresti, 1985, (pag.44).
- [I3] Ionescu, G., D., Teoria diferentiala a curbelor si suprafetelor cu aplicatii tehnice, Editura Dacia, Cluj-Napoca, 1984.
- [K1] Kovacs, F., Perju, D., Grosanu, I., Madaras, L., Radulescu, C., Mesaros-Anghel, V., Varga, S., Dolga, V., Maniu, I., Vaduva, G., Elaborarea proiectelor tehnice ale modelor experimentale ale miinilor mecanice, Contract nr. 163/1980, Faza 1.1.2., Beneficiar I.C.S.I.T. Titan Bucuresti, 30.11.1981.
- [K2] Kovacs, F., Cojocaru, G., Manipulatoare si aplicatiile lor industriale, Editura Facila, Timisoara, 1982, (pag.84 si 90).

- [K3] Kovacs, F., Mesaros-Anghel, V., Contributii la analiza preciziei de centrare a dispozitivelor de prehensiune ale robotilor industriali, Lucrarile I-ului Simpozion national de roboti industriali, 29-31 octombrie, Bucuresti, 1981.
- [K4] Konstantinov, M., S., Galabov, W., B., Kriterien zum Entwurf von Greifmechanismen fur Manipulatoren und Industrieroboter, Maschinenbautechnik, 1978, (pag.534 si 535).
- [K5] Kovacs, F., Cojocaru, G., Robotii in actiune, vol.2, Editura Facla, Timisoara, 1986, (pag.19, 20 si 22).
- [K6] Kusiak, A., Artificial intelligence implications for CIM, IFS (Publication) Ltd, UK, Springer-Verlag, Berlin - Heidelberg - New York - London - Paris - Tokio, 1988.
- [K7] Kovacs, F., Perju, D., Mecanisme, vol.2, Litografie I.P.T.V., Timisoara, 1977.
- [K8] Kovacs, F., Perju, D., Crudu, M., Mecanisme, vol.1, Litografie I.P.T.V., Timisoara, 1978.
- [K9] Kovacs, F., Perju, D., Savii, G., Metode noi in sinteza mecanismelor, Editura Facla, Timisoara, 1976.
- [K10] Kovacs, F., Oprea, I., Perju, D., Curs de teoria mecanismelor si dinamica masinilor, vol.1, Litografie I.P.T.V., Timisoara, 1969.
- [K11] Kovacs, F., Oprea, I., Perju, D., Curs de teoria mecanismelor si dinamica masinilor, vol.2, Litografie I.P.T.V., Timisoara, 1969.
- [K12] Kovacs, F., Oprea, I., Perju, D., Curs de teoria mecanismelor si dinamica masinilor, vol.3, Litografie I.P.T.V., Timisoara, 1969.
- [K13] Kovacs, F., Contributii la elaborarea unei metode unitare de sinteza a mecanismelor - teza de doctorat, I.P.T.V., Timisoara, 1969.
- [K14] Kristen, M., Greifkonstruktion mit Hilfe der Computergestutzten Lagensynthese, Maschinenbautechnik, nr.7/1990, pag.303-308.
- [K15] Kovacs, F., Perju, D., Varga, S., Mesaros-Anghel, V., Maniu, I., Davidescu, A., Iarosevits, M., Diaconu, A., Ciugudean, M., Tanase, C., Dumitrescu, C., Manipulatorul sincron MS-200, Lucrarile celui de-al VIII-lea "Simpozion national de roboti industriali, Cluj-Napoca, 20-22.10.1988.
- [K16] Kovacs, F., Perju, D., Muresan, T., Varga, S., Mesaros-Anghel, V., Maniu, I., Dumitrescu, C., Davidescu, A.,

Iarosevits, M., Diaconu, A., Ciugudean, M., Tanase, C., Manipulatorul sincron MS-1000, Lucrarile celui de-al IX-lea "Simpozion national de roboti industriali", Baia Mare, 26-28.10. 1989.

[K17] Kozirev, I., G., Pramislenie roboti - sprovocinik, Masinostroenie, Moskva, 1983.

[K18] Kovacs, F., Radulescu, C., Bogdanov, I., Pau, V., Roboti industriali, manuscris in curs de aparitie la Editura didactica si pedagogica, Bucuresti, 1991.

[L1] Lascu, V., G., Module de prehensiune pentru roboti industriali utilizati in ateliere de matritare, Lucrarile celui de al 3-lea Simpozion national de roboti industriali, vol.2, 27-29 octombrie, Bucuresti, 1983.

[L2] Lichtenheldt, W., Konstruktions-lehre der Getriebe, Akademie-Verlag, Berlin, 1965.

[L3] Logan, I., O'Hara, F., The complete SPECTRUM ROM disassambly, Melbourne House Publishers, Melbourne - Hong Kong, 1983.

[L4] Logan, I., SPECTRUM MICRODRIVE book whith details of the ZX Interface, the Microdrive, the Local Area Network and the RS232 Link, Melbourne House Publishers, Melbourne - Nashville - Hertfortshire - Hong Kong, 1983.

[M1] Matsushita, T., Sato, T., A robot vision language applicable to three-dimensional mechanical part assembly, Proceedings of the 4-th International on Assembly Automation, 11-13 october, Tokyo, 1983, (pag.67-78).

[M2] Mortimer, J., Roccs, B., Robot Industry Report, IFS (Publication) Ltd, UK, Springer-Verlag, Berlin - Heidelberg - New York - London - Paris - Tokyo, 1987, (pag.78 si 108).

[M3] Maros, D., Orlandea, N., Tapalaga, I., Curs de teoria mecanismelor si a masinilor, Litografie I.P., Cluj-Napoca, 1966.

[M4] Manolescu, N., Kovacs, F., Oranescu, A., Teoria mecanismelor si a masinilor, Editura didactica si pedagogica, Bucuresti, 1972.

[M5] Maros, D., Mecanism, Litografie I.P., Cluj-Napoca, 1980.

[M6] Mesaros-Anghel, V., Perju, D., Puterity, M., Consideratii asupra utilizarii calculului automatizat pentru determinarea curbelor de biela folosite in sinteza mecanismelor cu bare, Lucrarile celui de al III-lea simpozion national "PRASIC", 11-13 decembrie, Brasov, 1986.

- [M7] Mihu, C., Ianbor, I., P., Curbe plane, Editura tehnica, Bucuresti, 1989.
- [M8] Murgulescu, E., Flexi, S., Kreindler, O., Sacter, O., Tirnoveanu, M., Geometrie analitica si diferențiala, Editura didactica si pedagogica, Bucuresti, 1965.
- [M9] Mesaros-Anghel, V., Puterity, M., Consideratii asupra utilizarii calculului automatizat pentru determinarea curbelor Burmester folosite in sinteza pozitionala a mecanismelor cu bare, Lucrarile celui de-al VI-lea "Simpozion national de roboti industriali", Brasov, 11-13.12.1986.
- [M10] Mesaros-Anghel, V., Mesaros-Anghel, T., O noua forma a ecuatiei curbelor de sinteza dimensionalala ale lui Burmester, Lucrarile celui de-al IV-lea "Simpozion internatinal de teoria si practica mecanismelor -SYROM'89", Bucuresti, 02-07.07.1985.
- [M11] Mesaros-Anghel, V., Puterity, M., Mares, A., Drepte remarcabile si utilitatea lor la sinteza dimensionalala prin curbele lui Burmester, Lucrarile celui de-al V-lea "Simpozion international de teoria si practica mecanismelor-SYROM'89", Bucuresti, 06-11.07.1989.
- [M12] Mesaros-Anghel, V., Puterity, M., Czika, Z., Puncte remarcabile si utilitatea lor la sinteza mecanismelor prin curbele lui Burmester, Lucrarile celui de-al V-lea "Simpozion international de teoria si practica mecanismelor-SYROM'89", Bucuresti, 06-11.07.1989.
- [M13] Muresan, S., Mecanism de prehensiune cu doua bacuri si centrare completa - Proiect de diploma condus de Mesaros-Anghel, V., I.P.T.V.T., 1984.
- [M14] Mesaros-Anghel, V., Kovacs, F., Muresan, S., Asupra utilizarii metodei Burmester de sinteza pozitionala la proiectarea mecanismelor de prehensiune care asigura centrarea, Lucrarile celui de-al III-lea "Simpozion national de roboti industriali", Bucuresti, 27-29.10.1983.
- [M15] Mesaros-Anghel, V., Kovacs, F., Puterity, M., Consideratii asupra extinderii metodei de sinteza patrupozitionala prin patru noi pozitii de precizie, Lucrarile celui de-al VI-lea "Simpozion national - Proiectarea asistata de calculator in domeniul mecanismelor si organelor de masini - PRASIC'86", Brasov, 11-13.12.1986.
- [M16] Mesaros-Anghel, V., Lovasz, E., O noua metoda de determinare a punctelor pe curbele de sinteza dimensionalala ale

lui Burmester, Lucrarile celui de-al IX-lea "Simpozion national de roboti industriali - ROBOT'89", Baia Mare, 26-28.10.1989.

[M17] Maros, D., Calcule numerice la mecanismele plane, Editura "Dacia", Cluj-Napoca, 1987.

[M18] Mesaros-Anghel, V., Davidescu, A., Davidescu, C., Despre doua familii de mecanisme conjugate pe baza echivalariei polilor "Qij" cu polii rotatiilor finite "Pij", Lucrarile celui de-al VII-lea "Simpozion national - proiectarea asistata de calculator in domeniul mecanismelor si organelor de masini - PRASIC'90", Brasov, 13-14.12.1990.

[M19] Mesaros-Anghel, V., Puterity, M., Extinderea interpretorului BASIC la computerele compatibile SPECTRUM - exemplu de extindere a posibilitatilor grafice prin dublarea rezolutiei, Buletinul INF nr.2, Casa universitarilor, Timisoara, 1988.

[M20] Mesaros-Anghel, V., Puterity, M., Program in limbaj PASCAL pentru rezolvarea sistemelor de ecuatii liniare, Buletinul INF nr.1, Casa universitarilor, Timisoara, 1989.

[M21] Mesaros-Anghel, V., Asupra fenomenului de autoblocare la un mecanism de prehensiune pentru roboti industriali, Lucrarile celui de-al III-lea "Simpozion de mecanisme si transmisii mecanice", Timisoara, octombrie, 1980.

[M22] Mesaros-Anghel, V., Varga, S., Maniu, I., Perju, D., Kovacs, F., Davidescu, A., Iarosevits, M., Diaconu, A., Despre dispozitivele de prehensiune si orientare ale unui manipulator sincron pentru sectoare calde, Lucrarile simpozionului "Realizari de virf ale stiintei si tehnicii romanesti", Baia Mare, 15-16.04.1988.

[M23] Mesaros-Anghel, V., Varga, S., Maniu, I., Davidescu, A., Iarosevits, M., Dispozitivele de orientare si prehensiune ale manipulatorului sincron MS-1000, Lucrarile celui de-al IX-lea "Simpozion national de roboti industriali - ROBOT'89", Baia Mare, 26-28.10.1989.

[M24] Mesaros-Anghel, V., Mesaros-Anghel, T., Groza, I.-R., Cioaba, V., Mares, A., Czika, Z., Dispozitiv de prehensiune cu centratie, Brevet nr.102291/26.06.1989, Romania.

[M25] Mesaros-Anghel, V., Mesaros-Anghel, T., Groza, I.-R., Cioaba, V., Mares, A., Czika, Z., Cilindru pneumatic, Brevet nr.102980/26.06.1989, Romania.

[M26] Mesaros-Anghel, V., Varga, S., Maniu, I., Segmente din

curba centrelor, utilizabile la sinteza mecanismelor patrulater cu pozitii extreme impuse, Lucrarile celui de-al IV-lea "Simpozion de mecanisme, transmisii mecanice si robotizarea in industrie", Timisoara, 29.11-02.12.1984.

[P1] Pankin, E., P., Universalnoe zahvatnoe ustroino, Mehanizatia i avtomatizatia proizvotsva, nr.11, Moscova, 1989, (pag.10).

[P2] Piroska, G., Szep, E., Robotmegfogot adaptivitasa, tanulmanyok, nr.103, M.T.A., Budapest, 1980.

[P3] Perju, D., Mecanisme de mecanica fina, vol.1, Litografia I.P.T.V., Timisoara, 1986.

[P4] Perju, D., Mecanisme de mecanica fina, vol.2, Litografia I.P.T.V., Timisoara, 1986.

[P5] Pelecudi, C., Marcos, D., Merticaru, V., Pandrea, N., Simionescu, I., Mecanisme, Editura didactica si pedagogica, Bucuresti, 1985.

[P6] Perju, D., Contributii la sinteza mecanismelor plane pentru conducerea unui punct pe o curba data - teza de doctorat, I.P., Bucuresti, 1971.

[P7] Pelecudi, C., Draganoiu, G., Simionescu, I., Algoritmi si programe pentru analiza mecanismelor, Editura tehnica, Bucuresti, 1982.

[P8] Pelecudi, C., Simionescu, I., MERIG - Mecanica asistata de calculator, vol.1 - Statica, Editura tehnica, Bucuresti, 1986.

[P9] Popescu, I., Proiectarea mecanismelor plane, Editura "Scrisul romanesc", Craiova, 1977.

[P10] Petrescu, A., Tapus, N., Moisa, T., Rizescu, G., Harabor, V., Marsanu, M., Mihu, T., ABC de calculatoare personale si ... nu doar atit ..., vol.1, Editura tehnica, Bucuresti, 1990.

[P11] Petrescu, A., Rizescu, G., Tapus, N., Moisa, T., Zamfirescu, P., Cososchi, V., Marsanu, M., Dobrovie, E., Badea, N., Harabor, V., ABC de calculatoare personale si ... nu doar atit ..., vol.2, Editura tehnica, Bucuresti, 1990.

[P12] Puterity, M., Hard si soft intr-un microsistem pentru studiul mecanismelor, Proiect de diploma condus de Mesaros-Anghel, V., I.P.T.V.T., 1987.

[P13] Puterity, M., Rezolvarea sistemelor de ecuatii liniare, Buletinul INF nr.1-2, Casa universitarilor, Timisoara, 1987.

- [P14] Perju, D., Gheorghiu, N., Kovacs, F., Varga, S., Mesaros-Anghel, V., Maniu, I., Davidescu, A., Madaras, L., Manipulatorul sincron MS-500, Lucrarile celui de-al VI-lea "Simpozion national de roboti industriali ROBOT'86", Brasov, 11-13.12.1986.
- [Q1] Qingsen, H., A linkage mechanism for concentric gripping cylindrical components, Lucrarile celui de-al 12-lea "Simpozion de roboti industriali" si a celei de-a 6-a "Conferinte internationale de tehnologii robotizate", Paris, 09-11.06.1982, (pag.408).
- [Q2] Qingsen, H., "Concentric Gripper", UK Patent, file nr. 8127255, 1981.
- [R1] Ranky, P., H., Ho, Y., G., Robot Modelling control and application with software, IFS (Publications) Ltd, UK, Springer-Verlag, Berlin - Heidelberg - New York - Tokyo, 1985, (pag.37 si 249).
- [R2] Rumsiski, L., Z., Prelucrarea matematica a datelor experimentale - in drumar, Editura tehnica, Bucuresti, 1974.
- [S1] Simionescu, I., Moise, V., Mecanisme de prehensiune autocentrante, Lucrarile celui de al VII-lea Simpozion national de roboti industriali si mecanisme spatiale, MERO'87, voli, Bucuresti, 1987, (pag.284-287).
- [S2] Szekely, I., Mecanisme, Litografia I.P., Cluj-Napoca, 1974.
- [S3] Sandor, G., N., Erdman, A., G., Mechanism Design - Analysis and Synthesis, vol.1, PRENTICE - HALL INC., Englewood, New Jersey, 1986.
- [S4] Sandor, G., N., Erdman, A., G., Advanced Mechanism Design - Analysis and Synthesis, vol.2, PRENTICE - HALL INC., Englewood, New Jersey, 1986.
- [S5] Smogorjevski, A., S., Stolova, E., S., Spravocinik po teorii ploskih krivih tretievo poriadka, Gosudarstvenoie isdatelisvo fizico-matematicheskoi literaturi, Moscova, 1961.
- [S6] Soos, J., Calculul si proiectarea unor dispozitive de prehensiune si prindere a capetelor de forta pentru manipulatorul sincron MS-200, Proiect de diploma condus de Mesaros-Anghel, V., I.P.T.V.T., 1988.
- [T1] Teodorescu, I., D., Geometrie analitica si elemente de algebra liniara, Editura tehnica si pedagogica, Bucuresti, 1972.
- [U1] Udrea, C., Panaitopol, H., Mina mecanica plana cu

mecanism cu cama de translatie cu trei puncte de contact cu obiectul de lucru, Lucrarile celui de al II-lea "Simpozion national de roboti industriali", Bucuresti, 28-30.10.1982.

[V1] Volmer, J., Industrieroboter, Karl - Marx - Stadt, VEB Verlag Technic, Berlin, 1980, (pag.69, 82 si 87).

[V2] Volmer, J., Industrieroboter - Aufbau, Wirkungswerte und Anwendung, Maschinenbautechnik, nr.24, Berlin, 1975.

[V3] Verhaeghen, J., PCB assembly with aid of an IR and diffrent sensors, Proceedings of the 7-th International Conferance on Assembly Automation, 04-06 February, Zurich, 1986, (pag.323-334).

[V4] Vraneanu, G., Geometrie analitica si proiectiva, Editura tehnica, Bucuresti, 1954.

[V5] Vickers, S., BASIC programing, Sinclair Research Ltd., Cambrige, 1982.

[V6] Vygodski, M., Aide-memoire de mathematiques superieures, Editions Mir, Moscou, 1984.

[V7] Vlad, L., Dumitriu, A., Sinteza asistata de calculator si simularea functionarii unui mecanism patrulater destinat unui prehensor cu centratie precisa, Lucrarile celui de-al IV-lea "Simpozion national - proiectarea asistata de calculator in domeniul mecanismelor si organelor de masini - PRASIC'90", Brasov, 13-14.12.1990.

[W1] Warnecke, H., J., Schraft, R., D., Industrieroboter, Krausskopf-Verlag, GmbH, Mainz, 1979, (pag.15, 44, 51, 53 si 62).

[W2] Wright, P., K., Bourne, D., A., Manufacturing Intelligence, Addison - Wesley Publishing Company Inc., Reading - Massachusetts, Menlo Park - California, New York, Don Mills - Ontario, Wokingham - England, Amsterdam, Bonn, Sydney, Singapore, Tokyo, Madrid, Bogota, Santiago, San Juan, 1988.

[W3] Webb, D., Advanced Spectrum machine language, Melbourne House Publishers, Melbourne - Hong Kong, 1984.

[*1] * * * The Industrial Robot, vol.13, nr.1, march, 1986, (pag.26).

[*2] * * * Prospect al firmei Siemens, Sirobot 0, West Germany.

[*3] * * * Prospect al firmei Siemens, Sirobot 1, West Germany.

[*4] * * * Prospect al firmei Siemens, Sirobot 2, West

Germany.

- [*5] * * * Prospect al firmei Rohm, West Germany.
- [*6] * * * Prospect al firmei A.S.E.A., Broschur YB 11-109T, Industrieroboter system.
- [*7] * * * The Industrial Robot, vol.10, nr.1, march, 1983, (pag.61).
- [*8] * * * The Industrial Robot, vol.12, nr.3, september, 1985, (pag.173)
- [*9] * * * Robotic AGE, 1983, (pag.32).
- [*10] * * * Flexible Manufacturing Systems, Mannesmann GEMAG, West Germany, 1987, (pag.5 si 11).
- [*11] * * * Liefer Verzeichnis Product. Directory. Repertoire des Produits, MHI im VDMA, Frankfurt, 1987.
- [*12] * * * Prospect Fibro-Manta-Moduln, Handhabungstechnik, Information, Fibro.
- [*13] * * * Prospect Carobot das FTS system von pbs.
- [*14] * * * Prospect Mitsubishi Electric Europe, GMBH, Ratingen, (robot MELFA RM 501).
- [*15] * * * Prospect AFMA, Saint-Avertin, France.
- [*16] * * * Prospect Mantec m0.
- [*17] * * * Prospect ATW, Rastatt, (Portal roboter).
- [*18] * * * Prospect Fibromanta 1, Hapmersheim.
- [*19] * * * Prospect Fibromanta 2, Hapmersheim.
- [*20] * * * Industrie Roboter, RB 112, nr.6, Machinoexport.
- [*21] * * * Criterii de proiectare a mecanismelor de prindere pentru manipulatoare si roboti industriali, I.N.I.D., 1983.
- [*22] * * * Prospect Industrial Robots an production control equipment.
- [*23] * * * Mica enciclopedie matematica, Editura tehnica, Bucuresti, 1980.
- [*24] * * * Indrumator matematic si tehnici, Editura tehnica, Bucuresti, 1964.
- [*25] * * * COLT ZX BASIC Compiler Manual, Hisoft, Dunstable, 1985.
- [*26] * * * BETA BASIC - Version 3.0 Manual, Betasoft, 1985.
- [*27] * * * BLAST COMPILER Manual.
- [*28] * * * General Utility Routines, Hewlett - Packard Desktop Computer Division, Copyright Hewlett - Packard Company, 1979.

[*29] * * * Contract nr.1/03.0101980 - "Conceptia, cercetarea si proiectarea unui robot industrial de livrare automata a pieselor de tip arbore de rotoare" - beneficiar: Intreprinderea "Electromotor" Timisoara, executant: Institutul politehnic "Traian Vuia" Timisoara.

[*30] * * * Contract nr.224/09.0101981 - "Studii, cercetari, proiectari, experimentari si asistenta tehnica privind realizarea unor familii de roboti industriali precum si a unor tehnologii robotizate" - beneficiar: Intreprinderea "Electromotor" Timisoara, executant: Institutul politehnic "Traian Vuia" Timisoara.

[*31] * * * Contract nr.88/21.03.1986 - "Studii, cercetari, si proiectarea manipulatorului sincron de 200 daN, pentru sectoare calde" - beneficiar: "Centrala industriala de utilaj minier si masini de ridicat" Timisoara, executant: "Colectivul multidisciplinar de cercetare si proiectare pentru roboti industriali" din Facultatea de mecanica a Institutului politehnic "Traian Vuia" Timisoata.

[*32] * * * Contract nr.117/25.04.1987 - "Studii, cercetari, proiectari, asistenta tehnica si experimentari pentru realizarea manipulatorului sincron MS-500" - beneficiar: "Intreprinderea mecanica de masini si utilaj minier" Baia Mare, executant: "Colectivul de robotica industriala" din Institutul politehnic "Traian Vuia" Timisoara.

[*33] * * * Contract nr.26/10.02.1988 - "Studii, cercetari si proiectarea manipulatorului sincron MS-1000 daN" - beneficiar: "Intreprinderea mecanica de masini si utilaj minier" Baia Mare, executant: "Colectivul de robotica industriala" din Institutul politehnic "Traian Vuia" Timisoara.